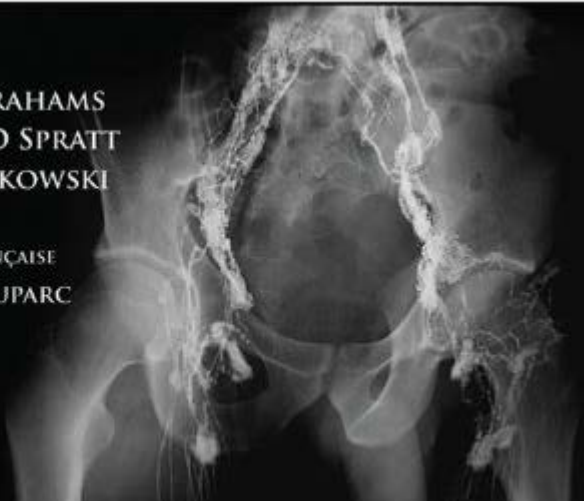


ANATOMIE DU CORPS HUMAIN ATLAS D'IMAGERIE

4^e ÉDITION

JAMIE WEIR
PETER H ABRAHAMS
JONATHAN D SPRATT
LONIE R SALKOWSKI

COORDINATION
DE L'ÉDITION FRANÇAISE
PR FABRICE DUPARC

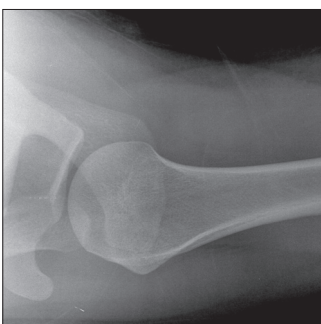
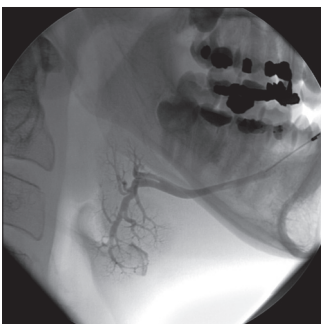
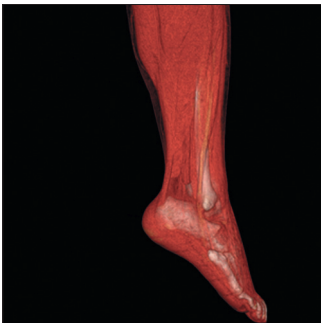


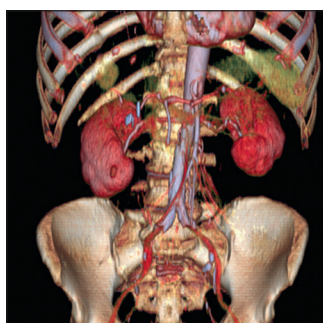
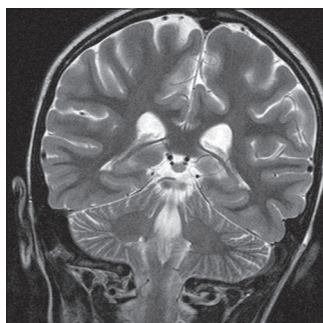
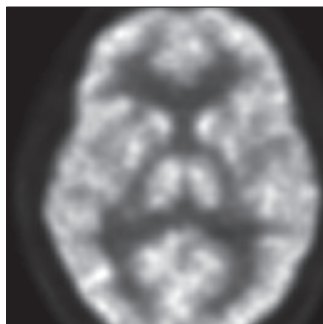
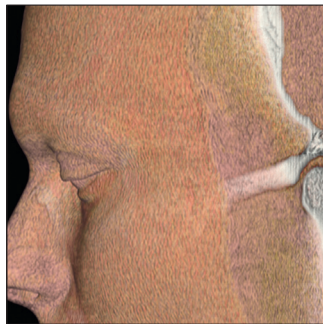


ANATOMIE DU CORPS HUMAIN

ATLAS D'IMAGERIE

4^e ÉDITION





ANATOMIE DU CORPS HUMAIN

ATLAS D'IMAGERIE

4^e ÉDITION

Jamie Weir MBBS, DMRD, FRCP(Ed), FRANZCR(Hon), FRCR

Emeritus Professor of Radiology
University of Aberdeen
Aberdeen, UK

Peter H Abrahams MBBS, FRCS(Ed), FRCR, DO(Hon)

Professor of Clinical Anatomy, Warwick Medical School, UK
Professor of Clinical Anatomy, St George's University, Grenada, West Indies
Extraordinary Professor, Department of Anatomy, University of Pretoria, South Africa
Fellow, Girton College, Cambridge, UK
Examiner, MRCS, Royal College of Surgeons, UK
Family Practitioner, Brent, London, UK

Jonathan D Spratt MBBChir, MA(Cantab), FRCS(Eng), FRCS(Glasg), FRCR

Chief Radiologist, County Durham and Darlington NHS Foundation Trust
Examiner in Anatomy, Royal College of Radiologists, UK
Examiner, MRCS, Royal College of Surgeons, UK
Fellow in Anatomical Radiology, Northumbria University, UK
Visiting Professor of Anatomy, St George's School of Medicine, Grenada and St Vincent

Lonie R Salkowski MD

Associate Professor of Radiology and Anatomy
University of Wisconsin School of Medicine and Public Health
Madison, Wisconsin, USA
Clinical Professor, College of Health Sciences
University of Wisconsin-Milwaukee
Milwaukee, Wisconsin, USA

Coordination scientifique de l'édition française

Fabrice Duparc

Editor in Chief, *Surgical and Radiologic Anatomy*, Springer, Paris
Professeur des universités, praticien hospitalier
Laboratoire d'anatomie, Faculté de médecine-pharmacie
Rouen, France



ELSEVIER
MASSON

Édition originale : Imaging Atlas of Human Anatomy, Fourth Edition

Jamie Weir MBBS, DMRD, FRCP(Ed), FRANZCR(Hon), FRCR, Emeritus Professor of Radiology, University of Aberdeen, Aberdeen, UK

Peter H Abrahams MBBS, FRCS(Ed), FRCR, DO(Hon), Professor of Clinical Anatomy, Warwick Medical School, UK; Professor of Clinical Anatomy, St George's University, Grenada, West Indies; Extraordinary Professor, Department of Anatomy, University of Pretoria, South Africa; Fellow, Girton College, Cambridge, UK; Examiner, MRCS, Royal College of Surgeons, UK; Family Practitioner, Brent, London, UK

Jonathan D Spratt MBBChir, MA(Cantab), FRCS(Eng), FRCS(Glasg), FRCR, Chief Radiologist, County Durham and Darlington NHS Foundation Trust; Examiner in Anatomy, Royal College of Radiologists, UK; Examiner, MRCS, Royal College of Surgeons, UK; Fellow in Anatomical Radiology, Northumbria University, UK; Visiting Professor of Anatomy, St George's School of Medicine, Grenada and St Vincent

Lonie R Salkowski MD, Associate Professor of Radiology and Anatomy, University of Wisconsin School of Medicine and Public Health, Madison, Wisconsin, USA; Clinical Professor, College of Health Sciences, University of Wisconsin-Milwaukee, Milwaukee, Wisconsin, USA

Édition française : Anatomie du corps humain – Atlas d'imagerie, 4^e édition

Pr Fabrice Duparc, Professeur des universités, praticien hospitalier, Laboratoire d'anatomie, Faculté de médecine-pharmacie, Rouen, France
Editor in Chief, *Surgical and Radiologic Anatomy*, Springer, Paris

La version originale, Imaging Atlas of Human Anatomy, Fourth Edition (ISBN 9780-7234-3457-3) a été publiée par Mosby Elsevier, une filiale de Elsevier Limited.

Commissioning Editor : Madelene Hyde
Development Editor : Sharon Nash
Project Manager : Frances Affleck
Design : Kirsteen Wright
Marketing Managers : Jason Oberacker (US) and Ian Jordan (UK)

Version française : Anatomie du corps humain – Atlas d'imagerie, 4^e édition
Éditeur : Gregg Colin
Chef de projet : Anna Davoli

© 2011, Elsevier Limited. All rights reserved.
First edition 1992
Second edition 1997
Third edition 2003

© 2011. Elsevier Masson SAS. Tous droits réservés pour la traduction française
62, rue Camille-Desmoulins, 92442 Issy-les-Moulineaux cedex
<http://france.elsevier.com>

L'éditeur ne pourra être tenu pour responsable de tout incident ou accident, tant aux personnes qu'aux biens, qui pourrait résulter soit de sa négligence, soit de l'utilisation de tous produits, méthodes, instructions ou idées décrits dans la publication. En raison de l'évolution rapide de la science médicale, l'éditeur recommande qu'une vérification extérieure intervienne pour les diagnostics et la posologie.

Tous droits de traduction, d'adaptation et de reproduction par tous procédés réservés pour tous pays. En application de la loi du 1^{er} juillet 1992, il est interdit de reproduire, même partiellement, la présente publication sans l'autorisation de l'éditeur ou du Centre français d'exploitation du droit de copie (20, rue des Grands-Augustins, 75006 Paris).

All rights reserved. No part of this publication may be translated, reproduced, stored in a retrieval system or transmitted in any form or by any other electronic means, mechanical, photocopying, recording or otherwise, without prior permission of the publisher.

Photocomposition : SPI Publisher Services, Pondichéry, Inde
Imprimé en Chine
Dépôt légal : octobre 2010

ISBN : 978-2-8101-0189-4

Préface de l'édition française

Cet atlas d'imagerie est le fruit de l'association d'anatomistes et de radiologues, passionnés d'enseignement et de pédagogie. L'imagerie médicale est la mise en images du corps humain. Les étudiants et praticiens regrettent souvent de devoir rechercher les connaissances qu'ils ont acquises en anatomie dans la représentation de la pathologie des patients, sans avoir initialement validé leur capacité à retrouver l'anatomie normale dans sa projection en imagerie.

L'ouvrage est séparé en 7 sections topographiques : tête, cou et cerveau ; colonne vertébrale et moelle spinale ; membre supérieur ; thorax ; abdomen et pelvis en coupes ; abdomen et pelvis hors coupes ; membre inférieur ; une section complémentaire concerne la médecine nucléaire.

Dans les différentes sections, l'anatomie du corps humain est présentée par de nombreuses légendes à travers les incidences radiographiques usuelles, de face, de profil et obliques, les coupes tomodensitométriques et IRM axiales, coronales et sagittales. L'anatomie sectionnelle, représentation moderne et à venir de l'anatomie, est particulièrement développée. Dans les différentes localisations, l'anatomie des vaisseaux en imagerie est également

développée. De nombreux exemples des variations anatomiques les plus fréquentes complètent la présentation.

L'échographie est aussi utilisée. La section « médecine nucléaire » présente les possibilités immenses de l'imagerie fonctionnelle, qui vient compléter l'imagerie morphologique.

Les nombreuses possibilités techniques de l'imagerie médicale sont appliquées à l'anatomie de l'enfant, aux différents âges de la croissance, et à l'adulte.

La richesse des légendes apporte avec cet atlas un excellent outil d'apprentissage, de réactualisation des connaissances et d'autoévaluation en anatomie à travers l'imagerie.

Un large index permet au lecteur de rapidement avoir accès aux données recherchées.

La dédicace des auteurs « à nos étudiants passés, présents, et futurs... » résume combien leur objectif pédagogique a été atteint.

Professeur Fabrice Duparc

Préface de la 4^e édition originale

La place accordée à l'interprétation de l'anatomie radiologique est de plus en plus importante dans un monde qui a connu de profondes modifications en matière de programmes de formation des études médicales depuis la dernière décennie, accompagnées d'une diminution de la dissection de cadavres.

Nous avons mis à jour et révisé cet atlas en y ajoutant de nouvelles images et techniques afin de refléter cette tendance. L'équipe de rédaction a également changé. Nous souhaitons adresser nos sincères remerciements aux Dr Hourihan, Belli, Moore et Owen pour leurs contributions précédentes, et vous présenter nos deux nouveaux coauteurs, le Dr Jonathan Spratt de Durham (Royaume-Uni), et le Dr Lonie Salkowski de Madison (Wisconsin, États-Unis). Tous deux sont des spécialistes d'anatomie radiologique réputés, et la plupart des nouveaux éléments introduits dans cette édition proviennent de leur travail.

Le format de cette 4^e édition a été conservé, mais la conception des chapitres consacrés à l'abdomen et au pelvis a été

revue – avec des images à la fois en coupes et hors coupes de l'abdomen et du pelvis – afin de refléter la pratique radiologique et anatomique actuelle.

Un nouveau chapitre portant sur la médecine nucléaire, rédigé par le Dr Salkowski, a aussi été ajouté.

Nous croyons que la confiance accrue que les cliniciens accordent à l'imagerie des processus pathologiques peut être facilitée par la révision étendue du texte portant sur l'anatomie radiologique, permettront d'améliorer la compréhension de l'imagerie, et ce pour votre propre bénéfice comme pour celui de votre patient. Comme ce livre est destinés à vous, les étudiants, nous vous encourageons à nous faire part de vos corrections, suggestions et idées pour les prochaines éditions.

Jamie Weir, Peter H. Abrahams, Jonathan Spratt et Lonie Salkowski
Janvier 2010

Préface de la 1^{ère} édition originale

Les méthodes d'imagerie utilisées pour visualiser l'anatomie humaine normale se sont considérablement améliorées ces dernières décennies. La possibilité de mettre en évidence les tissus mous grâce aux technologies modernes que représentent l'imagerie par résonance magnétique (IRM), la tomodensitométrie (TDM) et l'échographie a grandement facilité notre compréhension du lien entre l'anatomie observable en salle de dissection et celle nécessaire à la pratique clinique. Nous avons conçu cet atlas du fait de l'apparition de ces nouvelles technologies et des modifications fondamentales en cours dans l'enseignement de l'anatomie. Il fournit à l'étudiant en médecine un guide à la fois en matière d'anatomie de base et d'interprétation clinique de l'imagerie, que ce soit durant les études de médecine ou par la suite.

Plusieurs auteurs réputés, spécialistes dans leurs propres domaines d'imagerie, ont participé à l'élaboration de ce livre, la coordination éditoriale ayant permis d'assurer son équilibre et sa cohésion. Cet atlas vient compléter la 6^e édition du *McMinn's Clinical Atlas of Human Anatomy*.

Nous n'avons reproduit certaines images que lorsqu'il était nécessaire de mettre en évidence des aspects anatomiques intéressants ou

porteurs de difficultés. De plus, nous n'avons fourni des images d'une même région anatomique utilisant différentes méthodes d'imagerie que lorsque cela permettait de mieux comprendre la région en question. Sont également reproduits des radiographies révélant d'importants repères des centres d'ossification des membres, ainsi que des exemples d'anomalies congénitales courantes. Dans certaines sections, surtout celles comportant des IRM et des TDM, les légendes peuvent concerner plus d'une page; de cette façon, il est possible de suivre en continu une structure donnée sous différents plans et niveaux.

L'anatomie humaine ne change pas, mais nos méthodes permettant de la visualiser ont beaucoup évolué. Grâce à l'imagerie moderne, il est possible de visualiser certaines structures et leurs relations pour la première fois, ce qui est très utile pour leur interprétation. La connaissance et la compréhension de l'anatomie radiologique sont fondamentales pour tous ceux qui prennent soin des patients, depuis les infirmières et les paramédicaux jusqu'aux étudiants en médecine et aux cliniciens.

Jamie Weir et Peter H. Abrahams
Février 1992

Préface de la 4^e édition originale

La place accordée à l'interprétation de l'anatomie radiologique est de plus en plus importante dans un monde qui a connu de profondes modifications en matière de programmes de formation des études médicales depuis la dernière décennie, accompagnées d'une diminution de la dissection de cadavres.

Nous avons mis à jour et révisé cet atlas en y ajoutant de nouvelles images et techniques afin de refléter cette tendance. L'équipe de rédaction a également changé. Nous souhaitons adresser nos sincères remerciements aux Dr Hourihan, Belli, Moore et Owen pour leurs contributions précédentes, et vous présenter nos deux nouveaux coauteurs, le Dr Jonathan Spratt de Durham (Royaume-Uni), et le Dr Lonie Salkowski de Madison (Wisconsin, États-Unis). Tous deux sont des spécialistes d'anatomie radiologique réputés, et la plupart des nouveaux éléments introduits dans cette édition proviennent de leur travail.

Le format de cette 4^e édition a été conservé, mais la conception des chapitres consacrés à l'abdomen et au pelvis a été

revue – avec des images à la fois en coupes et hors coupes de l'abdomen et du pelvis – afin de refléter la pratique radiologique et anatomique actuelle.

Un nouveau chapitre portant sur la médecine nucléaire, rédigé par le Dr Salkowski, a aussi été ajouté.

Nous croyons que la confiance accrue que les cliniciens accordent à l'imagerie des processus pathologiques peut être facilitée par la révision étendue du texte portant sur l'anatomie radiologique, permettront d'améliorer la compréhension de l'imagerie, et ce pour votre propre bénéfice comme pour celui de votre patient. Comme ce livre est destinés à vous, les étudiants, nous vous encourageons à nous faire part de vos corrections, suggestions et idées pour les prochaines éditions.

Jamie Weir, Peter H. Abrahams, Jonathan Spratt et Lonie Salkowski
Janvier 2010

Préface de la 1^{ère} édition originale

Les méthodes d'imagerie utilisées pour visualiser l'anatomie humaine normale se sont considérablement améliorées ces dernières décennies. La possibilité de mettre en évidence les tissus mous grâce aux technologies modernes que représentent l'imagerie par résonance magnétique (IRM), la tomодensitométrie (TDM) et l'échographie a grandement facilité notre compréhension du lien entre l'anatomie observable en salle de dissection et celle nécessaire à la pratique clinique. Nous avons conçu cet atlas du fait de l'apparition de ces nouvelles technologies et des modifications fondamentales en cours dans l'enseignement de l'anatomie. Il fournit à l'étudiant en médecine un guide à la fois en matière d'anatomie de base et d'interprétation clinique de l'imagerie, que ce soit durant les études de médecine ou par la suite.

Plusieurs auteurs réputés, spécialistes dans leurs propres domaines d'imagerie, ont participé à l'élaboration de ce livre, la coordination éditoriale ayant permis d'assurer son équilibre et sa cohésion. Cet atlas vient compléter la 6^e édition du *McMinn's Clinical Atlas of Human Anatomy*.

Nous n'avons reproduit certaines images que lorsqu'il était nécessaire de mettre en évidence des aspects anatomiques intéressants ou

porteurs de difficultés. De plus, nous n'avons fourni des images d'une même région anatomique utilisant différentes méthodes d'imagerie que lorsque cela permettait de mieux comprendre la région en question. Sont également reproduits des radiographies révélant d'importants repères des centres d'ossification des membres, ainsi que des exemples d'anomalies congénitales courantes. Dans certaines sections, surtout celles comportant des IRM et des TDM, les légendes peuvent concerner plus d'une page; de cette façon, il est possible de suivre en continu une structure donnée sous différents plans et niveaux.

L'anatomie humaine ne change pas, mais nos méthodes permettant de la visualiser ont beaucoup évolué. Grâce à l'imagerie moderne, il est possible de visualiser certaines structures et leurs relations pour la première fois, ce qui est très utile pour leur interprétation. La connaissance et la compréhension de l'anatomie radiologique sont fondamentales pour tous ceux qui prennent soin des patients, depuis les infirmières et les paramédicaux jusqu'aux étudiants en médecine et aux cliniciens.

Jamie Weir et Peter H. Abrahams
Février 1992

Remerciements et dédicace de l'édition originale

Nous remercions toutes les personnes qui nous ont fourni des images pour les éditions précédentes de cet atlas. Les nouvelles images et légendes ont été ajoutées par le Dr Richard Wellings (University Hospital, Coventry et Warwickshire), et le Dr Andrew Hine (N.W. London

Hospitals); nous leur sommes très reconnaissants pour leur aide. Les deux images de l'introduction, l'angio-IRM du corps entier et la tractographie par IRM, ont été aimablement fournies par Toshiba Medical Systems.

À nos étudiants passés, présents et futurs

Introduction

Guide pour les tables d’ossification

Tout au long du livre figurent des tables d’ossification, comme celle ci-contre.

Les légendes de ces tables sont les suivantes :

- (c) = cartilage
- (m) = membrane
- miu = mois de vie intra-utérine
- siu = semaines de vie intra-utérine
- De plus, se souvenir de la règle : les filles avant les garçons.

Imagerie par résonance magnétique

L’imagerie par résonance magnétique (IRM) produit des images par magnétisation du patient dans un tunnel formé d’un aimant très puissant qui émet des ondes de radiofréquence (RF) courtes de 46 MHz faisant résonner des protons mobiles (noyaux d’hydrogène) dans les graisses, les protéines et l’eau. Les protons produisent des échos de RF quand leur énergie par résonance est libérée. Grâce à des algorithmes mathématiques complexes, leur densité ainsi que leur localisation peuvent être converties en image matricielle.

Le spin du proton du noyau d’hydrogène, qui se comporte comme un petit aimant, s’oriente soit dans la même direction que le champ magnétique, soit en direction opposée, ce qui produit un petit vecteur d’aimantation. Une onde RF est utilisée pour générer un second champ magnétique, perpendiculaire au champ magnétique statique, ce qui fait dévier (*flip*) les protons en dehors du champ magnétique statique. Lorsque l’onde RF s’arrête, les protons retournent vers leur position d’équilibre originelle («relaxation»); ils émettent alors un signal de RF qui a été capté par l’antenne placée autour du patient. Ce signal est numérisé, amplifié et, finalement, une phase d’encodage spatial permet la localisation.

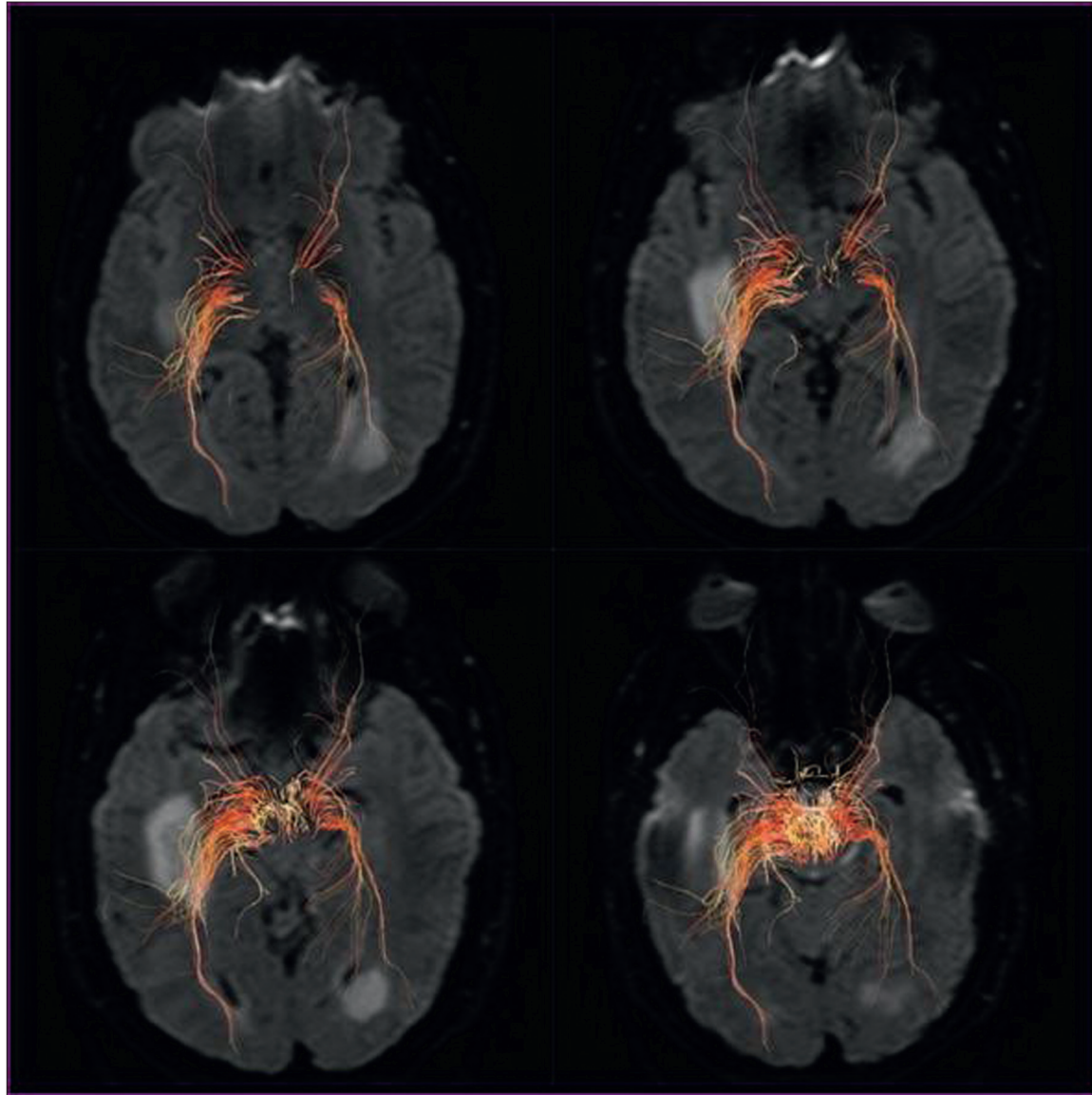
Les appareils d’IRM sont classés en fonction de la puissance du champ magnétique qu’ils produisent. Les systèmes à champ élevé de routine sont ceux qui sont en mesure de produire une force de champ magnétique de 1,3 à 3 T (Tesla) en employant un aimant électromagnétique superconducteur immergé dans de l’hélium liquide. Des aimants ouverts pour les patients claustrophobes et des scanners des membres utilisent des aimants permanents de 0,2 à 0,75 T. À titre de comparaison, le champ magnétique terrestre varie de 30 à 60 uT. L’IRM n’entraîne pas de risque biologique connu. Les patients porteurs de toute forme de pacemaker ou d’appareil ferromagnétique implanté ne doivent pas être examinés. Les autres contre-indications comprennent les clips ferromagnétiques pour les anévrismes intracrâniens, certains types de valves cardiaques artificielles et les corps étrangers métalliques intraoculaires. De nombreux clips vasculaires extracrâniens et de nombreuses prothèses orthopédiques ne constituent plus dorénavant des contre-indications à l’IRM, mais ils peuvent provoquer des artéfacts locaux. Les objets métalliques mobiles doivent être sortis de la salle d’examen – des coussins contenant des ressorts métalliques ont ainsi manqué d’étouffer des patients!

CLAVICULE (m)	Apparition	Fusion
Extrémité latérale	5 siu	> 20 ans
Extrémité médiale	15 ans	> 20 ans
SCAPULA (c)		
Corps	8 siu	15 ans
Processus coracoïde	< 1 an	20 ans
Base du processus coracoïde	Puberté	15–20 ans
Acromion	Puberté	15–20 ans

Bien que cela dépasse le cadre de la présente édition de ce livre, évoquons ici les nouvelles méthodes d’analyse du cerveau normal et pathologique. Sont ainsi à la pointe de l’avancée technologique l’IRMS, l’IRMf et l’IRMm, cette dernière prenant une nouvelle direction depuis la description du génome humain.



Angio-IRM corps entier.



Tractographie cérébrale par IRM.

La spectroscopie en imagerie par résonance magnétique (IRMS) évalue la fonction du cerveau vivant. Elle tire avantage du fait que les protons qui se situent dans différents environnements chimiques possèdent des propriétés de résonance légèrement différentes (déplacement chimique). Pour un volume de cerveau donné, la répartition de ces résonances de protons peut être visualisée sous forme de spectre. Des pics peuvent être rendus visibles par certains neurotransmetteurs ; ainsi, le N-acétyl-aspartate varie dans la sclérose en plaques, l'accident vasculaire cérébral et la schizophrénie, tandis que les taux de choline et de lactate ont été utilisés pour évaluer certaines tumeurs cérébrales.

L'IRM fonctionnelle (IRMf) est dépendante du fait que l'hémoglobine est diamagnétique lorsqu'elle est oxygénée, mais paramagnétique lorsqu'elle est désoxygénée. Ces différents signaux peuvent être pondérés aux plus petits vaisseaux, et donc à proximité des neurones actifs, en utilisant des champs magnétiques plus importants. Dans l'imagerie moléculaire (IRMm), les biomarqueurs interagissent chimiquement avec leur environnement et modifient l'image en fonction des changements moléculaires se produisant dans la zone d'intérêt. Cela permet potentiellement une détection et un traitement

précoces des maladies, ainsi que le développement de produits pharmaceutiques et d'examens quantitatifs.

Les aimants à puissance de champ magnétique élevée apportent évidemment de meilleurs contraste et résolution spatiale. Les images IRM des microvaisseaux du cerveau humain vivant acquises à 8 T permettent une comparaison rapprochée avec l'histologie ; cela a des conséquences importantes pour le traitement des lésions de reperfusion, la physiologie des tumeurs solides et l'angiogenèse. Il y a toutes les raisons de croire que les efforts entrepris pour élargir les applications avec les champs magnétiques de puissance élevée ouvriront de nouvelles voies dans ce qui semble être un domaine d'applications cliniques potentielles sans fin.

Échographie

Par opposition aux autres images qui figurent dans ce livre, les images échographiques ne nécessitent pas l'utilisation d'ondes électromagnétiques. Les ondes de haute fréquence (ondes longitudinales) et leur interaction avec les tissus biologiques ont la propriété de former ces « échographes ».

Une onde de fréquence appropriée (la valeur diagnostique est de 3,5–20 MHz) est produite selon des principes piézo-électriques ; c'est-à-dire que certains cristaux peuvent changer de forme et produire un potentiel ou voltage et vice versa. Alors que le faisceau traverse les tissus, il s'ensuit deux effets importants qui déterminent la production de l'image : l'atténuation et la réflexion. L'atténuation est provoquée par la perte d'énergie due à l'absorption, la réflexion et la réfraction ne pouvant être captées par le récepteur, ce qui entraîne une diminution du signal d'intensité. La réflexion des ondes sonores pouvant être perçues par le récepteur produit l'image ; la texture de celle-ci dépend des différences minimales sur le plan de l'impédance acoustique entre les divers tissus. Le flux sanguin et la vitesse sanguine peuvent être mesurés (en utilisant le principe Doppler) en mode duplex.

Les techniques comme l'imagerie harmonique et l'emploi de produits de contraste échographiques (microbulles stabilisées) ont récemment permis de déterminer de manière non invasive l'irrigation du myocarde. De plus, ces produits de contraste améliorent manifestement la possibilité de détecter des métastases hépatiques et spléniques. L'échographie est la technique d'imagerie médicale la plus courante pour produire des élastographies qui permettent d'étudier la dureté et la déformation des tissus mous pour détecter et classer les tumeurs. Un cancer est 5 à 28 fois plus dur que le tissu mou environnant. Lorsqu'on applique une compression mécanique ou une vibration, la tumeur se déforme moins que le tissu environnant. L'élastographie peut par exemple être utilisée pour mesurer la dureté du foie *in vivo*, pour dépister des tumeurs du sein ou thyroïdiennes. Une corrélation entre l'élasticité du foie et le score cirrhotique a été démontrée.

Seulement quelques échographies clés ont été insérées dans ce livre afin d'illustrer un point ou une région d'intérêt particulier, la nature en temps réel de l'échographie ne permettant pas d'être plus complet. L'interprétation de l'anatomie à partir d'images échographiques statiques est plus difficile que celle avec d'autres modes d'imagerie, car cette technique est très opérateur-dépendante ; de plus, elle fournit des informations sur la structure et la forme tissulaires différentes de celles fournies par les autres techniques d'imagerie.

Médecine nucléaire

Historiquement, le champ de la recherche en médecine nucléaire a commencé en 1946 lorsque de l'iode radioactif a été administré en « cocktail atomique » pour le traitement du cancer de la thyroïde. Depuis cette époque, la médecine nucléaire a évolué ; elle a été reconnue comme spécialité médicale par l'American Medical Association en 1971.

La radiologie diagnostique crée une image en faisant passer des radiations à travers le corps depuis une source extérieure, alors que la médecine nucléaire crée une image en mesurant les radiations émises depuis des traceurs absorbés par voie orale. L'image est donc créée à partir des radiations émises par le patient. Dans l'ensemble, les dosages d'irradiation sont comparables, et varient en fonction du type d'examen.

La médecine nucléaire diffère également de la plupart des autres modes d'imagerie en ce sens que les examens permettent de mettre en évidence la fonction physiologique d'une zone spécifique du corps. Parfois, cette information de type physiologique peut être fusionnée avec des TDM ou des IRM, qui sont des techniques d'imagerie

d'avantage anatomiques ; il est ainsi possible de combiner les traits anatomiques et fonctionnels pour établir un diagnostic.

Plutôt qu'un produit de contraste, la médecine nucléaire utilise des substances radiopharmaceutiques, qui sont des médicaments qui ont été marqués par un nucléide radioactif. Ces substances sont administrées aux patients par injection intraveineuse, par ingestion ou par inhalation. Le mode d'administration dépend du type d'examen et de l'organe, ou bien du processus organique devant subir l'imagerie. Par définition, toutes ces substances radiopharmaceutiques émettent des radiations. Celles-ci sont détectées et converties en images grâce à des équipements spécialisés, comme les gamma caméras, la tomographie par émission de positrons (*positron emission tomography* [PET]), la tomographie par émission de simple photon (*single photon emission computed tomography* [SPECT]). Dans certains examens, la radiation peut être mesurée dans des parties du corps grâce à des sondes ; ou bien des échantillons peuvent être prélevés et faire l'objet de mesures dans des compteurs.

L'imagerie par médecine nucléaire, qui en est encore à ses débuts, fait appel à la biologie fonctionnelle, ce qui permet de réaliser des études par imagerie de processus pathologiques, lesquelles pourraient par ailleurs être utilisées pour traiter les maladies. Les substances radiopharmaceutiques utilisées pour l'imagerie émettent un rayon gamma (γ), et celles utilisées à des fins thérapeutiques émettent une particule bêta (β). L'énergie des rayons gamma est plus élevée afin qu'ils puissent traverser le corps et être détectés par une caméra de détection, alors que les particules bêta ne parcourent que de courtes distances, émettant leur dose de radiation vers l'organe cible. Par exemple, il est possible d'utiliser du technétium 99m ou de l'iode 123 pour détecter une pathologie thyroïdienne, mais certaines maladies thyroïdiennes ou le cancer thyroïdien ne peuvent être traités à part entière ou partiellement qu'avec de l'iode 131. L'utilisation d'un type particulier de substance dépend de la nature et des niveaux d'énergie de la particule radioactive émise par le radio-isotope.

Les nucléides radioactifs, ou la particule radioactive, utilisés en médecine nucléaire sont souvent liés chimiquement à un complexe appelé traceur, de telle sorte que, lorsque celui-ci est administré, il se comporte de manière caractéristique dans le corps. La manière dont le corps supporte ce traceur peut différer en cas de maladie ou de processus pathologique, avec par conséquent des images différentes de la normale dans les états pathologiques. Par exemple, le traceur utilisé en imagerie osseuse est le méthylène-diphosphonate (MDP). Celui-ci est lié au technétium 99m pour l'imagerie osseuse. Il se fixe à l'hydroxyapatite contenu dans l'os. En cas de modification physiologique au niveau de l'os du fait d'une fracture, d'une métastase osseuse ou d'une arthropathie, l'activité osseuse sera augmentée, avec par conséquent une accumulation du traceur dans cette région comparativement à l'os normal. Cela entraînera un point d'hyperfixation (*hot spot*) focalisé de la substance radiopharmaceutique sur une coupe osseuse.

Le technétium 99m est le principal radio-isotope utilisé en médecine nucléaire. Il peut être obtenu par élution à partir d'un générateur molybdène/technétium et stocké au sein d'un service de médecine nucléaire à accès autorisé. Sa demi-vie est courte (6 heures), ce qui facilite son utilisation pour l'imagerie médicale. Du fait de ses propriétés pharmacologiques, il peut facilement se lier à divers

traceurs et il émet des rayons gamma, cette énergie convenant à l'imagerie médicale.

En plus du technétium 99m, les nucléides radioactifs par voie intraveineuse les plus souvent utilisés en médecine nucléaire sont l'iode 123 et l'iode 131, le thallium 201, le gallium 67, le 18-fluorodésoxyglucose (FDG) et les leucocytes marqués à l'indium 111. Les nucléides radioactifs sous forme de gaz ou d'aérosol les plus couramment utilisés sont le xénon 133, le krypton 81m, le technétium 99m (Technegas) et le technétium 99m DTPA.

Les images obtenues par médecine nucléaire peuvent être uniques ou multiples. Les séries d'images peuvent être représentées sous forme de séquences d'imagerie (par exemple en mode ciné), comme c'est le cas en imagerie dynamique ou en séquences cardiaques spatiotemporelles (*cardiac gated sequences*), ou avec l'imagerie séquentielle spatiale, où la gamma caméra est mobilisée par rapport au patient comme c'est le cas dans l'imagerie SPECT. L'imagerie séquentielle spatiale permet de présenter les images sous forme de séries de coupes, de façon assez proche à ce qu'autorisent la TDM et l'IRM. Ce type d'imagerie peut aussi être fusionné avec des images TDM ou IRM concomitantes afin de fournir une imagerie à la fois physiologique et anatomique. L'imagerie temporospatiale offre une perspective unique, avec notamment une information sur les processus corporels physiologiques.

Le PET-scan est un type d'imagerie par médecine nucléaire spécialisé qui permet de mesurer les fonctions corporelles importantes, comme le flux sanguin, l'utilisation de l'oxygène et le métabolisme du glucose, afin d'évaluer si les organes et les tissus fonctionnent correctement. L'imagerie par PET-scan implique le recours à des traceurs radio-isotopes de demi-vie courte, chimiquement incorporés dans des molécules actives biologiquement. La molécule la plus couramment utilisée est le fluorodésoxyglucose (FDG), qui est un sucre. Après injection dans le corps, ces molécules actives se concentrent dans les tissus faisant l'objet de l'examen. Après un temps d'attente, qui est d'environ une heure pour le FDG, il est possible de procéder à l'imagerie. L'imagerie avec du FDG intervient alors que l'isotope se détruit. L'isotope subit la destruction par l'émission de positron. Une fois que le positron est émis, il ne parcourt que quelques millimètres et s'annihile avec un électron; ce faisant, il produit une paire de photons gamma qui se déplacent en direction opposée. Les détecteurs du PET-scan ne détectent que ces paires de photons, et ce de façon simultanée (détection coïncidente). Ces données sont ensuite traitées pour créer une image d'activité tissulaire dépendant de l'isotope utilisé. Ces images peuvent être fusionnées avec des images TDM ou IRM.

La courte demi-vie des isotopes constitue une limite du PET-scan. Par conséquent, la proximité d'un cyclotron générant des isotopes joue un rôle important dans l'implantation d'un service d'imagerie par PET-scan. Les isotopes classiquement utilisés en imagerie médicale et leur demi-vie sont les suivants : carbone 11 (~20 min), nitrogène 13 (~10 min), oxygène 13 (~2 min) et fluor 18 (~110 min).

Angiographie/radiologie interventionnelle

L'histoire de l'angiographie commence en 1927, année où le médecin et neurologue Egas Moniz a introduit l'angiographie cérébrale avec injection de produit de contraste. Il a reçu le prix Nobel pour son travail

en 1949. Cependant, c'est l'avènement de la technique Seldinger, en 1953, qui a révolutionné l'angiographie; au cours de cette procédure d'imagerie, aucune aiguille n'est laissée en place dans la lumière vasculaire.

Même si le champ de l'angiographie s'est ouvert avec la radiographie et l'imagerie fluoroscopique des vaisseaux sanguins et des organes recourant à l'injection de produits de contraste radio-opaques dans le sang, elle est devenue bien plus que cela. Avec le développement de nouvelles techniques, nombre des procédures réalisées par angiographie peuvent être diagnostiques. Sont ainsi apparues les procédures mini-invasives guidées par imagerie, et la discipline a changé de nom pour devenir la radiologie interventionnelle (ou radiologie interventionnelle vasculaire).

Les angiographies sont habituellement réalisées en posant une voie veineuse; selon la zone devant faire l'objet de l'imagerie, il peut s'agir de l'artère fémorale, de la veine fémorale ou de la veine jugulaire. Il est possible de réaliser des angiographies du cerveau (angiographies cérébrales), du cœur (angiographies coronariennes), des poumons (angiographie pulmonaire), etc. L'imagerie de la circulation artérielle et veineuse des bras et des jambes peut mettre en évidence une maladie vasculaire périphérique. Une fois qu'une voie veineuse a été posée, les cathéters sont dirigés vers la zone spécifique devant être imagée grâce à des guides souples. Des produits de contraste sont injectés à travers ces cathéters pour visualiser les vaisseaux ou un organe par imagerie à rayons X.

Outre l'imagerie diagnostique, ces mêmes cathéters permettent souvent de procéder à des traitements ou des interventions. Il peut s'agir d'angioplasties; dans ce cas, un mécanisme à ballonnet est disposé dans une zone de rétrécissement, ou sténose, au sein d'un vaisseau ou lumière. Le gonflement contrôlé du ballonnet permet d'élargir la zone de sténose. Pour éviter la résurgence de sténose dans ces régions, des stents sont souvent mis en place dans la lumière du vaisseau, voire dans la trachée ou l'œsophage.

Les images obtenues au cours de procédures diagnostiques ou interventionnelles peuvent être fixes ou mobiles (mode ciné). La technique souvent utilisée est appelée angiographie par soustraction numérique. Dans ce type d'imagerie, les images sont prises à une cadence de 2 à 30 par seconde afin de pouvoir visualiser le flux sanguin dans les vaisseaux. Une première image est acquise avant d'injecter du produit de contraste. Cette image (le « masque ») est ensuite soustraite électroniquement de toutes les autres images, ne laissant à l'arrière-plan que les vaisseaux remplis de produit de contraste. Pour que la soustraction soit optimale, le patient doit rester immobile.

Il est possible de réaliser des angiographies du cœur pour visualiser la taille et la contractilité des cavités ainsi que l'anatomie des vaisseaux coronaires. Le thorax peut aussi être examiné pour évaluer les artères et veines pulmonaires à la recherche de malformations vasculaires, de caillots sanguins et des origines possibles d'une hémoptysie. Des imageries du cou sont souvent réalisées afin de visualiser les vaisseaux qui irriguent le cerveau, qui naissent de l'arc aortique pour former les vaisseaux cérébraux; il s'agit dans ce cas de rechercher une maladie athéroscléreuse, des malformations vasculaires et le

drainage sanguin de tumeurs. De plus, l'imagerie de l'artère rénale peut permettre de retrouver la cause d'une hypertension chez certains patients, et celle des vaisseaux mésentériques, de découvrir l'origine d'un saignement gastro-intestinal ou d'un angor intestinal.

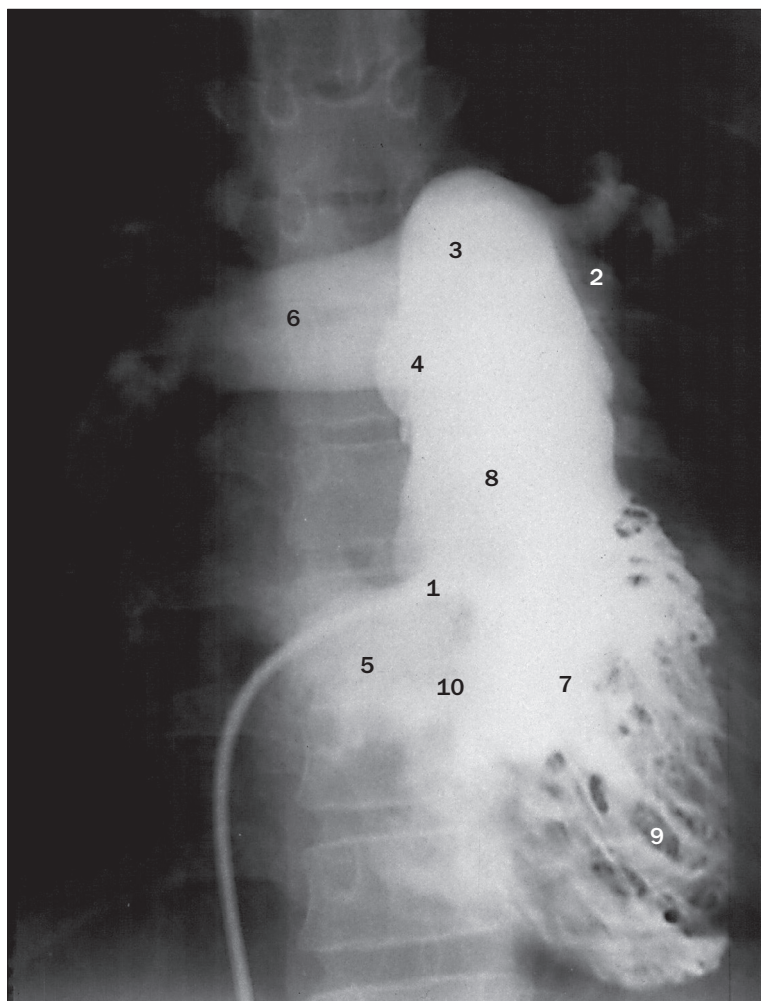
Outre les angiographies et les phlébographies, la radiologie interventionnelle permet de réaliser des procédures comme l'embolisation par spirales (ou coils) d'anévrismes et de malformations vasculaires, l'angioplastie par ballonnet et la mise en place de stents, la chimio-embolisation directement au sein de tumeurs, l'insertion de cathéters de drainage, des embolisations (par exemple l'embolisation de l'artère utérine pour le traitement de fibromes utérins), une thrombolyse pour dissoudre des caillots sanguins, des biopsies tissulaires (percutanées ou transvasculaires), l'ablation par radiofréquence et la cryoablation de tumeurs, l'insertion de lignes pour des abords vasculaires spécifiques, le placement d'un filtre cave inférieur, la vertébroplastie, la mise en place d'une sonde de néphrostomie, celle d'une sonde de gastrostomie, la pose d'un cathéter de dialyse, la mise en place d'un TIPS (*transjugular intrahepatic porto-systemic shunt*; shunt portosystémique transjugulaire

intrahépatique), des interventions biliaires, et, depuis récemment, l'ablation de varices au laser endoveineux.

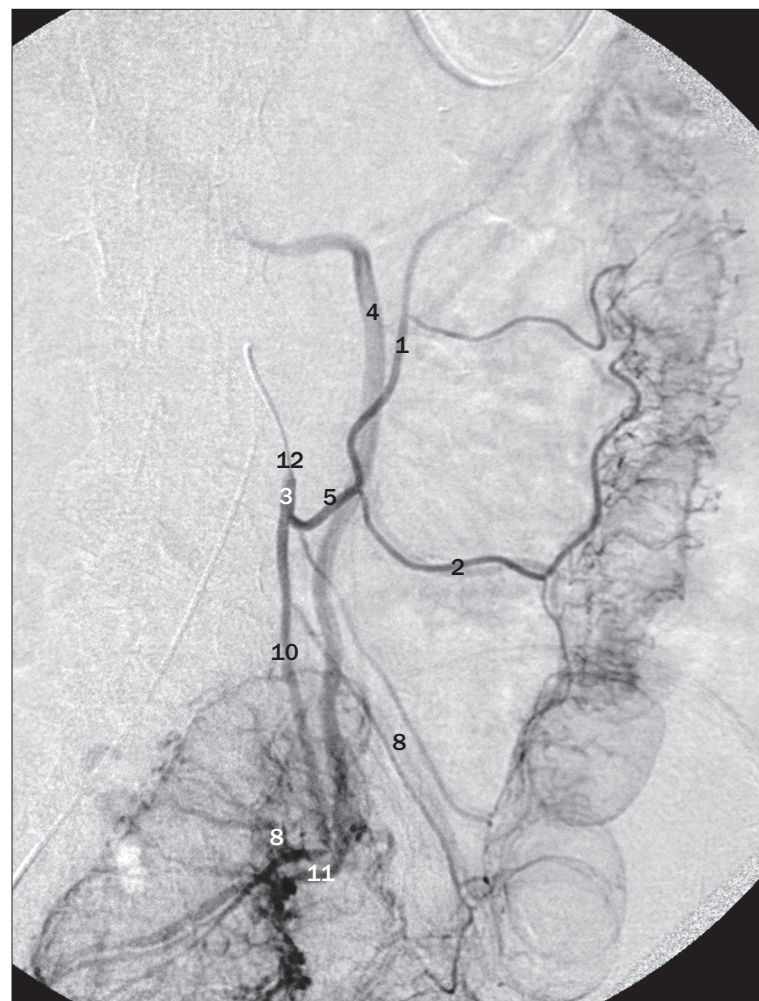
Tomodensitométrie

Toutes les techniques radiographiques standard ont pour limite la représentation bidimensionnelle de structures tridimensionnelles, l'image radiographique traditionnelle exprimant les coefficients d'absorption linéaire de tous les tissus traversés par le rayon X.

La tomodensitométrie (TDM) permet d'acquérir une série d'incidences radiologiques angulaires différentes, lesquelles sont traitées par ordinateur pour fournir une coupe d'épaisseur donnée. L'image de TDM est composée d'une matrice constituée d'éléments d'images (les pixels). Tous les tissus contenus dans un pixel atténuent les incidences radiologiques, ce qui entraîne un coefficient d'atténuation moyen du pixel. Ce dernier est comparé au coefficient d'atténuation de l'eau et inscrit sur une échelle (l'échelle de Hounsfield). Le coefficient de l'eau est de 0 unité Hounsfield (UH); celui de l'air est typiquement de -1000 UH; de la graisse, d'environ -100 UH; les tissus mous ont un coefficient de +20 à +70 UH; celui de l'os dépasse habituellement les +400 UH.



Angiographie du ventricule droit (p. 112).



Artère mésentérique inférieure, artériographie (p. 186).

Les scanners multicoupes hélicoïdaux modernes permettent d'obtenir des images en moins d'une seconde, et visualiser le corps entier depuis le sommet du crâne jusqu'aux cuisses peut ne nécessiter que le temps de retenir sa respiration pendant quelques secondes. Cette rapidité permet l'examen en imagerie dynamique des artères et des veines à différents moments après l'injection intraveineuse de produits de contraste. Le mode d'acquisition continue de données par un scanner hélicoïdal permet la reconstruction d'une image dans n'importe quel plan, le plus couramment sagittal et coronal, coupes qui seront souvent reproduites dans les chapitres suivants. L'imagerie orthogonale améliore grandement la compréhension des aspects tridimensionnels de l'anatomie radiologique ; elle fait maintenant partie intégrante de la pratique d'évaluation des maladies.

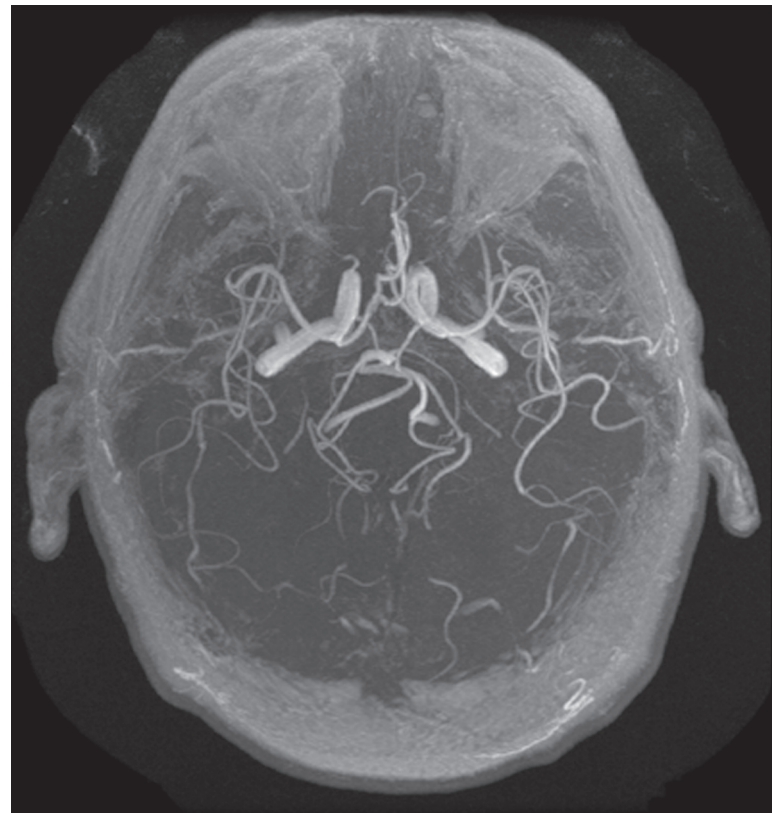
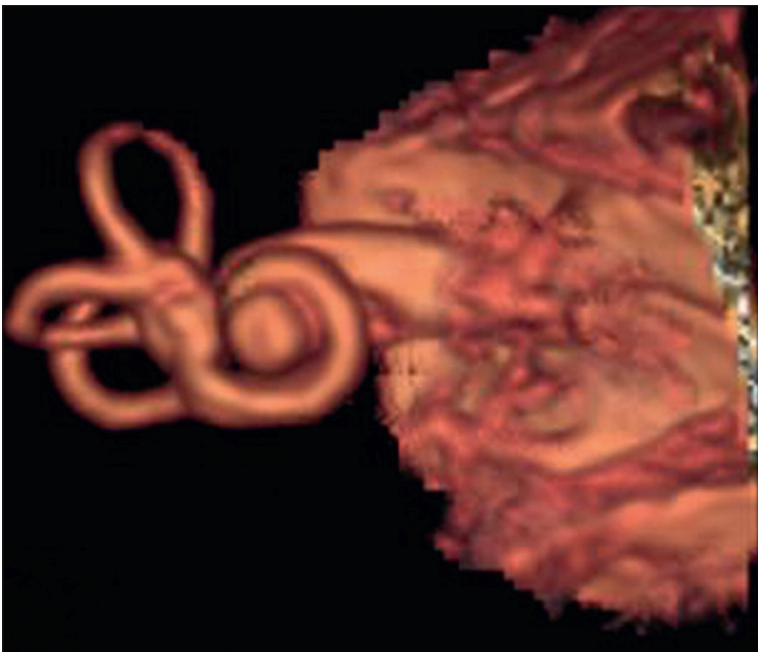
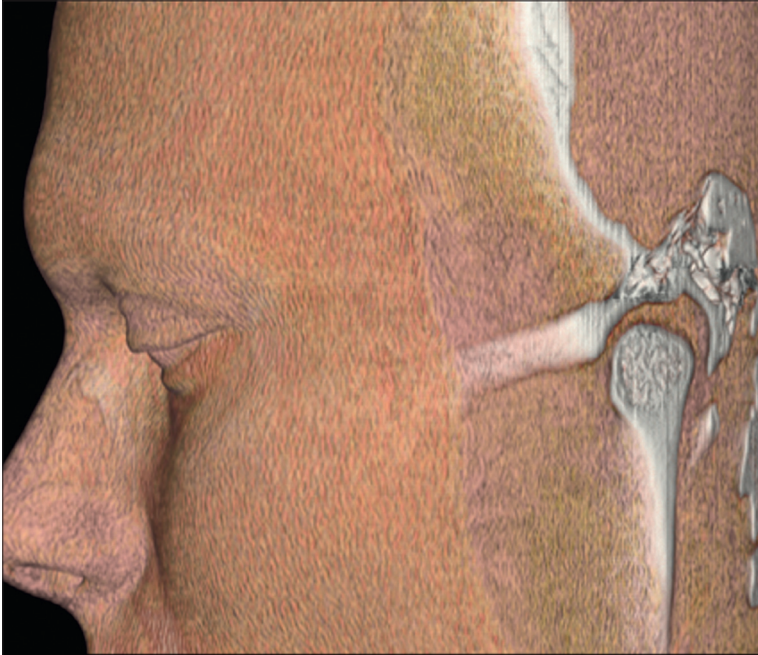
Les images numériques sont archivées et font partie d'un système de stockage électronique de plus en plus courant dans le monde, le PACS (Picture Archiving and Communication System). Le PACS permet de rechercher des images au moyen d'un réseau électronique permettant la visualisation à distance d'images et de rapports, par exemple d'un autre hôpital. Le dossier électronique du patient, où toutes les informations concernant le patient sont stockées, qui se développe rapidement, est de plus en plus accepté ; il améliore grandement le traitement des données.

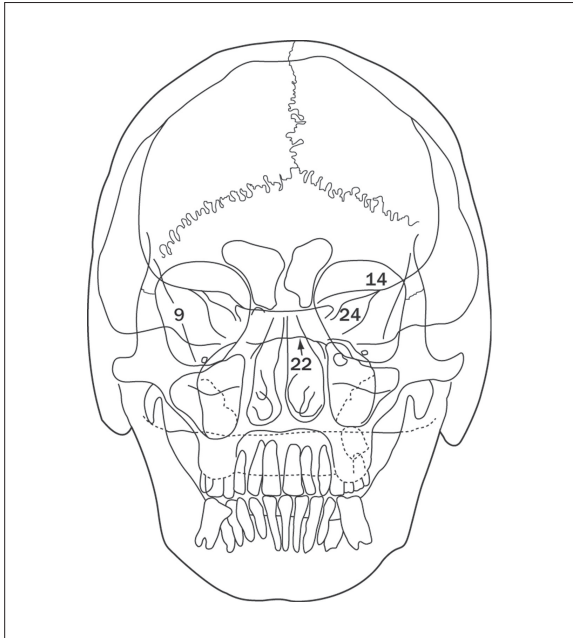
Aucune préparation spécifique n'est nécessaire pour l'examen TDM du cerveau, du rachis ou du système musculosquelettique. L'examen du thorax, de l'abdomen et du pelvis nécessite l'injection intraveineuse de produit de contraste contenant de l'iode, qui permet de mettre en évidence les artères et les veines ainsi que de mieux définir leurs rapports. L'opacification de l'intestin pour les examens TDM de l'abdomen et du pelvis peut être réalisée grâce à l'administration orale de produit de contraste hydrosoluble 24 heures avant un examen du côlon, combinée avec une autre administration orale 0 à 60 minutes avant le scanner, afin de mettre en évidence les contours de l'estomac et de l'intestin grêle. Parfois, il peut être nécessaire d'administrer du produit de contraste directement dans le rectum pour pouvoir visualiser la partie distale du gros intestin.

Généralement, tous les examens sont réalisés le patient en décubitus dorsal, les images acquises étant en coupes transversales ou axiales. Avec les scanners modernes, le plan de coupe peut être incliné jusqu'à 25 degrés, ce qui est particulièrement utile pour l'imagerie du rachis. Parfois, des coupes coronales peuvent être obtenues en cas de recherche d'anomalies crâniennes ou maxillofaciales ; dans ce cas, le patient est en décubitus ventral le cou en extension, avec une angulation du plan appropriée ; toutefois, cette technique a largement été dépassée par l'imagerie orthogonale décrite ci-dessus.

1

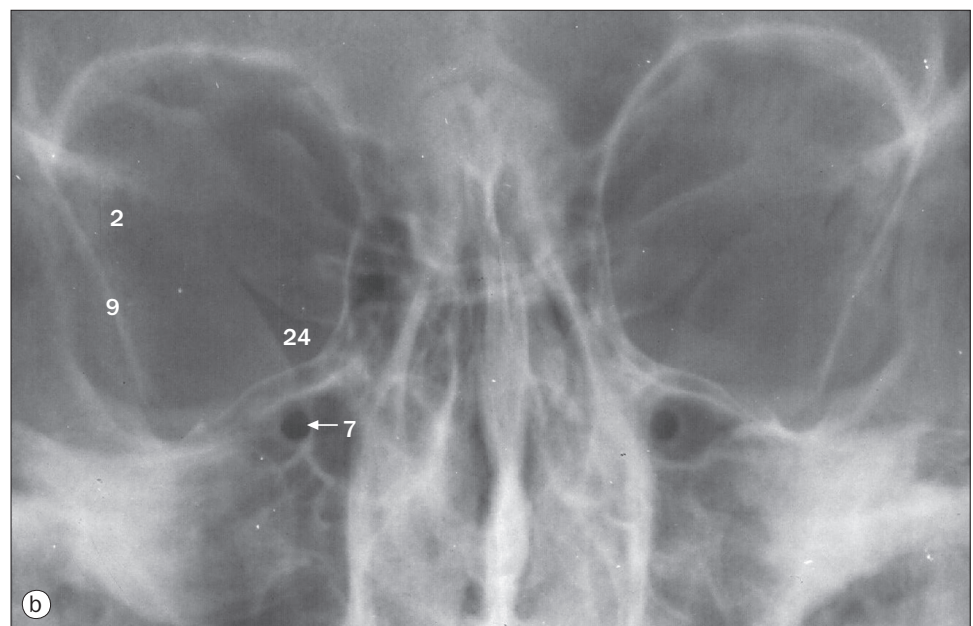
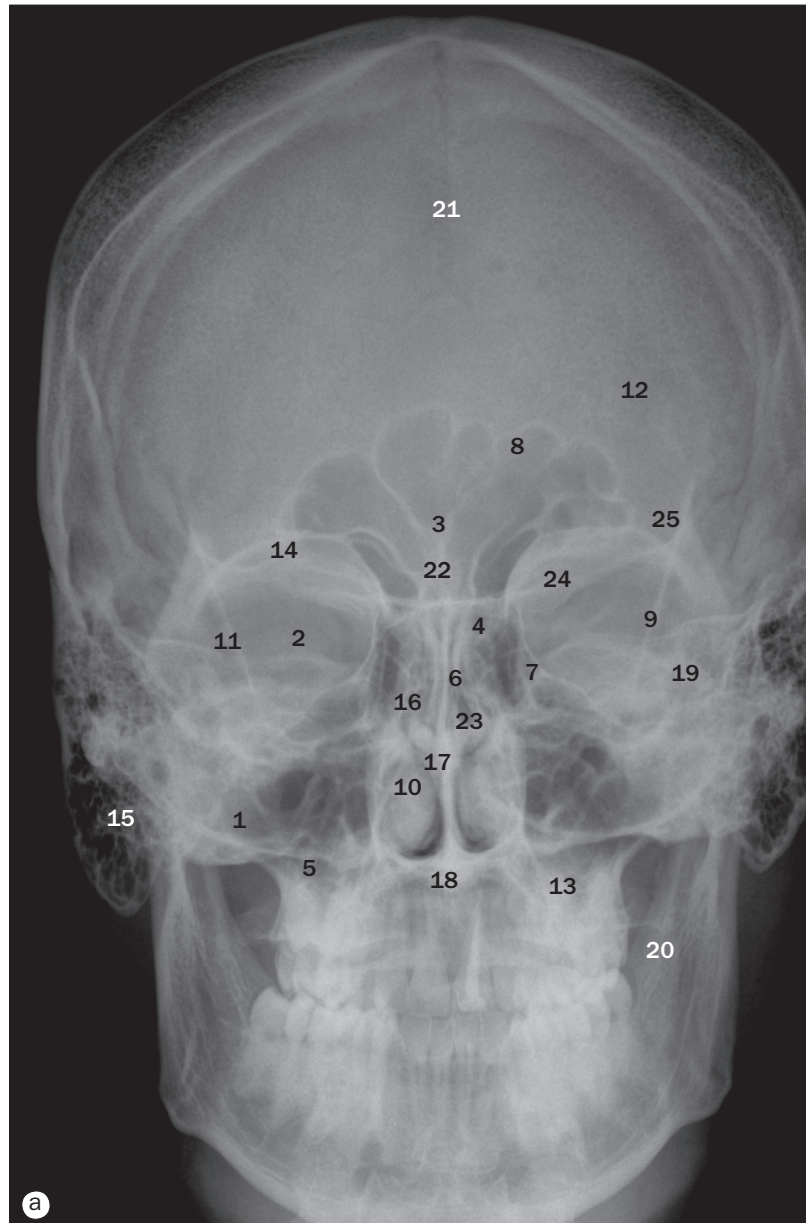
Tête, cou et cerveau



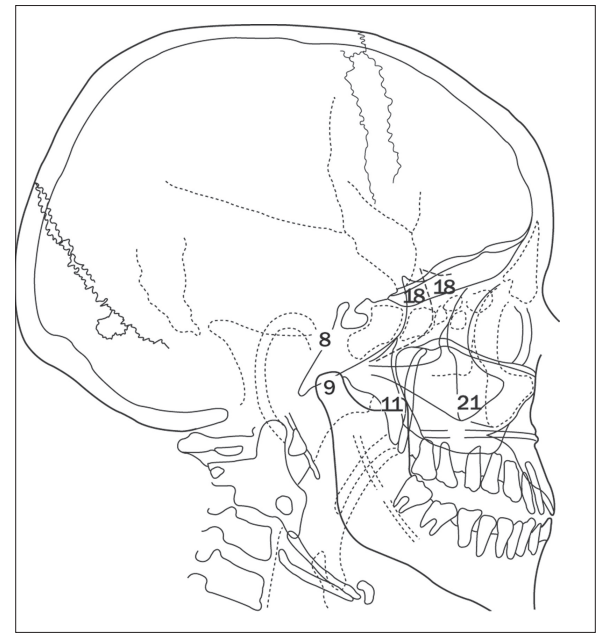
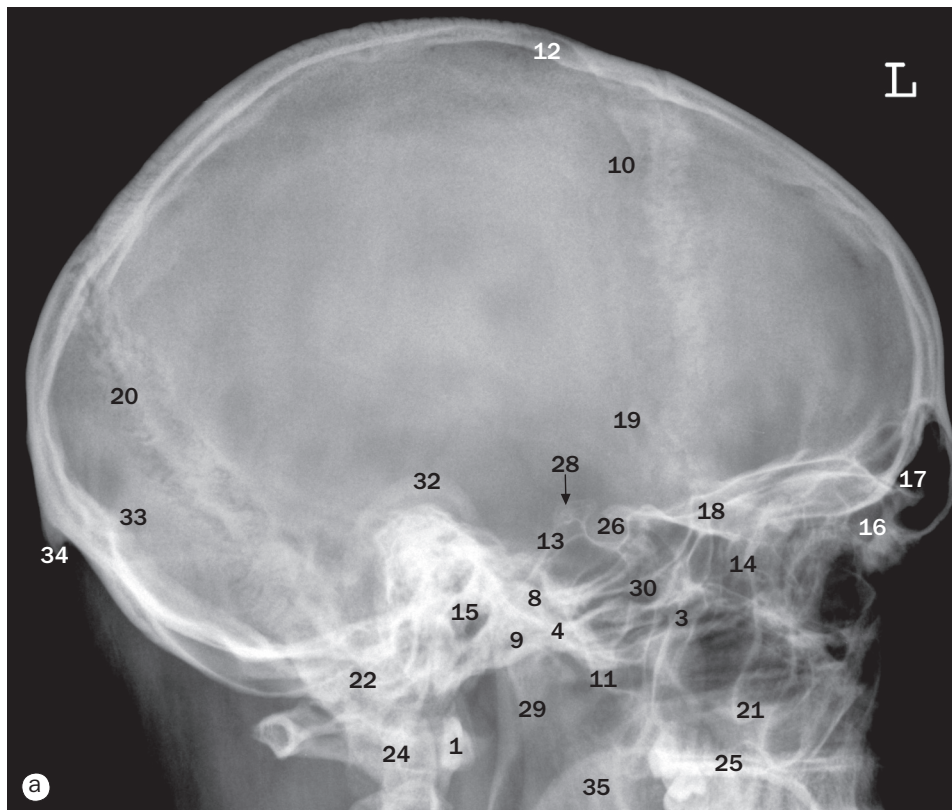


(a) Crâne, incidence de face.

(b) Crâne, montrant les foramens ronds, incidence occipitofrontale.



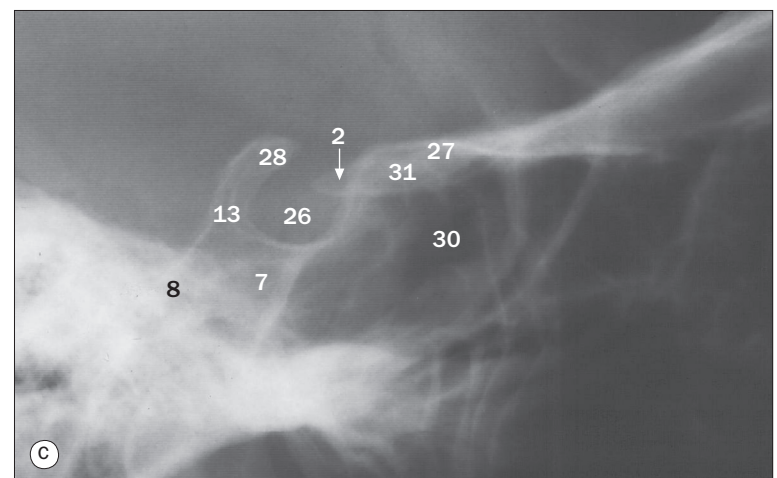
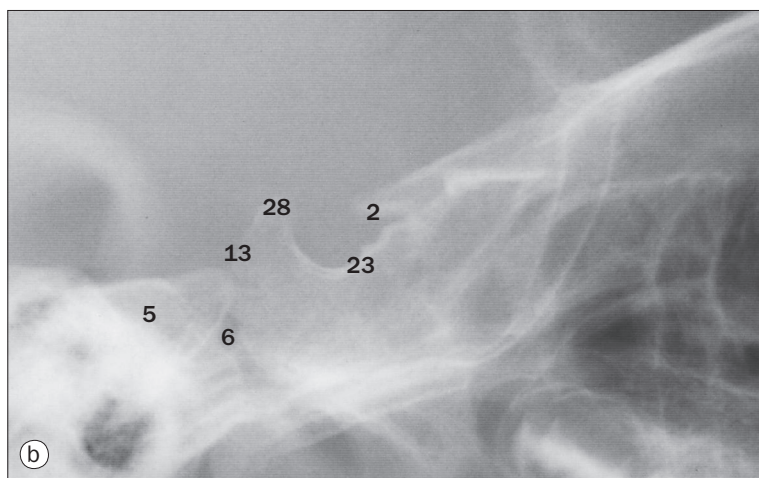
- 1 Basi-occipital
- 2 Corps de l'os sphénoïde
- 3 Crista galli
- 4 Cellules ethmoïdales
- 5 Plancher du sinus maxillaire (antre d'Highmore)
- 6 Plancher de la fosse hypophysaire (pituitaire)
- 7 Foramen rond
- 8 Sinus frontal
- 9 Grande aile de l'os sphénoïde
- 10 Cornet nasal inférieur
- 11 Méat acoustique interne
- 12 Suture lambdoïde
- 13 Masse latérale de l'atlas (1^{re} vertèbre cervicale)
- 14 Petite aile de l'os sphénoïde
- 15 Processus mastoïde
- 16 Cornet nasal moyen
- 17 Septum nasal
- 18 Dent de l'axis (processus odontoïde) (2^e vertèbre cervicale)
- 19 Partie pétreuse de l'os temporal
- 20 Branche de la mandibule
- 21 Suture sagittale
- 22 Jugum sphénoïdal
- 23 Sinus sphénoïdal
- 24 Fissure orbitaire supérieure
- 25 Face temporale de la grande aile de l'os sphénoïde

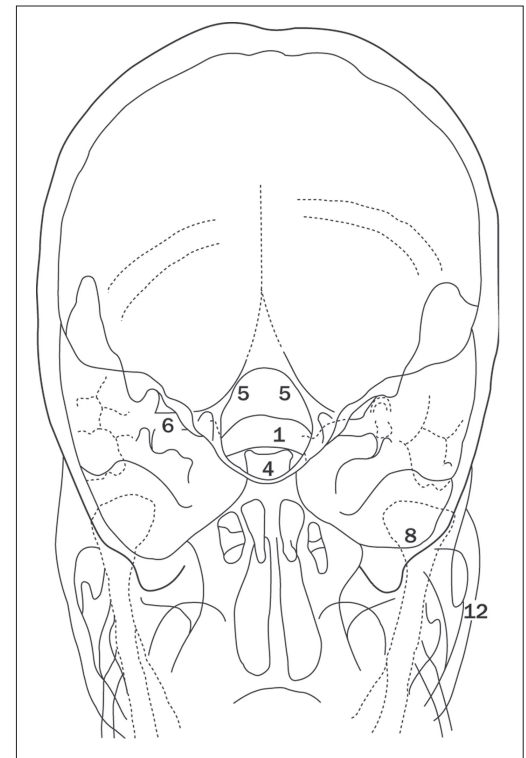
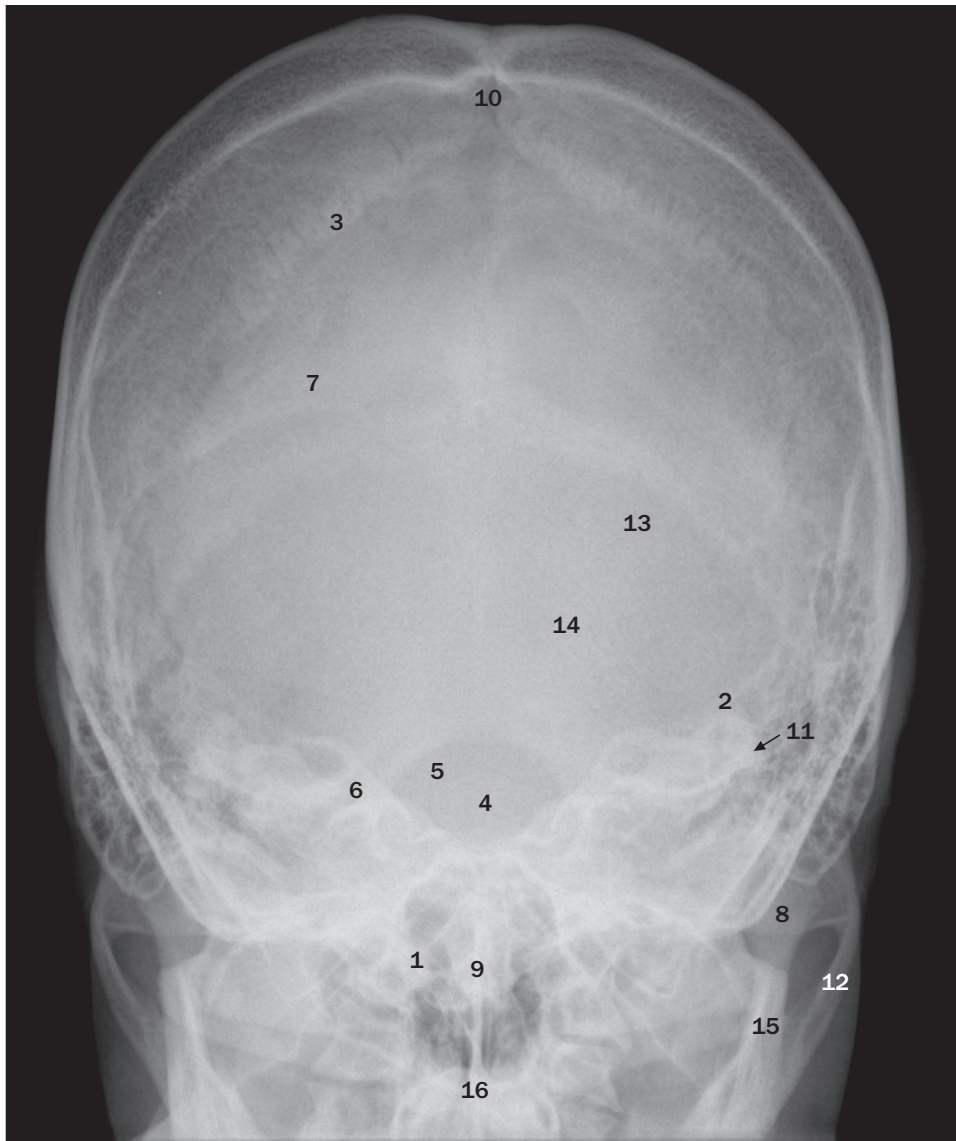


(a) Crâne, incidence de profil.

Fosse hypophysaire (pituitaire) (selle turcique),
(b) d'un enfant de 7 ans, (c) d'une femme de
23 ans, incidences de profil.

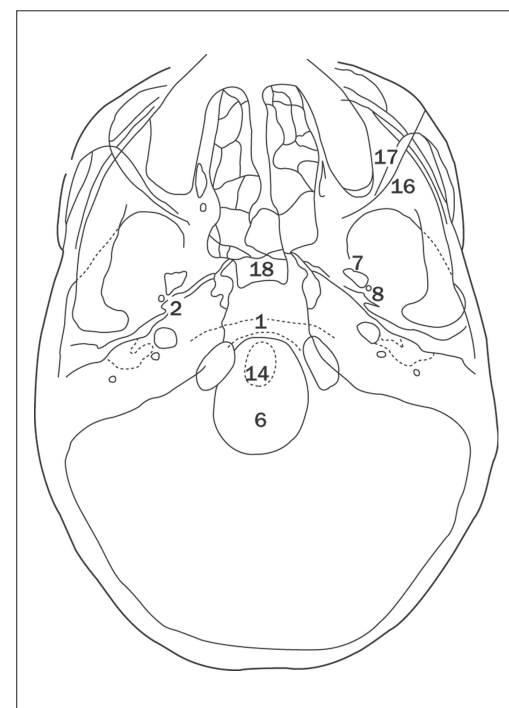
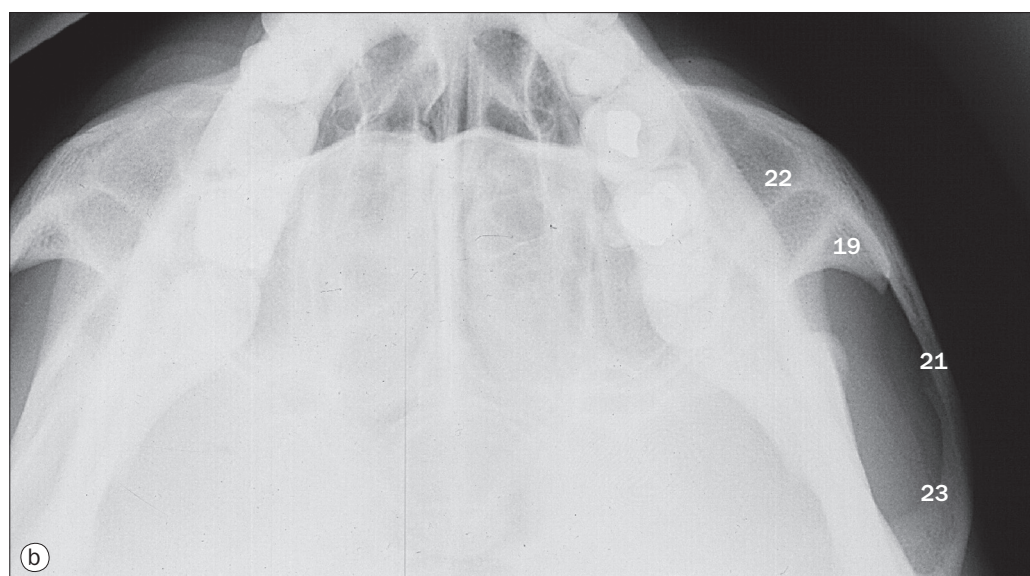
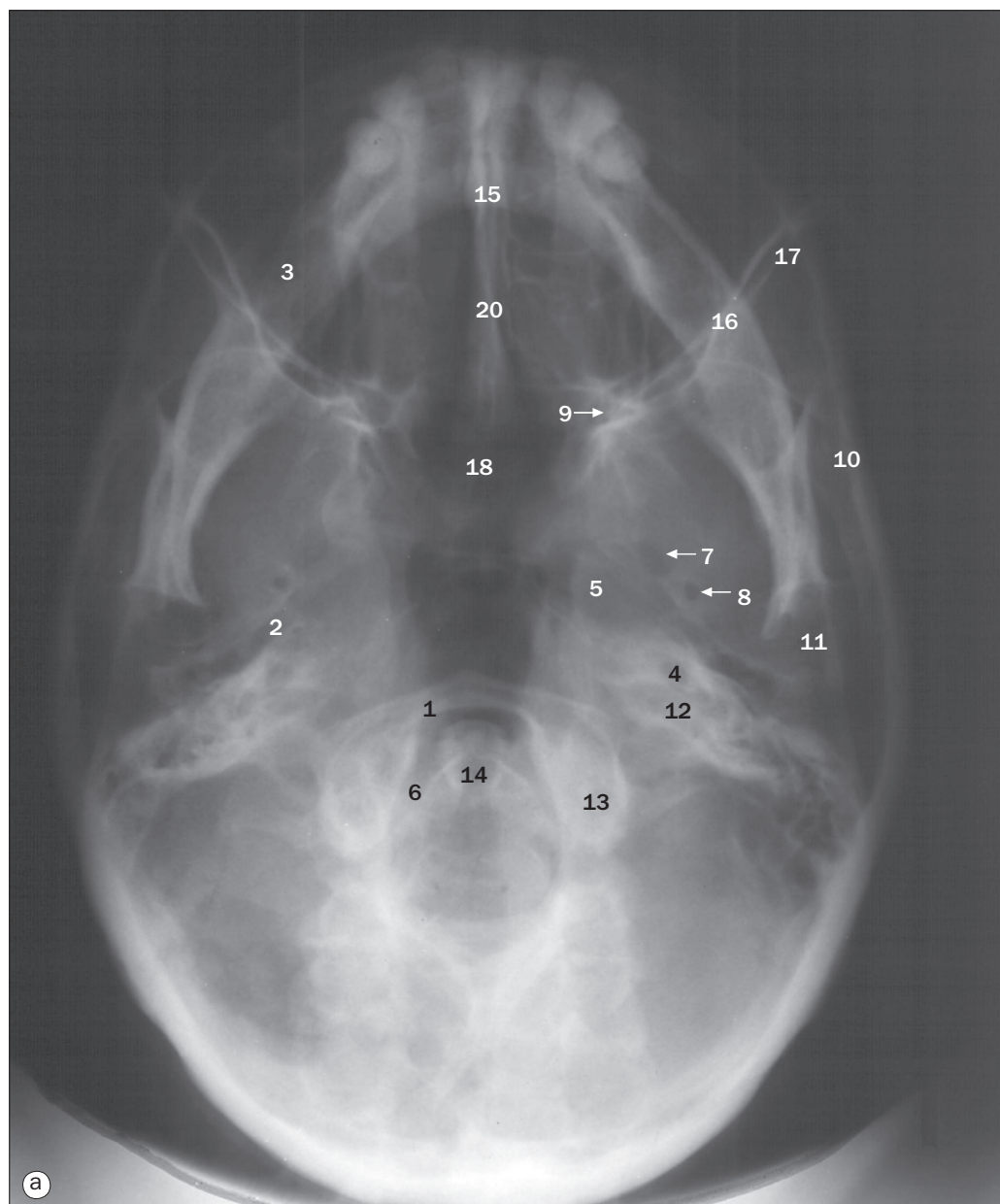
- | | | |
|---|---|---|
| 1 Arc antérieur de l'atlas (1 ^{re} vertèbre cervicale) | 11 Processus coronoïde de la mandibule | 24 Dent de l'axis (2 ^e vertèbre cervicale) |
| 2 Processus clinoïde antérieur | 12 Diploë | 25 Processus palatin de l'os maxillaire |
| 3 Arc zygomatique | 13 Dos de la selle | 26 Fosse hypophysaire (selle turcique) |
| 4 Tubercule articulaire de l'articulation temporo-mandibulaire | 14 Cellules ethmoïdales | 27 Jugum sphénoïdal |
| 5 Partie basilaire de l'os occipital | 15 Méat acoustique externe | 28 Processus clinoïde postérieur |
| 6 Synchondrose basisphénoïde-basioccipitale | 16 Processus frontal de l'os zygomatique | 29 Branche de la mandibule |
| 7 Sillon carotidien | 17 Sinus frontal | 30 Sinus sphénoïdal |
| 8 Clivus | 18 Grande aile de l'os sphénoïde | 31 Tubercule de la selle |
| 9 Processus condyloïde de la mandibule | 19 Sillons des vaisseaux méningés moyens | 32 Auricule |
| 10 Suture coronale | 20 Suture lambdoïde | 33 Inion |
| | 21 Processus zygomatique de l'os maxillaire | 34 Protubérance occipitale externe |
| | 22 Cellules mastoïdiennes | 35 Palais mou |
| | 23 Processus clinoïde moyen | |





Crâne, incidence fronto-occipitale de 30° (de Townes).

- 1 Arc antérieur de l'atlas (1^{re} vertèbre cervicale)
- 2 Eminentia arcuata de l'os temporal
- 3 Suture coronale
- 4 Dos de la selle
- 5 Foramen magnum
- 6 Méat acoustique interne
- 7 Suture lambdoïde
- 8 Processus condyloïde de la mandibule
- 9 Dent de l'axis (2^e vertèbre cervicale)
- 10 Suture sagittale
- 11 Canal semicirculaire supérieur
- 12 Arc zygomatique
- 13 Sillon du sinus transverse
- 14 Partie squameuse de l'os occipital
- 15 Mandibule
- 16 Septum nasal

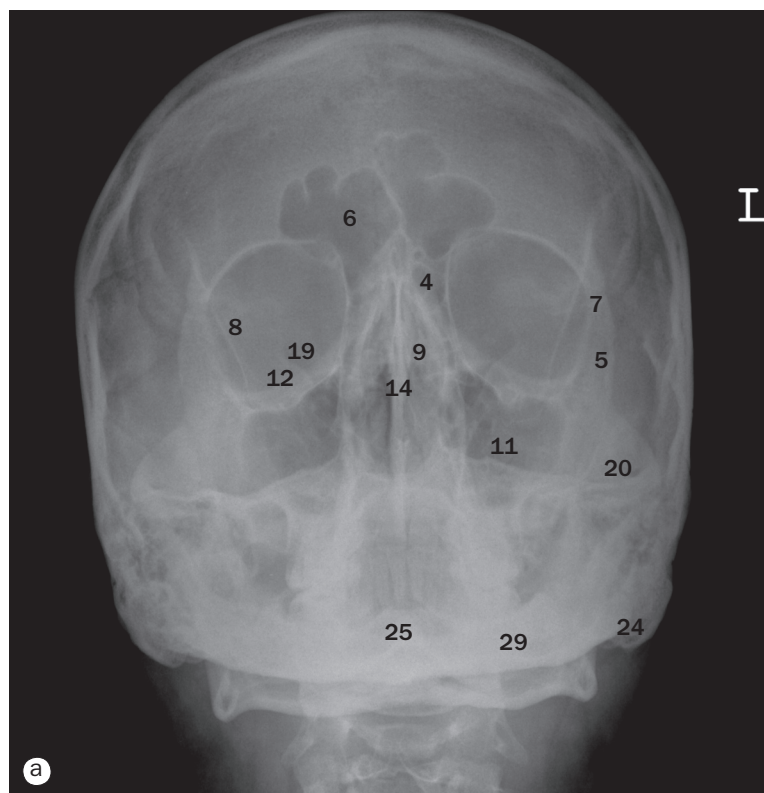


(a) Crâne, incidence submentonnière verticale.

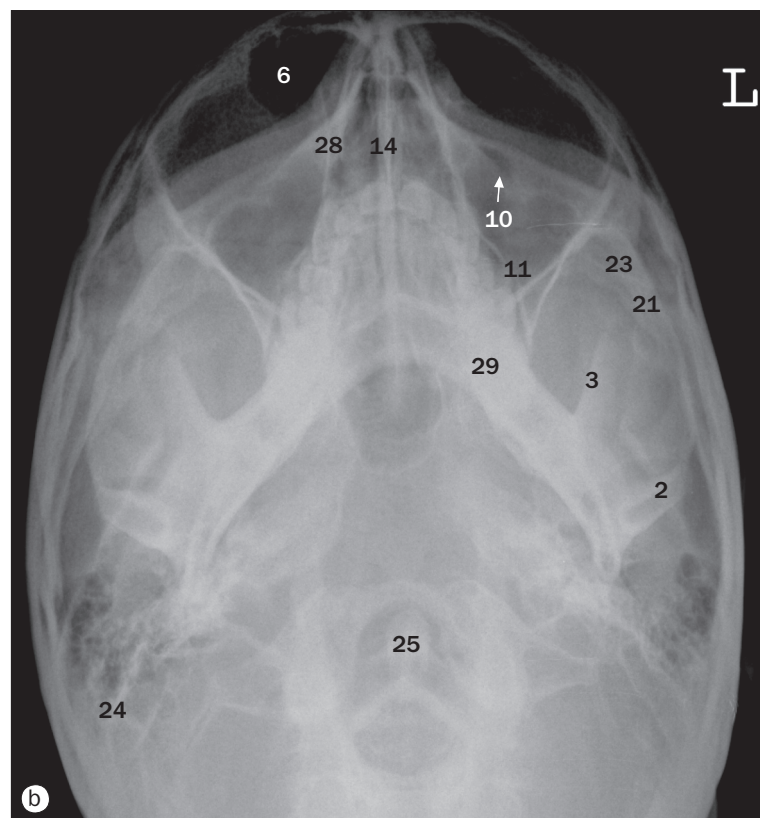
(b) Crâne, incidence submentonnière verticale, avec angulation supplémentaire pour dérouler les arcades zygomatiques.

- 1 Arc antérieur de l'atlas (1^{re} vertèbre cervicale)
- 2 Trompe auditive (d'Eustache)
- 3 Corps de la mandibule
- 4 Canal carotidien
- 5 Foramen lacerum
- 6 Foramen magnum
- 7 Foramen ovale
- 8 Foramen épineux
- 9 Foramen grand palatin
- 10 Grande aile de l'os sphénoïde
- 11 Tête de la mandibule
- 12 Foramen jugulaire
- 13 Condyle occipital
- 14 Dent de l'axis (2^e vertèbre cervicale)
- 15 Lamme perpendiculaire de l'os ethmoïde
- 16 Bord postérieur de l'orbite
- 17 Paroi postérieure du sinus maxillaire
- 18 Sinus sphénoïdal
- 19 Processus temporal de l'os zygomatique
- 20 Os vomer
- 21 Arc zygomatique
- 22 Os zygomatique
- 23 Processus zygomatique de l'os temporal

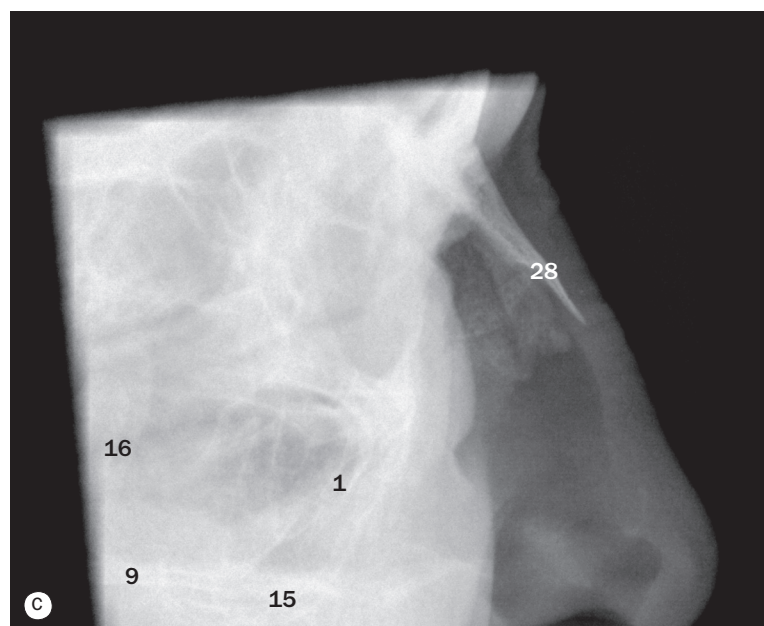
6 Os de la face et sinus paranasaux



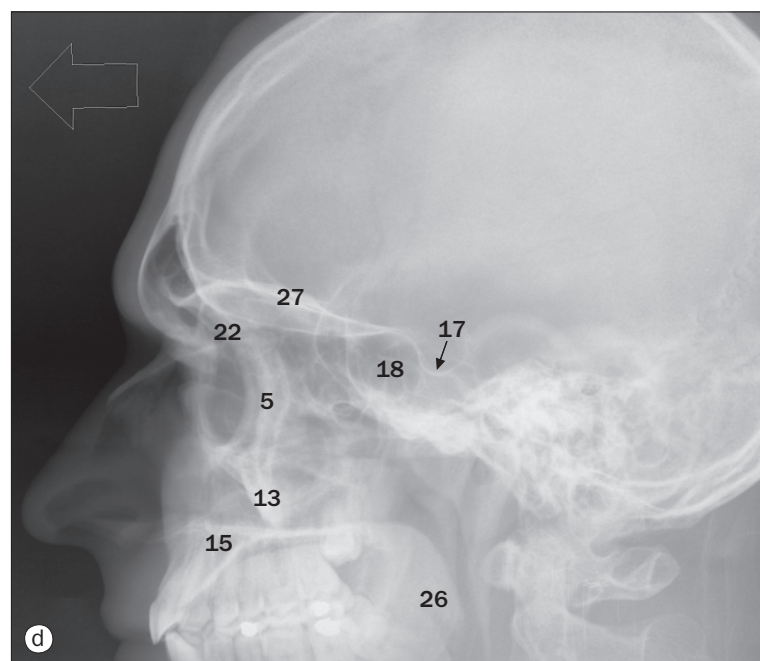
(a) Incidence occipitofrontale modifiée.



(b) Incidence occipitomentonnière.



(c) Os nasaux, incidence de profil.

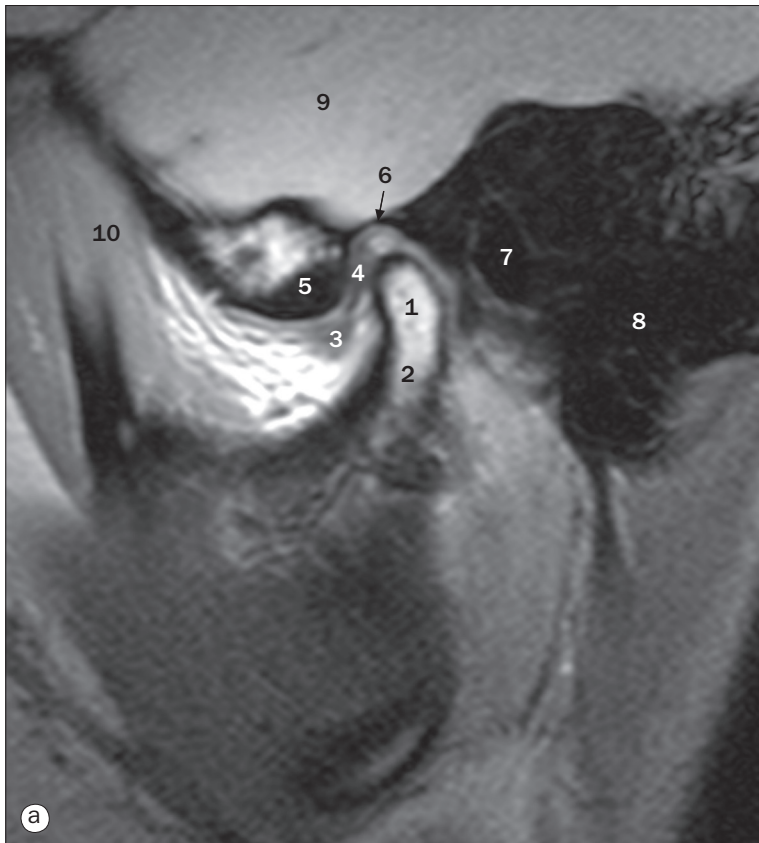


(d) Sinus, incidence de profil.

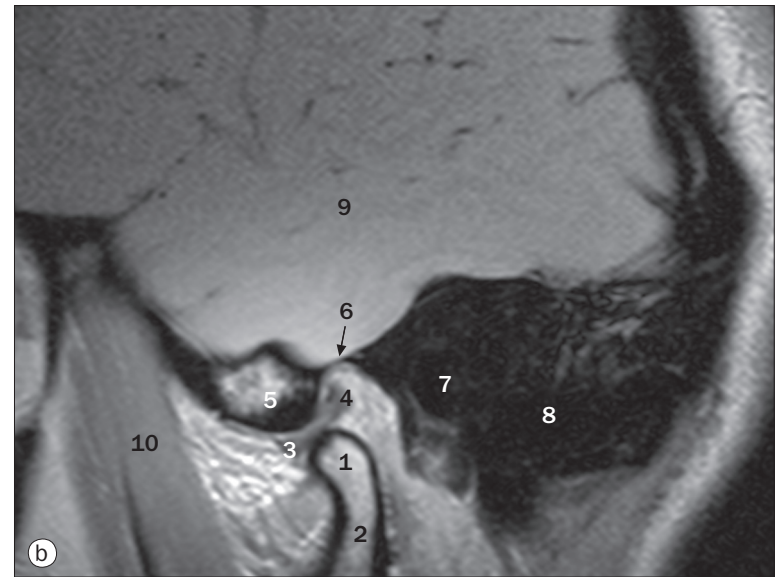
1 Paroi antérieure du sinus maxillaire
2 Processus condyloïde de la mandibule
3 Processus coronoïde de la mandibule
4 Sinus ethmoïdaux
5 Processus frontal de l'os zygomatique
6 Sinus frontaux
7 Suture frontozygomatique
8 Grande aile de l'os sphénoïde
9 Lamelle horizontale de l'os palatin
10 Foramen infraorbitaire

11 Sinus maxillaire gauche
12 Petite aile de l'os sphénoïde
13 Processus zygomatique de l'os maxillaire
14 Septum nasal
15 Processus palatin du maxillaire
16 Paroi postérieure du sinus maxillaire
17 Selle turcique
18 Sinus sphénoïdal
19 Fissure orbitaire supérieure
20 Processus temporal de l'os zygomatique

21 Arc zygomatique
22 Processus zygomatique de l'os frontal
23 Processus zygomatique de l'os temporal
24 Processus mastoïde
25 Dent de l'axe
26 Palais mou
27 Plancher de la fosse crânienne antérieure
28 Os nasaux
29 Mandibule

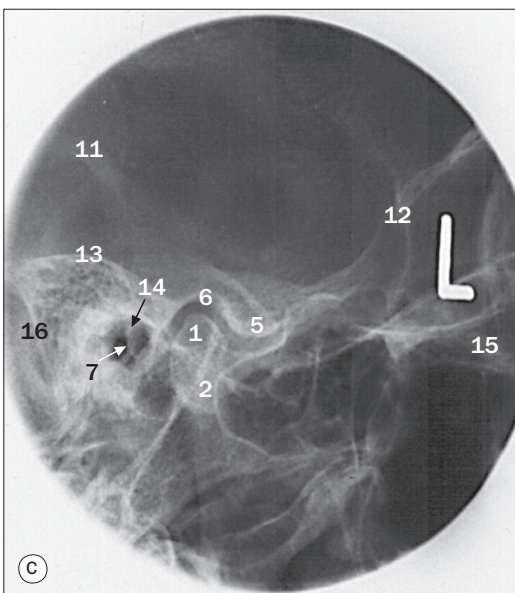


(a) Articulation temporo-mandibulaire, IRM : fermée.



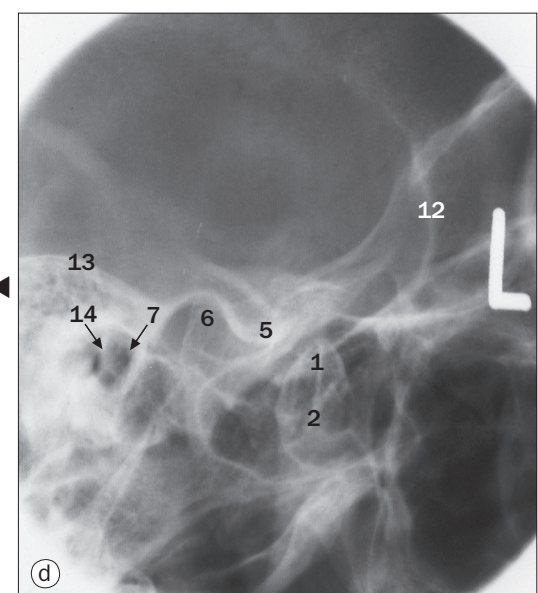
(b) Articulation temporo-mandibulaire, IRM : ouverte.

IRM de l'articulation temporo-mandibulaire, le sujet regardant vers la gauche.



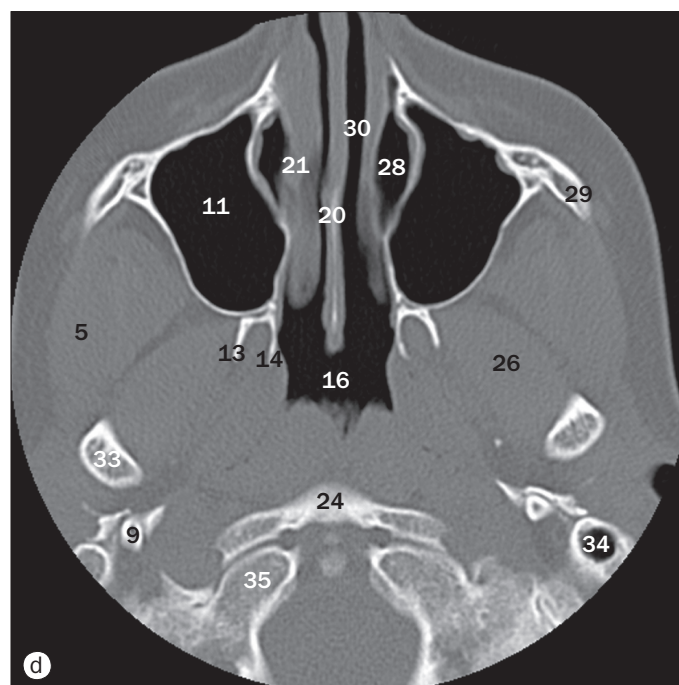
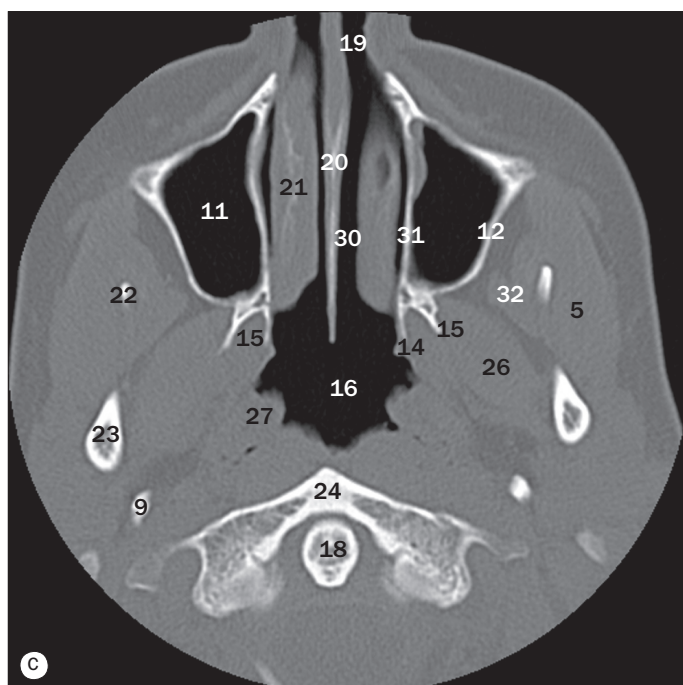
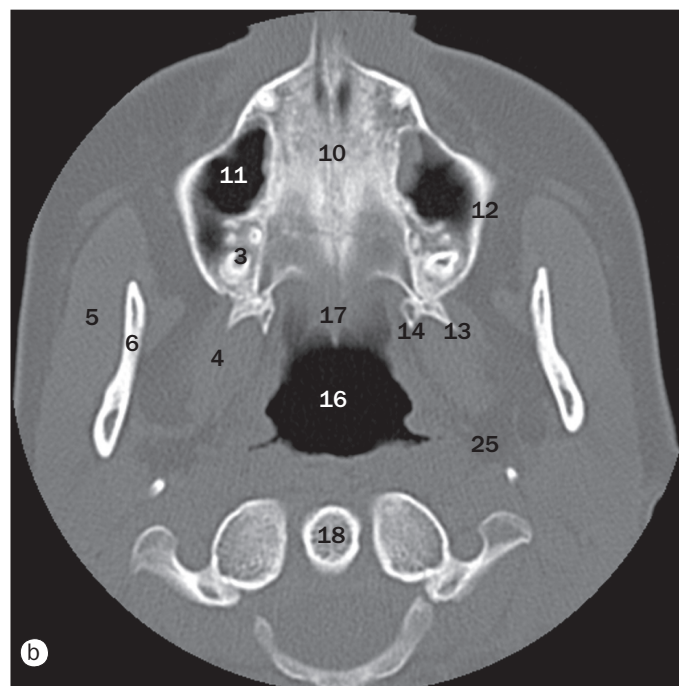
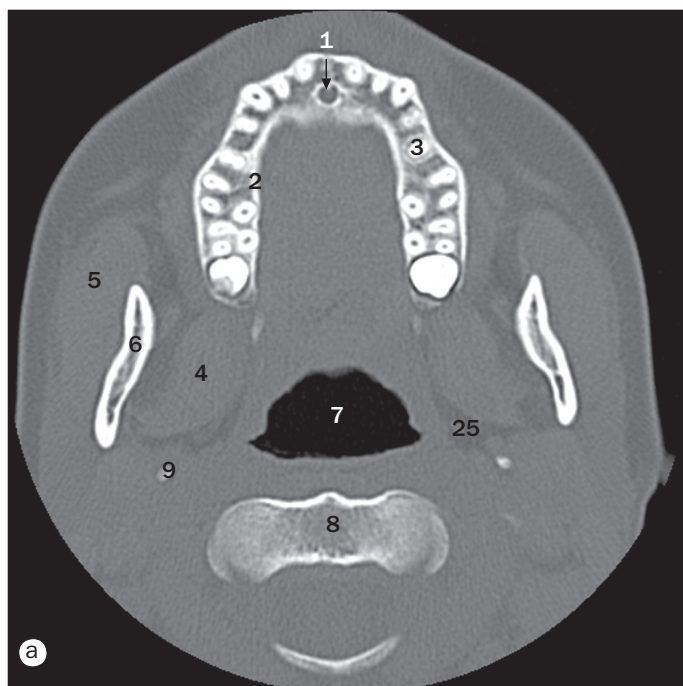
(c) Articulation temporo-mandibulaire, radiographie : fermée.

- 1 Tête de la mandibule
- 2 Col de la mandibule
- 3 Bandelette antérieure du disque articulaire
- 4 Bandelette postérieure du disque articulaire
- 5 Éminence articulaire
- 6 Fosse mandibulaire
- 7 Méat acoustique externe
- 8 Processus mastoïde de l'os temporal
- 9 Lobe temporal du cerveau
- 10 Muscle temporal
- 11 Auricule
- 12 Grande aile de l'os sphénoïde
- 13 Tegmen tympani
- 14 Malleus
- 15 Processus zygomatique de l'os temporal
- 16 Lane du sinus



(d) Articulation temporo-mandibulaire, radiographie : ouverte.

Radiographies de l'articulation temporo-mandibulaire, le sujet regardant vers la droite.

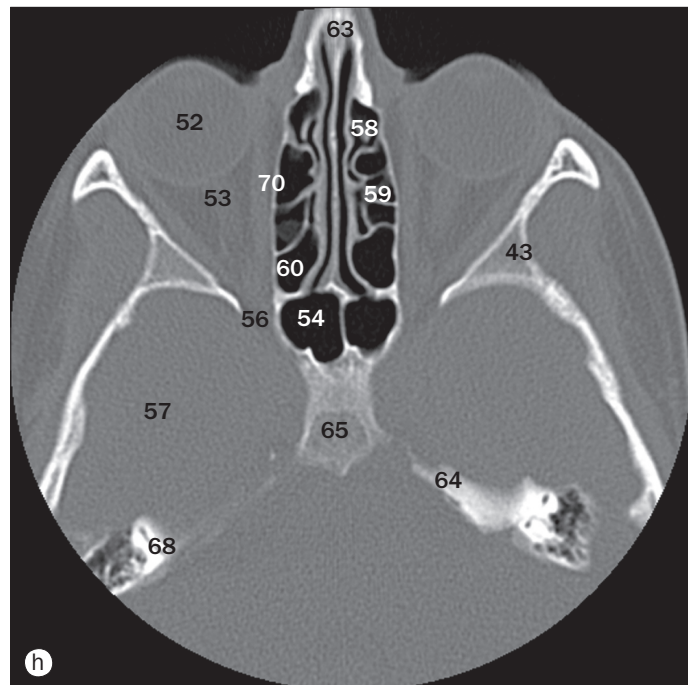
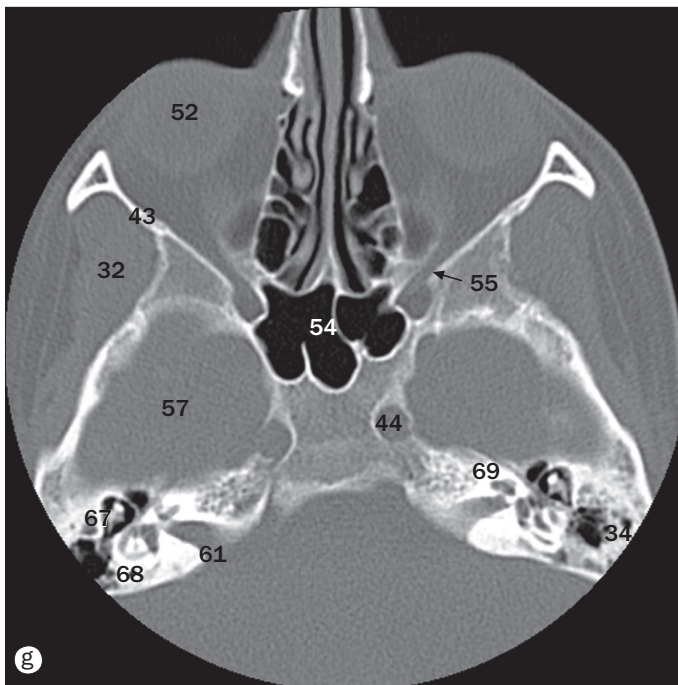
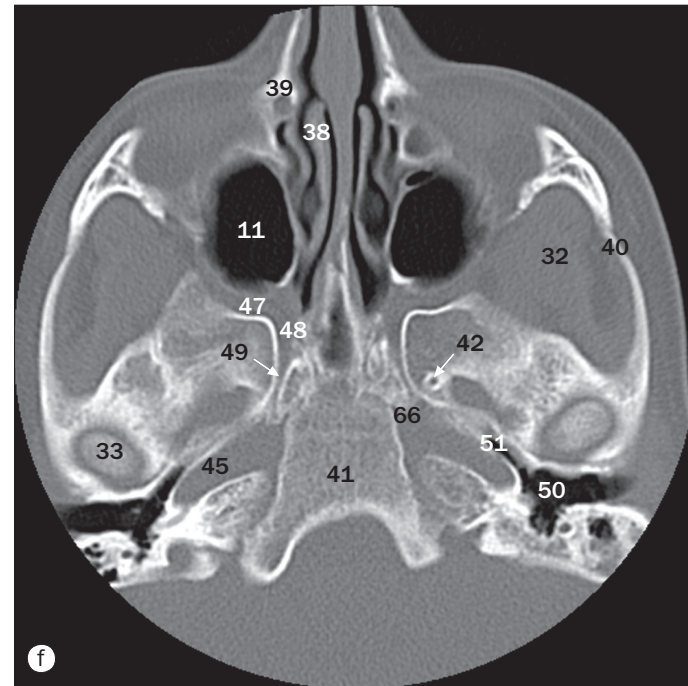
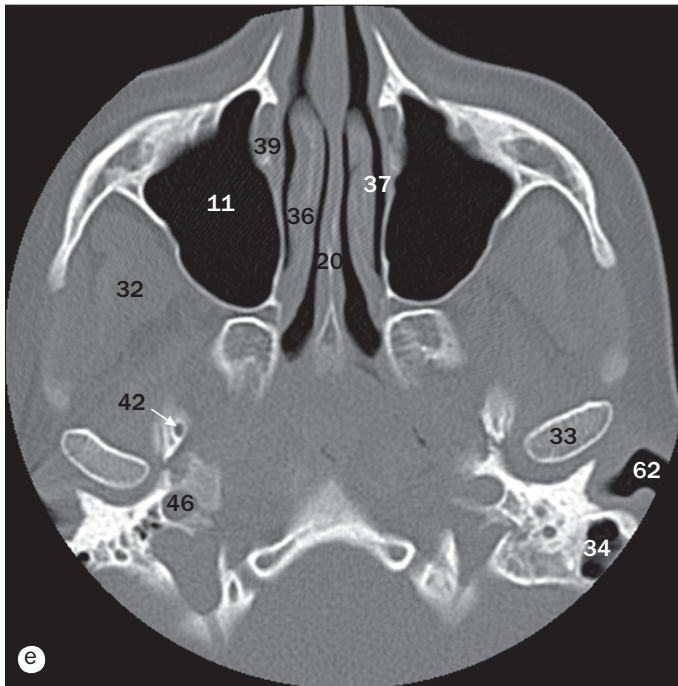


Os de la face et sinus paranasaux, TDM en coupes axiales mettant en évidence les niveaux suivants : (a) processus alvéolaire du maxillaire, (b) palais osseux (dur), (c) narines, (d) sinus maxillaire, (e) cornet nasal moyen, (f) arc zygomatique, (g) sinus sphénoïdal, (h) sinus ethmoïdal.

- 1 Canal incisif
- 2 Rebord alvéolaire
- 3 Récessus alvéolaire
- 4 Muscle ptérygoïdien médial
- 5 Muscle masséter
- 6 Branche de la mandibule
- 7 Oropharynx
- 8 Corps de C2
- 9 Processus styloïde
- 10 Palais osseux
- 11 Sinus maxillaire
- 12 Paroi latérale du sinus maxillaire
- 13 Lamelle latérale du processus ptérygoïde

- 14 Lamelle médiale du processus ptérygoïde
- 15 Fosse ptérygoïdienne
- 16 Nasopharynx
- 17 Vomer
- 18 Dent de l'axis
- 19 Narines
- 20 Septum nasal
- 21 Cornet nasal inférieur
- 22 Processus coronoïde de la mandibule
- 23 Col de la mandibule
- 24 Arc antérieur de l'atlas (1^{re} vertèbre cervicale)
- 25 Espace péripharyngien

- 26 Muscle ptérygoïdien latéral
- 27 Torus tubaire
- 28 Méat nasal inférieur (au niveau de l'ouverture lacrymonasale)
- 29 Os zygomatique
- 30 Cavité nasale
- 31 Paroi médiale du sinus maxillaire
- 32 Muscle temporal
- 33 Tête de la mandibule
- 34 Cellules mastoïdiennes
- 35 Condyle occipital
- 36 Cornet nasal moyen
- 37 Méat nasal moyen



38 Cornet nasal supérieur

39 Conduit lacrymonasal

40 Arc zygomatique

41 Clivus

42 Foramen épineux

43 Grande aile de l'os sphénoïde

44 Partie caverneuse de l'artère carotide interne

45 Partie horizontale intrapétreuse du canal de l'artère carotide interne

46 Partie verticale intrapétreuse du canal de l'artère carotide interne

47 Fosse ptérygopalatine

48 Foramen rond

49 Canal ptérygoïdien

50 Cavité tympanique

51 Trompe auditive

52 Globe oculaire

53 Nerf optique

54 Sinus sphénoïdal

55 Fissure orbitaire inférieure

56 Fissure orbitaire supérieure

57 Lobe temporal

58 Cellules ethmoïdales antérieures

59 Cellules ethmoïdales moyennes

60 Cellules ethmoïdales postérieures

61 Méat acoustique interne

62 Méat acoustique externe

63 Os nasal

64 Apex de la partie pétreuse

65 Plancher de la fosse hypophysaire (pituitaire) (selle turcique)

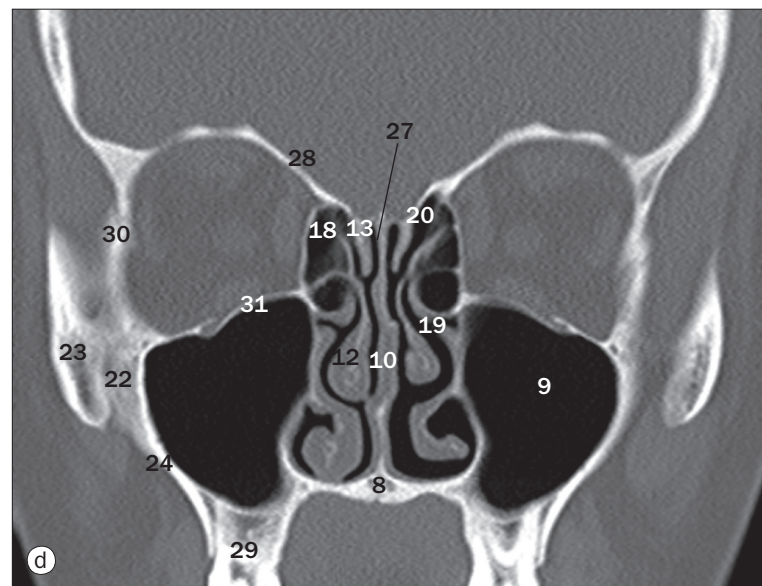
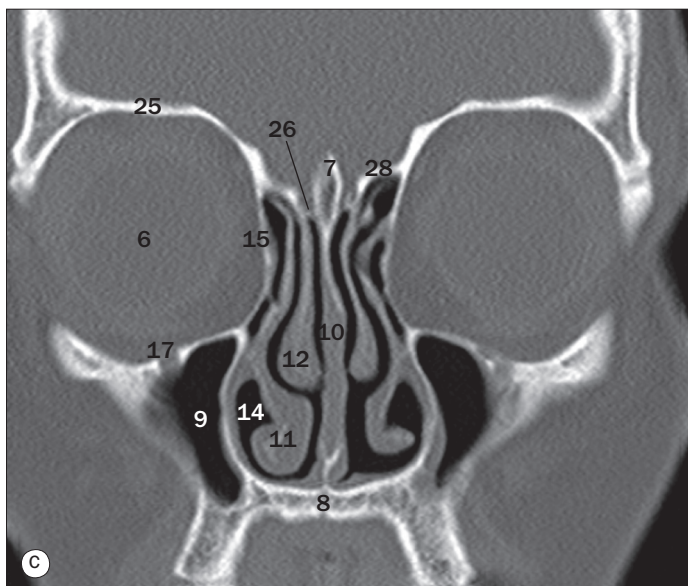
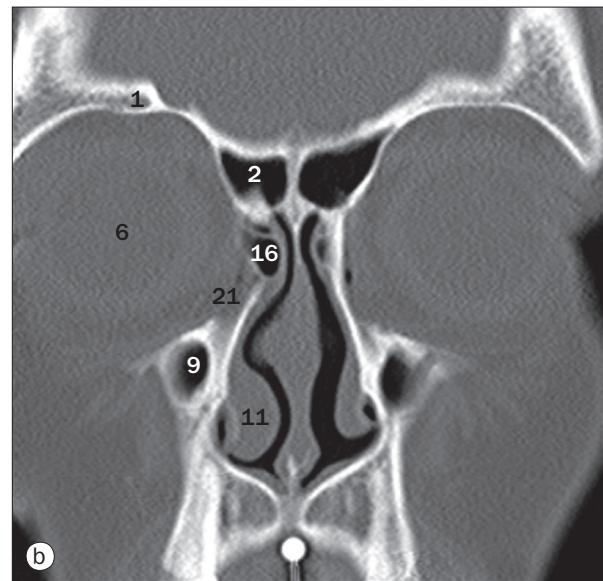
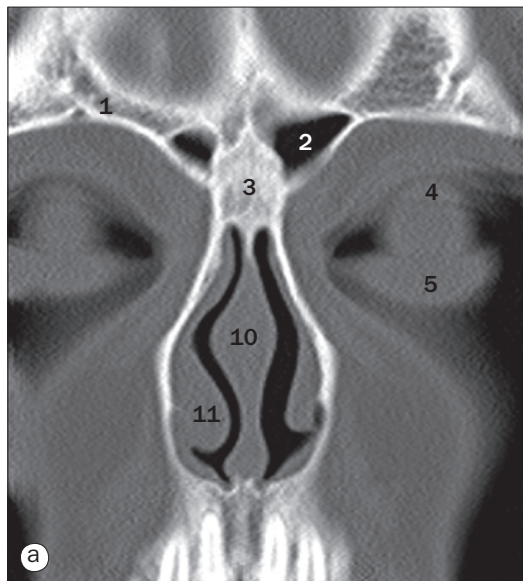
66 Foramen lacerum

67 Osselets de l'oreille moyenne (incus et malleus)

68 Canaux semicirculaires de l'oreille interne

69 Cochlée de l'oreille interne

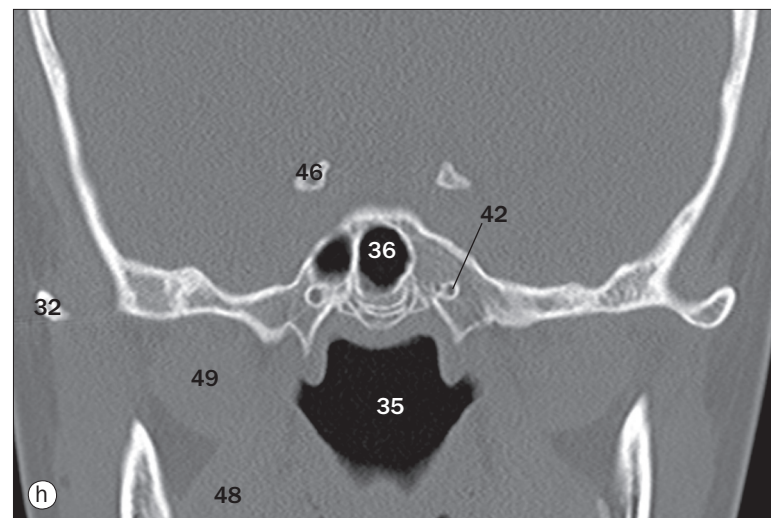
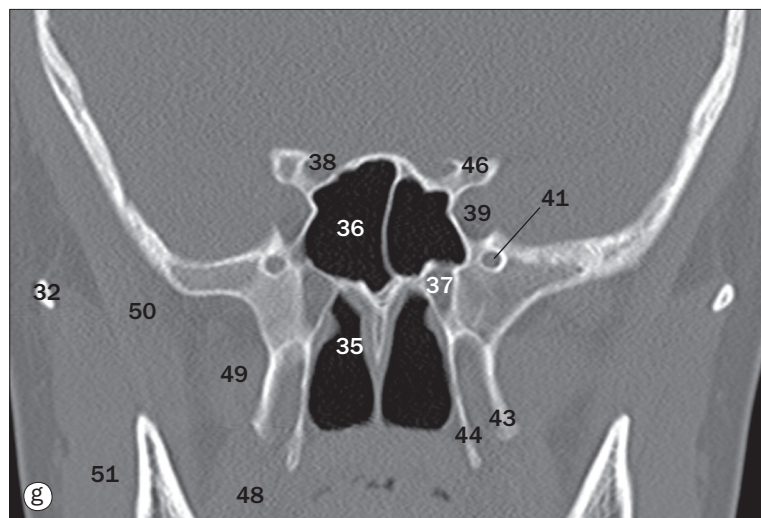
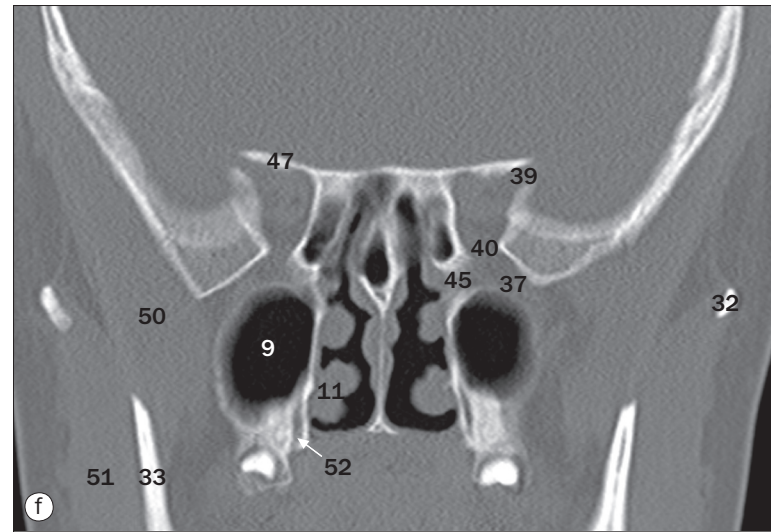
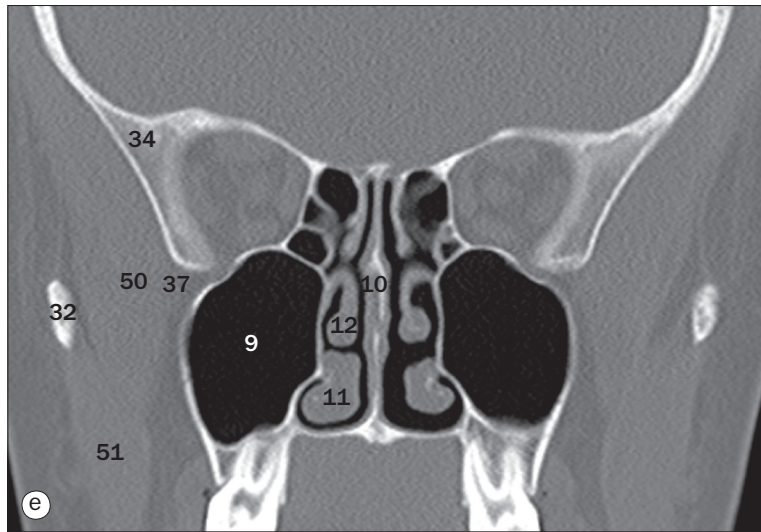
70 Lamelle orbitaire (papyracée)



Sinus paranasaux, TDM en coupes coronales mettant en évidence les niveaux suivants : (a) sinus frontaux, (b) conduit lacrymonasal, (c) lame criblée, (d) cellules ethmoïdales antérieures, (e) cellules ethmoïdales moyennes, (f) fosse ptérygopalatine, (g) sinus sphénoïdal, (h) nasopharynx.

- 1 Os frontal
- 2 Sinus frontal
- 3 Os nasal
- 4 Paupière supérieure
- 5 Paupière inférieure
- 6 Globe oculaire
- 7 Crista galli
- 8 Palais osseux
- 9 Sinus maxillaire
- 10 Septum nasal

- 11 Cornet nasal inférieur
- 12 Cornet nasal moyen
- 13 Cornet nasal supérieur
- 14 Méat nasal inférieur
- 15 Lame orbitaire
- 16 Air dans le sac lacrymonasal
- 17 Canal infraorbitaire
- 18 Cellules ethmoïdales antérieures
- 19 Méat nasal moyen
- 20 Méat nasal supérieur



Sinus paranasaux, TDM en coupes coronales mettant en évidence les niveaux suivants : (a) sinus frontaux, (b) conduit lacrymonasal, (c) lame criblée, (d) cellules ethmoïdales antérieures, (e) cellules ethmoïdales moyennes, (f) fosse ptérygopalatine, (g) sinus sphénoïdal, (h) nasopharynx.

21 Conduit lacrymonasal

22 Maxillaire

23 Os zygomatique

24 Paroi latérale du sinus maxillaire

25 Toit de l'orbite, os frontal

26 Lame criblée de l'os ethmoïde

27 Lame perpendiculaire de l'os ethmoïde

28 Incisure ethmoïdale de l'os frontal

29 Processus alvéolaire

30 Paroi orbitaire latérale, os zygomatique

31 Plancher orbitaire, os maxillaire

32 Arc zygomatique

33 Branche de la mandibule

34 Grande aile de l'os sphénoïde

35 Nasopharynx

36 Sinus sphénoïdal

37 Fosse ptérygopalatine

38 Canal optique

39 Fissure orbitaire supérieure

40 Fissure orbitaire inférieure

41 Foramen rond

42 Canal ptérygoïdien

43 Lame latérale du processus ptérygoïde

44 Lame médiale du processus ptérygoïde

45 Foramen sphénopalatin

46 Processus clinéoïde antérieur

47 Petite aile de l'os sphénoïde

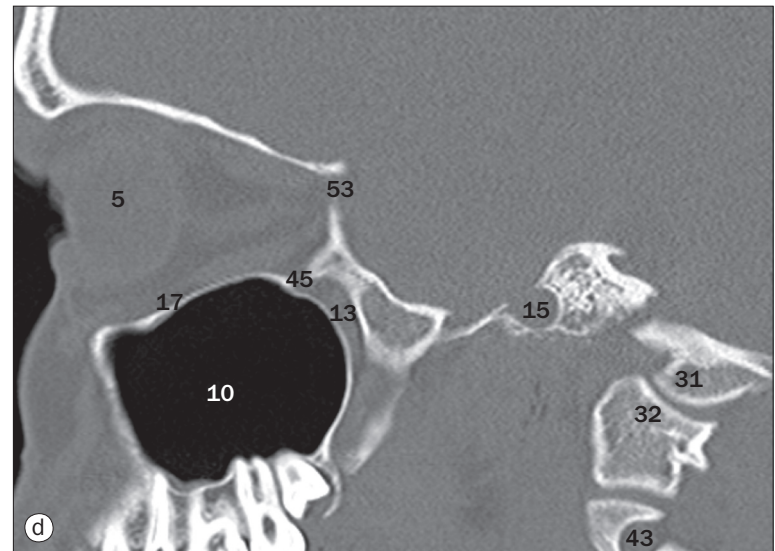
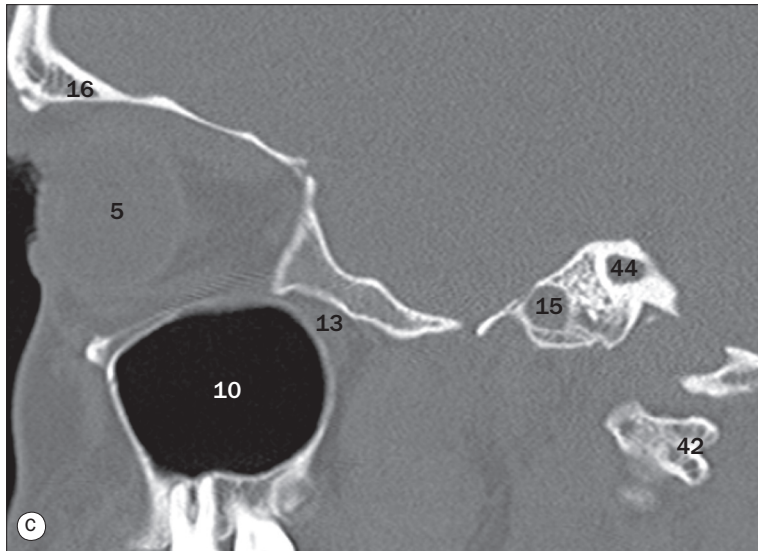
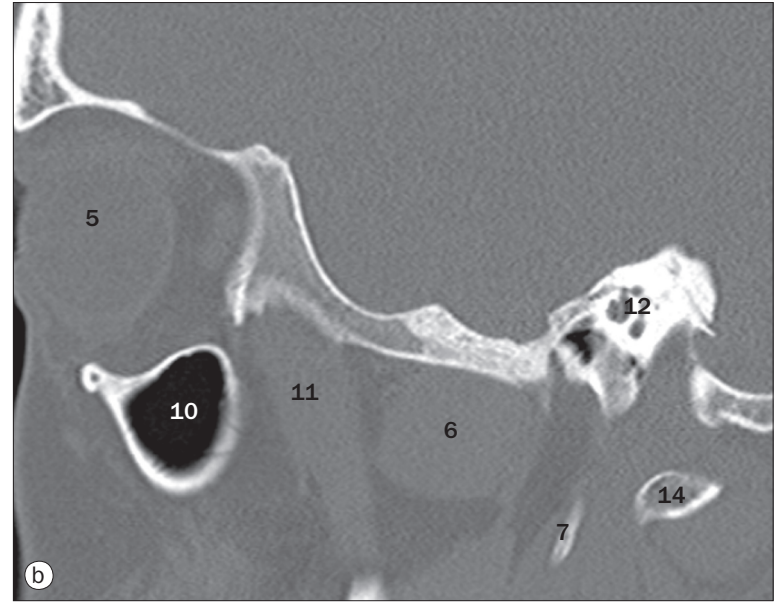
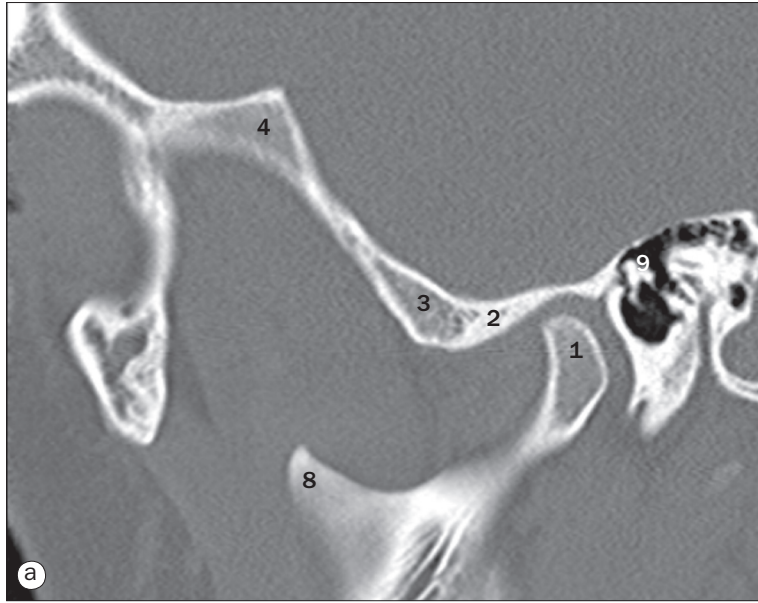
48 Muscle ptérygoïdien médial

49 Muscle ptérygoïdien latéral

50 Muscle temporal

51 Muscle masséter

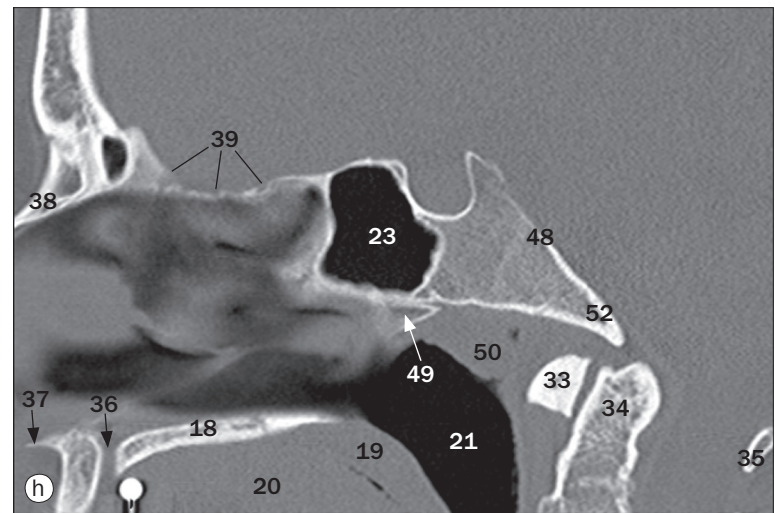
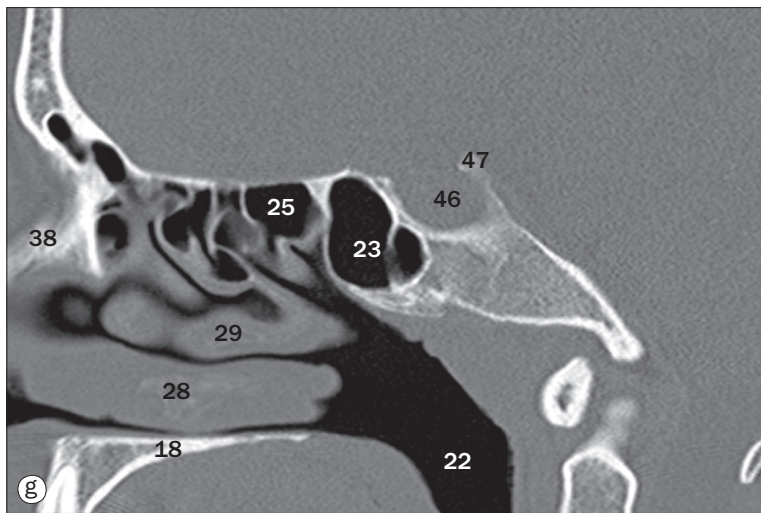
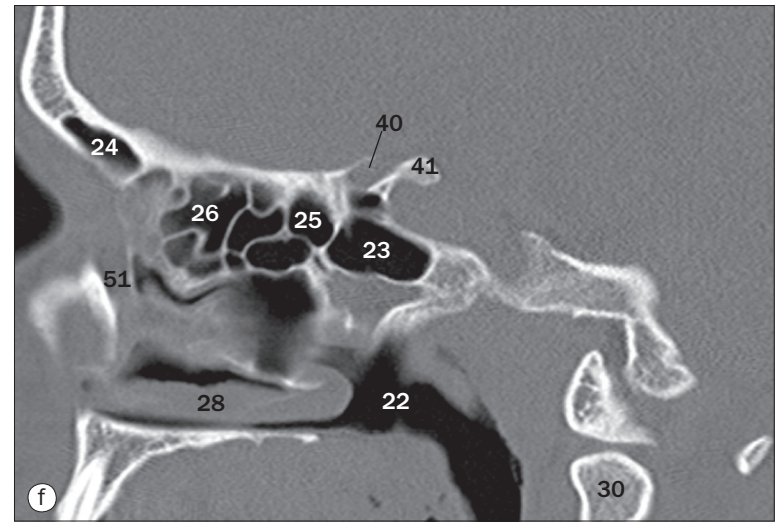
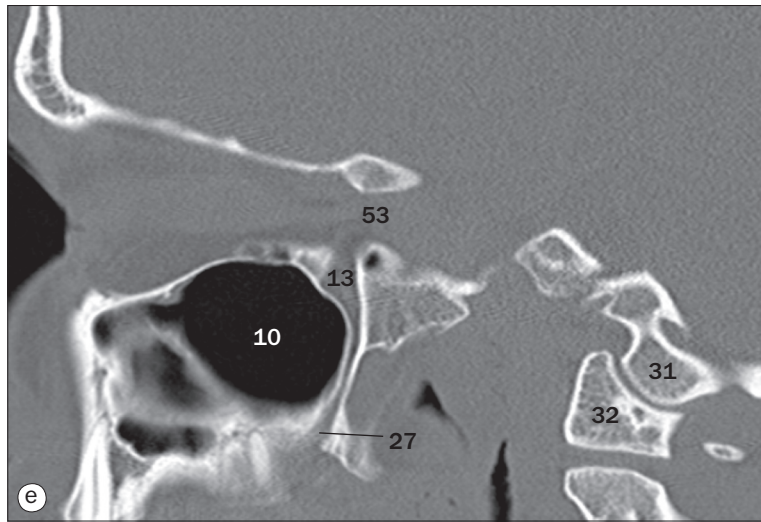
52 Foramen grand palatin



(a)–(h) Sinus paranasaux, TDM en coupes sagittales, de latéral en médial.

- 1 Processus condyloïde de la mandibule
- 2 Éminence articulaire
- 3 Arc zygomatique
- 4 Os zygomatique
- 5 Globe oculaire
- 6 Muscle ptérygoïdien latéral
- 7 Processus styloïde
- 8 Processus coronoïde de la mandibule
- 9 Oreille moyenne
- 10 Sinus maxillaire
- 11 Muscle masséter
- 12 Oreille interne
- 13 Fosse ptérygopalatine
- 14 Processus transverse de C1

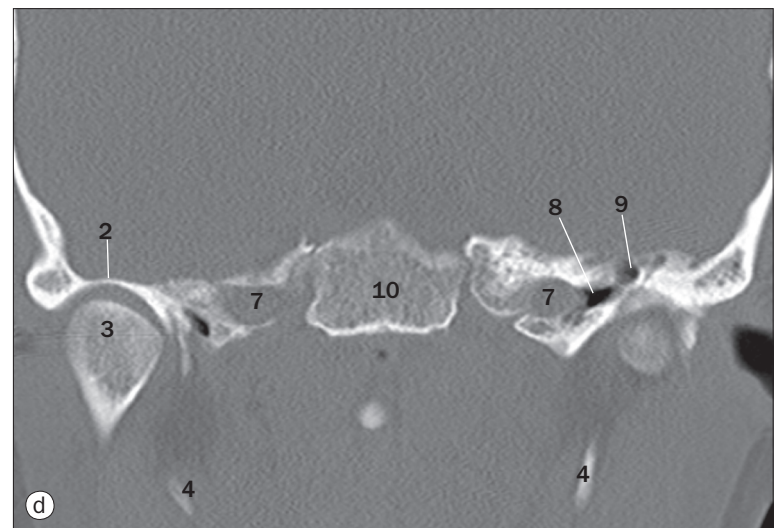
- 15 Partie horizontale intrapétreuse du canal de l'artère carotide interne
- 16 Os frontal, toit de l'orbite
- 17 Os maxillaire, plancher de l'orbite
- 18 Palais osseux
- 19 Palais mou
- 20 Langue
- 21 Oropharynx
- 22 Nasopharynx
- 23 Sinus sphénoïdal
- 24 Sinus frontal
- 25 Cellules ethmoïdales postérieures
- 26 Cellules ethmoïdales antérieures
- 27 Foramen grand palatin
- 28 Cornet nasal inférieur



(a)–(h) Sinus paranasaux, TDM en coupes sagittales, de latéral en médial.

29 Cornet nasal moyen
 30 Base de C2
 31 Condyle occipital
 32 Masse latérale de C1
 33 Arc antérieur de C1
 34 Dent de l'axis
 35 Arc postérieur de C1
 36 Foramen incisif (contient le nerf nasopalatin – rameau sensitif du V₂)
 37 Épine nasale antérieure du maxillaire
 38 Os nasal
 39 Lame criblée
 40 Canal optique

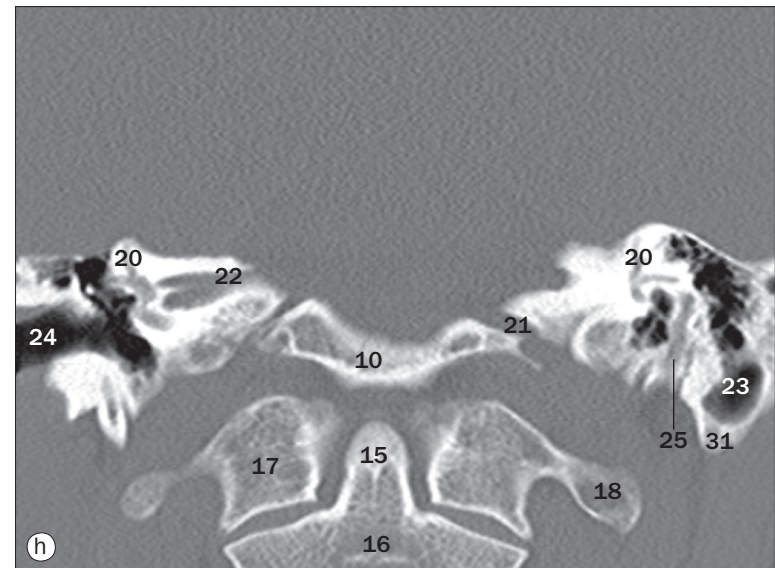
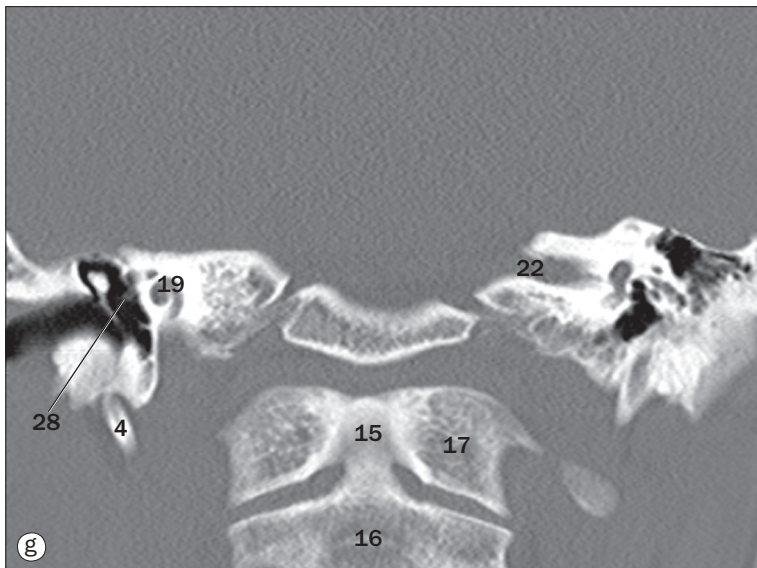
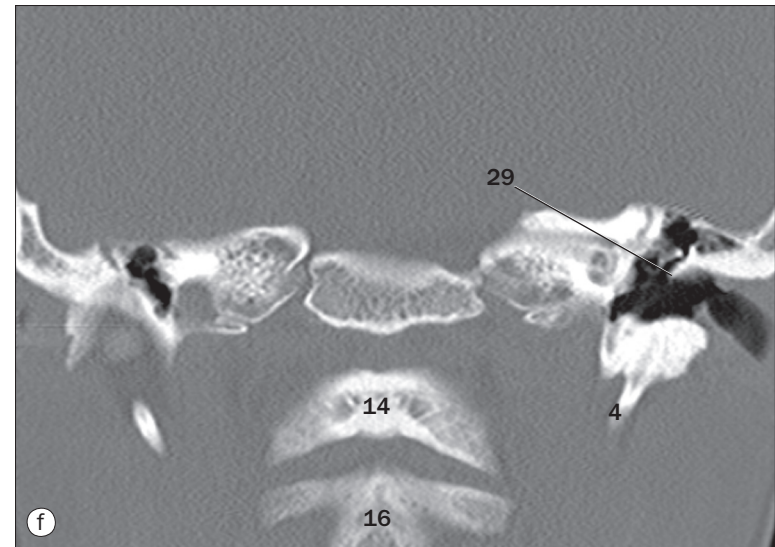
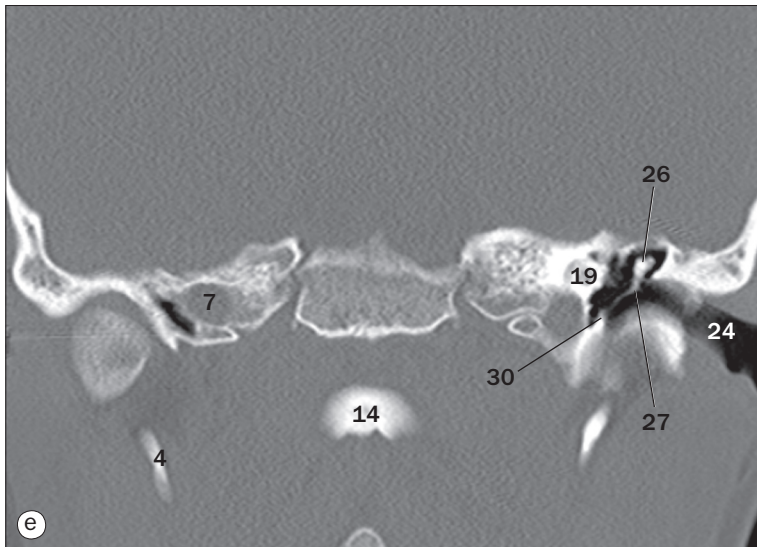
41 Processus clinoïde antérieur
 42 Tubercules du processus transverse de C1
 43 Foramen transversaire de C2
 44 Méat acoustique interne
 45 Fissure orbitaire inférieure
 46 Fosse hypophysaire
 47 Dos de la selle
 48 Clivus
 49 Vomer
 50 Tonsille pharyngienne
 51 Conduit lacrymonasal
 52 Basion
 53 Fissure orbitaire supérieure



(a)–(h) TDM en coupes coronales, d'antérieur à postérieur.

- 1 Corps de l'os sphénoïde
- 2 Fosse condyloïde de l'articulation temporo-mandibulaire
- 3 Tête de la mandibule
- 4 Processus styloïde
- 5 Arc zygomatique
- 6 Branche de la mandibule
- 7 Partie horizontale intrapétreuseuse du canal de l'artère carotide interne
- 8 Hypotympanum

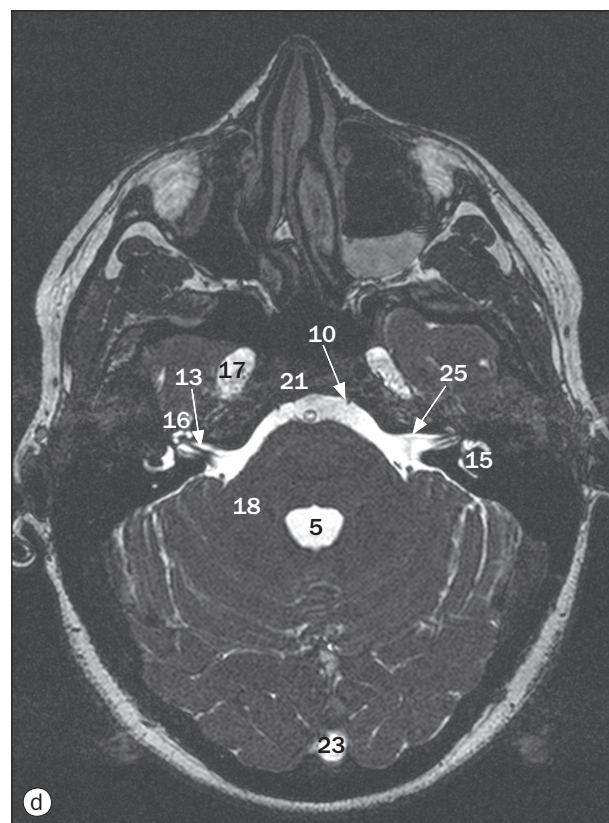
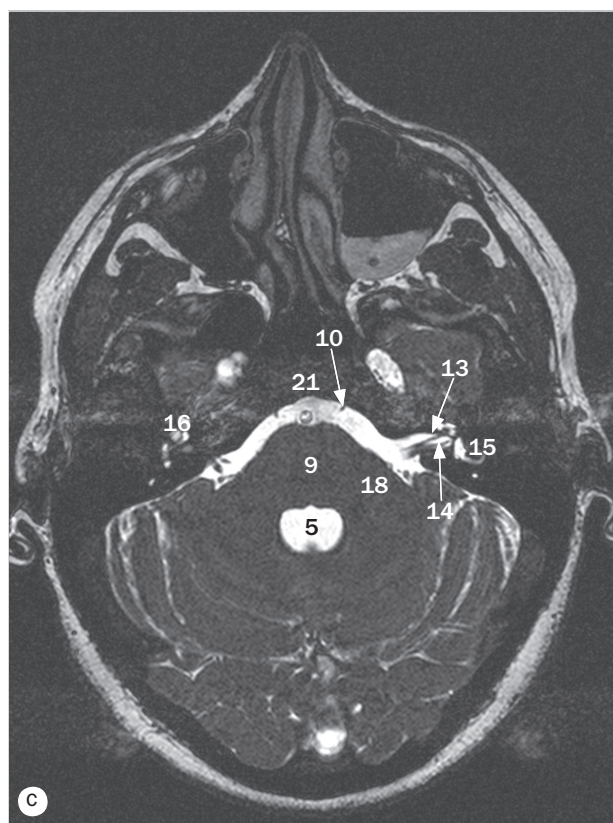
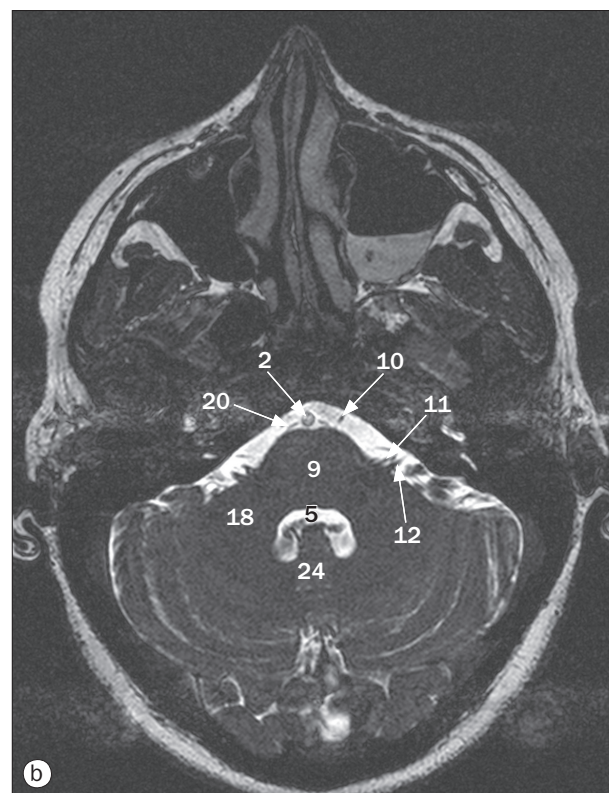
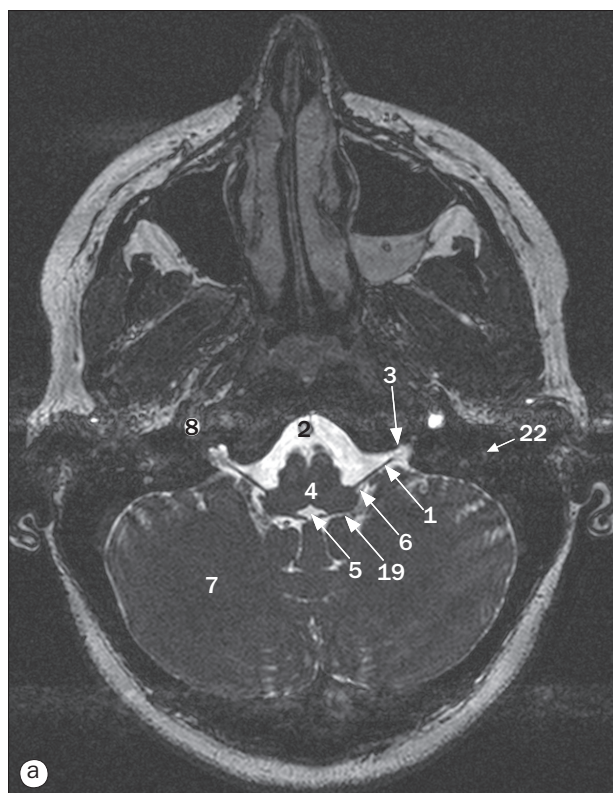
- 9 Épitympanum
- 10 Basi-occipital (clivus inférieur)
- 11 Dos de la selle
- 12 Foramen lacerum
- 13 Niveau de la partie verticale de l'artère carotide interne
- 14 Arc antérieur de C1
- 15 Dent de l'axis
- 16 Corps de C2



(a)–(h) TDM en coupes coronales, d'antérieur à postérieur.

17 Processus transverse de C1
18 Masse latérale de C1
19 Cochlée
20 Canal semicirculaire
21 Foramen jugulaire
22 Méat acoustique interne
23 Cellules mastoïdiennes
24 Méat acoustique externe

25 Foramen stylomastoïdien (niveau du segment mastoïdien du nerf crânien VII)
26 Incus
27 Malleus
28 Tendon du muscle tenseur du tympan
29 Éperon (scutum)
30 Anneau tympanique
31 Processus mastoïde



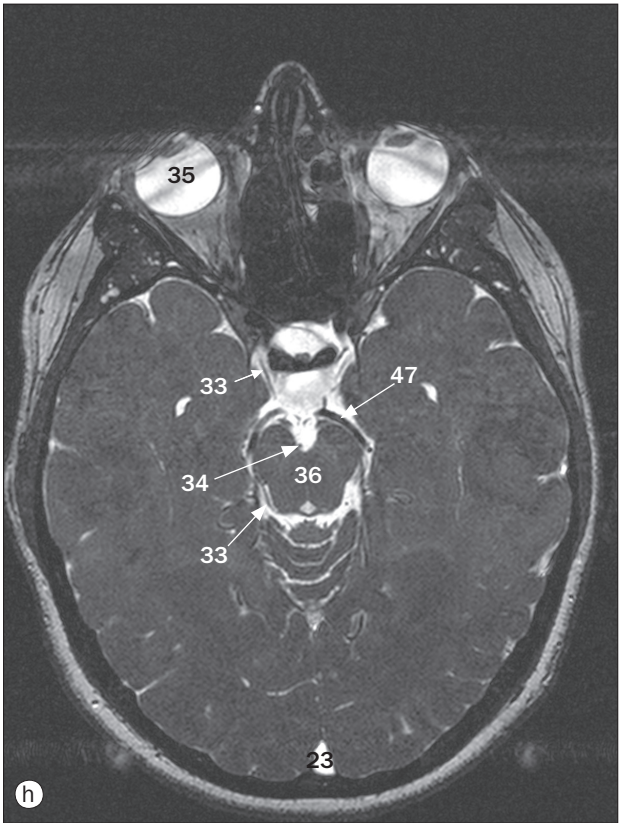
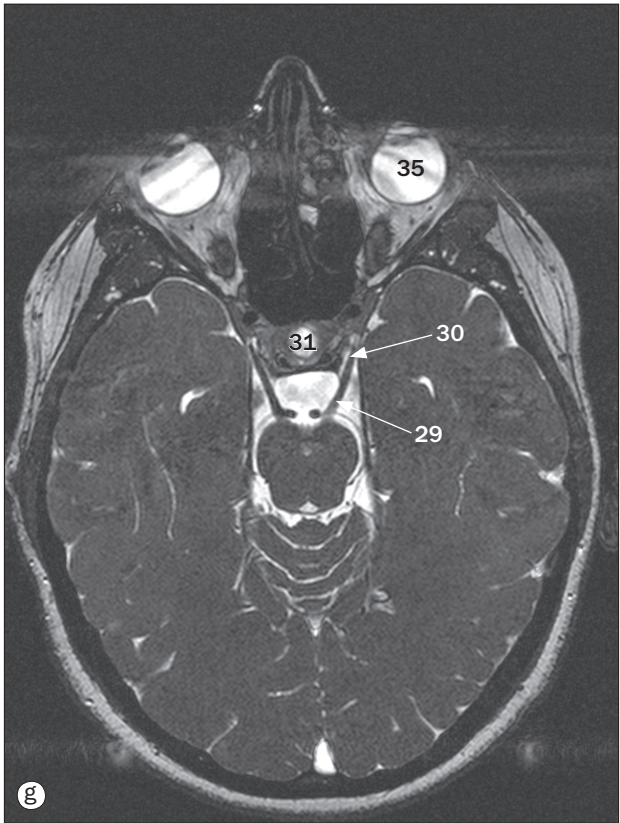
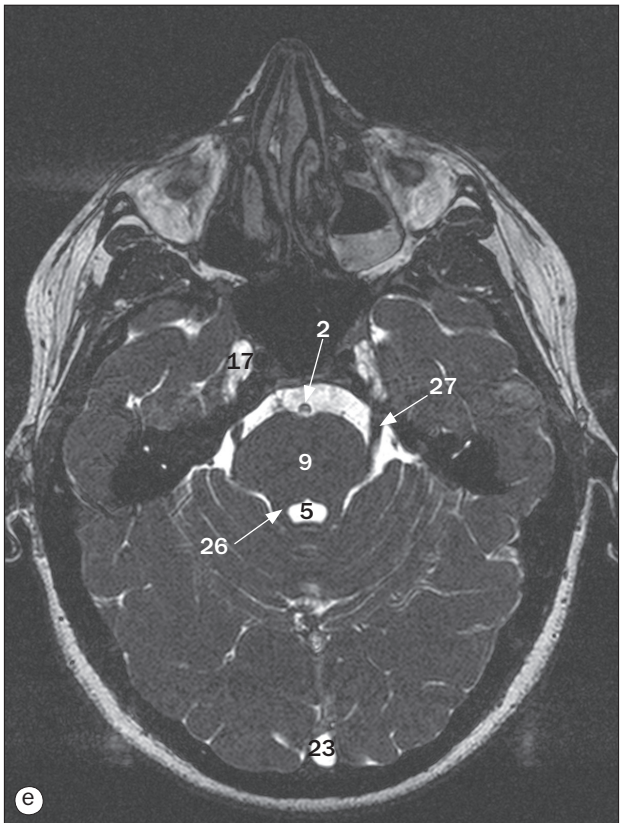
(a)–(h) IRM en coupes axiales, d'inférieur à supérieur.

1 Nerf glossopharyngien (IX)
2 Artère basilaire
3 Foramen jugulaire
4 Moelle

5 Quatrième ventricule
6 Nerf vague (X)
7 Hémisphère du cervelet
8 Artère carotide interne

9 Pont
10 Nerf abducens (VI)
11 Nerf facial (VII)
12 Nerf vestibulocochléaire (VIII)

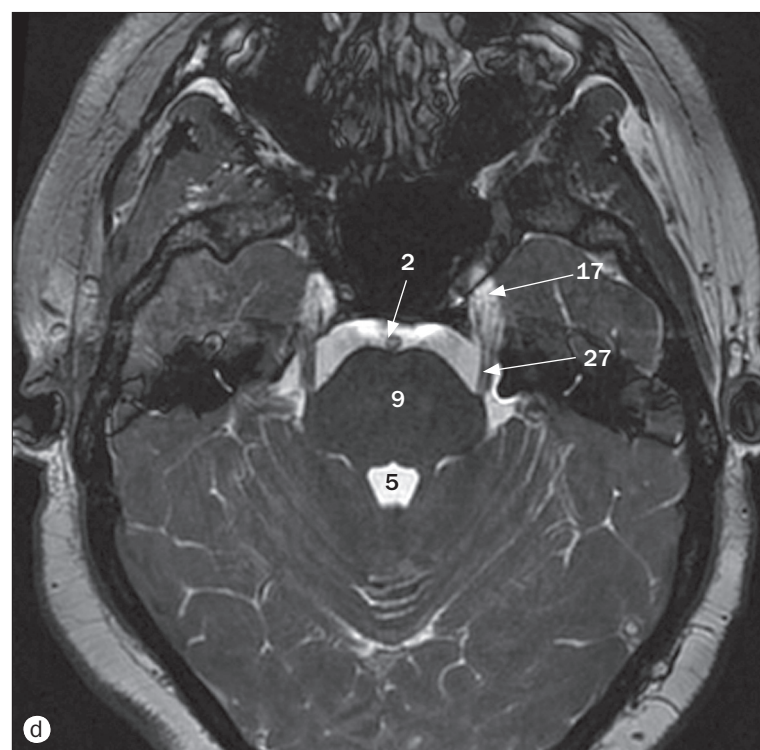
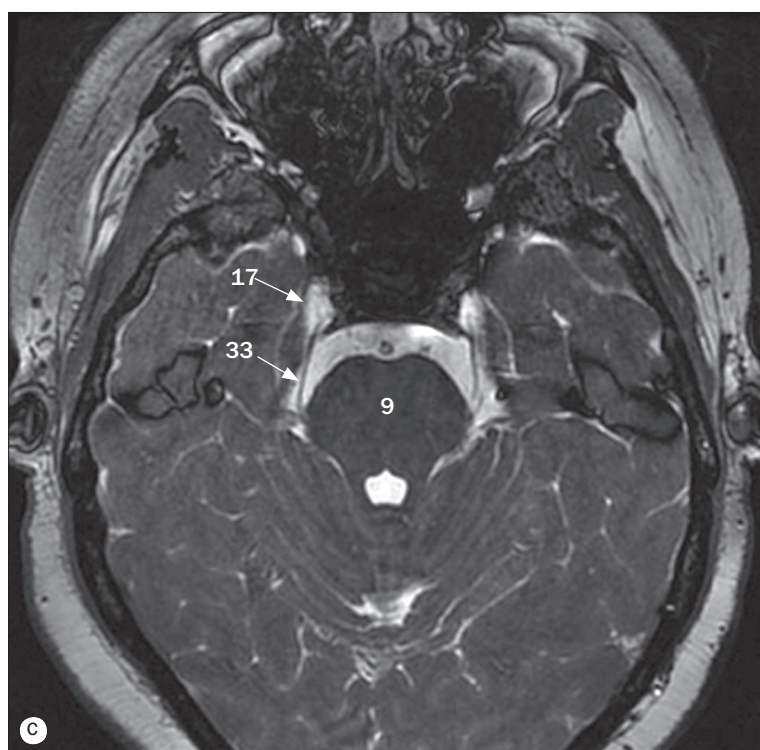
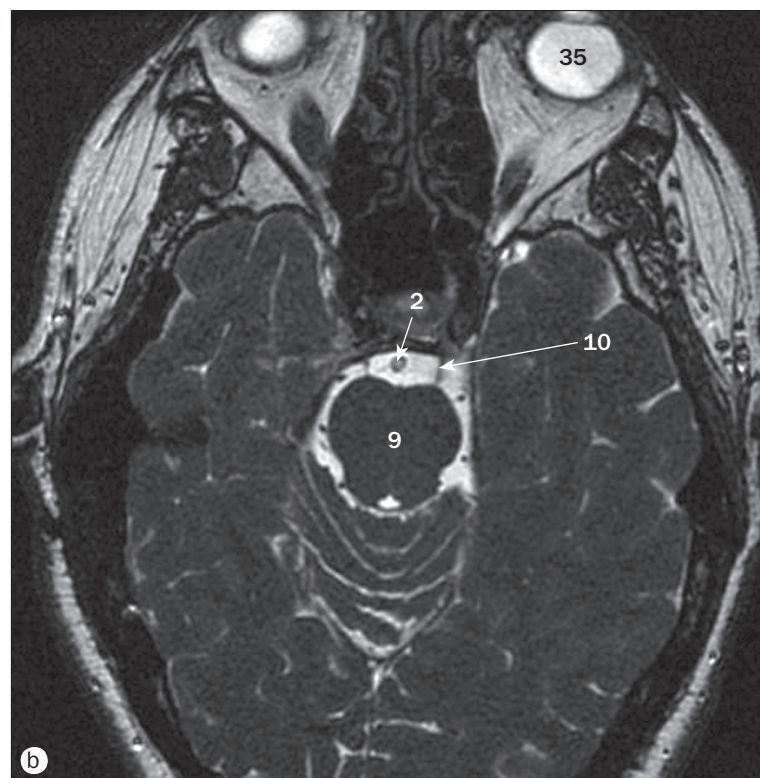
Les légendes des pages 16–19 sont communes aux 4 pages.



(a)–(h) IRM en coupes axiales, d’inférieur à supérieur.

- | | | |
|----------------------------|---|--|
| 13 Nerf cochléaire | 17 Cavité trigéminal (cavum de Meckel) | 21 Clivus |
| 14 Nerf vestibulaire | 18 Pédoncule cérébelleux moyen | 22 Nerf facial dans le foramen stylomastoïdien |
| 15 Canaux semi-circulaires | 19 Ouverture latérale du quatrième ventricule (foramen de Lushka) | 23 Sinus sagittal supérieur |
| 16 Cochlée | 20 Artère cérébelleuse antérieure et inférieure | 24 Vermis |

Les légendes des pages 16–19 sont communes aux 4 pages.

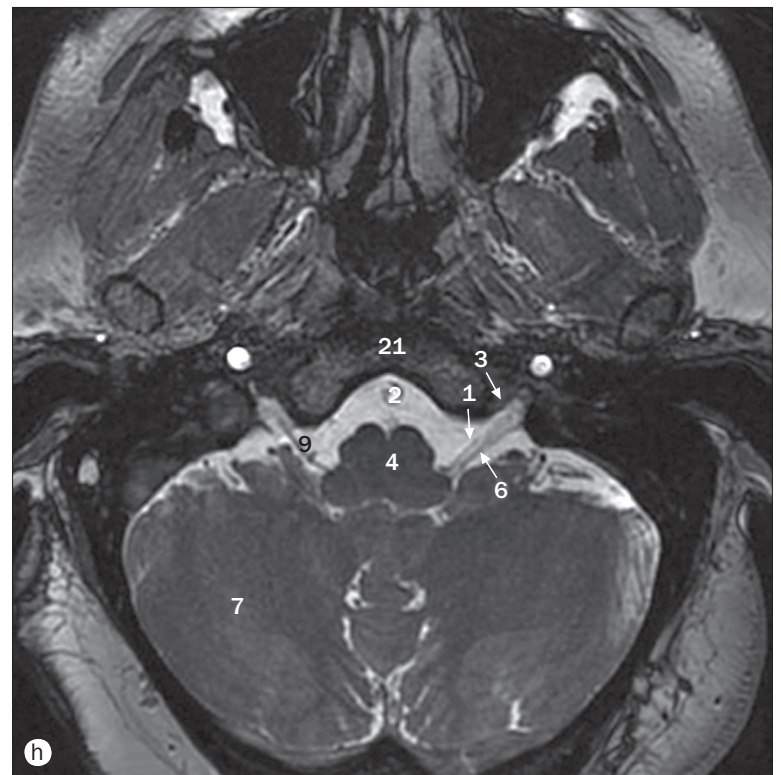
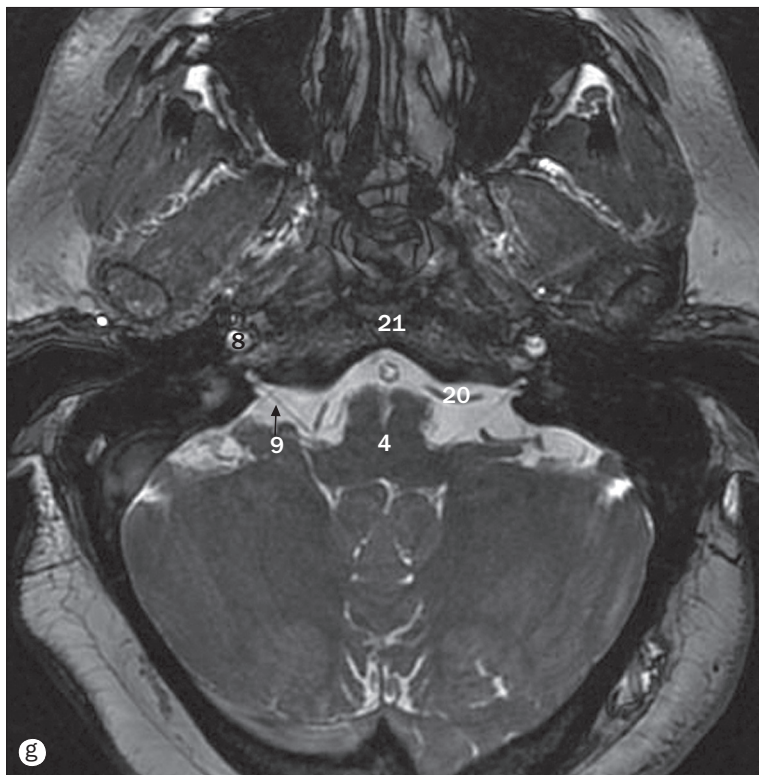
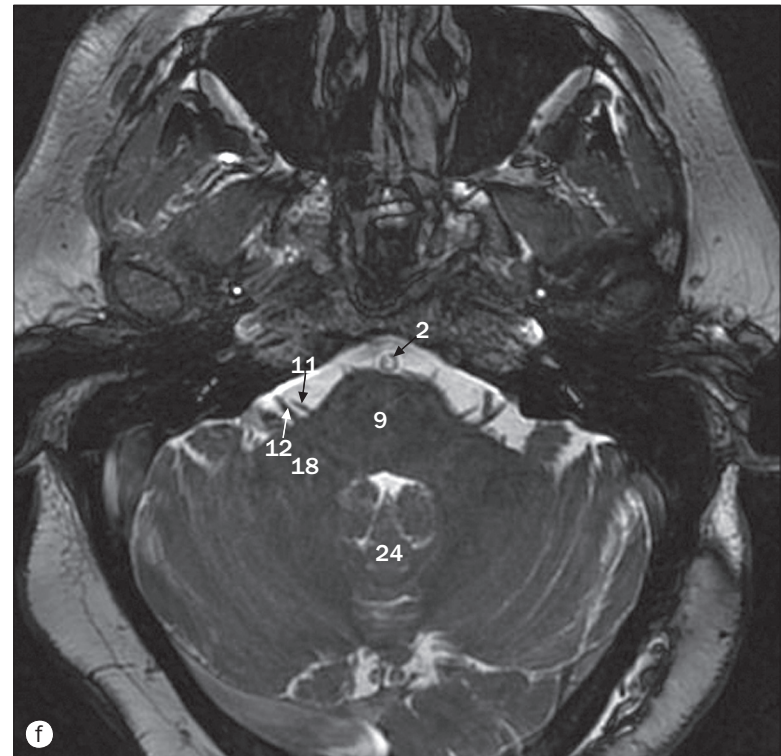
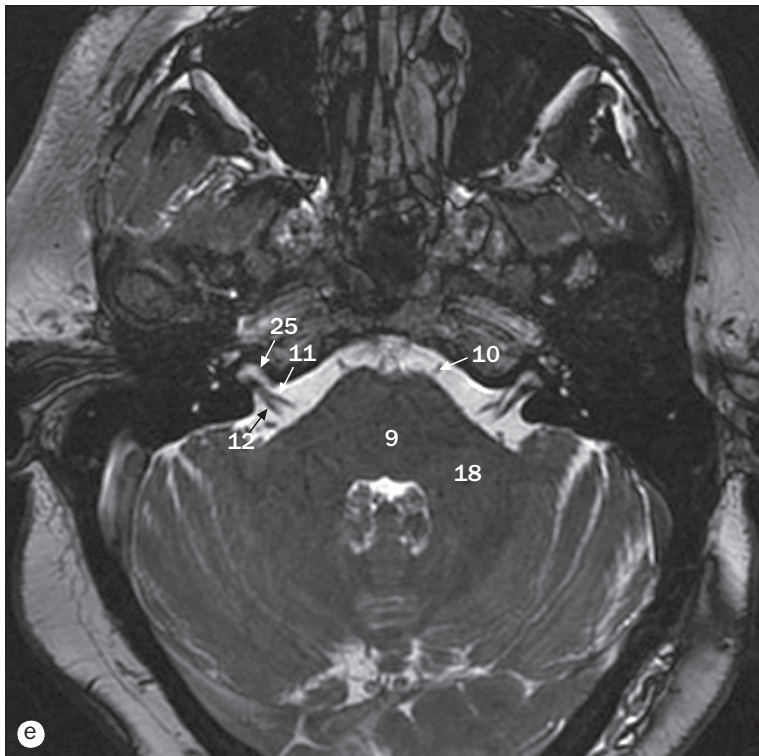


Nerfs crâniens, IRM des (a) nerfs olfactif et optique, (b) nerf oculomoteur, (c) nerf trochléaire, (d) nerf trijumeau, (e) et (f) nerfs abducens, facial et auditif, (g) nerf glossopharyngien, (h) nerf hypoglosse.

25 Méat acoustique interne
26 Pédoncule cérébelleux supérieur
27 Segment préganglionnaire du nerf trijumeau (V)
28 Nerf crânien V à son entrée dans la cavité trigéminal
29 Nerf oculomoteur (III)
30 Nerf crânien III dans la citerne oculomotrice

31 Hypophyse (glande pituitaire)
32 Citerne ambiante
33 Nerf trochléaire (IV)
34 Citerne interpédonculaire
35 Globe oculaire
36 Mésencéphale

Les légendes des pages 16–19 sont communes aux 4 pages.

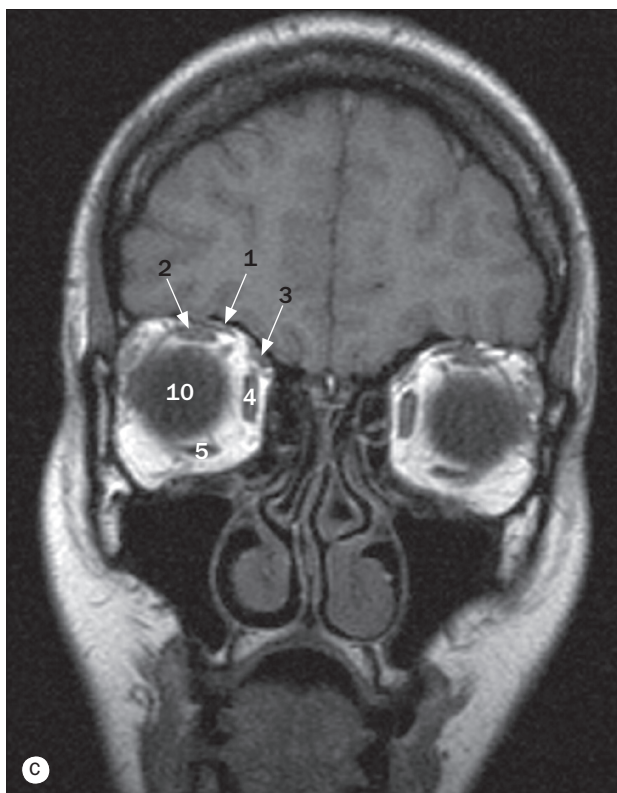
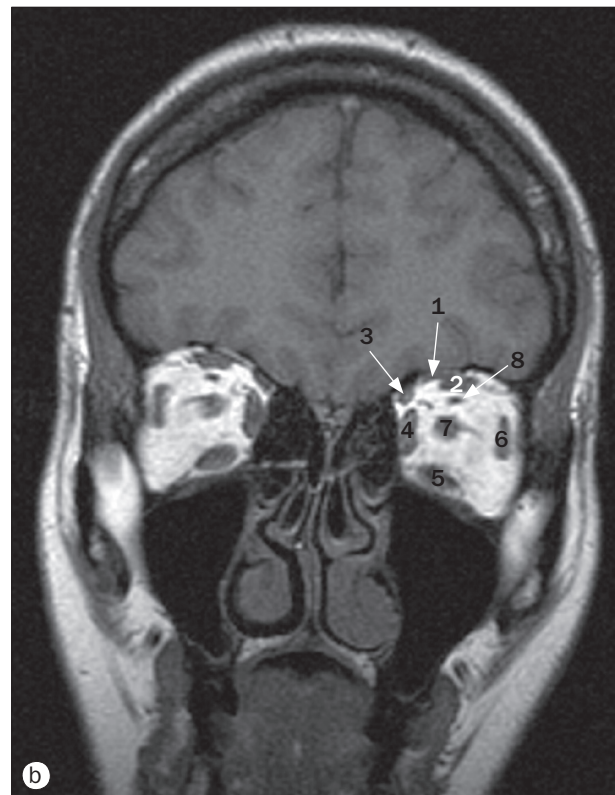
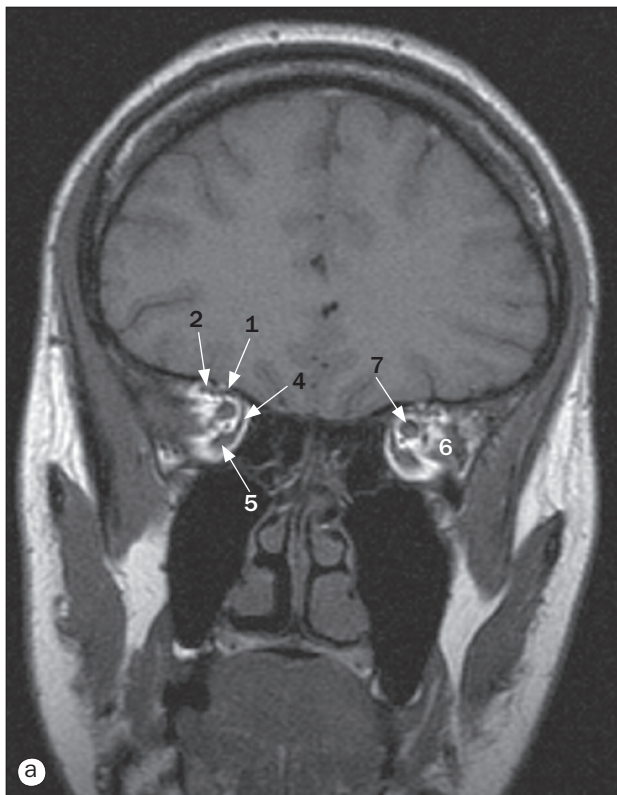


Nerfs crâniens, IRM des (a) nerfs olfactif et optique, (b) nerf oculomoteur, (c) nerf trochléaire, (d) nerf trijumeau, (e) et (f) nerfs abducens, facial et auditif, (g) nerf glossopharyngien, (h) nerf hypoglosse.

37 Corps mamillaire
38 Infundibulum
39 Chiasma optique
40 Nerf optique, segment intracrânien
41 Nerf optique, segment intraorbitaire
42 Nerf optique, segment intracanaliculaire

43 Noyau rouge du mésencéphale
44 Substantia nigra
45 Pédoncule cérébral
46 Tractus et bulbe olfactifs (nerf crânien I)
47 Artère cérébrale postérieure

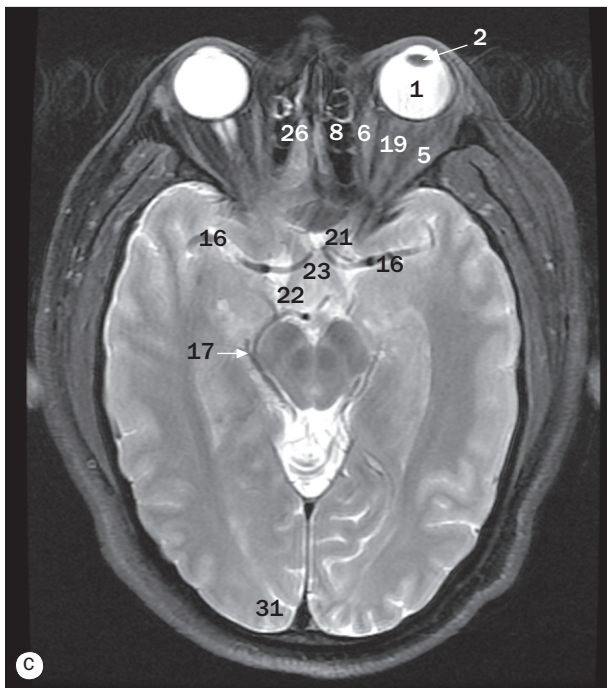
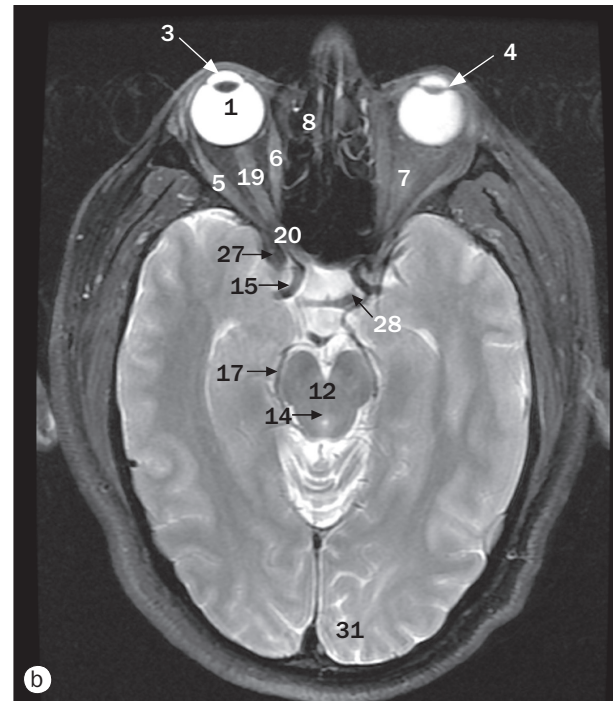
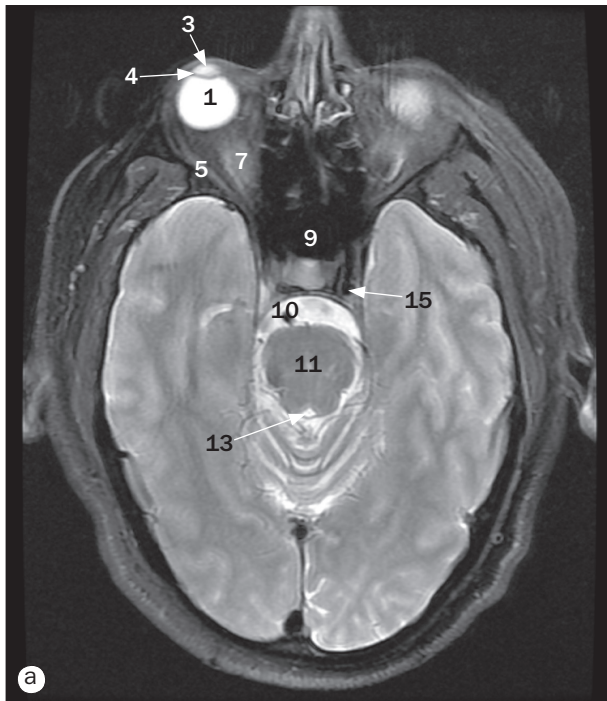
Les légendes des pages 16–19 sont communes aux 4 pages.



(a)–(d) IRM en coupes coronales, de postérieur à antérieur.

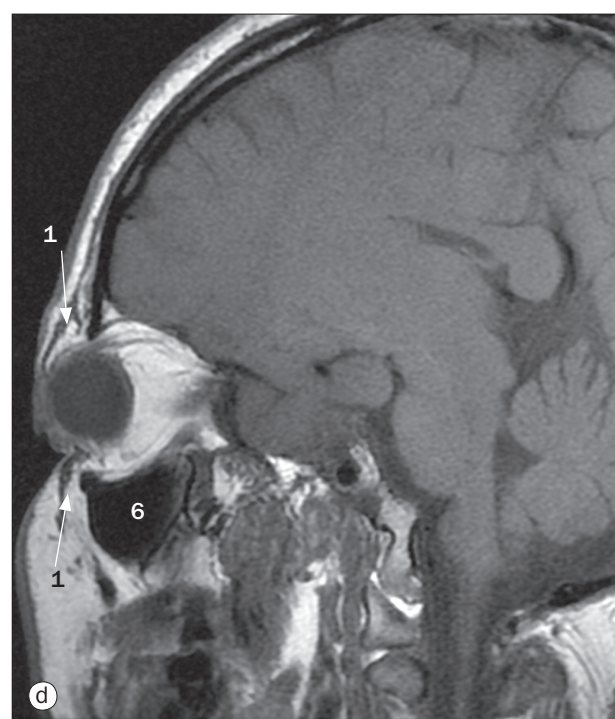
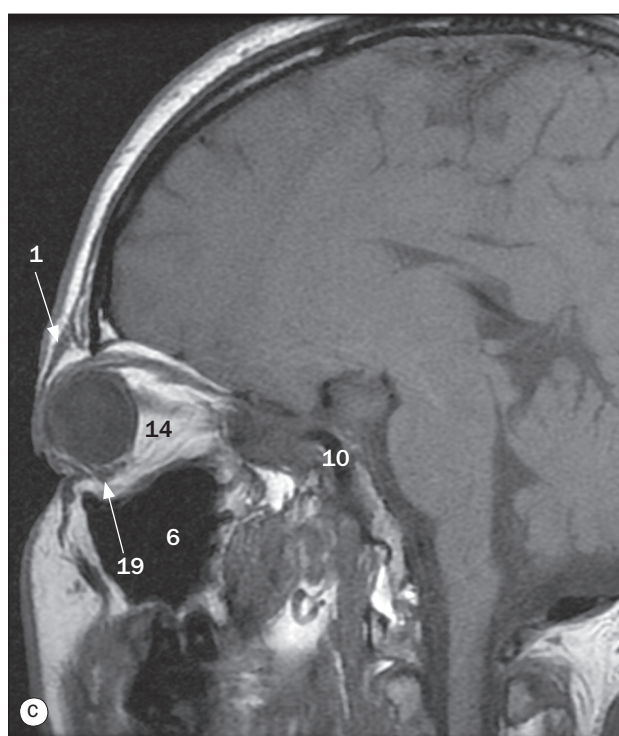
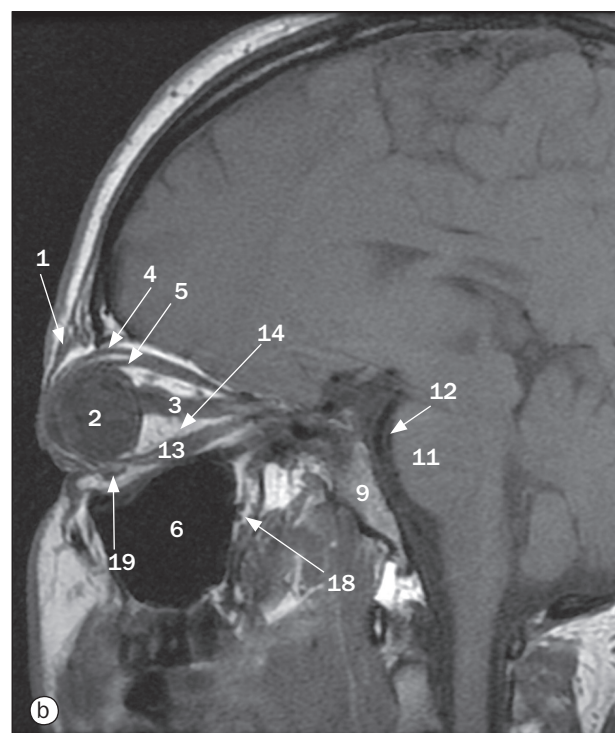
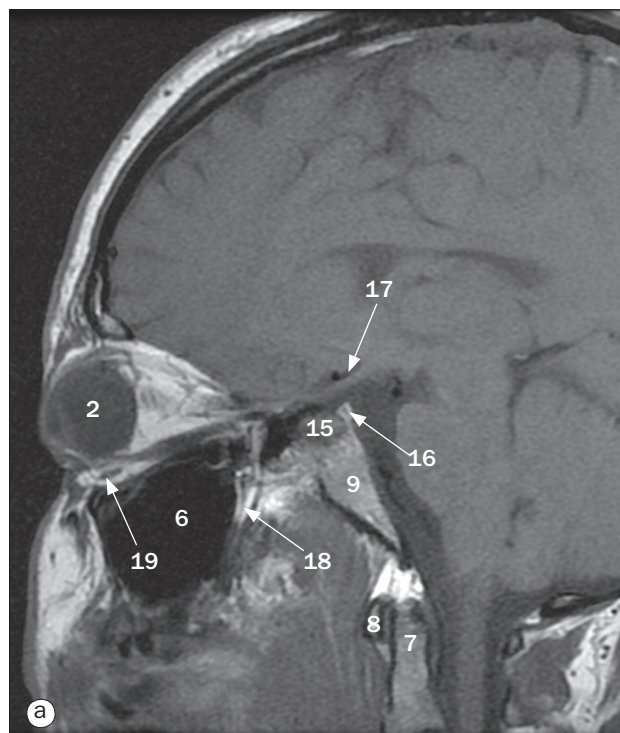
- 1 Muscle releveur de la paupière supérieure
- 2 Muscle droit supérieur
- 3 Muscle oblique supérieur
- 4 Muscle droit médial
- 5 Muscle droit inférieur

- 6 Muscle droit latéral
- 7 Nerf optique/complexe de la gaine
- 8 Veine ophtalmique supérieure
- 9 Glande lacrymale
- 10 Globe oculaire



(a)–(d) Orbite, IRM en coupes axiales, d'inférieur à supérieur.

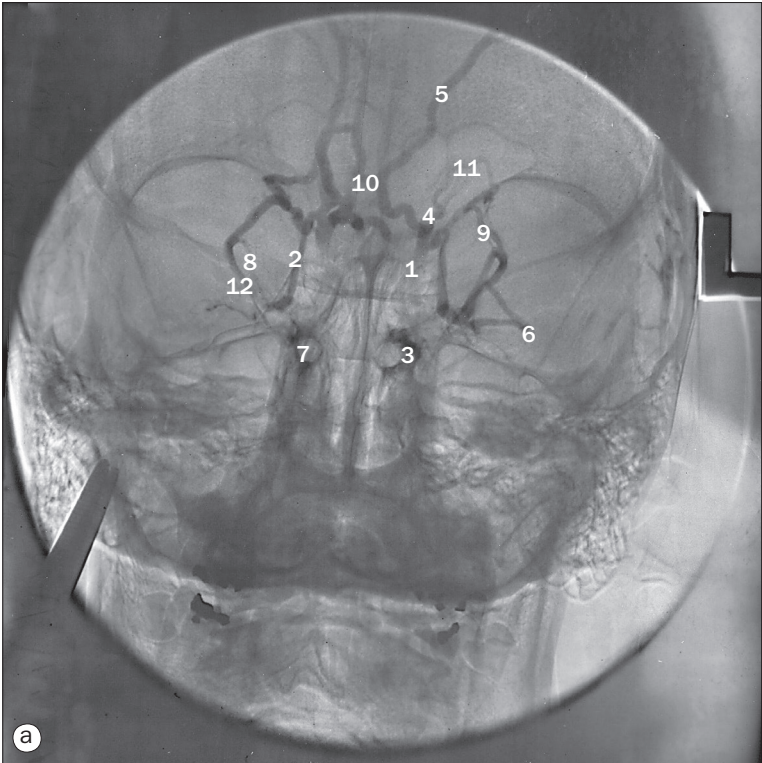
- | | | |
|-------------------------------|---|--------------------------------------|
| 1 Corps vitré du bulbe | 12 Mésencéphale | 22 Tractus optique |
| 2 Cristallin | 13 Récessus supérieur du quatrième ventricule | 23 Chiasma optique |
| 3 Chambre antérieure du bulbe | 14 Aqueduc du mésencéphale | 24 Commissure antérieure |
| 4 Corps ciliaire | 15 Artère carotide interne | 25 Gyrus rectus |
| 5 Muscle droit latéral | 16 Artère cérébrale moyenne | 26 Nerf olfactif (I) |
| 6 Muscle droit médial | 17 Artère cérébrale postérieure | 27 Processus clinéoïde antérieur |
| 7 Muscle droit supérieur | 18 Crista galli | 28 Dos de la selle |
| 8 Cellules ethmoïdales | 19 Nerf optique (segment intraorbitaire) | 29 Pédoncule cérébral |
| 9 Sinus sphénoïdal | 20 Nerf optique (segment intracanaliculaire) | 30 Corps géniculés médial et latéral |
| 10 Artère basilaire | 21 Nerf optique (segment intracrânien) | 31 Cortex visuel (calcarin) |
| 11 Pont | | |



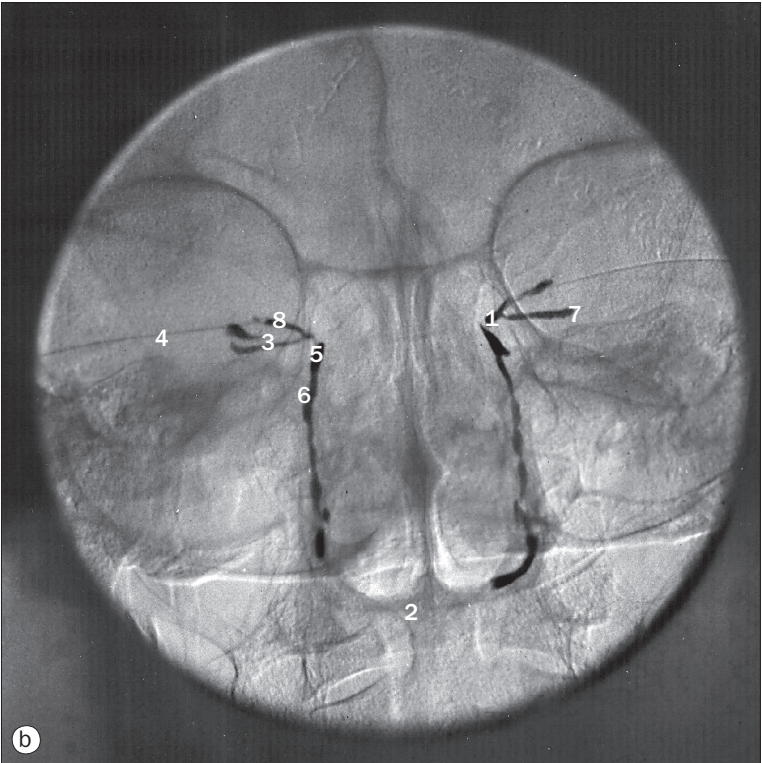
(a)–(d) Orbite, IRM en coupes sagittales, de médial à latéral.

- 1 Muscle orbiculaire de l'œil
- 2 Globe oculaire
- 3 Nerf optique, segment intraorbitaire
- 4 Muscle releveur de la paupière supérieure
- 5 Muscle droit supérieur
- 6 Sinus maxillaire
- 7 Dent de l'axis
- 8 Arc antérieur de C1
- 9 Clivus
- 10 Artère carotide interne

- 11 Pont
- 12 Artère basilaire
- 13 Muscle droit inférieur
- 14 Graisse rétrobulbaire
- 15 Selle turcique/hypophyse
- 16 Dos de la selle
- 17 Nerf optique, segment intracrânien
- 18 Fosse ptérygopalatine
- 19 Muscle oblique inférieur



(a) Orbite, phlébographie.

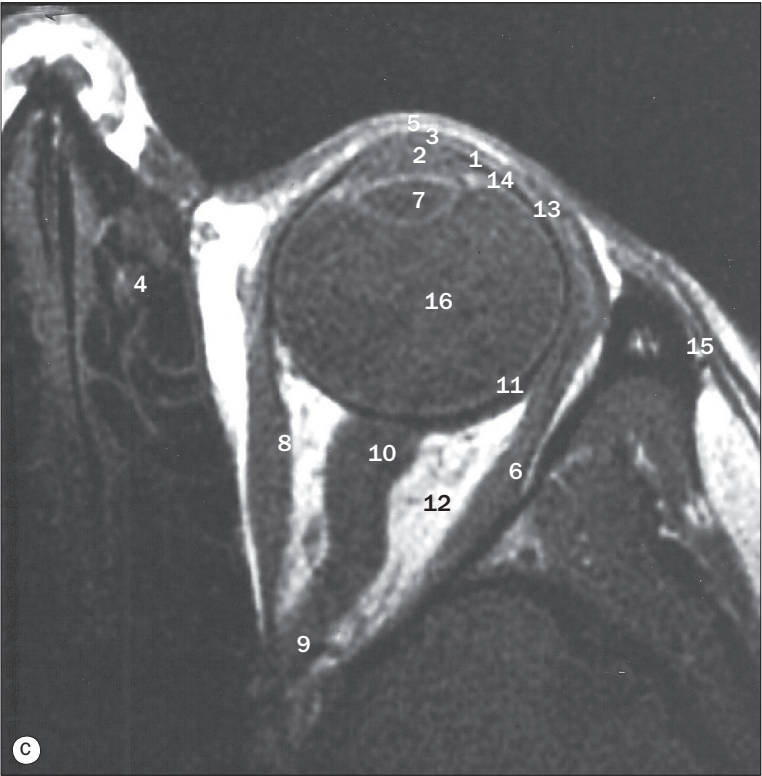


(b) Macrodacryocystographie.

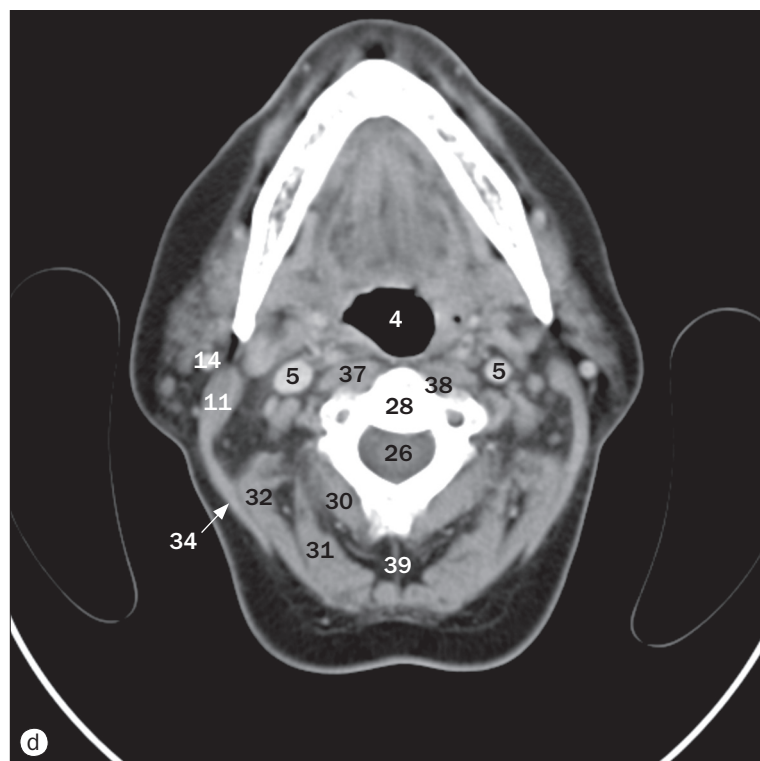
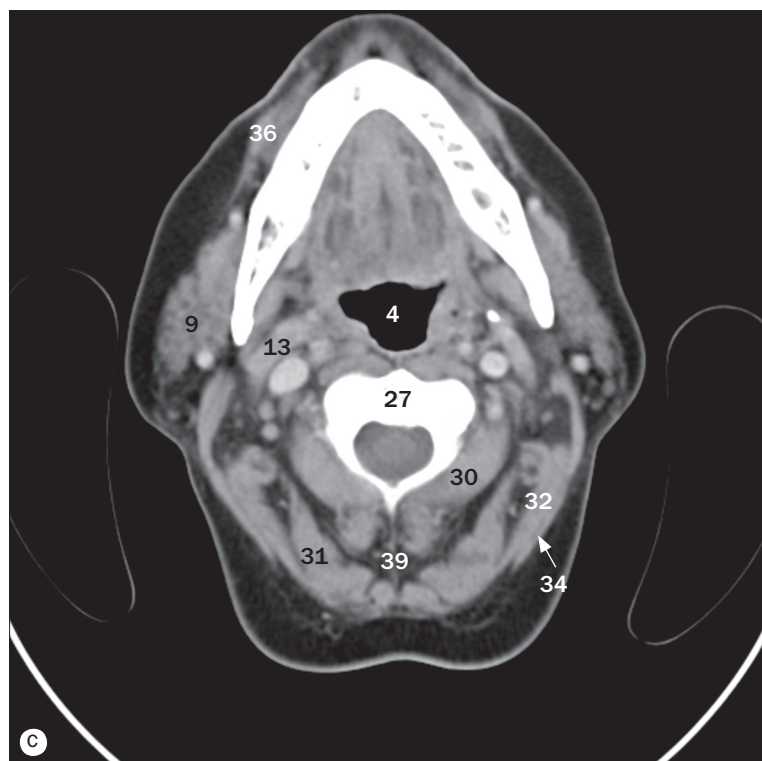
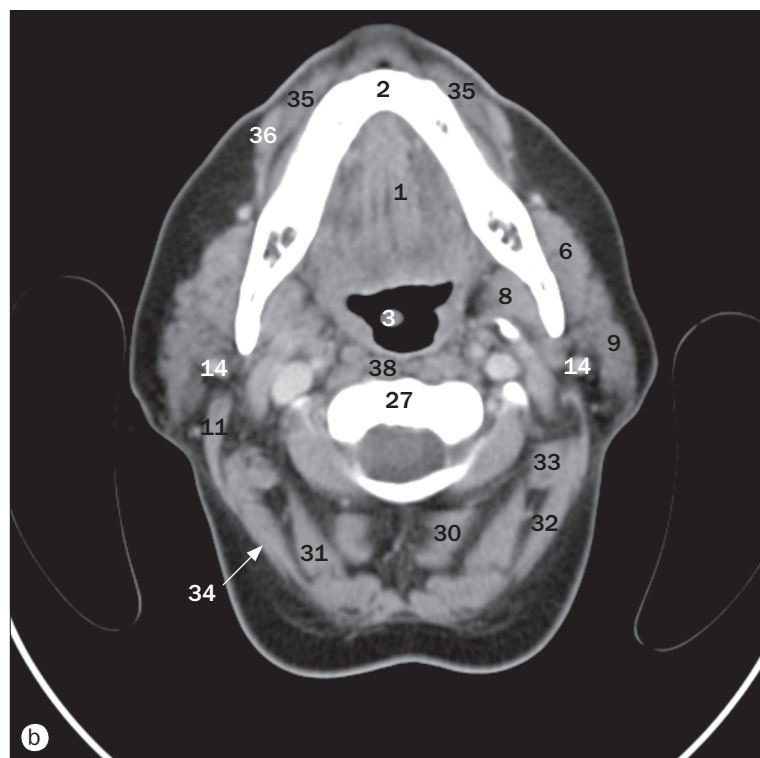
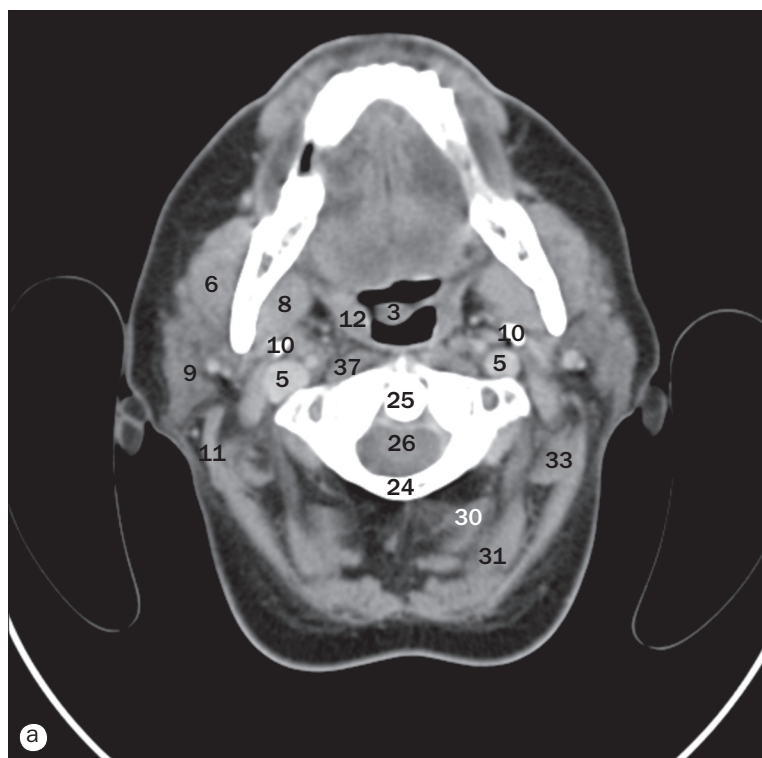
- 1 Veines angulaires
- 2 Veine collatérale antérieure
- 3 Sinus caverneux
- 4 Première partie de la veine ophtalmique supérieure
- 5 Veines frontales
- 6 Veine ophtalmique inférieure
- 7 Artère carotide interne
- 8 Veine collatérale médiale
- 9 Deuxième partie de la veine ophtalmique supérieure
- 10 Veine anastomotique superficielle
- 11 Veine supraorbitaire
- 12 Troisième partie de la veine ophtalmique supérieure

- | | |
|------------------------|----------------------------|
| 1 Canalicule commun | 5 Sac lacrymal |
| 2 Palais osseux | 6 Conduit lacrymonasal |
| 3 Canalicule inférieur | 7 Niveau du point lacrymal |
| 4 Cathéters lacrymaux | 8 Canalicule supérieur |

- | | |
|------------------------|--------------------------------------|
| 1 Chambre antérieure | 10 Nerf optique |
| 2 Humeur aqueuse | 11 Rétine et choroïde |
| 3 Cornée | 12 Graisse rétro-orbitaire |
| 4 Sinus ethmoïdaux | 13 Sclère |
| 5 Paupière | 14 Ligament suspenseur du cristallin |
| 6 Muscle droit latéral | 15 Muscle temporal |
| 7 Cristallin | 16 Corps vitré |
| 8 Muscle droit médial | |
| 9 Artère ophtalmique | |



(c) Globe oculaire, IRM en coupe axiale.

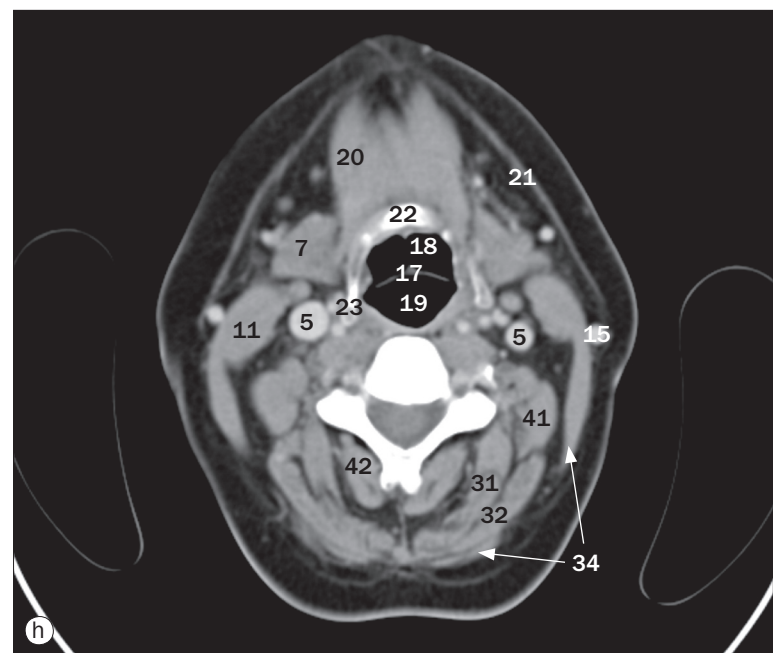
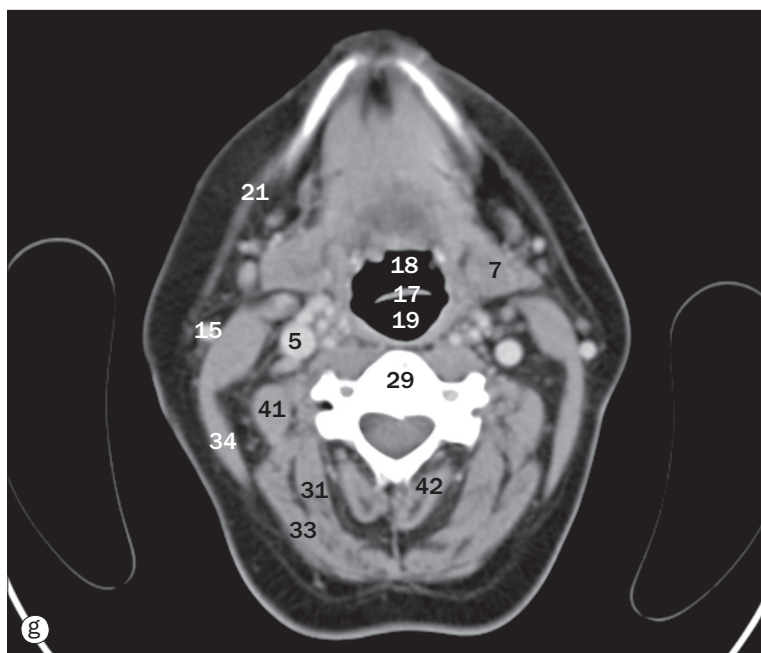
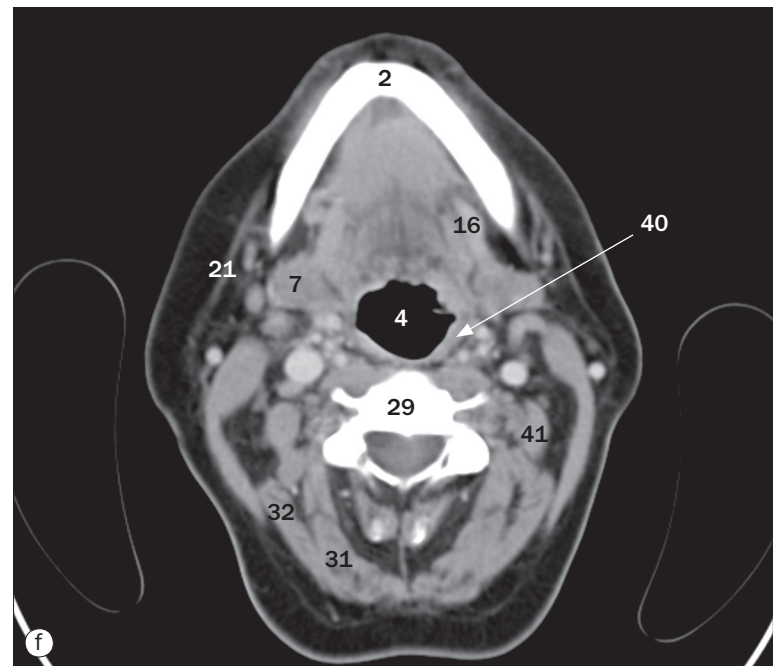
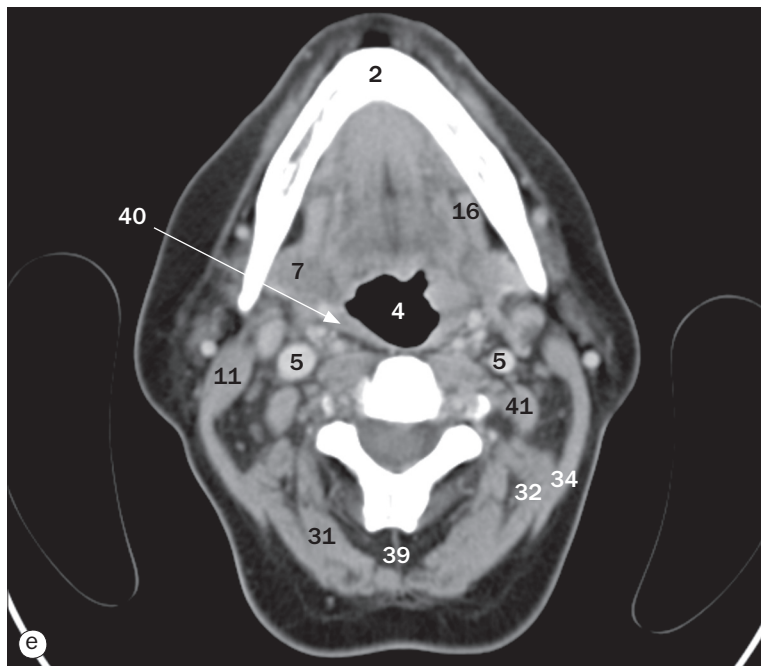


(a)–(h) Nasopharynx et oropharynx, TDM en coupes axiales.

1 Muscle génioglosse
2 Corps de la mandibule
3 Uvule palatine
4 Oropharynx
5 Veine jugulaire interne
6 Muscle masséter
7 Glande submandibulaire

8 Muscle ptérygoïdien médial
9 Glande parotide
10 Processus styloïde
11 Muscle sternocléidomastoïdien
12 Tonsille palatine
13 Ventre postérieur du muscle digastrique
14 Veine rétromandibulaire

15 veine jugulaire externe
16 Ventre antérieur du muscle digastrique
17 Épiglotte
18 Vallécule épiglottique
19 Hypopharynx
20 Muscle mylohyoïdien
21 Muscle platysma

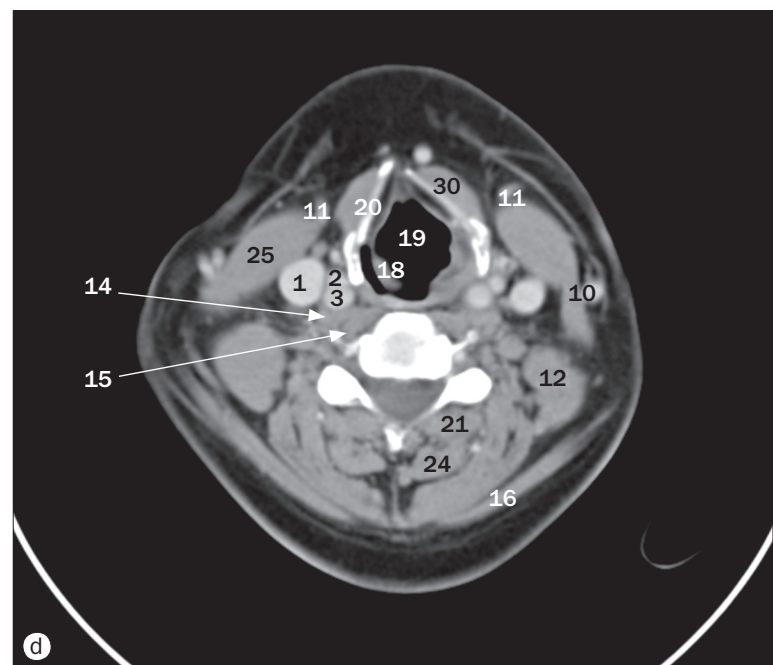
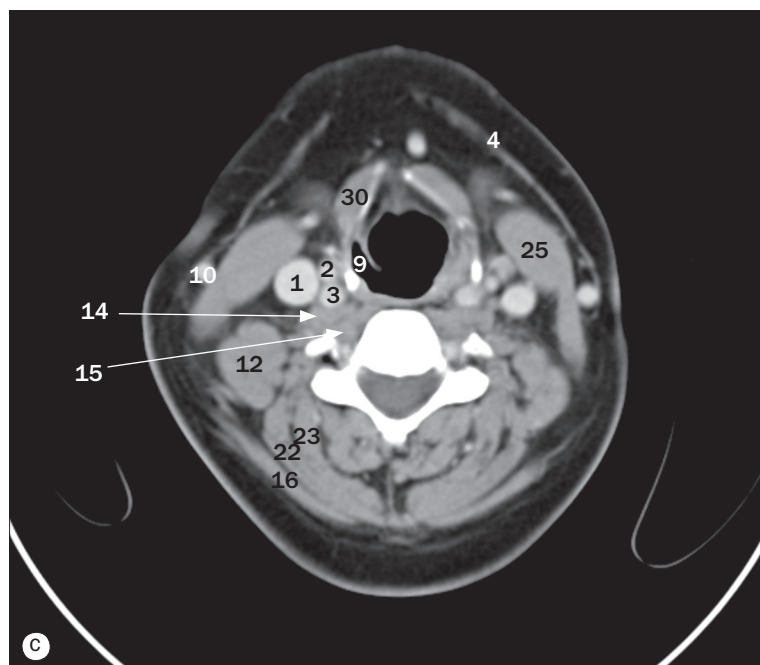
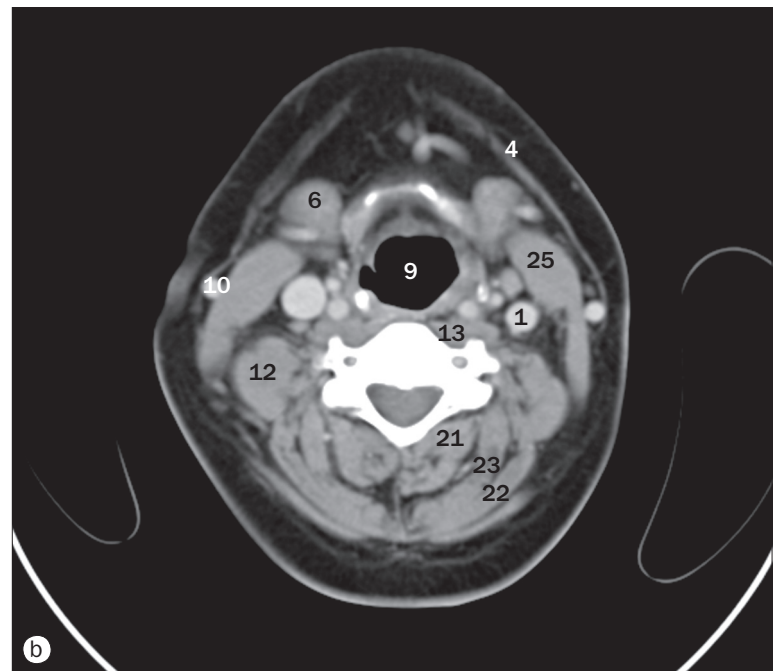
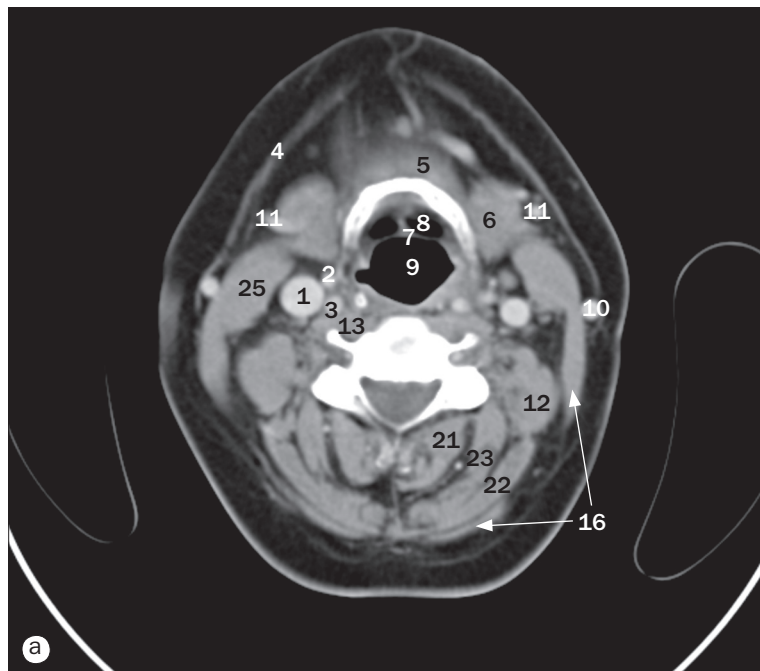


(a)–(h) Nasopharynx et oropharynx, TDM en coupes axiales.

22 Corps de l'os hyoïde
23 Grande corne de l'os hyoïde
24 Arc postérieur de C1
25 Dent de l'axis
26 Moelle spinale
27 Corps de C2
28 Corps de C3
29 Corps de C4

30 Muscle oblique inférieur de la tête
31 Muscle semiépineux de la tête
32 Muscle splénius capitis
33 Muscle longissimus de la tête
34 Muscle trapèze
35 Muscle orbiculaire de la bouche
36 Muscle releveur de l'angle de la bouche
37 Muscle long de la tête

38 Muscle long du cou
39 Ligament nuchal
40 Muscle constricteur supérieur du pharynx
41 Muscle élévateur de la scapula
42 Muscle épineux de la tête et muscle multifidus

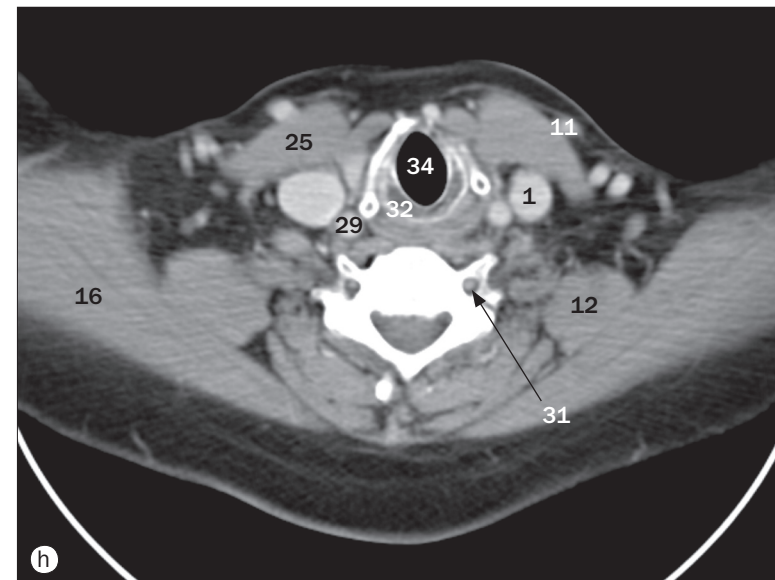
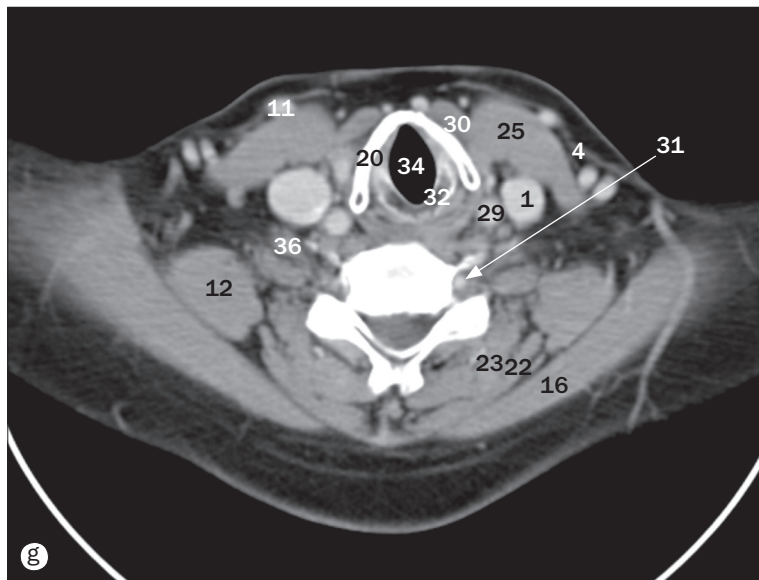
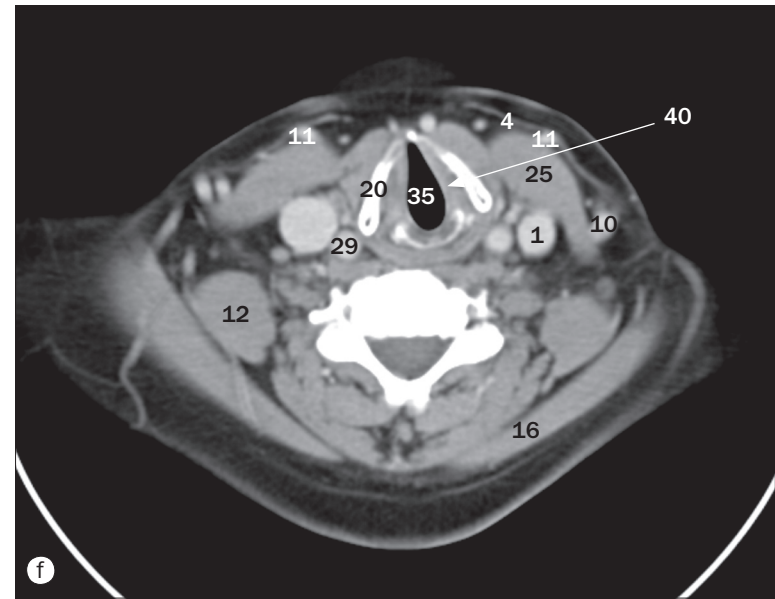
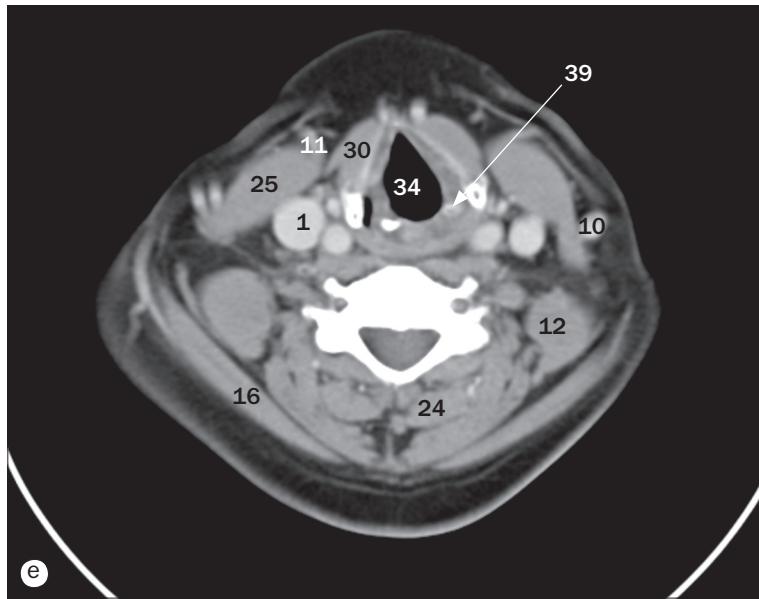


(a)–(h) Larynx et hypopharynx, TDM en coupes axiales.

- 1 Veine jugulaire interne
- 2 Artère carotide externe
- 3 Artère carotide interne
- 4 Muscle platysma
- 5 Muscle géniohyoïdien
- 6 Glande submandibulaire
- 7 Épiglote

- 8 Vallécule épiglottique
- 9 Hypopharynx
- 10 Veine jugulaire externe
- 11 Veine jugulaire antérieure
- 12 Muscle élévateur de la scapula
- 13 Muscles longs de la tête et du cou
- 14 Muscle long de la tête

Les légendes des pages 26–28 sont communes aux 3 pages.

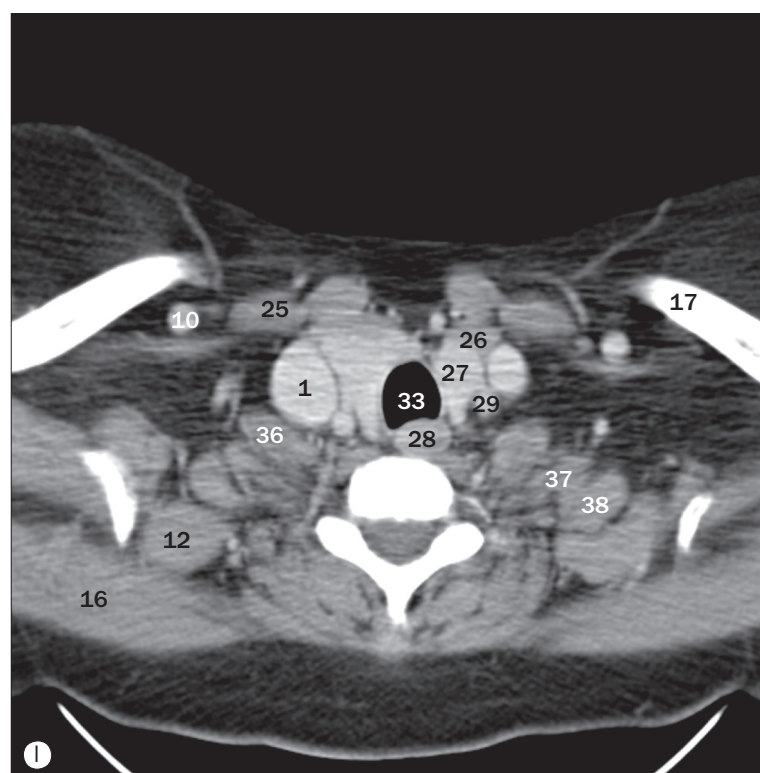
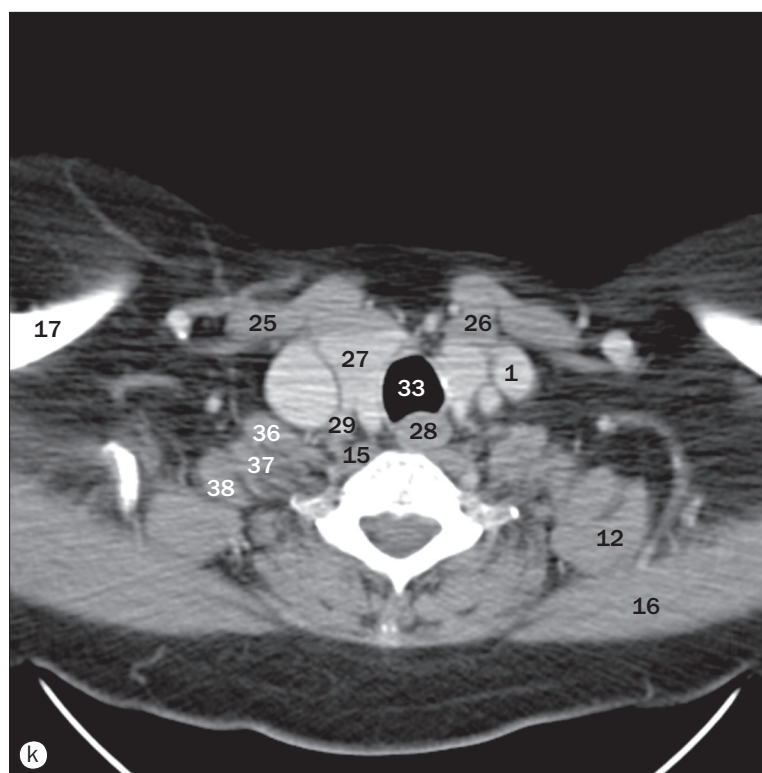
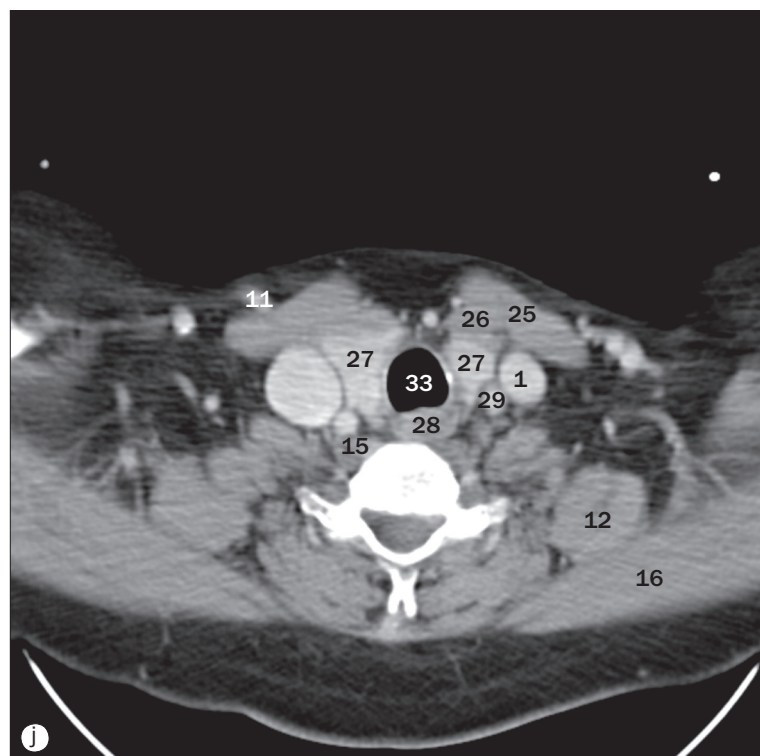
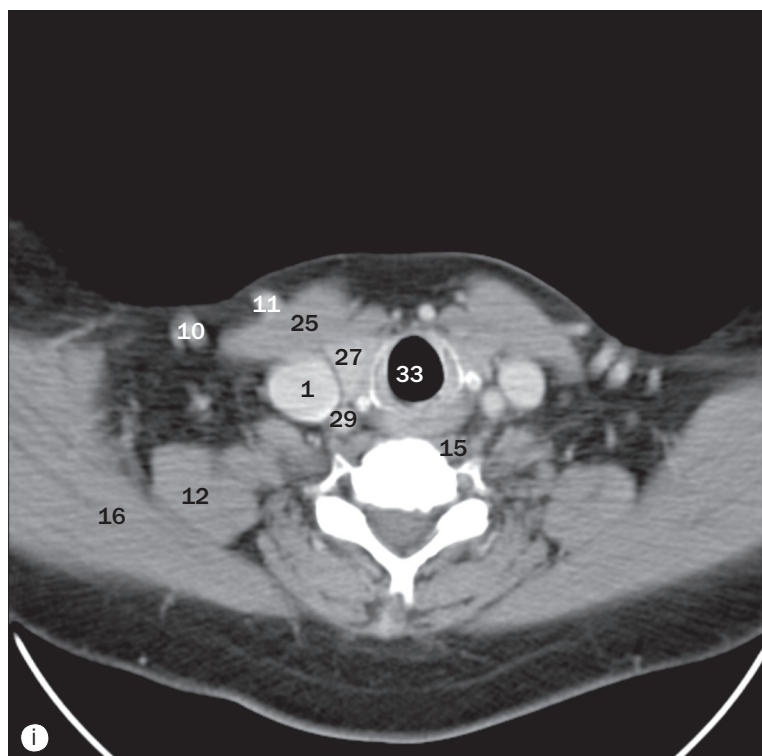


(a)–(l) Larynx et hypopharynx, TDM en coupes axiales.

15 Muscle long du cou
16 Muscle trapèze
17 Clavicule
18 Pli aryépiglottique
19 Vestibule du larynx
20 Lamé du cartilage thyroïde
21 Muscle épineux du cou

22 Muscle épineux de la tête
23 Muscle semiépineux de la tête
24 Muscle semiépineux du cou
25 Muscle sternocléidomastoïdien
26 Muscle sternohyoïdien
27 Glande thyroïde
28 Œsophage

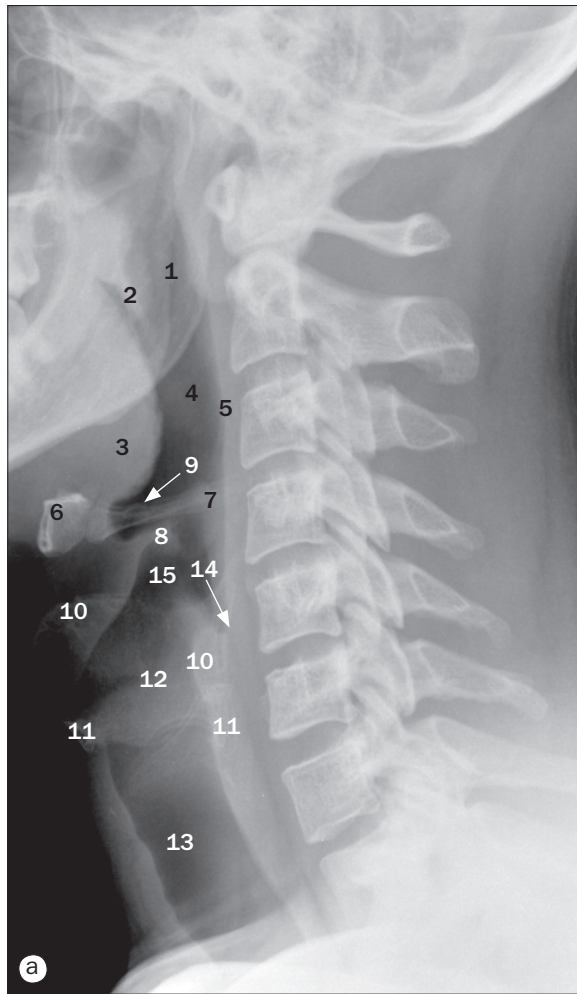
Les légendes des pages 26–28 sont communes aux 3 pages.



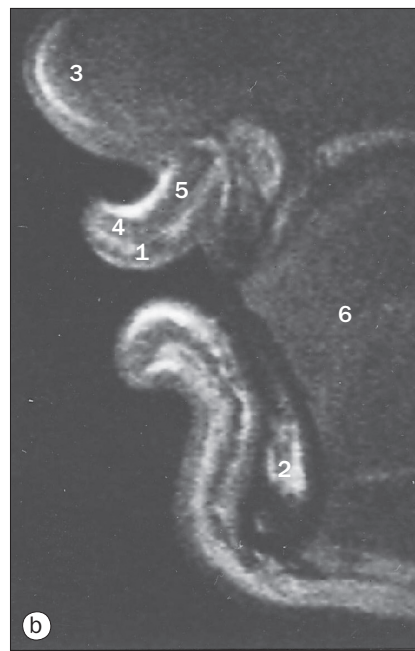
(a)–(l) Larynx et hypopharynx, TDM en coupes axiales.

29 Artère carotide commune
30 Muscles infrahyoïdiens
31 Artère vertébrale
32 Cartilage cricoïde
33 Trachée
34 Larynx

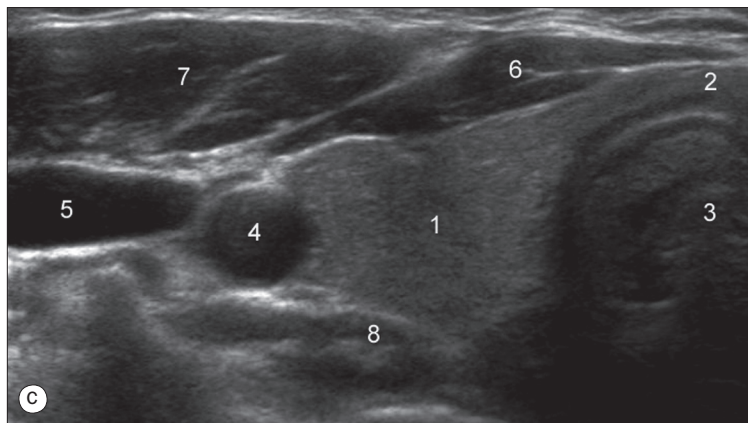
35 Glotte
36 Muscle scalène antérieur
37 Muscle scalène moyen
38 Muscle scalène postérieur
39 Cartilage aryénoïde
40 Muscle vocal



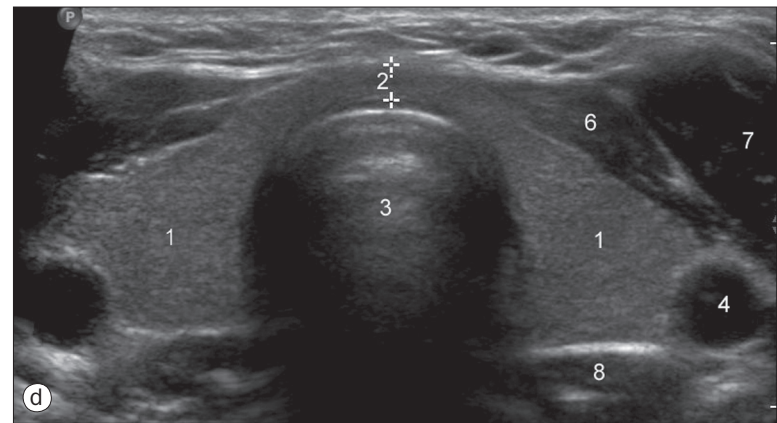
(a) Tissus mous du cou, incidence de profil.



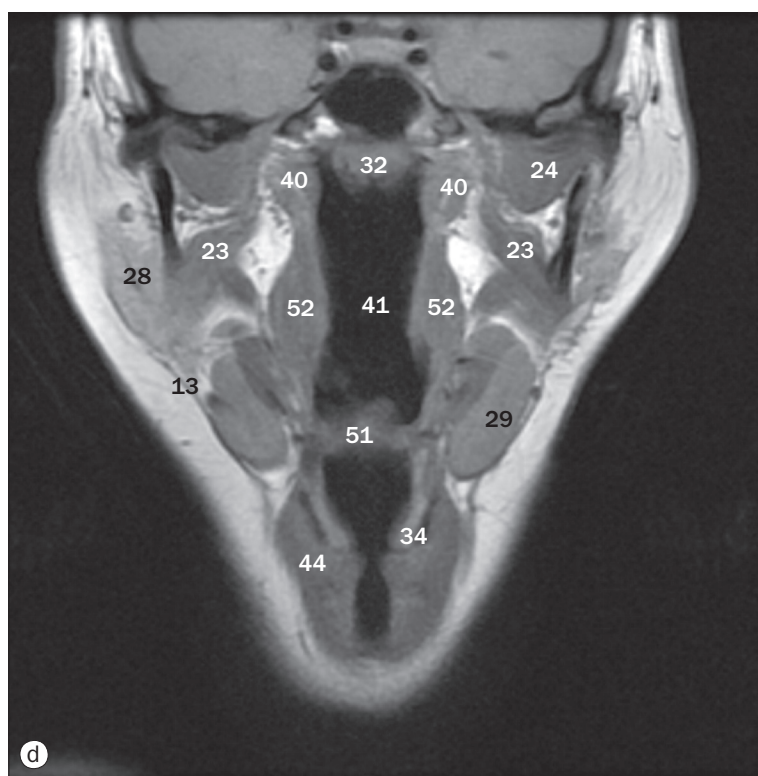
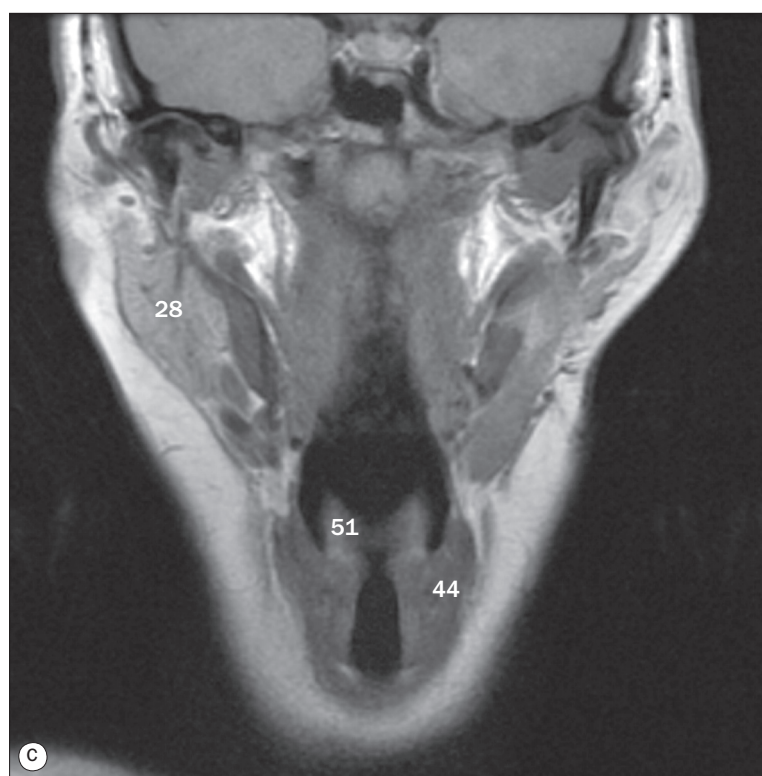
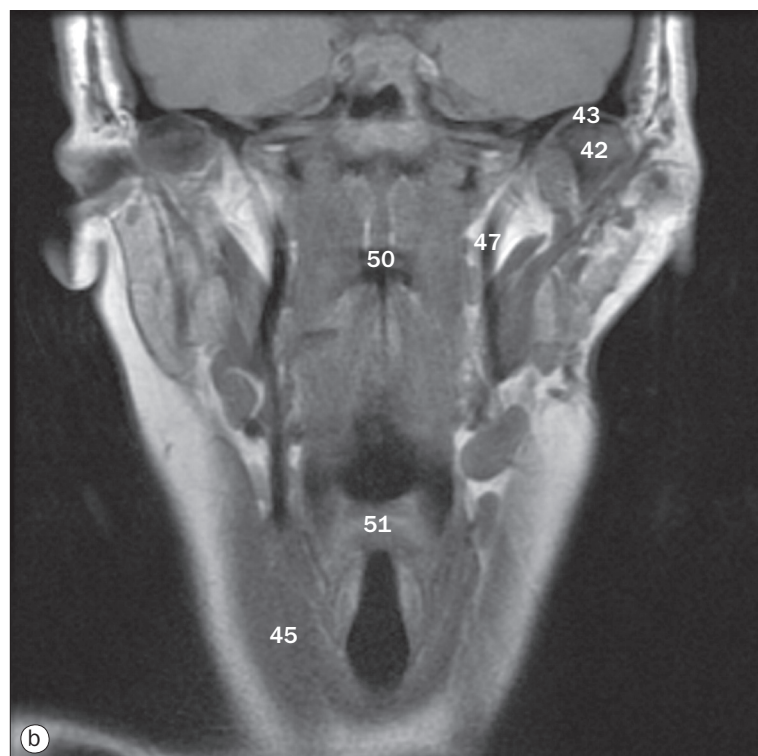
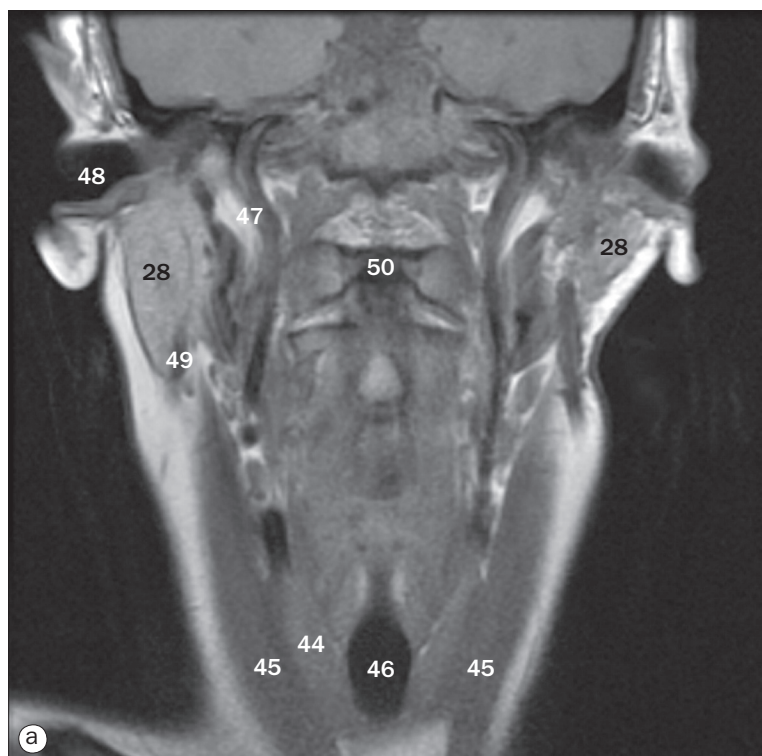
(b) IRM du baiser, en coupe sagittale.



(c) et (d) Glande thyroïde, échographie, incidence axiale.



- 1 Lobe de la glande thyroïde
- 2 Isthme de la glande thyroïde
- 3 Trachée
- 4 Artère carotide commune
- 5 Veine jugulaire interne
- 6 Muscles infrahyoïdiens
- 7 Muscle sternocléidomastoïdien
- 8 Muscle prévertébral

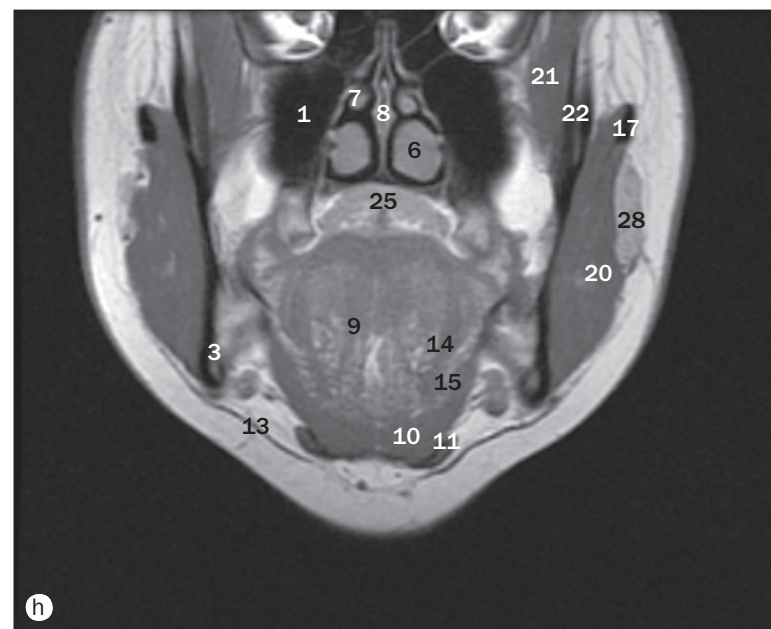
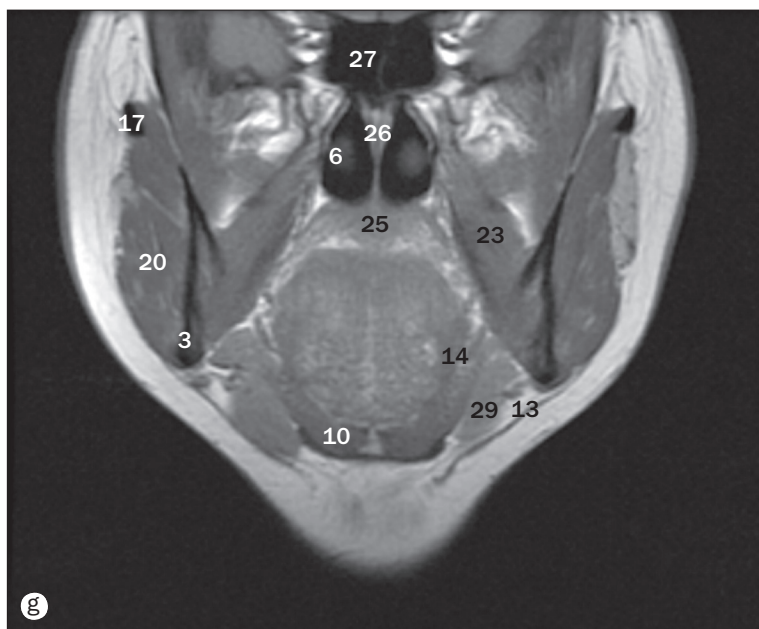
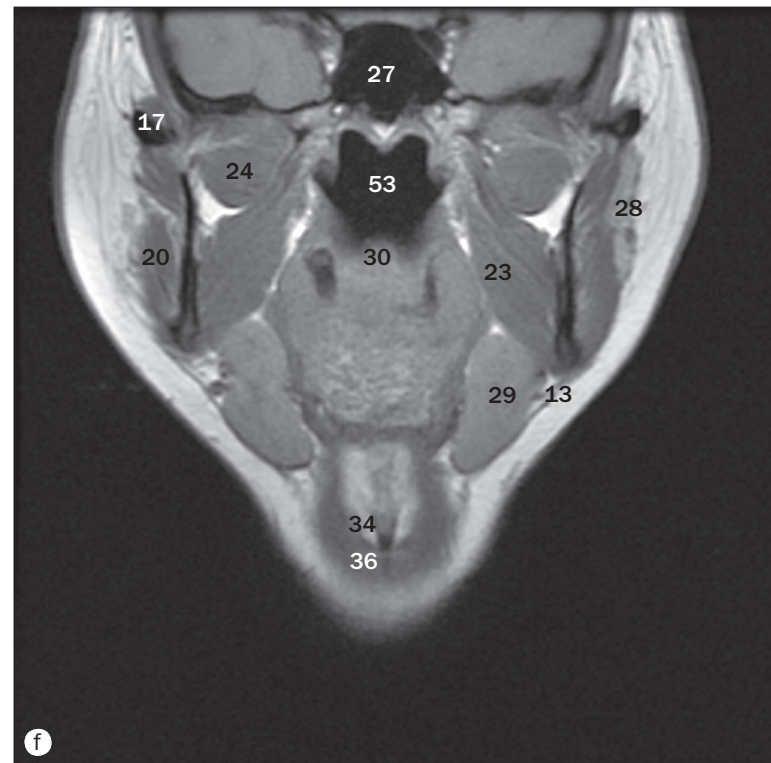
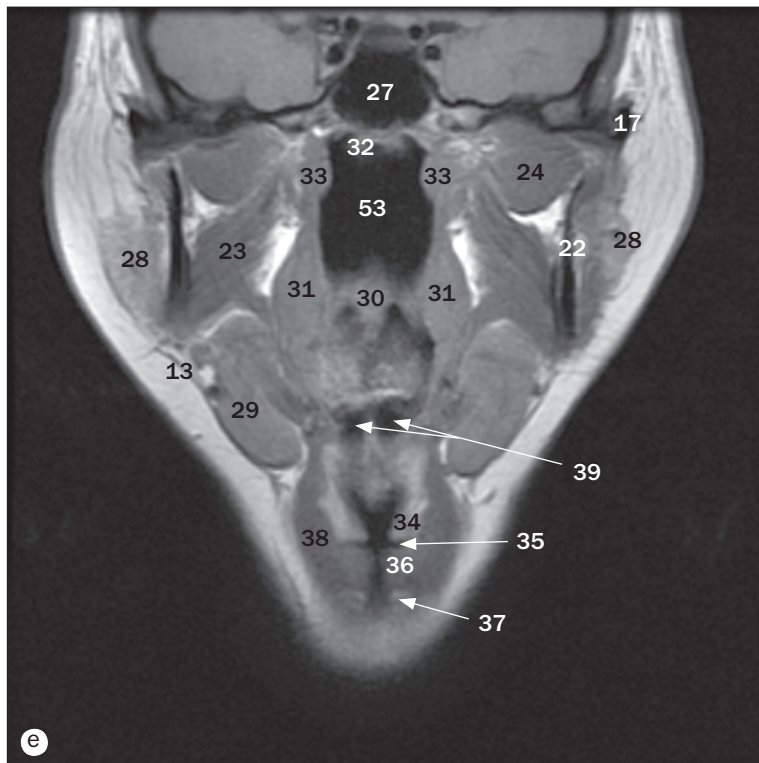


(a)–(l) Pharynx, IRM en coupes coronales, de postérieur à antérieur.

- 1 Sinus maxillaire
- 2 Palais osseux
- 3 Mandibule
- 4 Processus alvéolaire
- 5 Cavité orale
- 6 Cornet nasal inférieur
- 7 Cornet nasal moyen

- 8 Septum nasal
- 9 Muscle génioglosse
- 10 Muscle géniohyoïdien
- 11 Ventre antérieur du muscle digastrique
- 12 Septum lingual
- 13 Muscle platysma
- 14 Muscle hyoglosse

Les légendes des pages 30–32 sont communes aux 3 pages.

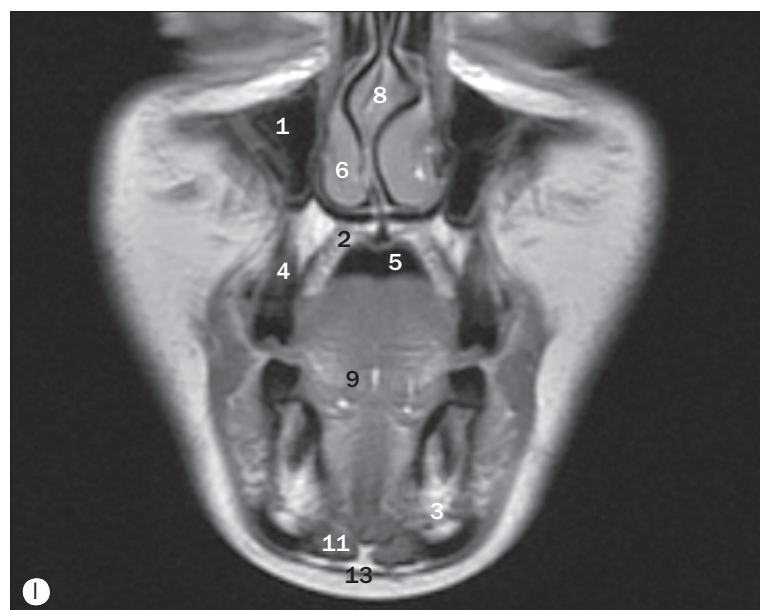
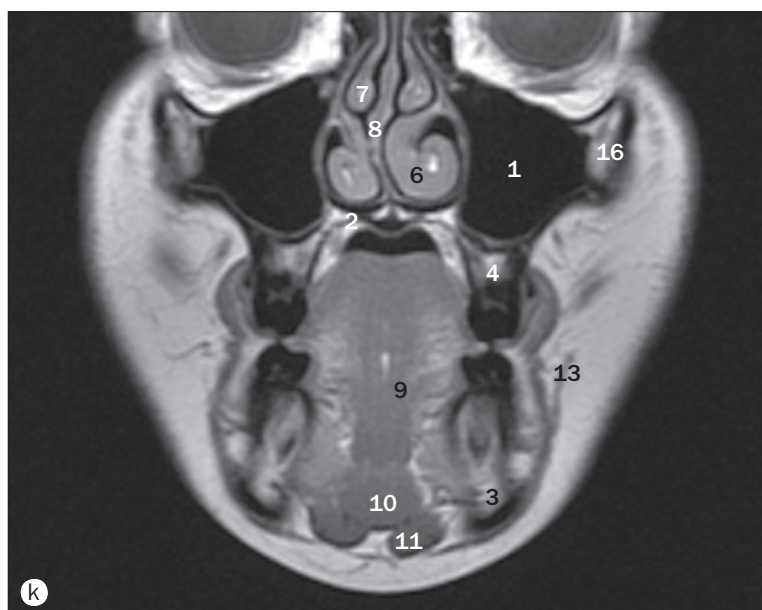
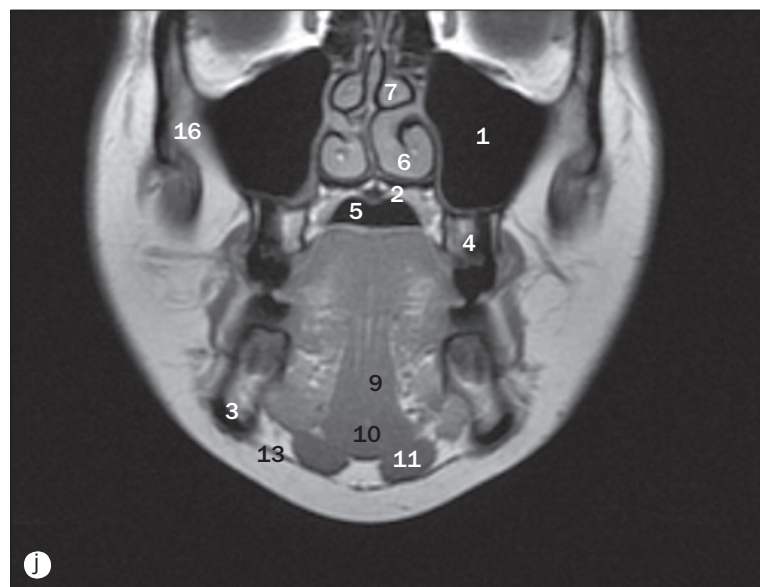
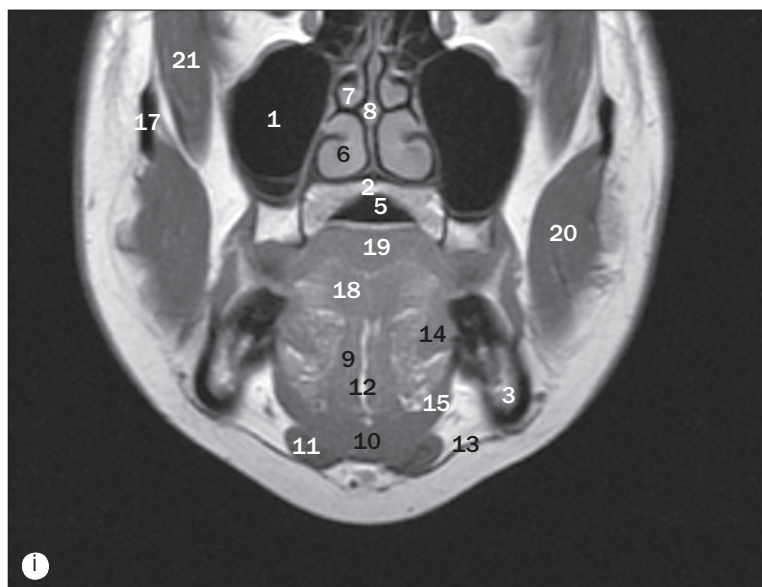


(a)–(l) Pharynx, IRM en coupes coronales, de postérieur à antérieur.

15 Muscle mylohyoïdien
16 Os zygomatique
17 Arc zygomatique
18 Muscle transverse de la langue
19 Muscle longitudinal de la langue
20 Muscle masséter
21 Muscle temporal
22 Branche de la mandibule
23 Muscle ptérygoïdien médial

24 Muscle ptérygoïdien latéral
25 Palais mou
26 Vomer
27 Sinus sphénoïdal
28 Glande parotide
29 Glande submandibulaire
30 Uvule palatine
31 Muscle palatopharyngien
32 Tonsilles pharyngiennes

Les légendes des pages 30–32 sont communes aux 3 pages.

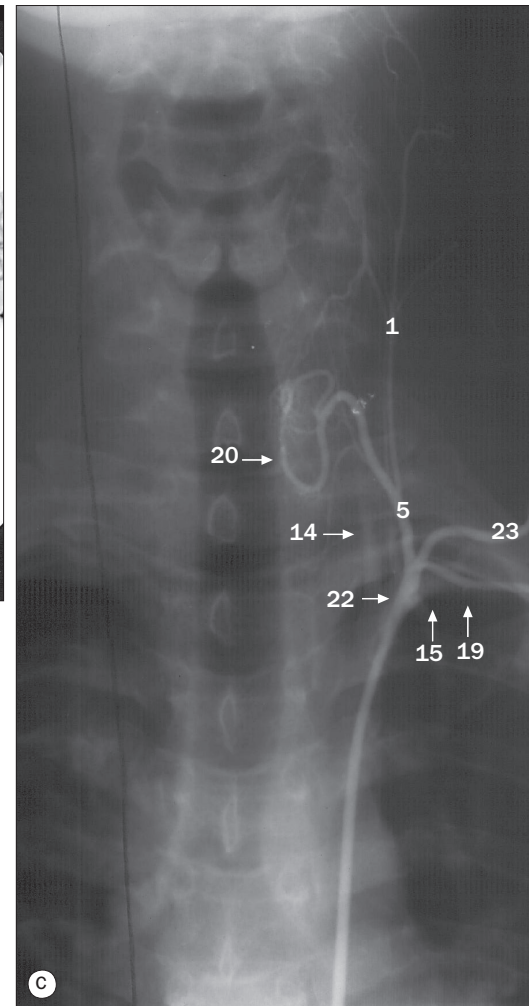
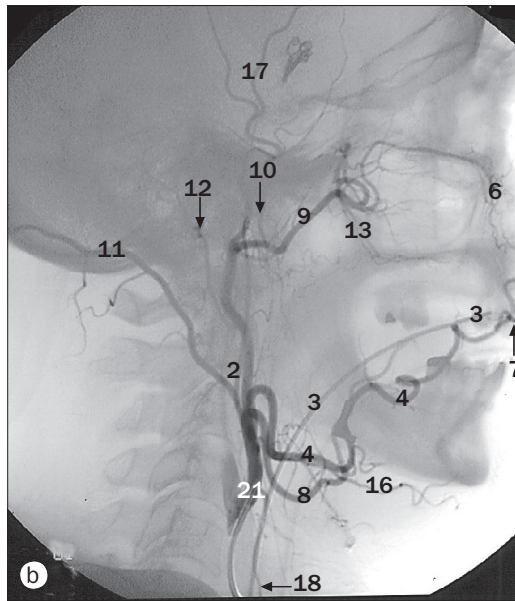
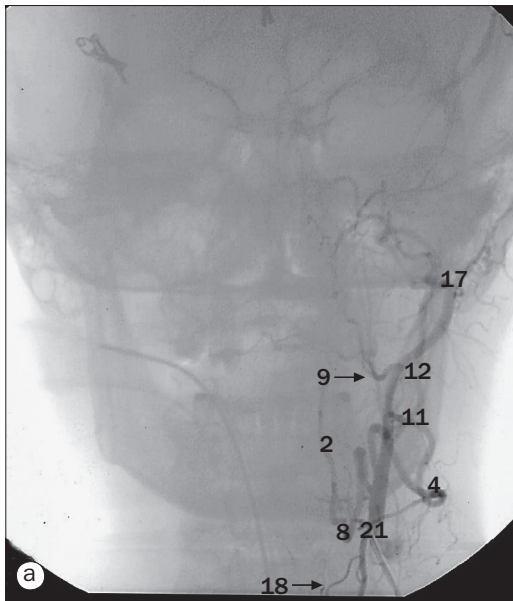


(a)–(l) Pharynx, IRM en coupes coronales, de postérieur à antérieur.

33 Muscle élévateur du voile du palais
 34 Pli vestibulaire
 35 Ventricule du larynx
 36 Muscle vocal
 37 Cartilage cricoïde
 38 Muscle thyrohyoïdien
 39 Vallécule épiglottique
 40 Trompes auditives
 41 Oropharynx
 42 Processus condyliques de la mandibule
 43 Articulation temporo-mandibulaire

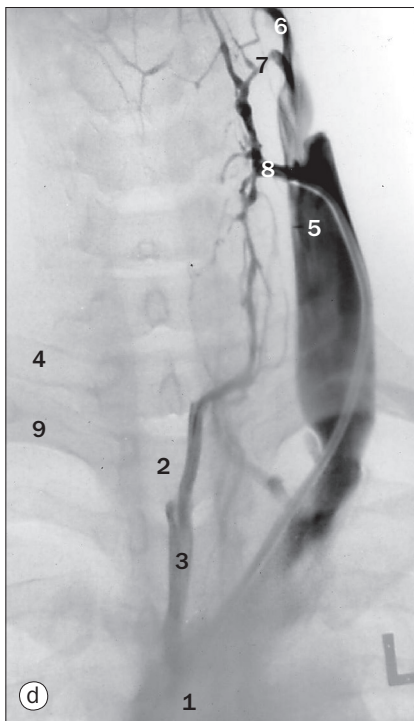
44 Glande thyroïde
 45 Muscle sternocléidomastoïdien
 46 Trachée
 47 Artère carotide interne
 48 Méat acoustique externe
 49 Veine rétro-mandibulaire
 50 Arc antérieur de C1
 51 Épiglotte
 52 Tonsilles palatines
 53 Nasopharynx

Les légendes des pages 30–32 sont communes aux 3 pages.



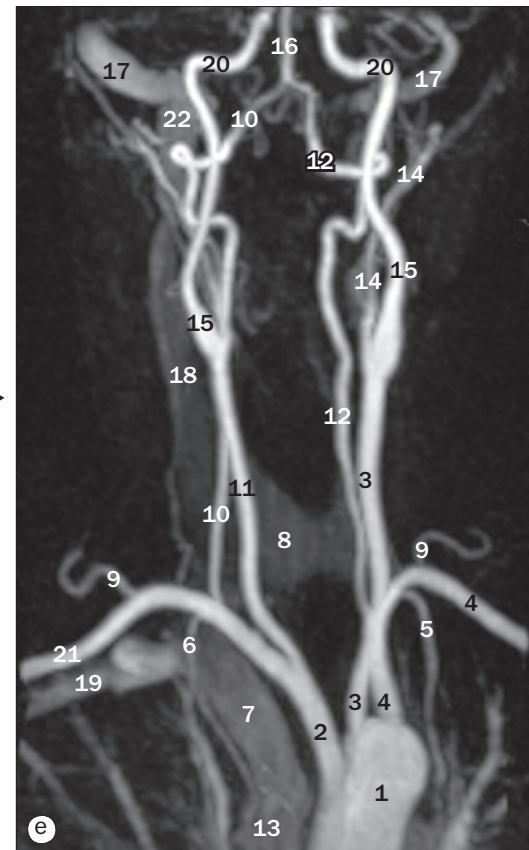
Artère carotide externe, artériographies par soustraction numérique, (a) incidence de face, (b) incidence de profil. (c) Région thyroïdienne, artériographie.

- | | | |
|---------------------------------------|--|---|
| 1 Artère cervicale ascendante | 10 Artère méningée moyenne | 17 Artère temporale superficielle |
| 2 Artère pharyngienne ascendante | 11 Artère occipitale | 18 Artère thyroïdienne supérieure |
| 3 Sonde endotrachéale | 12 Artère auriculaire postérieure | 19 Artère suprascapulaire |
| 4 Artère faciale | 13 Artère alvéolaire supérieure et postérieure | 20 Branches thyroïdiennes de l'artère thyroïdienne inférieure |
| 5 Artère thyroïdienne inférieure | 14 Reflux du produit de contraste dans l'artère vertébrale | 21 Extrémité du cathéter dans l'artère carotide externe |
| 6 Artère infraorbitaire | 15 Artère subclavière | 22 Extrémité du cathéter dans le tronc thyrocervical |
| 7 Branche labiale de l'artère faciale | 16 Artère submentale (submentonnière) | 23 Artère cervicale transverse |
| 8 Artère linguale | | |
| 9 Artère maxillaire | | |

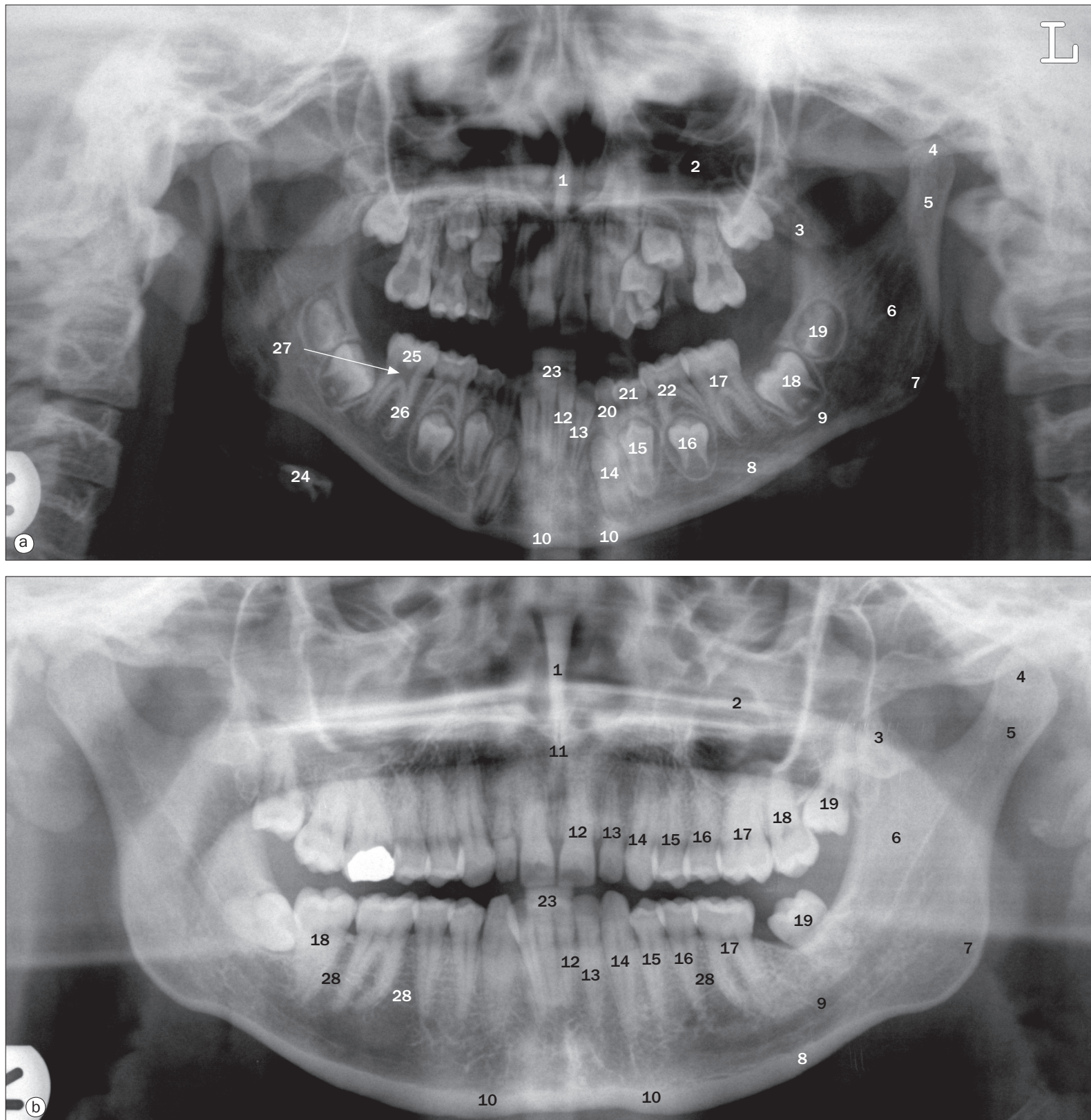


- | | |
|----------------------------------|--|
| 1 Veine brachiocéphalique gauche | 5 Veine jugulaire interne |
| 2 Trachée | 6 Veine linguale |
| 3 Veine thyroïdienne inférieure | 7 Veine thyroïdienne supérieure |
| 4 Processus transverse de C7 | 8 Extrémité du cathéter dans la veine thyroïdienne moyenne |
| | 9 1 ^{re} côte droite |

- | | |
|------------------------------------|---|
| 1 Arc aortique | 11 Artère carotide commune droite |
| 2 Artère brachiocéphalique | 12 Artère vertébrale gauche |
| 3 Artère carotide commune gauche | 13 Veine cave supérieure |
| 4 Artère subclavière gauche | 14 Artère carotide externe |
| 5 Artère thoracique interne gauche | 15 Artère carotide interne |
| 6 Artère thoracique interne droite | 16 Artère basilaire |
| 7 Veine brachiocéphalique droite | 17 Sinus sigmoïde |
| 8 Lobe droit de la glande thyroïde | 18 Veine jugulaire interne |
| 9 Tronc costocervical | 19 Veine subclavière droite |
| 10 Artère vertébrale droite | 20 Partie pétreuse de l'artère carotide interne |
| | 21 Artère subclavière droite |
| | 22 Bulbe supérieur de la veine jugulaire |

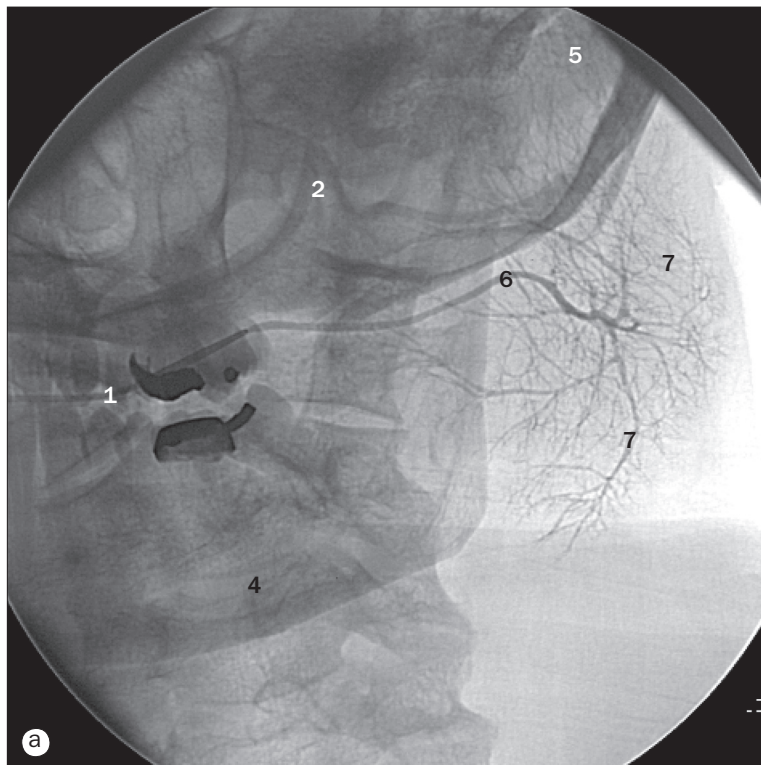


(d) Phlébographie du cou.
(e) Angio-IRM des vaisseaux du cou.

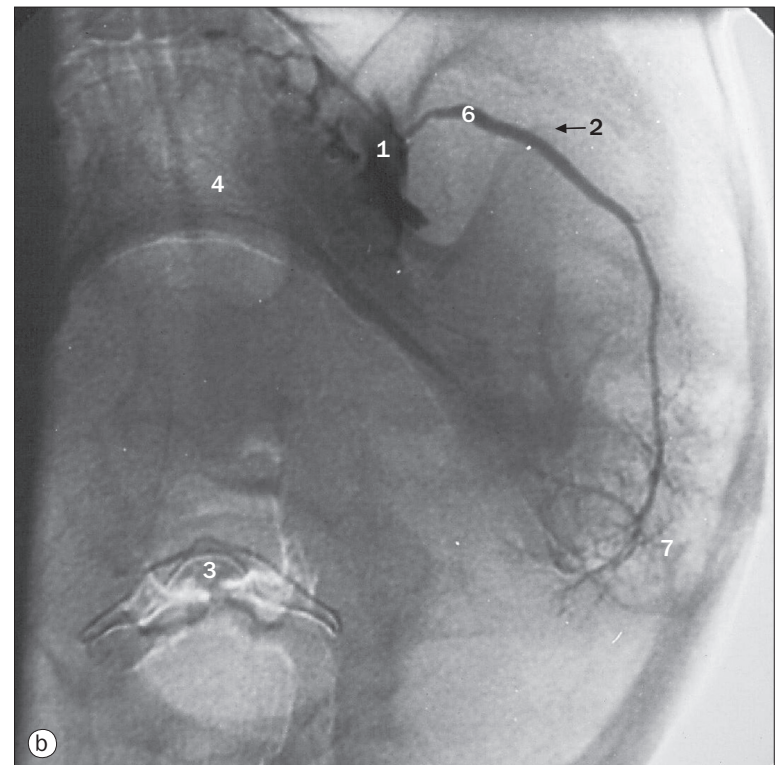


Tomographie dentaire panoramique (orthopantomographie) (a) d'un enfant de 6 ans, (b) d'un adulte.

- | | | | |
|---------------------------------------|----------------------------|---|-------------------------|
| 1 Septum nasal | 8 Corps de la mandibule | 16 Prémolaire postérieure | 23 Bloc de morsure |
| 2 Sinus maxillaire | 9 Canal mandibulaire | 17 1 ^{re} molaire | 24 Os hyoïde |
| 3 Processus coronoïde de la mandibule | 10 Tubercule mentonnier | 18 2 ^e molaire | 25 Couronne de la dent |
| 4 Tête de la mandibule | 11 Épine nasale antérieure | 19 3 ^e molaire (dent de sagesse) | 26 Racine de la dent |
| 5 Col de la mandibule | 12 Incisive médiale | 20 Canine déciduale | 27 Pulpe de la dent |
| 6 Branche de la mandibule | 13 Incisive latérale | 21 Prémolaire antérieure déciduale | 28 Processus alvéolaire |
| 7 Angle de la mandibule | 14 Canine | 22 Prémolaire postérieure déciduale | |
| | 15 Prémolaire antérieure | | |



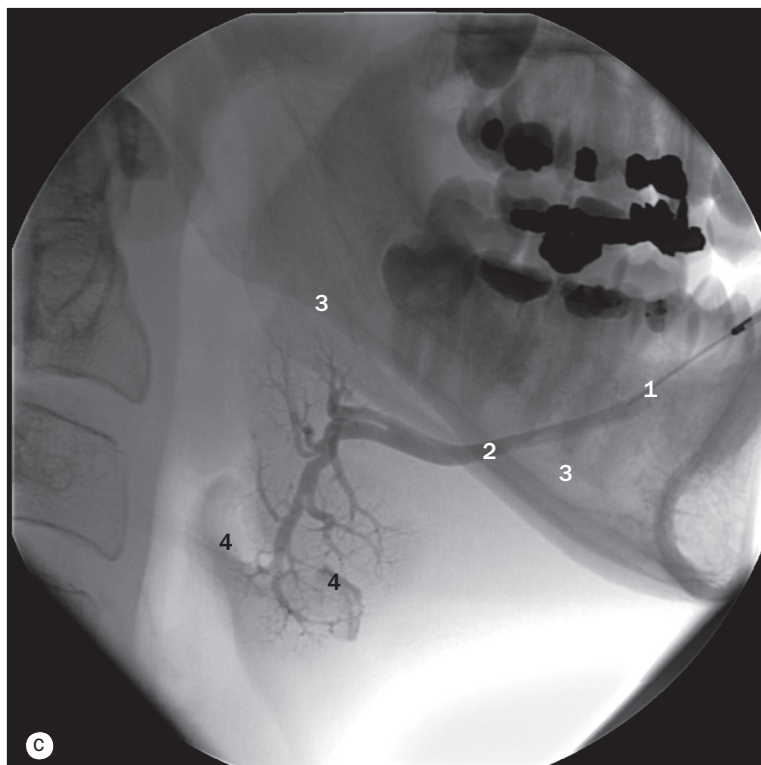
(a) Sialographie parotidienne.



(b) Sialographie parotidienne, incidence submentonnière verticale.

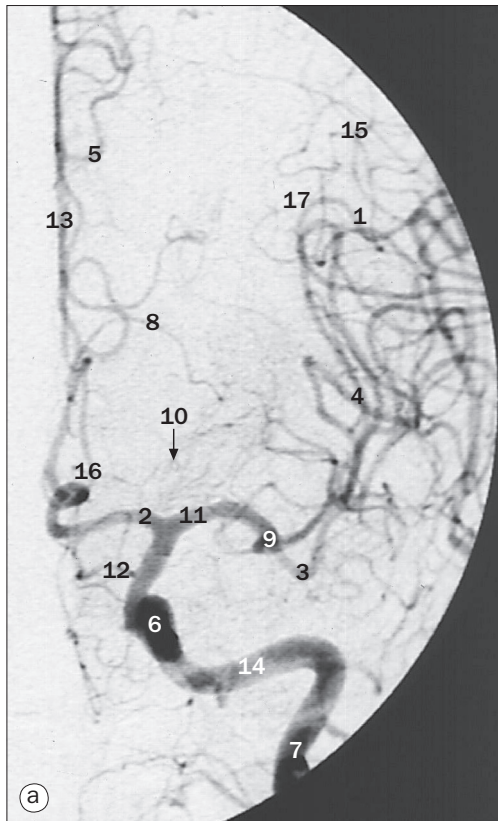
- 1 Cathéter
- 2 Processus coronoïde de la mandibule
- 3 Os hyoïde
- 4 Mandibule

- 5 Processus mastoïde
- 6 Conduit parotidien (canal de Sténon)
- 7 Ductules secondaires



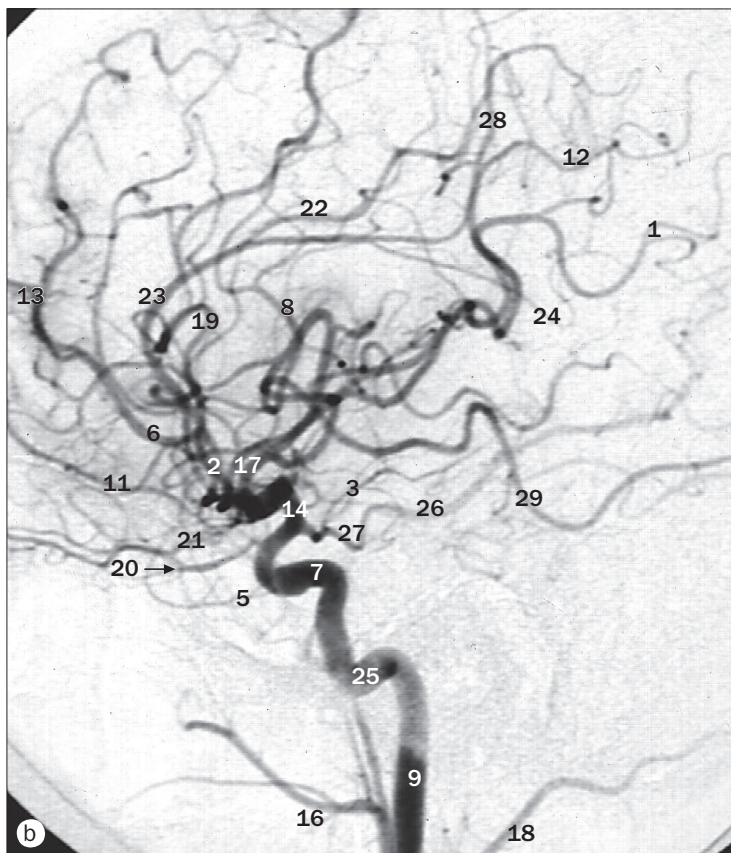
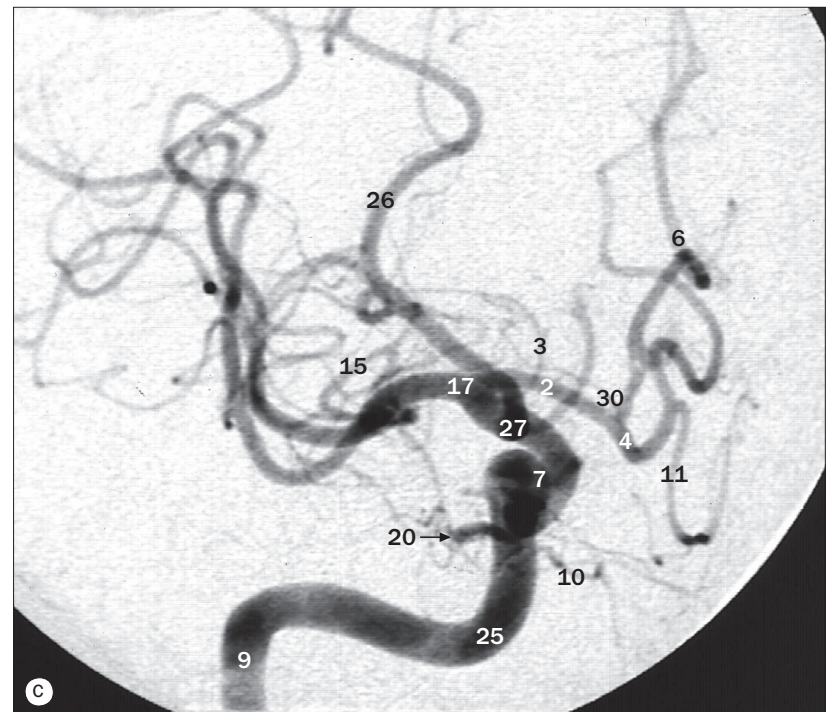
(c) Sialographie submandibulaire.

- 1 Cathéter
- 2 Conduit submandibulaire (canal de Wharton)
- 3 Mandibule
- 4 Ductules secondaires

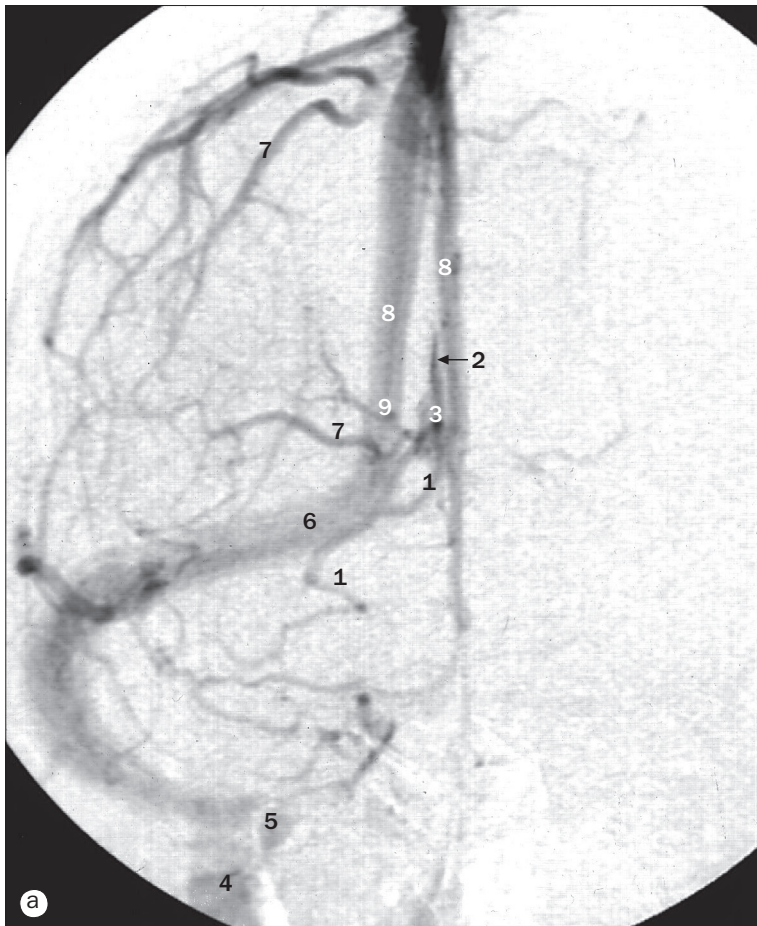


- 1 Branches angulaires de l'artère cérébrale moyenne
- 2 Artère cérébrale antérieure
- 3 Branches temporales antérieures de l'artère cérébrale moyenne
- 4 Branches (dans le lobe insulaire) de l'artère cérébrale moyenne
- 5 Artère du sillon du cingulum (callosomarginale)
- 6 Partie caverneuse de l'artère carotide interne
- 7 Partie cervicale de l'artère carotide interne
- 8 Artère frontopolaire
- 9 Genou de l'artère cérébrale moyenne
- 10 Artères lenticulostrées
- 11 Artère cérébrale moyenne
- 12 Branche orbitofrontale de l'artère péricalléuse
- 13 Artère péricalléuse
- 14 Partie pétreuse de l'artère carotide interne
- 15 Branches pariétales postérieures de l'artère cérébrale moyenne
- 16 Artère striée médiale (récurrenne de Heubner)
- 17 Point sylvien

Région carotidienne, artériographies par soustraction numérique, phase artérielle, (a) incidence de face, (b) incidence de profil, (c) incidence oblique.

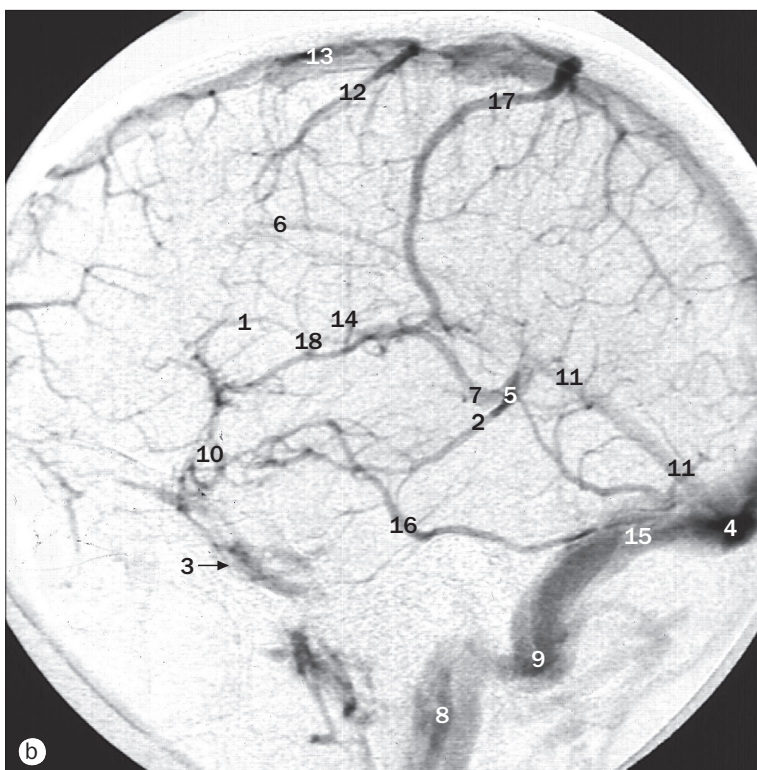


- | | |
|---|---|
| 1 Artère angulaire | 15 Artère lenticulostrée |
| 2 Artère cérébrale antérieure | 16 Artère maxillaire |
| 3 Artère choroiidienne antérieure | 17 Artère cérébrale moyenne |
| 4 Artère communicante antérieure | 18 Artère occipitale |
| 5 Artère temporale antérieure | 19 Artère operculofrontale |
| 6 Artère du sillon du cingulum (callosomarginale) | 20 Artère ophtalmique |
| 7 Partie caverneuse de l'artère carotide interne | 21 Artère orbitofrontale |
| 8 Artère du sillon central | 22 Artère paracentrale |
| 9 Partie cervicale de l'artère carotide interne | 23 Artère péricalléuse |
| 10 Branche ethmoïdale de l'artère ophtalmique | 24 Artère péricalléuse s'étendant autour du corps calleux |
| 11 Artère frontopolaire | 25 Partie pétreuse de l'artère carotide interne |
| 12 Artère pariétale interne inférieure | 26 Artère cérébrale postérieure |
| 13 Branche frontale interne de l'artère cérébrale antérieure | 27 Artère communicante postérieure |
| 14 Artère carotide interne intracrânienne (supraclinoïdienne) | 28 Artère pariétale postérieure |
| | 29 Artère temporale postérieure |
| | 30 Artère striée médiale |



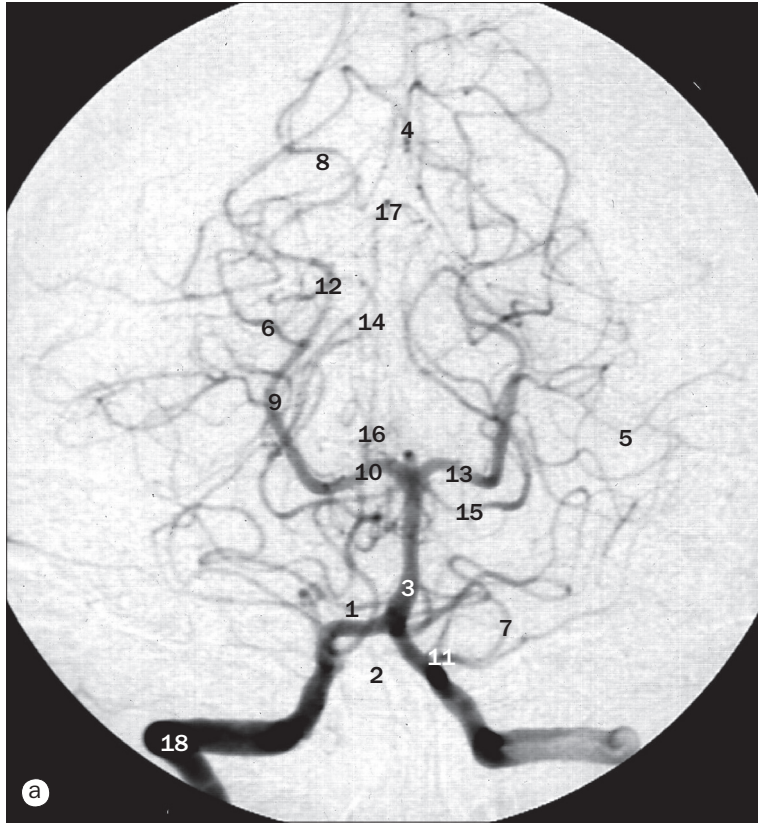
(a) Région carotidienne, artériographie par soustraction numérique, phase veineuse, incidence de face.

- 1 Veine basale (de Rosenthal)
- 2 Sinus sagittal inférieur
- 3 Veine cérébrale interne
- 4 Veine jugulaire interne
- 5 Bulbe supérieur de la veine jugulaire
- 6 Sinus transverse droit
- 7 Veines corticales superficielles
- 8 Sinus sagittal supérieur
- 9 Veine thalamostriée



(b) Région carotidienne, artériographie par soustraction numérique, phase veineuse, incidence de profil.

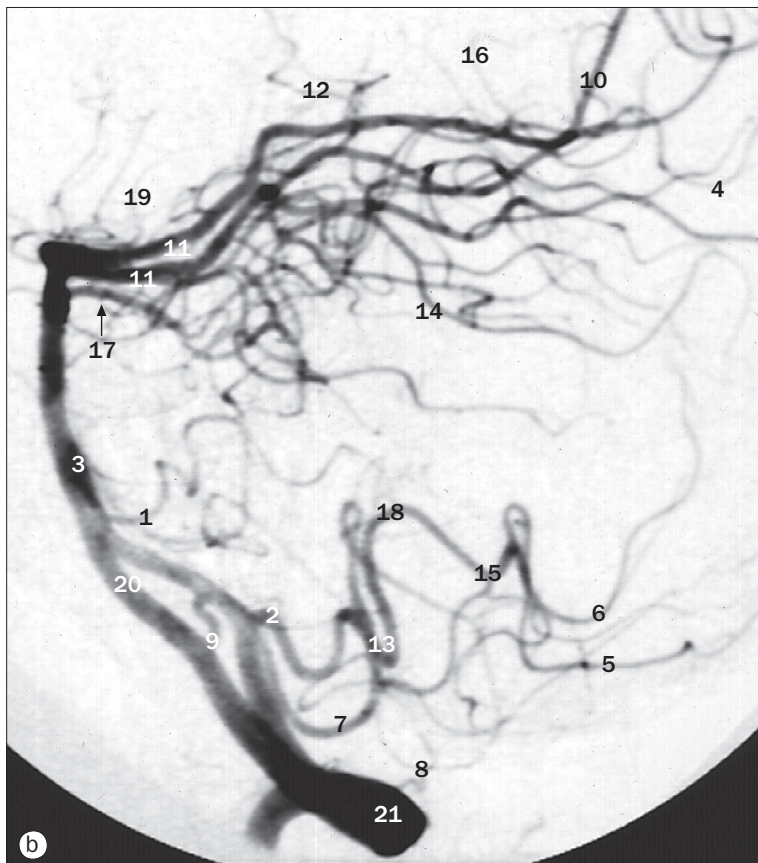
- 1 Veine antérieure du noyau caudé
- 2 Veine basale
- 3 Sinus caveux
- 4 Confluent des sinus veineux (torcular d'Hérophile)
- 5 Grande veine cérébrale (de Galien)
- 6 Sinus sagittal inférieur
- 7 Veine cérébrale interne
- 8 Veine jugulaire interne
- 9 Sinus sigmoïde
- 10 Sinus sphéno-pariétal
- 11 Sinus droit
- 12 Veines cérébrales superficielles
- 13 Sinus sagittal supérieur
- 14 Veine thalamostriée
- 15 Sinus transverse
- 16 Veine anastomotique inférieure (de Labbé)
- 17 Veine anastomotique supérieure (de Trolard)
- 18 Angle veineux



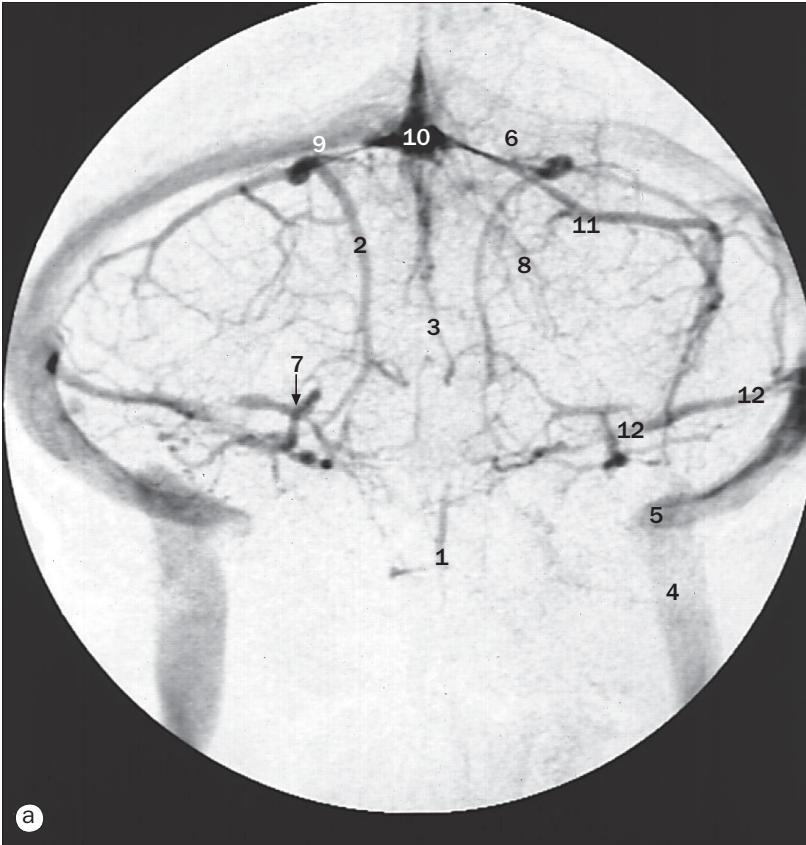
(a) Région des artères vertébrales, artériographie par soustraction numérique, phase artérielle, incidence de face.

- 1 Artère cérébelleuse antérieure et inférieure
- 2 Artère spinale antérieure
- 3 Artère basilaire
- 4 Artère calcarine
- 5 Branche hémisphérique de l'artère cérébelleuse supérieure
- 6 Artère temporale inférieure
- 7 Segment médullaire de l'artère cérébelleuse postérieure et inférieure
- 8 Artère pariéto-occipitale
- 9 Artère cérébrale postérieure dans la citerne ambiante
- 10 Artère cérébrale postérieure dans la citerne interpédonculaire
- 11 Artère cérébelleuse postérieure et inférieure
- 12 Partie quadrigéminale de l'artère cérébrale postérieure
- 13 Point de jonction avec l'artère communicante postérieure
- 14 Artères cérébelleuses supérieures derrière le tronc cérébral
- 15 Artère cérébelleuse supérieure
- 16 Branches thalamoperforantes de l'artère cérébelleuse supérieure
- 17 Branche vermiennne de l'artère cérébelleuse supérieure
- 18 Artère vertébrale à sa sortie du foramen transversaire de l'atlas (1^{re} vertèbre cervicale)

(a) Région des artères vertébrales, artériographie par soustraction numérique, phase artérielle, incidence de profil.

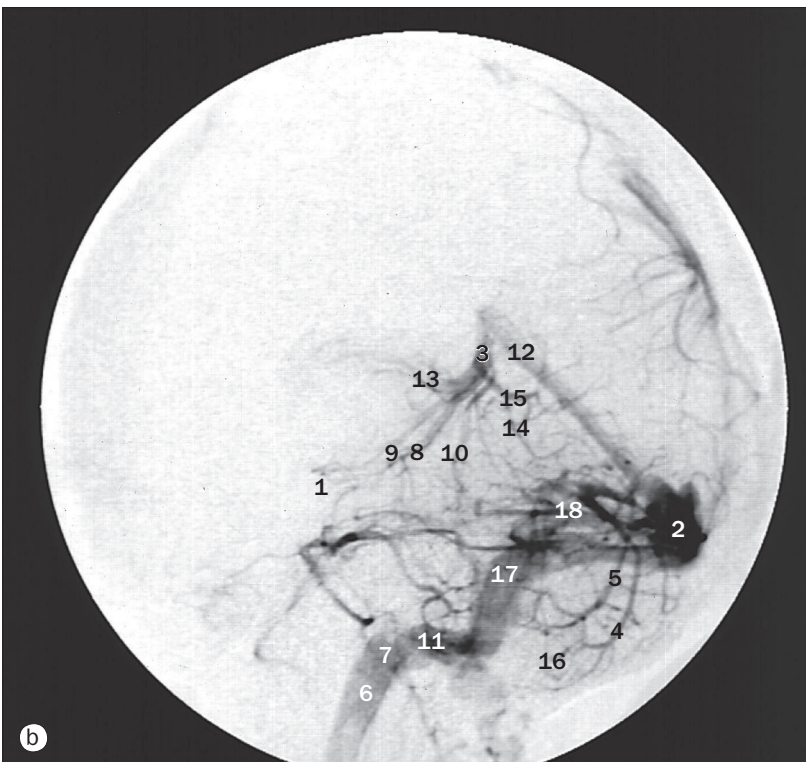


- 1 Artère cérébelleuse antérieure et inférieure
- 2 Segment médullaire antérieur de l'artère cérébelleuse postérieure et inférieure
- 3 Artère basilaire
- 4 Artère calcarine
- 5 Branches hémisphériques de l'artère cérébelleuse postérieure et inférieure
- 6 Segment vermien inférieur de l'artère cérébelleuse postérieure et inférieure
- 7 Segment médullaire latéral de l'artère cérébelleuse postérieure et inférieure
- 8 Branche méningée de l'artère vertébrale
- 9 Origine de l'artère cérébelleuse postérieure et inférieure
- 10 Artère pariéto-occipitale
- 11 Artère cérébrale postérieure
- 12 Branches choroïdiennes postérieures de l'artère cérébrale postérieure
- 13 Segment médullaire postérieur de l'artère cérébelleuse postérieure et inférieure
- 14 Artère temporale postérieure
- 15 Segment rétrotonsillaire de l'artère cérébelleuse postérieure et inférieure
- 16 Branches spléniales de l'artère cérébrale postérieure
- 17 Artère cérébelleuse supérieure
- 18 Segment supratonsillaire de l'artère cérébelleuse postérieure et inférieure
- 19 Branches thalamoperforantes de l'artère cérébrale postérieure
- 20 Artère vertébrale
- 21 Artère vertébrale à sa sortie du foramen transversaire de l'atlas (1^{re} vertèbre cervicale)



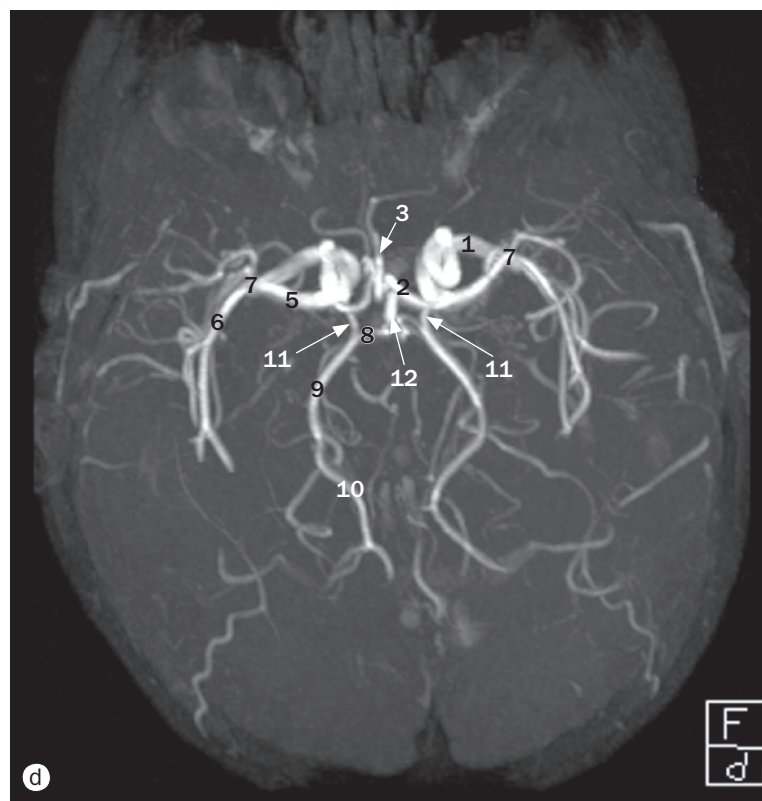
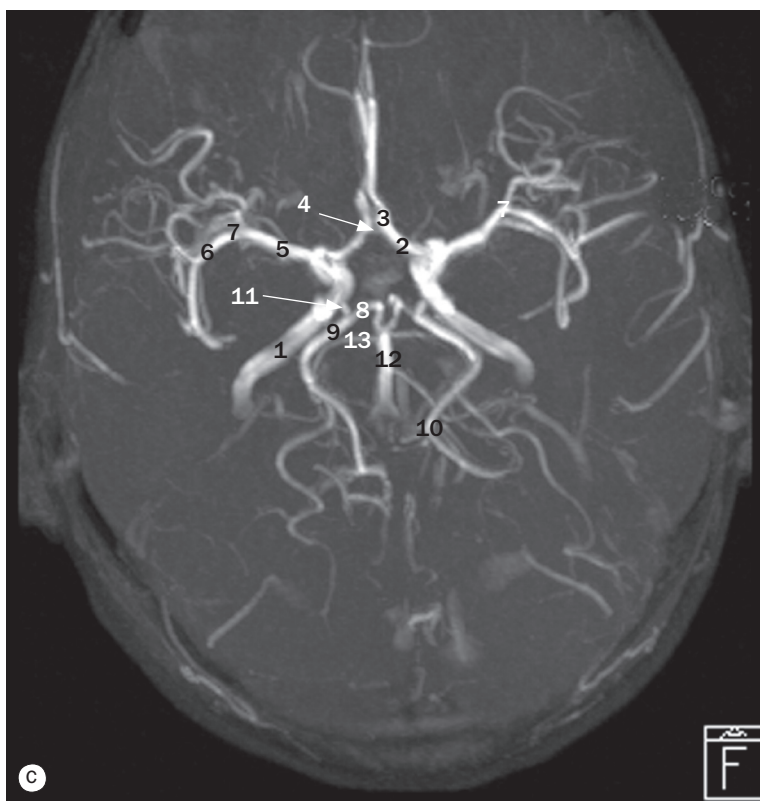
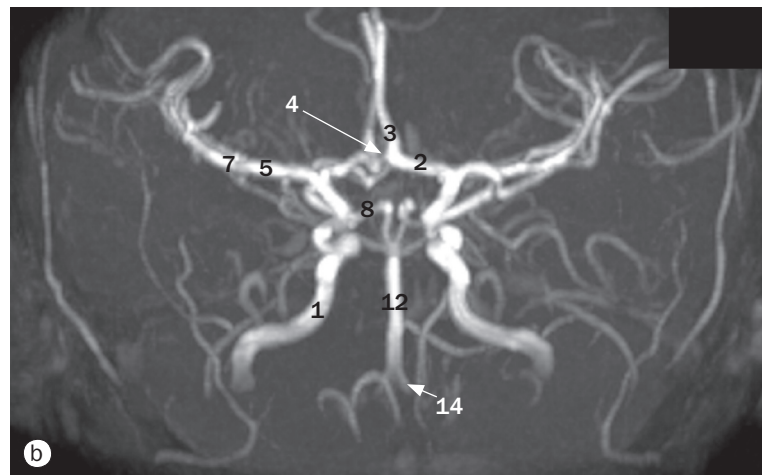
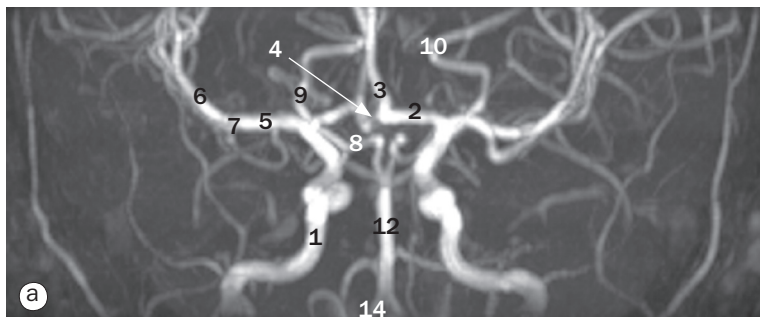
(a) Région des artères vertébrales, artériographie par soustraction numérique, phase veineuse, incidence de face.

- 1 Veine pontomésencéphalique antérieure
- 2 Veine hémisphérique inférieure
- 3 Veine vermiennne inférieure
- 4 Veine jugulaire interne
- 5 Bulbe supérieur de la veine jugulaire
- 6 Sinus transverse gauche
- 7 Veine pétreuse
- 8 Veine mésencéphalique postérieure
- 9 Sinus transverse droit
- 10 Sinus droit
- 11 Veine hémisphérique supérieure
- 12 Sinus pétreux supérieur



(b) Région des artères vertébrales, artériographie par soustraction numérique, phase veineuse, incidence de profil.

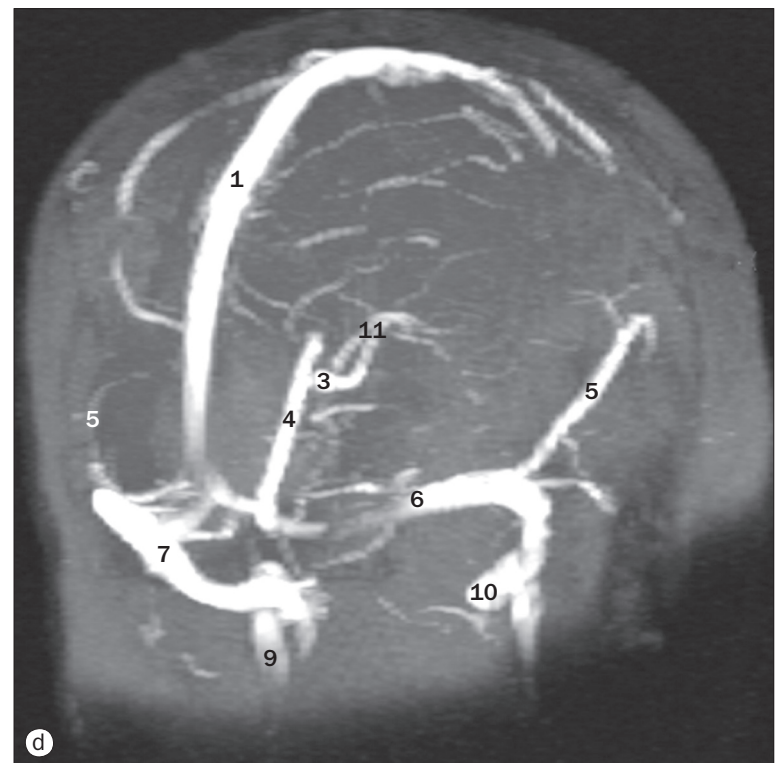
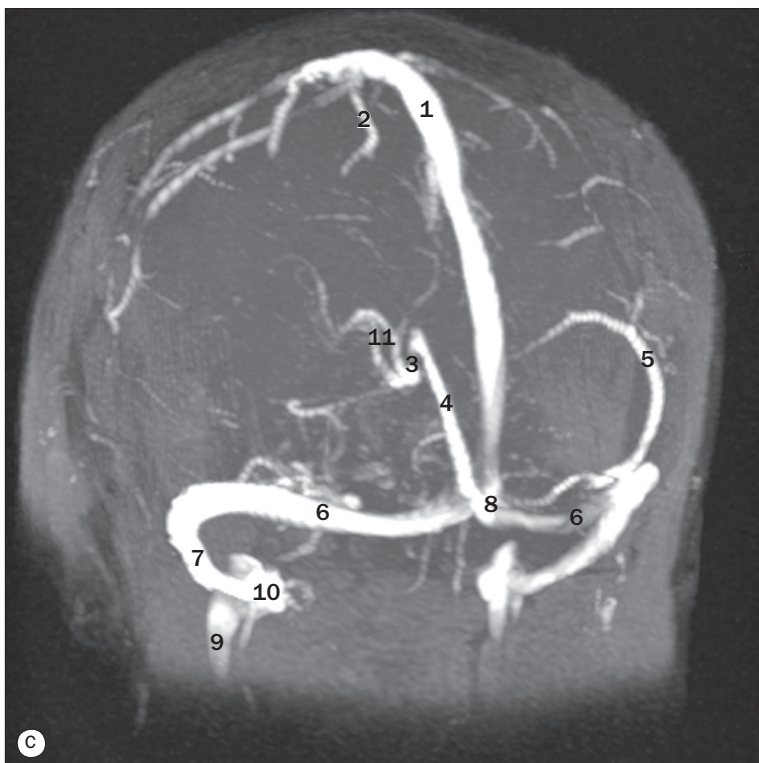
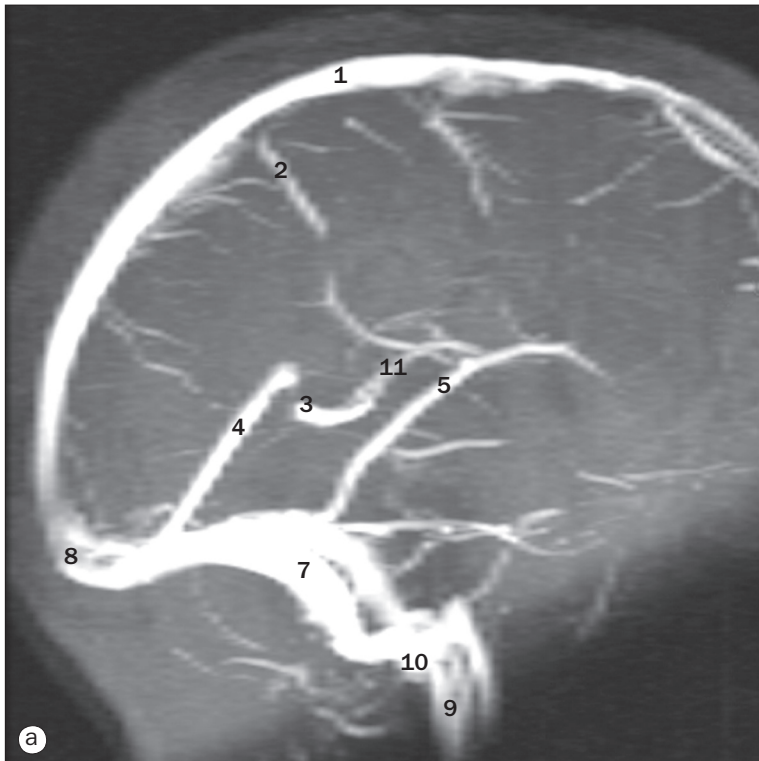
- 1 Veine pontomésencéphalique antérieure
- 2 Confluent des sinus
- 3 Grande veine cérébrale
- 4 Veine hémisphérique inférieure
- 5 Veine vermiennne inférieure
- 6 Veine jugulaire interne
- 7 Bulbe supérieur de la veine jugulaire
- 8 Veine mésencéphalique latérale
- 9 Veine mésencéphalique postérieure
- 10 Veine cérébelleuse précentrale
- 11 Sinus sigmoïde
- 12 Sinus droit
- 13 Veine choroïdienne supérieure
- 14 Veine hémisphérique supérieure
- 15 Veine vermiennne supérieure
- 16 Veine tonsillaire
- 17 Sinus transverse
- 18 Veine de la grande fissure horizontale



Cercle artériel du cerveau, angio-IRM en coupes (a) et (b) coronales, (c) et (d) axiales.

- 1 Artère carotide interne
- 2 Segment horizontal (A1) de l'artère cérébrale antérieure (ACA)
- 3 Segment vertical (A2) de l'ACA
- 4 Artère communicante antérieure
- 5 Segment horizontal (M1) de l'artère cérébrale moyenne (ACM)
- 6 Segment insulaire (M2) de l'ACM
- 7 Genou (bifurcation) de l'ACM

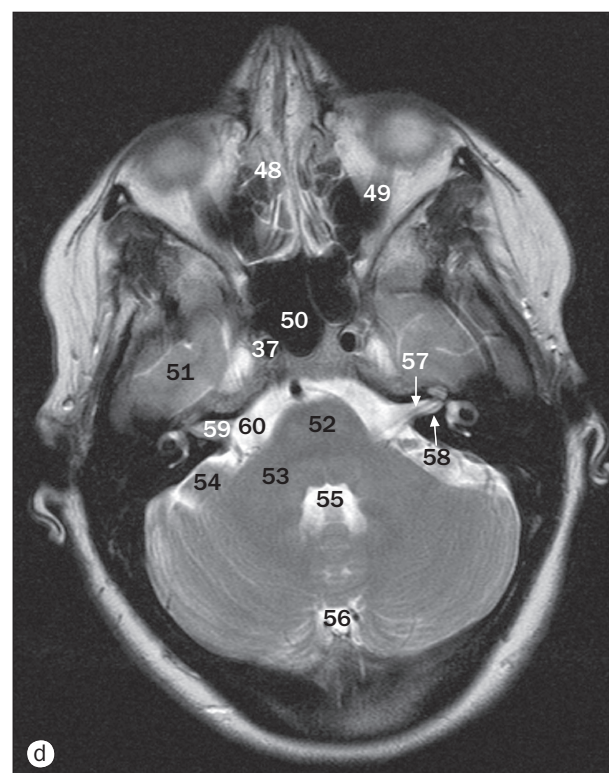
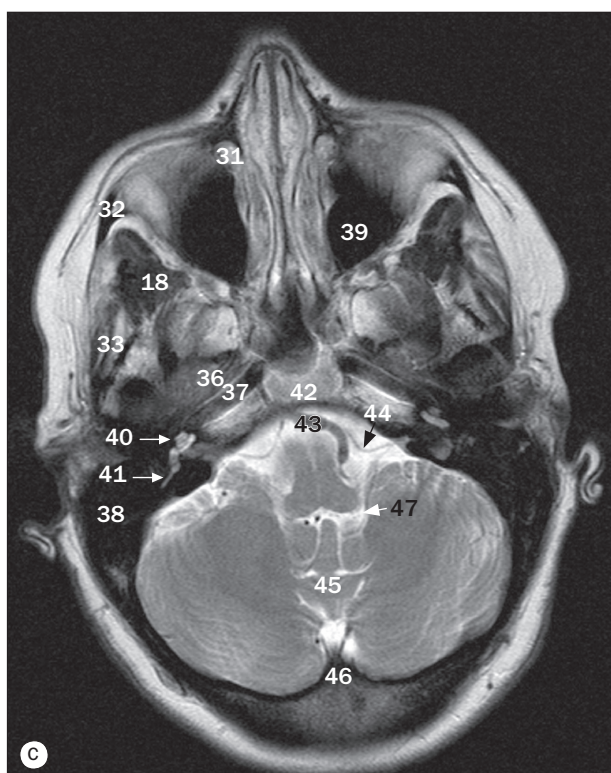
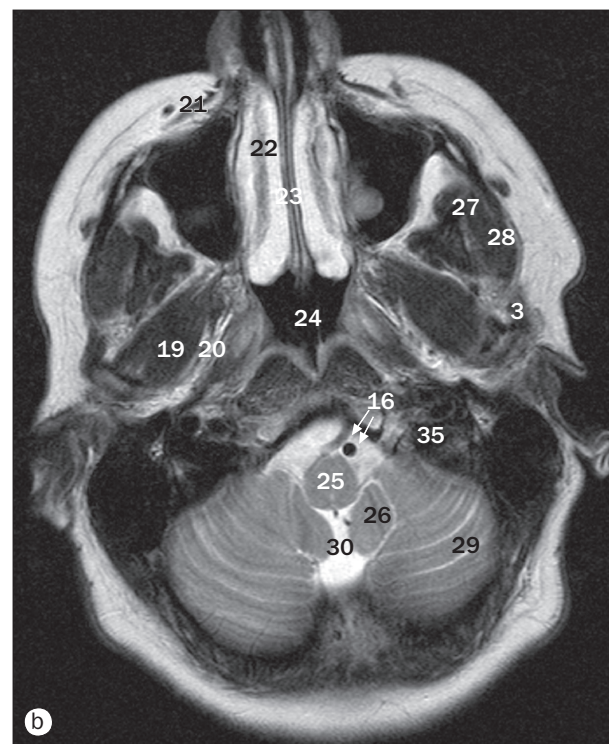
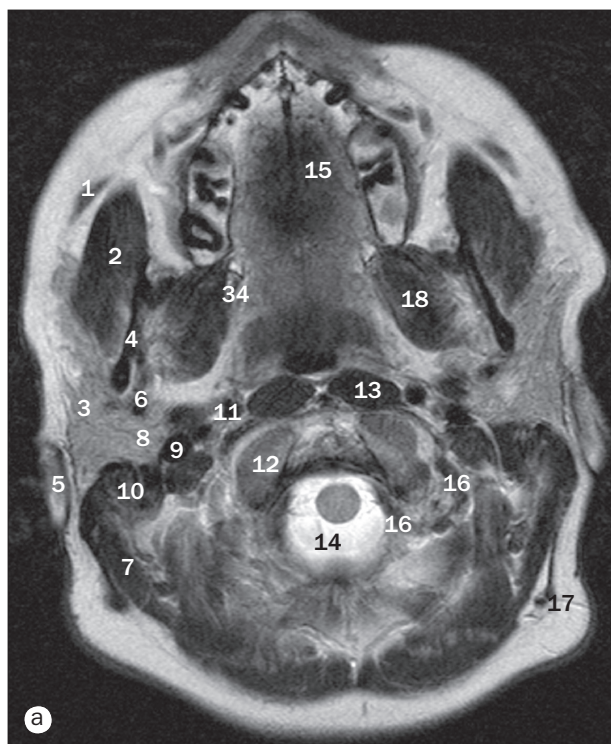
- 8 Segment précommunicant (P1) de l'artère cérébrale postérieure (ACP)
- 9 Segment ambiant (P2) de l'ACP
- 10 Segment quadrigéminé (P3) de l'ACP
- 11 Artère communicante postérieure
- 12 Artère basilaire
- 13 Artère cérébelleuse supérieure
- 14 Artère vertébrale



Circulation veineuse, angio-IRM, (a) incidence de profil, (b) incidence de face, (c) incidence oblique postérieure gauche, (d) incidence oblique postérieure droite.

- 1 Sinus sagittal supérieur
- 2 Veines cérébrales superficielles
- 3 Grande veine cérébrale (de Galien)
- 4 Sinus droit
- 5 Veine anastomotique inférieure
- 6 Sinus transverse

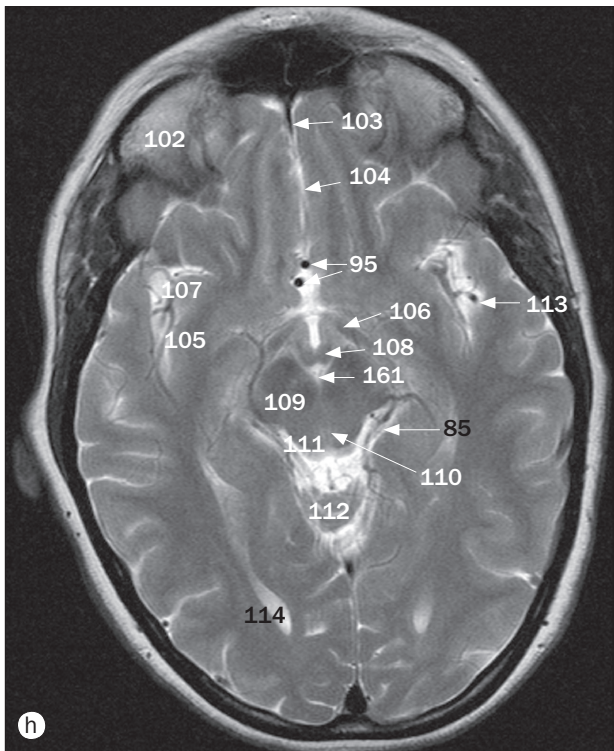
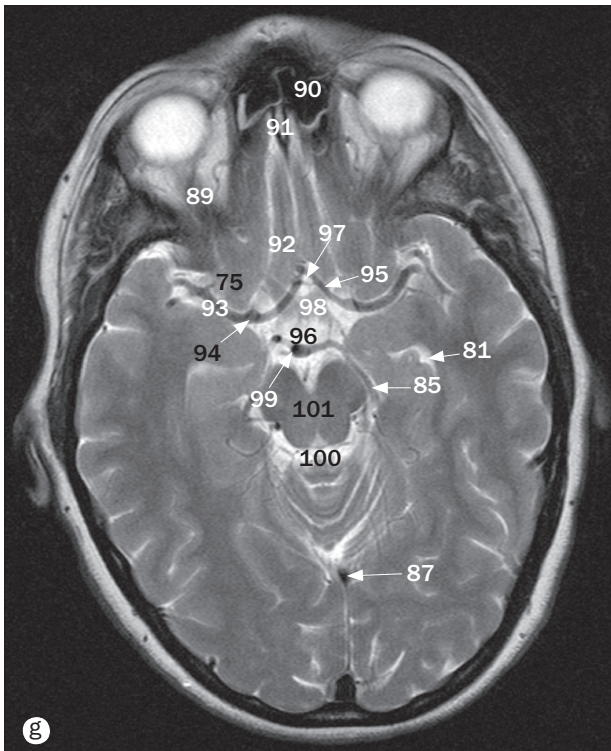
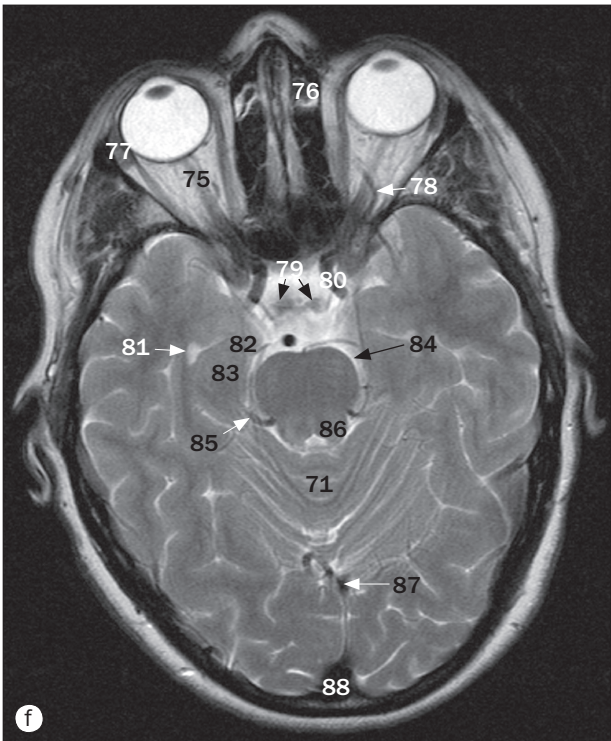
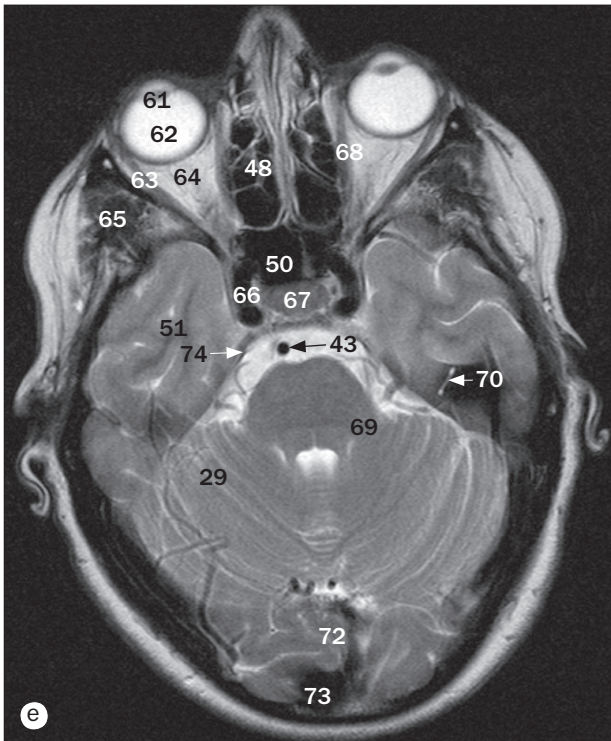
- 7 Sinus sigmoïde
- 8 Confluent des sinus
- 9 Veine jugulaire interne
- 10 Bulbe supérieur de la veine jugulaire
- 11 Veine cérébrale interne



(a)–(n) Cerveau, IRM pondérée en T2 en coupes axiales, d'inférieur à supérieur.

- | | | | |
|--------------------------------------|-------------------------------|---|--|
| 1 Conduit parotidien | 10 Processus mastoïde | 19 Muscle ptérygoïdien latéral | 26 Tonsille cérébelleuse |
| 2 Muscle masséter | 11 Artère carotide interne | 20 Lamelle latérale du processus ptérygoïde | 27 Processus coronoïde de la mandibule |
| 3 Glande parotide (lobe superficiel) | 12 Condyle occipital | 21 Muscle releveur de la lèvre supérieure et de l'aile du nez | 28 Muscle temporal |
| 4 Branche de la mandibule | 13 Muscle long de la tête | 22 Cornet nasal inférieur | 29 Lamelles de l'hémisphère du cervelet |
| 5 Auricule | 14 Foramen magnum | 23 Septum nasal | 30 Ouverture médiane du quatrième ventricule (foramen de Magendie) |
| 6 Veine rétomandibulaire | 15 Palais osseux | 24 Nasopharynx | |
| 7 Muscle sternocléidomastoïdien | 16 Artère vertébrale | 25 Moelle allongée | |
| 8 Glande parotide (lobe profond) | 17 Vaisseaux occipitaux | | |
| 9 Veine jugulaire interne | 18 Muscle ptérygoïdien médial | | |

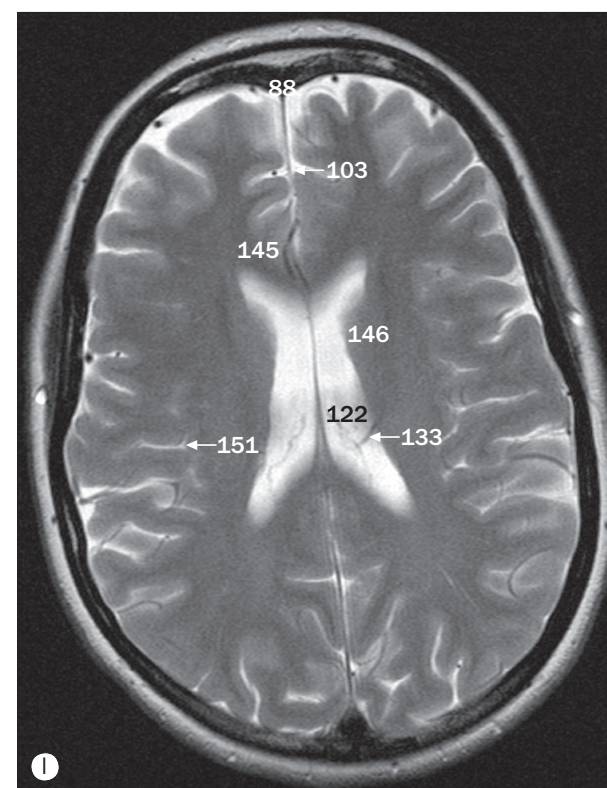
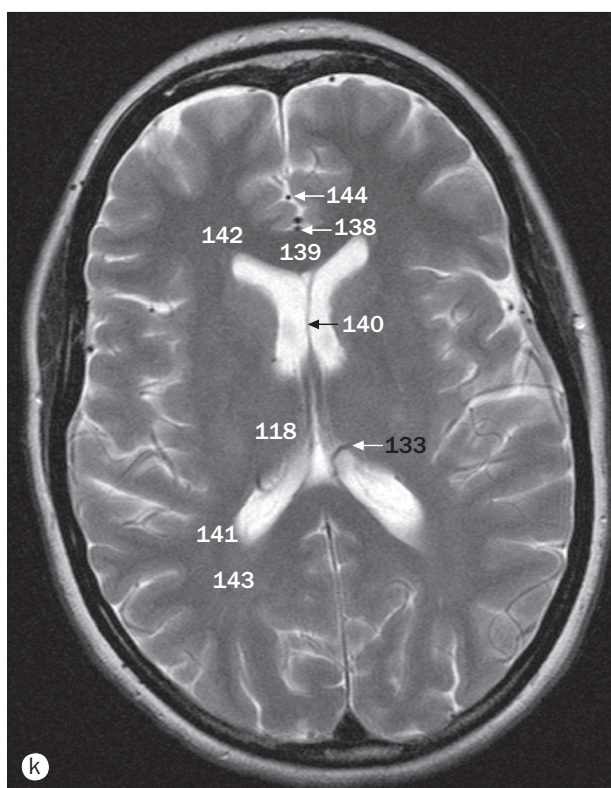
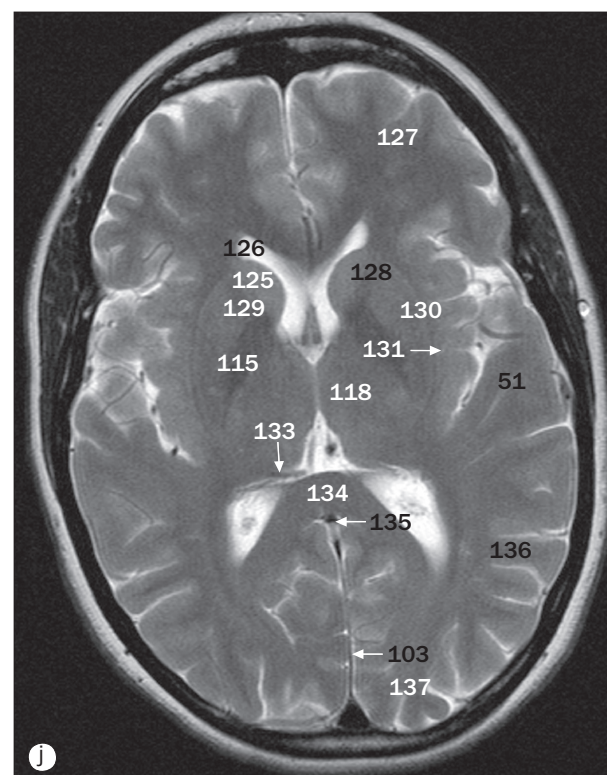
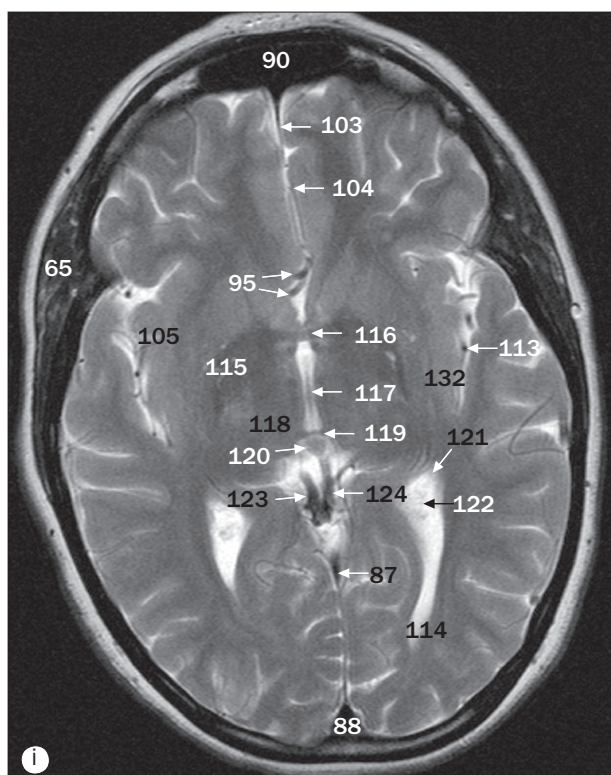
Les numéros 1–161 sont communs aux pages 42–45.



(a)–(n) Cerveau, IRM pondérée en T2 en coupes axiales, d’inférieur à supérieur.

- | | | | |
|---|--|---|---|
| 31 Conduit lacrymonasal | 39 Sinus maxillaire | 47 Ouverture latérale du quatrième ventricule (foramen de Lushka) | 54 Lobe flocculonodulaire du cervelet |
| 32 Arc zygomatique | 40 Cochlée | 48 Cellules ethmoïdales | 55 Quatrième ventricule |
| 33 Tête de la mandibule | 41 Canal semicirculaire postérieur | 49 Muscle droit inférieur | 56 Grande citerne |
| 34 Lamé médiale du processus ptérygoïde | 42 Clivus | 50 Sinus sphénoïdal | 57 Nerf facial (nerf crânien VII) |
| 35 Foramen jugulaire | 43 Artère basilaire | 51 Lobe temporal | 58 Nerf vestibulocochléaire (nerf crânien VIII) |
| 36 Partie pétreuse de l’os temporal | 44 Artère labyrinthique | 52 Pont | 59 Méat acoustique interne |
| 37 Artère carotide interne | 45 Vermis inférieur | 53 Pédoncule cérébelleux moyen | 60 Angle cérébellopontique |
| 38 Cellules mastoïdiennes | 46 Inion (protubérance occipitale interne) | | |

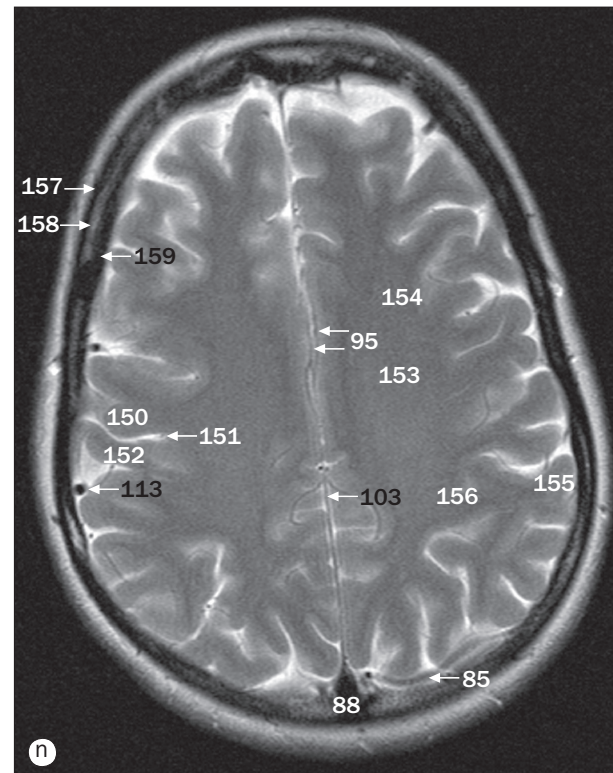
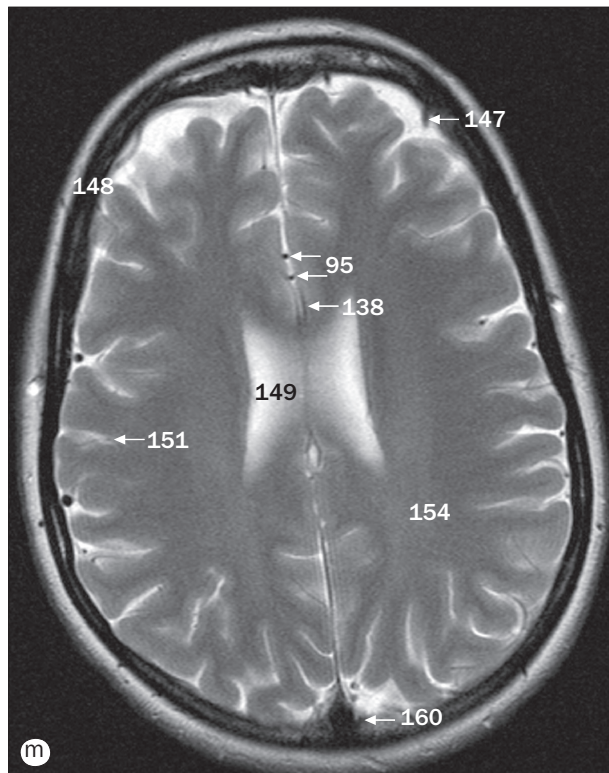
Les numéros 1–161 sont communs aux pages 42–45.



(a)–(n) Cerveau, IRM pondérée en T2 en coupes axiales, d'inférieur à supérieur.

- | | | | |
|--|--------------------------------------|-----------------------------------|---|
| 61 Cristallin | 67 Corps de l'os sphénoïde | 73 Confluent des sinus | 80 Artère carotide interne (partie supraclinôidienne) |
| 62 Humeur vitrée | 68 Muscle droit médial | 74 Ligament pétroclinôidien | 81 Corne temporale du ventricule latéral |
| 63 Muscle droit latéral | 69 Pédoncule cérébelleux supérieur | 75 Nerf optique (nerf crânien II) | 82 Uncus du lobe temporal |
| 64 Graisse rétro-orbitaire | 70 Canal semicirculaire supérieur | 76 Infundibulum du sinus frontal | |
| 65 Muscle temporal | 71 Vermis supérieur | 77 Glande lacrymale | |
| 66 Artère carotide interne (partie caverneuse) | 72 Cortex calcarin du lobe occipital | 78 Veine ophtalmique supérieure | |
| | | 79 Hypophyse (glande pituitaire) | |

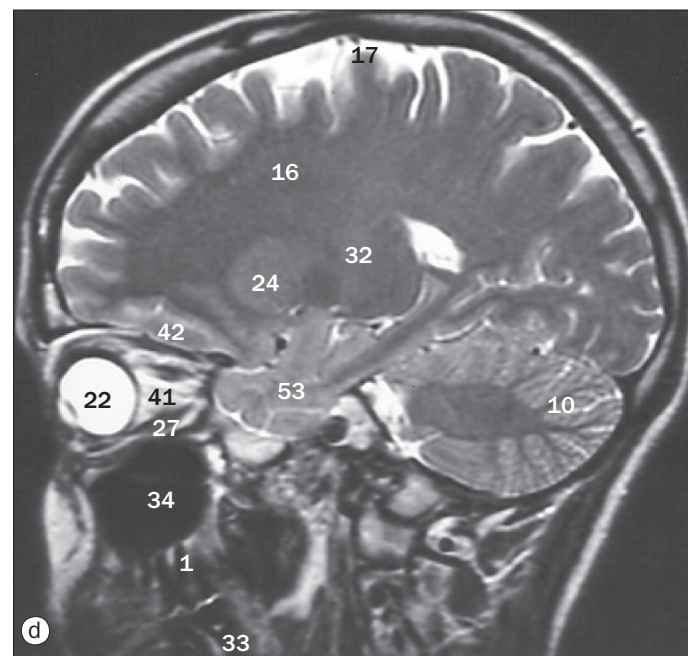
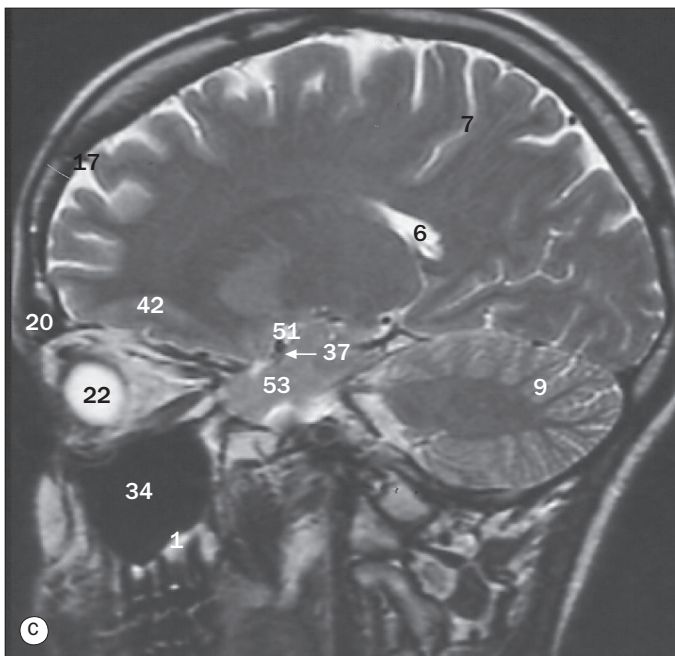
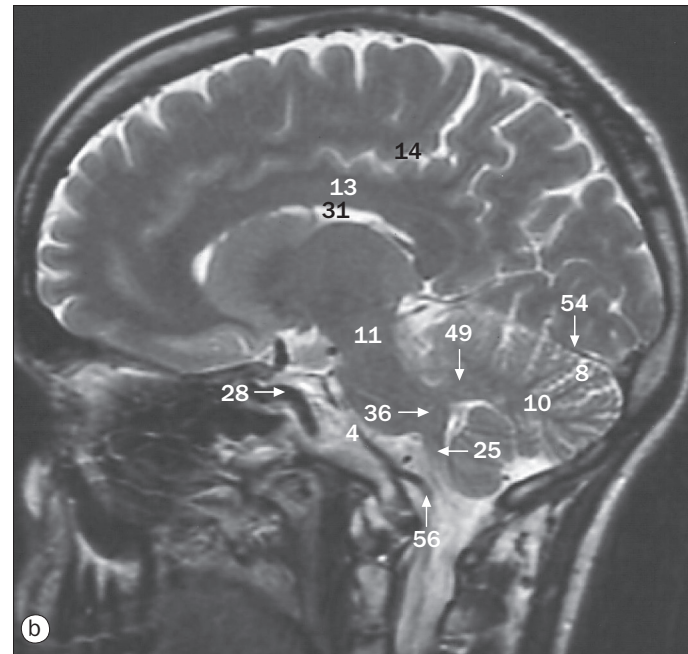
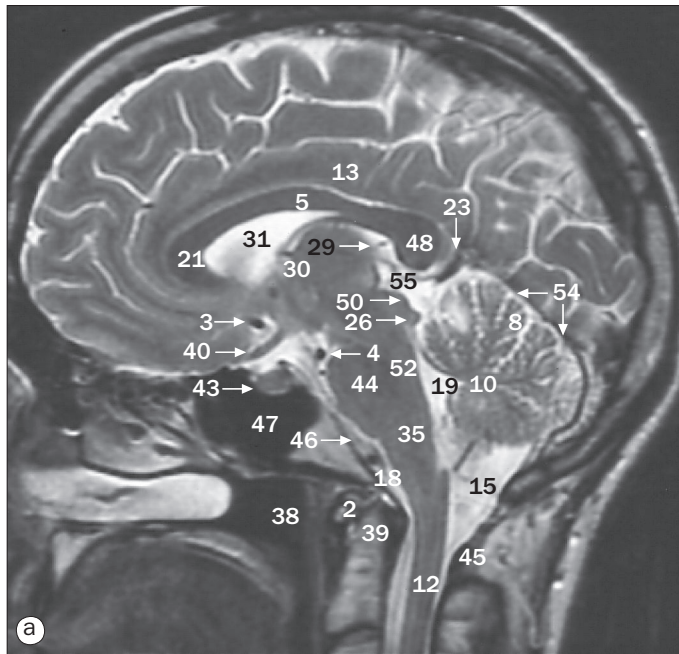
Les numéros 1–161 sont communs aux pages 42–45.



(a)–(n) Cerveau, IRM pondérée en T2 en coupes axiales, d'inférieur à supérieur.

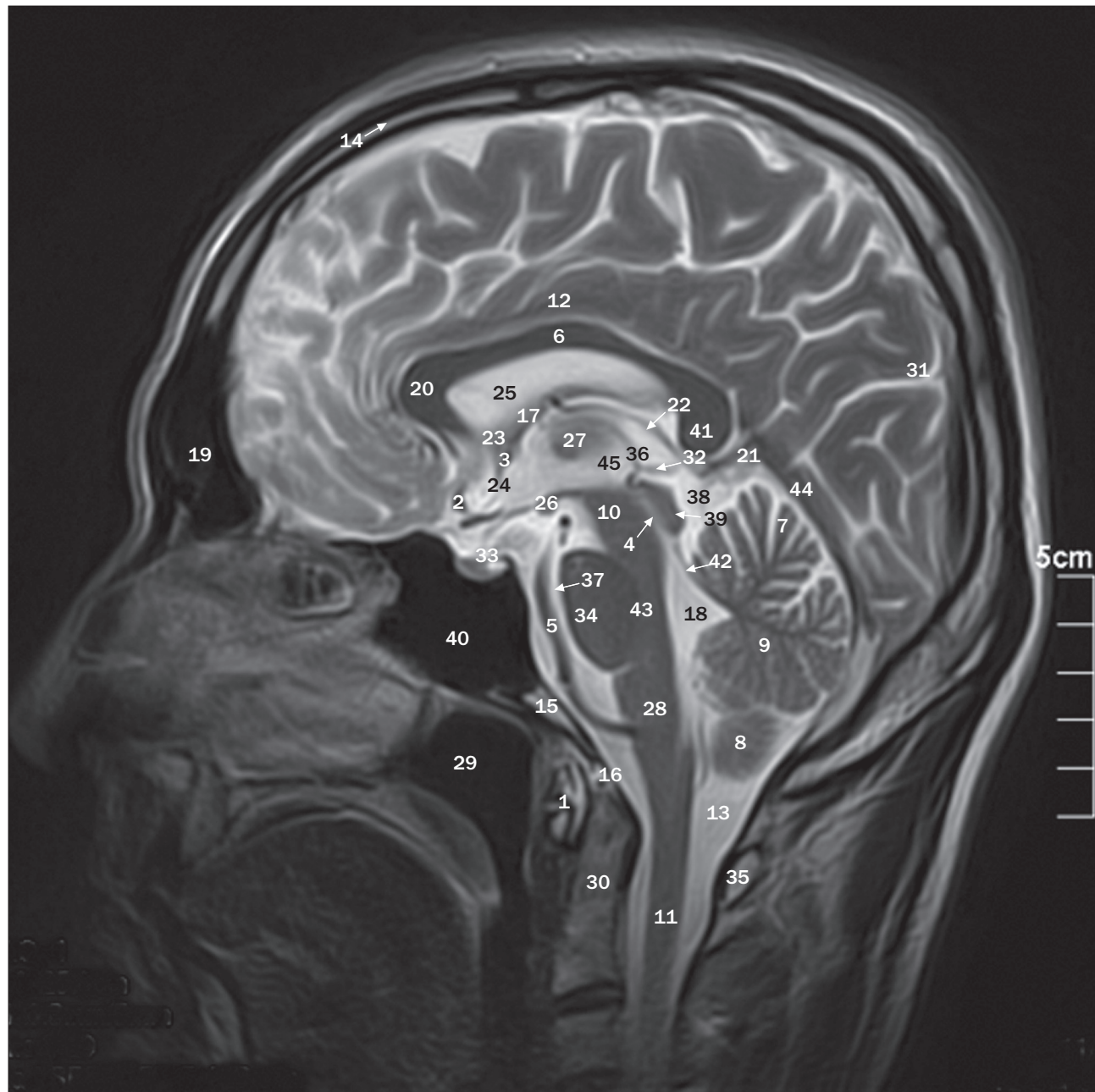
83 Hippocampe	105 Gyrus de l'insula	123 Veine basale (de Rosenthal)	143 Forceps postérieur du corps calleux
84 Citerne ambiante	106 Tractus optique	124 Veine cérébrale interne (de Galien)	144 Artère frontopolaire
85 Artère cérébrale postérieure	107 Sillon latéral (scissure de Sylvius)	125 Tête du noyau caudé	145 Gyrus du cingulum
86 Colliculus inférieur	108 Corps mamillaire (de l'hypothalamus)	126 Corne frontale du ventricule latéral	146 Corps du noyau caudé
87 Sinus droit	109 Pédoncule cérébral	127 Lobe frontal	147 Veine corticale
88 Sinus sagittal supérieur	110 Aqueduc du mésencéphale (de Sylvius)	128 Bras antérieur de la capsule interne	148 Calvaria
89 Muscle droit supérieur	111 Colliculus supérieur	129 Globus pallidus	149 Corps (atrium) du ventricule latéral
90 Sinus frontal	112 Lamelles du cervelet	130 Putamen	150 Gyrus précentral
91 Crista gali	113 Artère cérébrale moyenne (branche de second ordre)	131 Capsule externe	151 Sillon central de l'hémisphère cérébral (scissure de Rolando)
92 Nerf olfactif (nerf crânien I)	114 Corne occipitale du ventricule latéral	132 Claustrum	152 Gyrus postcentral
93 Artère cérébrale moyenne	115 Bras postérieur de la capsule interne	133 Vaisseaux choroïdiens	153 Centre semi-ovale
94 Bifurcation de l'artère carotide interne	116 Commissure antérieure du cerveau	134 Splénium du corps calleux	154 Corona radiata
95 Artère cérébrale antérieure	117 Troisième ventricule	135 Sinus sagittal inférieur	155 Substance grise
96 Citerne chiasmatique (suprasellaire)	118 Thalamus	136 Lobe pariétal	156 Substance blanche
97 Artère communicante antérieure	119 Commissure postérieure du cerveau	137 Lobe occipital	157 Lame externe de la calvaria
98 Chiasma optique	120 Corps pinéal	138 Artère du sillon du cingulum (callosomarginale)	158 Diploë
99 Bifurcation de l'artère basilaire	121 Trigone du ventricule latéral	139 Genou du corps calleux	159 Lame interne de la calvaria
100 Citerne quadrigémée	122 Plexus choroïde	140 Septum pellucidum	160 Granulation arachnoïdienne
101 Mésencéphale		141 Radiation optique	161 Citerne interpédonculaire
102 Lame orbitaire de l'os frontal		142 Forceps antérieur du corps calleux	
103 Faux du cerveau			
104 Fissure longitudinale du cerveau			

Les numéros 1–161 sont communs aux pages 42–45.



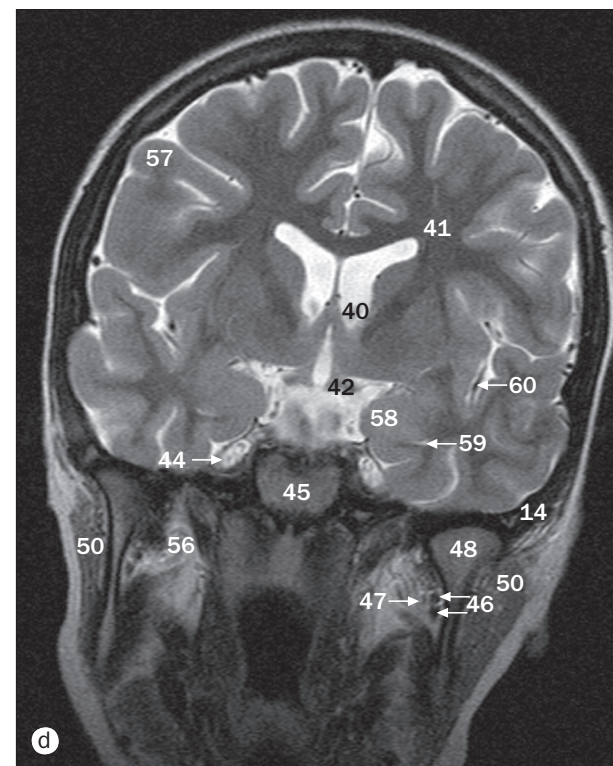
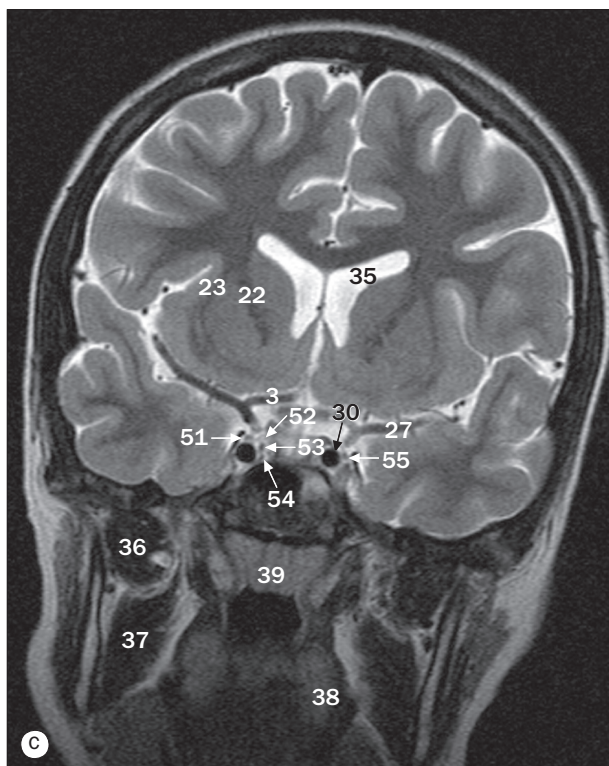
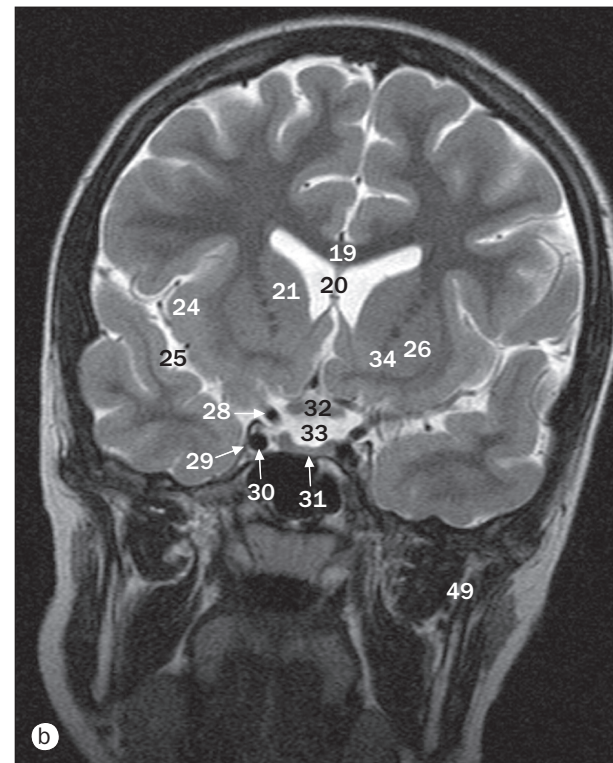
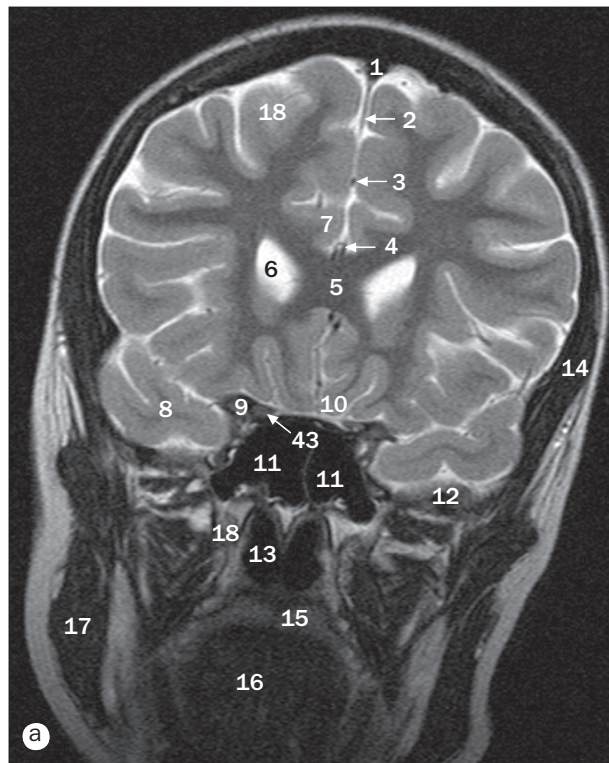
(a)–(d) Cerveau, IRM en coupes sagittales.

- | | | | |
|---|--|--|------------------------------------|
| 1 Processus alvéolaire | 16 Corona radiata | 30 Foramen interventriculaire (foramen de Monro) | 43 Hypophyse (glande pituitaire) |
| 2 Arc antérieur de l'atlas (1 ^{re} vertèbre cervicale) | 17 Veine corticale | 31 Ventricule latéral | 44 Pont |
| 3 Artère cérébrale antérieure | 18 Foramen magnum | 32 Noyau lenticulaire | 45 Arc postérieur de l'atlas |
| 4 Artère basilaire | 19 Quatrième ventricule | 33 Mandibule | 46 Citerne prépontique |
| 5 Corps du corps calleux | 20 Sinus frontal | 34 Sinus maxillaire | 47 Sinus sphénoïdal |
| 6 Corps du ventricule latéral | 21 Genou du corps calleux | 35 Moelle allongée | 48 Splénium du corps calleux |
| 7 Sillon central | 22 Globe oculaire | 36 Pédoncule cérébelleux moyen | 49 Pédoncule cérébelleux supérieur |
| 8 Lamelles du cervelet | 23 Grande veine cérébrale | 37 Artère cérébrale moyenne | 50 Colliculus supérieur |
| 9 Hémisphère du cervelet | 24 Tête du noyau caudé | 38 Nasopharynx | 51 Sillon central |
| 10 Cervelet | 25 Pédoncule cérébelleux inférieur | 39 Dent de l'axis | 52 Tegmentum pontique |
| 11 Pédoncule cérébral | 26 Colliculus inférieur | 40 Chiasma optique dans la citerne chiasmatisque | 53 Lobe temporal du cerveau |
| 12 Moelle spinale cervicale | 27 Muscle droit inférieur | 41 Nerf optique | 54 Tente du cervelet |
| 13 Gyrus du cingulum | 28 Artère carotide interne (dans le sinus caverneux) | 42 Cortex orbitaire du lobe frontal | 55 Corps pinéal |
| 14 Sillon du cingulum | 29 Veine cérébrale interne | | 56 Artère vertébrale |
| 15 Grande citerne | | | |



Cerveau, IRM en coupe sagittale dans le plan médian.

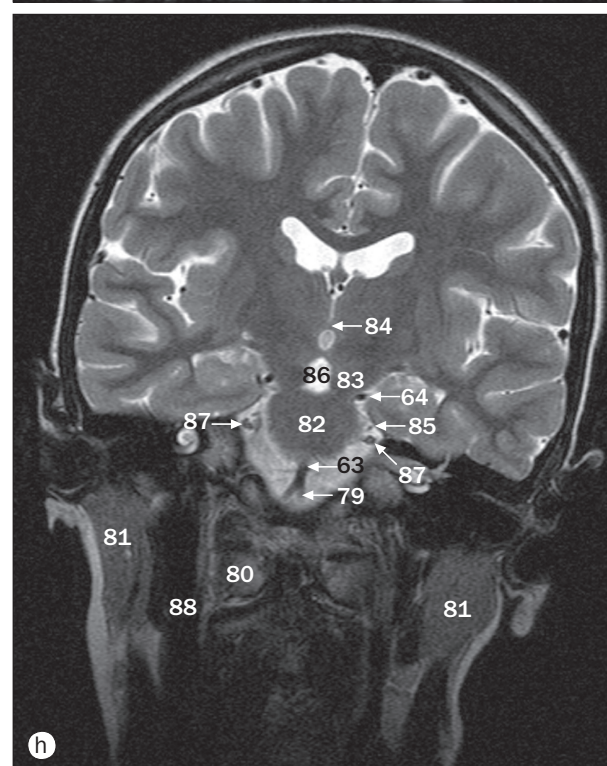
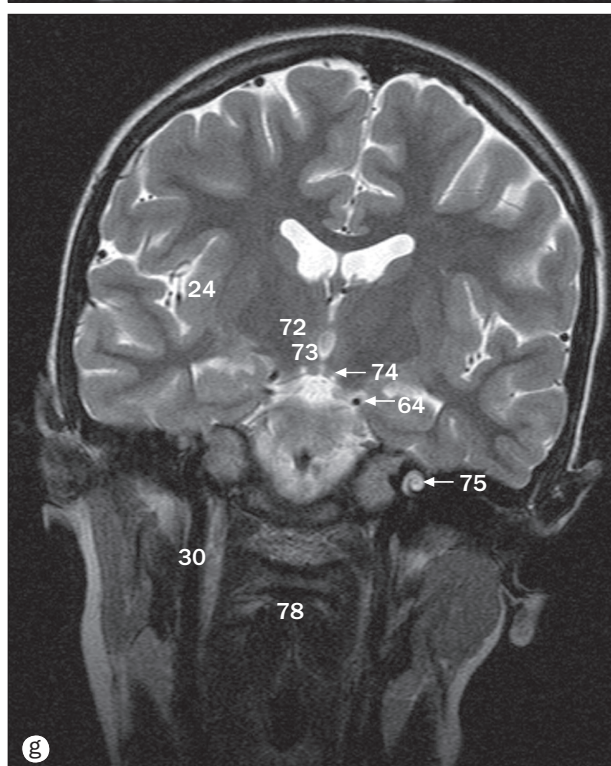
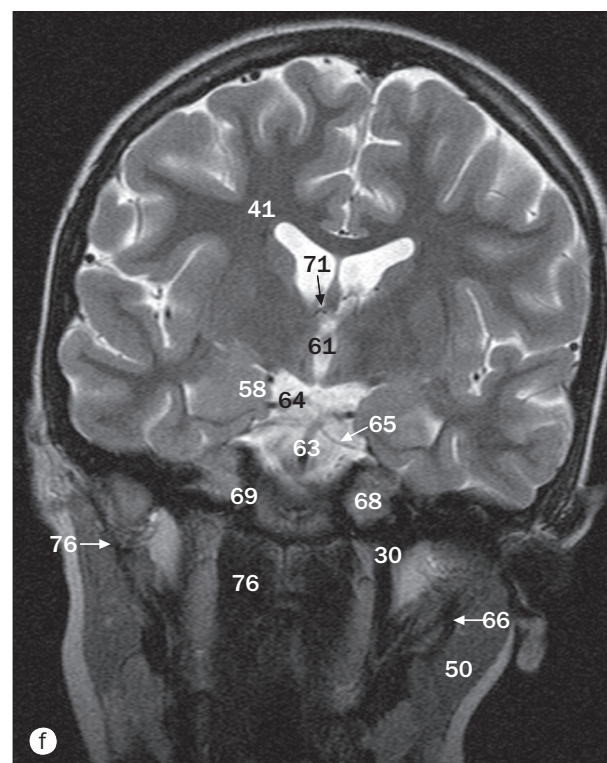
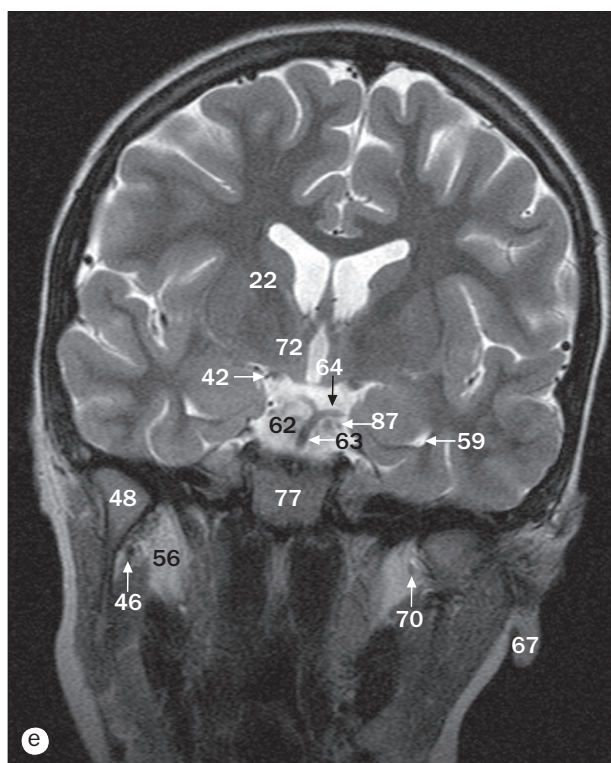
- | | | |
|---|-------------------------------|---|
| 1 Arc antérieur de l'atlas (1 ^{re} vertèbre cervicale) | 16 Foramen magnum | 32 Corps pinéal |
| 2 Artère cérébrale antérieure | 17 Fornix | 33 Hypophyse (glande pituitaire) |
| 3 Commissure antérieure du cerveau | 18 Quatrième ventricule | 34 Pont |
| 4 Aqueduc du mésencéphale | 19 Sinus frontal | 35 Arc postérieur de l'atlas |
| 5 Artère basilaire | 20 Genou du corps calleux | 36 Commissure postérieure |
| 6 Corps du corps calleux | 21 Grande veine cérébrale | 37 Citerne prépontique |
| 7 Lamelles du cervelet | 22 Veine cérébrale interne | 38 Citerne quadrigémée |
| 8 Tonsille cérébelleuse | 23 Foramen interventriculaire | 39 Lame tectale (quadrijumelle) du mésencéphale |
| 9 Cervelet | 24 Lame terminale | 40 Sinus sphénoïdal |
| 10 Pédoncule cérébral du mésencéphale | 25 Ventricule latéral | 41 Splénium du corps calleux |
| 11 Moelle spinale cervicale | 26 Corps mamillaire | 42 Voile médullaire supérieur |
| 12 Gyrus du cingulum | 27 Adhésion interthalamique | 43 Tegmentum pontique |
| 13 Grande citerne | 28 Moelle allongée | 44 Tente du cervelet |
| 14 Diploë de la calvaria | 29 Nasopharynx | 45 Troisième ventricule |
| 15 Graisse dans la moelle osseuse du clivus | 30 Dent de l'axis | |
| | 31 Sillon pariéto-occipital | |



(a)–(p) Cerveau, IRM pondérée en T2 en coupes coronales, d'antérieur à postérieur.

- | | | | |
|--|----------------------------------|---|--|
| 1 Sinus sagittal supérieur | 9 Processus clinoïde antérieur | 18 Lobe frontal | 26 Putamen |
| 2 Faux du cerveau | 10 Cortex olfactif | 19 Corps du corps calleux | 27 Artère cérébrale moyenne |
| 3 Artère cérébrale antérieure | 11 Sinus sphénoïdal | 20 Septum pellucidum | 28 Partie supraclinoïdienne de l'artère carotide interne |
| 4 Artère callosomarginale | 12 Grande aile de l'os sphénoïde | 21 Tête du noyau caudé | 29 Paroi durale latérale du sinus caveux |
| 5 Genou du corps calleux | 13 Nasopharynx | 22 Bras antérieur de la capsule interne | 30 Artère carotide interne |
| 6 Corne frontale du ventricule latéral | 14 Muscle temporal | 23 Capsule externe | 31 Hypophyse (glande pituitaire) |
| 7 Gyrus du cingulum | 15 Palais osseux | 24 Gyrus de l'insula | 32 Chiasma optique |
| 8 Lobe temporal | 16 Oropharynx | 25 Sillon latéral | |
| | 17 Muscle masséter | | |

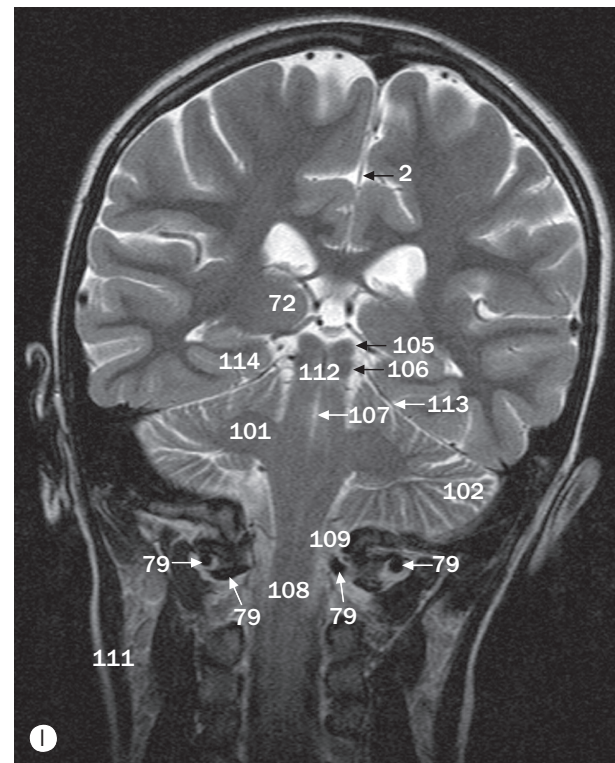
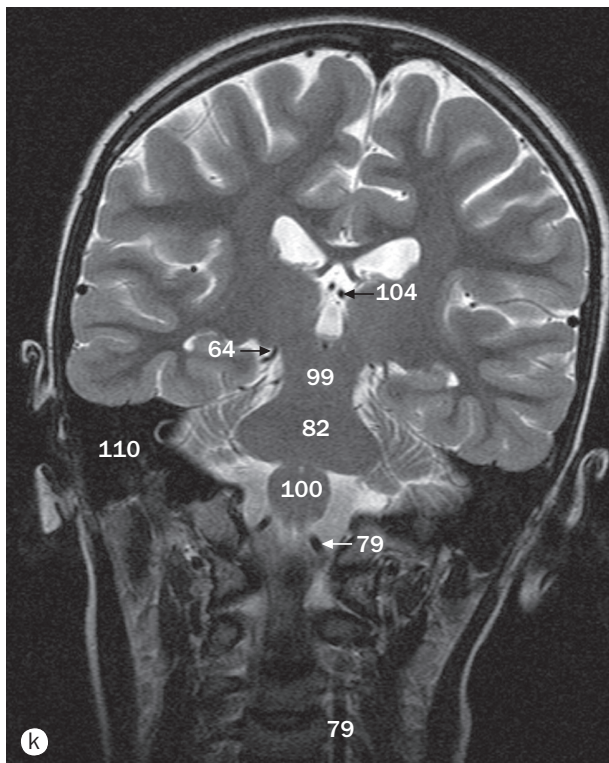
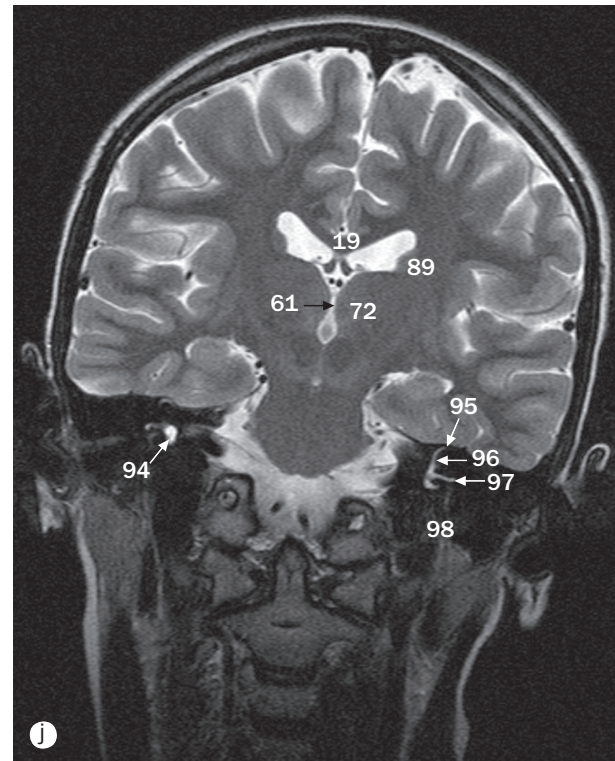
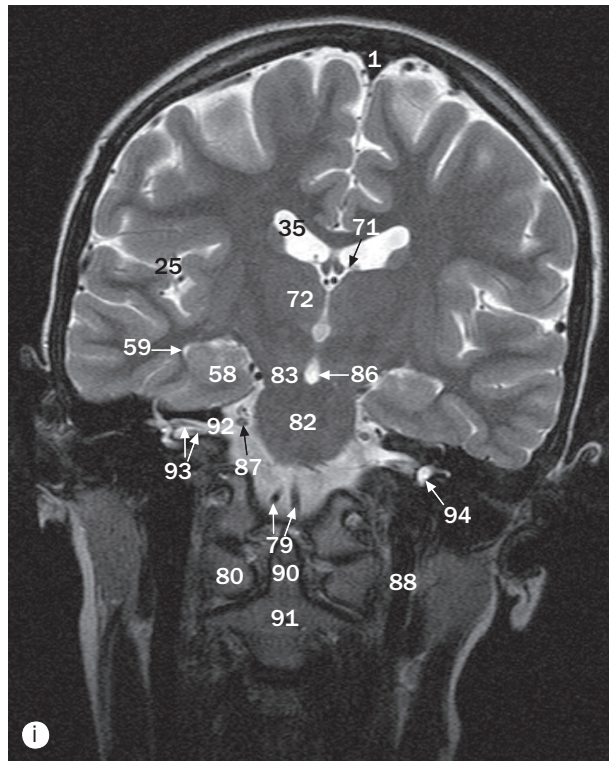
Les numéros 1–130 sont communs aux pages 48–51.



(a)–(p) Cerveau, IRM pondérée en T2 en coupes coronales, d'antérieur à postérieur.

- | | | | |
|---|--|--|---|
| 33 Citerne chiasmatique | 42 Tractus optique | 50 Glande parotide | 56 Fosse infratemporale |
| 34 Globus pallidus | 43 Nerf optique (nerf crânien II) | 51 Nerf oculomoteur (nerf crânien III) | 57 Lobe pariétal |
| 35 Corps (atrium) du ventricule latéral | 44 Ganglion trigéminal dans la cavité trigéminal | 52 Nerf trochléaire (nerf crânien IV) | 58 Hippocampe |
| 36 Muscle ptérygoïdien latéral | 45 Corps de l'os sphénoïde | 53 Nerf ophtalmique (nerf crânien V, 1 ^{re} division) | 59 Corne temporale du ventricule latéral |
| 37 Muscle ptérygoïdien médial | 46 Vaisseaux alvéolaires inférieurs | 54 Nerf maxillaire (nerf crânien V, 2 ^e division) | 60 Artère cérébrale moyenne (branche de second ordre) |
| 38 Langue | 47 Nerf alvéolaire inférieur | 55 Nerf abducens (nerf crânien VI) | 61 Troisième ventricule |
| 39 Palais mou | 48 Tête de la mandibule | | |
| 40 Plexus choroïde | 49 Processus coronoïde de la mandibule | | |
| 41 Corona radiata | | | |

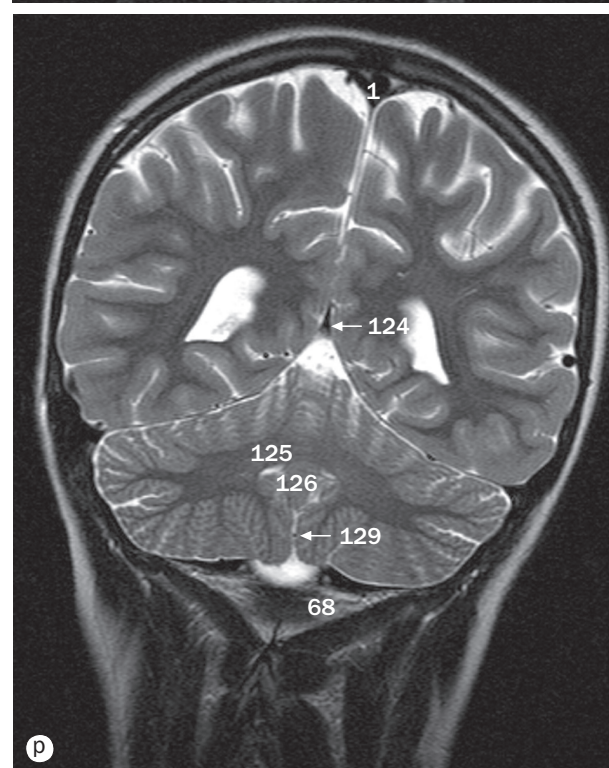
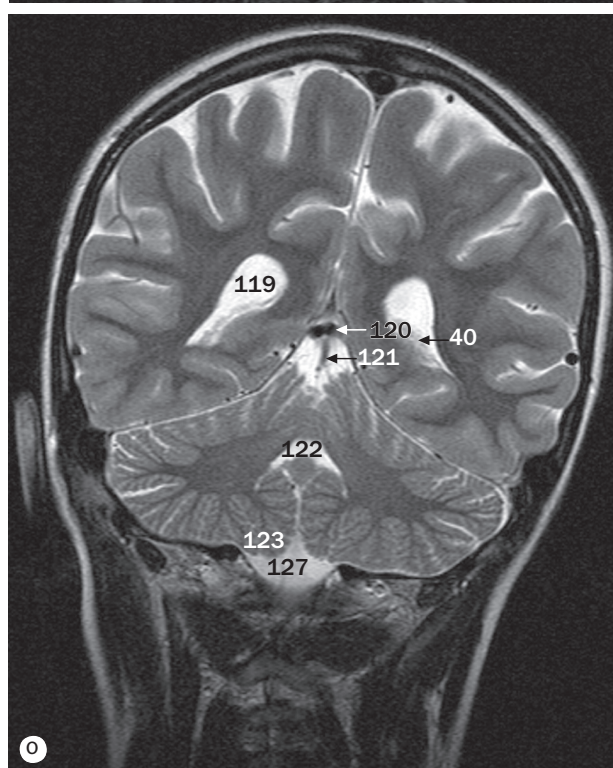
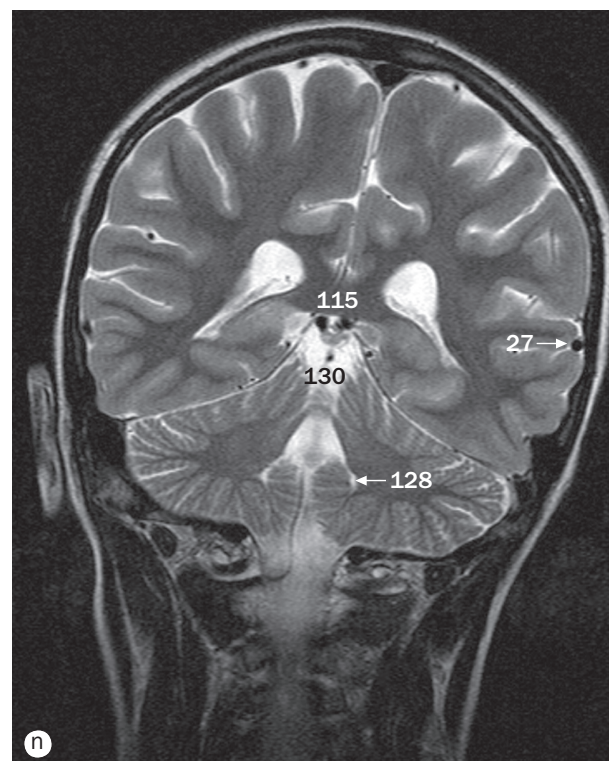
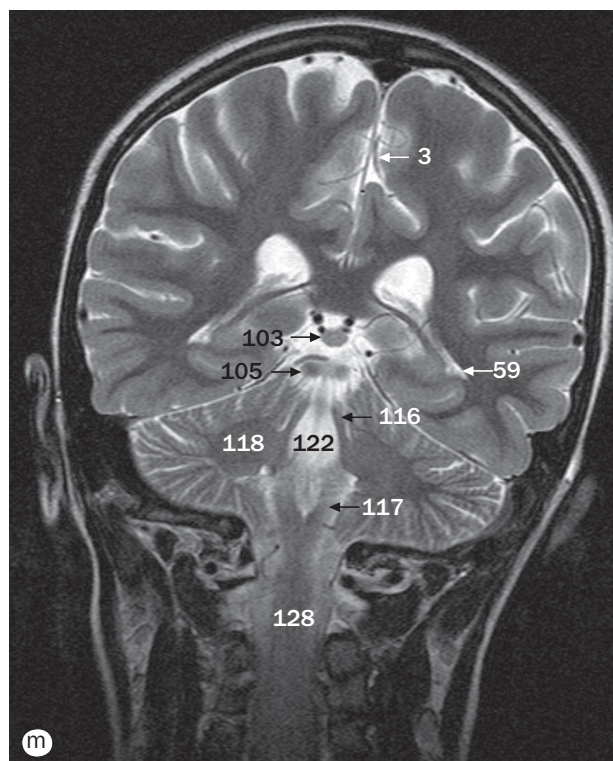
Les numéros 1–130 sont communs aux pages 48–51.



(a)–(p) Cerveau, IRM pondérée en T2 en coupes coronales, d'antérieur à postérieur.

62 Citerne prépontique	72 Thalamus	82 Pont	91 Corps de C2
63 Artère basilaire	73 Hypothalamus	83 Pédoncule cérébral	92 Méat acoustique interne
64 Artère cérébrale postérieure	74 Corps mamillaire (de l'hypothalamus)	84 Adhésion interthalamique	93 Nerfs facial (VII) et vestibulocochléaire (VIII)
65 Artère cérébelleuse supérieure	75 Cochlée	85 Nerf abducens (nerf crânien VI) dans la citerne ambiante	94 Vestibule de l'appareil vestibulaire
66 Veine rétomandibulaire	76 Fascia pharyngobasilaire	86 Citerne interpedonculaire	95 Eminentia arcuata de la partie pétreuse de l'os temporal
67 Tragus de l'oreille externe	77 Basisphénoïde	87 Nerf trijumeau (nerf crânien V)	96 Canal semicirculaire supérieur
68 Basioccipital	78 Arc antérieur de C1	88 Veine jugulaire interne	
69 Synchondrose sphéno-occipitale	79 Artère vertébrale	89 Corps du noyau caudé	
70 Nerf auriculotemporal	80 Masse latérale de C1	90 Dent de l'axis (C2)	
71 Foramen interventriculaire	81 Muscle sternocléidomastoïdien		

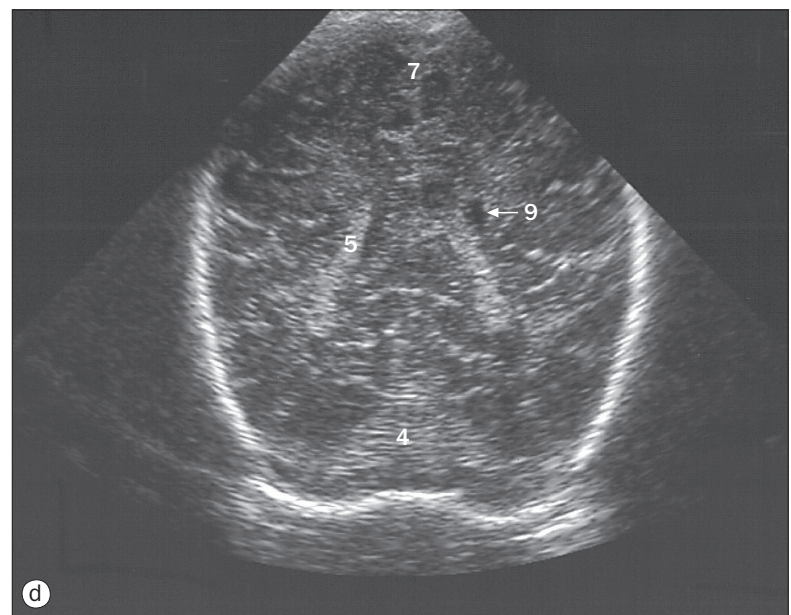
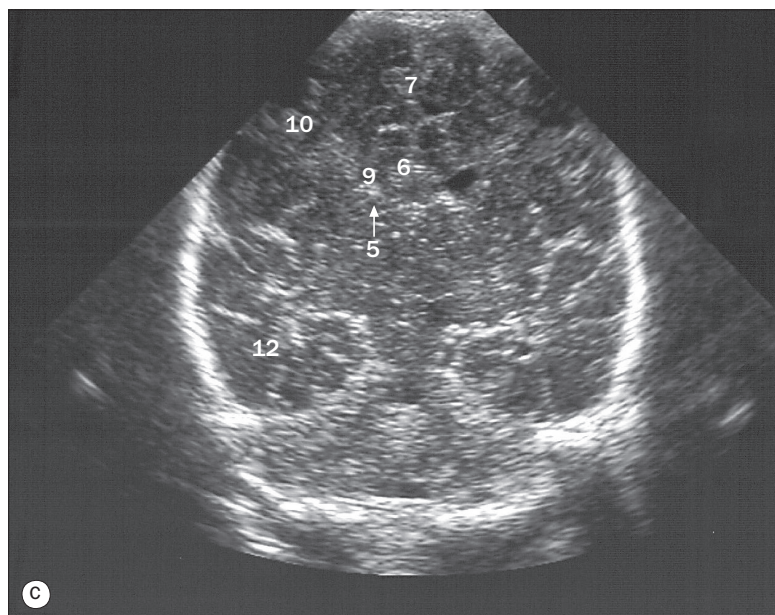
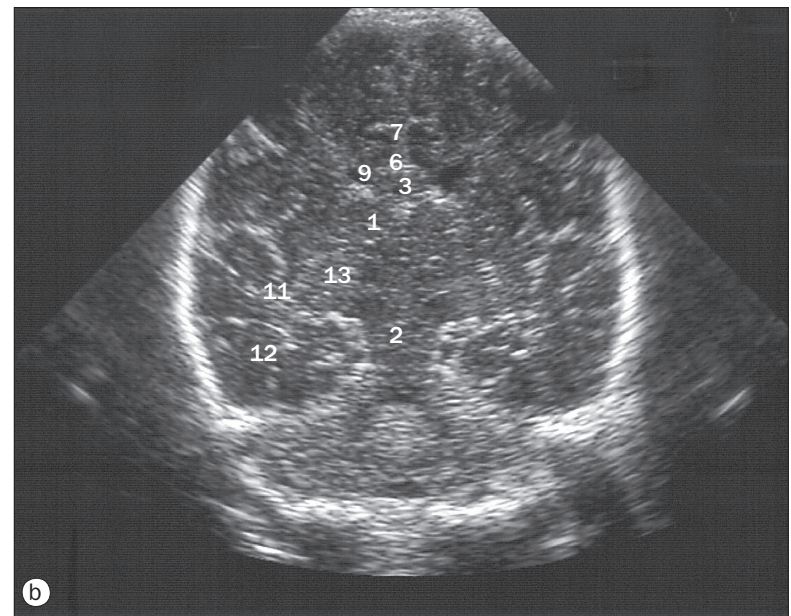
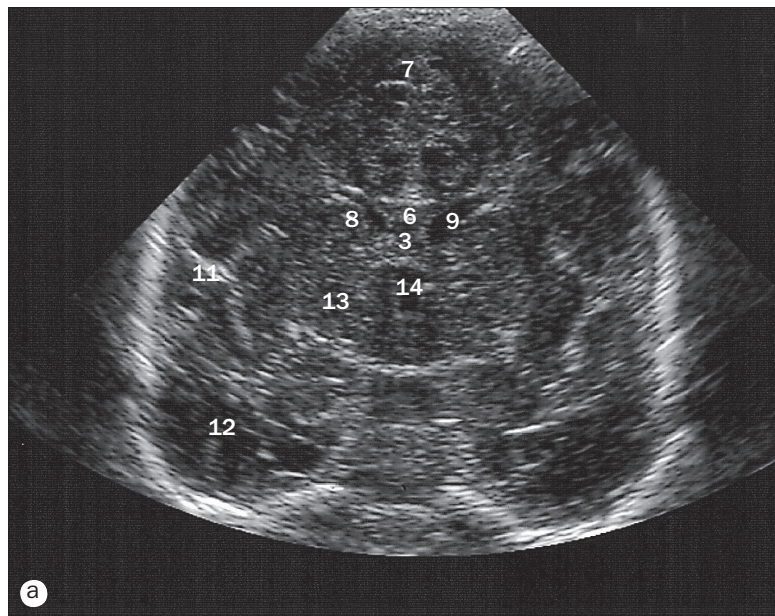
Les numéros 1–130 sont communs aux pages 48–51.



(a)–(p) Cerveau, IRM pondérée en T2 en coupes coronales, d'antérieur à postérieur.

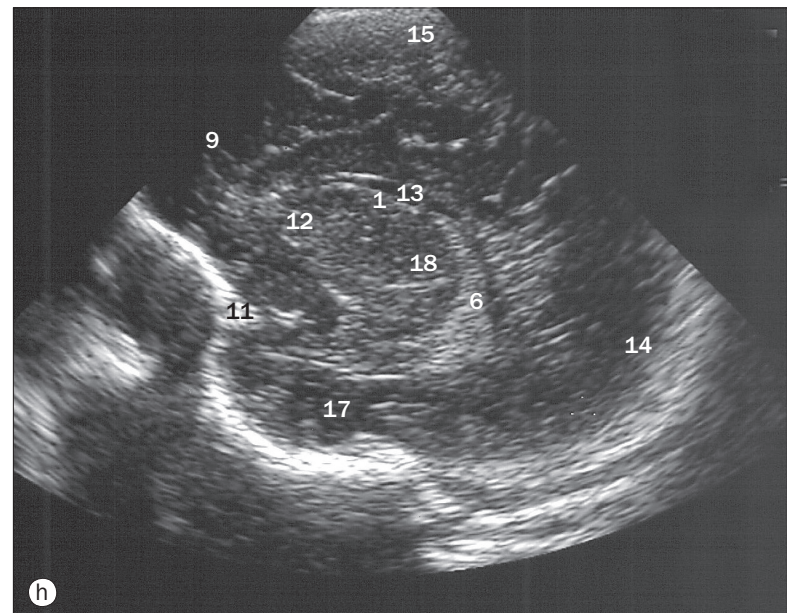
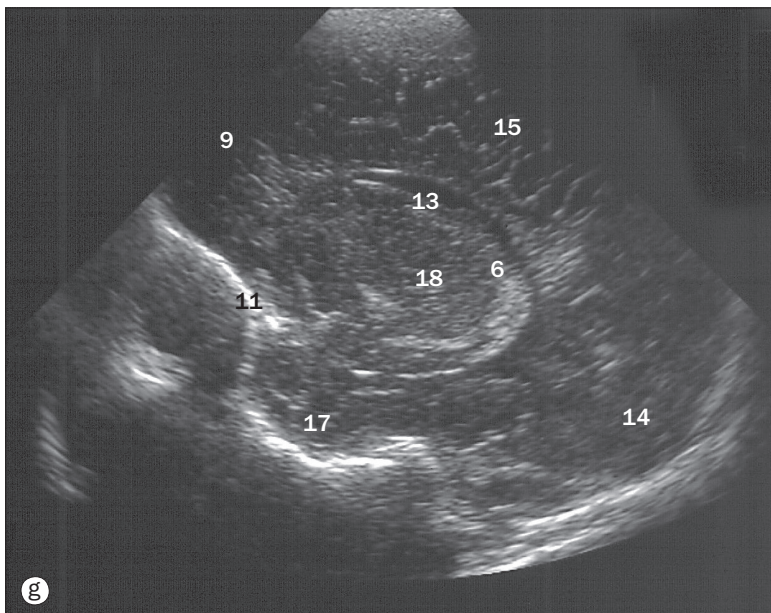
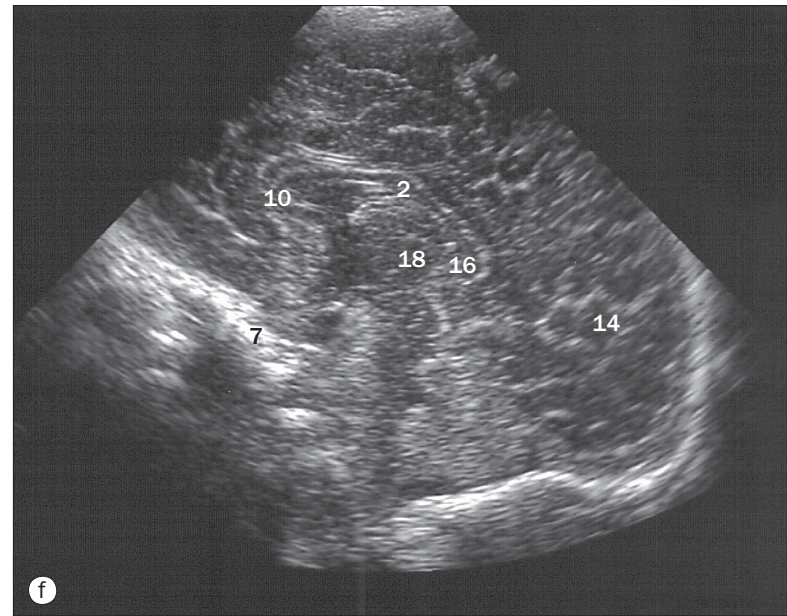
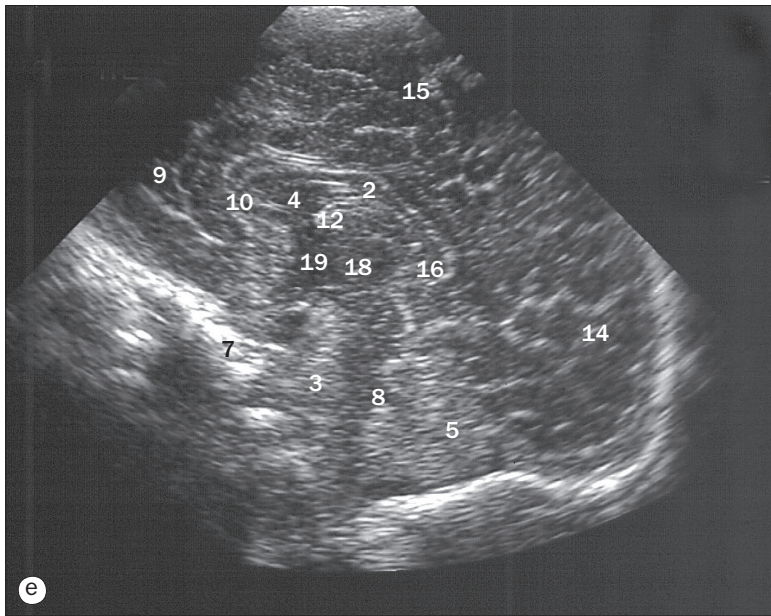
97 Canal semicirculaire latéral	107 Aqueduc du mésencéphale	117 Pédoncule cérébelleux inférieur	126 Nodule du vermis
98 Canal semicirculaire postérieur	108 Moelle spinale	118 Hémisphère du cervelet	127 Grande citerne
99 Mésencéphale	109 Foramen magnum	119 Trigone du ventricule latéral	128 Ouverture latérale du quatrième ventricule (foramen de Lushka)
100 Moelle allongée	110 Cellules mastoïdiennes	120 Grande veine cérébrale (de Galien)	129 Ouverture médiane du quatrième ventricule (foramen de Magendie)
101 Pédoncule cérébelleux moyen	111 Muscle trapèze	121 Veine basale	130 Citerne quadrigémée
102 Lamelles du cervelet	112 Tectum du mésencéphale	122 Quatrième ventricule	
103 Corps pinéal	113 Tente du cervelet	123 Tonsille cérébelleuse	
104 Veines cérébrales internes	114 Uncus du lobe temporal	124 Sinus sagittal inférieur	
105 Colliculus supérieur	115 Splénium du corps calleux	125 Noyau denté du cervelet	
106 Colliculus inférieur	116 Pédoncule cérébelleux supérieur		

Les numéros 1–130 sont communs aux pages 48–51.



(a)–(d) Cerveau néonatal, échographies en coupes coronales.

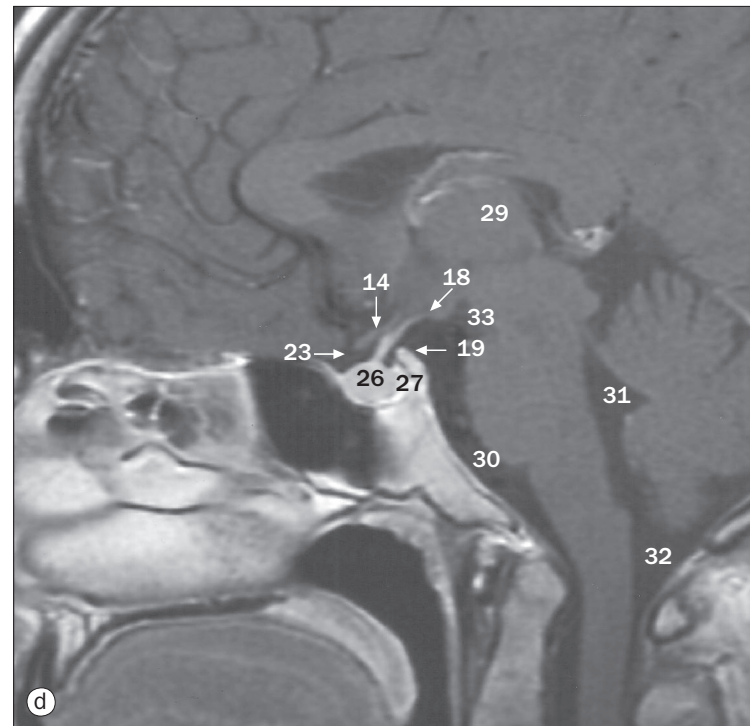
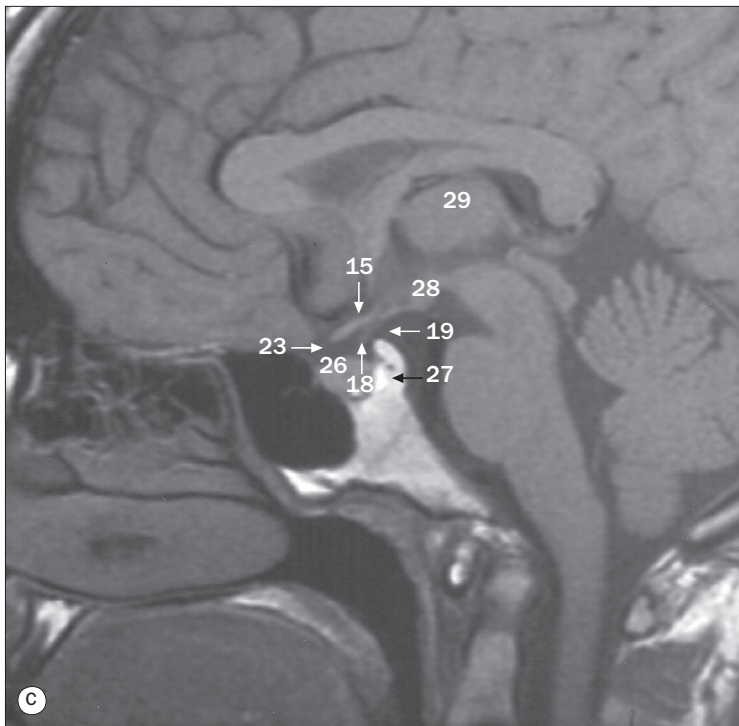
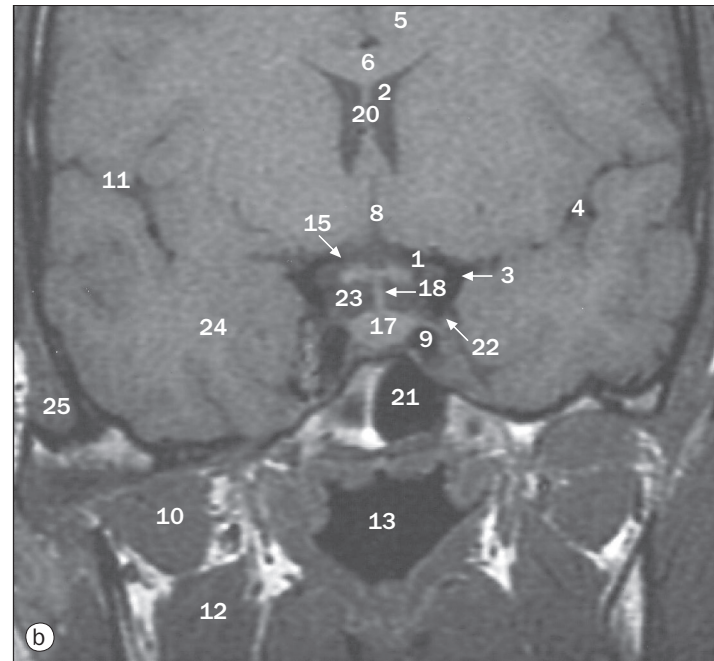
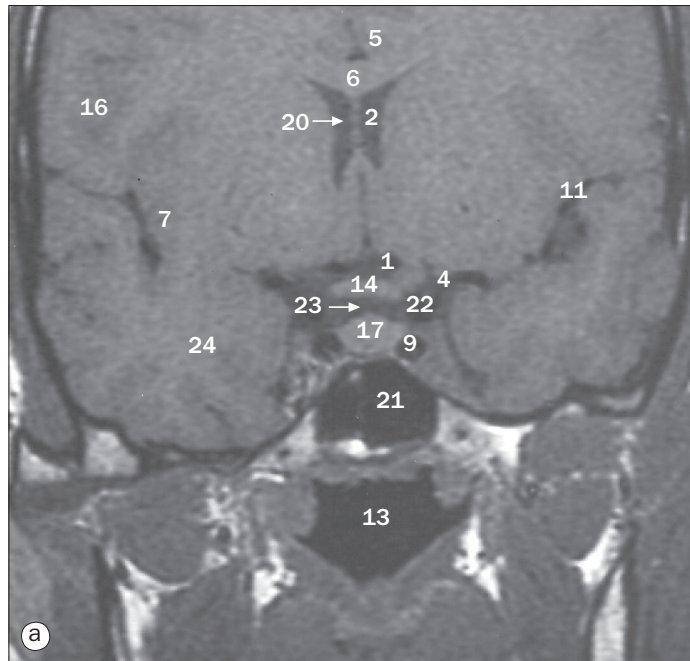
- 1 Corps du noyau caudé
- 2 Tronc cérébral
- 3 Cavité du septum pellucidum
- 4 Cervelet
- 5 Plexus choroïde
- 6 Corps calleux
- 7 Faux du cerveau
- 8 Tête du noyau caudé
- 9 Ventricule latéral
- 10 Lobe pariétal du cerveau
- 11 Sillon latéral
- 12 Lobe temporal
- 13 Thalamus
- 14 Troisième ventricule



(a)–(d) Cerveau néonatal, échographies en coupes sagittales.

- 1 Corps du noyau caudé
- 2 Corps du corps calleux
- 3 Tronc cérébral
- 4 Cavité du septum pellucidum
- 5 Cervelet
- 6 Plexus choroïde
- 7 Clivus
- 8 Quatrième ventricule
- 9 Lobe frontal
- 10 Genou du corps calleux

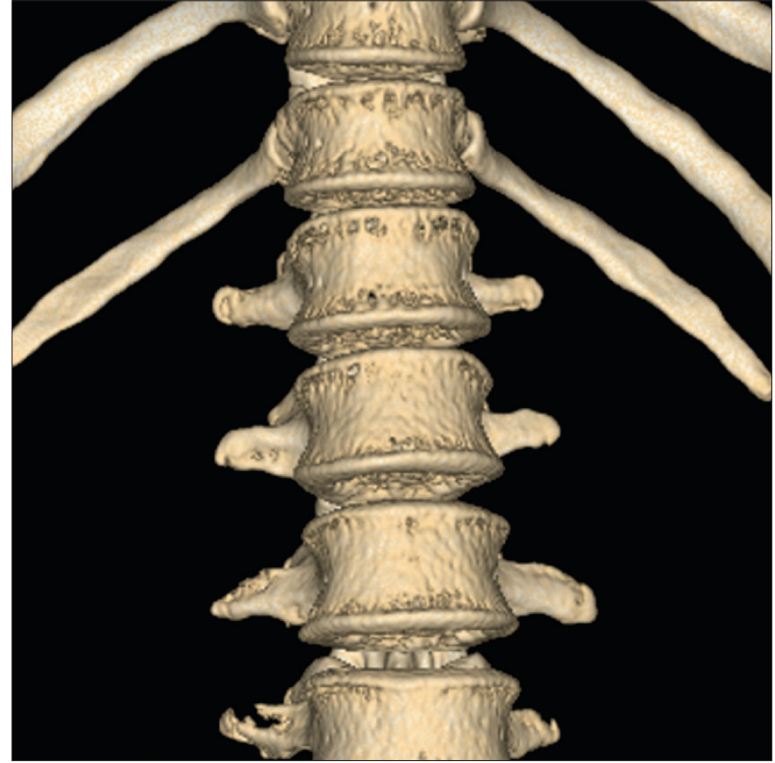
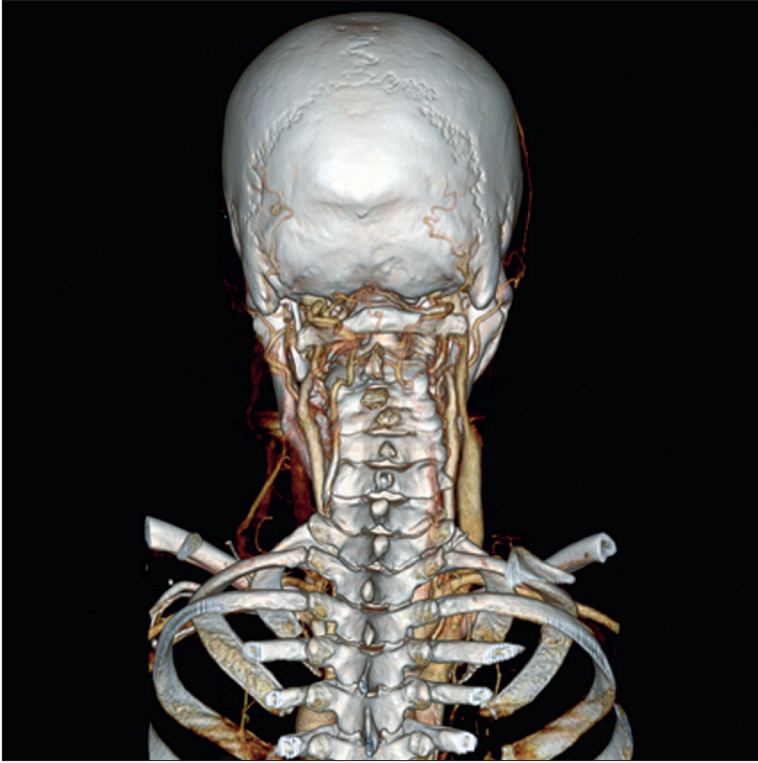
- 11 Grande aile de l'os sphénoïde
- 12 Tête du noyau caudé
- 13 Ventricule latéral
- 14 Lobe occipital
- 15 Lobe pariétal du cerveau
- 16 Splénium du corps calleux
- 17 Lobe temporal
- 18 Thalamus
- 19 Troisième ventricule

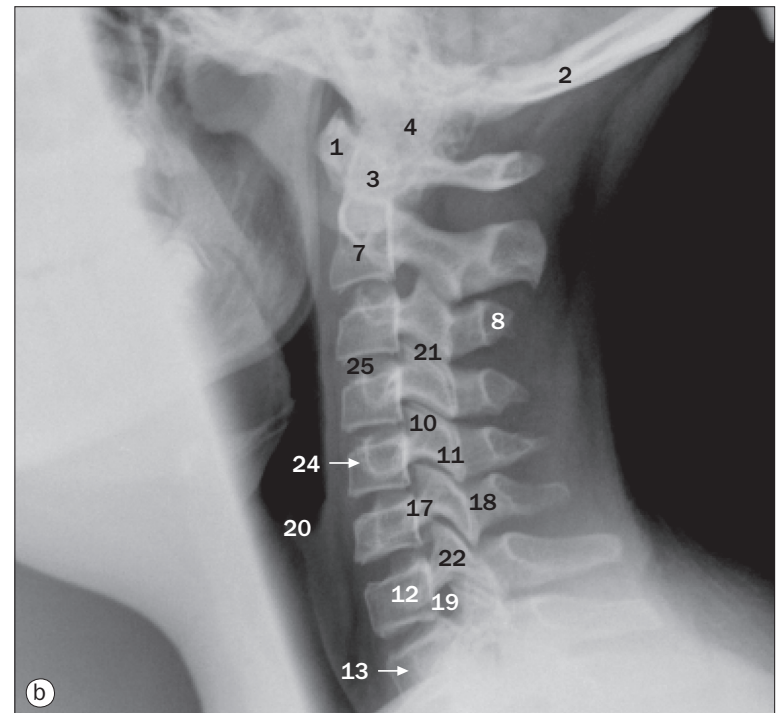
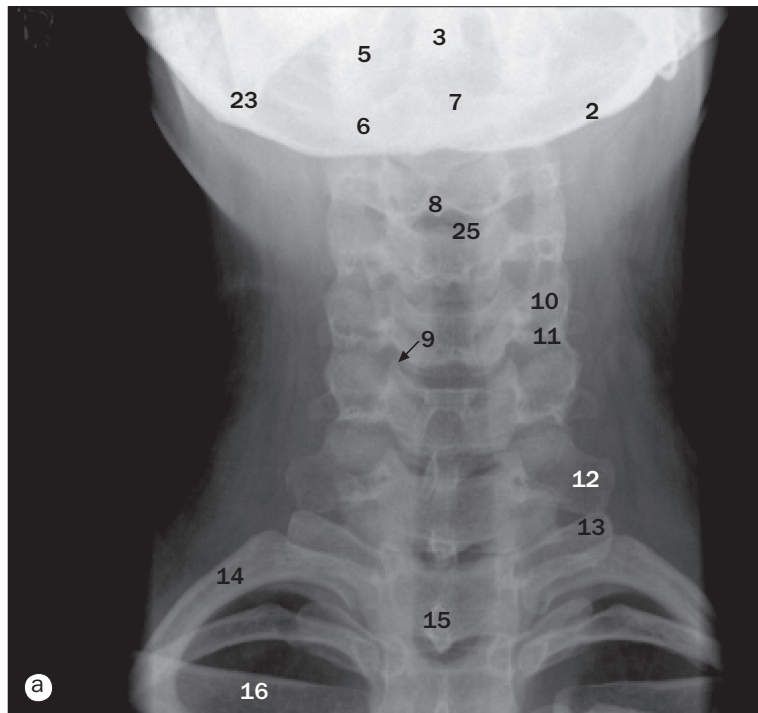


Fosse hypophysaire, IRM pondérée en T1 en coupes (a) et (b) coronales, (c) sagittale, (d) sagittale après injection de gadolinium.

- | | | | |
|--|---|---|-----------------------------------|
| 1 Artère cérébrale antérieure | 8 Fissure longitudinale du cerveau | 16 Lobe pariétal | 24 Lobe temporal du cerveau |
| 2 Corne antérieure du ventricule latéral | 9 Artère carotide interne dans le sinus caverneux | 17 Hypophyse (glande pituitaire) | 25 Muscle temporal |
| 3 Bifurcation de l'artère carotide interne | 10 Muscle ptérygoïdien latéral | 18 Pédoncule hypophysaire (tige pituitaire) | 26 Lobe antérieur de l'hypophyse |
| 4 Branche de l'artère cérébrale moyenne dans le sillon latéral | 11 Sillon latéral | 19 Processus clinioïde postérieur | 27 Lobe postérieur de l'hypophyse |
| 5 Gyrus du cingulum | 12 Muscle ptérygoïdien médial | 20 Septum pellucidum | 28 Corps mamillaire |
| 6 Corps calleux | 13 Nasopharynx | 21 Sinus sphénoïdal | 29 Thalamus |
| 7 Lobe insulaire | 14 Chiasma optique | 22 Artère carotide supraclinioïdienne | 30 Citerne prépontique |
| | 15 Tractus optique | 23 Citerne chiasmatique | 31 Quatrième ventricule |
| | | | 32 Grande citerne |
| | | | 33 Citerne interpédonculaire |

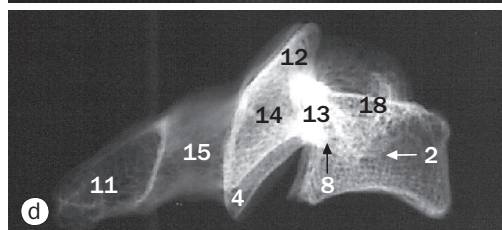
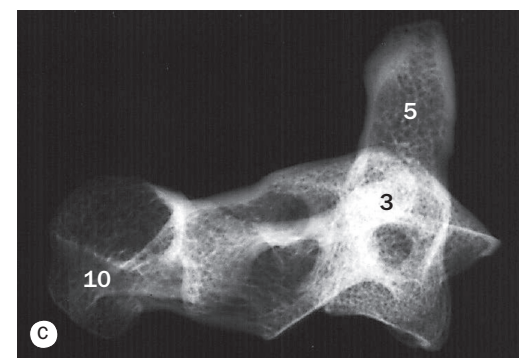
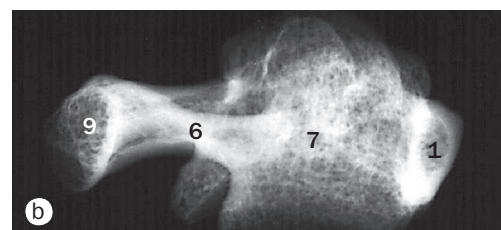
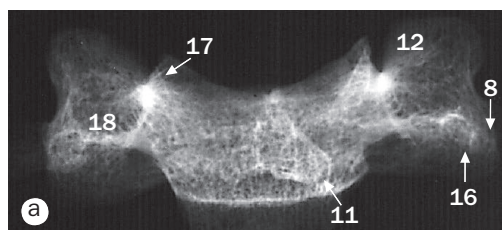
2 Colonne vertébrale et moelle spinale





(a) Colonne cervicale, incidence de face, (b) colonne cervicale, incidence de profil.

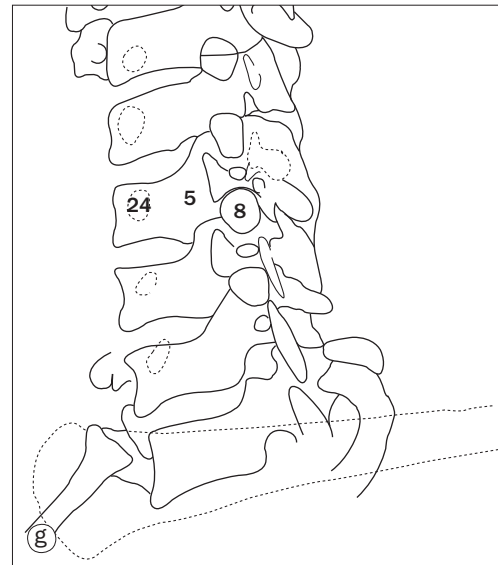
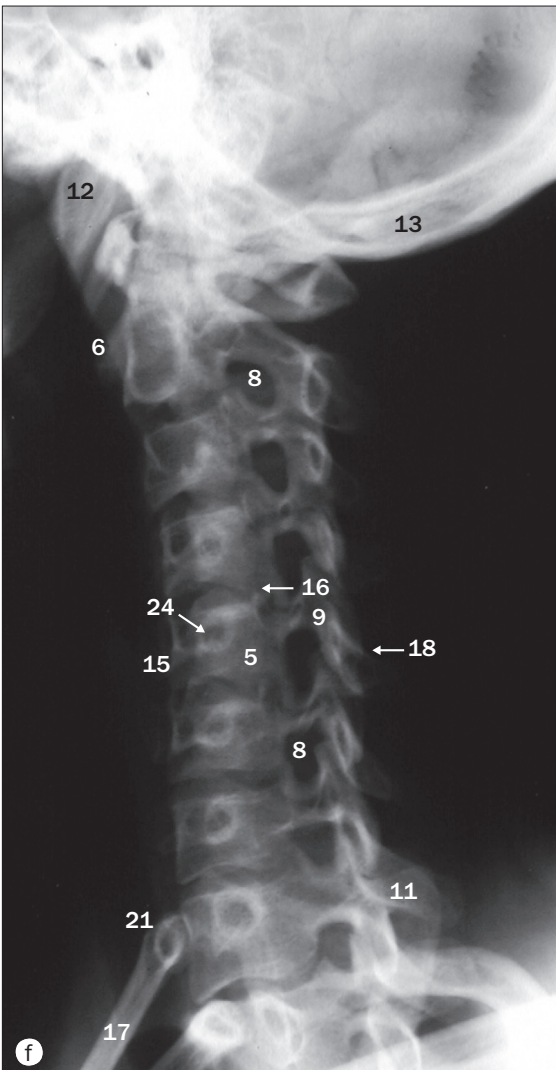
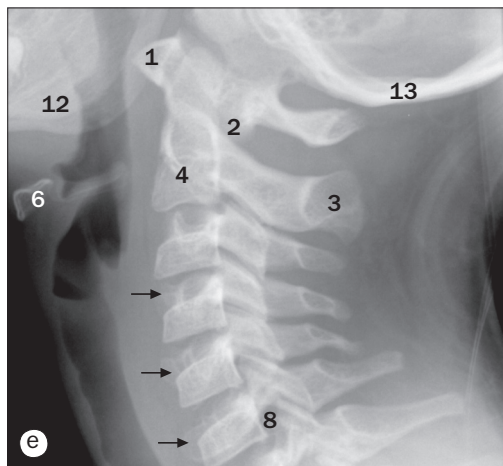
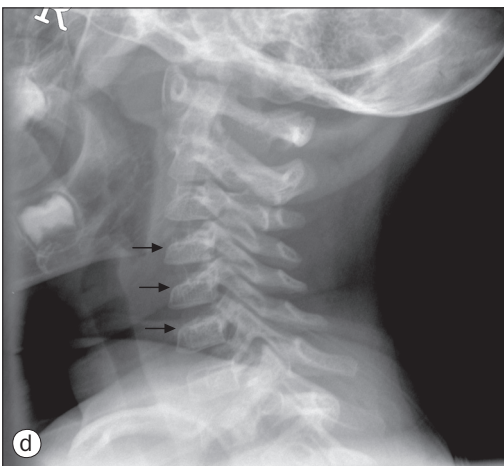
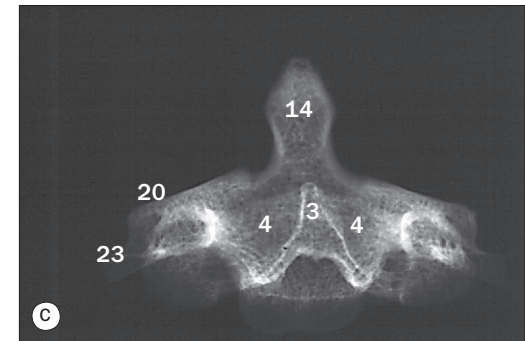
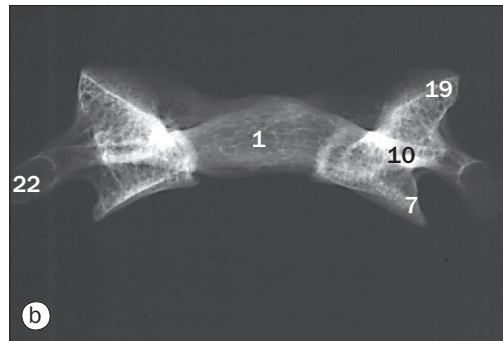
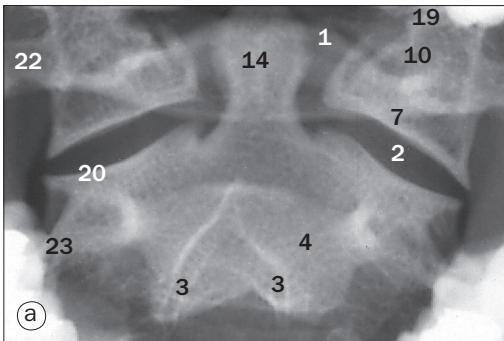
- | | | | |
|----------------------------------|--|--|---|
| 1 Arc antérieur de l'atlas | 9 Articulation uncovertébrale de C5–C6 | 14 1 ^{re} côte | 21 Facette (articulation zygapophysaire) de C3–C4 |
| 2 Basioccipital | 10 Processus artulaire supérieur de C5 | 15 Processus épineux de T1 | 22 Partie interarticulaire de C7 |
| 3 Dent de l'axis | 11 Processus artulaire inférieur de C5 | 16 Clavicule | 23 Angle de la mandibule |
| 4 Condyle occipital | 12 Processus transverse de C7 | 17 Pédicule de C6 | 24 Processus transverse de C5 |
| 5 Masse latérale de l'atlas (C1) | 13 Processus transverse de T1 | 18 Lame de C6 | 25 Disque intervertébral au niveau de C3–C4 |
| 6 Masse latérale de l'axis (C2) | | 19 Foramen intervertébral de C7–T1 (pour la racine C8) | |
| 7 Corps de l'axis (C2) | | 20 Épiglotte | |
| 8 Processus épineux de C3 | | | |



Radiographie de vertèbres cervicales à l'état sec.

- (a) Vue antéropostérieure de C4.
 (b) Vue latérale de C1.
 (c) Vue latérale de C2.
 (d) Vue latérale de C4.

- | | | |
|---|--|--|
| 1 Arc antérieur de l'atlas (1 ^{re} vertèbre cervicale) | 7 Corps de l'atlas (1 ^{re} vertèbre cervicale) | 13 Pédicule de C4 |
| 2 Tubercule antérieur du processus transverse de la 4 ^e vertèbre cervicale | 8 Tubercule postérieur du processus transverse de la 4 ^e vertèbre cervicale | 14 Partie interarticulaire de C4 |
| 3 Corps de l'axis (2 ^e vertèbre cervicale) | 9 Tubercule postérieur de l'atlas (1 ^{re} vertèbre cervicale) | 15 Lame de C4 |
| 4 Processus (facette) artulaire inférieur de la 4 ^e vertèbre cervicale | 10 Processus épineux de l'axis (2 ^e vertèbre cervicale) | 16 Lamelle intertuberculaire du processus transverse de C4 |
| 5 Dent de l'axis (2 ^e vertèbre cervicale) | 11 Processus épineux de la 4 ^e vertèbre cervicale | 17 Bord postérolatéral (uncus) de C4 |
| 6 Arc postérieur de l'atlas (1 ^{re} vertèbre cervicale) | 12 Processus (facette) artulaire supérieur de la 4 ^e vertèbre cervicale | 18 Corps du processus transverse de C4 |



- 1 Arc antérieur de l'atlas (1^{re} vertèbre cervicale)
- 2 Articulation atlanto-axoïdienne
- 3 Processus épineux bifide de l'axis (2^e vertèbre cervicale)
- 4 Corps de l'axis (2^e vertèbre cervicale)
- 5 Corps de la 5^e vertèbre cervicale
- 6 Os hyoïde
- 7 Processus (facette) articulaire inférieur de l'atlas (1^{re} vertèbre cervicale)
- 8 Foramen intervertébral
- 9 Lame de la 5^e vertèbre cervicale
- 10 Masse latérale de l'atlas (1^{re} vertèbre cervicale)
- 11 1^{re} côte gauche
- 12 Mandibule
- 13 Os occipital
- 14 Dent de l'axis (2^e vertèbre cervicale)
- 15 Tubercule postérieur du processus transverse de la 5^e vertèbre cervicale
- 16 Bord postérolatéral (uncus) de la 5^e vertèbre cervicale
- 17 1^{re} côte droite
- 18 Processus épineux de la 5^e vertèbre cervicale
- 19 Processus (facette) articulaire supérieur de l'atlas (1^{re} vertèbre cervicale)
- 20 Processus (facette) articulaire supérieur de l'axis (2^e vertèbre cervicale)
- 21 Trachée
- 22 Processus transverse de l'atlas (1^{re} vertèbre cervicale)
- 23 Processus transverse de l'axis (2^e vertèbre cervicale)
- 24 Processus transverse de la 5^e vertèbre cervicale

(a) Atlas (1^{re} vertèbre cervicale) et axis (2^e vertèbre cervicale), incidence de face «bouche ouverte».

(b) Atlas (1^{re} vertèbre cervicale) à l'état sec, incidence de face.

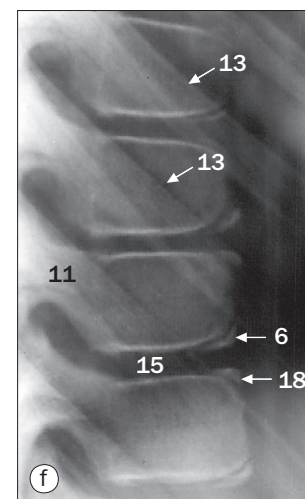
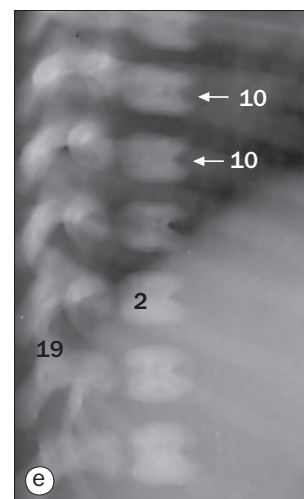
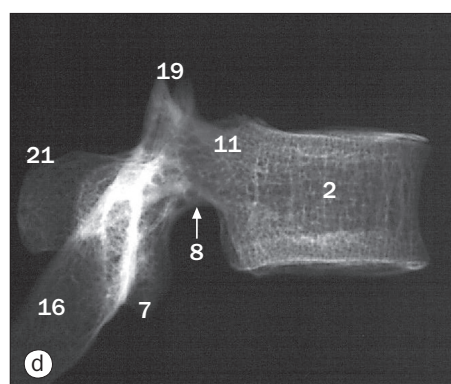
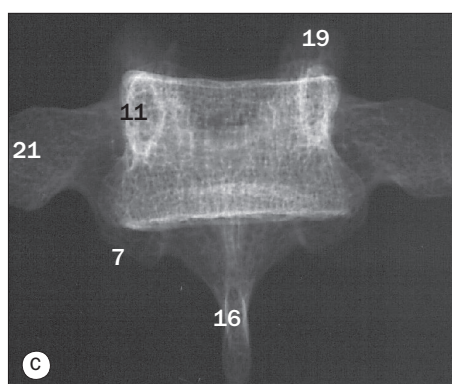
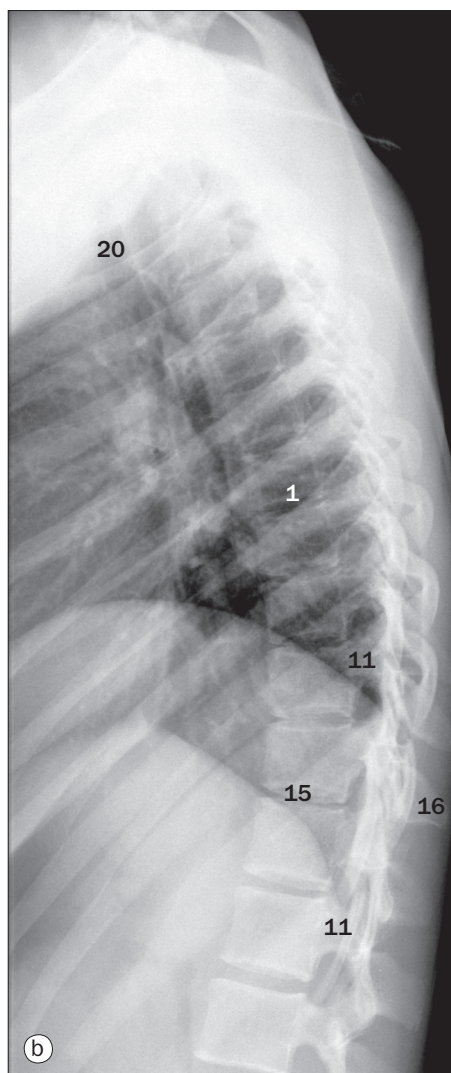
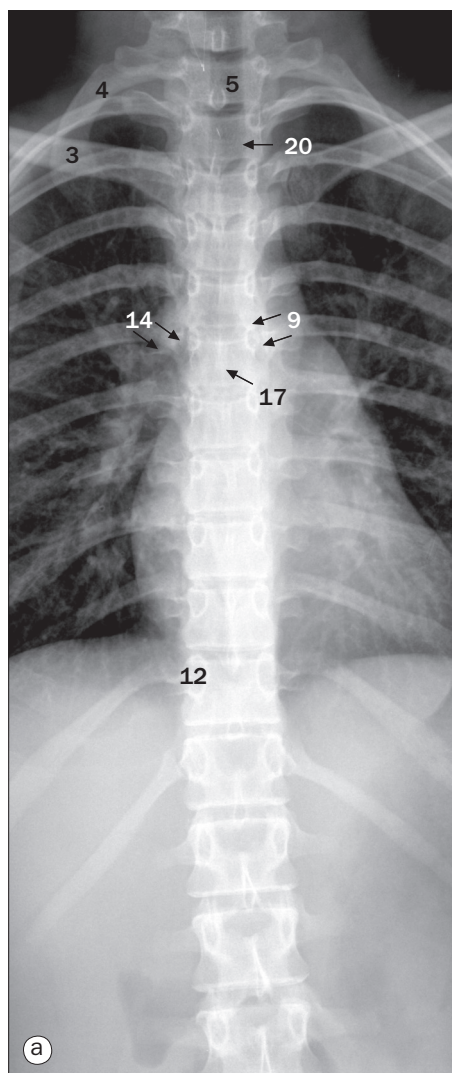
(c) Axis (2^e vertèbre cervicale) à l'état sec, incidence de face.

(d) Colonne cervicale d'un enfant de 3 ans, radiographie en incidence de profil. L'articulation atlanto-axoïdienne peut mesurer jusqu'à 5 mm (jusqu'à 3 mm chez l'adulte).

(e) Colonne cervicale d'un enfant de 9 ans, radiographie, incidence de profil. Noter le tassement cunéiforme physiologique normal des corps vertébraux (flèches), dû à la non-ossification des plateaux vertébraux supérieurs.

(f) Colonne cervicale d'un adulte, radiographie en incidence oblique.

(g) Représentation schématique de (f).



- 1 Corps de la 6^e vertèbre thoracique
- 2 Corps vertébral
- 3 Clavicule
- 4 1^{re} côte
- 5 1^{re} vertèbre thoracique
- 6 Disques annulaires épiphysaires inférieurs du corps vertébral
- 7 Processus (facette) articulaire inférieur
- 8 Incisure vertébrale inférieure
- 9 Bronche principale gauche
- 10 Sillon interfessier (interglutéal)
- 11 Pédicule
- 12 Pédicule de la 11^e vertèbre thoracique
- 13 Côtes
- 14 Bronche principale droite
- 15 Disque intervertébral
- 16 Processus épineux
- 17 Processus épineux de la 6^e vertèbre thoracique
- 18 Disques annulaires épiphysaires supérieurs du corps vertébral
- 19 Processus (facette) articulaire supérieur
- 20 Trachée
- 21 Processus transverse

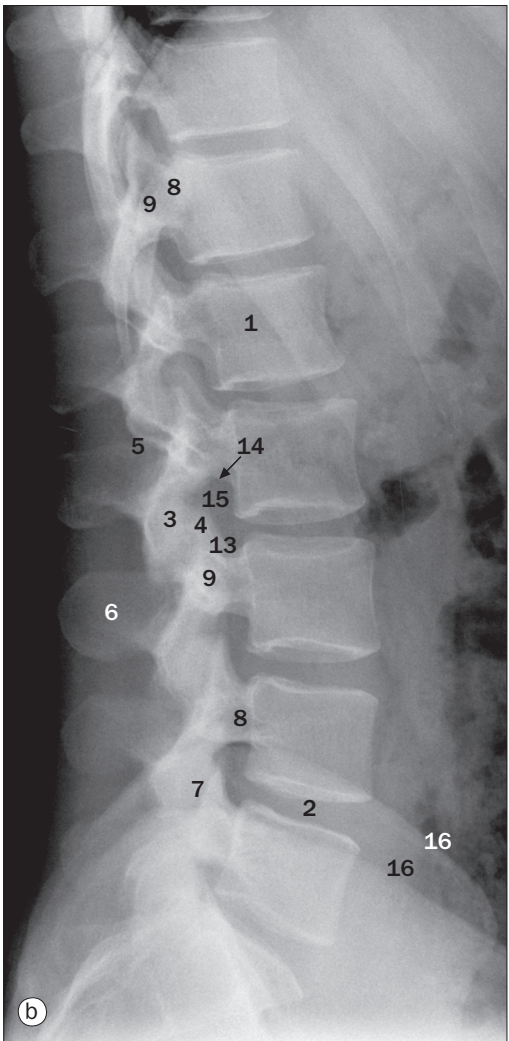
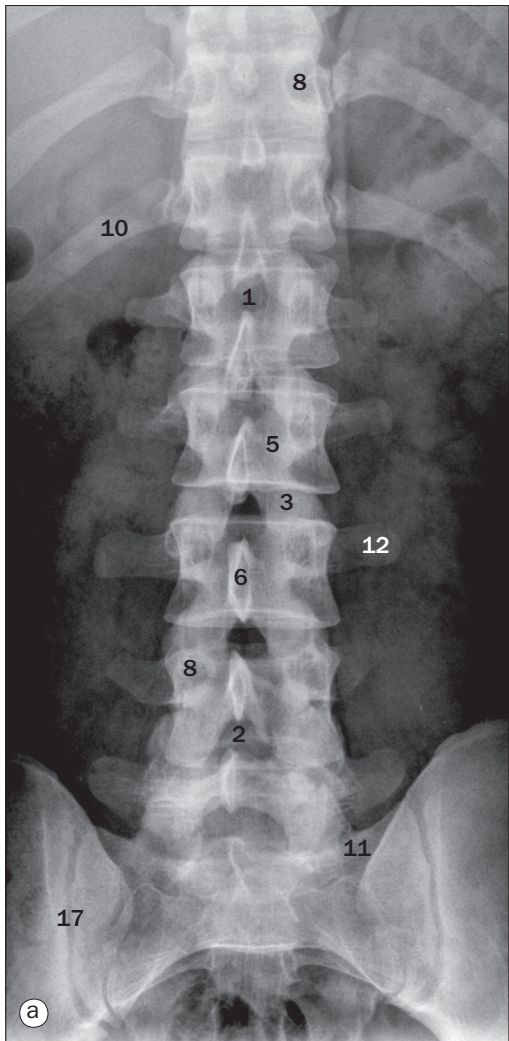
(a) Colonne thoracique, incidence de face.

(b) Colonne thoracique, incidence de profil.

(c) Vertèbre thoracique à l'état sec, incidence de face.

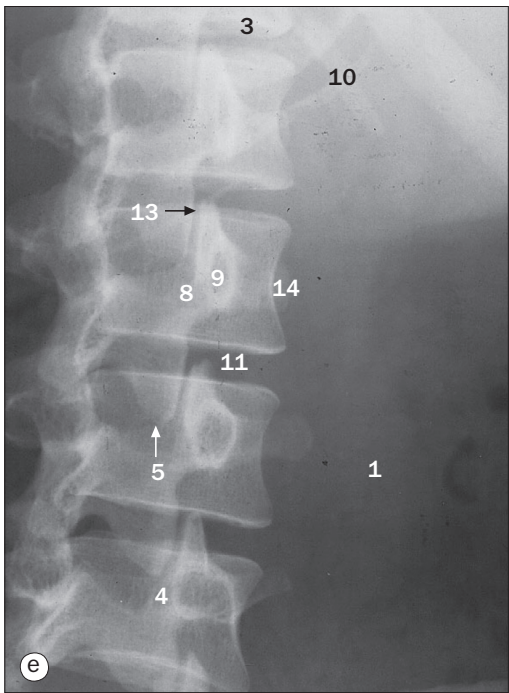
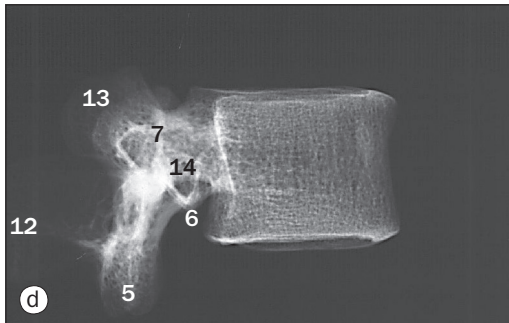
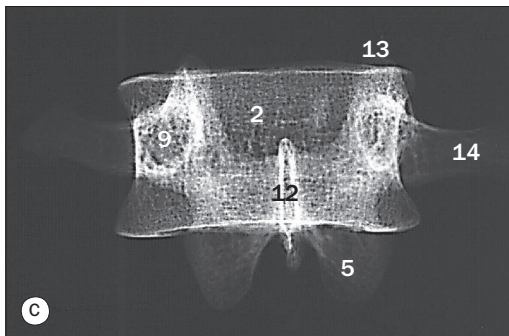
(d) 6^e vertèbre thoracique à l'état sec, incidence de profil.

Colonne thoracique, (e) d'un nouveau-né de 7 jours, (f) d'un enfant de 12 ans, incidences de profil.

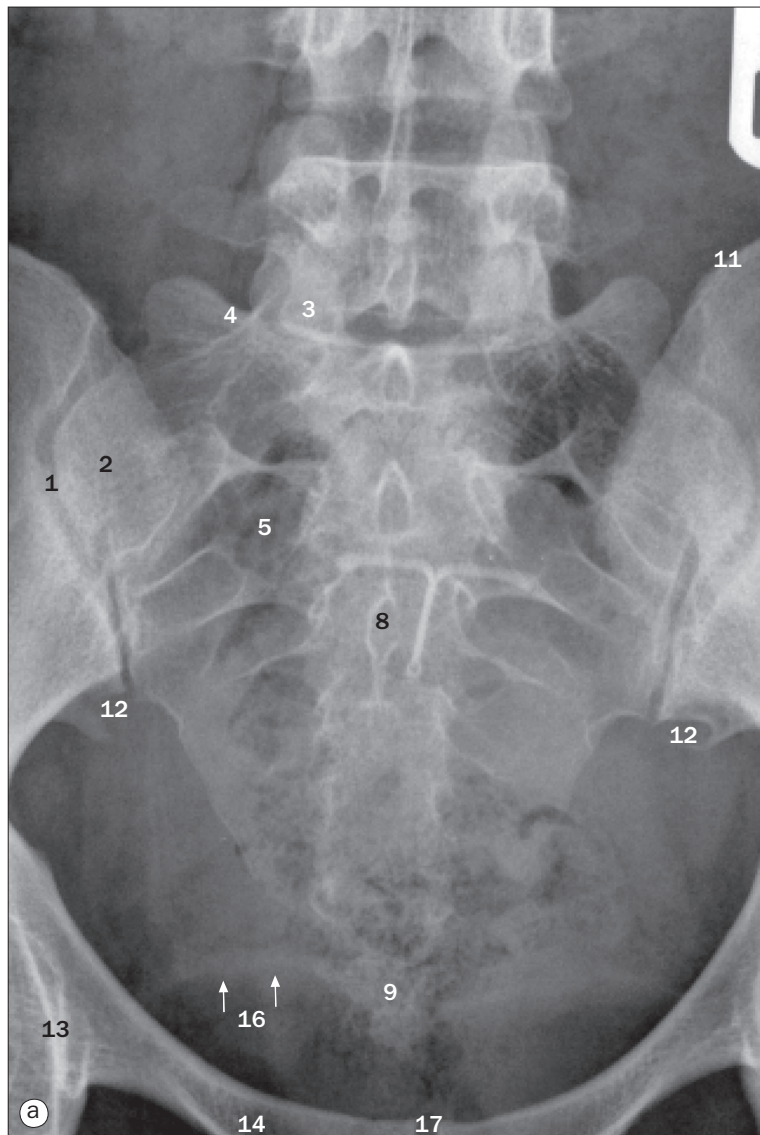


- (a) Colonne lombale, radiographie, incidence de face.
- (b) Colonne lombale, incidence de profil.
- (c) 2^e vertèbre lombale à l'état sec, incidence de face.
- (d) 2^e vertèbre lombale à l'état sec, incidence de profil.
- (e) Colonne lombale, incidence oblique.

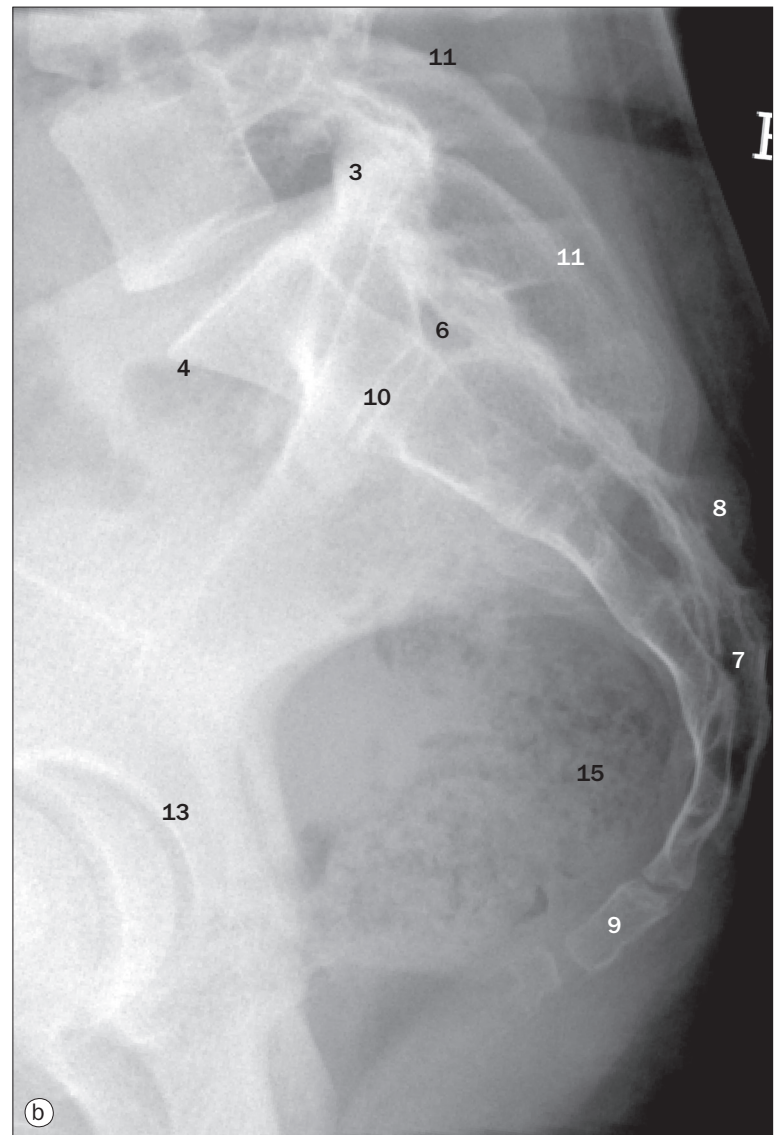
- 1 Corps de la 1^{re} vertèbre lombale
- 2 Disque intervertébral de L4–L5
- 3 Processus (facette) articulaire inférieur de L2
- 4 Processus (facette) articulaire supérieur de L3
- 5 Lamina de L2
- 6 Processus épineux de L3
- 7 Facette (articulation zygapophysaire) de L4–L5
- 8 Pédicule
- 9 Partie interarticulaire
- 10 12^e côte droite
- 11 Promontoire sacral
- 12 Processus transverse de L3
- 13 Processus mamillaire
- 14 Incisure vertébrale inférieure de L2
- 15 Foramen intervertébral de L2–L3 (pour la racine L2)
- 16 Crête iliaque
- 17 Articulation sacro-iliaque



- 1 Contour du muscle psoas
- 2 Corps de la 2^e vertèbre lombale
- 3 Corps de la 12^e vertèbre thoracique
- 4 Corps de la 4^e vertèbre lombale
- 5 Processus (facette) articulaire inférieur de la 2^e vertèbre lombale
- 6 Incisure vertébrale inférieure de la 2^e vertèbre lombale
- 7 Processus mamillaire de la 2^e vertèbre lombale
- 8 Partie interarticulaire
- 9 Pédicule de la 2^e vertèbre lombale
- 10 12^e côte
- 11 Disque intervertébral entre L2 et L3
- 12 Processus épineux de la 2^e vertèbre lombale
- 13 Processus (facette) articulaire supérieur de la 2^e vertèbre lombale
- 14 Processus transverse de la 2^e vertèbre lombale



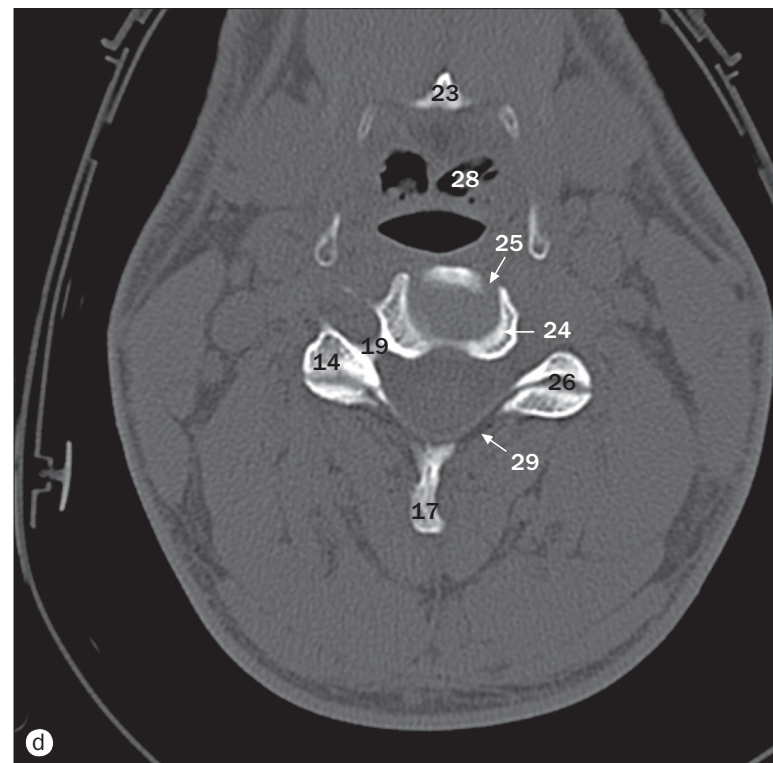
(a) Sacrum, incidence de face.



(b) Sacrum et coccyx, incidence de profil.

- 1 Articulation sacro-iliaque
- 2 Aile du sacrum
- 3 Processus articulaire supérieur du sacrum
- 4 Promontoire sacral
- 5 Foramen sacral (S1–S2 pour la racine S1 droite)
- 6 Partie supérieure du canal sacral
- 7 Partie inférieure du canal sacral
- 8 Tubercule épineux au niveau de la crête sacrale médiane
- 9 Coccyx
- 10 Espace intervertébral S1–S1 rudimentaire
- 11 Crête iliaque
- 12 Sillon préauriculaire (paraglénoidal)
- 13 Toit de l'acétabulum
- 14 Branche supérieure du pubis
- 15 Rectum
- 16 Muscle élévateur de l'anus (mis en évidence par la graisse dans la fosse ischioanale)
- 17 Symphyse pubienne

Le sillon préauriculaire (paraglénoidal) est caractéristique du pelvis féminin ; il est dû à la résorption osseuse au niveau de la terminaison du ligament sacro-iliaque antérieur. Il est proéminent chez la femme ayant enfanté.

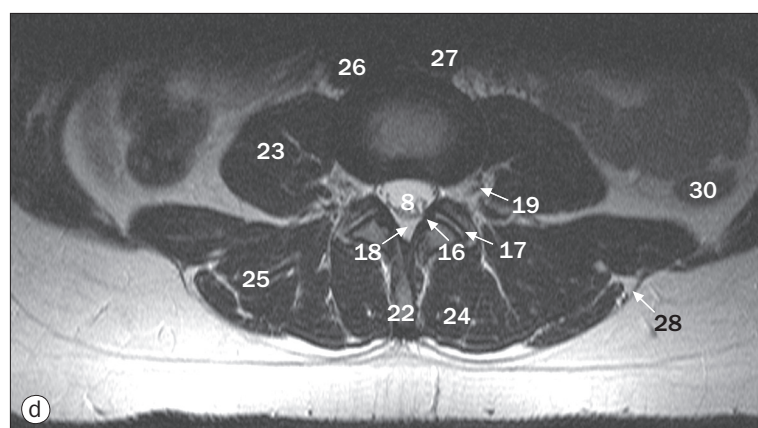
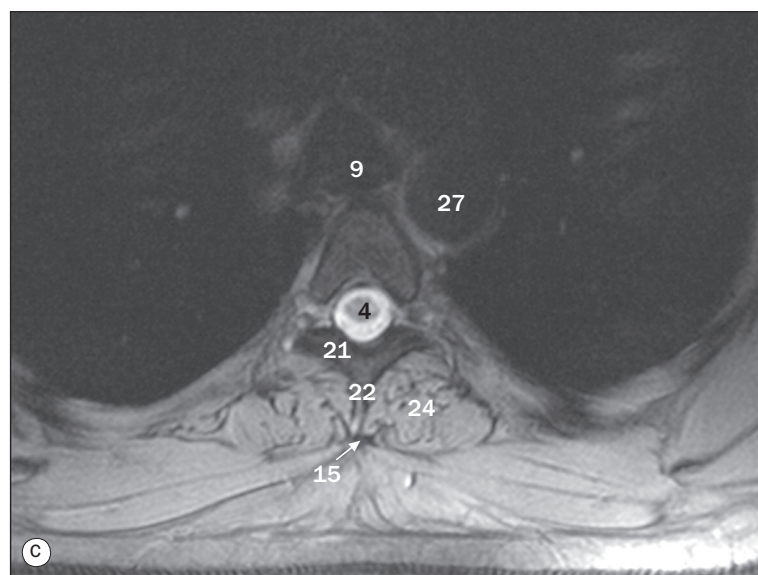
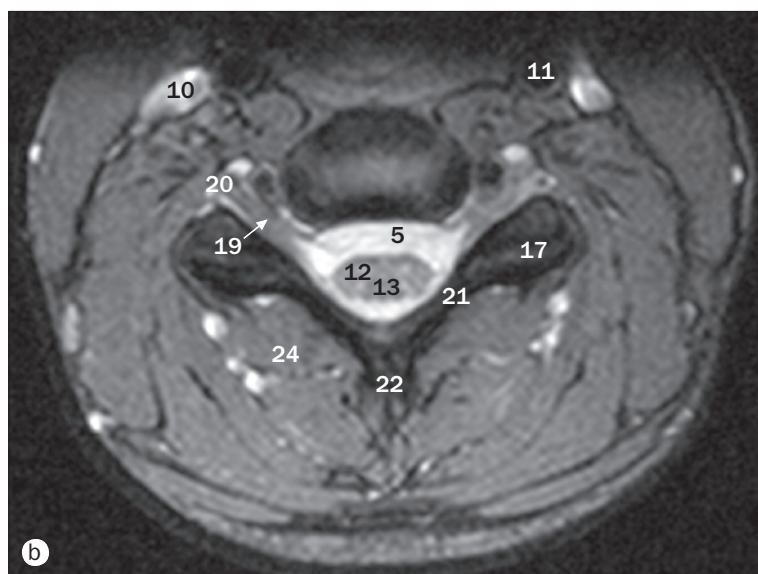


Colonne cervicale supérieure, TDM en coupes axiales aux niveaux C1-C2 (a, b), C2 (c), et C2-C3 (d).

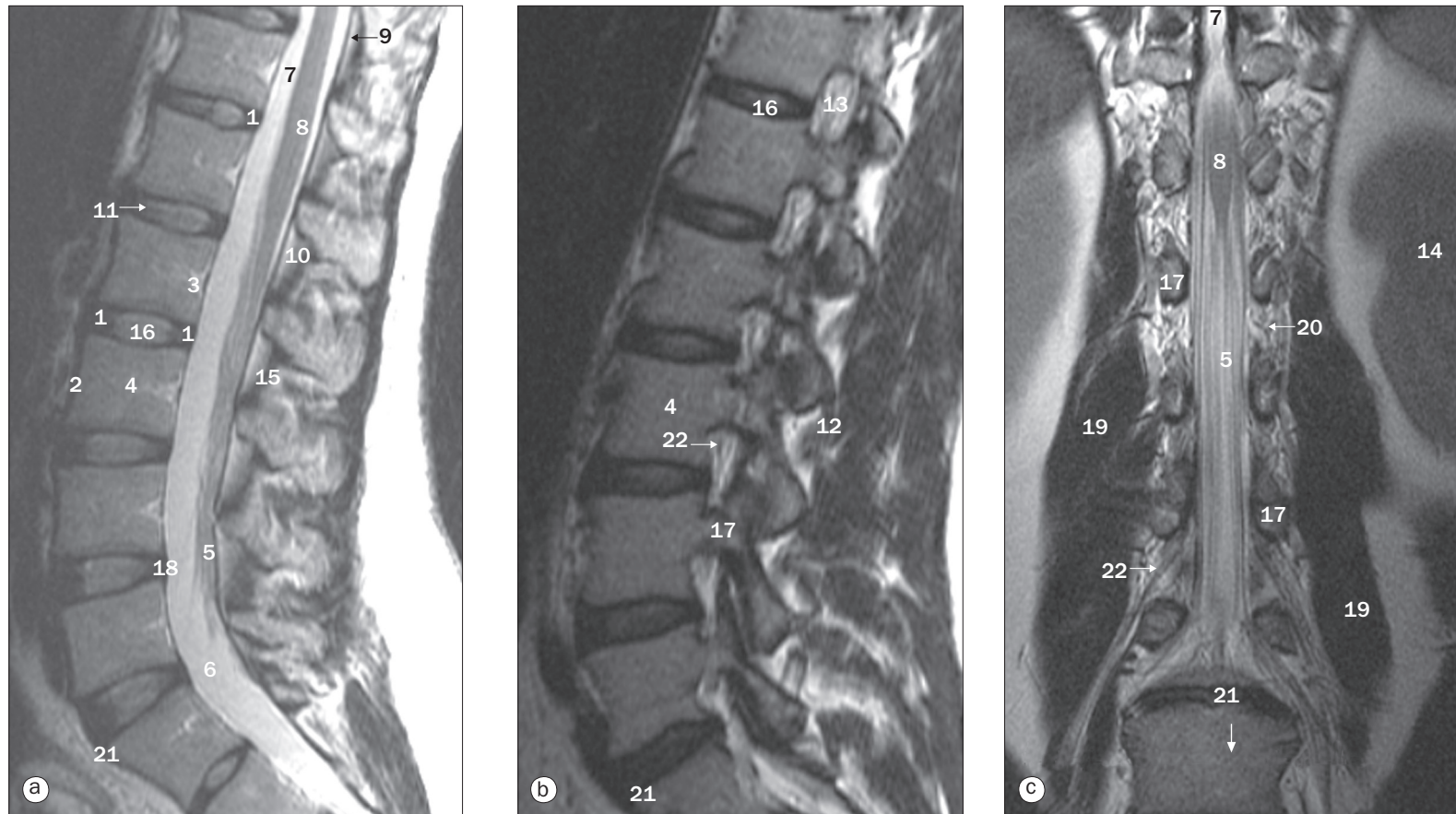
- | | | |
|---|--|---|
| 1 Processus mastoïde | 12 Foramen transversaire de C1 | 22 Tubercule postérieur du processus transverse de C2 |
| 2 Ligament transverse (insertion) | 13 Processus transverse de C1 | 23 Cartilage thyroïde |
| 3 Arc antérieur de l'atlas (C1) | 14 Processus articulaire inférieur de C2 | 24 Uncus du corps vertébral de C3 |
| 4 Masse latérale de l'atlas | 15 Lame de C2 | 25 Articulation uncovertébrale au niveau de C2-C3 |
| 5 Arc postérieur de C1 | 16 Pédicule de C2 | 26 Facette articulaire (articulation zygapophysaire) au niveau de C2-C3 |
| 6 Sillon de l'artère vertébrale | 17 Processus épineux de C2 | 27 Épiglotte |
| 7 Dent de l'axis (C2) | 18 Corps de C2 | 28 Vallécule |
| 8 Lingula mandibulaire | 19 Foramen intervertébral de C2-C3 | 29 Ligament jaune |
| 9 Processus styloïde | 20 Moelle spinale | |
| 10 Hamulus ptérygoïdien | 21 Tubercule antérieur du processus transverse de C2 | |
| 11 Foramen alvéolaire inférieur de la branche de la mandibule | | |



Rachis, IRM (a) en coupe sagittale pondérée en T2 en champ large, et coupes axiales pondérées en T2 des régions (b) cervicale, (c) thoracique et (d) lombale.

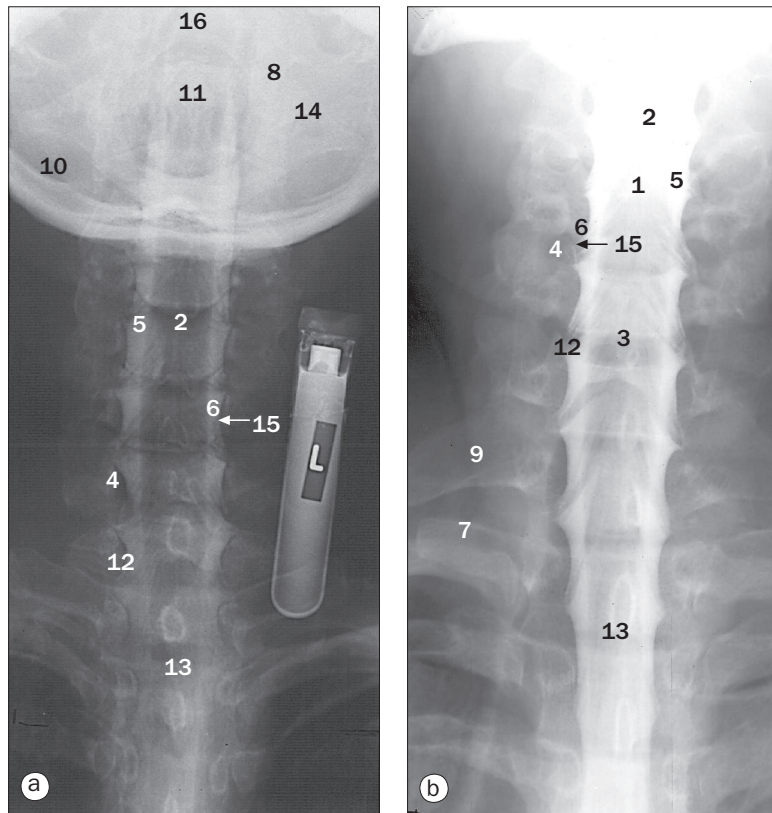


- | | | | |
|--|---|--|------------------------------|
| 1 Foramen magnum | 6 Veine basivertébrale | 14 Processus épineux de T4 | 22 Processus épineux |
| 2 Corps de C7 | 7 Cône médullaire | 15 Ligament supraépineux | 23 Muscle grand psoas |
| 3 Nucleus pulposus du disque intervertébral T5–T6 | 8 Queue de cheval | 16 Ligament jaune | 24 Muscle érecteur du rachis |
| 4 Moelle spinale | 9 Trachée | 17 Facette articulaire (articulation zygapophysaire) | 25 Muscle multifidus |
| 5 Liquide cébrospinal dans l'espace subarachnoïdien (artéfact d'interruption de flux [<i>flow void</i>]) | 10 Veine jugulaire interne | 18 Graisse périurale (épidurale) | 26 Veine cave inférieure |
| | 11 Artère carotide commune | 19 Racine dorsale du ganglion | 27 Aorte |
| | 12 Substance grise de la moelle spinale | 20 Racine nerveuse spinale | 28 Fascia thoracolombal |
| | 13 Substance blanche de la moelle spinale | 21 Lame | 29 Ligament nuchal |
| | | | 30 Côlon descendant |



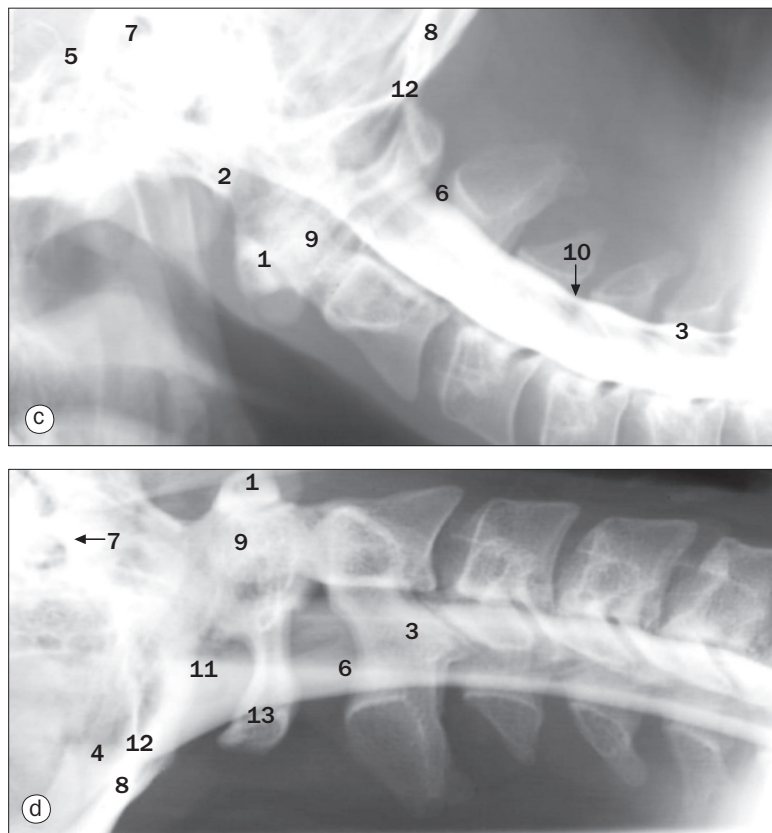
Colonne lumbosacrale, IRM en coupes (a) sagittale, (b) parasagittale, (c) coronale.

- | | | |
|---|--|---|
| 1 Anulus fibrosus | 9 Sac dural | 17 Pédicule |
| 2 Ligament longitudinal antérieur | 10 Espace épidural (rempli de graisse) | 18 Ligament longitudinal postérieur et anulus fibrosus |
| 3 Veine basivertébrale | 11 Fusion internucléaire | 19 Muscle psoas |
| 4 Corps de la 3 ^e vertèbre lombale | 12 Ligament interépineux | 20 Vaisseaux radiculaires |
| 5 Queue de cheval | 13 Foramen intervertébral | 21 Promontoire sacral |
| 6 Sac thécal lombal caudal | 14 Rein | 22 Racine nerveuse spinale dans le foramen intervertébral |
| 7 Liquide cérébrospinal | 15 Ligament jaune | |
| 8 Cône médullaire | 16 Nucleus pulposus | |



Myélographie cervicale, (a) avec le cou en extension, (b) avec le cou légèrement fléchi, incidences de face. Du produit de contraste hydrosoluble non ionique est introduit dans l'espace subarachnoïdien par une ponction lombaire. Le patient est en procubitus, le cou en hyperextension, et attaché sur une table inclinable. Le produit de contraste se dirige alors vers la région cervicale et met en évidence la moelle spinale cervicale ainsi que les racines nerveuses à leur sortie. Il existe huit racines nerveuses cervicales ; les racines de C8 débouchent à travers les foramens intervertébraux entre la vertèbre C7 et la vertèbre T1. Le renflement cervical de la moelle spinale normal (3) (pour le plexus brachial) s'étend de la vertèbre C3 à la vertèbre T2. Il est maximal au niveau de la vertèbre C5, et il convient de ne pas le confondre avec une lésion intramédullaire.

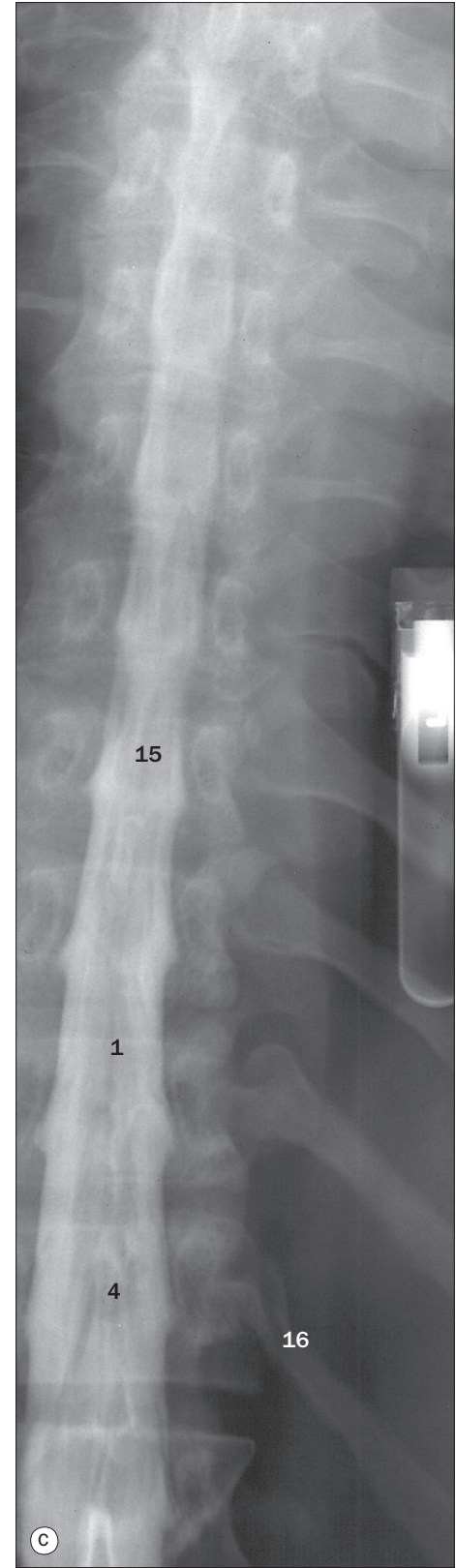
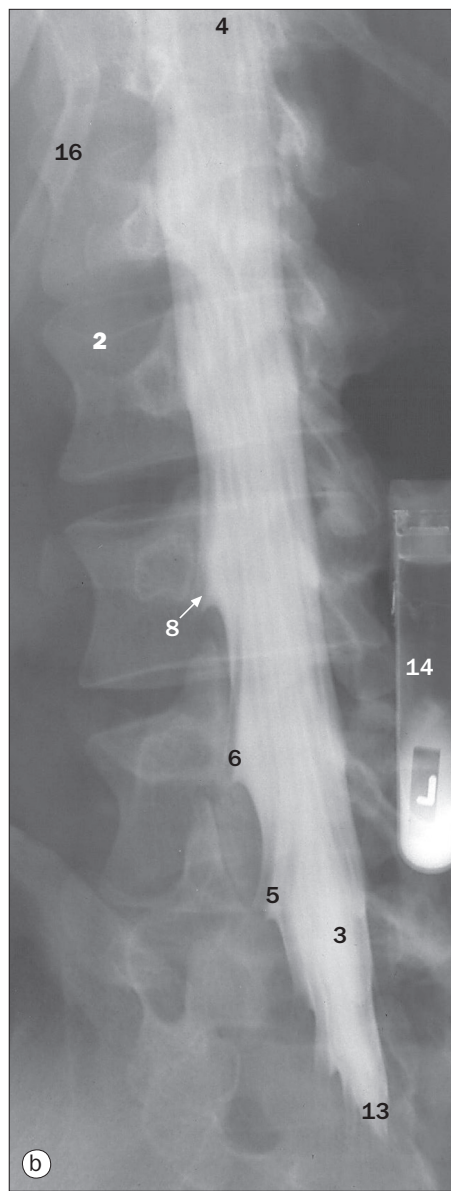
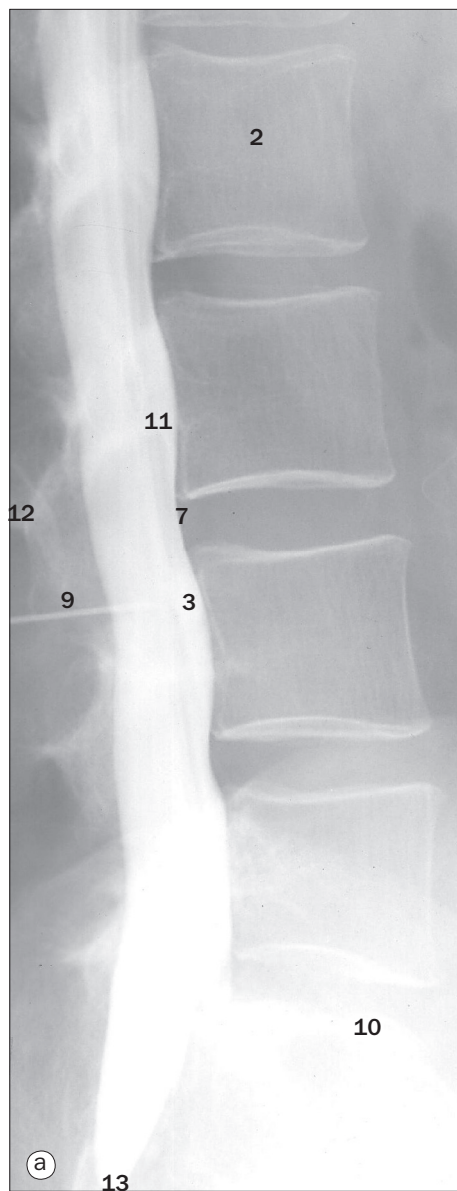
- 1 Artère spinale antérieure
- 2 Moelle cervicale
- 3 Renflement cervical de la moelle spinale
- 4 Nerf spinal cervical émergeant du foramen intervertébral
- 5 Produit de contraste dans l'espace subarachnoïdien cervical
- 6 Racine dorsale du nerf spinal
- 7 1^{re} côte
- 8 Masse latérale de l'atlas (1^{re} vertèbre cervicale)
- 9 Processus transverse (normalement grand) de la 7^e vertèbre cervicale
- 10 Occiput
- 11 Dent de l'axis
- 12 Racine du 8^e nerf cervical
- 13 Moelle spinale thoracique
- 14 Foramen transversaire
- 15 Racine ventrale du nerf spinal
- 16 Artère vertébrale



Myélographie cervicale, avec le patient (c) en décubitus ventral, (d) en décubitus dorsal, incidences de profil.

- 1 Arc antérieur de l'atlas (1^{re} vertèbre cervicale)
- 2 Bord antérieur du foramen magnum
- 3 Moelle spinale cervicale
- 4 Grande citerne
- 5 Clivus
- 6 Produit de contraste dans l'espace subarachnoïdien cervical
- 7 Méat acoustique externe
- 8 Occiput
- 9 Dent de l'axis
- 10 Indentation postérieure du ligament jaune sur le sac thécal
- 11 Artère cérébelleuse postérieure et inférieure
- 12 Bord postérieur du foramen magnum
- 13 Tubercule postérieur de l'atlas (1^{re} vertèbre cervicale)

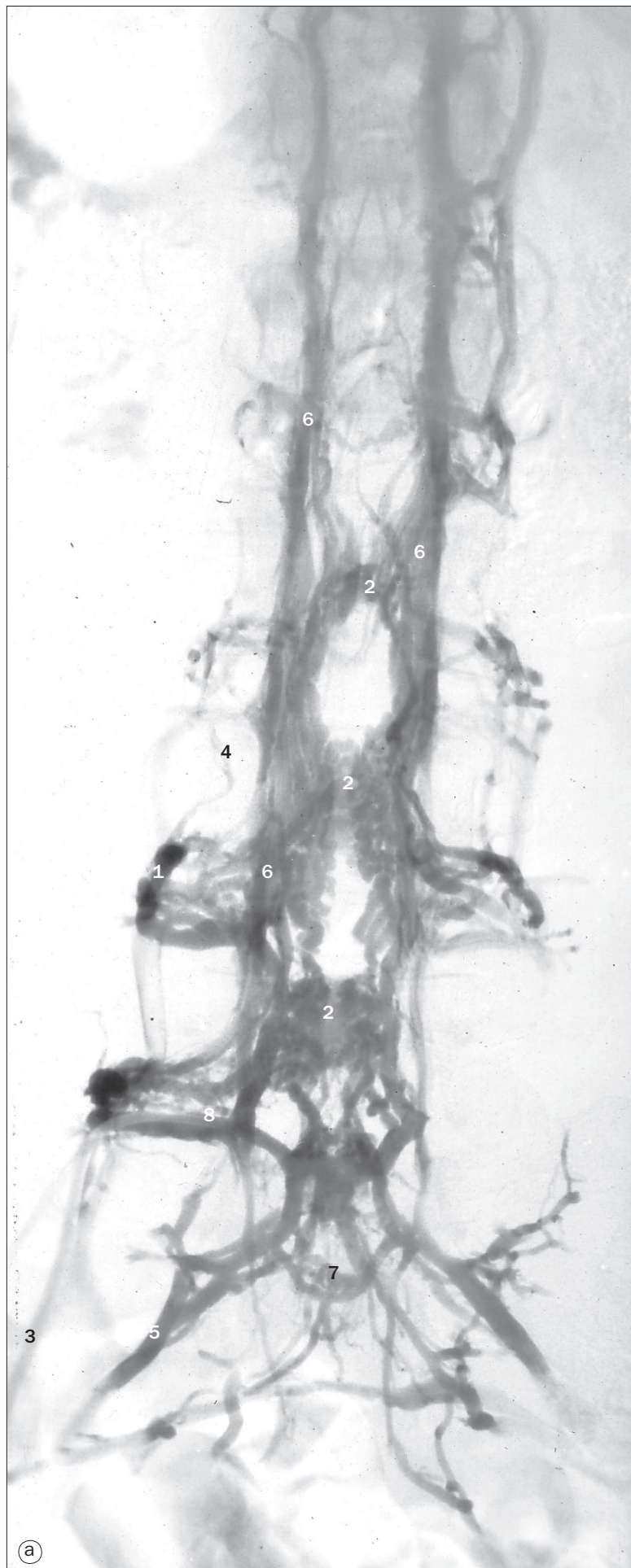
Radiculographie lombale, (a) incidence de profil, (b) incidence oblique, (c) incidence de face. Du produit de contraste hydrosoluble non ionique est introduit dans l'espace subarachnoïdien lombal par une ponction lombaire. Les racines nerveuses de la queue de cheval sont bien mises en évidence, de même que le niveau où elles sortent à travers les forams intervertébraux. Les racines nerveuses qui s'étendent du cône médullaire à l'extrémité du sac thécal passent en dessous du pédicule des vertèbres correspondantes. Le sac thécal se termine à l'étage vertébral S1–S2. Le filum terminale est visible. Le fait d'incliner la table sur laquelle le patient est en décubitus ventral la tête légèrement vers le bas permet de faire couler le produit de contraste en direction crâniale, ce qui favorise la mise en évidence du cône médullaire et de la partie inférieure de la moelle thoracique. Le diamètre de la moelle est uniforme entre les vertèbres T2 et T10 ; à cet endroit, le deuxième renflement (pour le plexus lumbosacral), plus petit, s'étend de la vertèbre T10 à la vertèbre L1. Habituellement, le cône médullaire se termine au niveau des vertèbres L1–L2, mais il peut être rencontré au-dessus ou au-dessous (il s'agit d'une variante anatomique normale).



- 1 Incisure médiane ventrale de la moelle allongée
- 2 Corps de la 2^e vertèbre lombale
- 3 Produit de contraste dans l'espace subarachnoïdien
- 4 Cône médullaire
- 5 5^e nerf spinal lombal
- 6 4^e nerf spinal lombal

- 7 Indentations du disque intervertébral sur le bord thécal antérieur
- 8 Expansion latérale de l'espace subarachnoïdien autour des racines nerveuses spinales
- 9 Aiguille de ponction lombaire dans l'espace entre la 3^e et la 4^e vertèbre lombale
- 10 Promontoire sacral
- 11 Nerfs spinaux dans l'espace subarachnoïdien (queue de cheval)

- 12 Processus épineux de la 3^e vertèbre lombale
- 13 Thèque terminale/Sac dural terminal au niveau des 1^{re}/2^e vertèbres sacrales
- 14 Tube à essai contenant du produit de contraste pour indiquer le degré d'inclinaison du patient
- 15 Moelle spinale thoracique
- 16 12^e côte

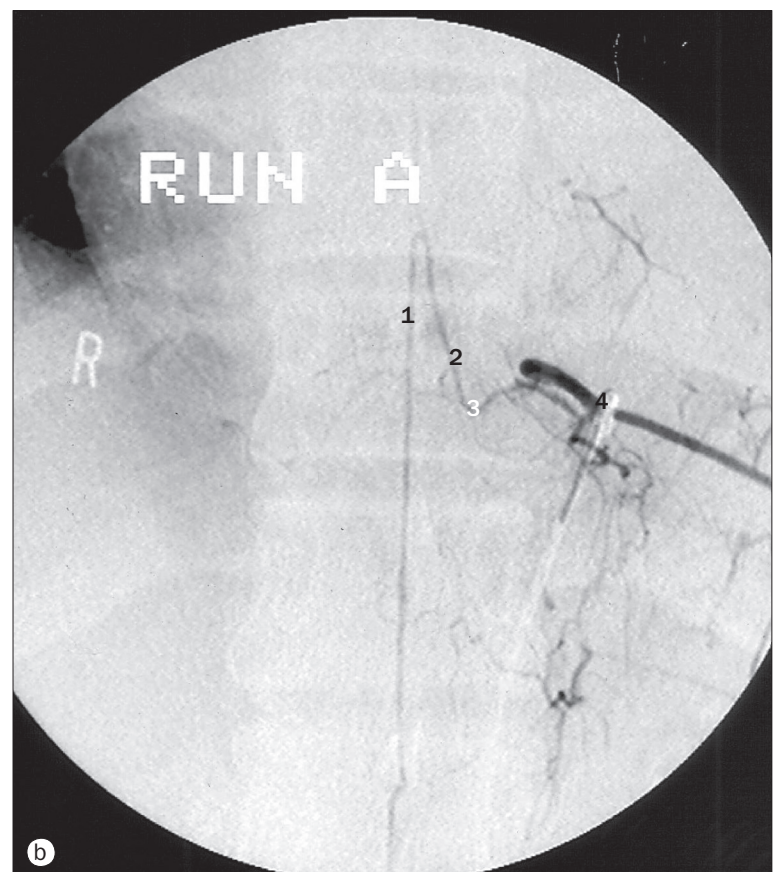


(a) Région lombale, phlébographie par soustraction. Depuis l'avènement de la TDM et de l'IRM, il est rare de pratiquer une phlébographie de la région lombale. Toutefois, cette technique est très bonne pour mettre en évidence l'anatomie des veines vertébrales. La disposition du drainage veineux de la moelle spinale est longitudinale, par l'intermédiaire de plexus qui s'anastomosent librement avec les plexus veineux vertébraux internes (6) et externes (1 et 4), qui sont par ailleurs reliés (4 et 2). Noter la manière dont les veines internes se courbent latéralement au niveau du disque intervertébral, et médialement au niveau des pédicules, où elles se rejoignent via une veine communicante (2).

- 1 Veines lombales ascendantes
- 2 Veines basivertébrales
- 3 Cathéter dans la veine iliaque commune
- 4 Veines intervertébrales
- 5 Veines sacrales latérales
- 6 Plexus veineux vertébraux longitudinaux
- 7 Plexus veineux sacral
- 8 Extrémité du cathéter dans la veine intravertébrale

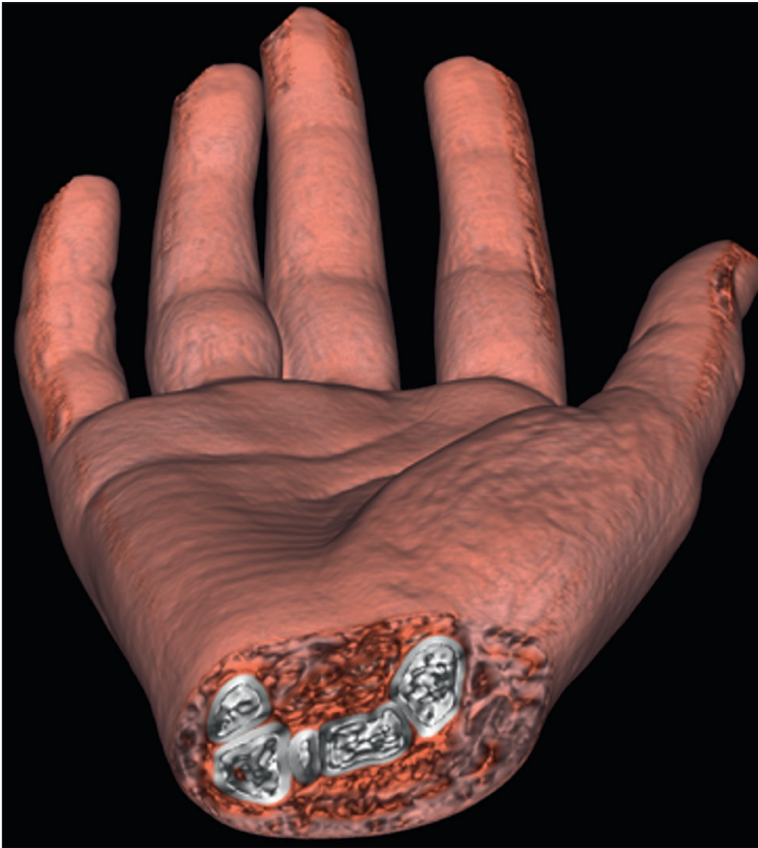
(b) Artériographie spinale.

- 1 Artère spinale antérieure
- 2 Artère du renflement lombal (d'Adamkiewicz)
- 3 Sténose transdurale normale de l'artère du renflement lombal
- 4 Cathétérisme sélectif de la 11^e artère intercostale



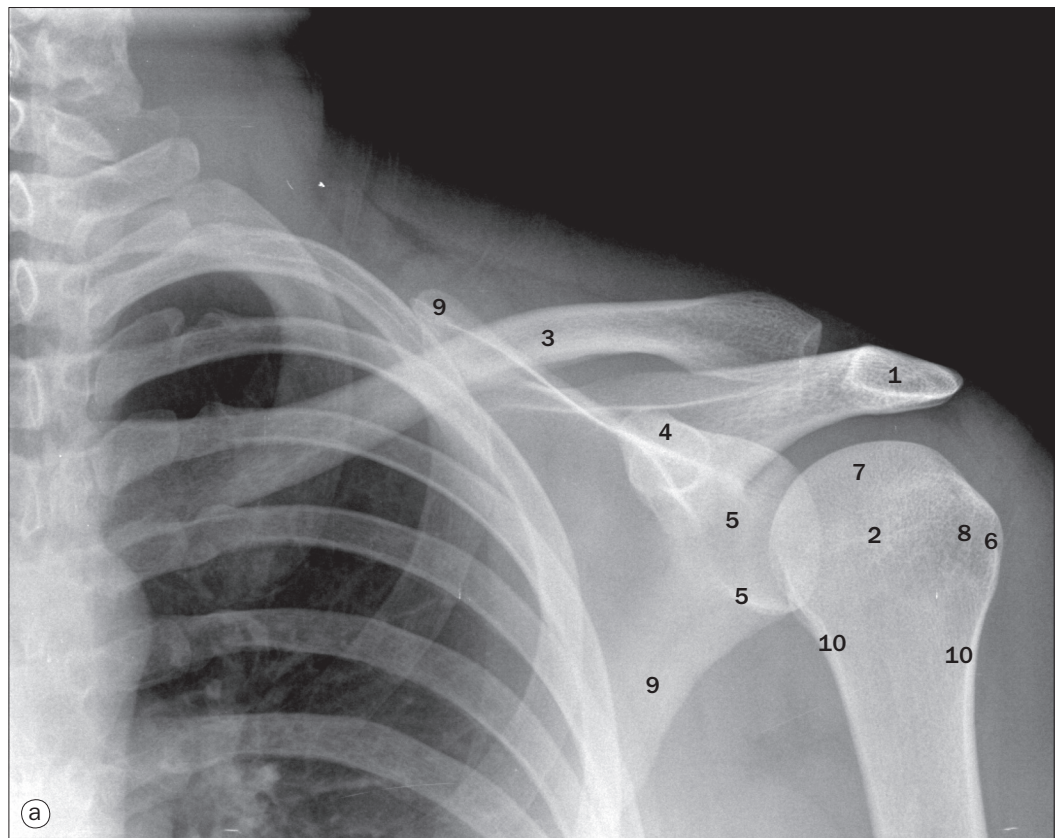
3

Membre supérieur



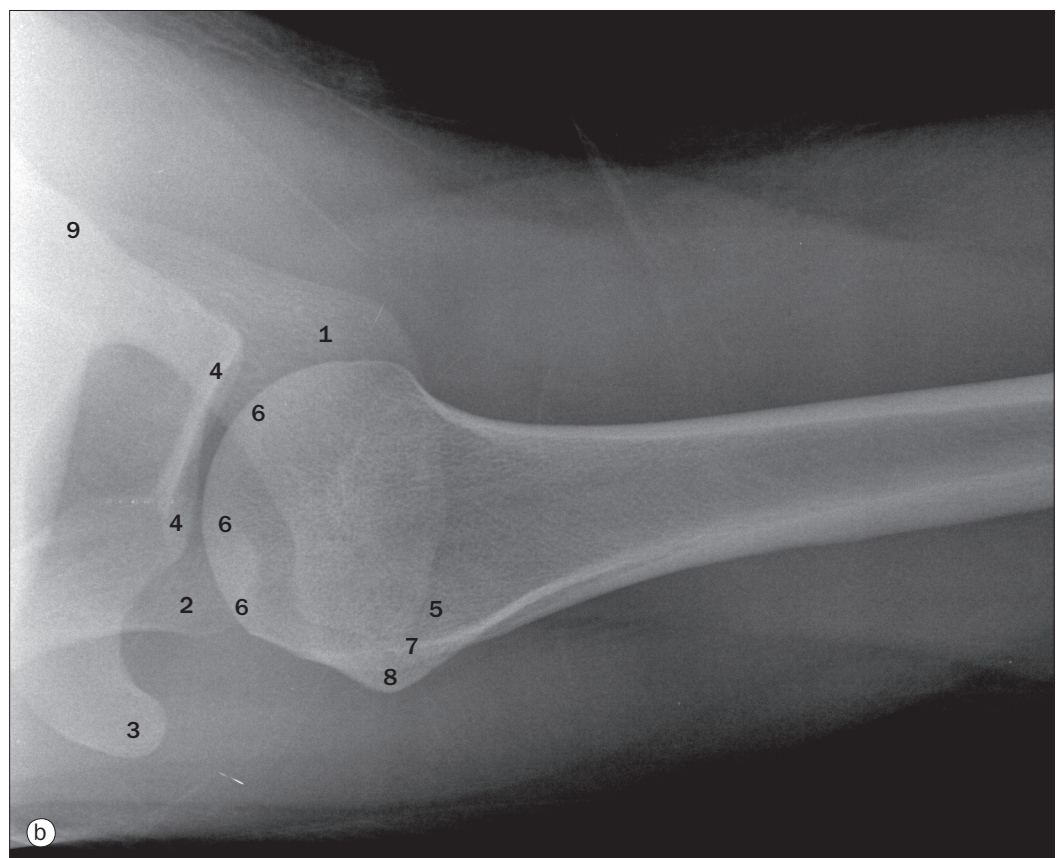
(a) Épaule, radiographie en incidence de face.

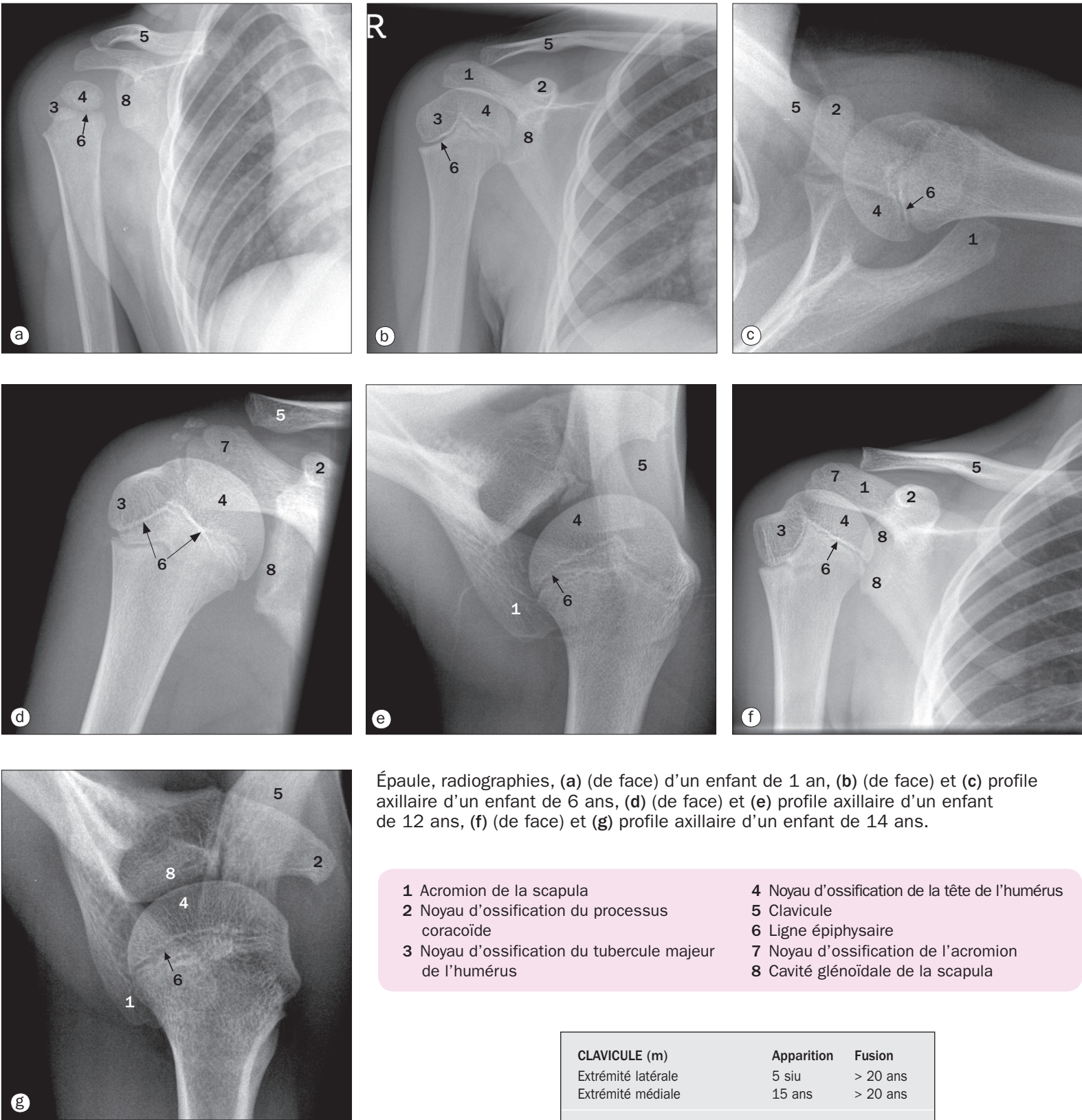
- 1 Acromion de la scapula
- 2 Col anatomique de l'humérus
- 3 Clavicule
- 4 Processus coracoïde de la scapula
- 5 Cavité glénoïdale de la scapula
- 6 Tubercule majeur de l'humérus
- 7 Tête de l'humérus
- 8 Tubercule mineur de l'humérus
- 9 Scapula
- 10 Col chirurgical de l'humérus

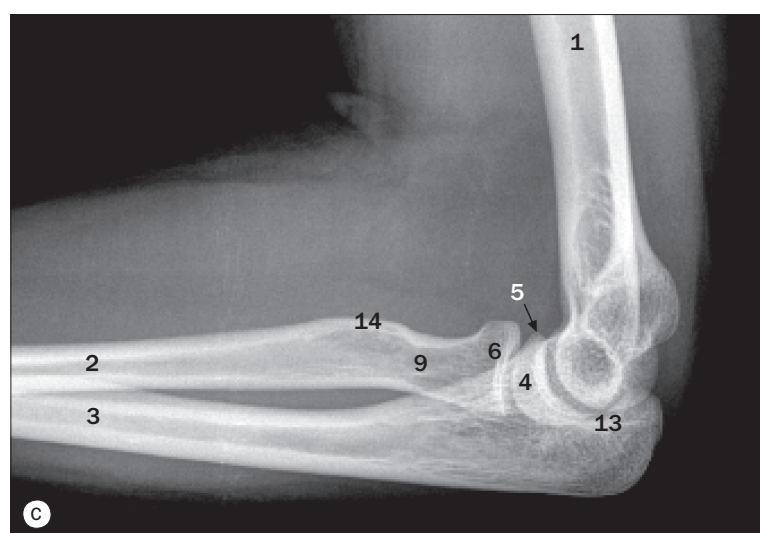
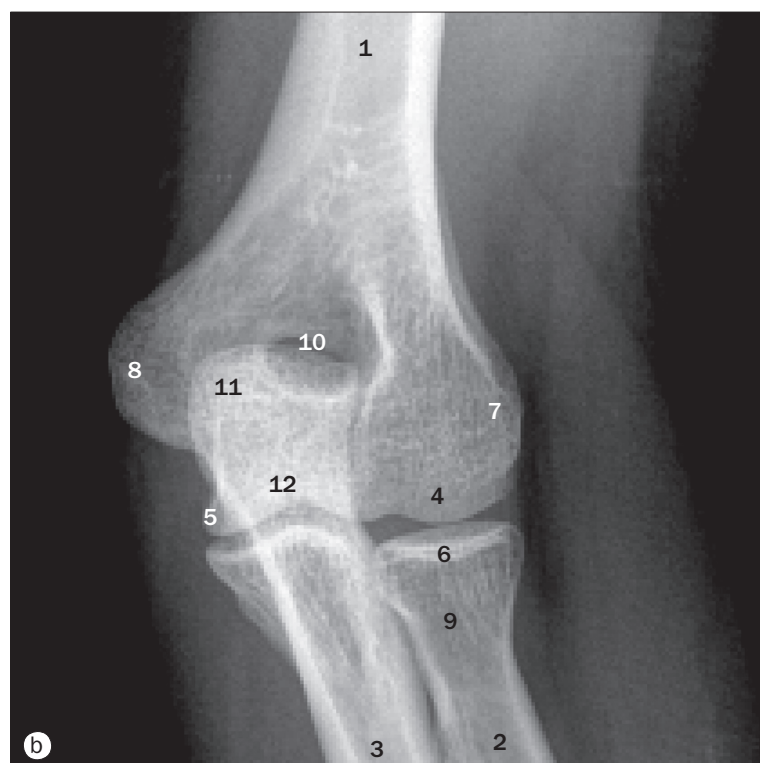
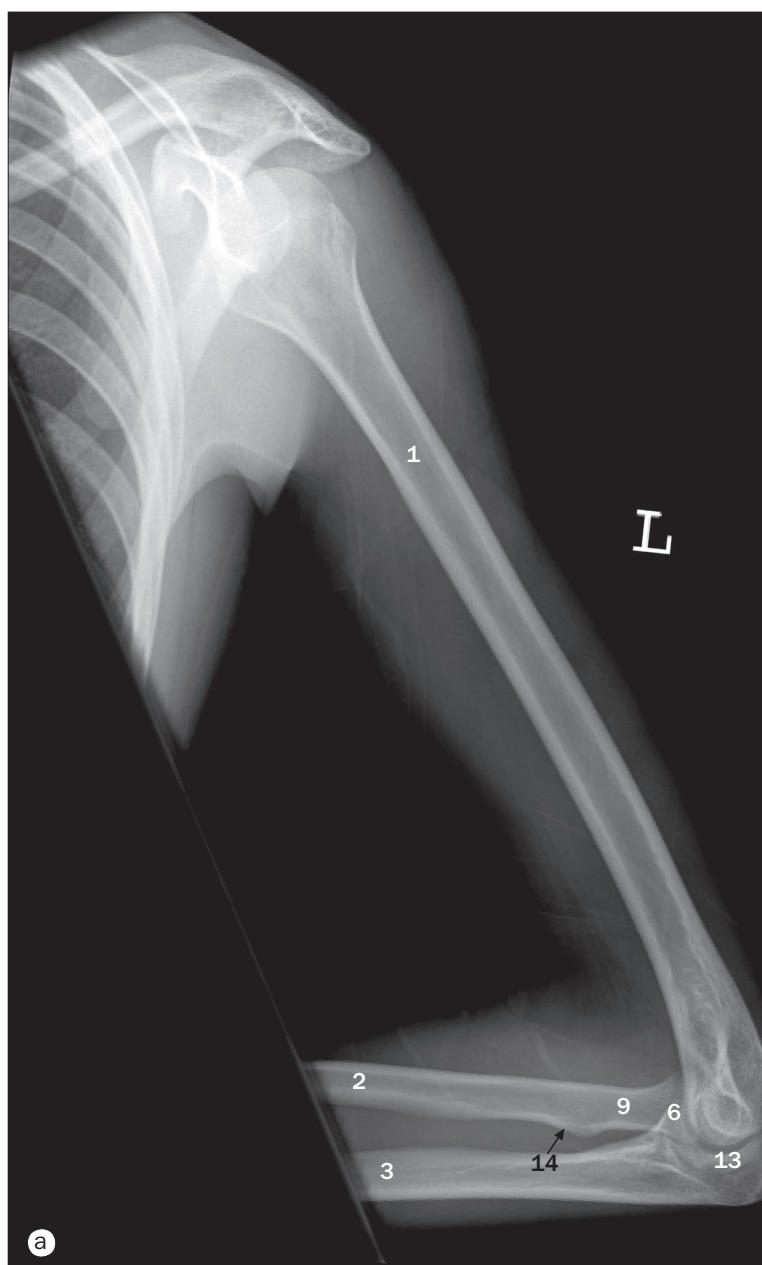


(b) Épaule, incidence en profil axillaire (supéro-inférieure).

- 1 Acromion de la scapula
- 2 Clavicule
- 3 Processus coracoïde de la scapula
- 4 Cavité glénoïdale de la scapula
- 5 Tubercule majeur de l'humérus
- 6 Tête de l'humérus
- 7 Sillon intertuberculaire de l'humérus
- 8 Tubercule mineur de l'humérus
- 9 Épine de la scapula



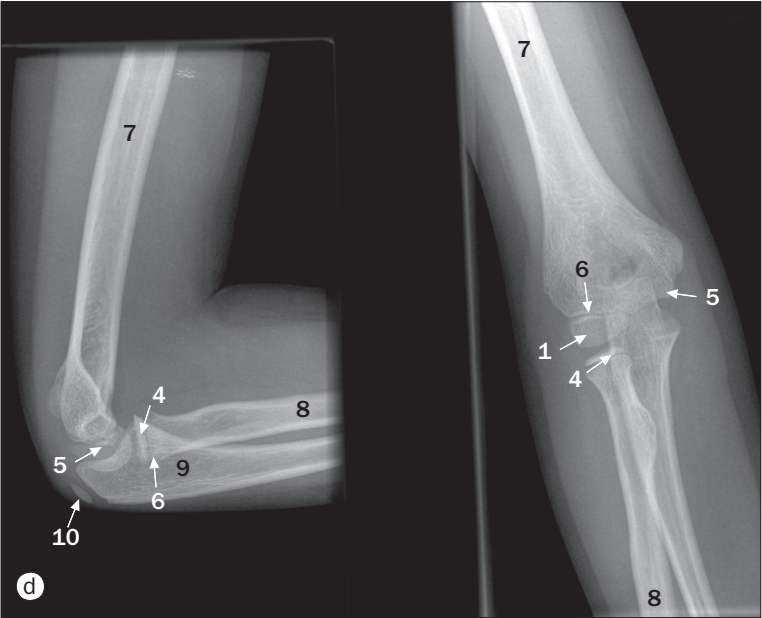
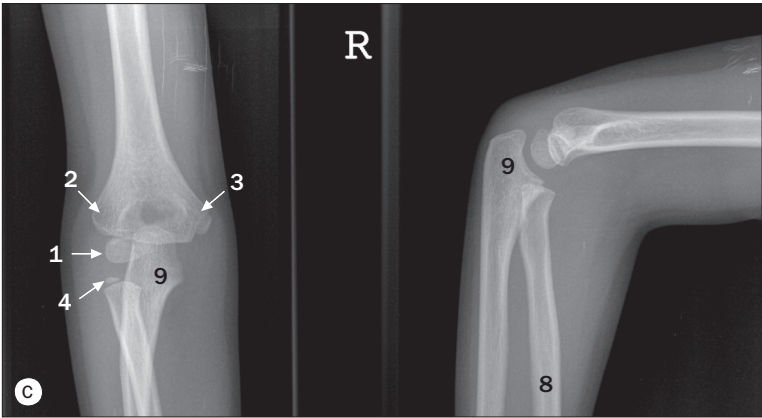
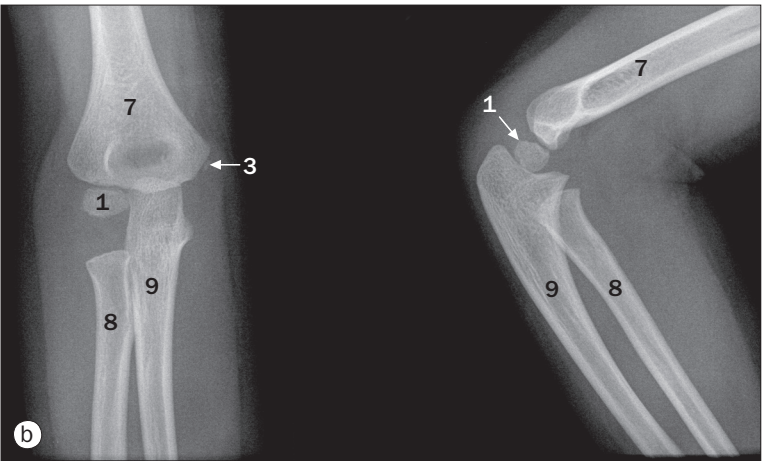
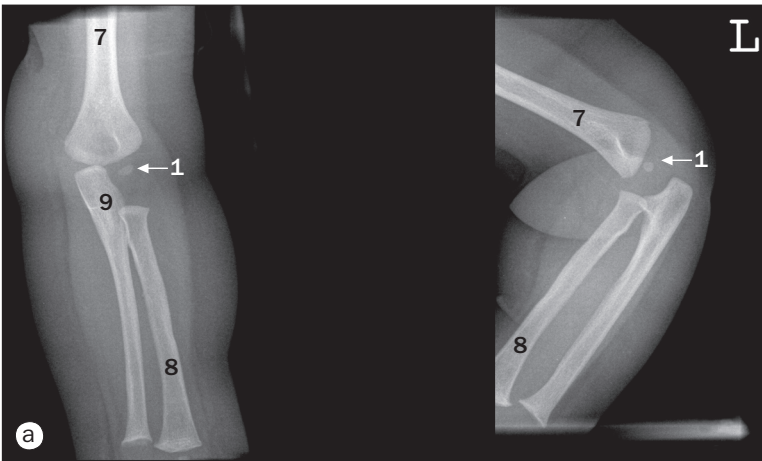




(a) Humérus, incidence de profil, (b) coude, incidence de face, (c) coude, incidence de profil.

- | | |
|-----------------------------------|------------------------------------|
| 1 Humérus | 8 Épicondyle médial de l'humérus |
| 2 Radius | 9 Col du radius |
| 3 Ulna | 10 Fosse olécrânienne de l'humérus |
| 4 Capitulum de l'humérus | 11 Olécrâne de l'ulna |
| 5 Processus coronoïde de l'ulna | 12 Trochlée humérale |
| 6 Tête du radius | 13 Incisure trochléaire de l'ulna |
| 7 Épicondyle latéral de l'humérus | 14 Tubérosité radiale |

HUMÉRUS (c)	Apparition	Fusion
Diaphyse	8 siu	15-20 ans
Tête	1-6 mois	15-20 ans
Tubercule majeur	6 mois-1 an	15-20 ans
Tubercule mineur	3-5 ans	18-20 ans
Capitulum	4 mois-1 an	13-16 ans
Trochlée médiale	10 ans	13-16 ans
Épicondyle médial	3-6 ans	13-16 ans
Épicondyle latéral	9-12 ans	13-16 ans

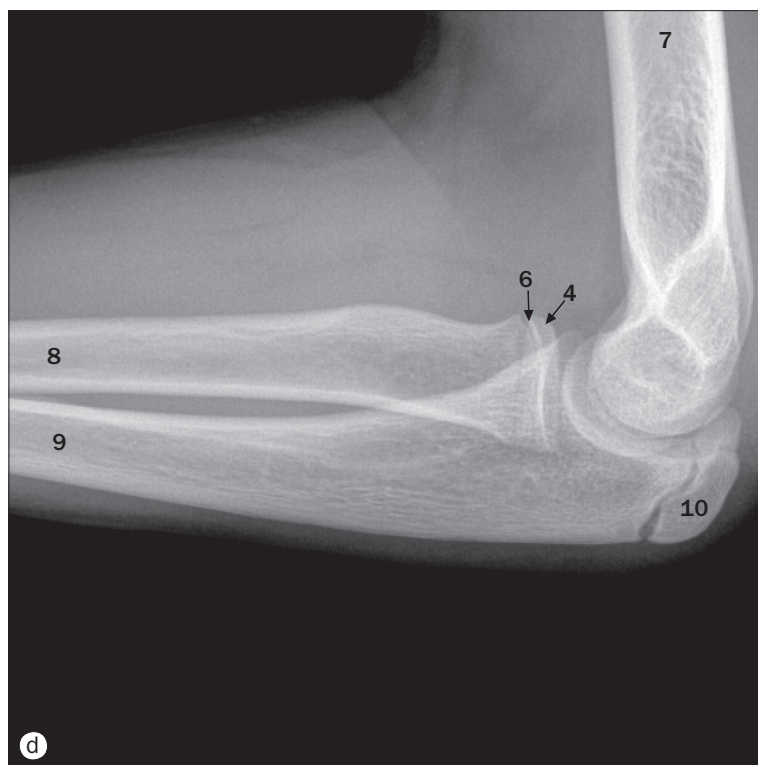
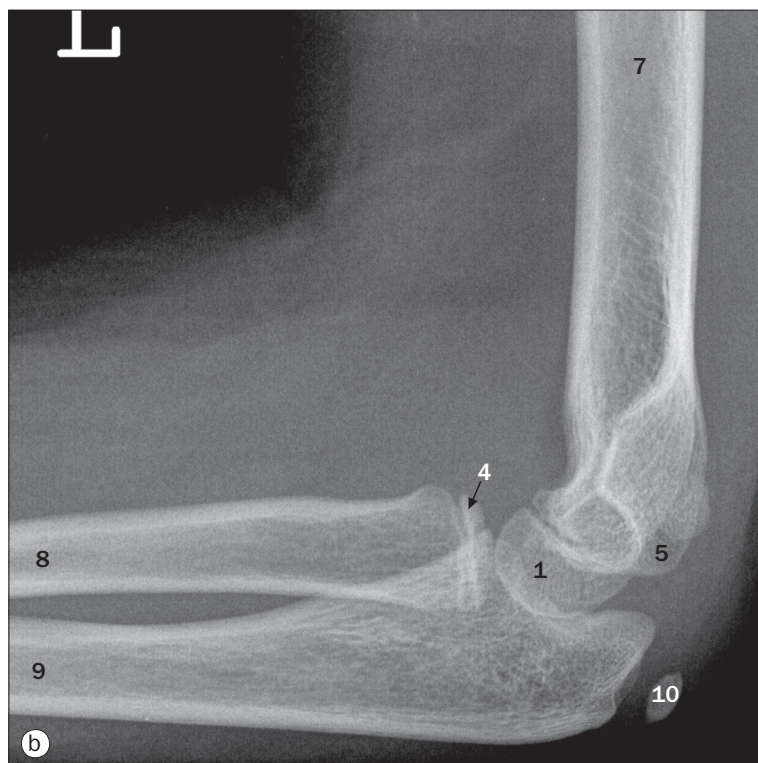
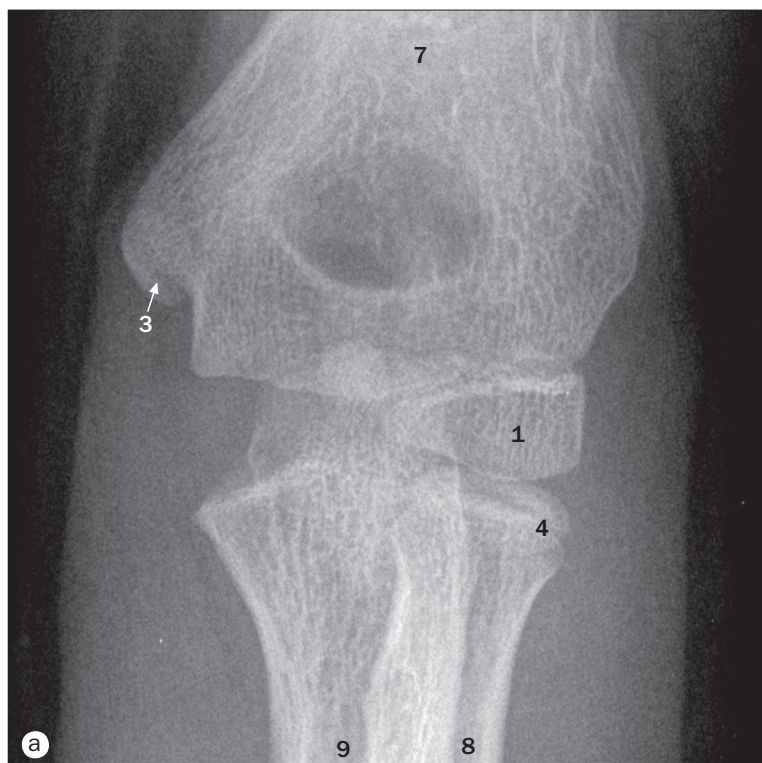


Coude, images (a) d'un enfant de 7 mois, (b) d'un enfant de 3 ans, (c) d'un enfant de 6 ans, (d) d'un enfant de 9 ans.

RADIUS (c)	Apparition	Fusion
Diaphyse	8 siu	
Extrémité proximale	4-6 ans	13-16 ans
Extrémité distale	1 an	16-18 ans

ULNA	Apparition	Fusion
Diaphyse	8 siu	
Extrémité proximale	8-10 ans	13-15 ans
Extrémité distale	5-7 ans	16-18 ans

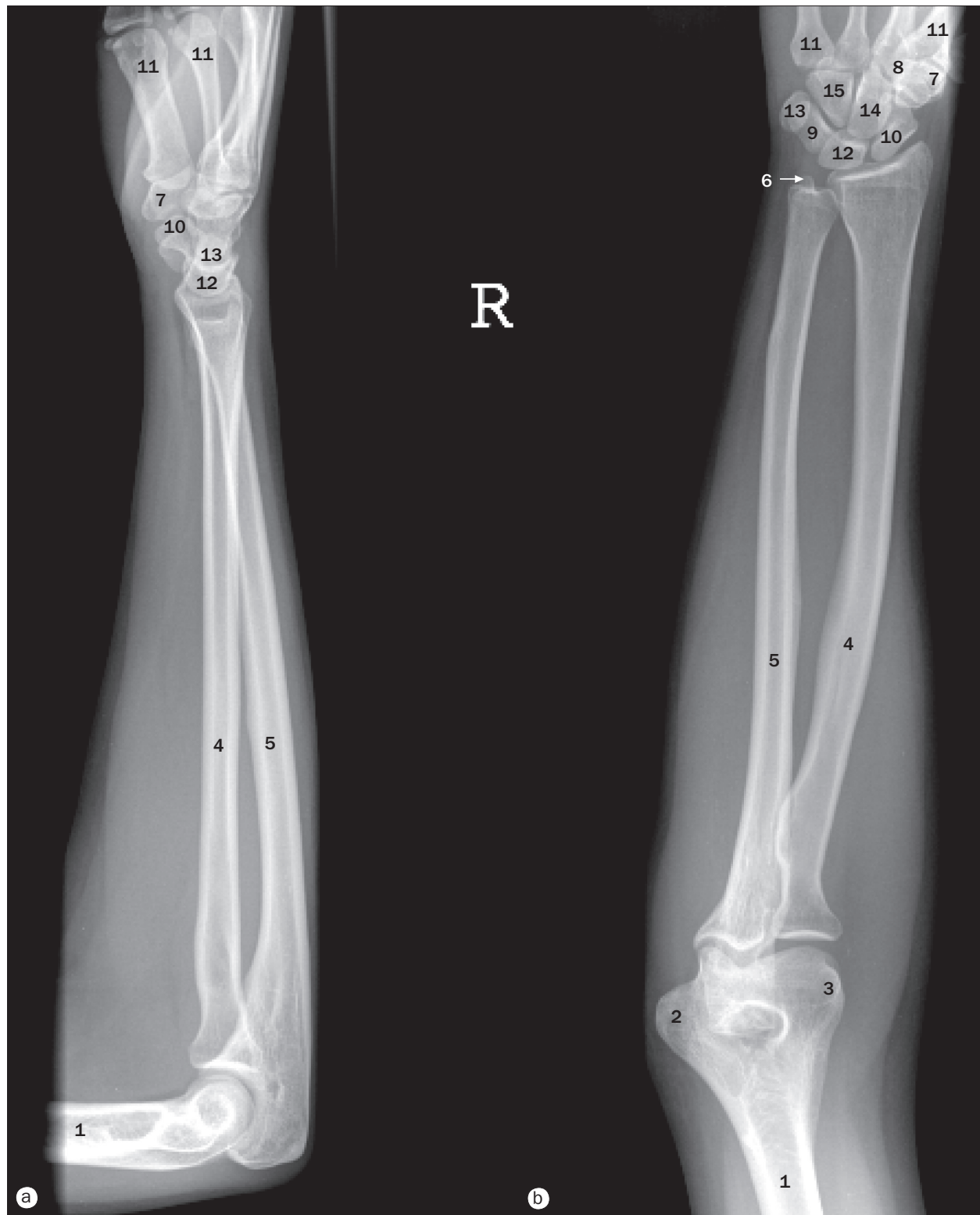
- 1 Noyau d'ossification du capitulum
- 2 Noyau d'ossification de l'épicondyle latéral
- 3 Noyau d'ossification de l'épicondyle médial
- 4 Noyau d'ossification de la tête radiale
- 5 Noyau d'ossification de la trochlée
- 6 Ligne épiphysaire
- 7 Humérus
- 8 Radius
- 9 Ulna
- 10 Noyau d'ossification de l'olécrâne



Coude, images (a) et (b) d'un enfant de 11 ans, (c) et (d) d'un enfant de 14 ans.

- 1 Noyau d'ossification du capitulum
- 2 Noyau d'ossification de l'épicondyle latéral
- 3 Noyau d'ossification de l'épicondyle médial
- 4 Noyau d'ossification de la tête radiale

- 5 Noyau d'ossification de la trochlée
- 6 Ligne épiphysaire
- 7 Humérus
- 8 Radius
- 9 Ulna
- 10 Noyau d'ossification de l'olécrâne

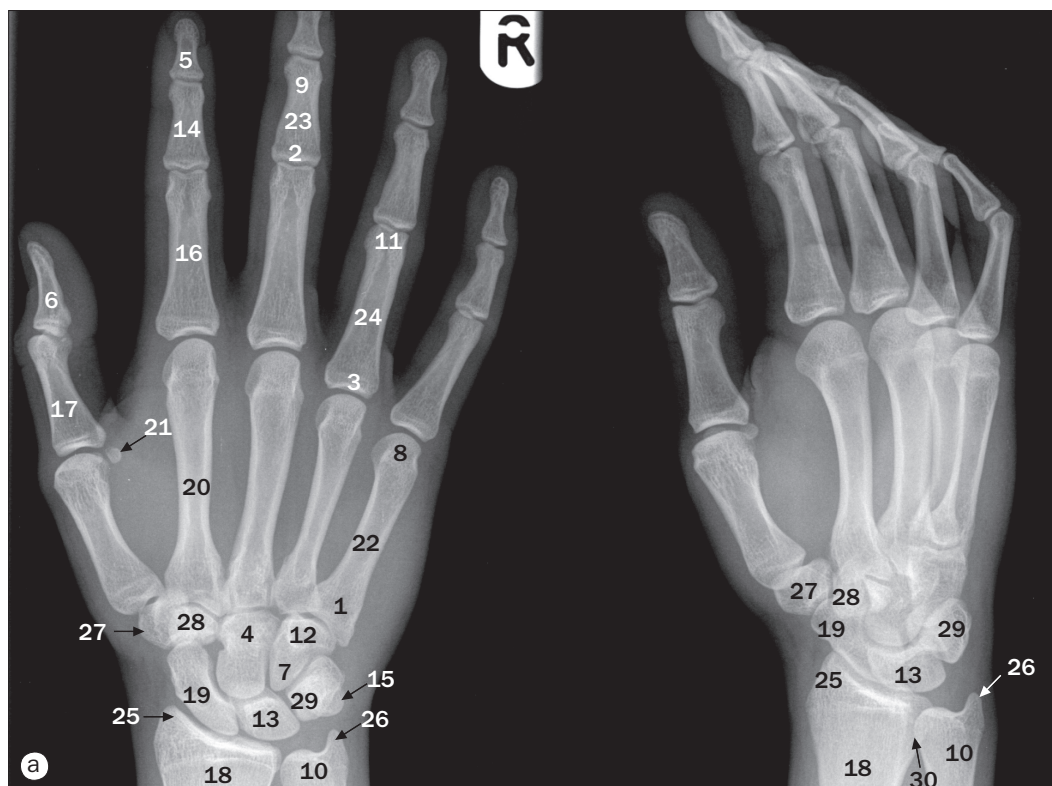


Avant-bras, incidences (a) de profil et (b) de face.

1 Humérus
2 Épicondyle médial de l'humérus
3 Épicondyle latéral de l'humérus
4 Radius
5 Ulna

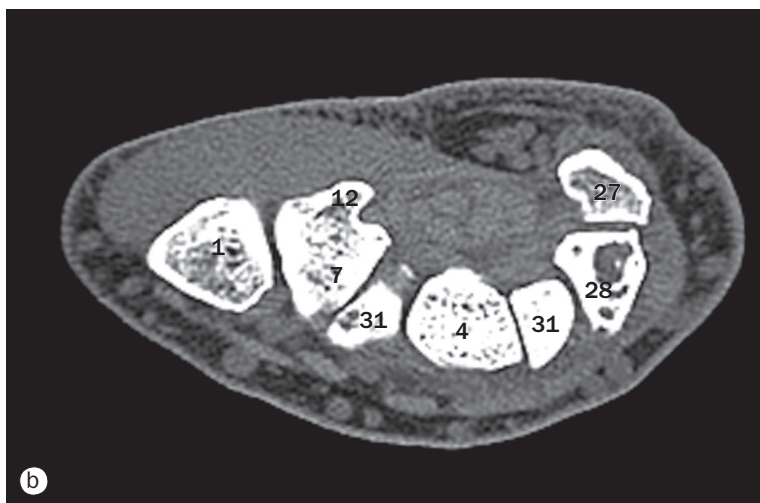
6 Processus styloïde de l'ulna
7 Os trapèze
8 Os trapézoïde
9 Os triquetrum
10 Os scaphoïde

11 Métacarpiens
12 Os lunatum
13 Os pisiforme
14 Os capitatum
15 Os hamatum

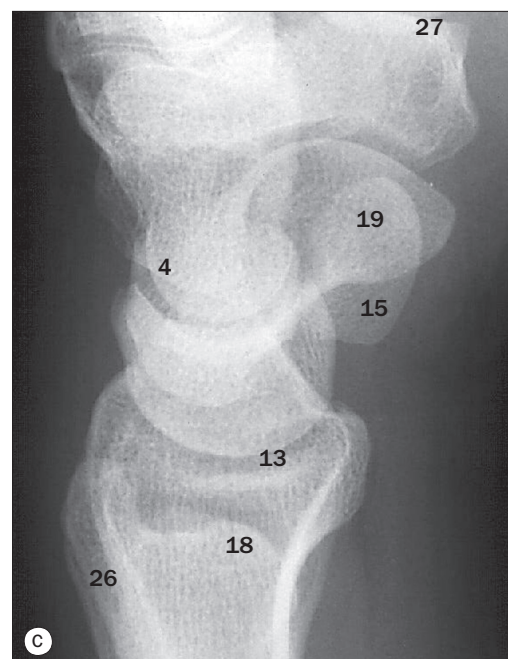


(a) Os de la main, incidences de face dorsopalmaire et oblique.

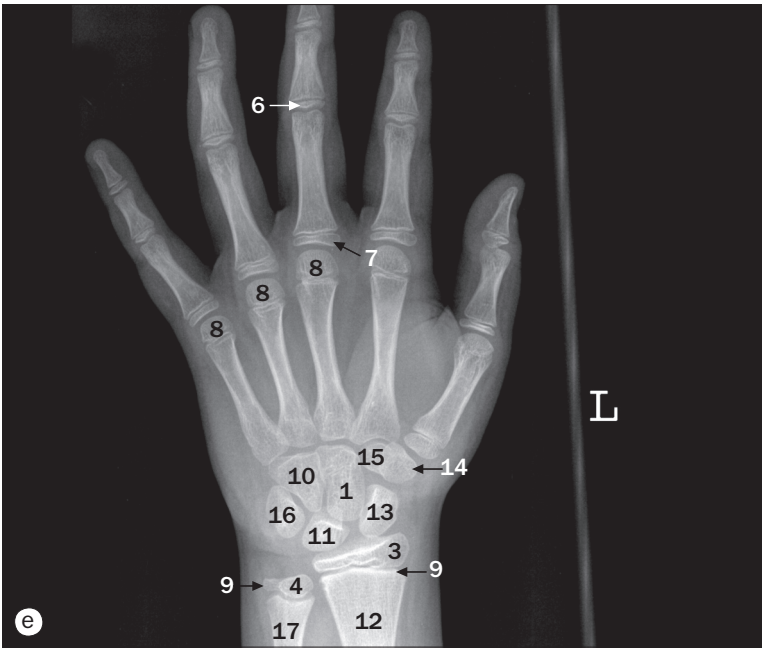
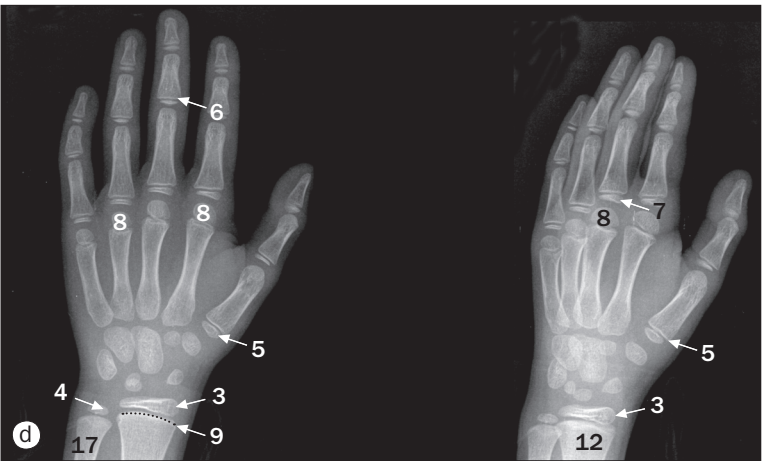
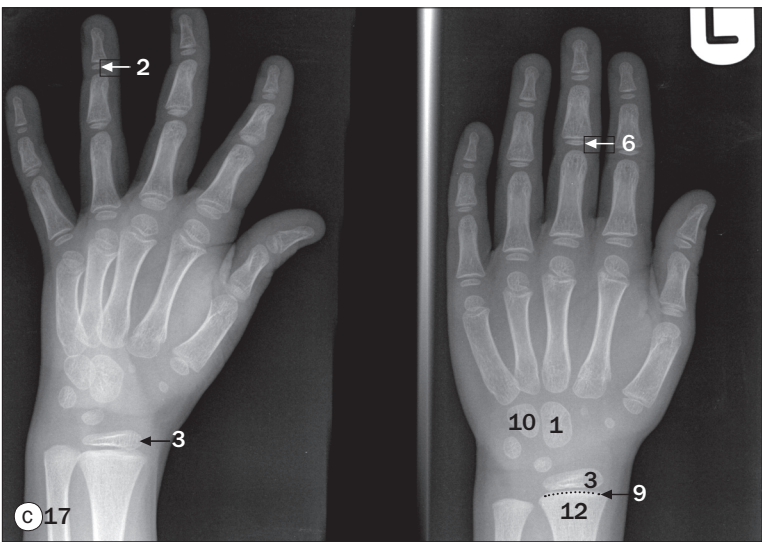
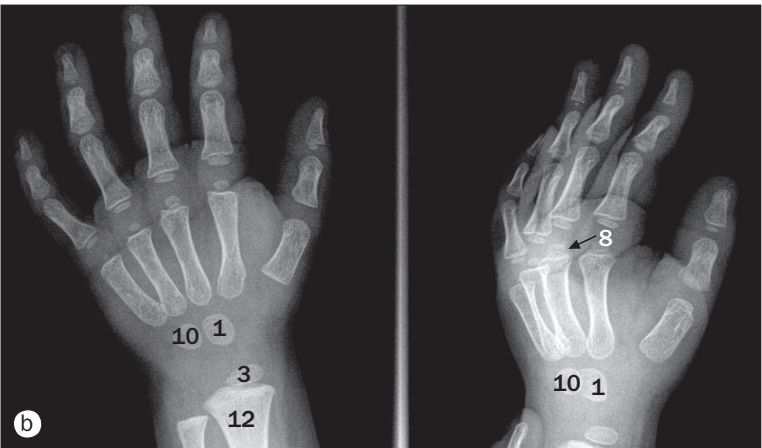
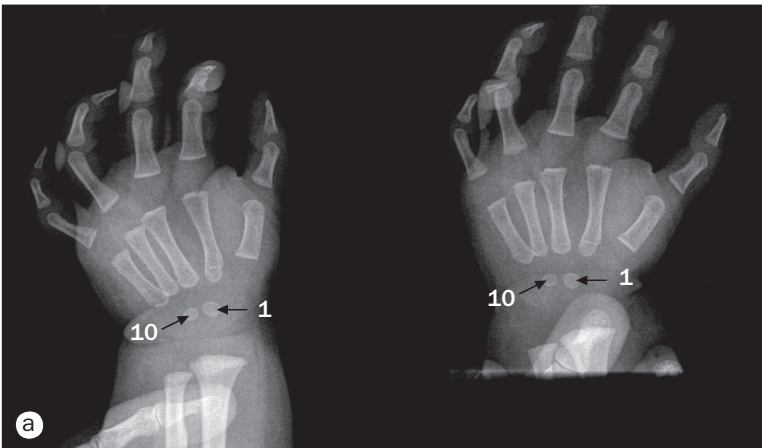
- | | | |
|--|---|---|
| 1 Base du 5 ^e métacarpien | 11 Tête de la phalange proximale de l'annulaire | 22 Diaphyse du 5 ^e métacarpien |
| 2 Base de la phalange moyenne du majeur | 12 Crochet (hamulus) de l'hamatum | 23 Diaphyse de la phalange moyenne du majeur |
| 3 Base de la phalange proximale de l'annulaire | 13 Os lunatum | 24 Diaphyse de la phalange proximale de l'annulaire |
| 4 Os capitatum | 14 Phalange moyenne de l'index | 25 Processus styloïde du radius |
| 5 Phalange distale de l'index | 15 Os pisiforme | 26 Processus styloïde de l'ulna |
| 6 Phalange distale du pouce | 16 Phalange proximale de l'index | 27 Os trapèze |
| 7 Os hamatum | 17 Phalange proximale du pouce | 28 Os trapézoïde |
| 8 Tête du 5 ^e métacarpien | 18 Radius | 29 Os triquetrum |
| 9 Tête de la phalange moyenne du majeur | 19 Os scaphoïde | 30 Incisure ulnaire du radius |
| 10 Tête de l'ulna | 20 2 ^e métacarpien | 31 Base du métacarpien |
| | 21 Os sésamoïde | |



(b) TDM en coupe axiale du canal carpien.



(c) Os du poignet, incidence de profil.



CARPE (c)	Apparition	Fusion
Capitulum	1-3 mois	
Hamatum	2-4 mois	
Triquetrum	2-3 ans	
Lunatum	2-4 ans	
Scaphoïde	4-6 ans	
Trapèze	4-6 ans	
Trapézoïde	4-6 ans	
Pisiforme (sésamoïde)	8-12 ans	

MÉTACARPIENS (c)	Apparition	Fusion
Diaphyse	9 siu	
Tête	1-2 ans	14-19 ans

PHALANGES (c)	Apparition	Fusion
Diaphyse	8-12 siu	
Base	1-3 ans	14-18 ans

Os de la main (incidences de face dorsopalmaire), (a) d'un enfant de 10 mois, (b) d'un enfant de 2 ans, (c) d'un enfant de 6 ans, (d) d'un enfant de 9 ans, pour illustrer les centres d'ossification, et (e) d'un enfant de 11 ans.

- 1 Os capitulum

2 Noyau d'ossification de la phalange distale de l'annulaire

3 Noyau d'ossification de l'extrémité distale du radius

4 Noyau d'ossification de l'extrémité distale de l'ulna
- 5 Noyau d'ossification du 1^{er} métacarpien

6 Noyau d'ossification de la phalange moyenne du majeur

7 Noyau d'ossification de la phalange proximale du majeur
- 8 Noyau d'ossification du 2^e métacarpien (s'applique du 2^e au 5^e métacarpiens)

9 Ligne épiphysaire

10 Os hamatum

11 Os lunatum

12 Radius
- 13 Os scaphoïde

14 Os trapèze

15 Os trapézoïde

16 Os triquetrum

17 Ulna

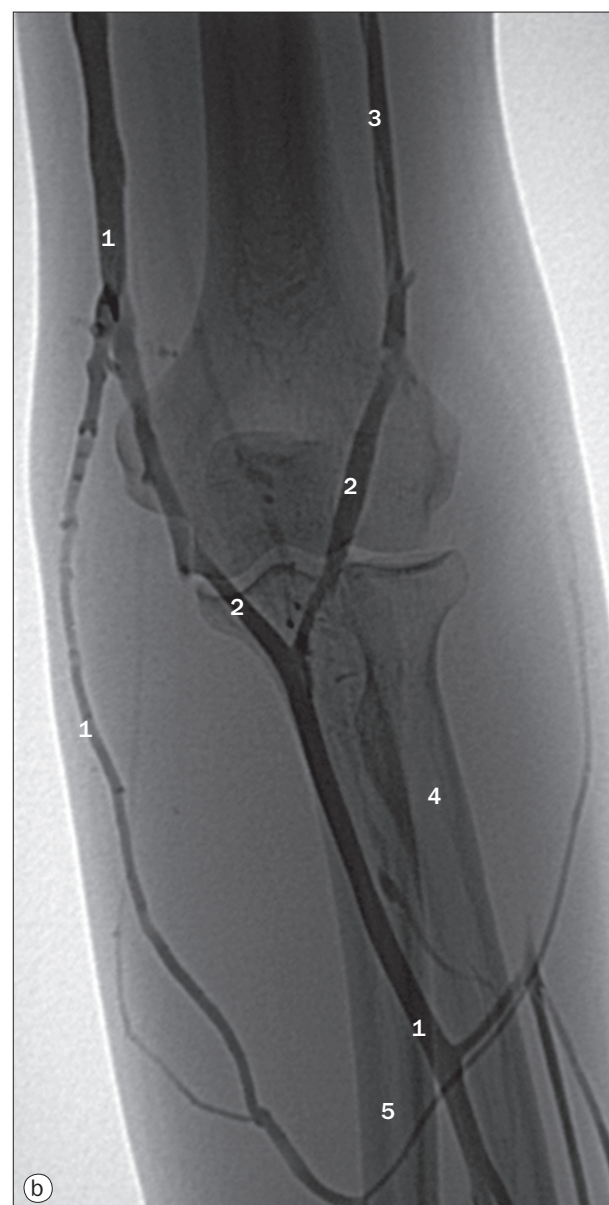
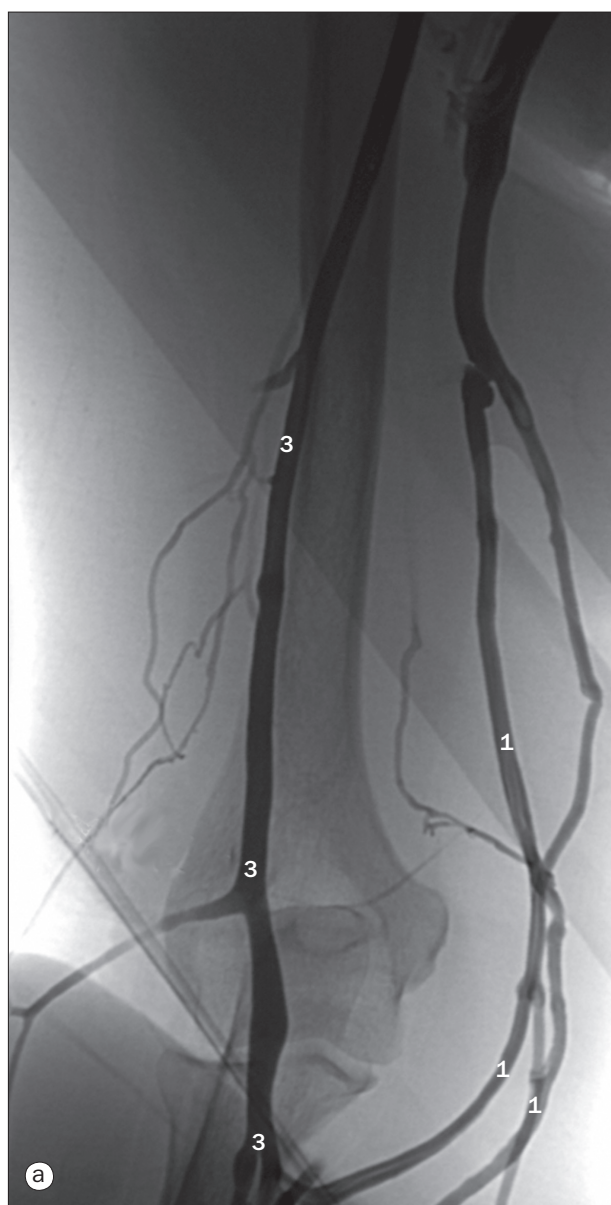


- | | |
|--|---|
| 1 Artère circonflexe humérale antérieure | 7 Artère circonflexe humérale postérieure |
| 2 Artère axillaire | 8 Artère brachiale profonde |
| 3 Artère brachiale | 9 Artère subscapulaire |
| 4 Artère circonflexe scapulaire | 10 Artère thoracique supérieure |
| 5 Artère thoracique latérale | 11 Artère thoracoacromiale |
| 6 Branches musculaires de l'artère brachiale | |

Artériographies axillaires, (a) avec soustraction, (b) avec soustraction numérique. (c) et (d) Artériographies brachiales.

- | | |
|----------------------------------|-----------------------------------|
| 1 Artère interosseuse antérieure | 5 Artère interosseuse postérieure |
| 2 Artère brachiale | 6 Artère radiale |
| 3 Artère interosseuse commune | 7 Artère récurrente radiale |
| 4 Arcade palmaire profonde | 8 Artère ulnaire |
| | 9 Artère récurrente ulnaire |





Phlébographies (a) et (b) des membres supérieurs, (c) de la veine cave supérieure.

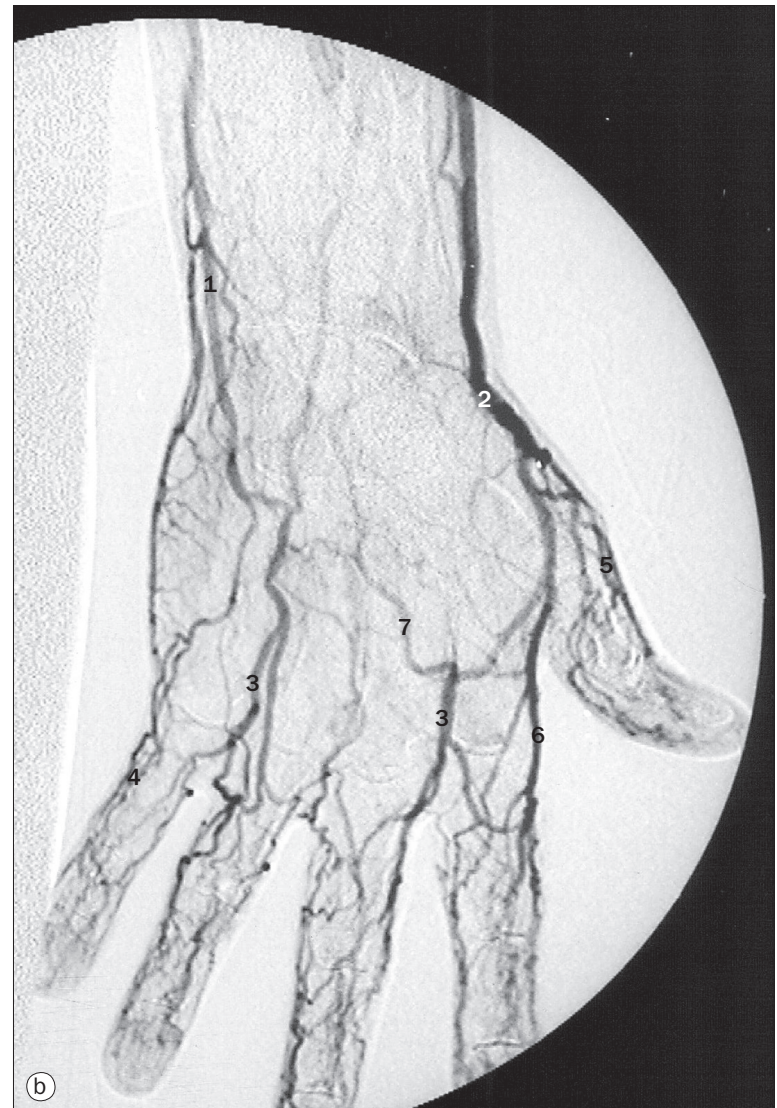


- 1 Veine basilique
- 2 Veines médiane céphalique et médiane basilique
- 3 Veine céphalique
- 4 Radius
- 5 Ulna
- 6 Veine axillaire
- 7 Veine brachiocéphalique
- 8 Atrium droit
- 9 Point d'abouchement de la veine brachiocéphalique gauche
- 10 Veine subclavière
- 11 Veine cave supérieure



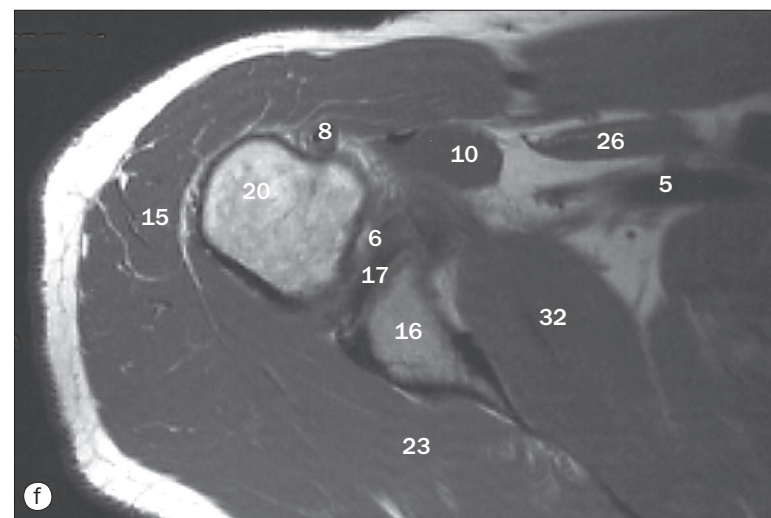
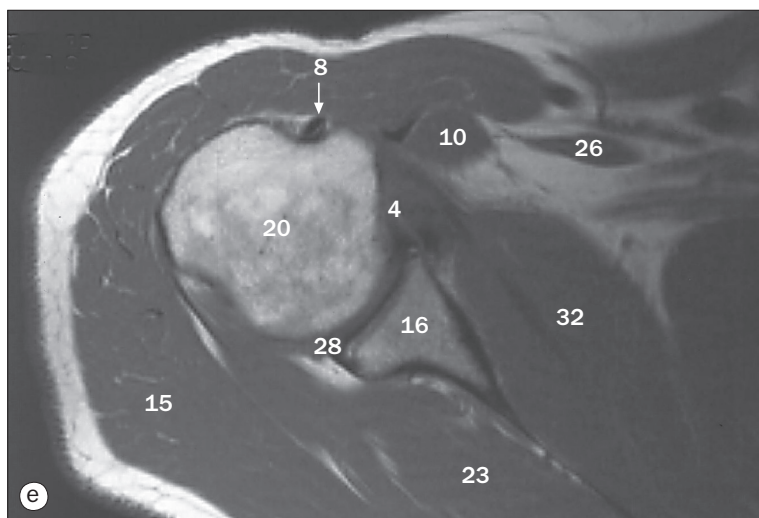
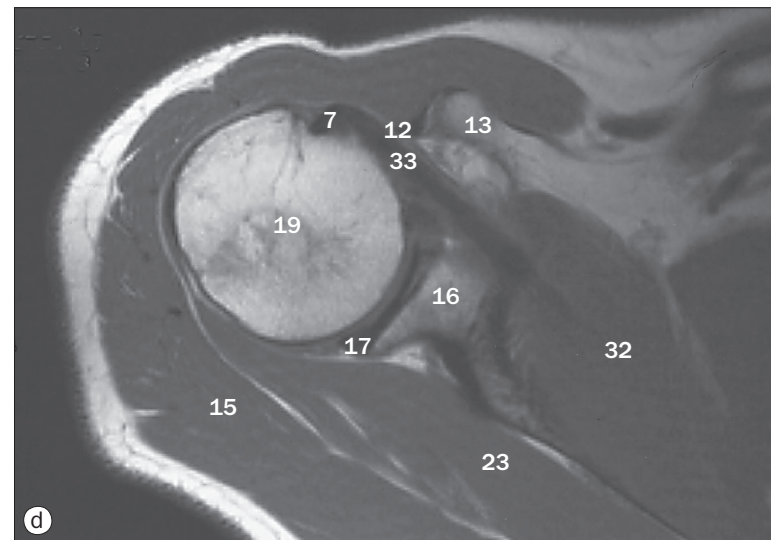
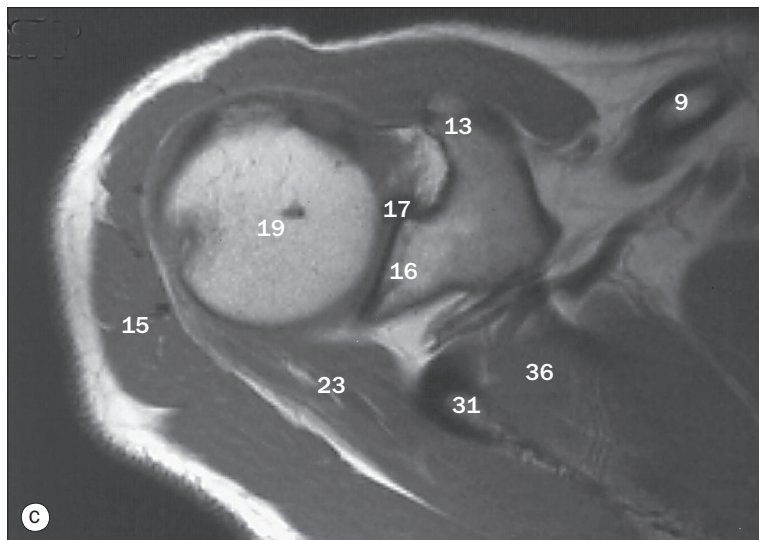
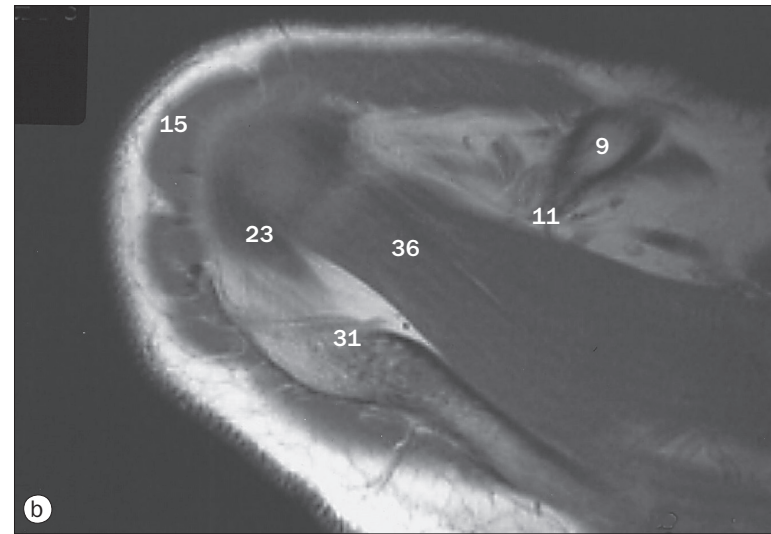
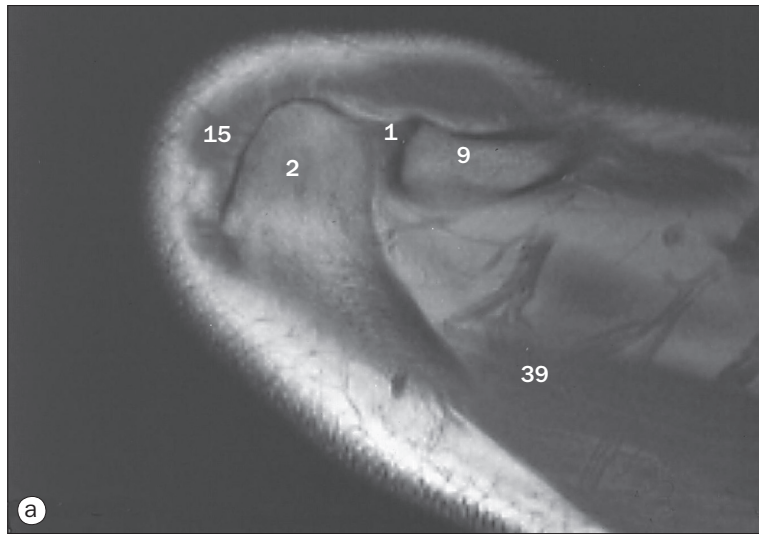
(a) Main, artériographie par soustraction numérique.
Chez ce patient, l'arcade palmaire superficielle est incomplète.

- 1 Artère pour la face radiale du pouce
- 2 Artère digitale commune palmaire
- 3 Arcade palmaire profonde
- 4 Branche palmaire profonde de l'artère ulnaire
- 5 Branche carpienne palmaire de l'artère ulnaire
- 6 Artère métacarpienne palmaire
- 7 Artère principale du pouce
- 8 Artère digitale propre palmaire
- 9 Artère radiale
- 10 Artère ulnaire
- 11 Anastomoses des pulpes



(b) Phase veineuse de l'artériographie de la main.

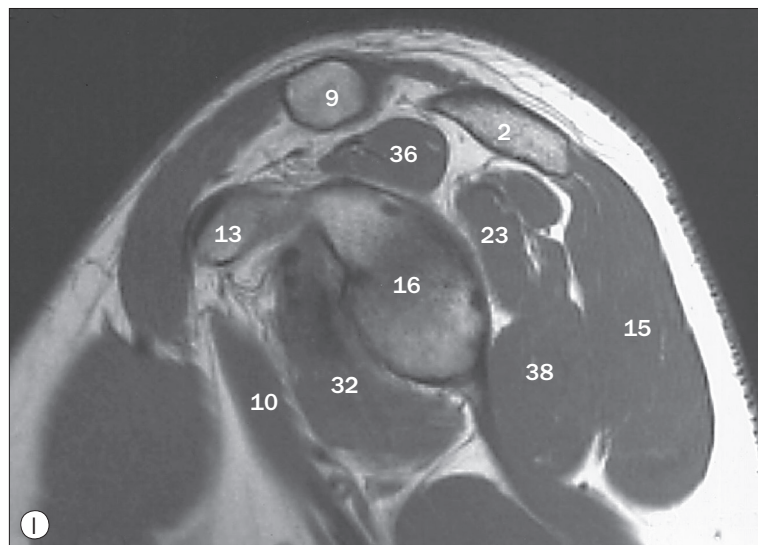
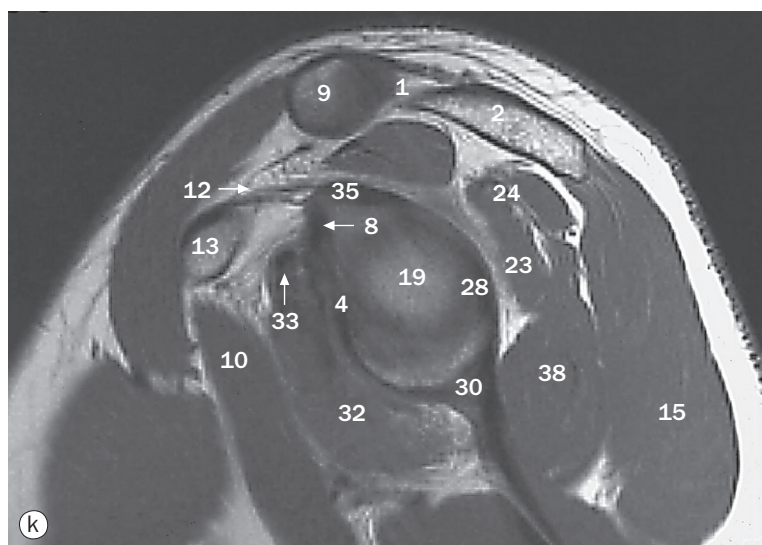
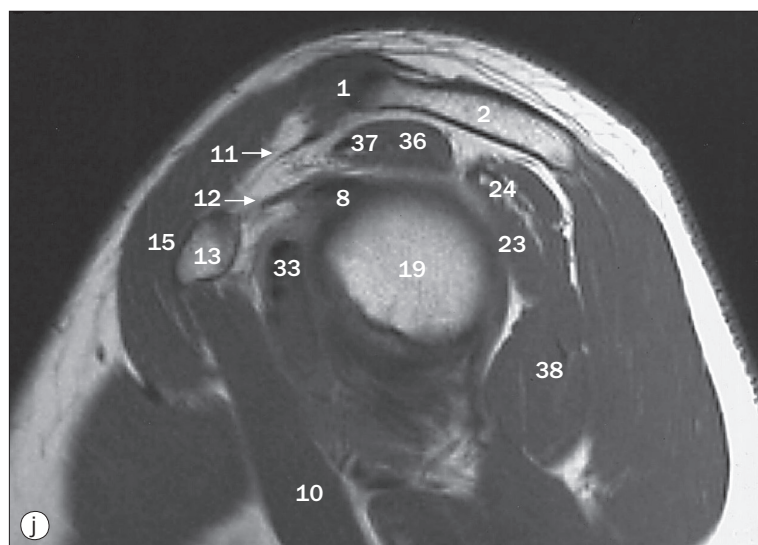
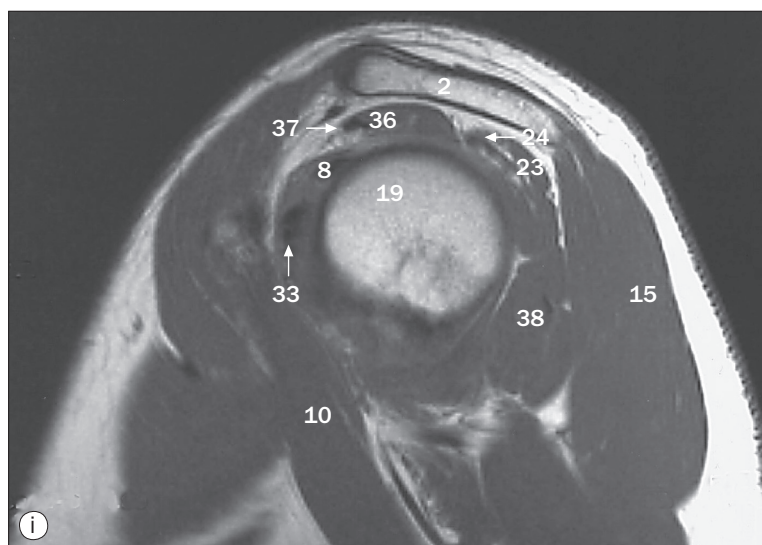
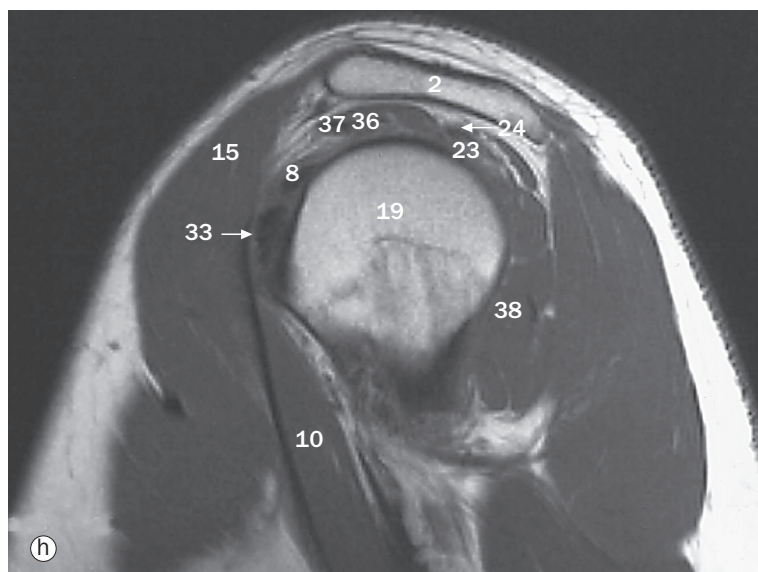
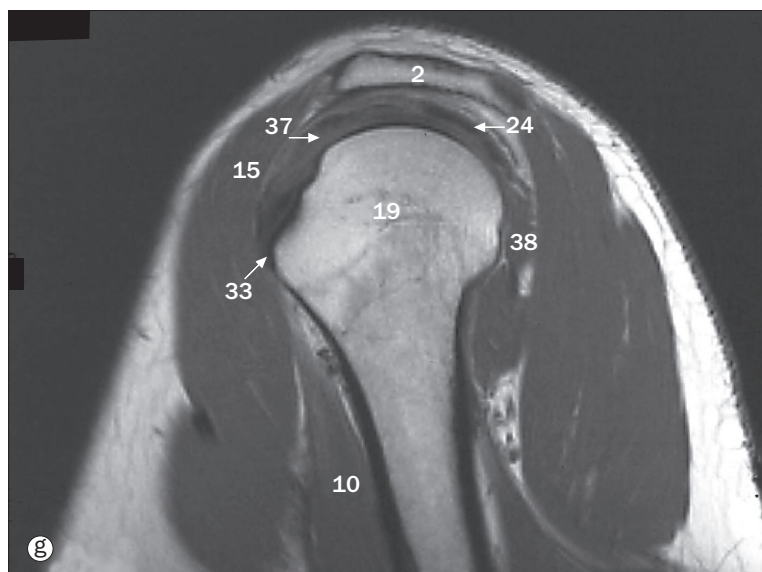
- 1 Veine basilique
- 2 Veine céphalique
- 3 Veine digitale palmaire commune
- 4 Veine digitale palmaire
- 5 Veine principale du pouce
- 6 Veine radiale de l'index
- 7 Arcade veineuse palmaire superficielle



Épaule, arthro-IRM en coupes axiales.

- | | | |
|--|--|------------------------------------|
| 1 Articulation acromioclaviculaire | 8 Tendon du muscle biceps brachial (chef long) | 16 Cavité glénoïdale |
| 2 Acromion | 9 Clavicule | 17 Labrum glénoïdal |
| 3 Capsule antérieure de l'articulation de l'épaule | 10 Muscle coracobrachial | 18 Tubercule majeur de l'humérus |
| 4 Labrum glénoïdal antérieur | 11 Ligament coracoclaviculaire | 19 Tête de l'humérus |
| 5 Artère et veine axillaires | 12 Ligament coracohuméral | 20 Humérus |
| 6 Recessus axillaire | 13 Processus coracoïde | 21 Ligament glénohuméral inférieur |
| 7 Tendon du muscle biceps brachial (chef long) | 14 Tendon du muscle deltoïde | 22 Labrum glénoïdal inférieur |
| | 15 Muscle deltoïde | 23 Muscle infraépineux |
| | | 24 Tendon du muscle infraépineux |

Les numéros 1-39 sont communs aux pages 79-81.



Épaule, arthro-IRM en coupes coronales.

25 Ligament glénohuméral moyen

26 Muscle petit pectoral

27 Capsule postérieure de l'articulation de l'épaule

28 Labrum glénoïdal postérieur

29 Coiffe des rotateurs

30 Scapula

31 Épine de la scapula

32 Muscle subscapulaire

33 Tendon du muscle subscapulaire

34 Ligament glénohuméral supérieur

35 Labrum glénoïdal supérieur

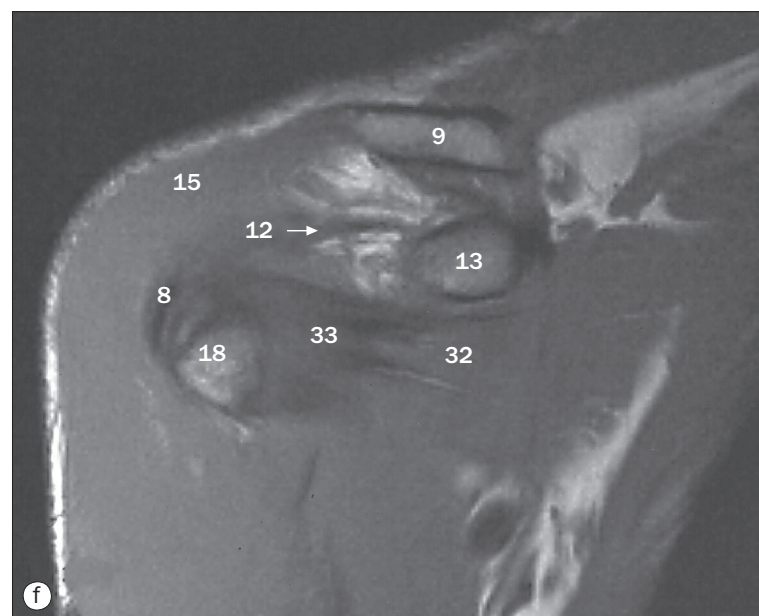
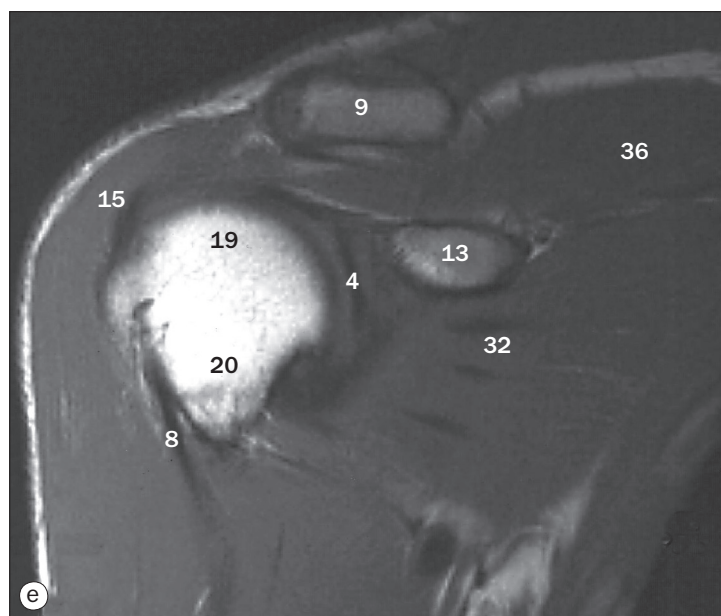
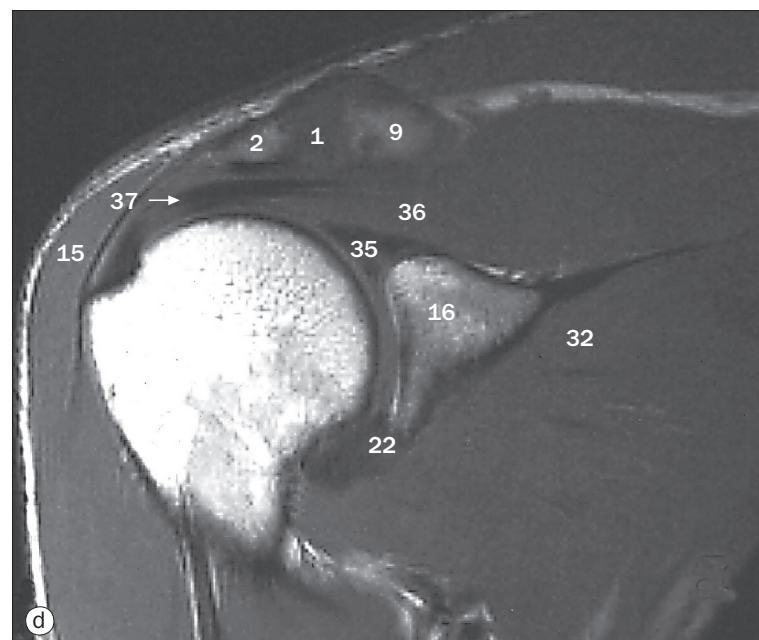
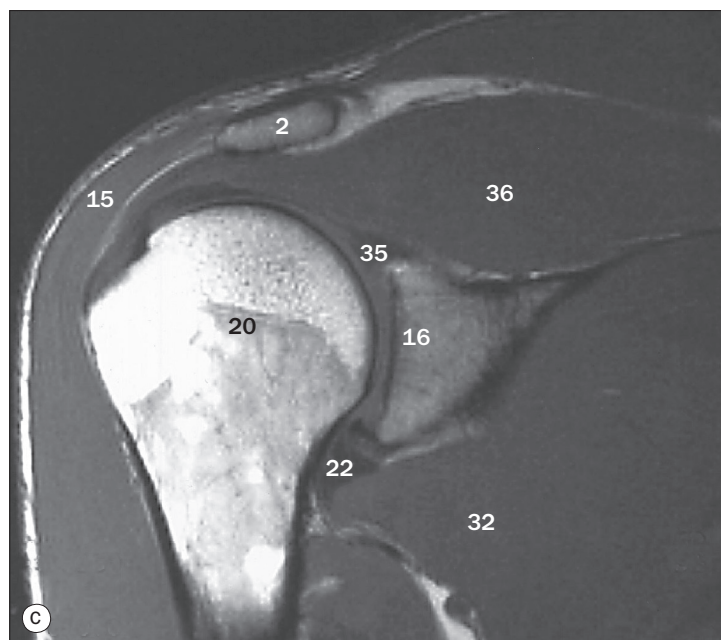
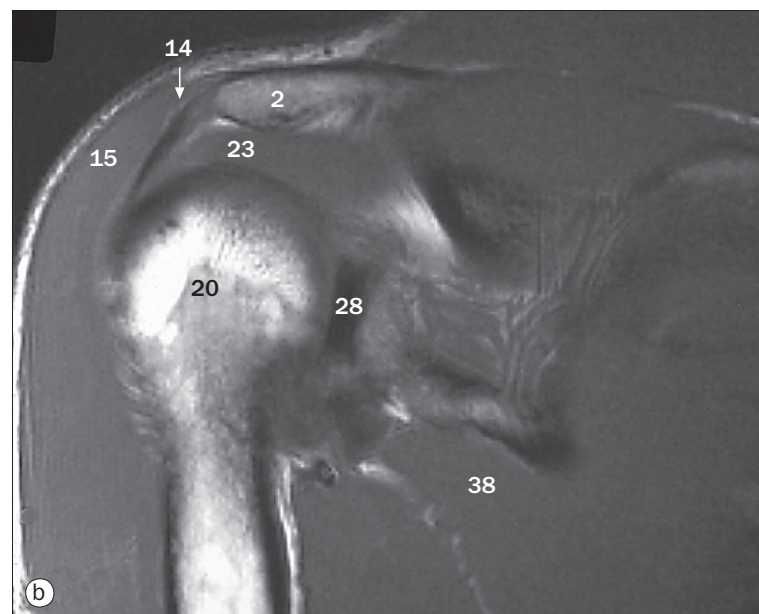
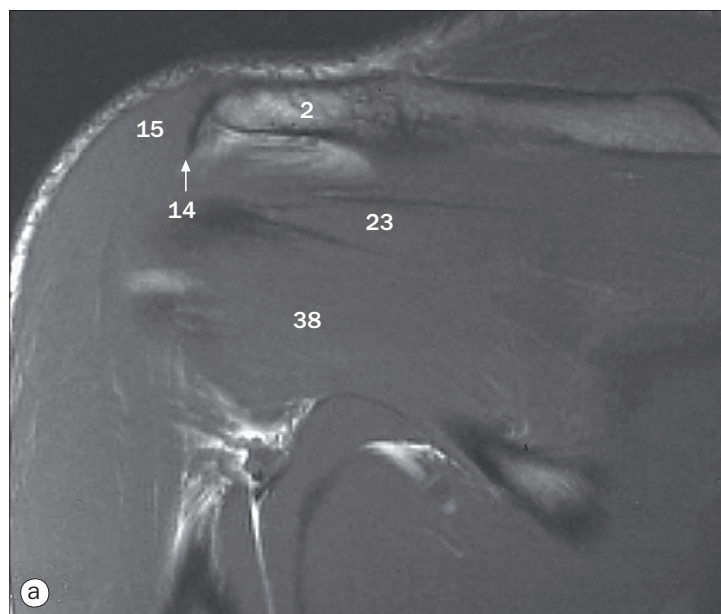
36 Muscle supraépineux

37 Tendon du muscle supraépineux

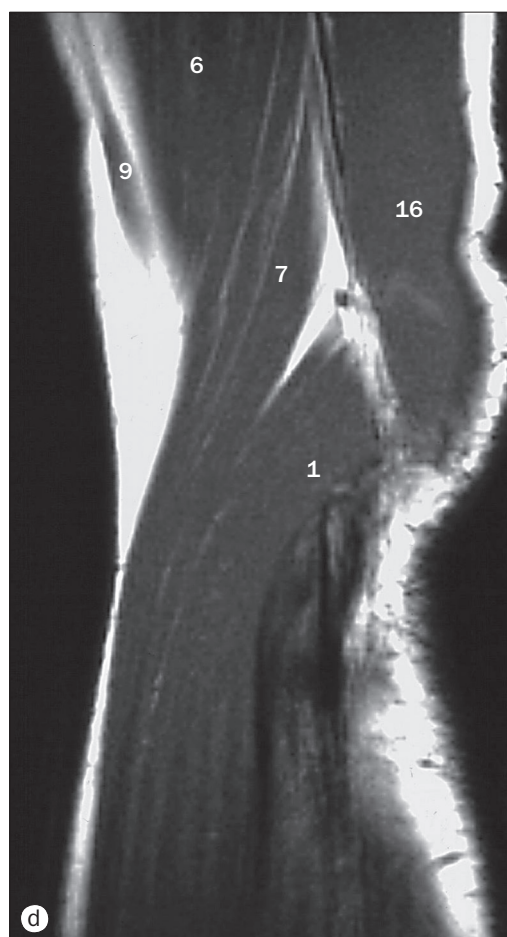
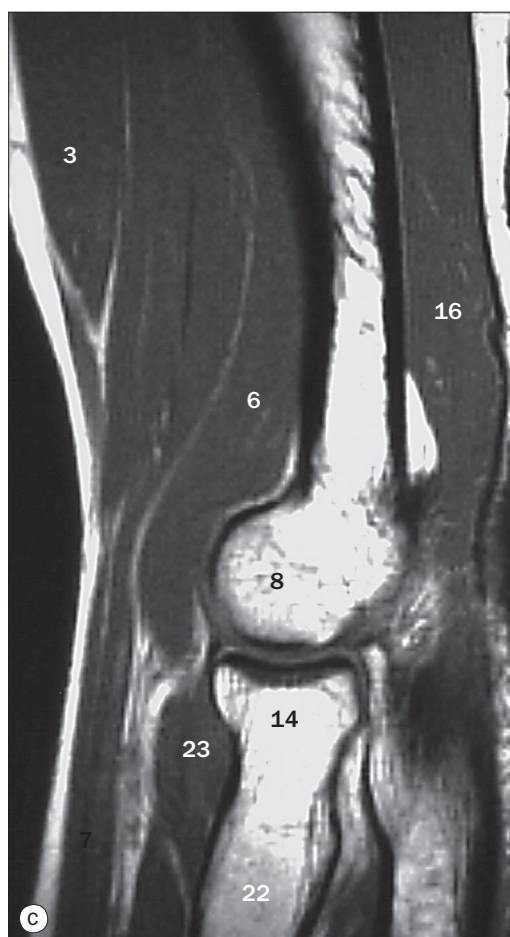
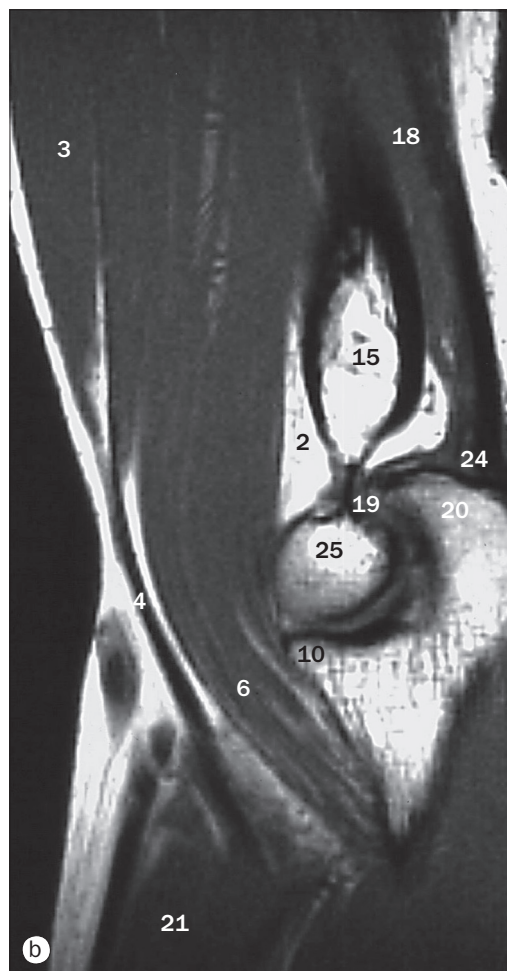
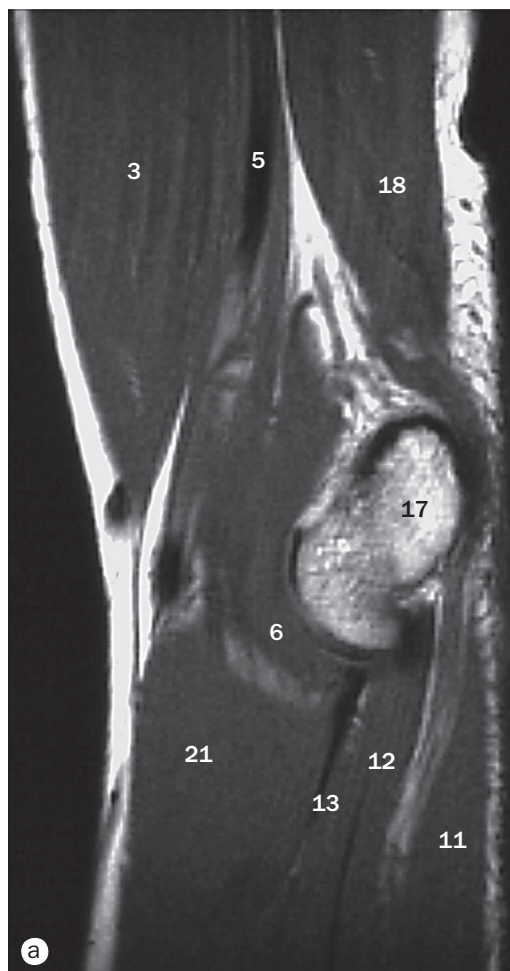
38 Muscle petit rond

39 Muscle trapèze

Les numéros 1-39 sont communs aux pages 79-81.

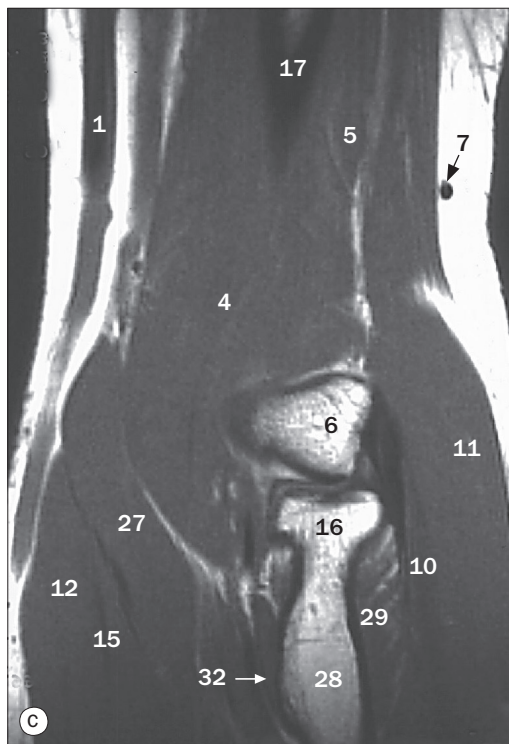
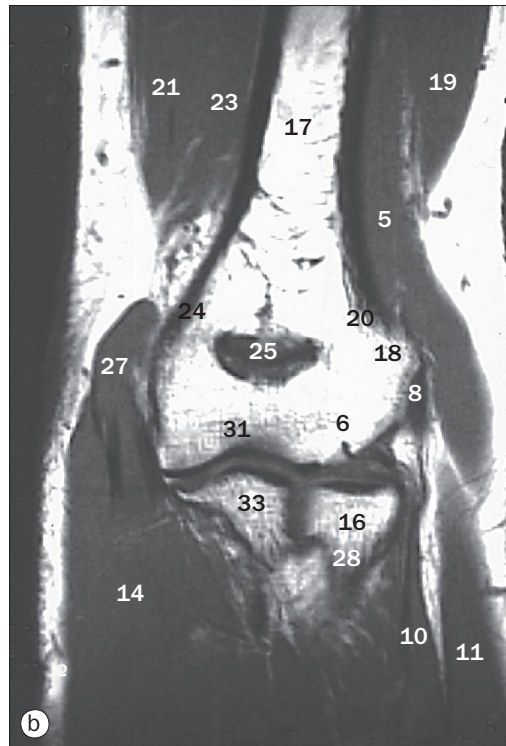
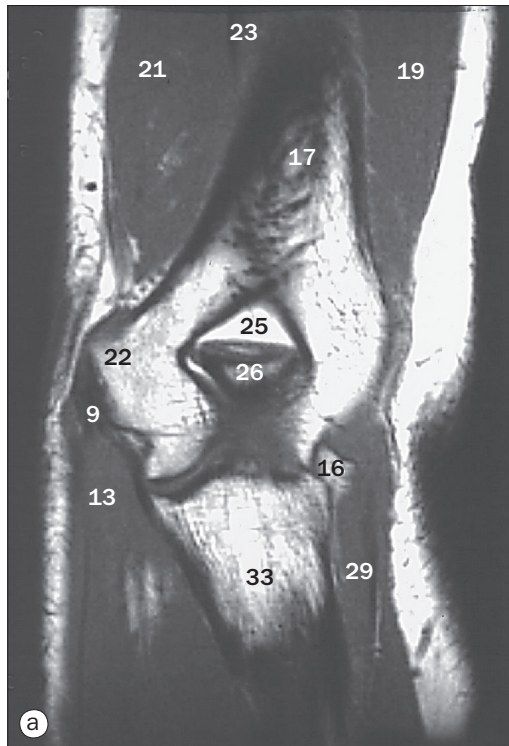


Épaule, arthro-IRM en coupes sagittales obliques. Voir les pages 79 et 80 pour les légendes.



(a)-(d) Coude, IRM en coupes sagittales.

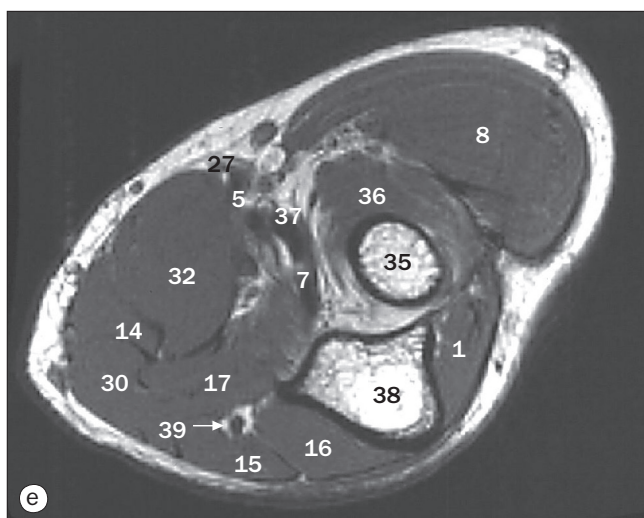
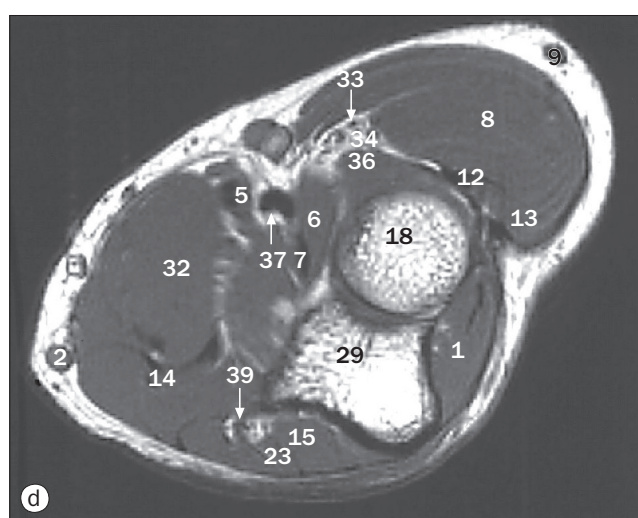
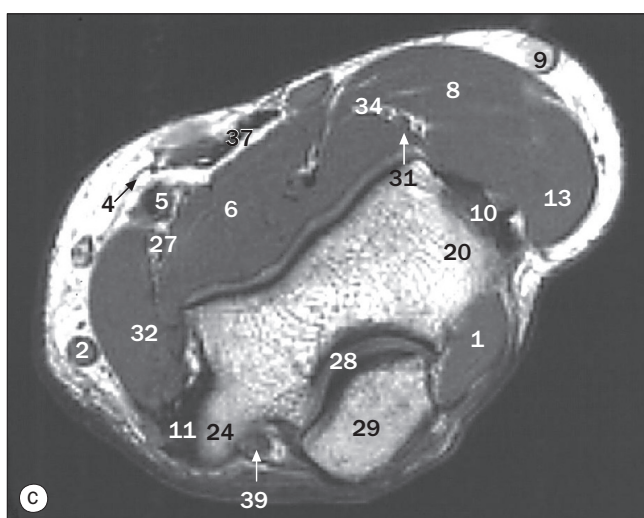
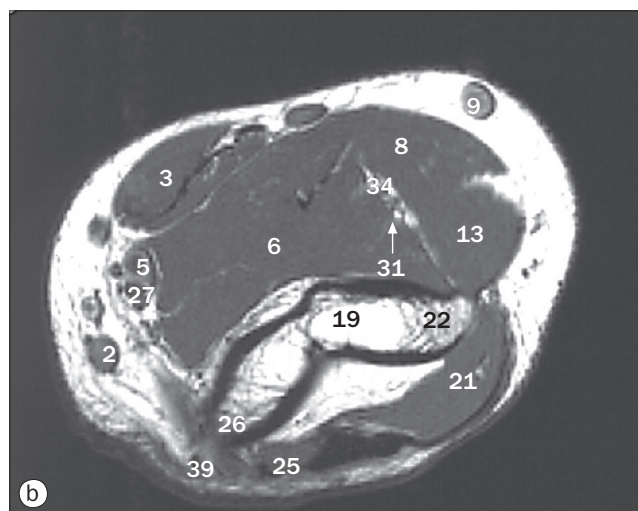
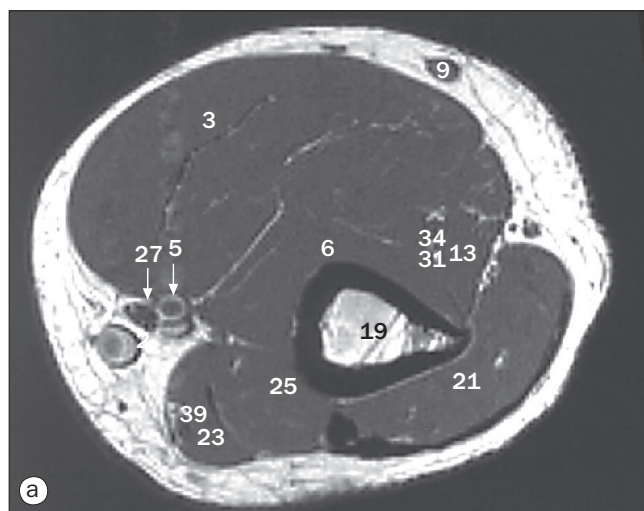
- 1 Muscle long extenseur radial du carpe
- 2 Coussinet adipeux antérieur
- 3 Muscle biceps brachial
- 4 Tendon du muscle biceps brachial
- 5 Artère brachiale
- 6 Muscle brachial
- 7 Muscle brachioradial
- 8 Capitulum de l'humérus
- 9 Veine céphalique
- 10 Processus coronoïde de l'ulna
- 11 Muscle fléchisseur ulnaire du carpe
- 12 Muscle fléchisseur profond des doigts
- 13 Muscle fléchisseur superficiel des doigts
- 14 Tête du radius
- 15 Humérus
- 16 Chef latéral du muscle triceps brachial
- 17 Épicondyle médial
- 18 Chef médial du muscle triceps brachial
- 19 Fosse olécrânienne de l'humérus
- 20 Olécrâne
- 21 Muscle rond pronateur
- 22 Radius
- 23 Muscle supinateur
- 24 Tendon du muscle triceps
- 25 Trochlée humérale



(a)–(d) Coude, IRM en coupes coronales.

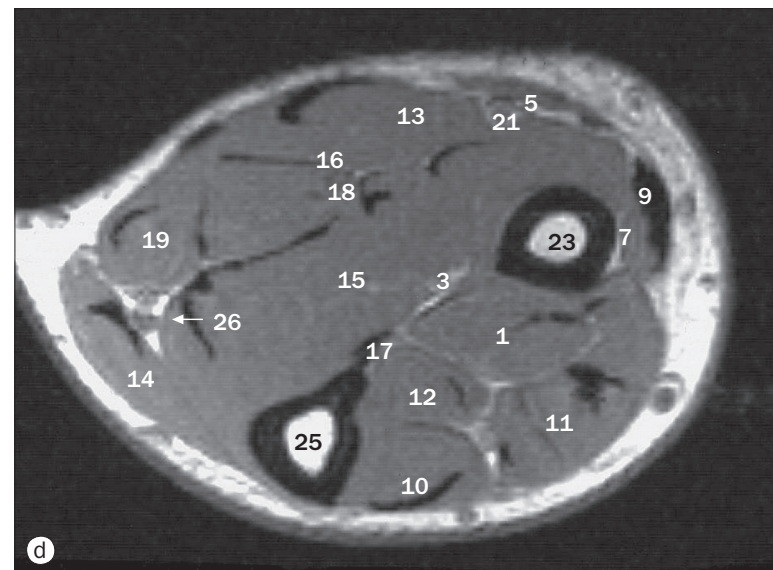
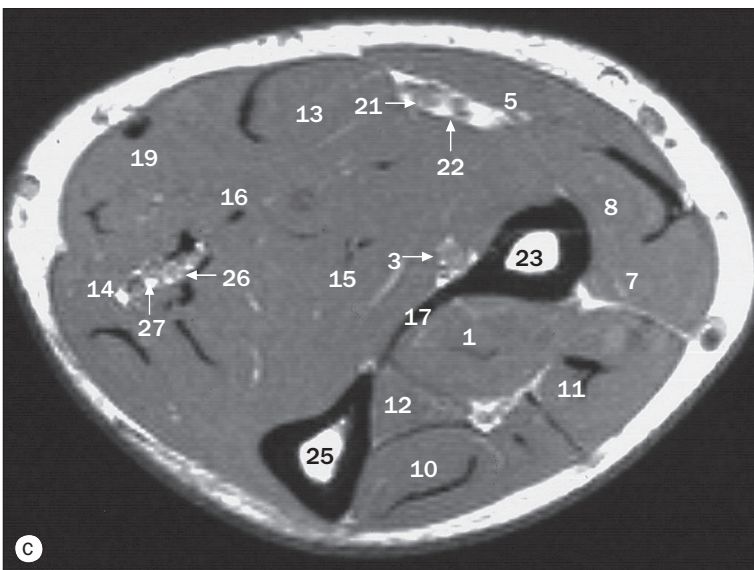
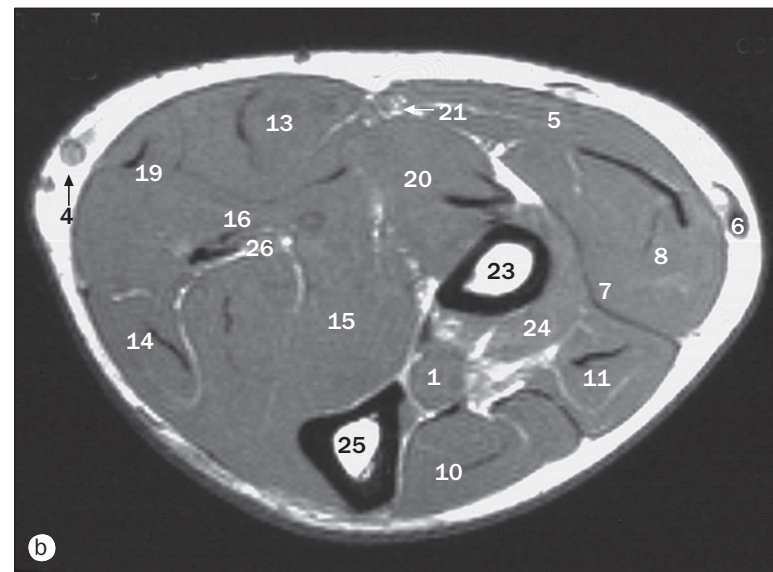
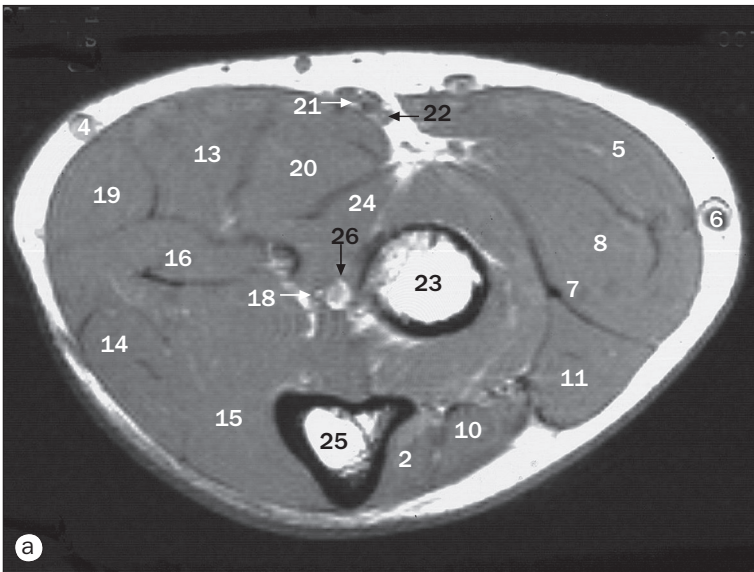
- 1 Veine basilique
- 2 Muscle biceps brachial
- 3 Artère brachiale
- 4 Muscle brachial
- 5 Muscle brachioradial
- 6 Capitulum de l'humérus
- 7 Veine céphalique
- 8 Insertion du tendon commun des muscles épicondyliens latéraux
- 9 Insertion du tendon commun des muscles épicondyliens médiaux¹
- 10 Muscle court extenseur radial du carpe
- 11 Muscle long extenseur radial du carpe
- 12 Muscle fléchisseur radial du carpe
- 13 Muscle fléchisseur ulnaire du carpe
- 14 Muscle fléchisseur profond des doigts
- 15 Muscle fléchisseur superficiel des doigts
- 16 Tête du radius
- 17 Humérus
- 18 Épicondyle latéral
- 19 Chef latéral du muscle triceps brachial
- 20 Crête supraépicondyloïdiale latérale
- 21 Chef long du muscle triceps brachial
- 22 Épicondyle médial
- 23 Chef médial du muscle triceps brachial
- 24 Crête supraépicondyloïdiale médiale
- 25 Fosse olécrânienne de l'humérus
- 26 Olécrâne
- 27 Muscle rond pronateur
- 28 Radius
- 29 Muscle supinateur
- 30 Tendon du muscle biceps brachial
- 31 Trochlée de l'humérus
- 32 Tubérosité radiale
- 33 Ulna

¹Les Anglo-Saxons nomment les épicondyliens latéraux « *extensors* » (ils sont extenseurs du poignet et des doigts et supinateurs), et les épicondyliens médiaux « *flexors* » (fléchisseurs et pronateurs). (NdT)



(a)–(e) Coude, IRM en coupes axiales.

- | | |
|--|--|
| 1 Muscle anconé | 18 Tête du radius |
| 2 Veine basilique | 19 Humérus |
| 3 Muscle biceps brachial | 20 Épicondyle latéral |
| 4 Aponévrose bicipitale | 21 Chef latéral du muscle triceps brachial |
| 5 Artère brachiale | 22 Crête supraépicondylaire latérale |
| 6 Muscle brachial | 23 Chef long du muscle triceps brachial |
| 7 Tendon du muscle brachial | 24 Épicondyle médial |
| 8 Muscle brachioradial | 25 Chef médial du muscle triceps brachial |
| 9 Veine céphalique | 26 Crête supraépicondylaire médiale |
| 10 Insertion du tendon commun des muscles épicondyliens latéraux | 27 Nerf médian |
| 11 Insertion du tendon commun des muscles épicondyliens médiaux | 28 Fosse olécrânienne de l'humérus |
| 12 Muscle court extenseur radial du carpe | 29 Olécrâne |
| 13 Muscle long extenseur radial du carpe | 30 Muscle long palmaire |
| 14 Muscle fléchisseur radial du carpe | 31 Artère brachiale profonde |
| 15 Muscle fléchisseur ulnaire du carpe | 32 Muscle rond pronateur |
| 16 Muscle fléchisseur profond des doigts | 33 Artère radiale |
| 17 Muscle fléchisseur superficiel des doigts | 34 Nerf radial |
| | 35 Radius |
| | 36 Muscle supinateur |
| | 37 Tendon du muscle biceps brachial |
| | 38 Ulna |
| | 39 Nerf ulnaire |

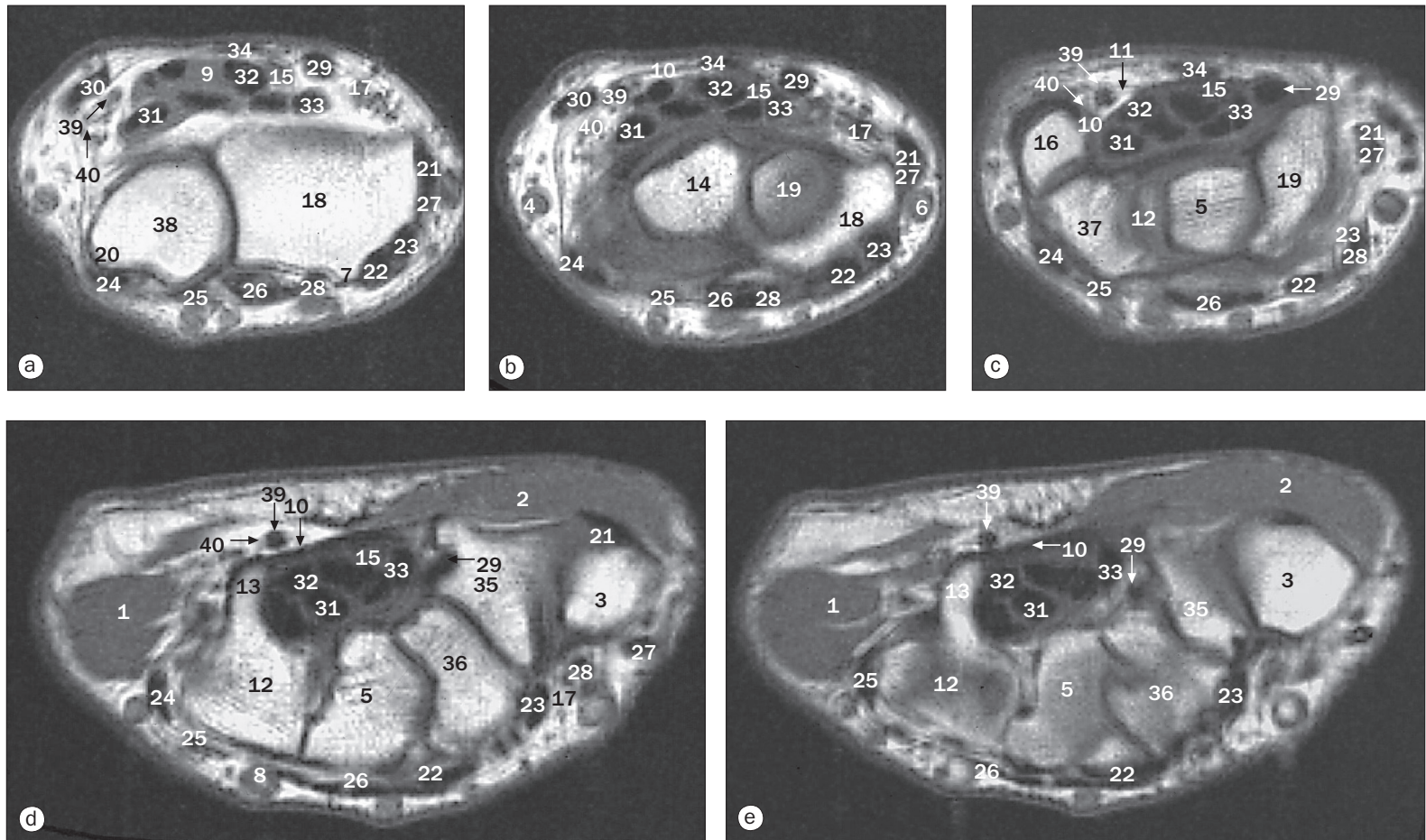


(a)–(d) Avant-bras, IRM en coupes axiales.

1 Muscle long abducteur du pouce
 2 Muscle anconé
 3 Artère interosseuse antérieure
 4 Veine basilique
 5 Muscle brachioradial
 6 Veine céphalique
 7 Muscle court extenseur radial du carpe
 8 Muscle long extenseur radial du carpe
 9 Tendon du muscle long extenseur radial du carpe

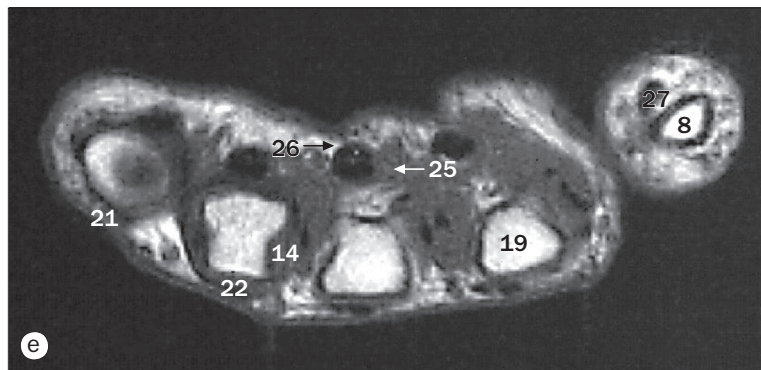
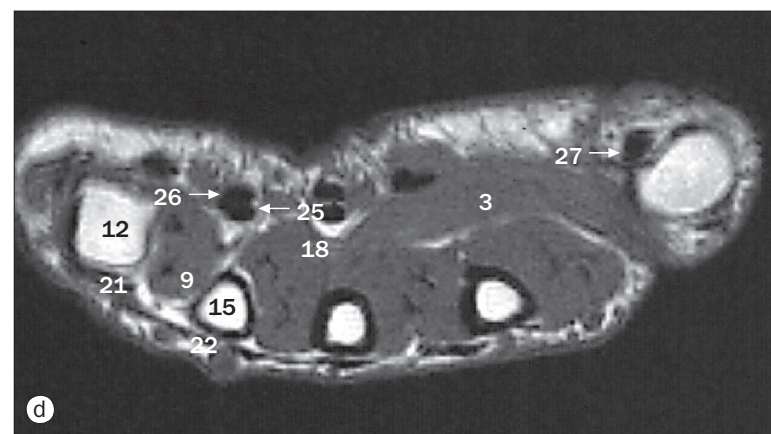
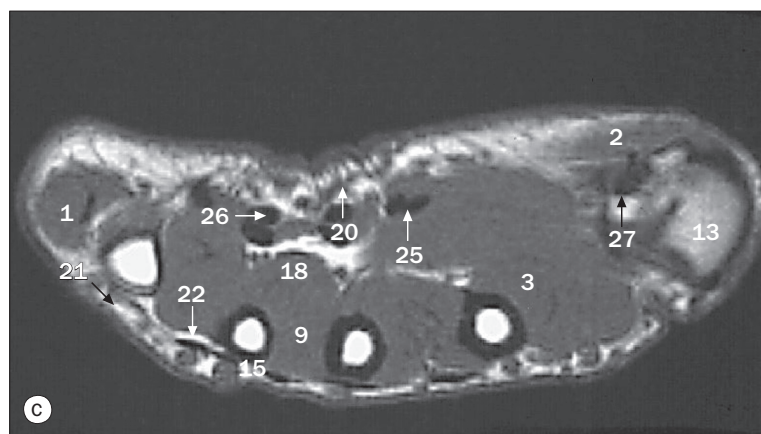
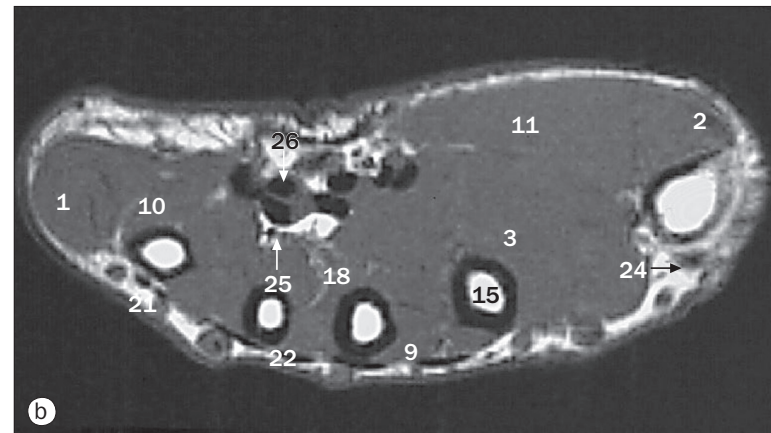
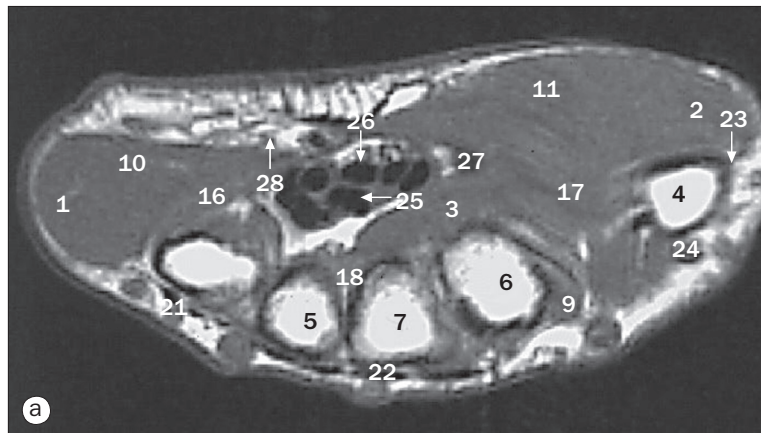
10 Muscle extenseur ulnaire du carpe
 11 Muscle extenseur des doigts
 12 Muscle long extenseur du pouce
 13 Muscle fléchisseur radial du carpe
 14 Muscle fléchisseur ulnaire du carpe
 15 Muscle fléchisseur profond des doigts
 16 Muscle fléchisseur superficiel des doigts
 17 Ligament interosseux
 18 Nerf médian
 19 Muscle long palmaire

20 Muscle rond pronateur
 21 Artère radiale
 22 Nerf radial
 23 Radius
 24 Muscle supinateur
 25 Ulna
 26 Artère ulnaire
 27 Nerf ulnaire



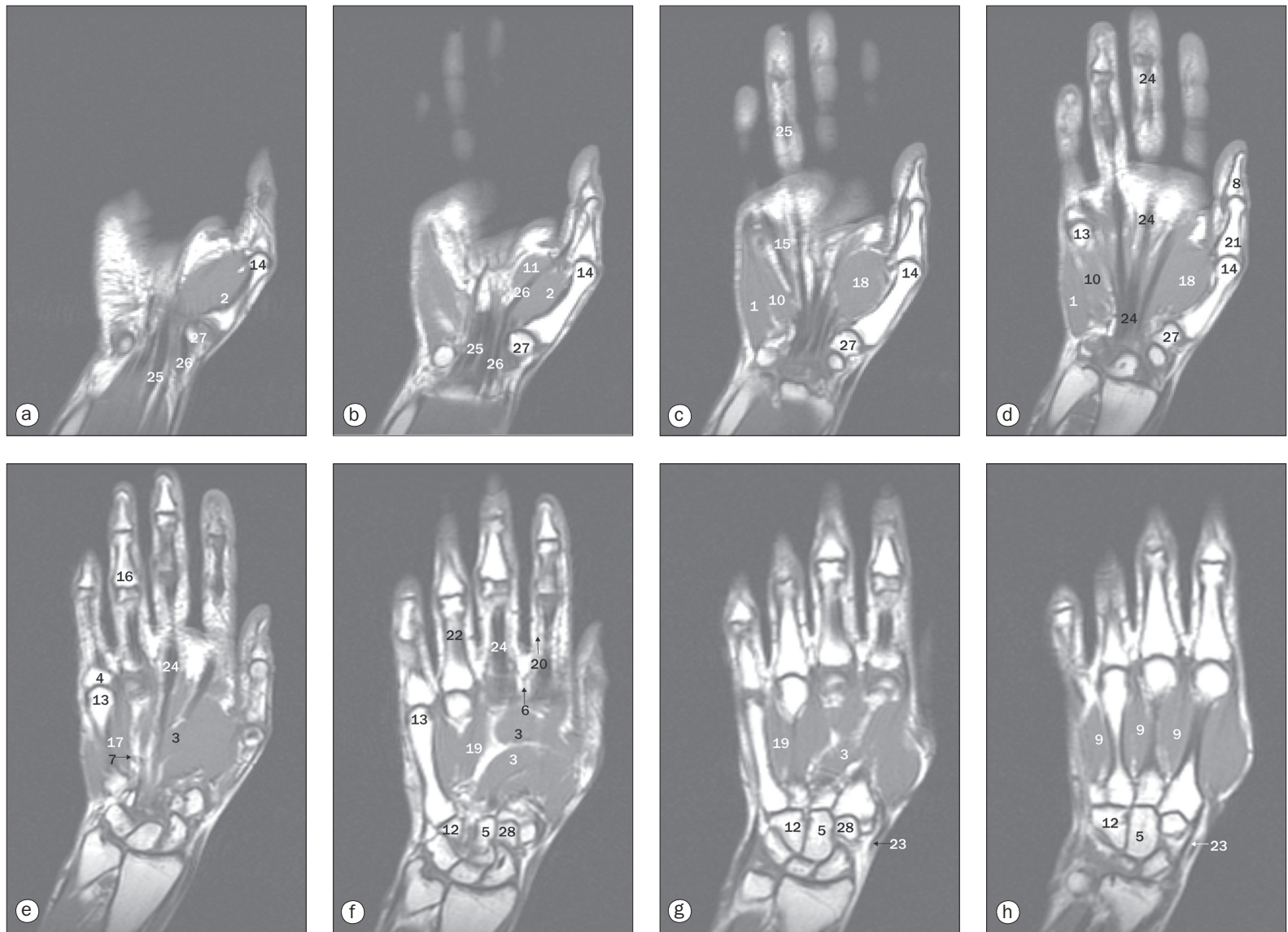
(a)–(e) Poignet, IRM en coupes axiales.

- | | | |
|---|---|--|
| 1 Muscle abducteur du petit doigt | 17 Artère radiale | 29 Tendon du muscle fléchisseur radial du carpe |
| 2 Muscle court abducteur du pouce | 18 Radius | 30 Tendon du muscle fléchisseur ulnaire du carpe |
| 3 Base du 1 ^{er} métacarpien | 19 Os scaphoïde | 31 Tendon du muscle fléchisseur profond des doigts |
| 4 Veine basilique | 20 Processus styloïde de l'ulna | 32 Tendon du muscle fléchisseur superficiel des doigts |
| 5 Os capitatum | 21 Tendon du muscle long abducteur du pouce | 33 Tendon du muscle long fléchisseur du pouce |
| 6 Veine céphalique | 22 Tendon du muscle court extenseur radial du carpe | 34 Tendon du muscle long palmaire |
| 7 Tubercule dorsal du radius | 23 Tendon du muscle long extenseur radial du carpe | 35 Os trapèze |
| 8 Arcade veineuse dorsale | 24 Tendon du muscle extenseur ulnaire du carpe | 36 Os trapézoïde |
| 9 Muscle fléchisseur superficiel des doigts | 25 Tendon du muscle extenseur du petit doigt | 37 Os triquetrum |
| 10 Rétinaculum des fléchisseurs | 26 Tendon du muscle extenseur des doigts | 38 Ulna |
| 11 Canal ulnaire (de Guyon) | 27 Tendon du muscle court extenseur du pouce | 39 Artère ulnaire |
| 12 Os hamatum | 28 Tendon du muscle long extenseur du pouce | 40 Nerf ulnaire |
| 13 Crochet (hamulus) de l'hamatum | | |
| 14 Os lunatum | | |
| 15 Nerf médian | | |
| 16 Os pisiforme | | |



(a)–(e) Main, IRM en coupes axiales.

- | | |
|--|--|
| 1 Muscle abducteur du petit doigt | 17 Muscle opposant du pouce |
| 2 Muscle court abducteur du pouce | 18 Muscles interosseux palmaires |
| 3 Muscle adducteur du pouce | 19 Phalange proximale de l'index |
| 4 Base du 1 ^{er} métacarpien | 20 Arcade palmaire superficielle |
| 5 Base du 4 ^e métacarpien | 21 Tendon du muscle extenseur du petit doigt |
| 6 Base du 2 ^e métacarpien | 22 Tendon du muscle extenseur des doigts |
| 7 Base du 3 ^e métacarpien | 23 Tendon du muscle court extenseur du pouce |
| 8 Phalange distale du pouce | 24 Tendon du muscle long extenseur du pouce |
| 9 Muscles interosseux dorsaux | 25 Tendon du muscle fléchisseur profond des doigts |
| 10 Muscle fléchisseur du petit doigt | 26 Tendon du muscle fléchisseur superficiel des doigts |
| 11 Muscle court fléchisseur du pouce | 27 Tendon du muscle long fléchisseur du pouce |
| 12 Tête du 5 ^e métacarpien | 28 Artère ulnaire |
| 13 Tête du 1 ^{er} métacarpien | |
| 14 Muscle lombrical | |
| 15 Corps du métacarpien | |
| 16 Muscle opposant du petit doigt | |

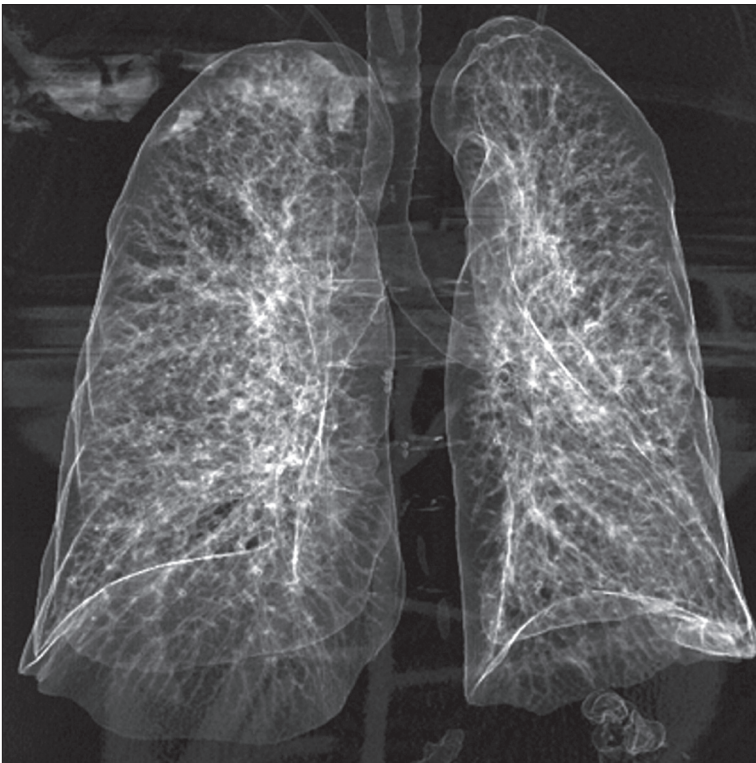
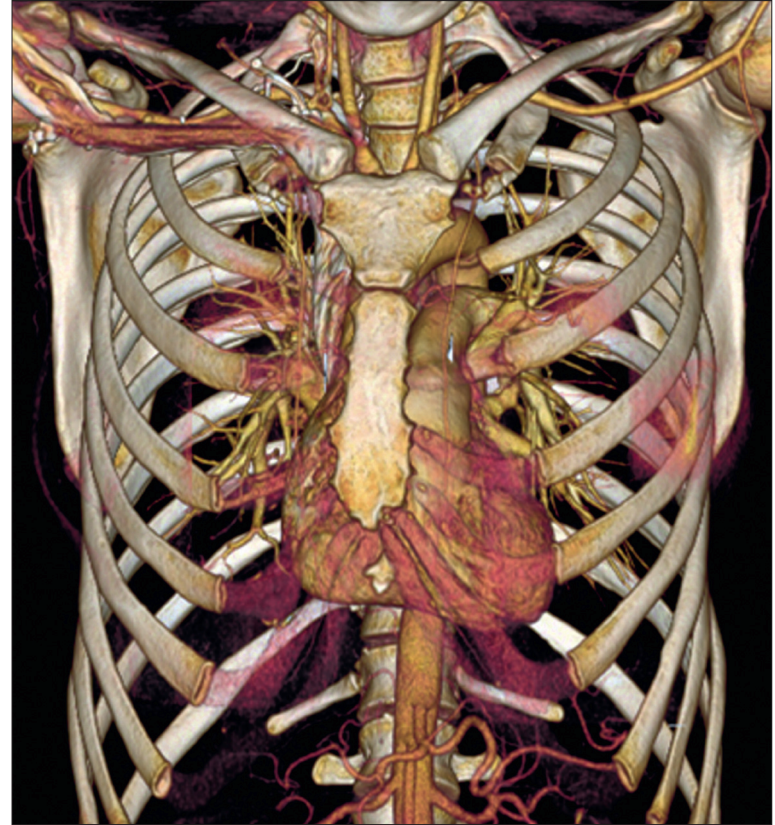


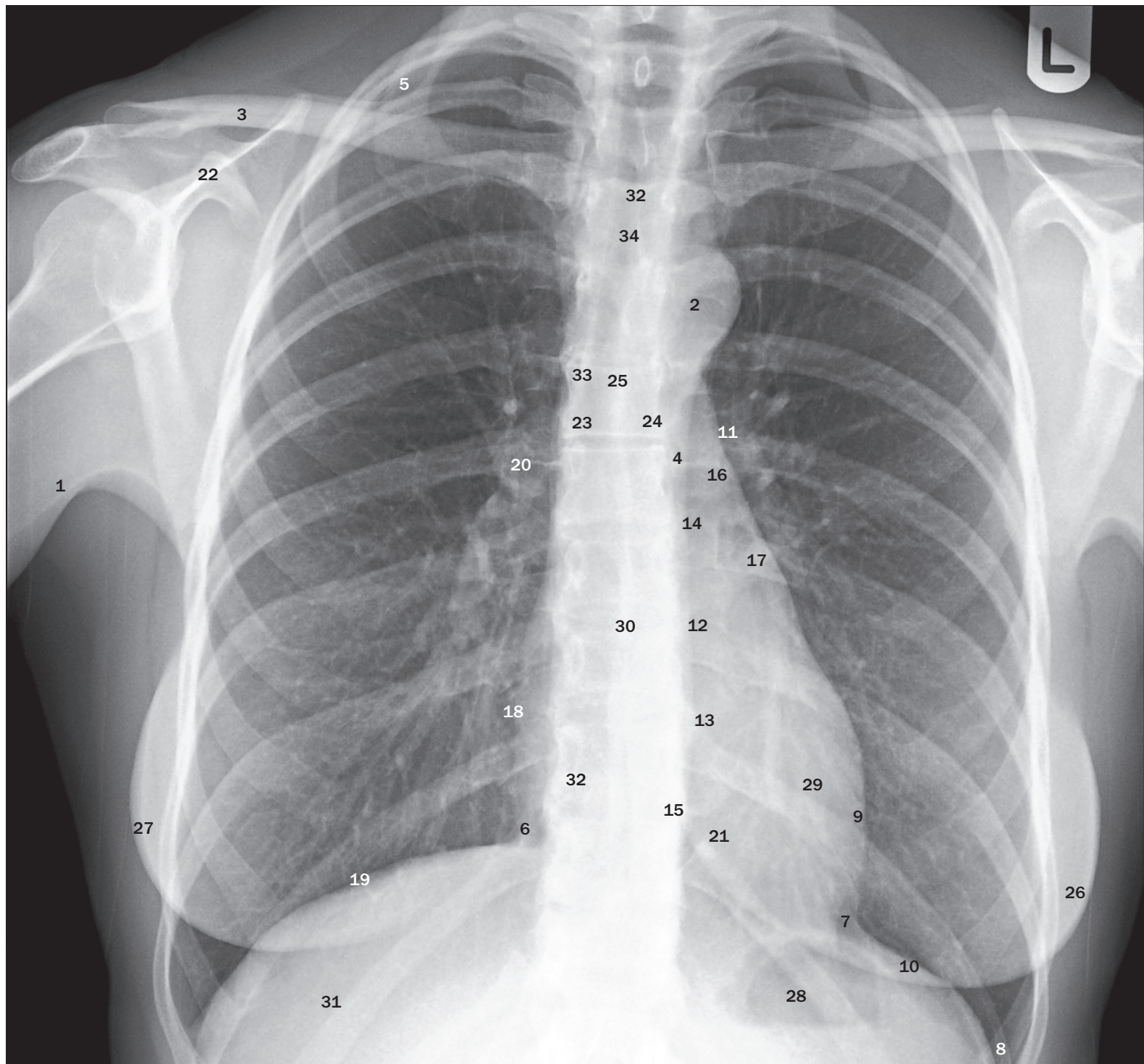
(a)–(h) Main, IRM en coupes coronales.

- | | | | |
|------------------------------------|--|------------------------------------|--|
| 1 Muscle abducteur du petit doigt | 7 Arcade palmaire profonde | 15 Muscle lombriçal | 23 Tendon du muscle long extenseur du pouce |
| 2 Muscle court abducteur du pouce | 8 Phalange distale du pouce | 16 Phalange moyenne | 24 Tendon du muscle fléchisseur profond des doigts |
| 3 Muscle adducteur du pouce | 9 Muscles interosseux dorsaux | 17 Muscle opposant du petit doigt | 25 Tendon du muscle fléchisseur superficiel des doigts |
| 4 Base de la phalange proximale | 10 Muscle fléchisseur du petit doigt | 18 Muscle opposant du pouce | 26 Tendon du muscle long fléchisseur du pouce |
| 5 Os capitatum | 11 Muscle court fléchisseur du pouce | 19 Muscles interosseux palmaires | 27 Os trapèze |
| 6 Artère digitale commune palmaire | 12 Os hamatum | 20 Artère digitale propre palmaire | 28 Os trapézoïde |
| | 13 Tête du 5 ^e métacarpien | 21 Phalange proximale du pouce | |
| | 14 Tête du 1 ^{er} métacarpien | 22 Corps de la phalange proximale | |

4

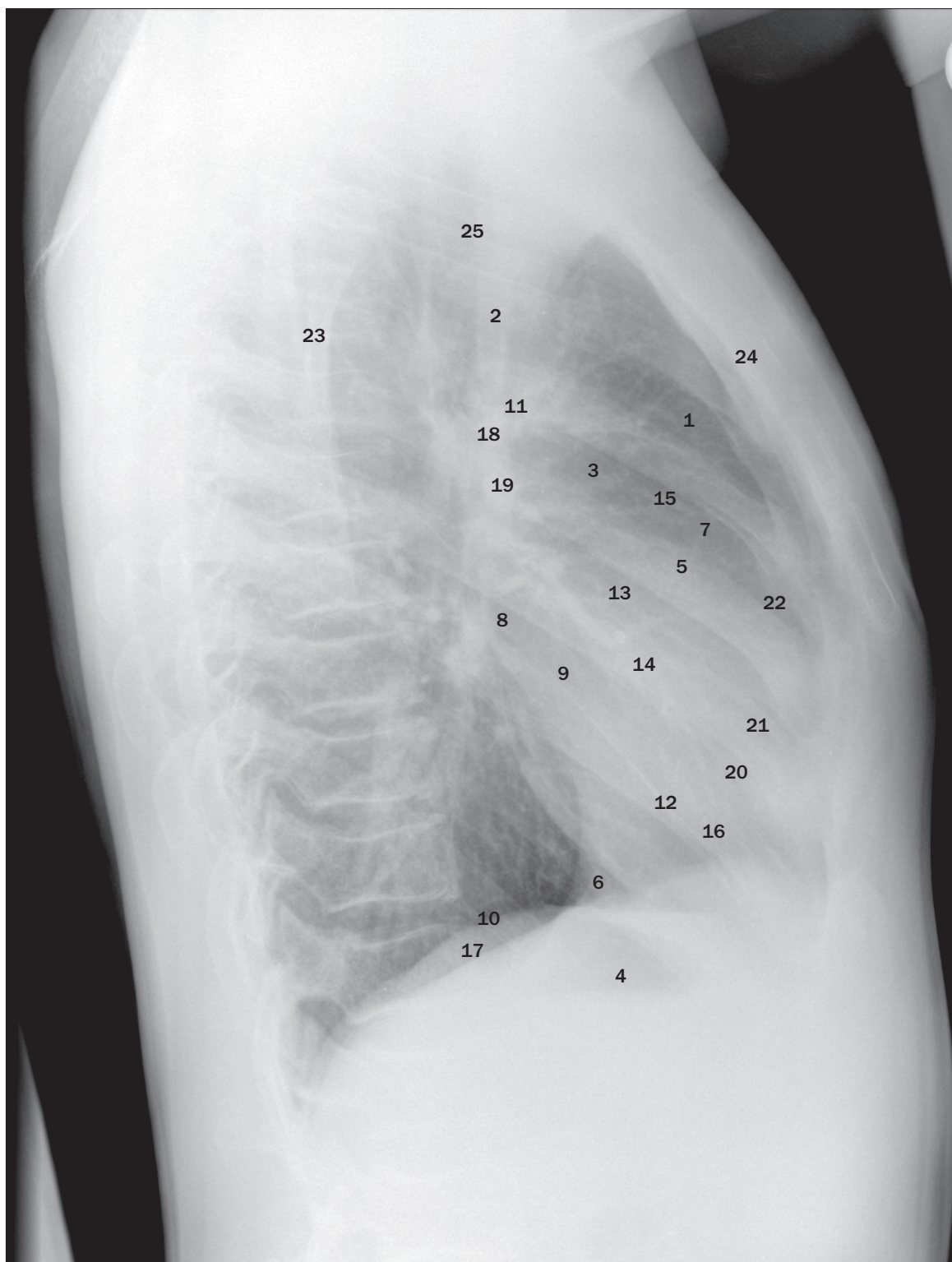
Thorax





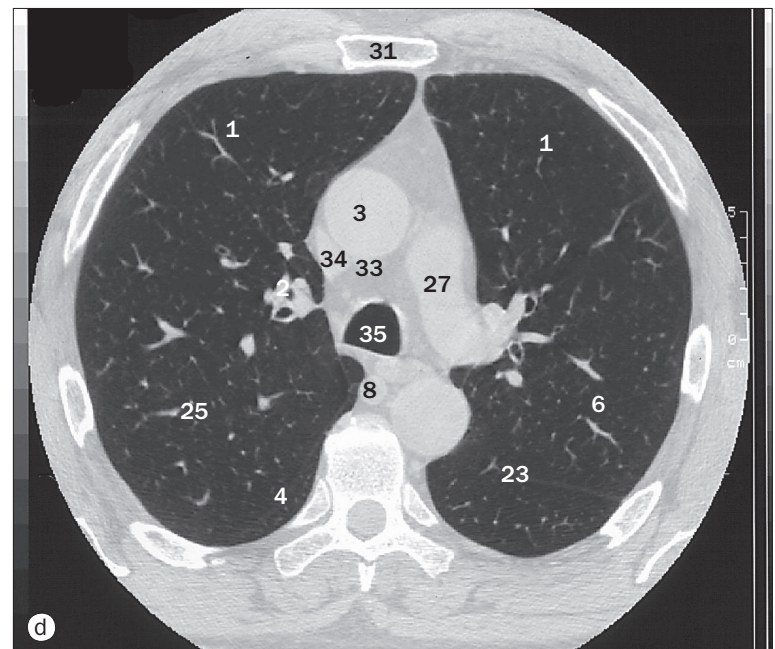
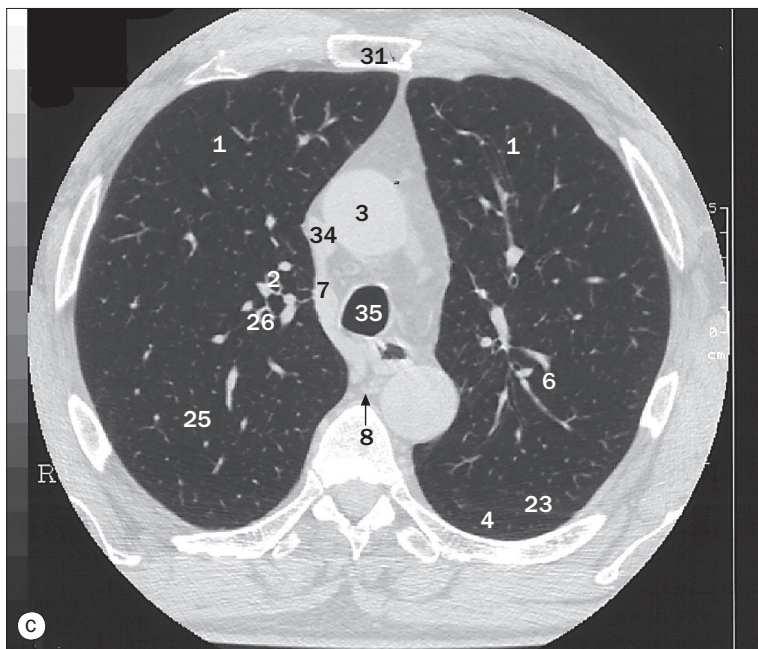
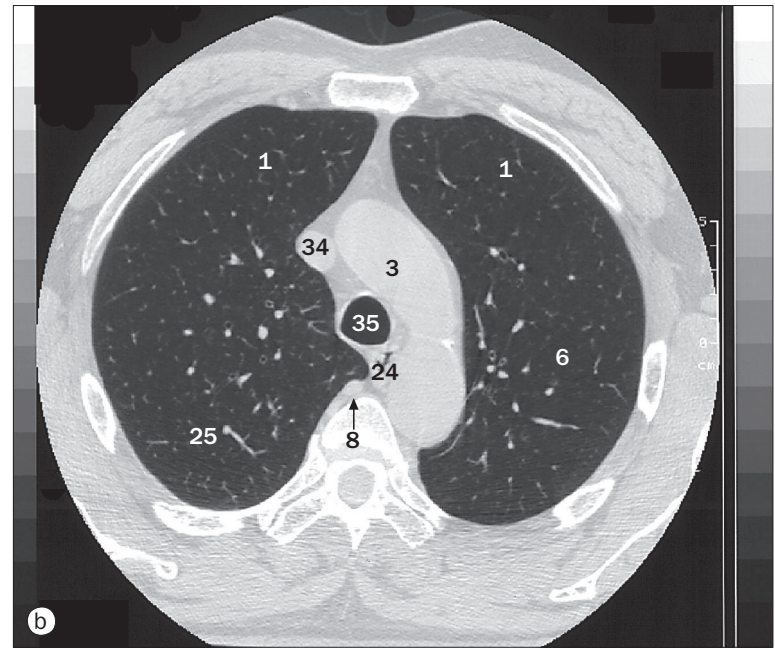
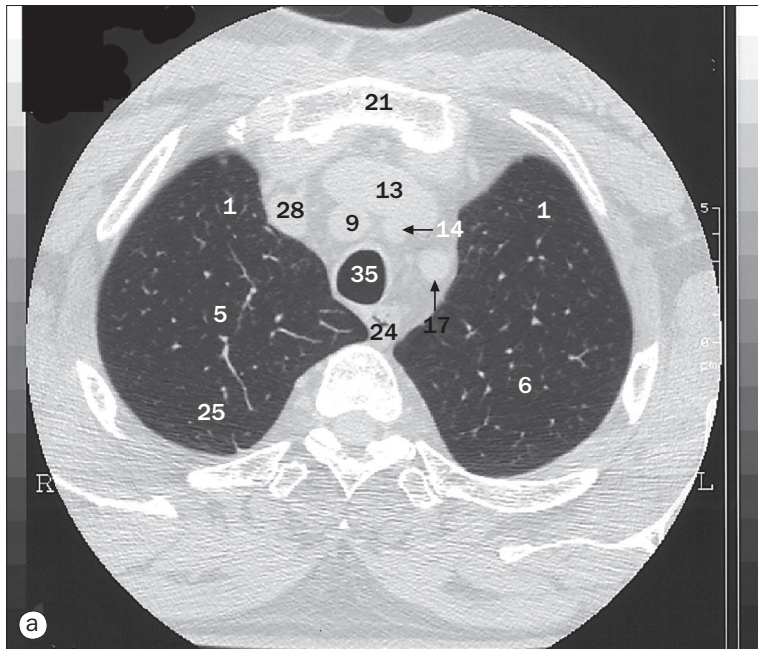
Radiographie du thorax, incidence de face.

- | | | | |
|--------------------------------|--|---------------------------------------|----------------------------------|
| 1 Pli axillaire antérieur | 10 Coupole gauche du diaphragme | 18 Bord de l'atrium droit | 27 Contour du sein droit |
| 2 Arc aortique | 11 Artère pulmonaire gauche | 19 Coupole droite du diaphragme | 28 Gaz dans le fundus gastrique |
| 3 Clavicule | 12 Position de la valve aortique | 20 Artère pulmonaire droite | 29 Position du ventricule gauche |
| 4 Aorte descendante | 13 Position de la valve mitrale | 21 Ventricule droit | 30 Position de l'atrium gauche |
| 5 1 ^{re} côte | 14 Position de la valve pulmonaire | 22 Épine de la scapula | 31 Position du foie |
| 6 Veine cave inférieure | 15 Position de la valve tricuspide | 23 Bronche principale droite | 32 Manubrium sternal |
| 7 Angle cardiophrénique gauche | 16 Tronc pulmonaire | 24 Bronche principale gauche | 33 Veine cave supérieure |
| 8 Angle costophrénique gauche | 17 Région de l'apex de l'auricule de l'atrium gauche | 25 Carina (bifurcation de la trachée) | 34 Trachée |
| 9 Bord du ventricule gauche | | 26 Contour du sein gauche | |



Radiographie du thorax, incidence de profil.

- | | | | |
|--------------------------------|--|------------------------------------|--|
| 1 Espace médiastinal antérieur | 7 Infundibulum du ventricule droit (en dessous) avec le tronc pulmonaire (au-dessus) | 12 Scissure oblique gauche | 19 Artère pulmonaire principale droite |
| 2 Arc aortique | 8 Bord de l'atrium gauche | 13 Position de la valve aortique | 20 Scissure oblique droite |
| 3 Aorte ascendante | 9 Atrium gauche | 14 Position de la valve mitrale | 21 Ventricule droit |
| 4 Gaz dans le fundus gastrique | 10 Coupole gauche du diaphragme | 15 Position de la valve pulmonaire | 22 Bord du ventricule droit |
| 5 Scissure horizontale | 11 Artère pulmonaire principale gauche | 16 Position de la valve tricuspide | 23 Scapula |
| 6 Veine cave inférieure | | 17 Coupole droite du diaphragme | 24 Sternum |
| | | 18 Bronche principale droite | 25 Trachée |

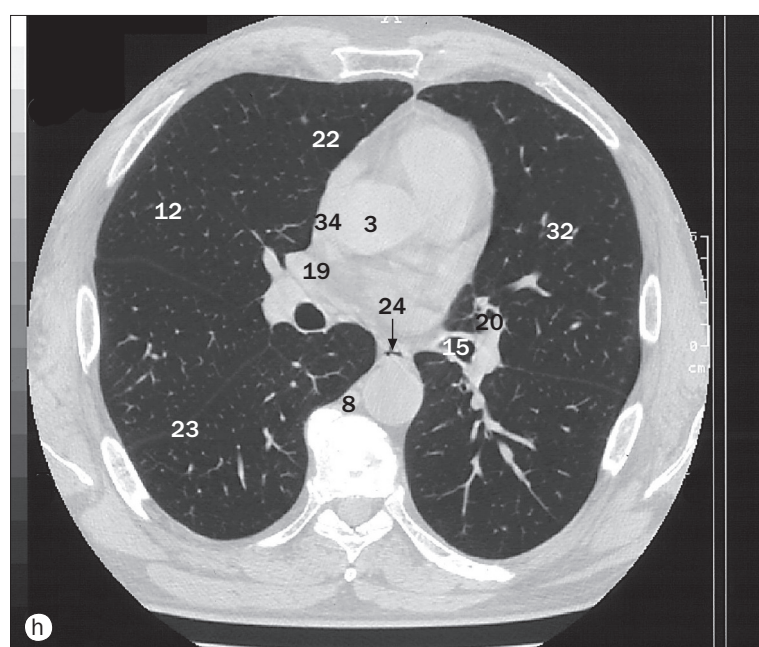
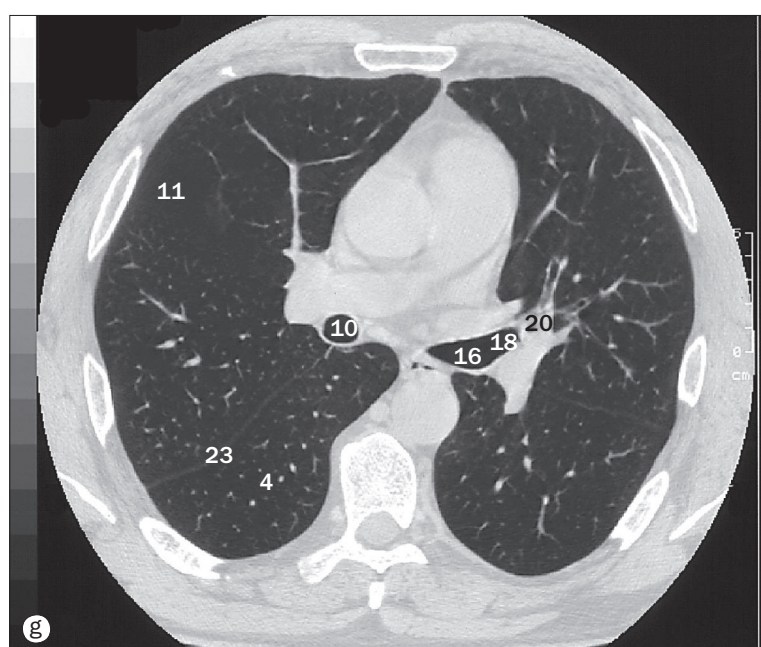
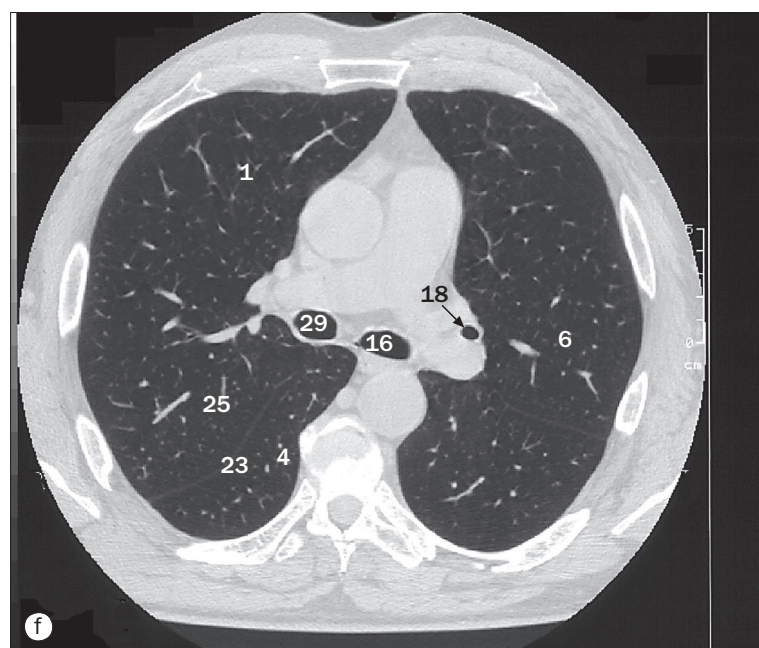
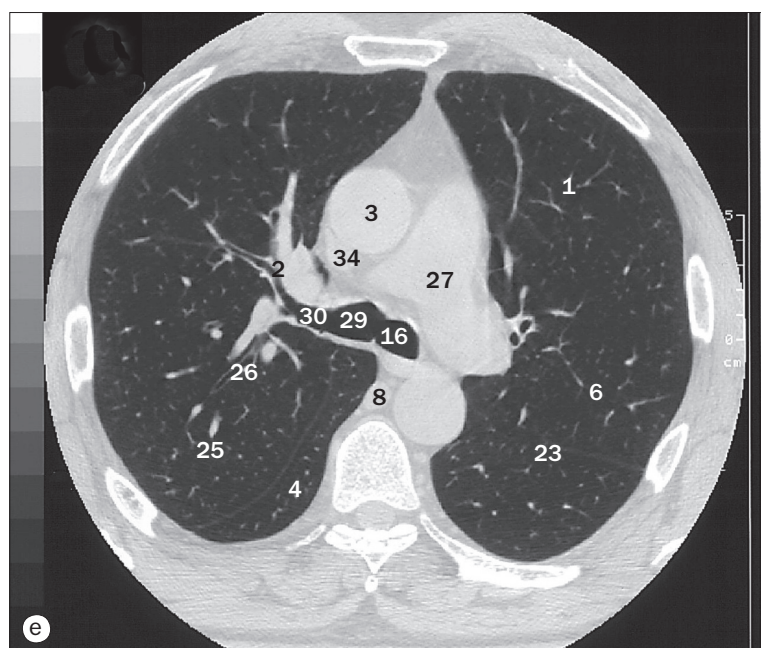


(a)–(h) Poumons, TDM en coupes axiales à haute résolution.

1 Segment antérieur du lobe supérieur
2 Bronche segmentaire antérieure
3 Aorte
4 Segment apical du lobe inférieur
5 Segment apical du lobe inférieur droit
6 Segment apicopostérieur du lobe supérieur gauche

7 Arc de la veine azygos
8 Veine azygos
9 Tronc brachiocéphalique
10 Bronche intermédiaire
11 Scissure horizontale
12 Segment latéral du lobe moyen
13 Veine brachiocéphalique gauche

14 Artère carotide commune gauche
15 Bronche lobaire inférieure gauche
16 Bronche principale gauche
17 Artère subclavière gauche
18 Bronche lobaire supérieure gauche
19 Veine pulmonaire supérieure droite
20 Bronche segmentaire linguale

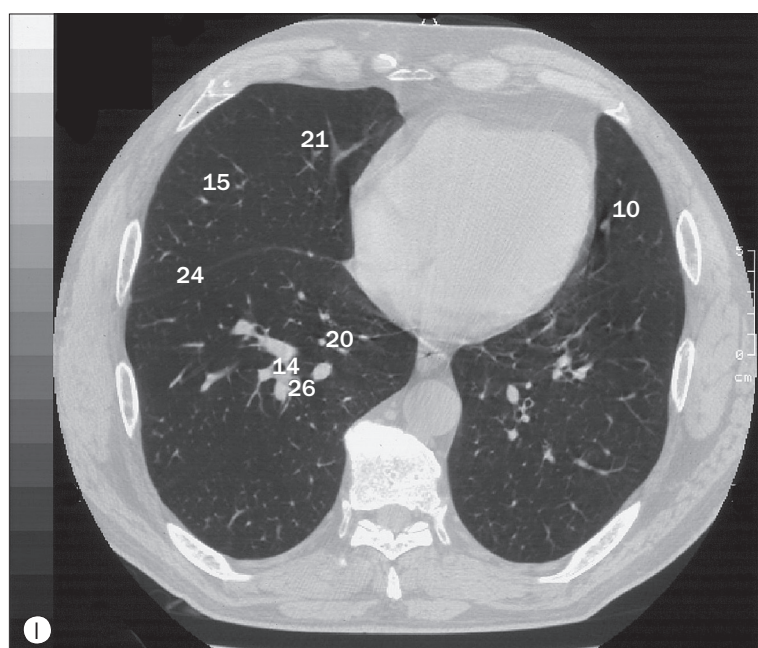
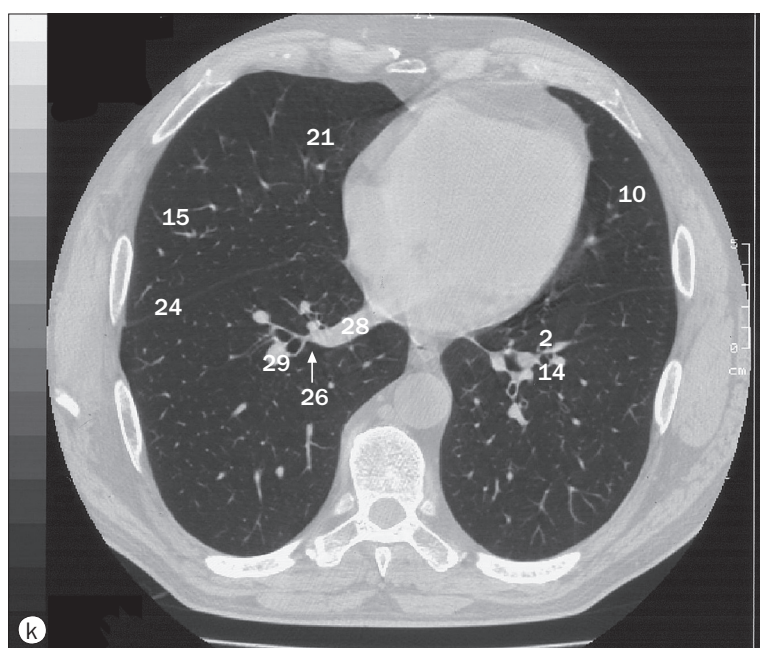
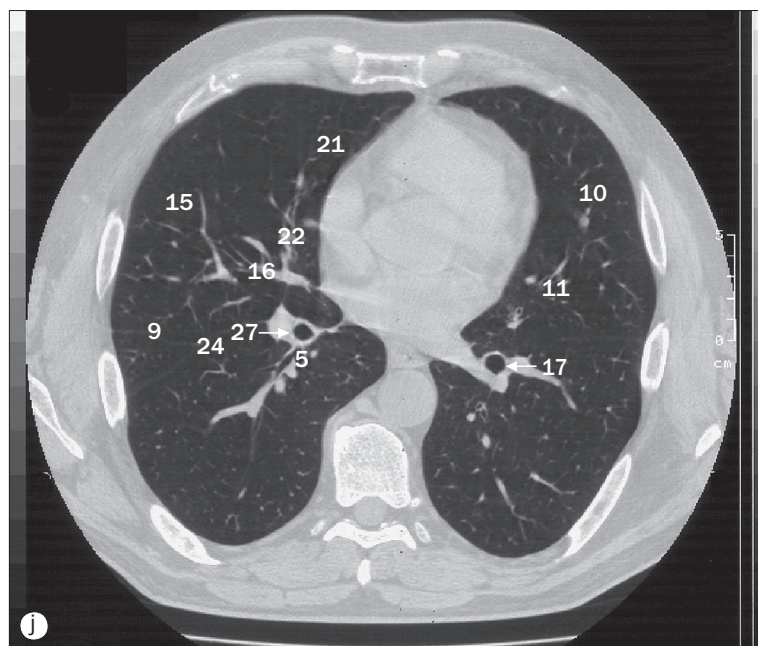
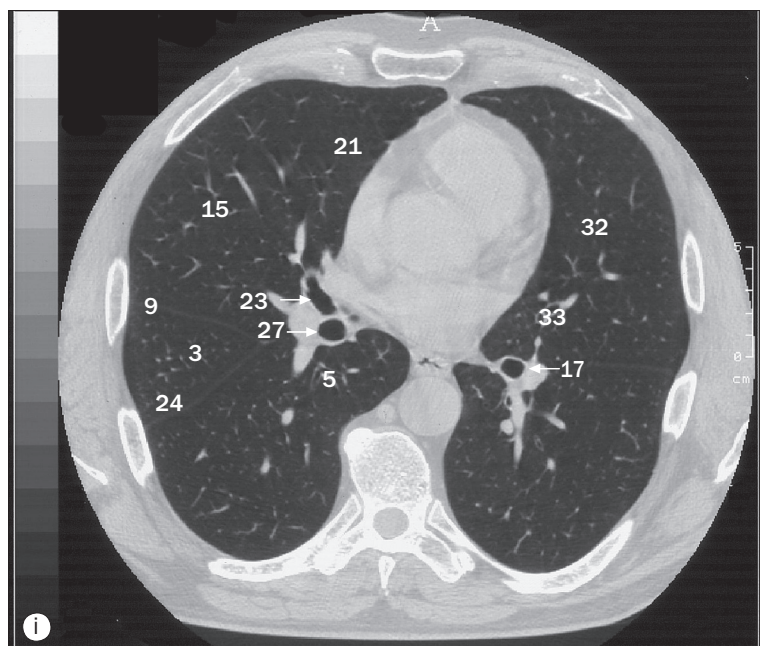


(a)–(h) Poumons, TDM en coupes axiales à haute résolution.

21 Manubrium sternal
22 Segment médial du lobe moyen
23 Scissure oblique
24 Œsophage
25 Segment postérieur du lobe supérieur

26 Bronche segmentaire postérieure
27 Artère pulmonaire
28 Veine brachiocéphalique droite
29 Bronche principale droite
30 Bronche lobaire supérieure droite

31 Sternum
32 Segment linguale supérieur
33 Récessus péricardique supérieur
34 Veine cave supérieure
35 Trachée

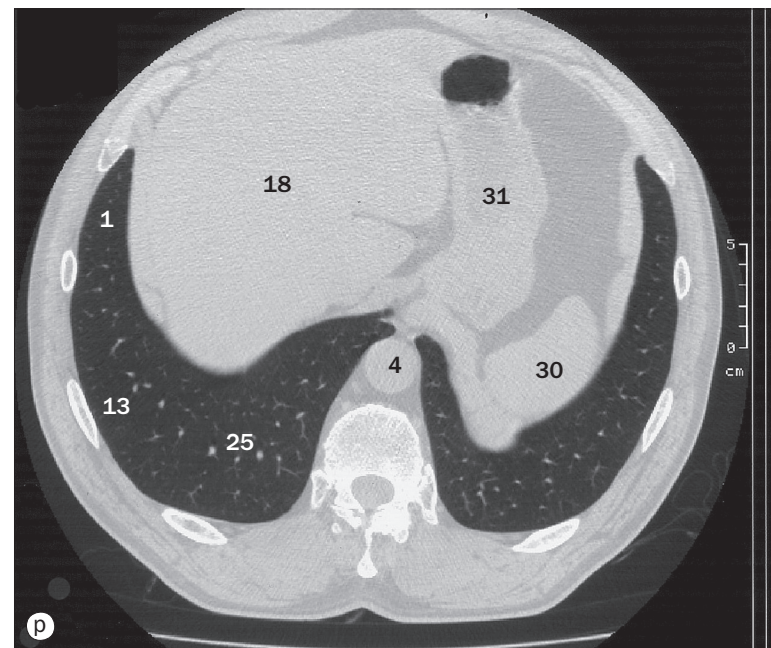
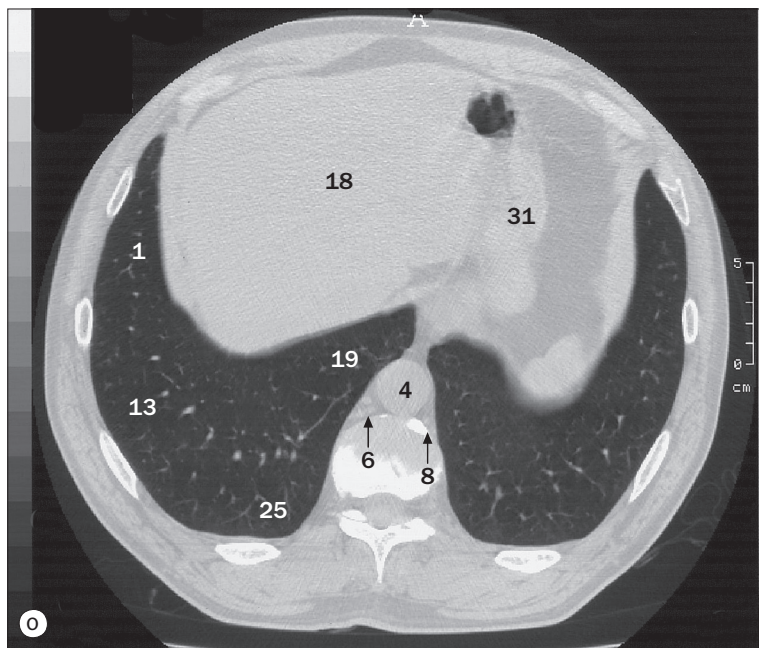
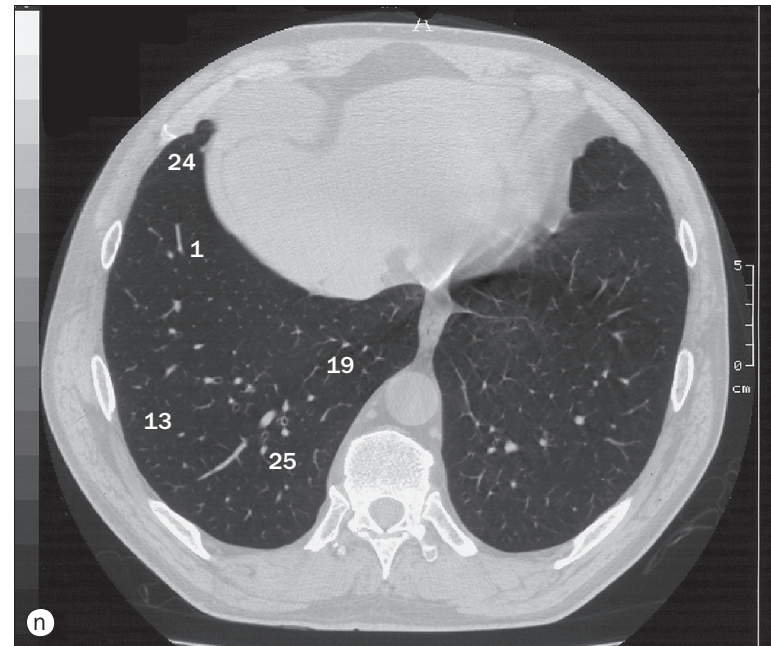
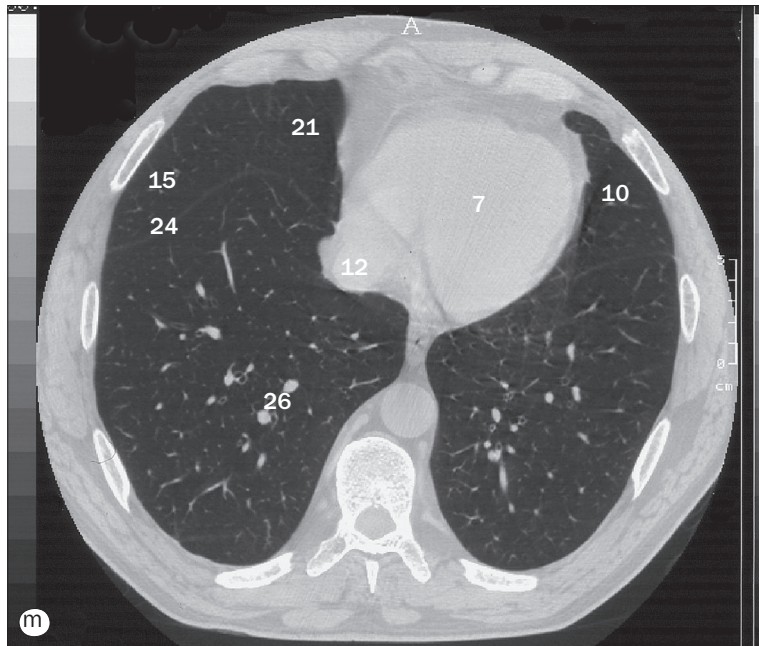


(i)-(p) Poumons, TDM en coupes axiales à haute résolution.

1 Segment basal antérieur du lobe inférieur
2 Bronche segmentaire basale antérieure
3 Segment antérieur du lobe supérieur
4 Aorte
5 Bronche segmentaire apicale du lobe inférieur

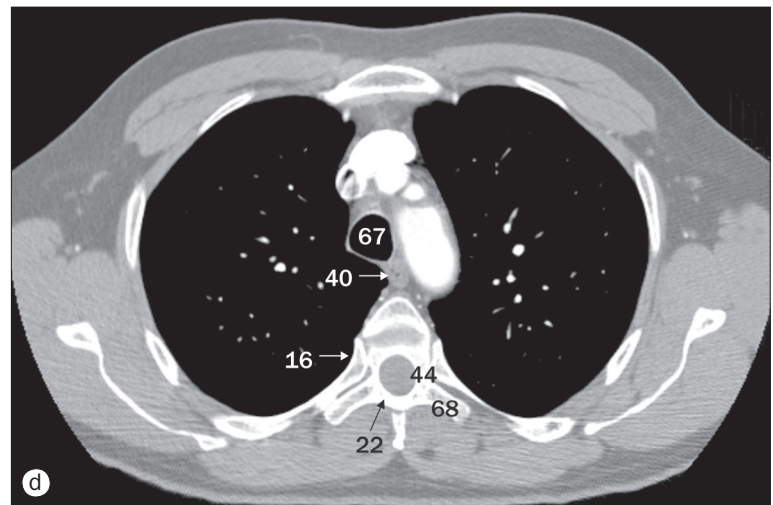
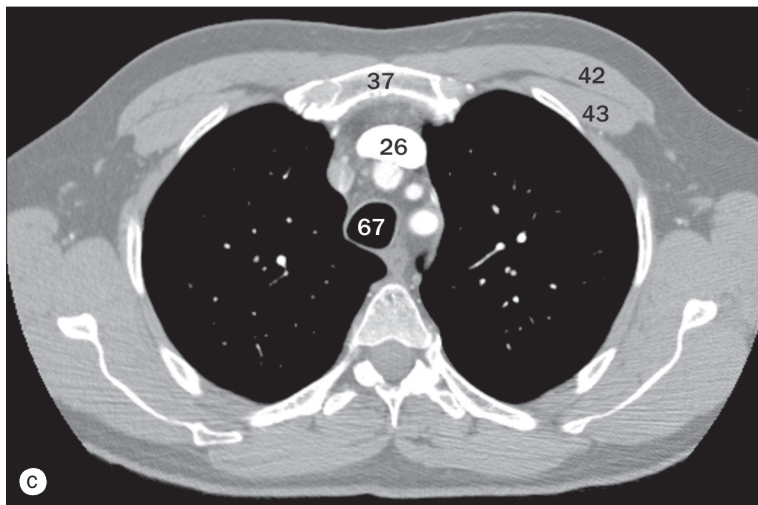
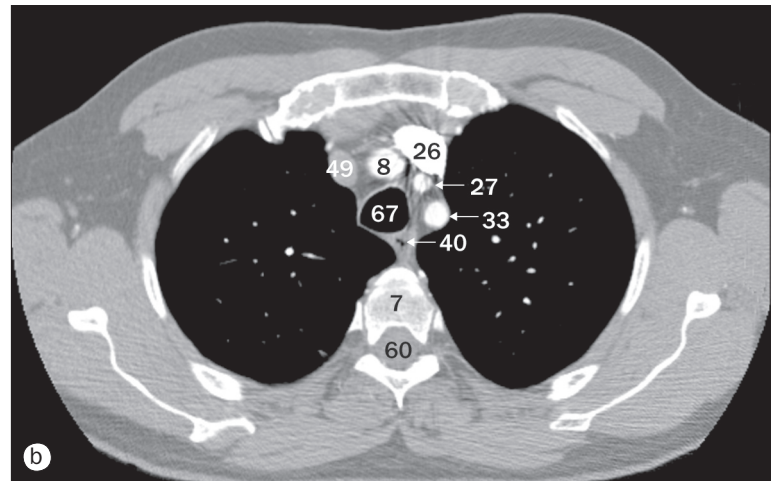
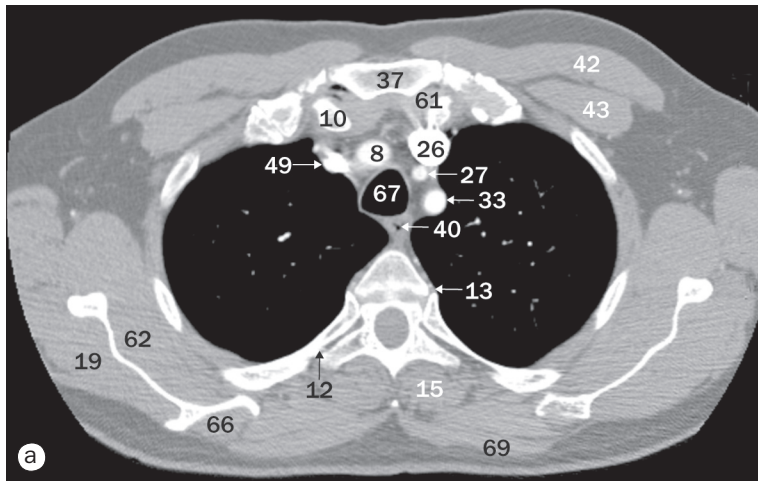
6 Veine azygos
7 Cœur
8 Veine hémiazygos
9 Scissure horizontale
10 Segment lingulaire inférieur
11 Bronche segmentaire lingulaire inférieure

12 Veine cave inférieure
13 Segment basal latéral du lobe inférieur
14 Bronche segmentaire basale latérale
15 Segment latéral du lobe moyen
16 Bronche segmentaire latérale du lobe moyen
17 Bronche lobaire inférieure gauche



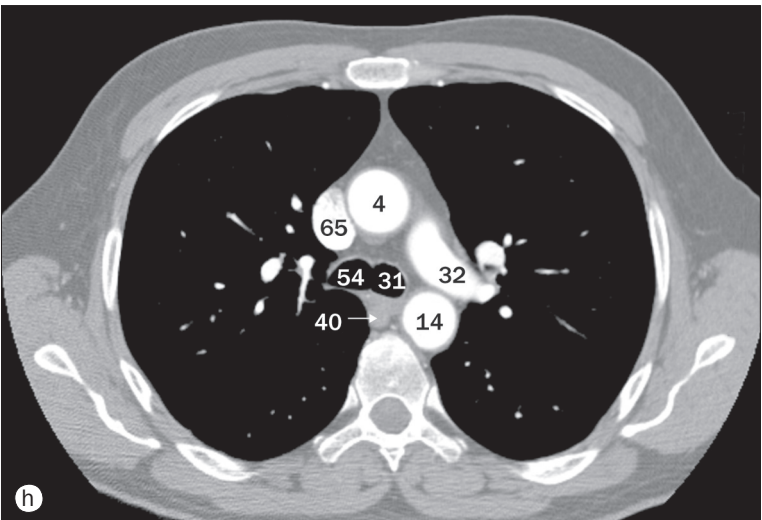
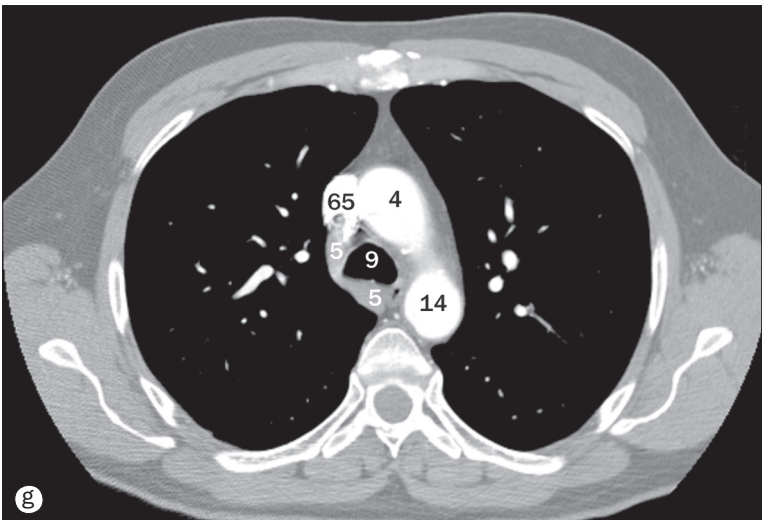
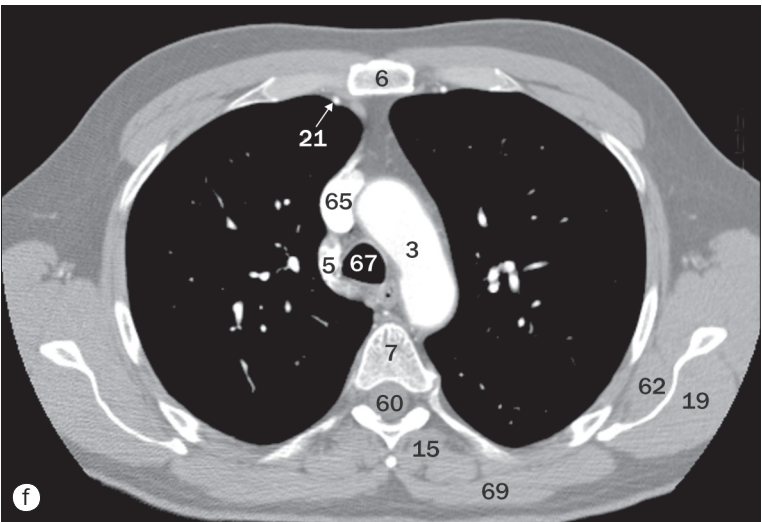
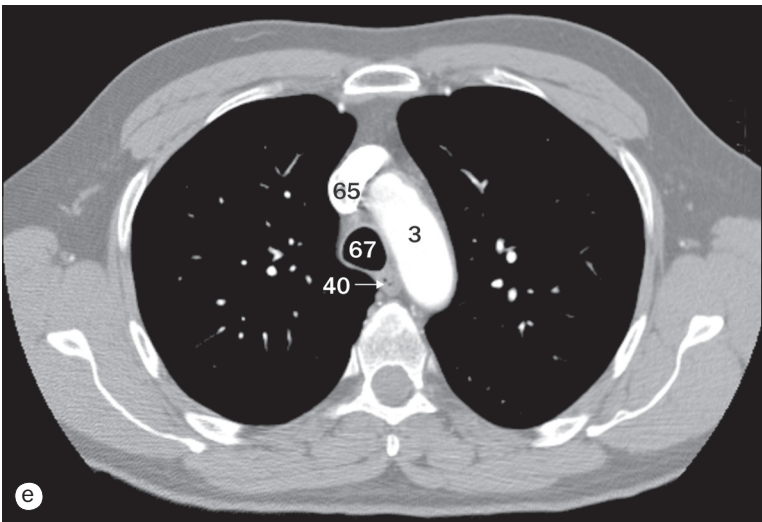
(i)-(p) Poumons, TDM en coupes axiales à haute résolution.

- | | | |
|--|---|--|
| 18 Foie | 23 Bronche lobaire moyenne | 28 Veine pulmonaire inférieure droite |
| 19 Segment basal médial du lobe inférieur | 24 Scissure oblique | 29 Artère pulmonaire du lobe inférieur droit |
| 20 Bronche segmentaire basale médiale | 25 Segment basal postérieur du lobe inférieur | 30 Rate |
| 21 Segment médial du lobe moyen | 26 Bronche segmentaire basale postérieure | 31 Estomac |
| 22 Bronche segmentaire médiale du lobe moyen | 27 Bronche lobaire inférieure droite | 32 Segment lingulaire supérieur |
| | | 33 Bronche segmentaire lingulaire supérieure |



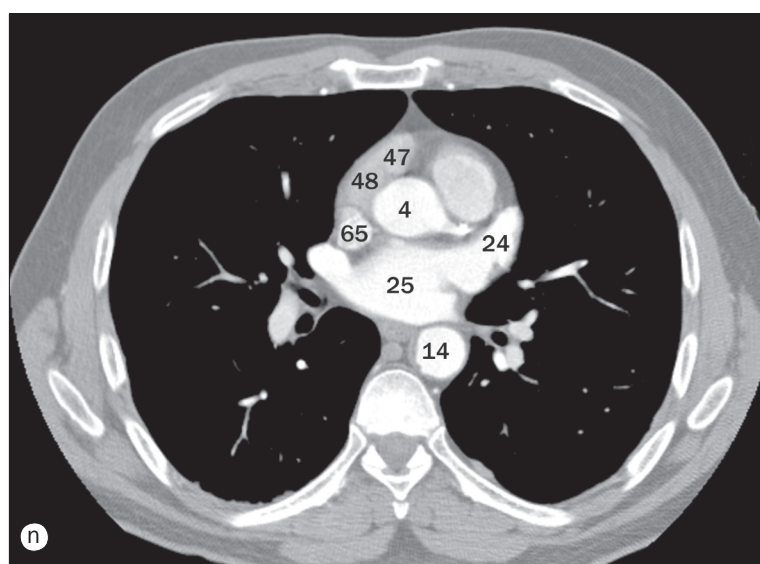
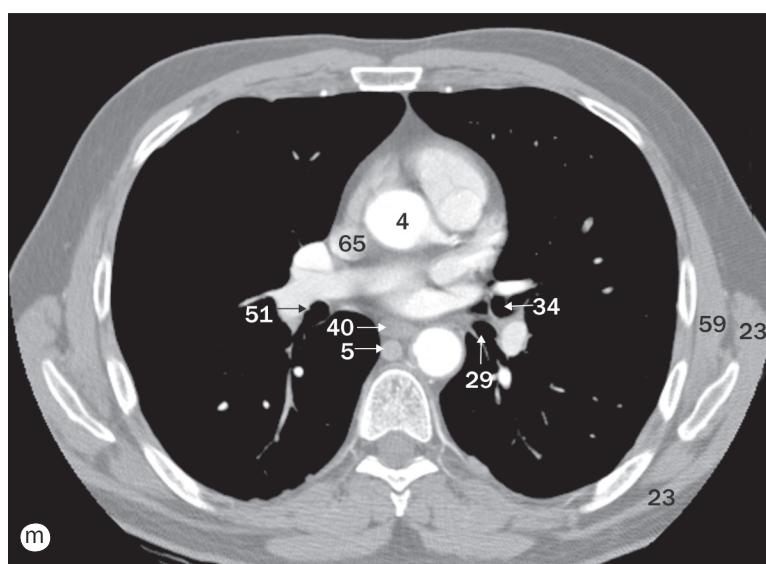
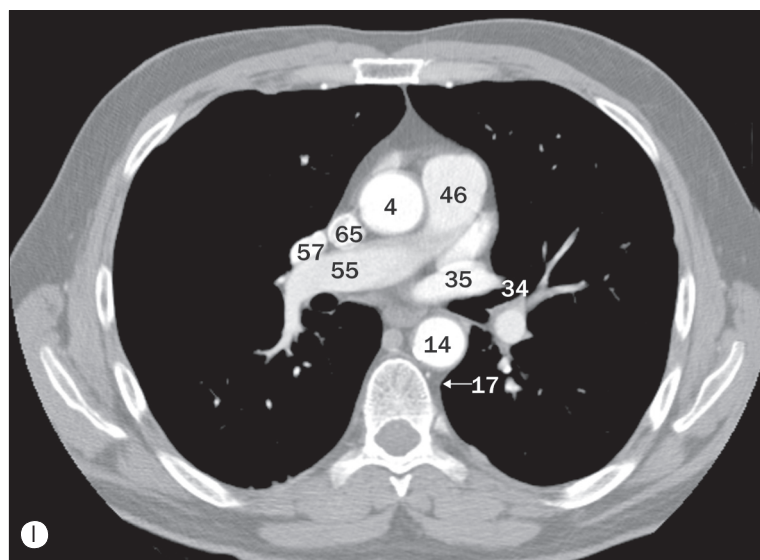
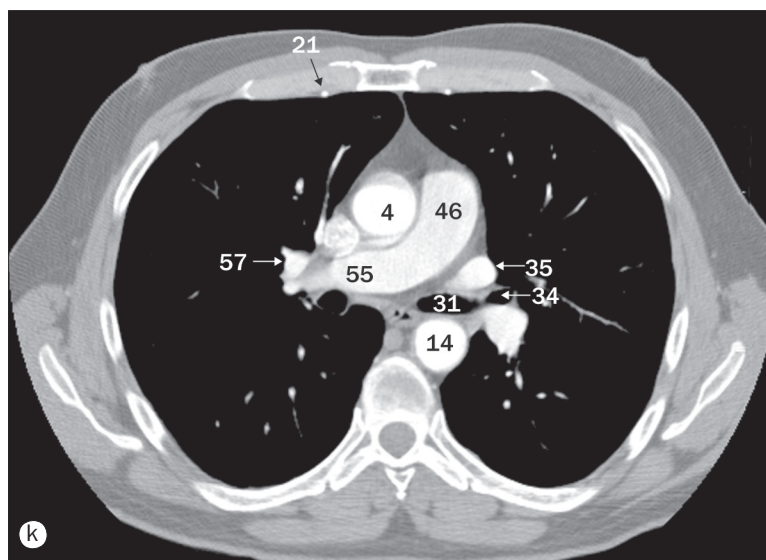
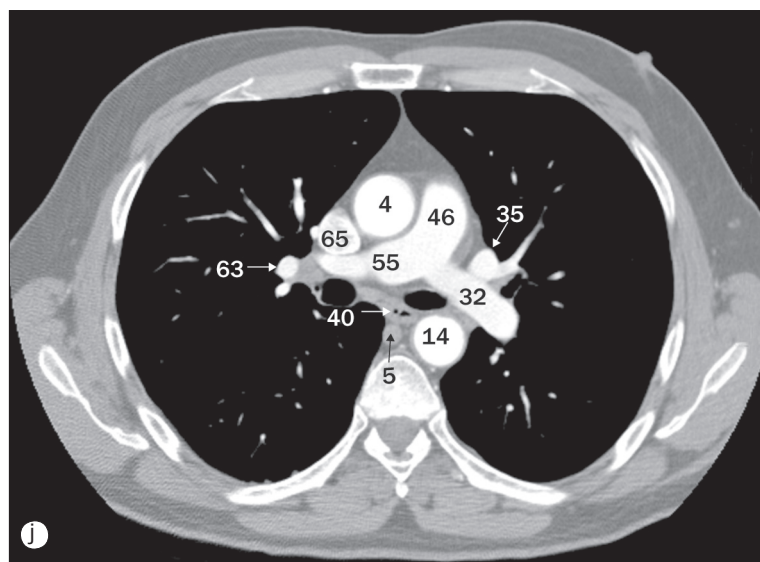
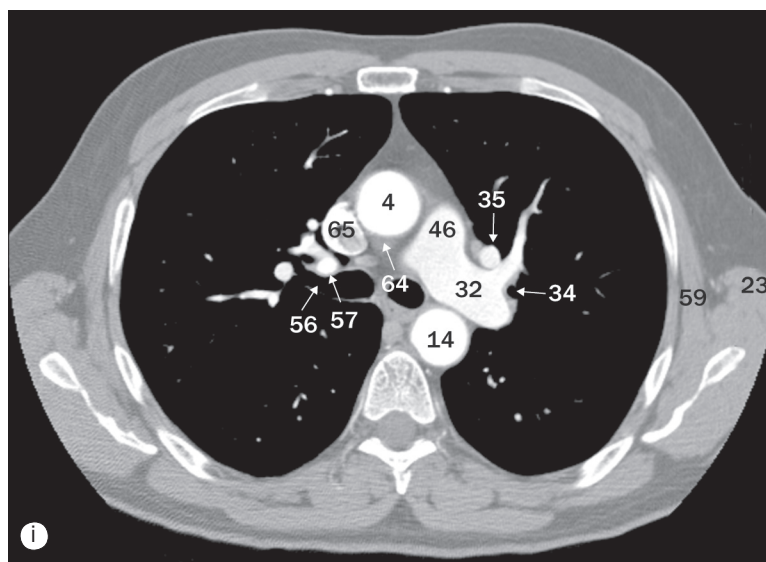
(a)–(t) Thorax, TDM en coupes axiales du médiastin.

- | | | |
|--|---|---------------------------------------|
| 1 Branche interventriculaire antérieure de l'artère coronaire gauche | 12 Articulation costotransversaire | 24 Auricule gauche |
| 2 Valve aortique | 13 Articulation costovertébrale | 25 Atrium gauche |
| 3 Arc aortique | 14 Aorte descendante | 26 Veine brachiocéphalique gauche |
| 4 Aorte ascendante | 15 Muscle érecteur du rachis | 27 Artère carotide commune gauche |
| 5 Veine azygos | 16 Tête de la côte | 28 Hémidiaphragme gauche |
| 6 Corps du sternum | 17 Veine hémiazygos | 29 Bronche lobaire inférieure gauche |
| 7 Corps vertébral | 18 Veine cave inférieure | 30 Veine pulmonaire inférieure gauche |
| 8 Tronc brachiocéphalique | 19 Muscle infraépineux | 31 Bronche principale gauche |
| 9 Carina de la trachée | 20 Septum interatrial | 32 Artère pulmonaire gauche |
| 10 Clavicule | 21 Artère et veine thoraciques internes | 33 Artère subclavière gauche |
| 11 Sinus coronaire | 22 Lame | 34 Bronche lobaire supérieure gauche |
| | 23 Muscle grand dorsal | 35 Veine pulmonaire supérieure gauche |

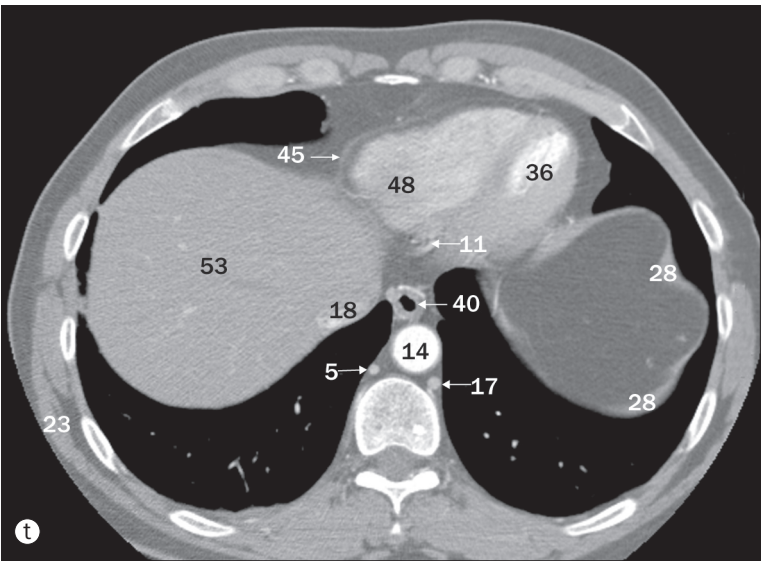
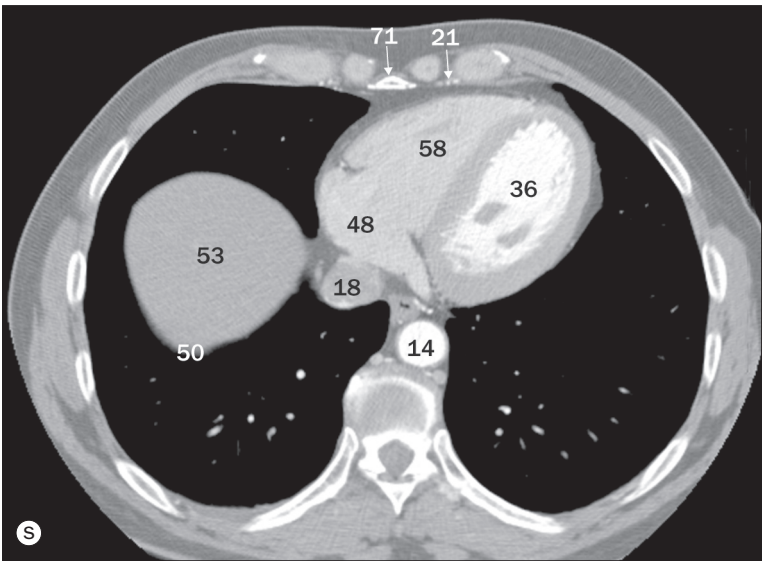
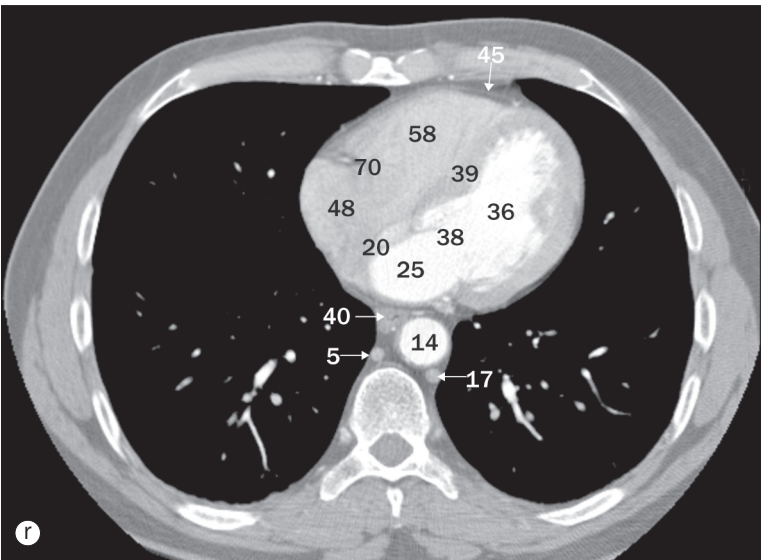
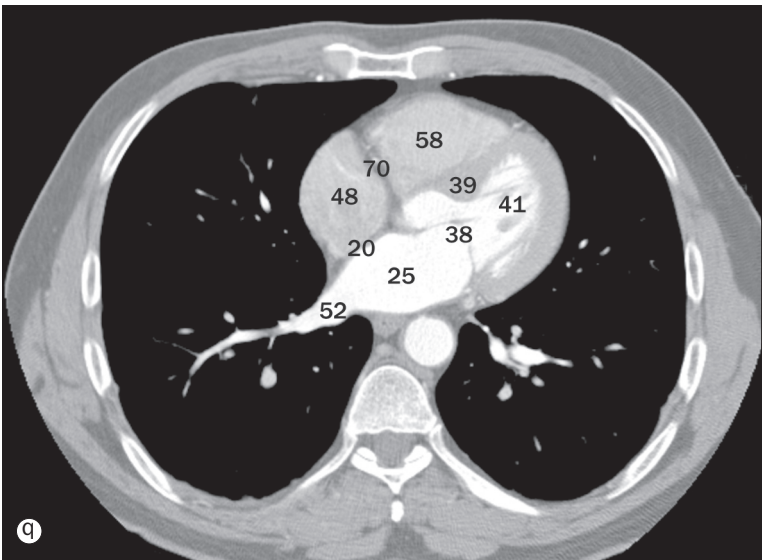
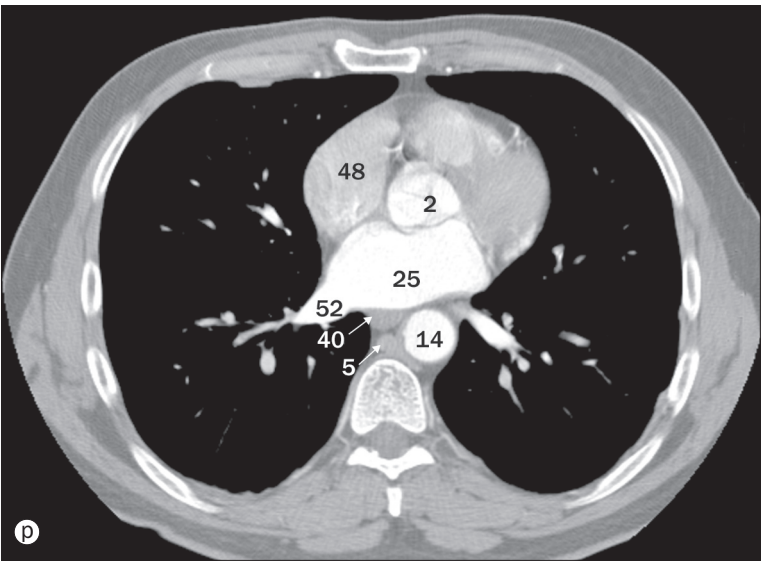
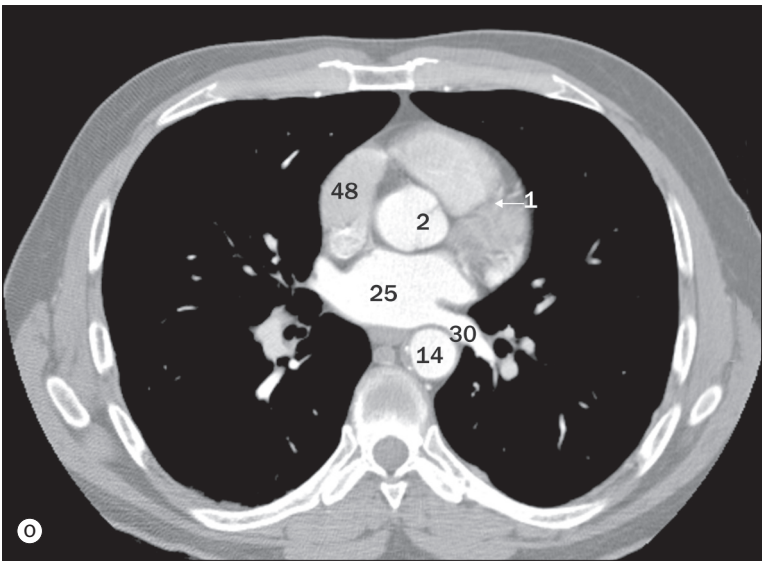


(a)–(t) Thorax, TDM en coupes axiales du médiastin.

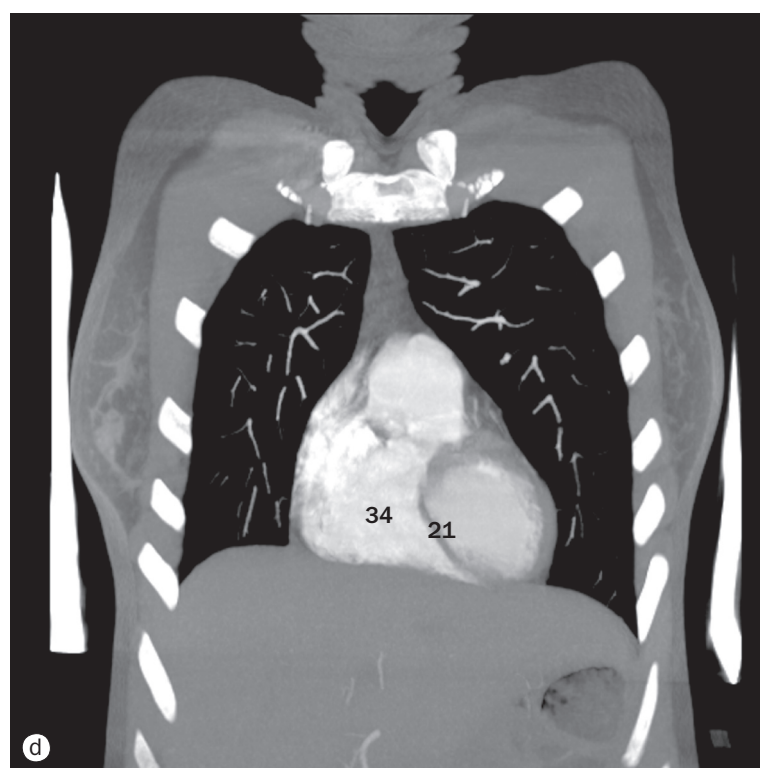
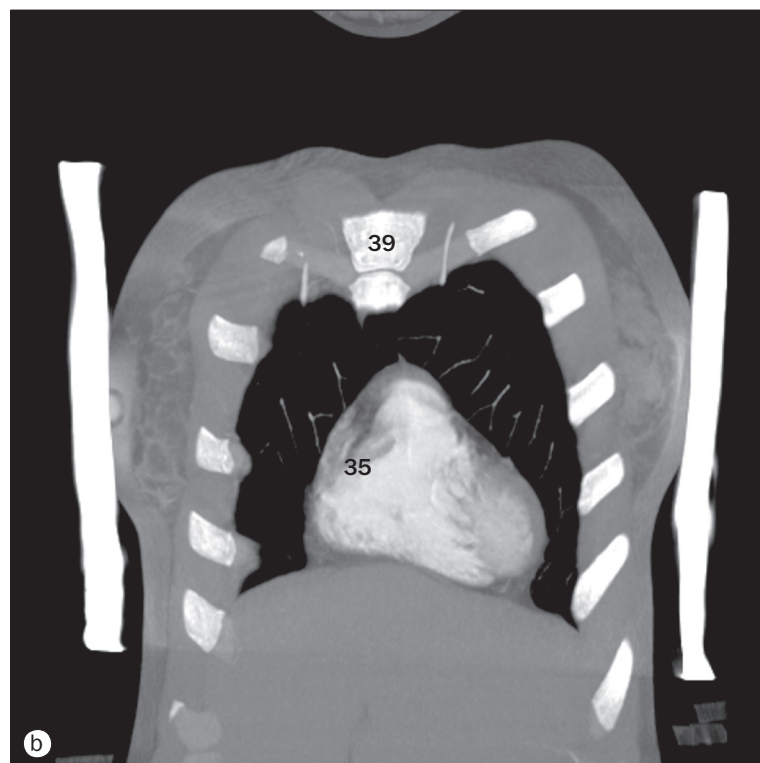
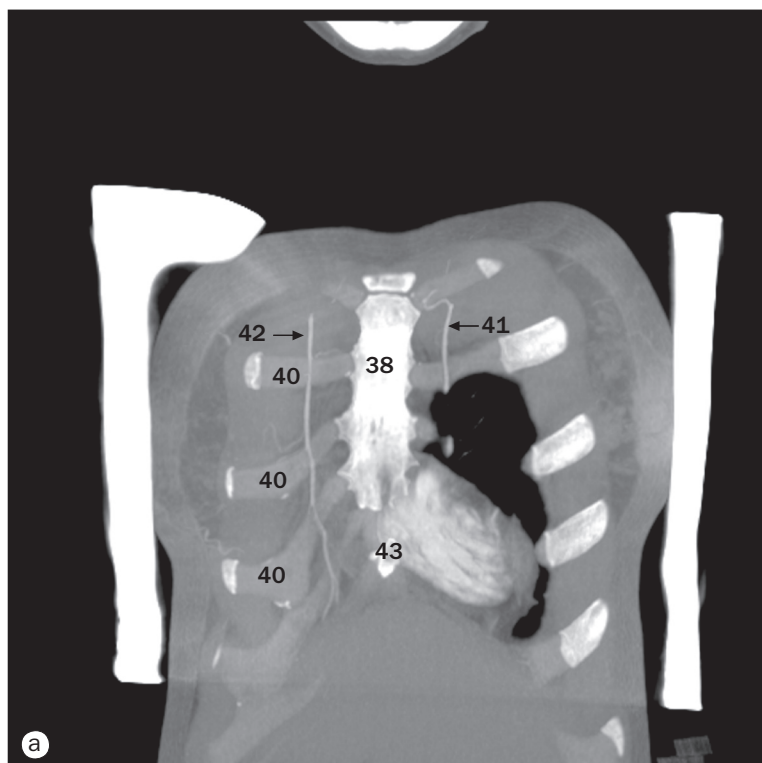
- | | | |
|---|---------------------------------------|---|
| 36 Cavité ventriculaire gauche | 49 Veine brachiocéphalique droite | 62 Muscle subscapulaire |
| 37 Manubrium sternal | 50 Hémidiaphragme droit | 63 Branche lobaire supérieure de l'artère pulmonaire droite |
| 38 Valve mitrale | 51 Bronche lobaire inférieure droite | 64 Récessus péricardique supérieur |
| 39 Septum interventriculaire musculaire | 52 Veine pulmonaire inférieure droite | 65 Veine cave supérieure |
| 40 Œsophage | 53 Lobe droit du foie | 66 Muscle supraépineux |
| 41 Muscles papillaires | 54 Bronche principale droite | 67 Trachée |
| 42 Muscle grand pectoral | 55 Artère pulmonaire droite | 68 Processus transverse |
| 43 Muscle petit pectoral | 56 Bronche lobaire supérieure droite | 69 Muscle trapèze |
| 44 Pédicule | 57 Veine pulmonaire supérieure droite | 70 Valve tricuspide |
| 45 Péricarde | 58 Cavité ventriculaire droite | 71 Processus xiphoïde |
| 46 Tronc pulmonaire | 59 Muscle dentelé antérieur | |
| 47 Auricule droite | 60 Canal vertébral | |
| 48 Atrium droit | 61 Articulation sternoclaviculaire | |



(a)–(t) Thorax, TDM en coupes axiales du médiastin. Voir les pages 96–97 pour les légendes.



(a)–(t) Thorax, TDM en coupes axiales du médiastin. Voir les pages 96–97 pour les légendes.

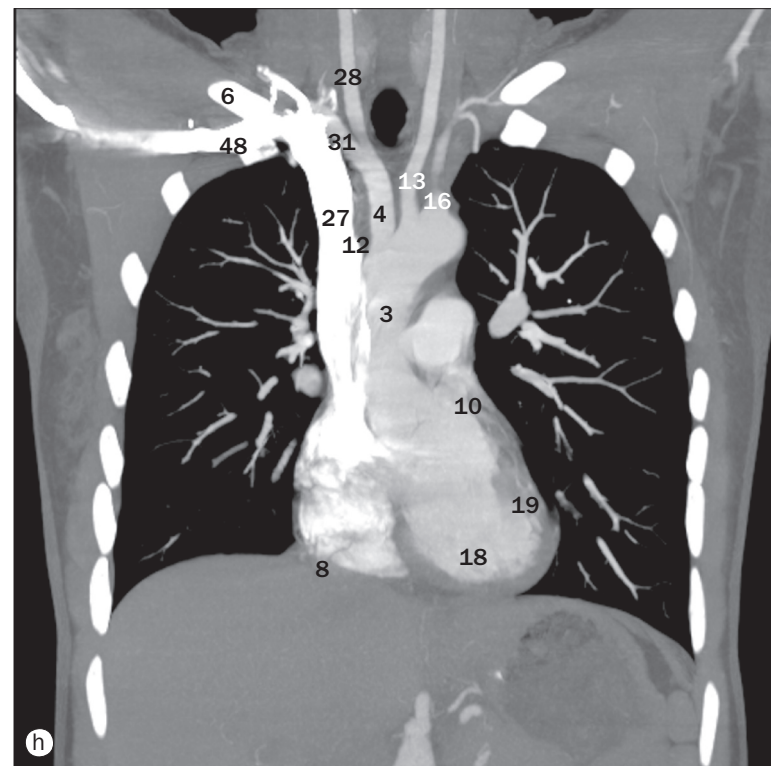
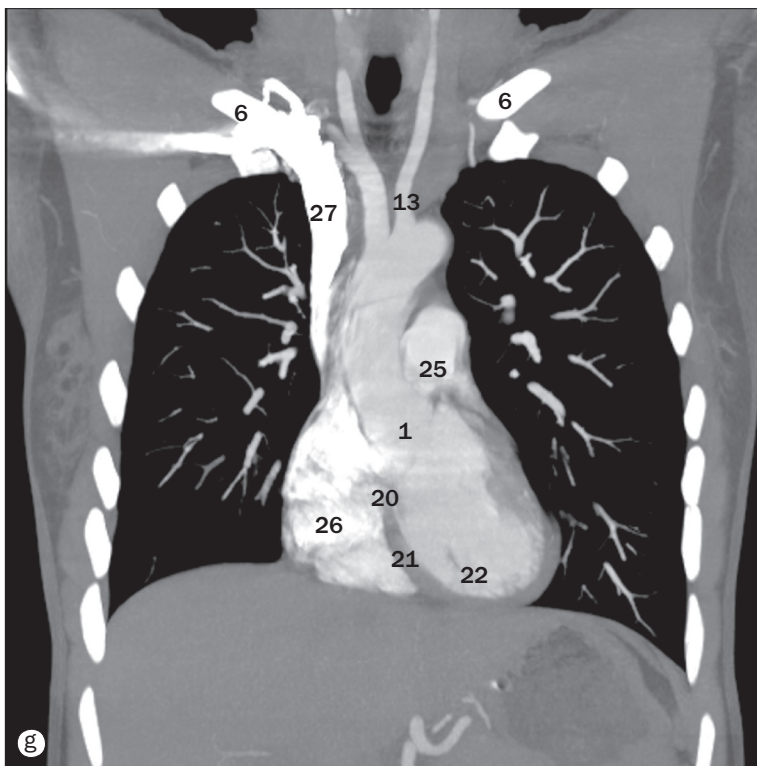
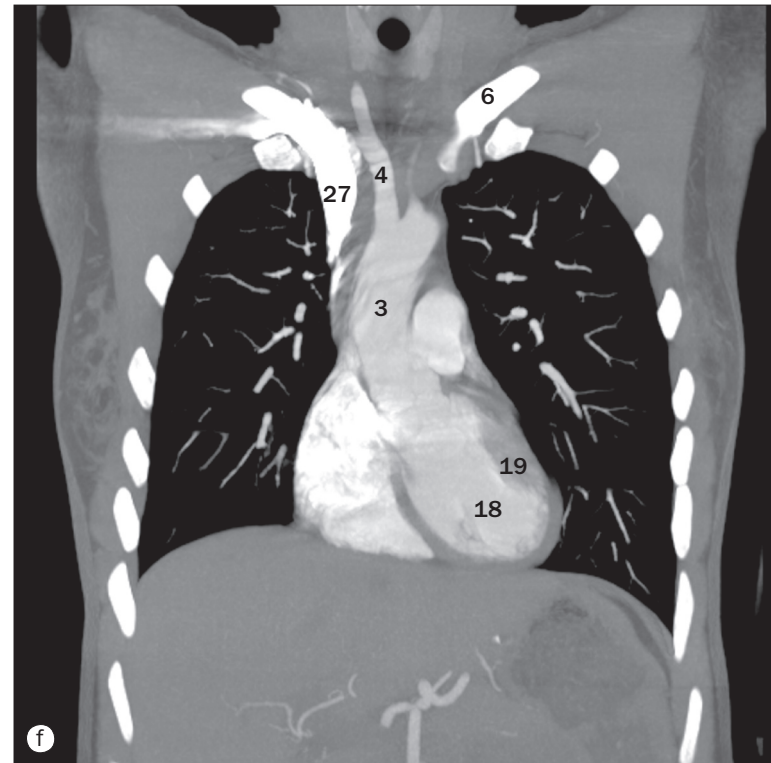
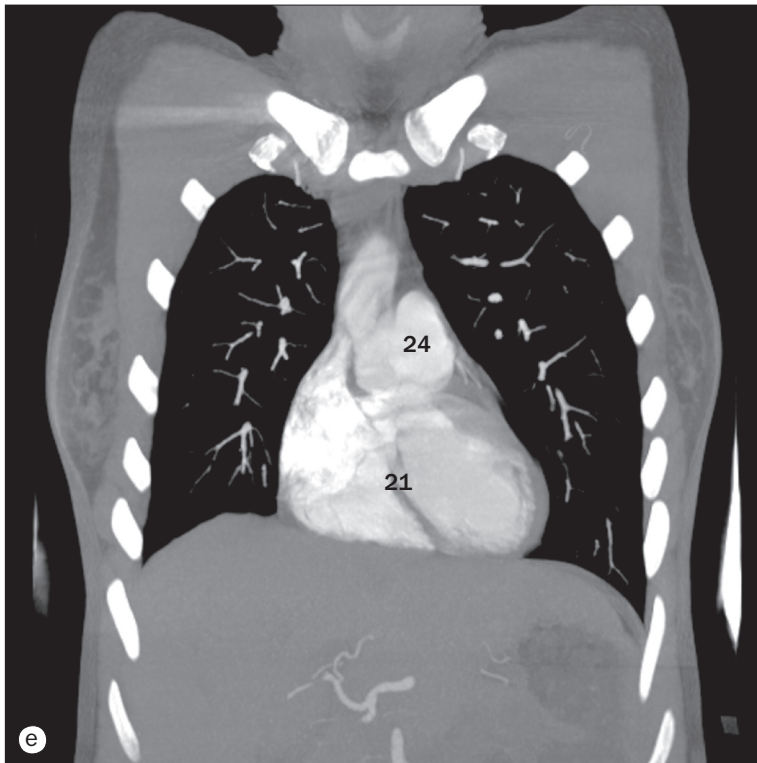


(a)–(p) Thorax, TDM en coupes coronales, d'antérieur à postérieur.

1 Valve aortique
2 Arc aortique
3 Aorte ascendante
4 Tronc brachiocéphalique
5 Carina de la trachée
6 Clavicule
7 Aorte descendante
8 Veine cave inférieure

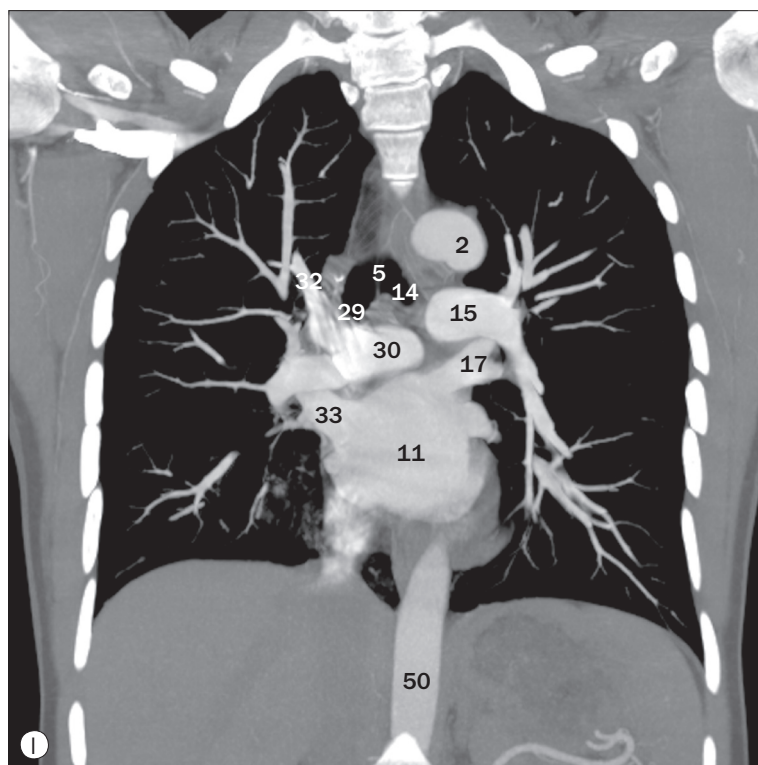
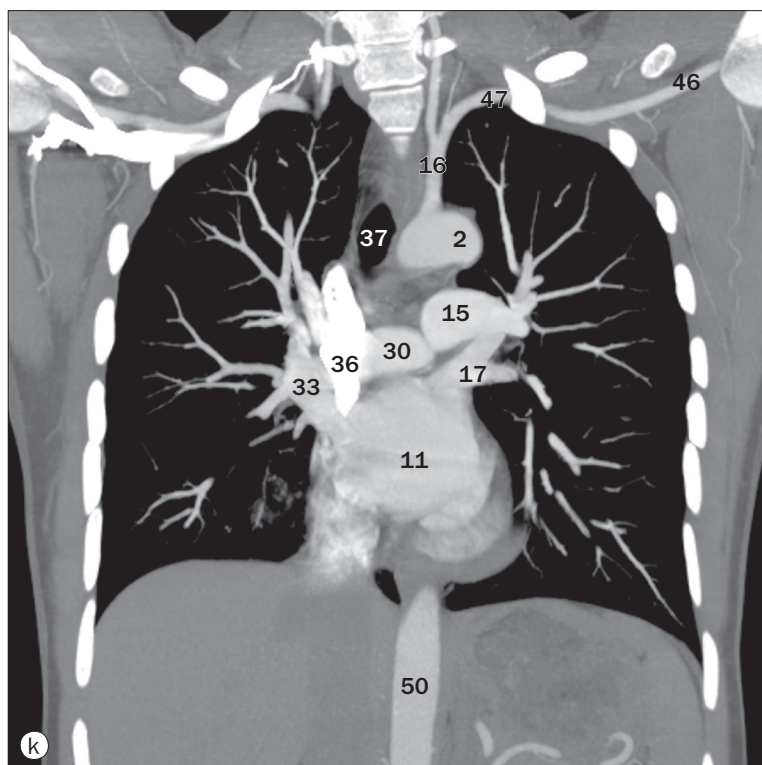
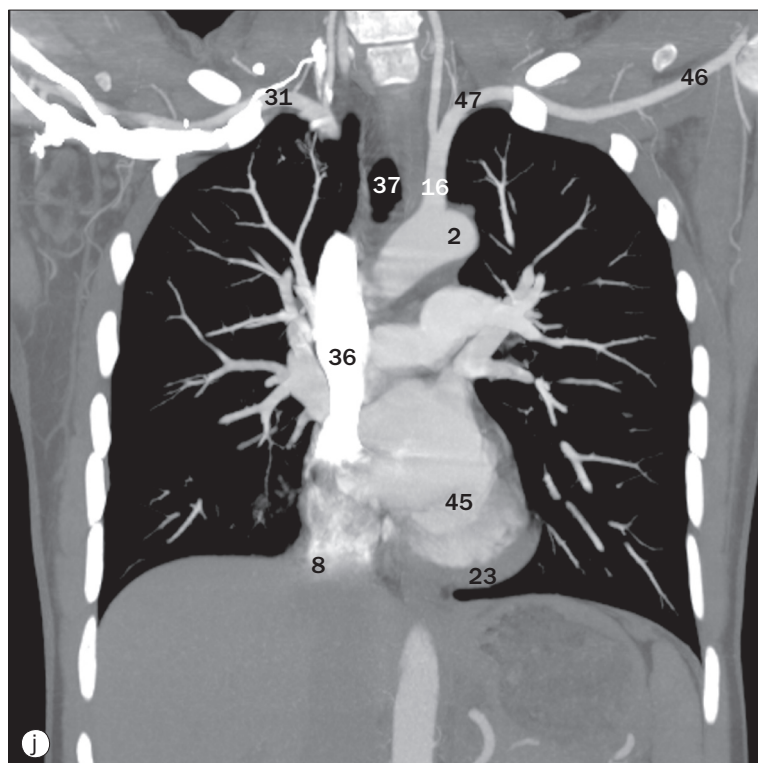
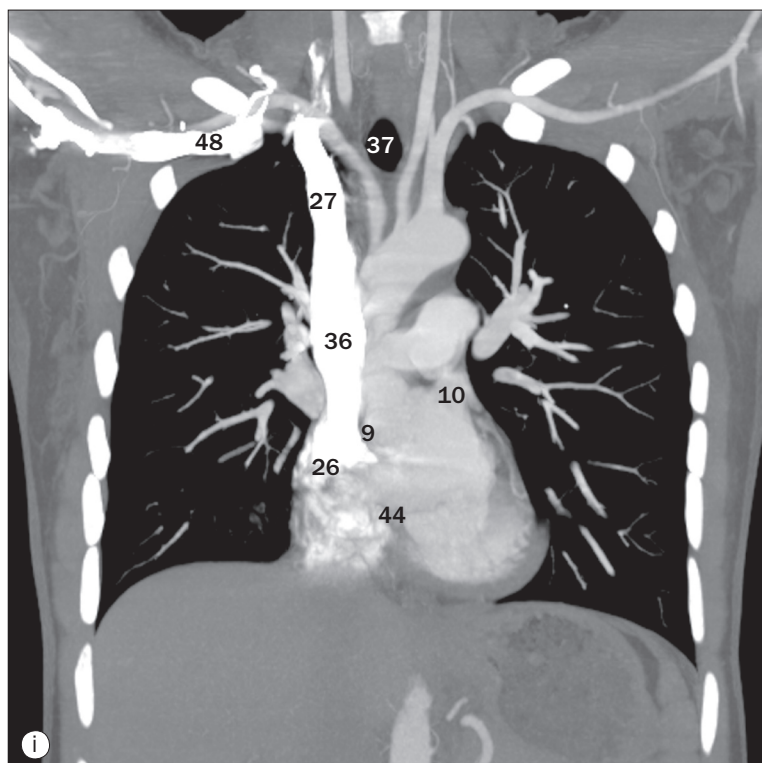
9 Septum interatrial
10 Auricule gauche
11 Atrium gauche
12 Veine brachiocéphalique gauche
13 Artère carotide commune gauche
14 Bronche principale gauche
15 Artère pulmonaire gauche
16 Artère subclavière gauche

17 Veine pulmonaire supérieure gauche
18 Cavité ventriculaire gauche
19 Paroi ventriculaire gauche
20 Septum interventriculaire membraneux
21 Septum interventriculaire musculaire
22 Muscles papillaires
23 Péricarde
24 Tronc pulmonaire



(a)–(p) Thorax, TDM en coupes coronales, d'antérieur à postérieur.

- | | | |
|--|-------------------------------------|---------------------------------------|
| 25 Valve pulmonaire | 34 Cavité ventriculaire droite | 43 Processus xiphoïde |
| 26 Atrium droit | 35 Paroi ventriculaire droite | 44 Valve tricuspide |
| 27 Veine brachiocéphalique droite | 36 Veine cave supérieure | 45 Valve mitrale |
| 28 Artère carotide commune droite | 37 Trachée | 46 Artère axillaire gauche |
| 29 Bronche principale droite | 38 Sternum | 47 Artère subclavière gauche |
| 30 Artère pulmonaire droite | 39 Manubrium sternal | 48 Veine subclavière droite |
| 31 Artère subclavière droite | 40 Cartilage costal antérieur | 49 Veine pulmonaire inférieure gauche |
| 32 Artère pulmonaire du lobe supérieur droit | 41 Artère thoracique médiale gauche | 50 Aorte abdominale |
| 33 Veine pulmonaire supérieure droite | 42 Artère thoracique médiale droite | 51 Veine pulmonaire inférieure droite |

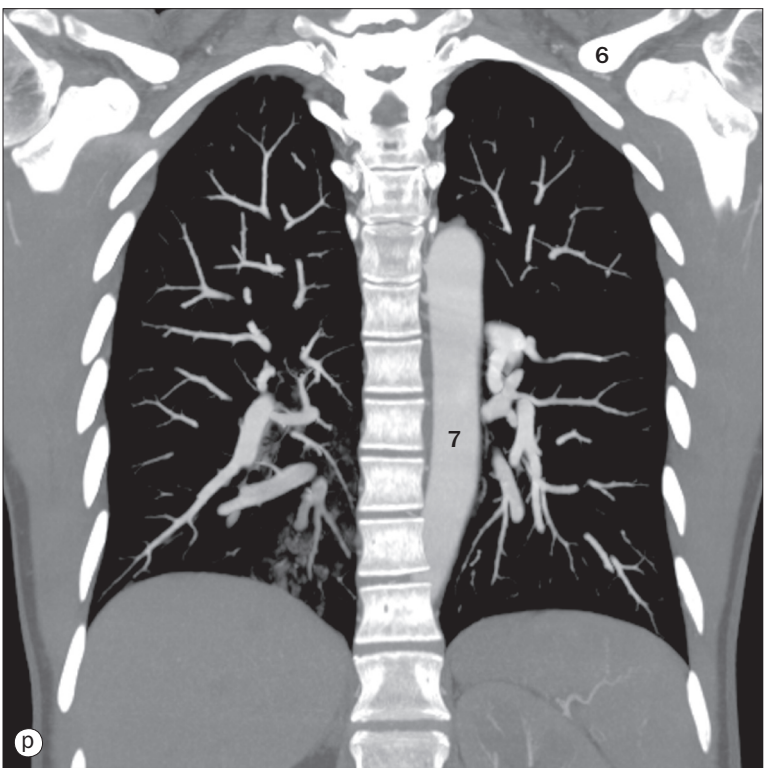
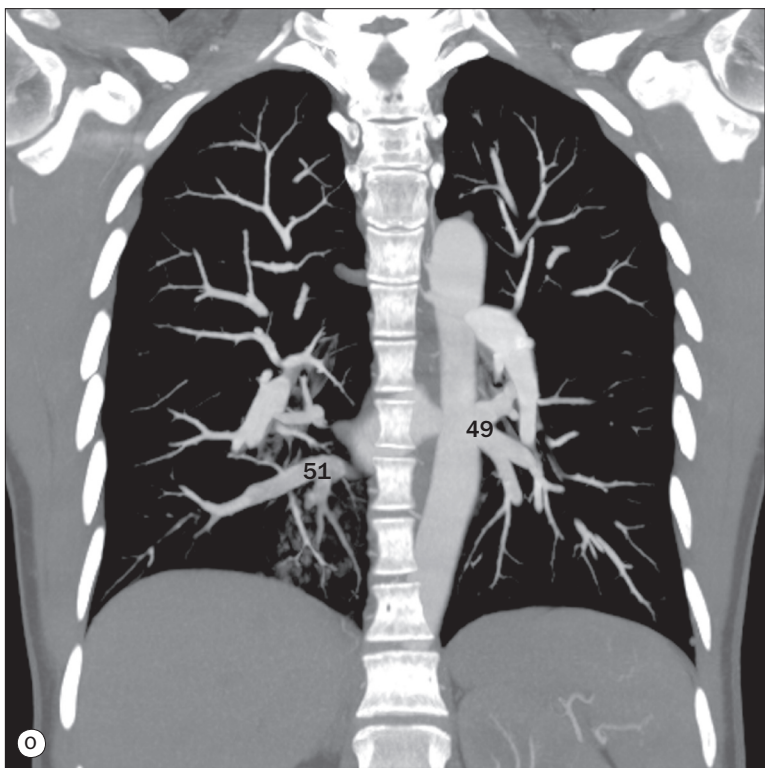
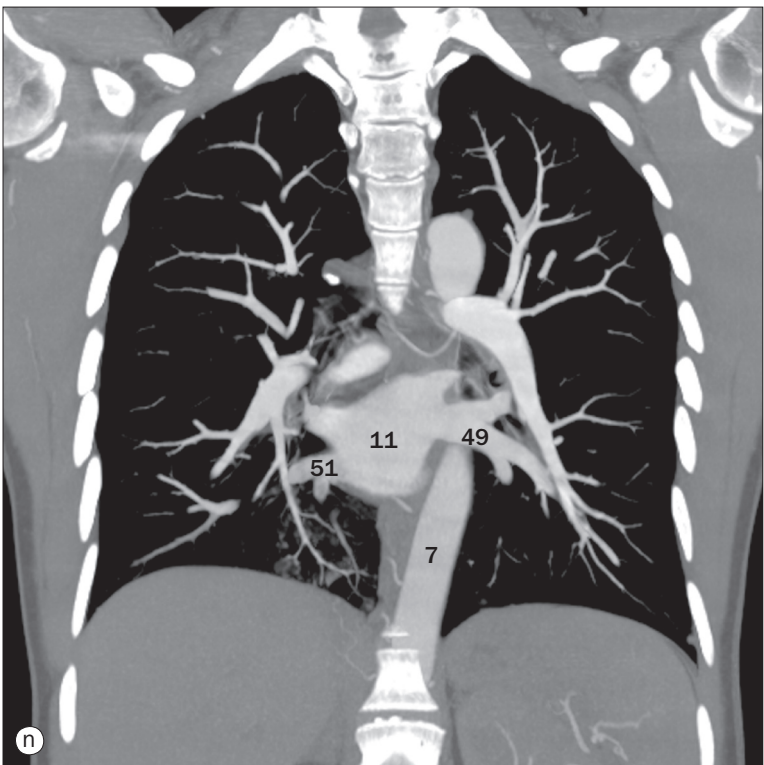
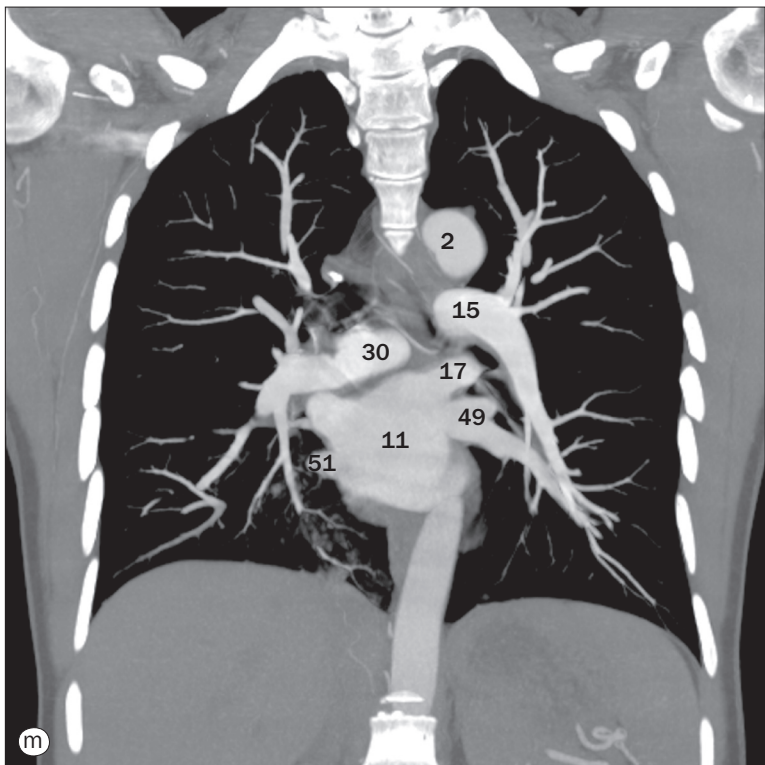


(a)–(p) Thorax, TDM en coupes coronales, d'antérieur à postérieur.

1 Valve aortique
2 Arc aortique
3 Aorte ascendante
4 Tronc brachiocéphalique
5 Carina de la trachée
6 Clavicule
7 Aorte descendante
8 Veine cave inférieure

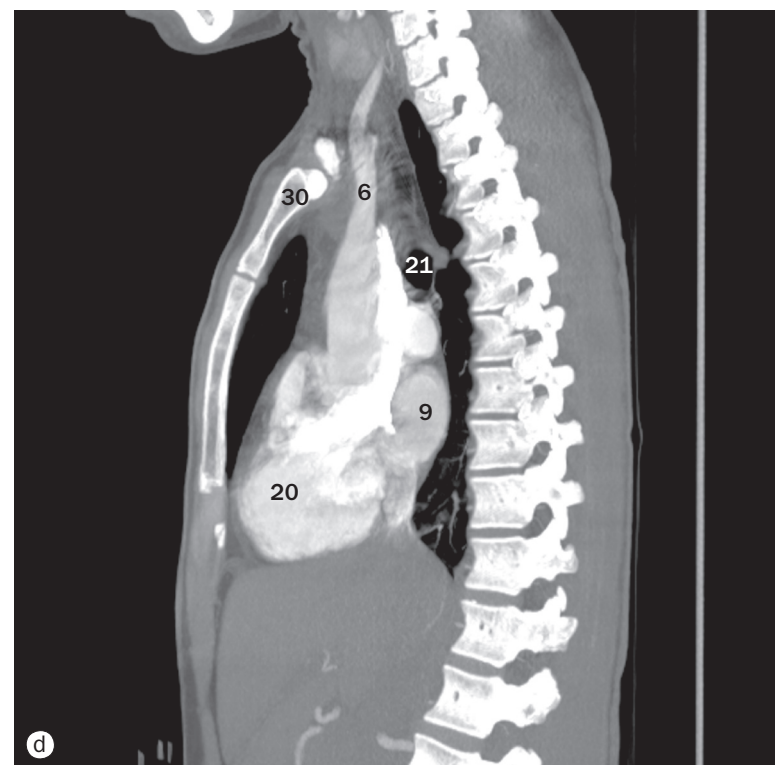
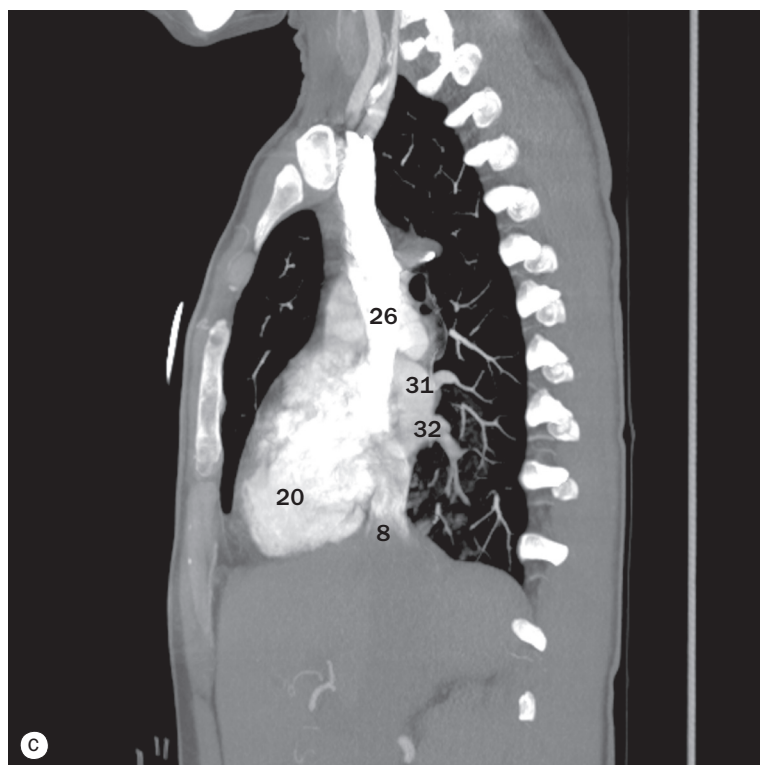
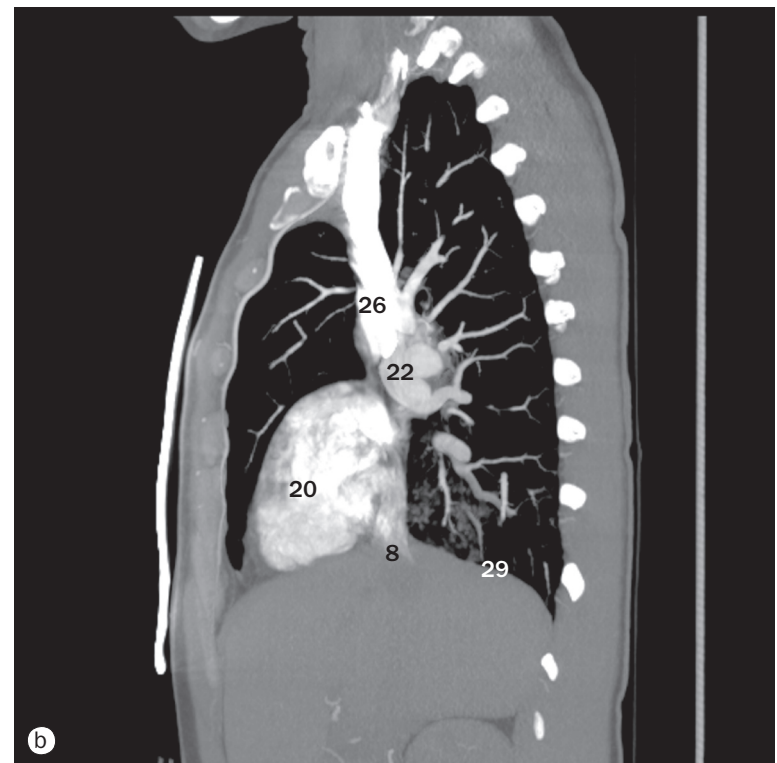
9 Septum interatrial
10 Auricule gauche
11 Atrium gauche
12 Veine brachiocéphalique gauche
13 Artère carotide commune gauche
14 Bronche principale gauche
15 Artère pulmonaire gauche
16 Artère subclavière gauche

17 Veine pulmonaire supérieure gauche
18 Cavité ventriculaire gauche
19 Paroi ventriculaire gauche
20 Septum interventriculaire membraneux
21 Septum interventriculaire musculaire
22 Muscles papillaires
23 Péricarde
24 Tronc pulmonaire



(a)–(p) Thorax, TDM en coupes coronales, d'antérieur à postérieur.

- | | | |
|--|-------------------------------------|---------------------------------------|
| 25 Valve pulmonaire | 34 Cavité ventriculaire droite | 43 Processus xiphoïde |
| 26 Atrium droit | 35 Paroi ventriculaire droite | 44 Valve tricuspide |
| 27 Veine brachiocéphalique droite | 36 Veine cave supérieure | 45 Valve mitrale |
| 28 Artère carotide commune droite | 37 Trachée | 46 Artère axillaire gauche |
| 29 Bronche principale droite | 38 Sternum | 47 Artère subclavière gauche |
| 30 Artère pulmonaire droite | 39 Manubrium sternal | 48 Veine subclavière droite |
| 31 Artère subclavière droite | 40 Cartilage costal antérieur | 49 Veine pulmonaire inférieure gauche |
| 32 Artère pulmonaire du lobe supérieur droit | 41 Artère thoracique médiale gauche | 50 Aorte abdominale |
| 33 Veine pulmonaire supérieure droite | 42 Artère thoracique médiale droite | 51 Veine pulmonaire inférieure droite |

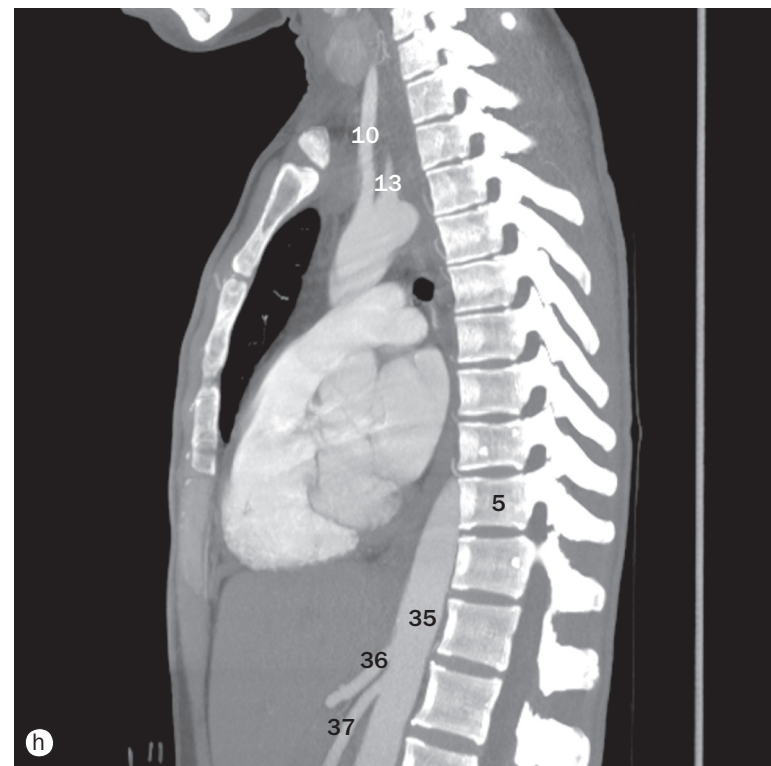
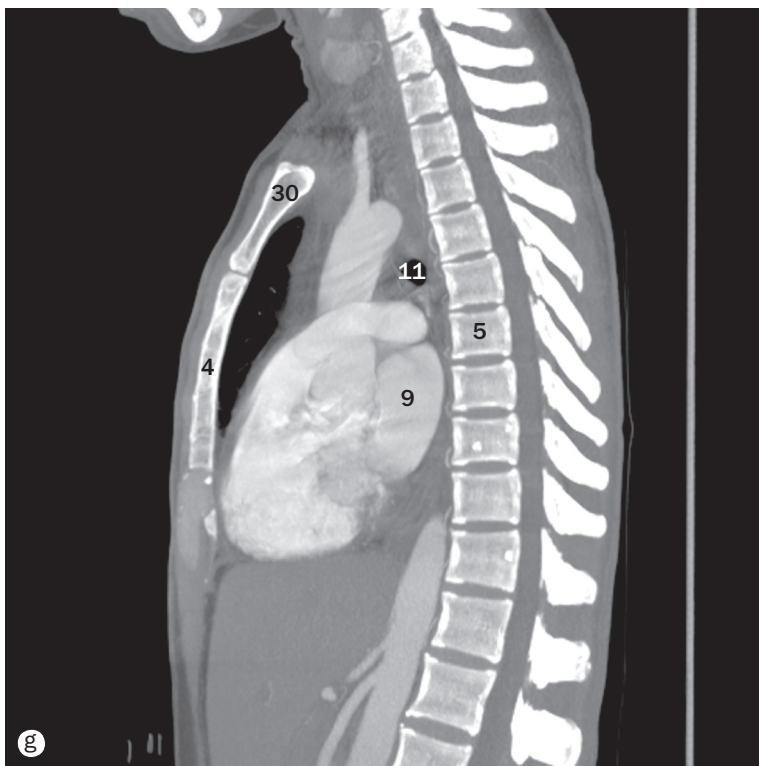
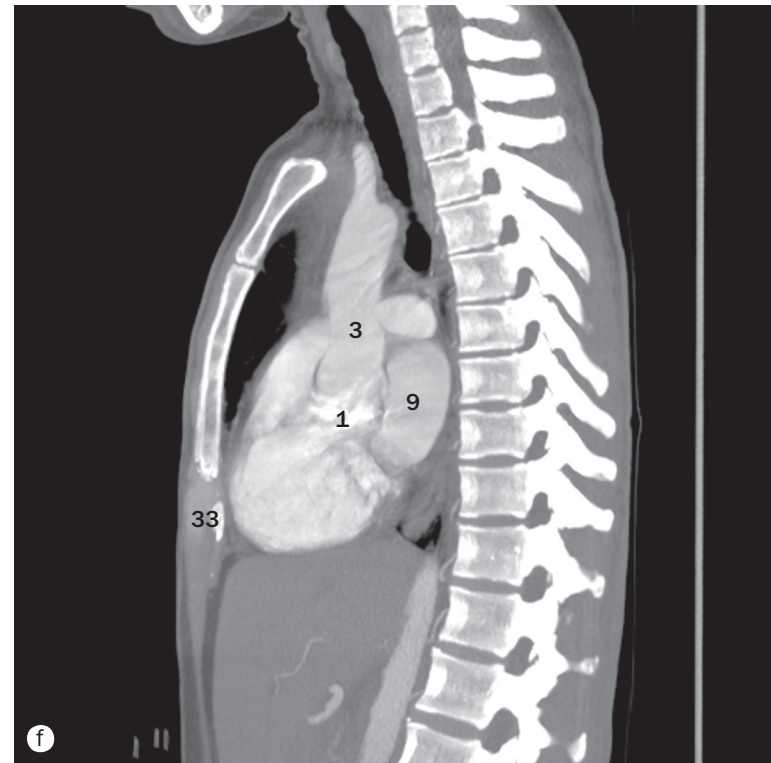
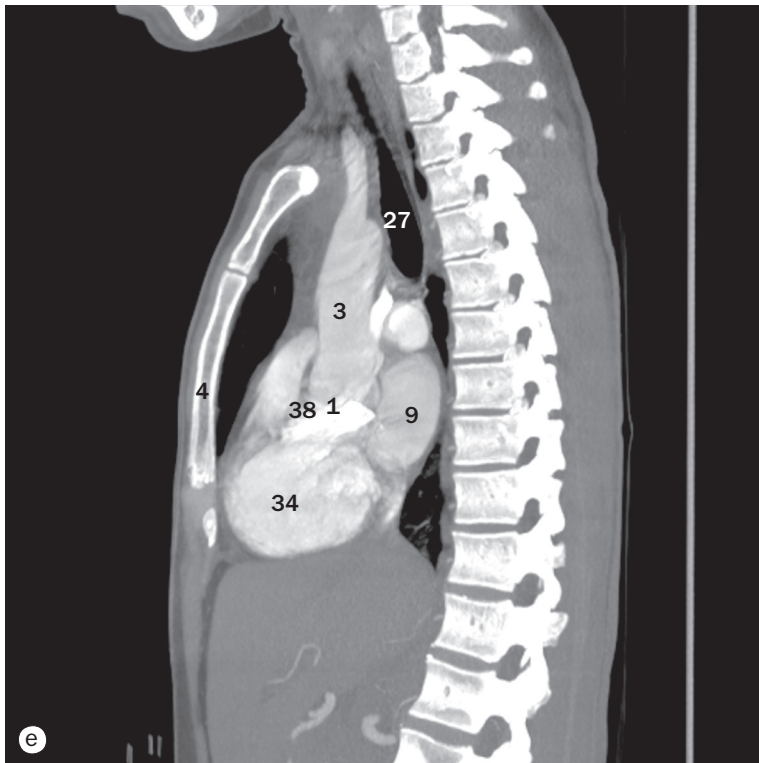


(a)–(p) Thorax, TDM en coupes sagittales, de droite à gauche.

- 1 Valve aortique
- 2 Arc aortique
- 3 Aorte ascendante
- 4 Corps du sternum
- 5 Corps vertébral
- 6 Tronc brachiocéphalique
- 7 Aorte descendante

- 8 Veine cave inférieure
- 9 Atrium gauche
- 10 Artère carotide commune gauche
- 11 Bronche principale gauche
- 12 Artère pulmonaire gauche
- 13 Artère subclavière gauche
- 14 Cavité ventriculaire gauche

- 15 Valve mitrale
- 16 Septum interventriculaire musculaire
- 17 Péricarde
- 18 Tronc pulmonaire
- 19 Valve pulmonaire
- 20 Atrium droit
- 21 Bronche principale droite

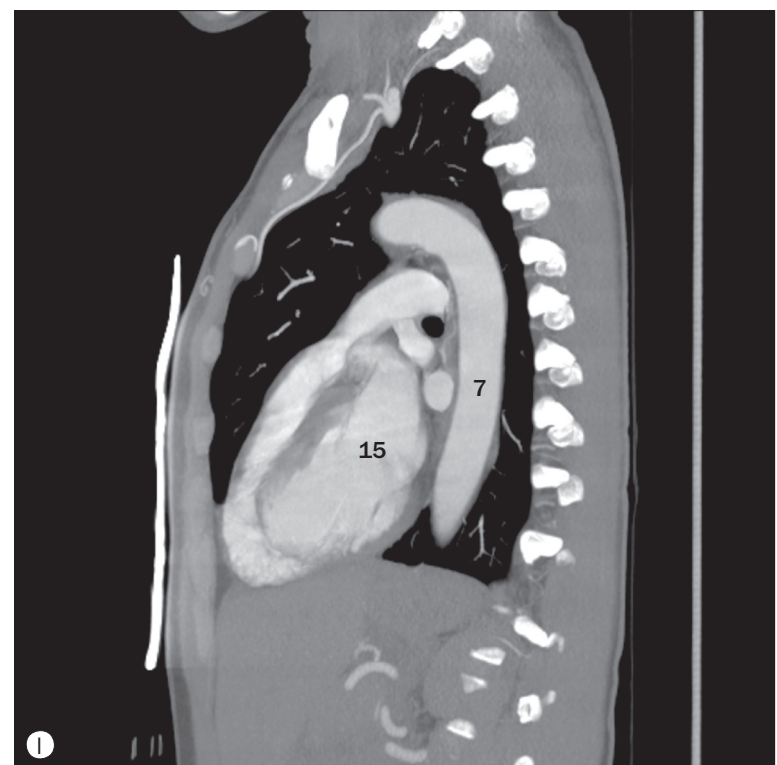
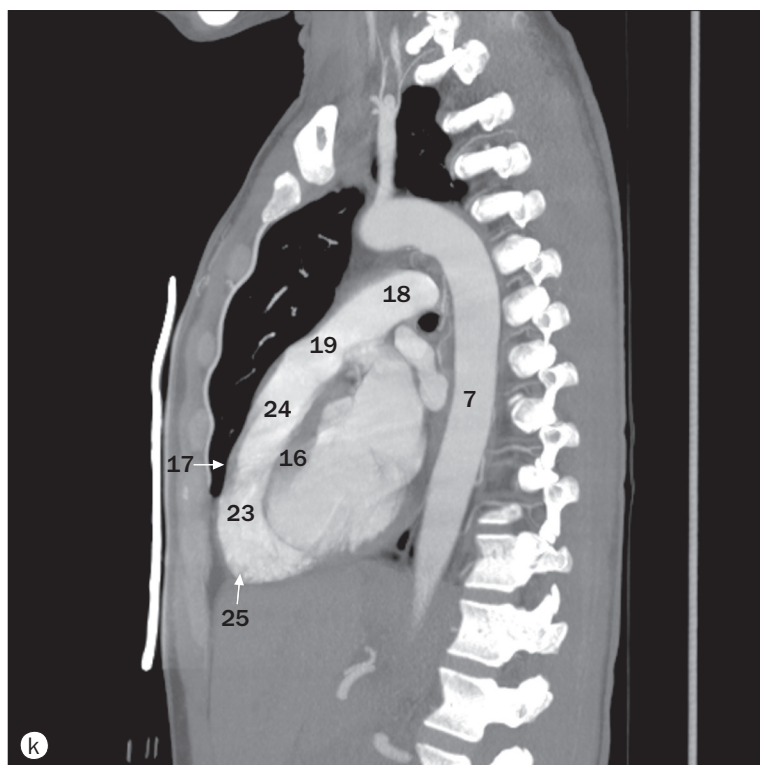
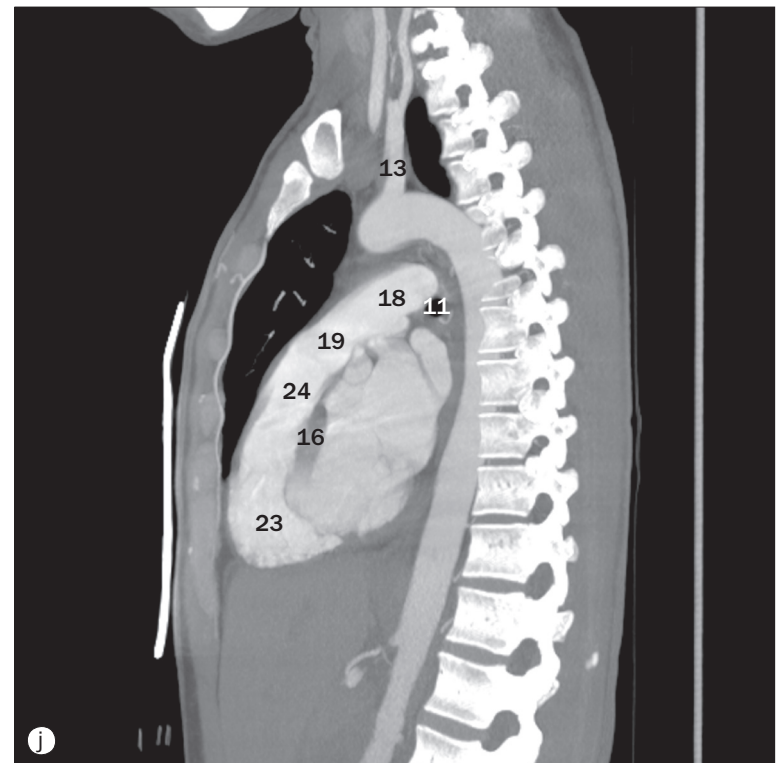
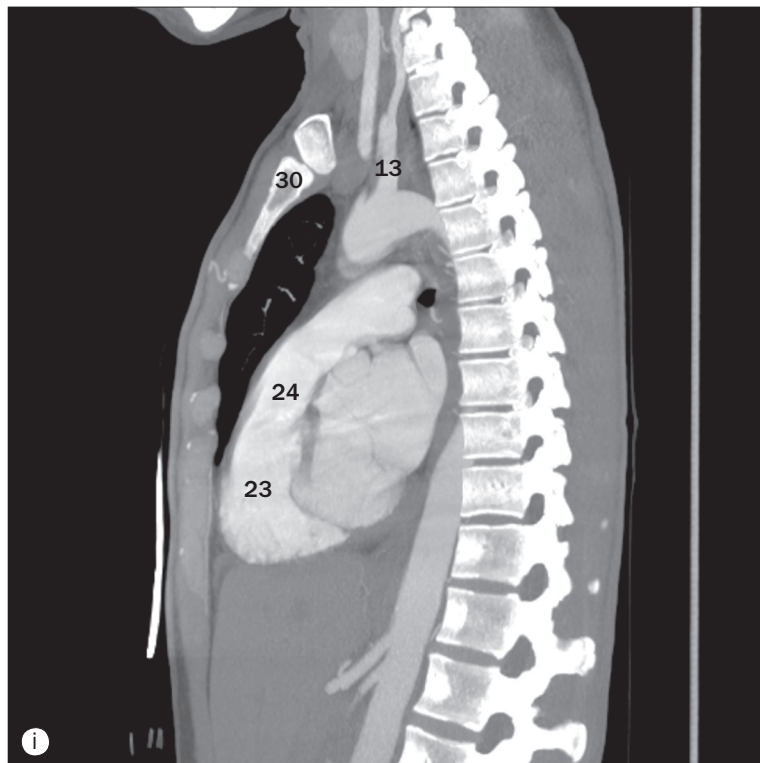


(a)–(p) Thorax, TDM en coupes sagittales, de droite à gauche.

22 Artère pulmonaire droite
23 Cavité ventriculaire droite
24 Infundibulum pulmonaire du ventricule droit
25 Paroi ventriculaire droite
26 Veine cave supérieure

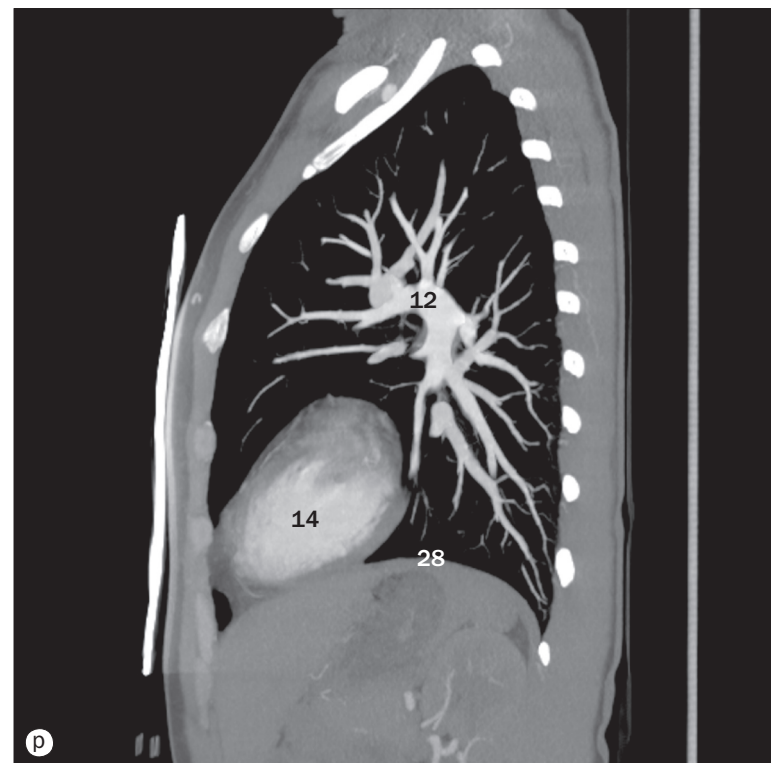
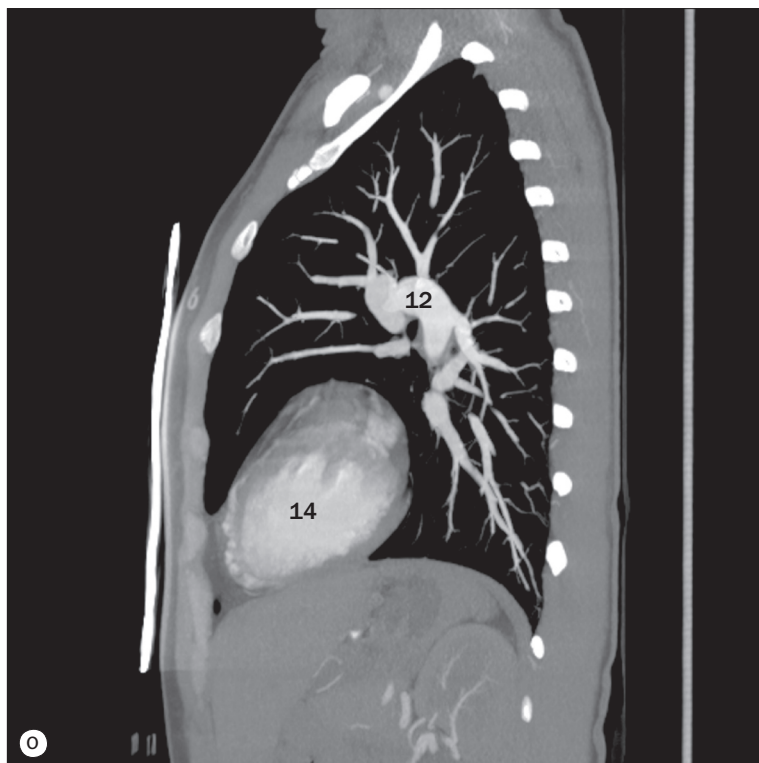
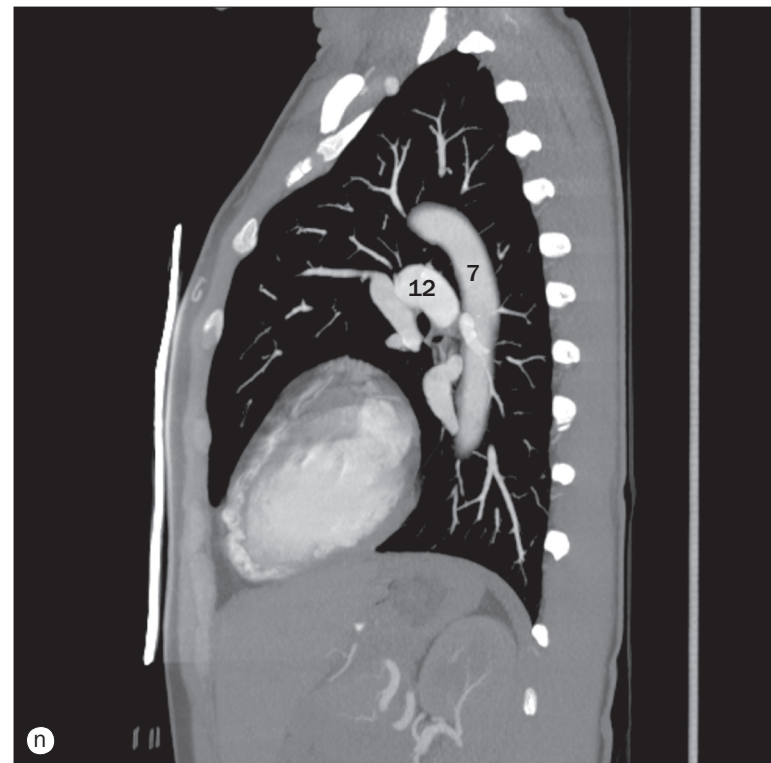
27 Trachée
28 Coupole gauche du diaphragme
29 Coupole droite du diaphragme
30 Manubrium sternal
31 Veine pulmonaire supérieure droite
32 Veine pulmonaire inférieure droite

33 Processus xiphoïde
34 Valve tricuspide
35 Aorte abdominale
36 Tronc coeliaque
37 Artère mésentérique supérieure
38 Artère coronaire droite



(a)–(p) Thorax, TDM en coupes sagittales, de droite à gauche.

- | | | |
|---------------------------|-----------------------------------|---|
| 1 Valve aortique | 8 Veine cave inférieure | 15 Valve mitrale |
| 2 Arc aortique | 9 Atrium gauche | 16 Septum interventriculaire musculaire |
| 3 Aorte ascendante | 10 Artère carotide commune gauche | 17 Péricarde |
| 4 Corps du sternum | 11 Bronche principale gauche | 18 Tronc pulmonaire |
| 5 Corps vertébral | 12 Artère pulmonaire gauche | 19 Valve pulmonaire |
| 6 Tronc brachiocéphalique | 13 Artère subclavière gauche | 20 Atrium droit |
| 7 Aorte descendante | 14 Cavité ventriculaire gauche | 21 Bronche principale droite |

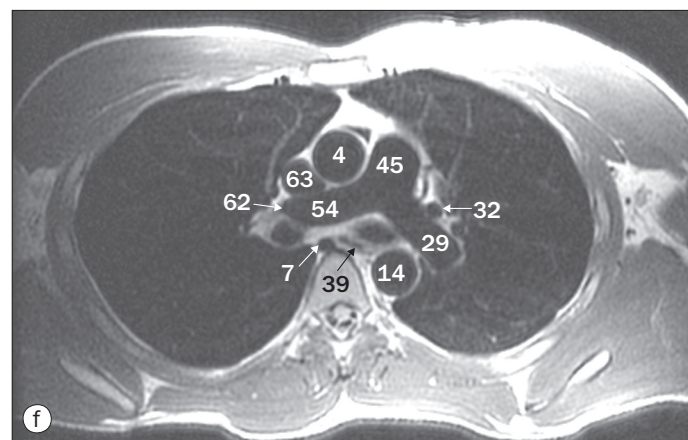
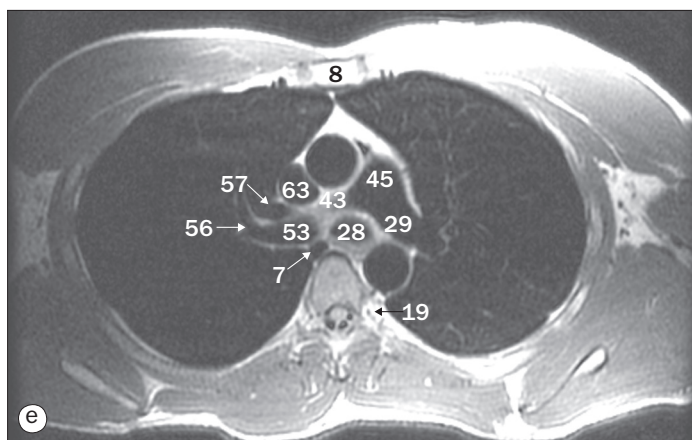
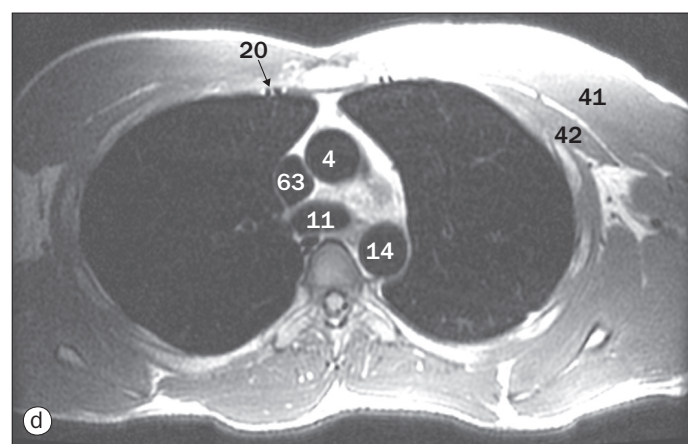
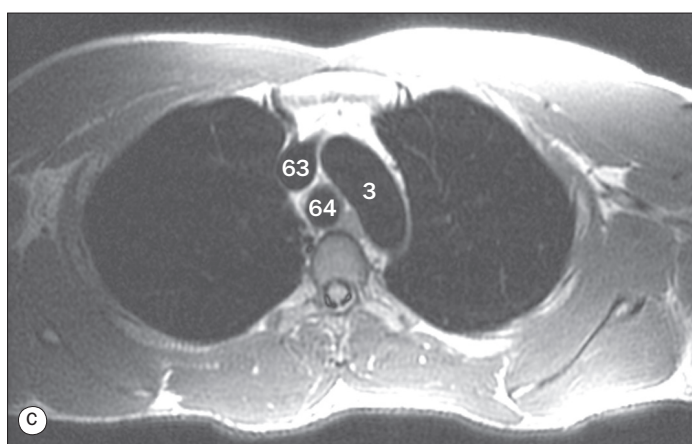
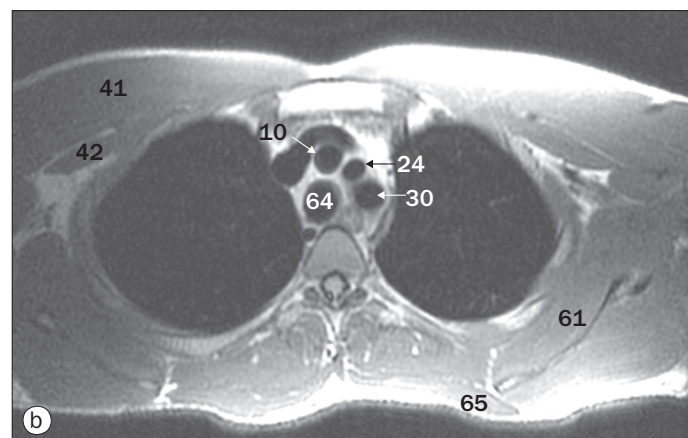
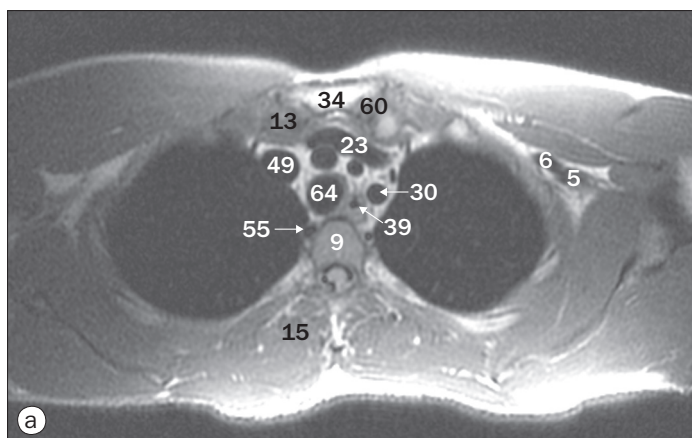


(a)–(p) Thorax, TDM en coupes sagittales, de droite à gauche.

22 Artère pulmonaire droite
23 Cavité ventriculaire droite
24 Infundibulum pulmonaire du ventricule droit
25 Paroi ventriculaire droite
26 Veine cave supérieure

27 Trachée
28 Coupole gauche du diaphragme
29 Coupole droite du diaphragme
30 Manubrium sternal
31 Veine pulmonaire supérieure droite
32 Veine pulmonaire inférieure droite

33 Processus xiphoïde
34 Valve tricuspide
35 Aorte abdominale
36 Tronc cœliaque
37 Artère mésentérique supérieure
38 Artère coronaire droite

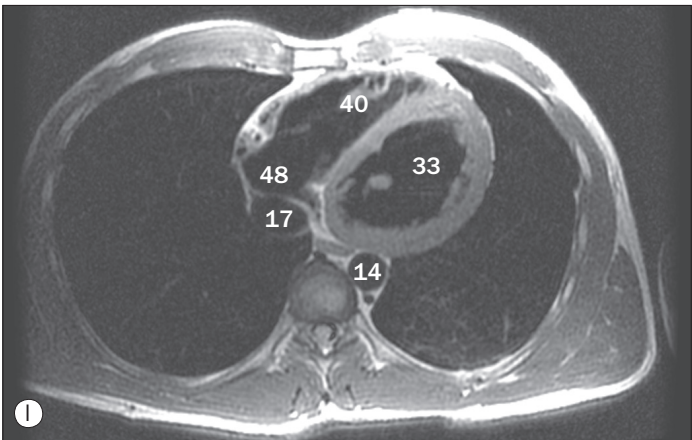
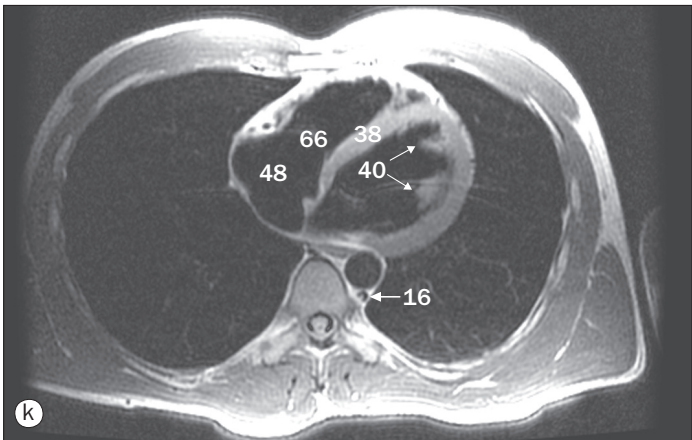
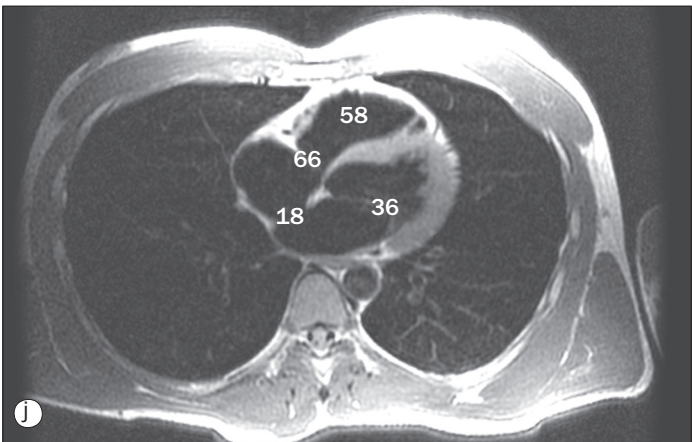
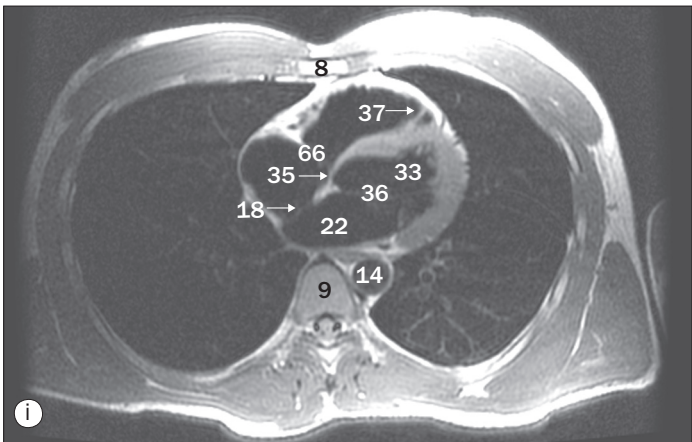
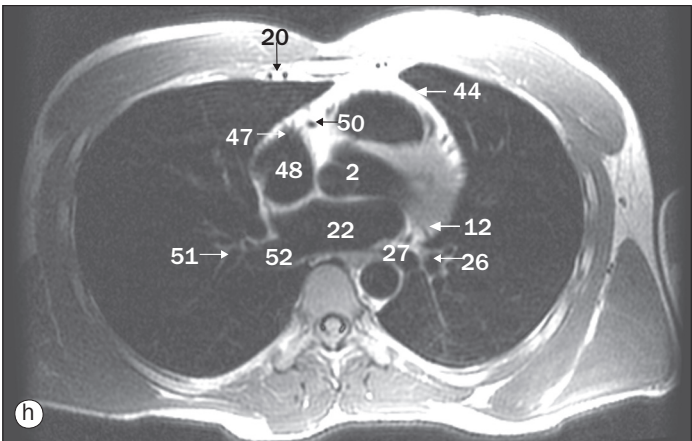
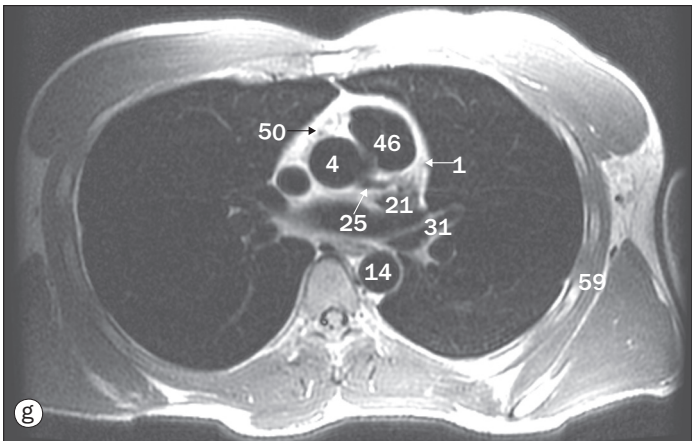


(a)–(f) Thorax, IRM en coupes axiales.

1 Branche interventriculaire antérieure de l'artère coronaire gauche
2 Valve aortique
3 Arc aortique
4 Aorte ascendante
5 Artère axillaire
6 Veine axillaire
7 Veine azygos
8 Corps du sternum
9 Corps vertébral
10 Tronc brachiocéphalique
11 Carina de la trachée

12 Branche circonflexe de l'artère coronaire gauche
13 Clavicule
14 Aorte descendante
15 Muscle érecteur du rachis
16 Veine hémiazygos
17 Veine cave inférieure
18 Septum interatrial
19 Artère intercostale
20 Artère et veine thoraciques internes
21 Auricule gauche
22 Atrium gauche
23 Veine brachiocéphalique gauche

24 Artère carotide commune gauche
25 Artère coronaire gauche
26 Bronche lobaire inférieure gauche
27 Veine pulmonaire inférieure gauche
28 Bronche principale gauche
29 Artère pulmonaire gauche
30 Artère subclavière gauche
31 Bronche lobaire supérieure gauche
32 Veine pulmonaire supérieure gauche
33 Cavité ventriculaire gauche
34 Manubrium sternal
35 Septum interventriculaire membraneux



(a)–(l) Thorax, IRM en coupes axiales.

- | | | |
|---|---|---|
| 36 Valve mitrale | 47 Auricule droite | 58 Cavité ventriculaire droite |
| 37 Bandelette ansiforme | 48 Atrium droit | 59 Muscle dentelé antérieur |
| 38 Septum interventriculaire musculaire | 49 Veine brachiocéphalique droite | 60 Articulation sternoclaviculaire |
| 39 Œsophage | 50 Artère coronaire droite | 61 Muscle subscapulaire |
| 40 Muscles papillaires | 51 Bronche lobaire inférieure droite | 62 Branche lobaire supérieure de l'artère pulmonaire droite |
| 41 Muscle grand pectoral | 52 Veine pulmonaire inférieure droite | 63 Veine cave supérieure |
| 42 Muscle petit pectoral | 53 Bronche principale droite | 64 Trachée |
| 43 Récessus péricardique | 54 Artère pulmonaire droite | 65 Muscle trapèze |
| 44 Péricarde | 55 Veine intercostale supérieure droite | 66 Valve tricuspide |
| 45 Tronc pulmonaire | 56 Bronche lobaire supérieure droite | |
| 46 Valve pulmonaire | 57 Veine pulmonaire supérieure droite | |



Artériographie pulmonaire, phase artérielle.

- 1 Artère antérieure (lobe supérieur)
- 2 Artère basale antérieure
- 3 Artère apicale (lobe supérieur)
- 4 Cathéter introduit dans l'artère pulmonaire principale via la veine fémorale, la veine cave inférieure, l'atrium droit et le ventricule droit

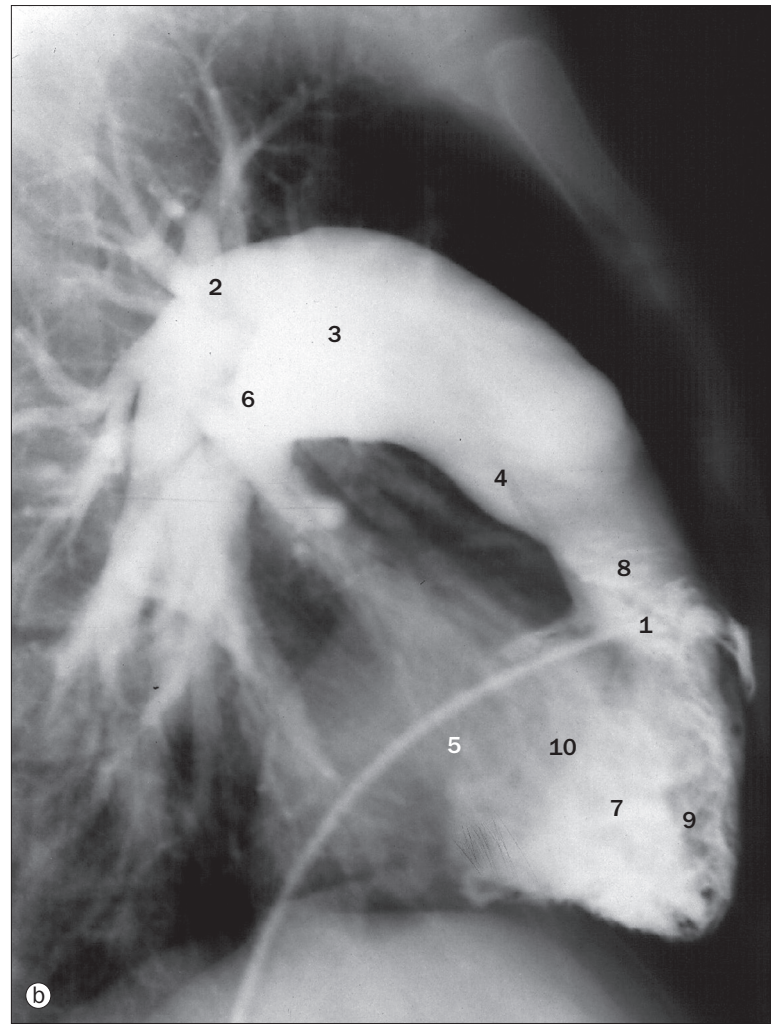
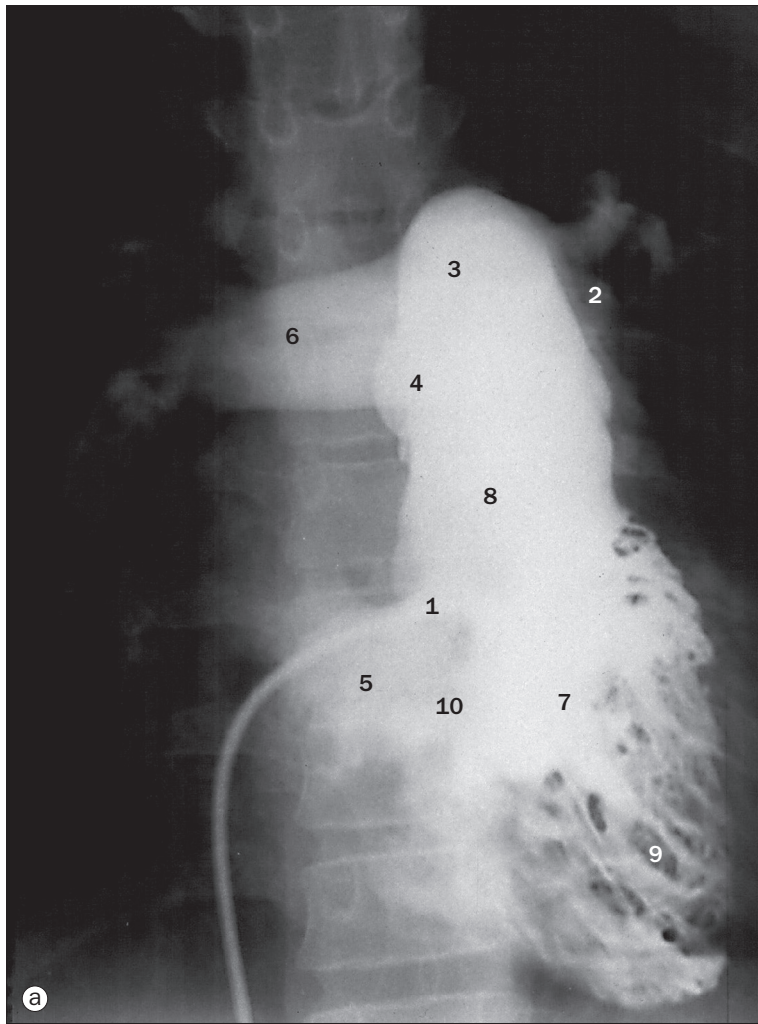
- 5 Artère linguale inférieure
- 6 Artère pulmonaire du lobe inférieur
- 7 Artère latérale (lobe moyen)
- 8 Artère basale latérale
- 9 Artère pulmonaire gauche
- 10 Artère médiale (lobe moyen)
- 11 Artère basale médiale

- 12 Artère pulmonaire du lobe moyen
- 13 Artère postérieure (lobe supérieur)
- 14 Artère basale postérieure
- 15 Artère pulmonaire droite
- 16 Artère linguale supérieure
- 17 Artère pulmonaire du lobe supérieur



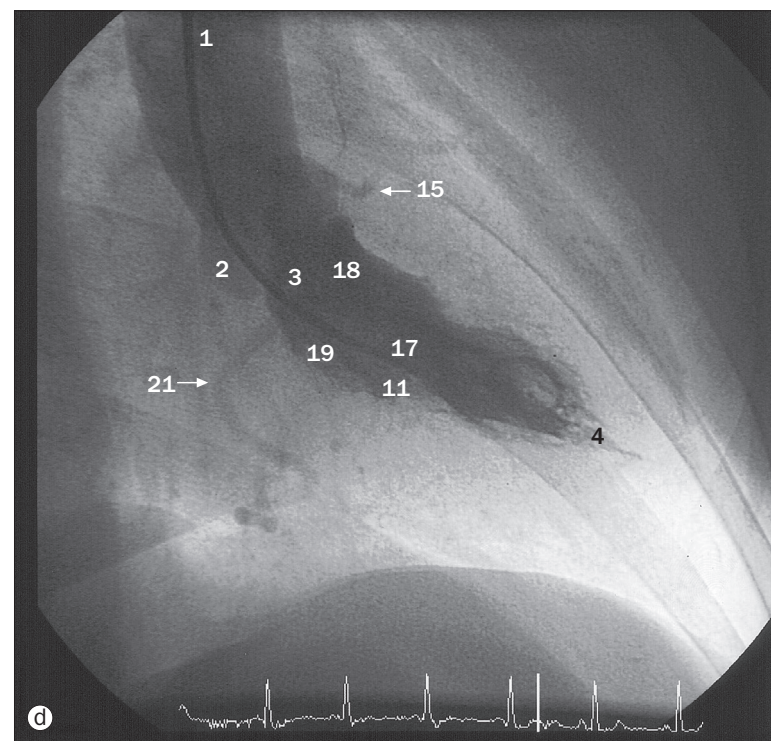
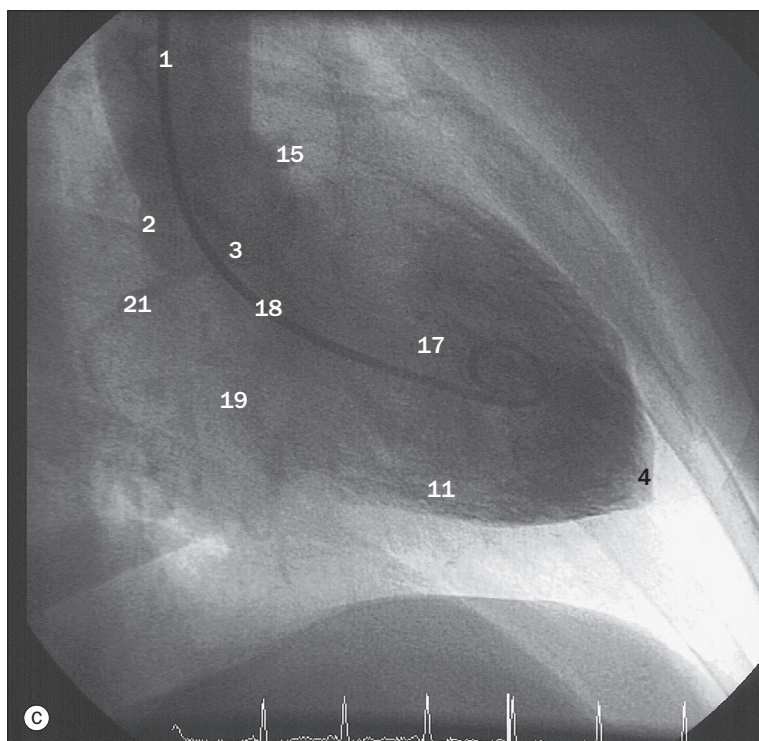
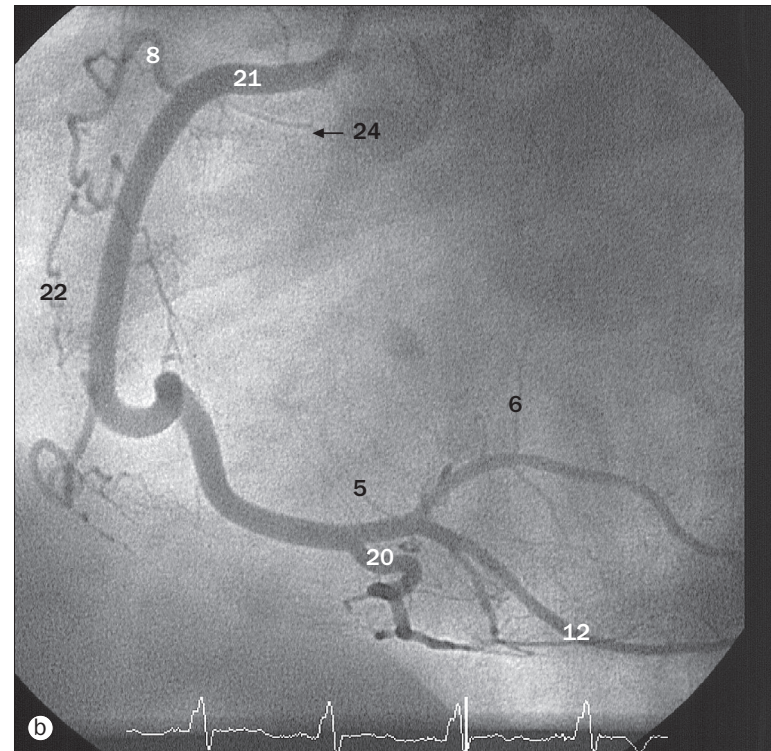
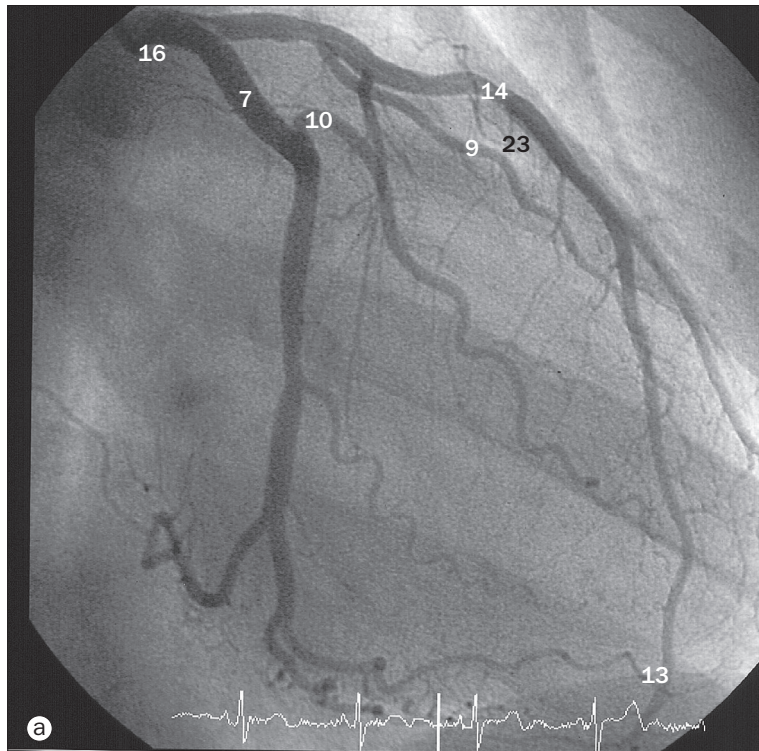
Artériographie pulmonaire, phase veineuse.

- | | |
|--------------------------------------|--------------------------------------|
| 1 Aorte | 6 Veine pulmonaire supérieure gauche |
| 2 Arc aortique | 7 Valve mitrale |
| 3 Auricule gauche | 8 Veine pulmonaire inférieure droite |
| 4 Atrium gauche | 9 Veine pulmonaire supérieure droite |
| 5 Veine pulmonaire inférieure gauche | |



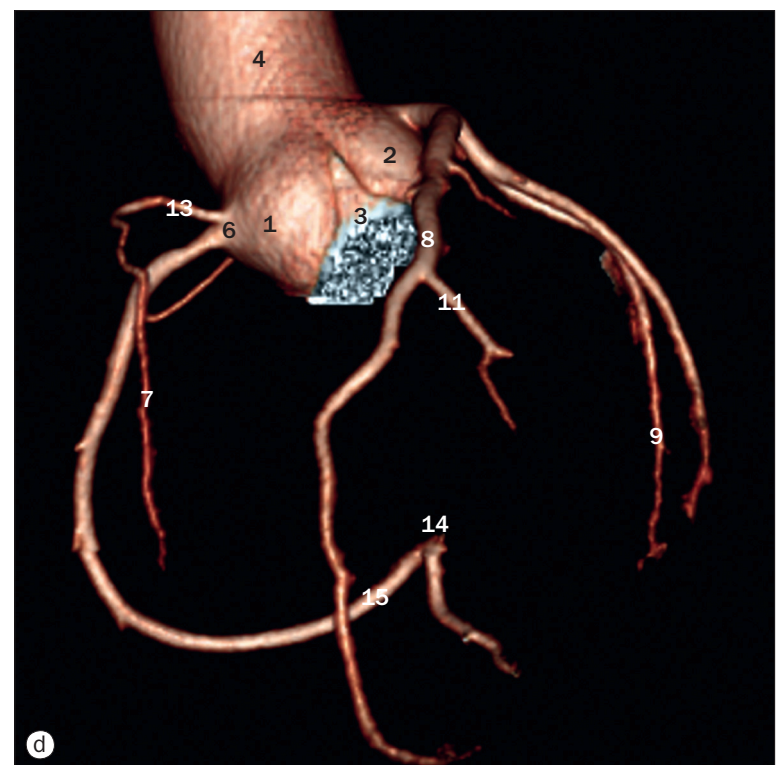
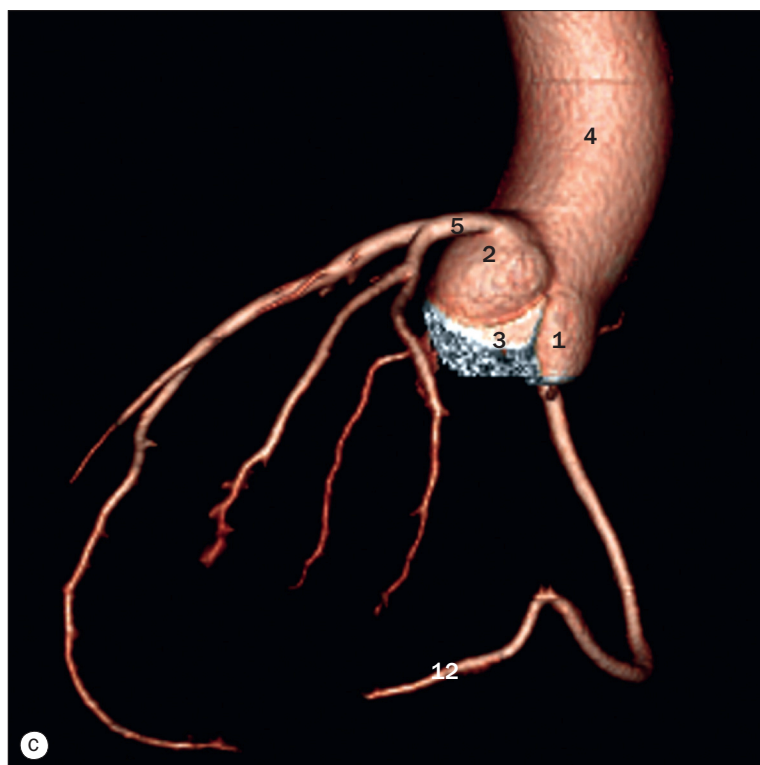
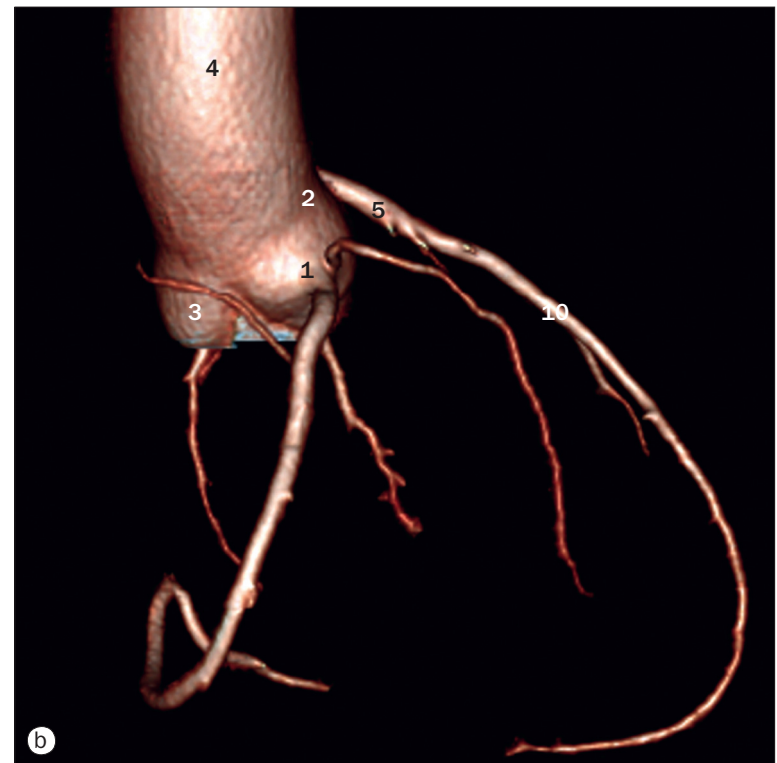
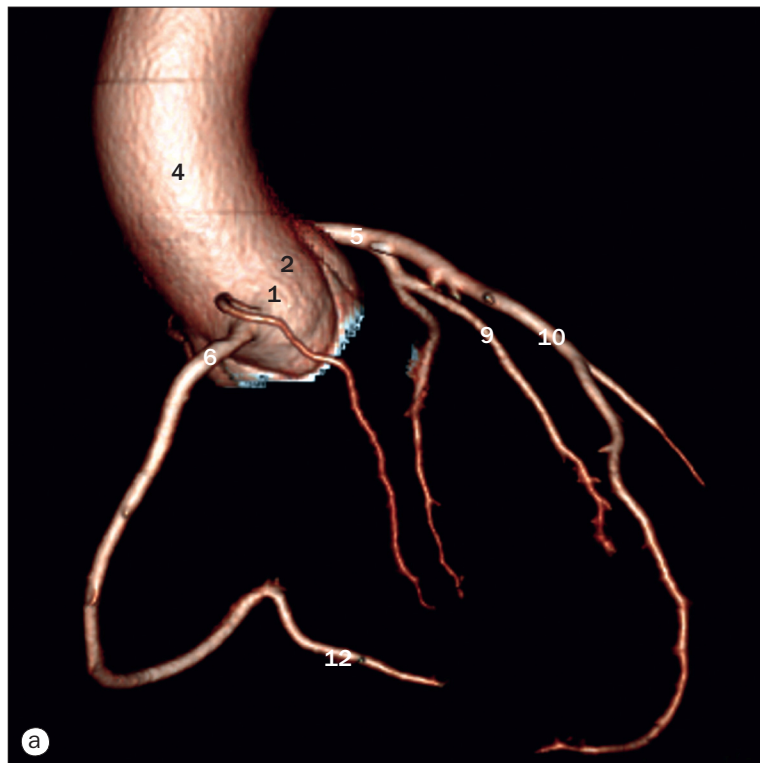
Angiographies du ventricule droit, (a) incidence de face, (b) incidence de profil.

- 1 Cathéter introduit dans le ventricule droit via la veine cave inférieure et l'atrium droit
- 2 Artère pulmonaire principale gauche
- 3 Artère pulmonaire
- 4 Valve pulmonaire
- 5 Atrium droit
- 6 Artère pulmonaire principale droite
- 7 Ventricule droit
- 8 Infundibulum pulmonaire du ventricule droit
- 9 Trabécules du ventricule droit
- 10 Valve tricuspide



(a) Artériographie coronaire gauche, (b) artériographie coronaire droite, (c) angiographie ventriculaire gauche, phase diastolique, (d) angiographie ventriculaire gauche, phase systolique.

- | | | |
|-------------------------------------|---|---|
| 1 Aorte | 10 Première branche marginale obtuse de l'artère circonflexe | 16 Tronc principal de l'artère coronaire gauche |
| 2 Sinus de l'aorte | 11 Paroi inférieure du ventricule gauche | 17 Cavité ventriculaire gauche |
| 3 Valve aortique | 12 Branche ventriculaire latérale pour le ventricule gauche | 18 Infundibulum aortique du ventricule gauche |
| 4 Apex du ventricule gauche | 13 Artère interventriculaire antérieure gauche se courbant autour de l'apex du cœur | 19 Valve mitrale |
| 5 Artère du nœud atrioventriculaire | 14 Branche interventriculaire antérieure gauche (descendante antérieure gauche) | 20 Artère septale interventriculaire postérieure (artère descendante postérieure) |
| 6 Branche atriale gauche | 15 Artère coronaire gauche | 21 Artère coronaire droite |
| 7 Artère circonflexe | | 22 Artères marginales droites |
| 8 Cône artériel | | 23 Artères septales |
| 9 Artères diagonales | | 24 Artère du nœud sinuatrial |

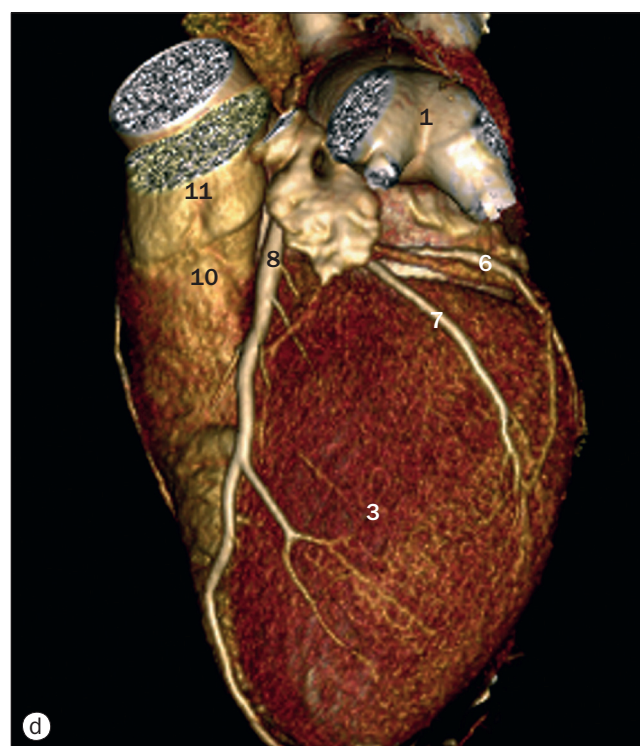
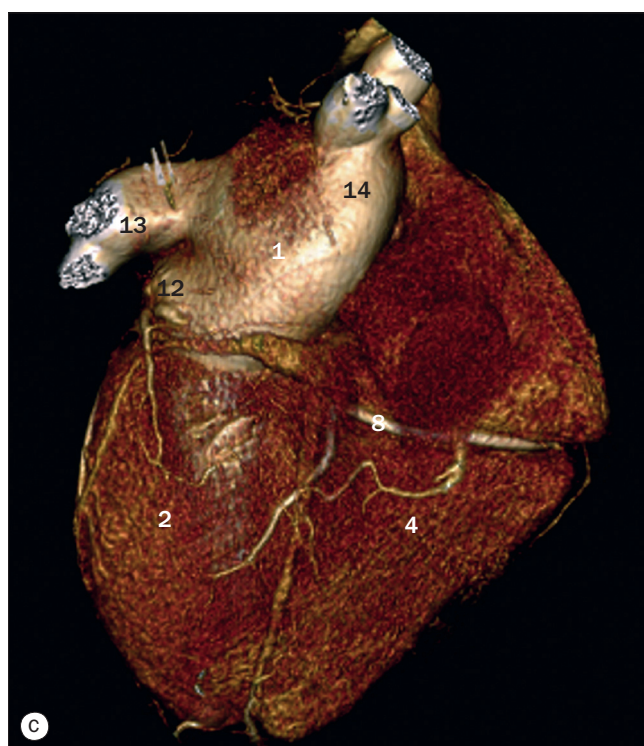
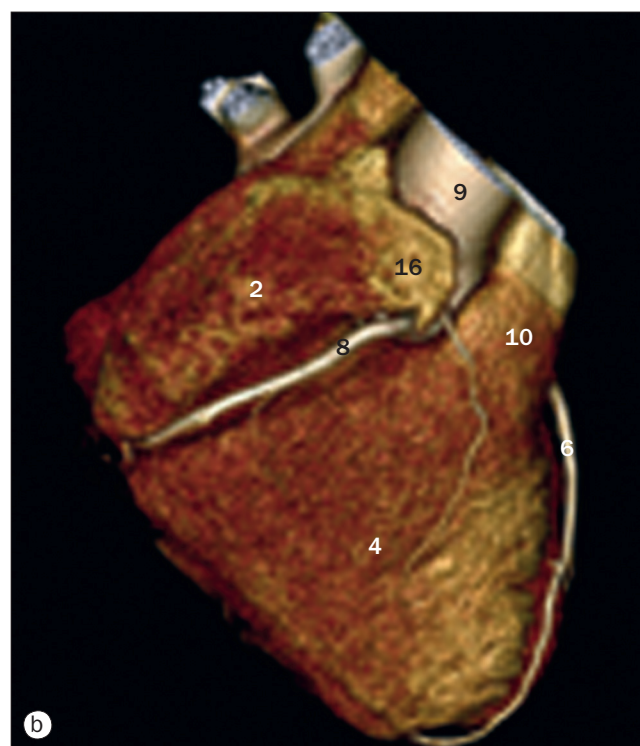


(a)–(d) Angiographies coronaires par TDM 3D.

1 Sinus coronaire droit
2 Sinus coronaire gauche
3 Sinus non coronaire
4 Aorte ascendante
5 Artère coronaire gauche
6 Artère coronaire droite

7 Branche ventriculaire droite de l'artère coronaire droite
8 Artère circonflexe
9 Artère diagonale
10 Artère descendante antérieure gauche
11 Artère marginale obtuse

12 Artère marginale
13 Cône artériel droit
14 Artère du nœud atrioventriculaire
15 Branche interventriculaire postérieure, artère coronaire droite

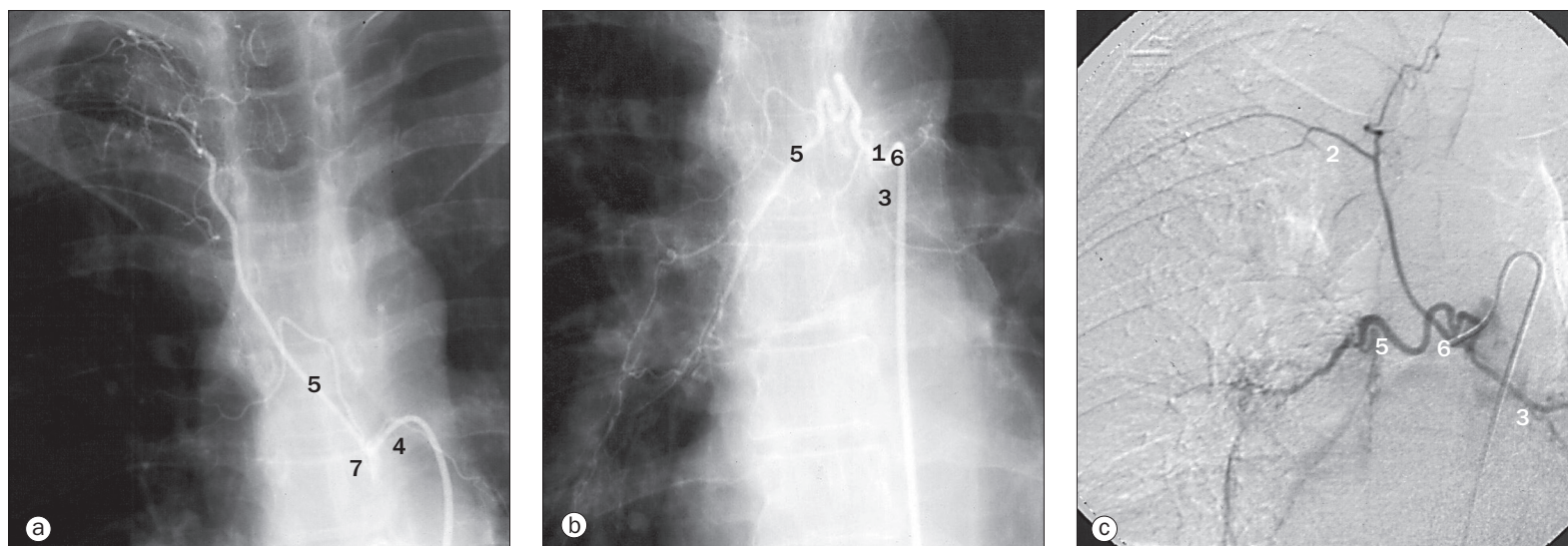


(a)–(d) Reconstructions du cœur par TDM 3D.

- 1 Atrium gauche
- 2 Atrium droit
- 3 Ventricule gauche
- 4 Ventricule droit
- 5 Artère coronaire gauche
- 6 Branche descendante antérieure de l'artère coronaire gauche

- 7 Artère circonflexe
- 8 Artère coronaire droite
- 9 Racine aortique
- 10 Infundibulum pulmonaire
- 11 Artère pulmonaire
- 12 Auricule gauche
- 13 Veines pulmonaires droites

- 14 Veines pulmonaires gauches
- 15 Veine cave supérieure
- 16 Auricule droite



(a)–(c) Artériographies des bronches droites.

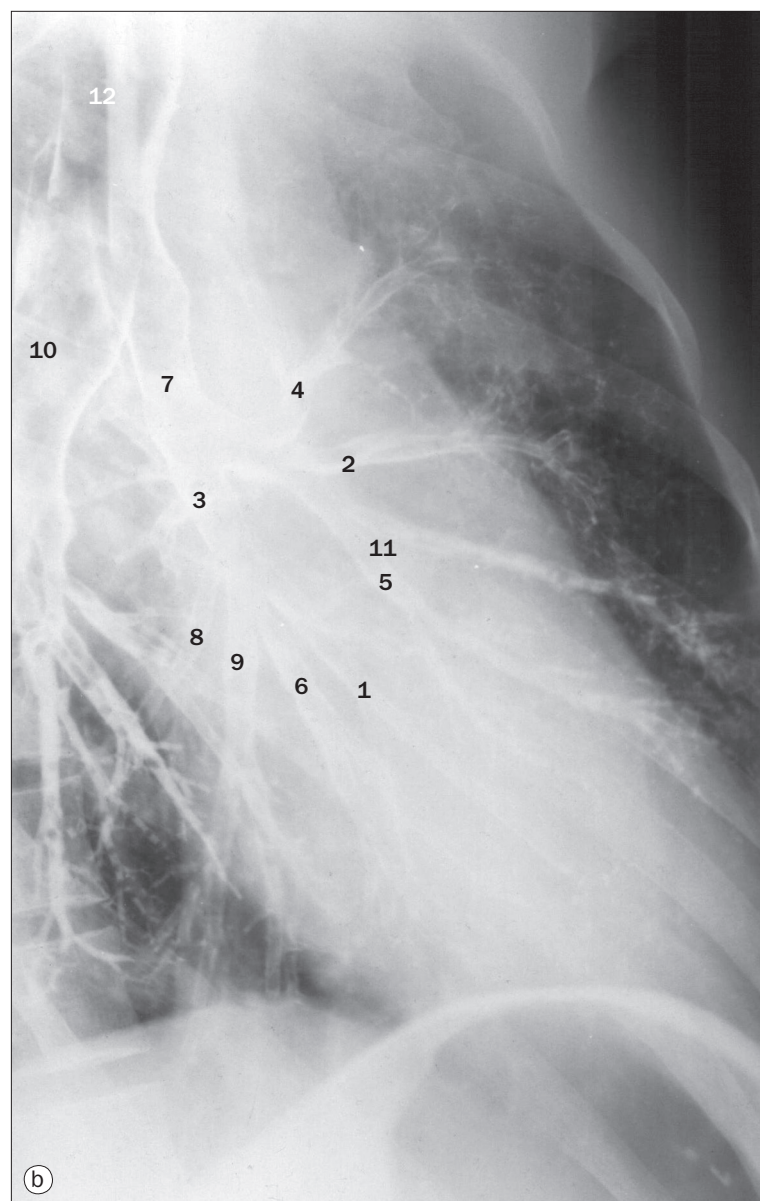
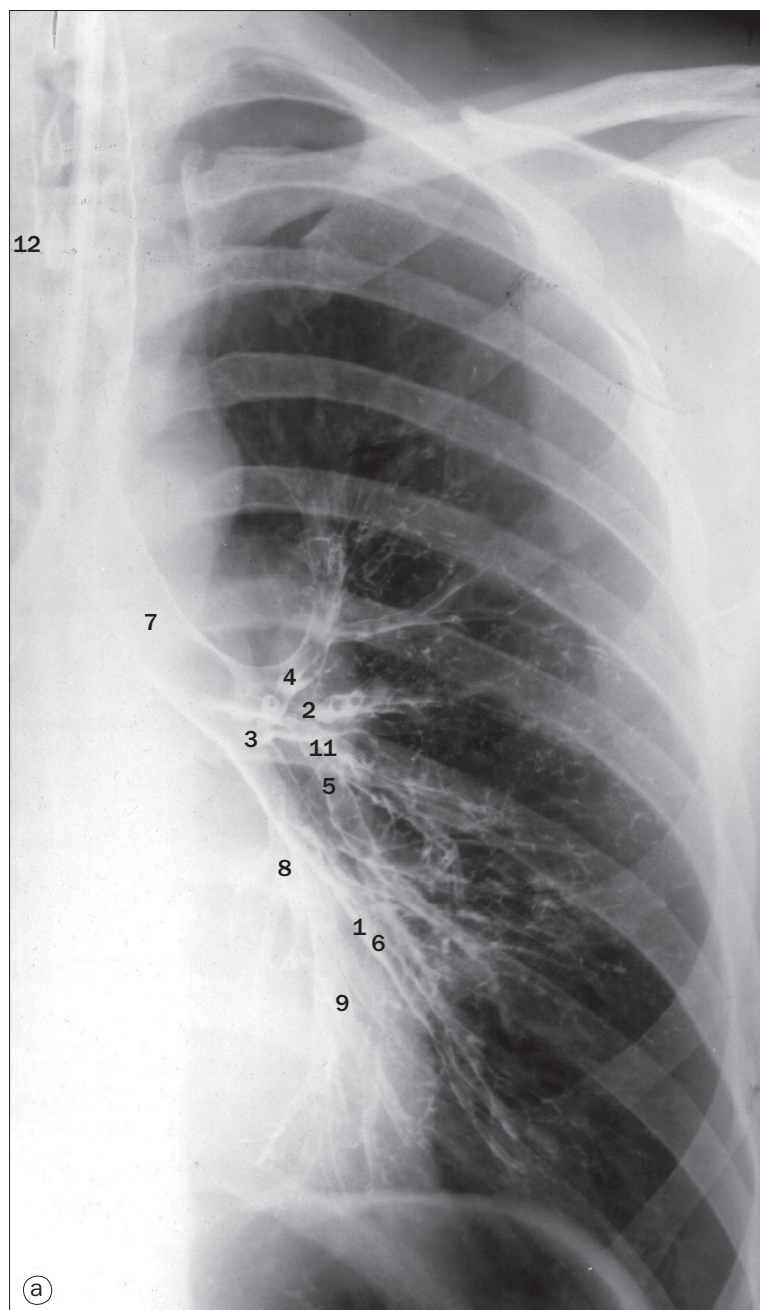
Il existe une importante variabilité de l'anatomie des artères bronchiques, mais la plupart d'entre elles naissent de l'aorte thoracique descendante, au-dessus du niveau de la bronche principale gauche, entre le bord supérieur de la 5^e vertèbre thoracique et le bord inférieur de la 6^e vertèbre thoracique. Le nombre d'artères bronchiques de chaque côté peut varier de un à quatre. Habituellement, il existe un vaisseau pour le poumon droit et deux pour le gauche. Des artères bronchiques accessoires peuvent naître de l'artère brachiocéphalique et des artères subclavières, ou bien d'autres branches, comme les artères thoracique interne, péricardiophrénique et œsophagienne. Dans de nombreux cas, l'artère bronchique droite est issue du tronc intercostobronchique, mais, ici, celui-ci est très court et se divise presque immédiatement en une artère bronchique droite. Celle-ci se dirige vers le hile du poumon et la première artère intercostale aortique droite. Un reflux de remplissage de l'artère bronchique gauche est visible. Une deuxième artère bronchique, volumineuse et qui a été cathétérisée (b), possède un tronc commun qui émerge à l'avant de l'aorte, donnant naissance à une artère bronchique droite et une gauche.

- 1 Tronc bronchique commun
- 2 Artère intercostale
- 3 Branches bronchiques gauches
- 4 Reflux de remplissage dans l'artère bronchique gauche
- 5 Artère bronchique droite
- 6 Extrémité du cathéter dans le tronc artériel bronchique commun
- 7 Extrémité du cathéter dans le tronc intercostobronchique



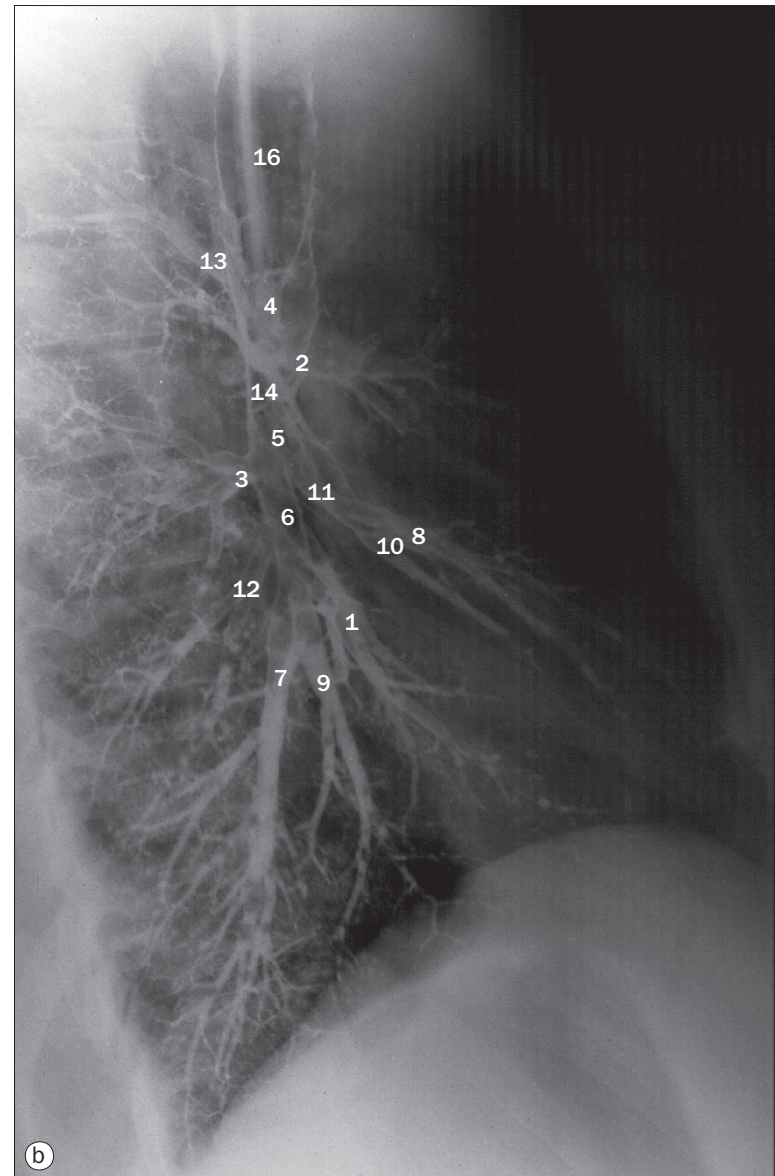
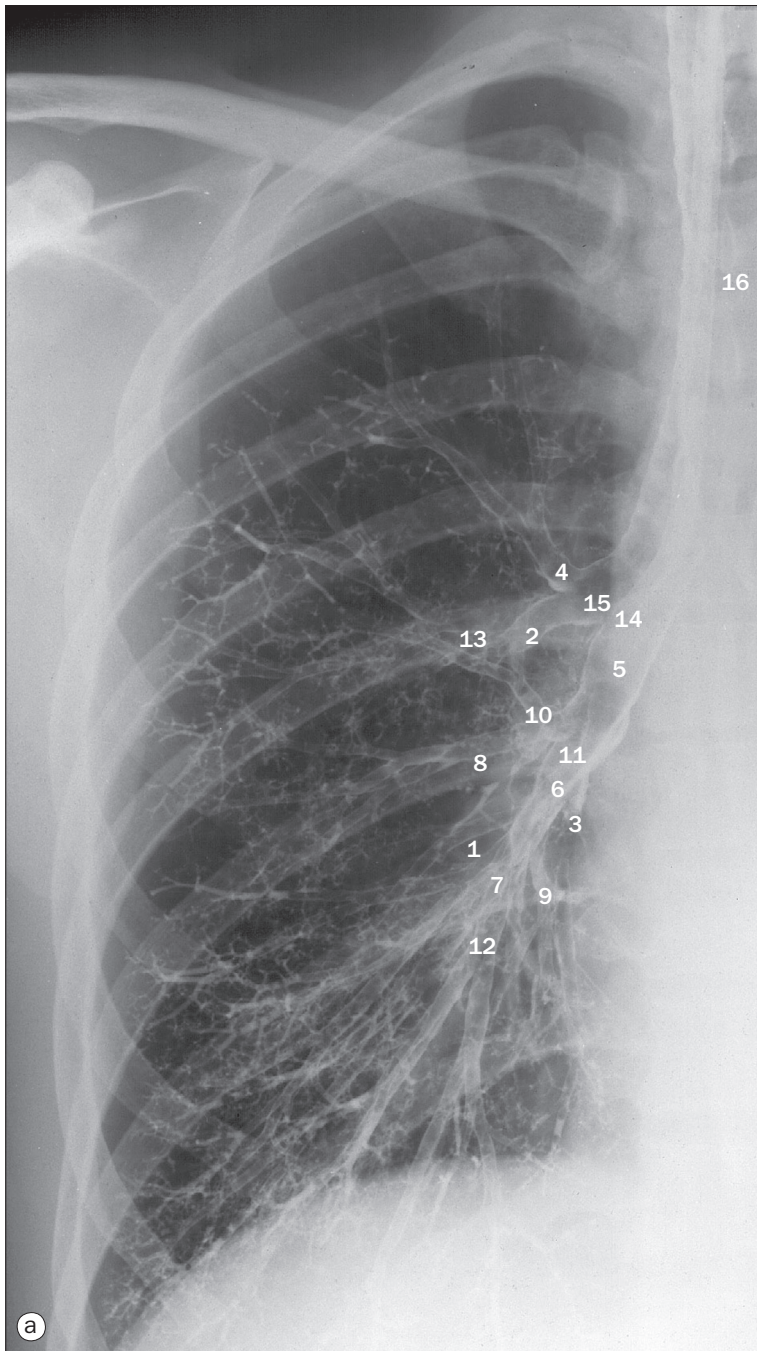
(d) Phlébographie de la veine azygos. Dans le thorax, les veines vertébrales se drainent dans les veines intercostales, tandis que dans la région lombale, les veines lombales se drainent dans les veines lombales ascendantes. La veine lombale ascendante droite devient la veine azygos à son entrée dans le thorax, la veine lombale ascendante gauche devenant la veine hémiazygos. Au niveau de la 4^e vertèbre thoracique, la veine azygos s'incurve vers l'avant (arc de la veine azygos) pour s'aboucher dans la veine cave supérieure. La veine hémiazygos croise pour s'aboucher dans la veine azygos au niveau des corps des 8^e ou 9^e vertèbres thoraciques. La veine hémiazygos accessoire est continue avec la veine hémiazygos en bas, et la veine intercostale supérieure en haut.

- 1 Veine hémiazygos accessoire
- 2 Arc de la veine azygos
- 3 Veine azygos
- 4 Veine hémiazygos
- 5 Veines intercostales
- 6 Artéfact de soustraction provoqué par le mouvement du cœur et du cathéter
- 7 Extrémité du cathéter introduit via la veine fémorale dans la veine cave supérieure et la veine azygos



Poumon gauche, bronchographie, (a) incidence de face, (b) incidence oblique.

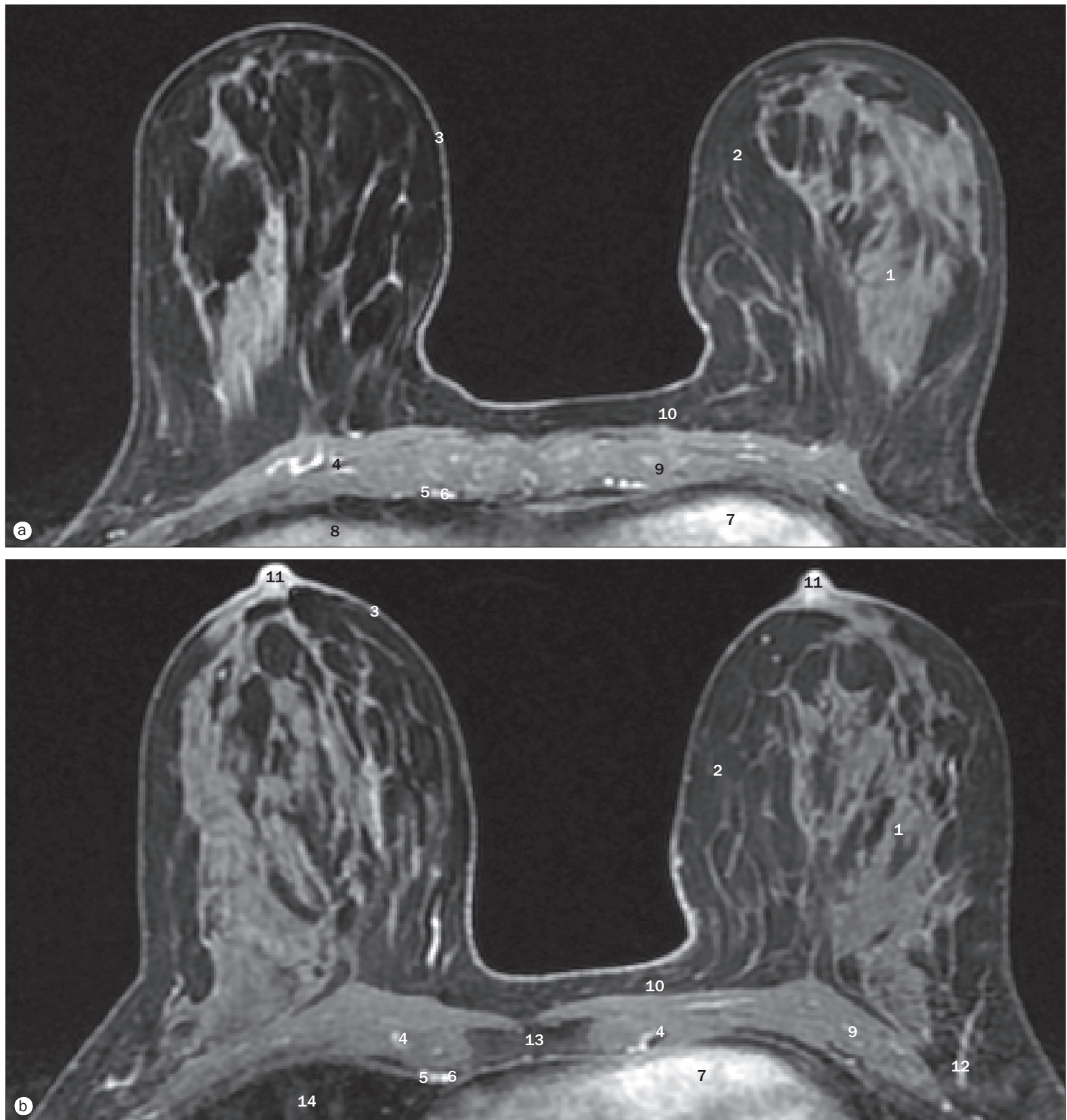
- 1 Bronche segmentaire basale antérieure
- 2 Bronche segmentaire antérieure
- 3 Bronche segmentaire apicale (supérieure)
- 4 Bronche segmentaire apicopostérieure
- 5 Bronche segmentaire linguale inférieure
- 6 Bronche segmentaire basale latérale
- 7 Bronche principale gauche
- 8 Bronche segmentaire basale médiale
- 9 Bronche segmentaire basale postérieure
- 10 Bronche principale droite
- 11 Bronche segmentaire linguale supérieure
- 12 Trachée



Poumon droit, bronchographie, (a) incidence de face, (b) incidence de profil.

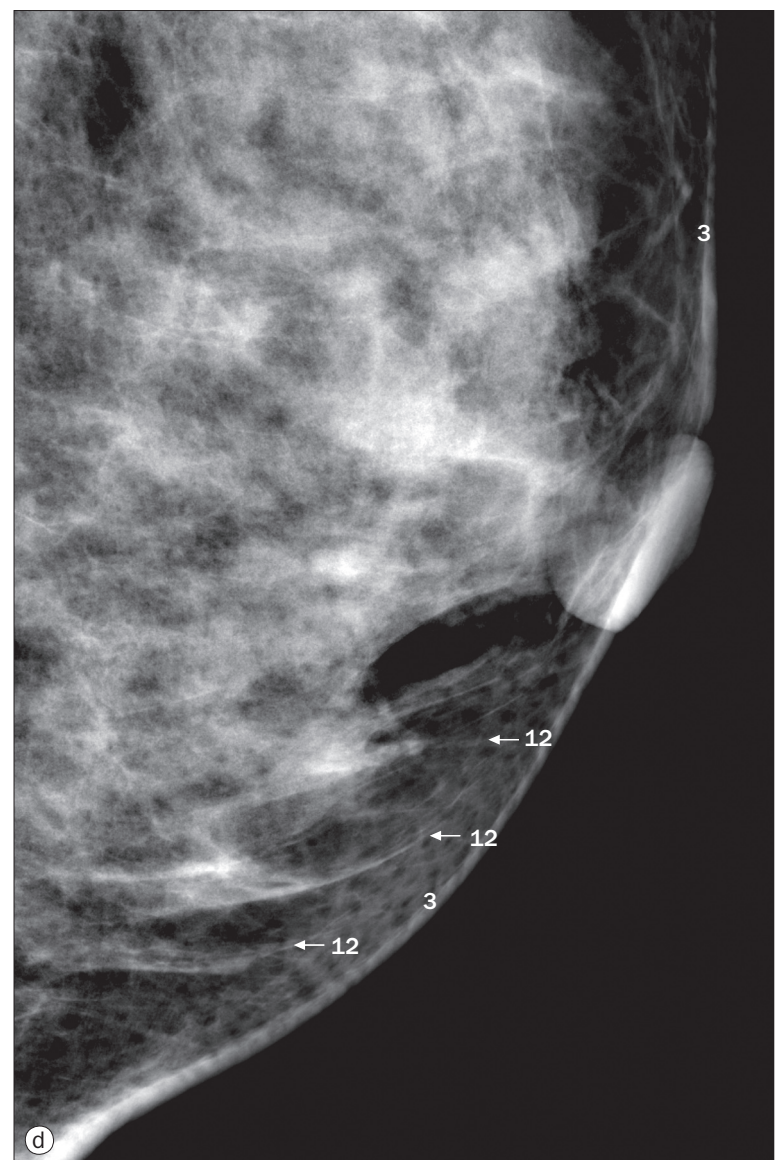
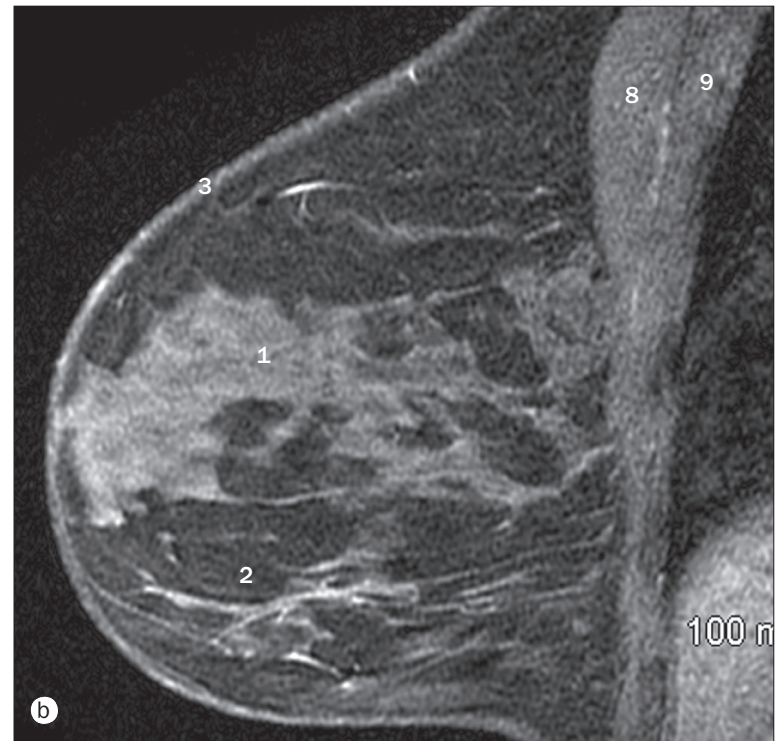
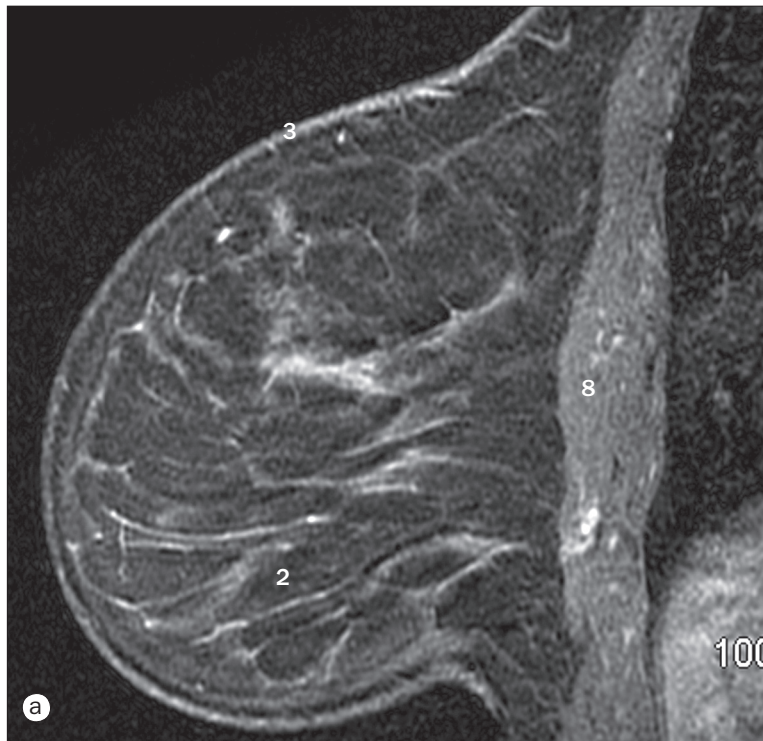
- 1 Bronche segmentaire basale antérieure
- 2 Bronche segmentaire antérieure
- 3 Bronche segmentaire apicale (supérieure)
- 4 Bronche segmentaire apicale
- 5 Bronche intermédiaire
- 6 Bronche lobaire inférieure
- 7 Bronche segmentaire basale latérale
- 8 Bronche segmentaire latérale du lobe moyen

- 9 Bronche segmentaire basale médiale
- 10 Bronche segmentaire médiale du lobe moyen
- 11 Bronche lobaire moyenne
- 12 Bronche segmentaire basale postérieure
- 13 Bronche segmentaire postérieure
- 14 Bronche principale droite
- 15 Bronche lobaire supérieure droite
- 16 Trachée



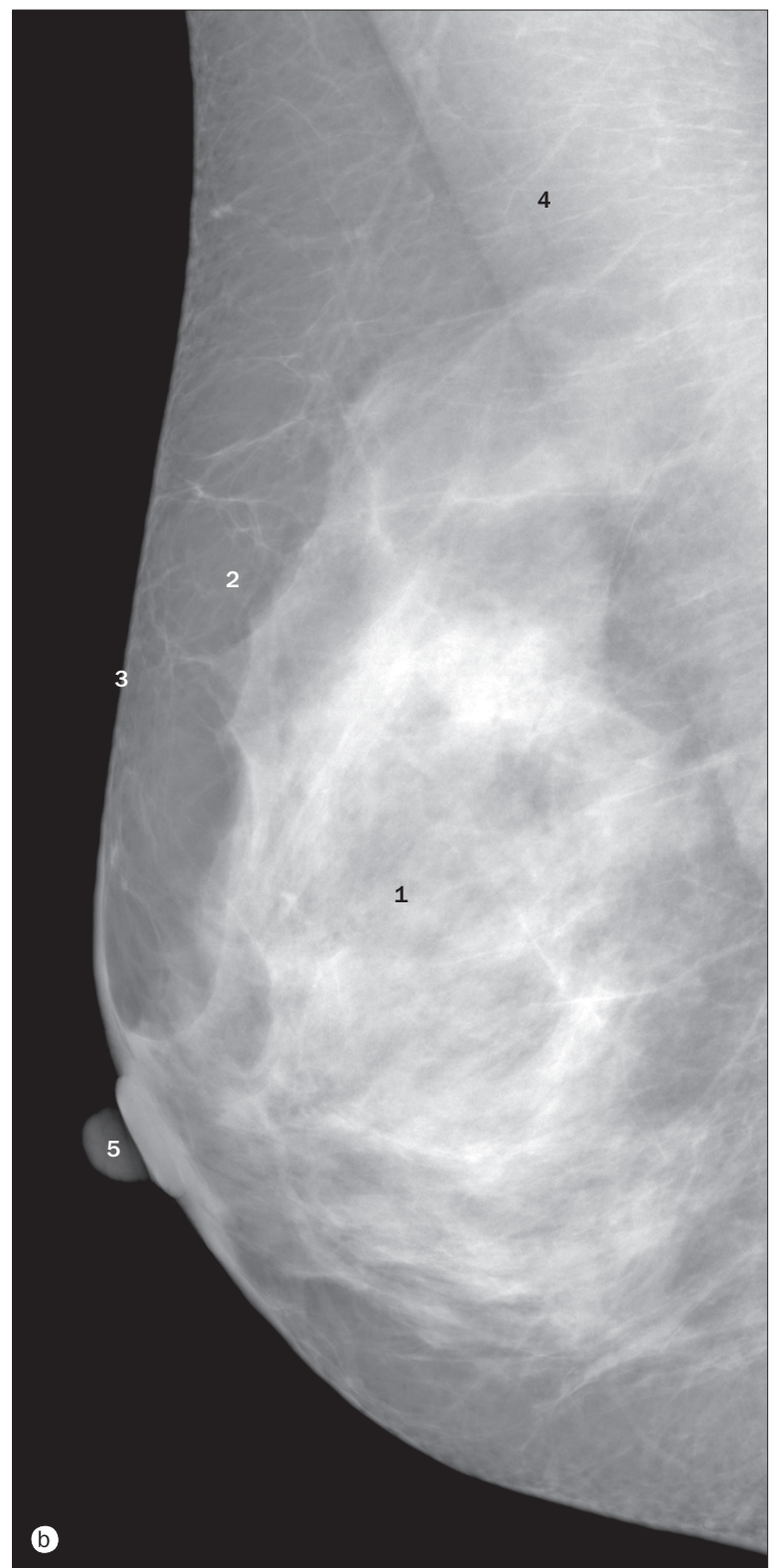
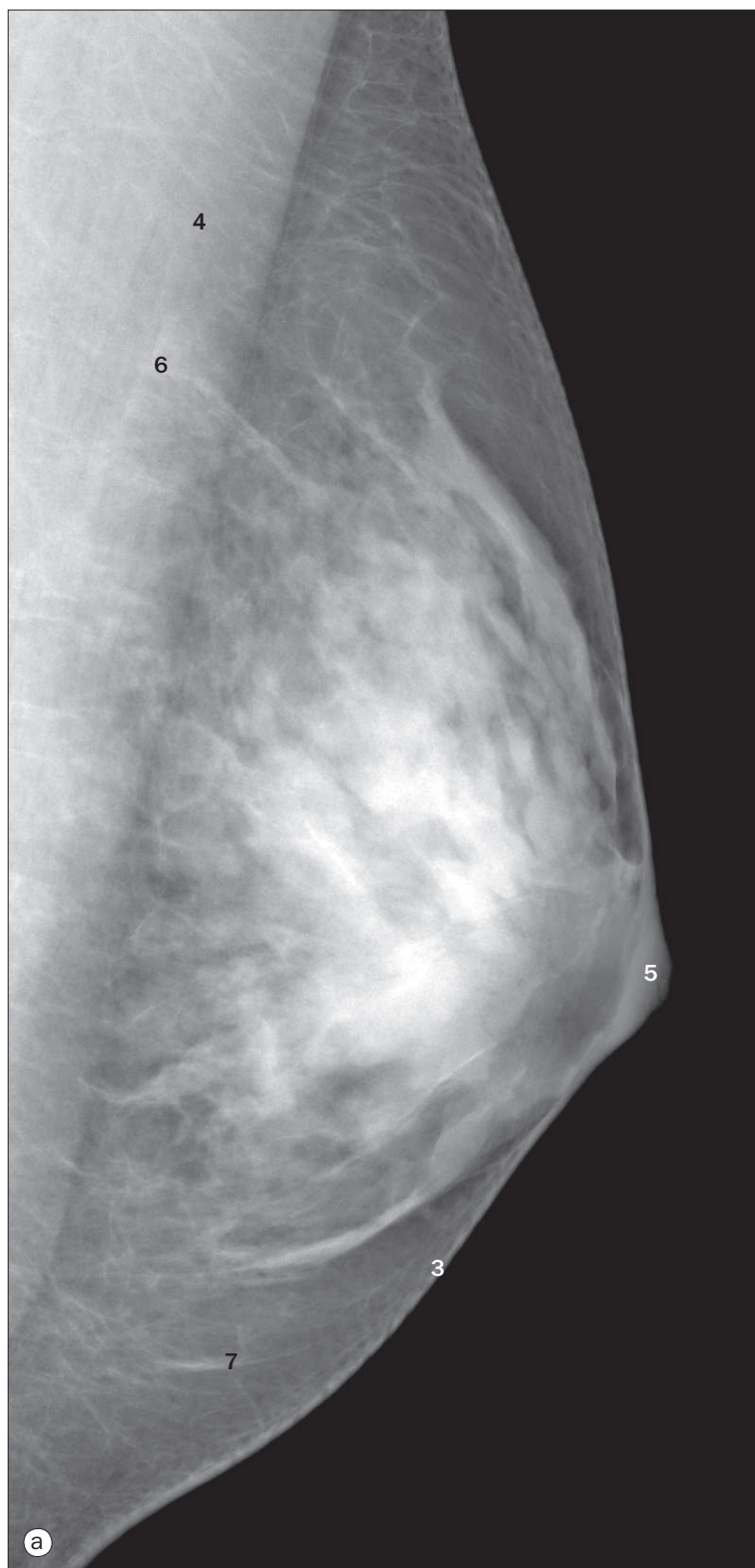
Mammographies, en IRM.

- | | | |
|--|-------------------------------|--|
| 1 Tissu fibroglandulaire (du sein droit) | 6 Artère thoracique médiale | 12 Branches intrathoraciques de l'artère thoracique latérale |
| 2 Tissu adipeux du sein | 7 Cœur | 13 Sternum |
| 3 Peau | 8 Foie | 14 Lobe moyen du poumon droit |
| 4 Branche perforante antérieure de l'artère thoracique médiale | 9 Muscle grand pectoral | |
| 5 Veine thoracique médiale | 10 Fascia pectoral antérieur | |
| | 11 Mamelon/complexe aréolaire | |



Mammographies, (a)–(c) en IRM, (d) radiographique.

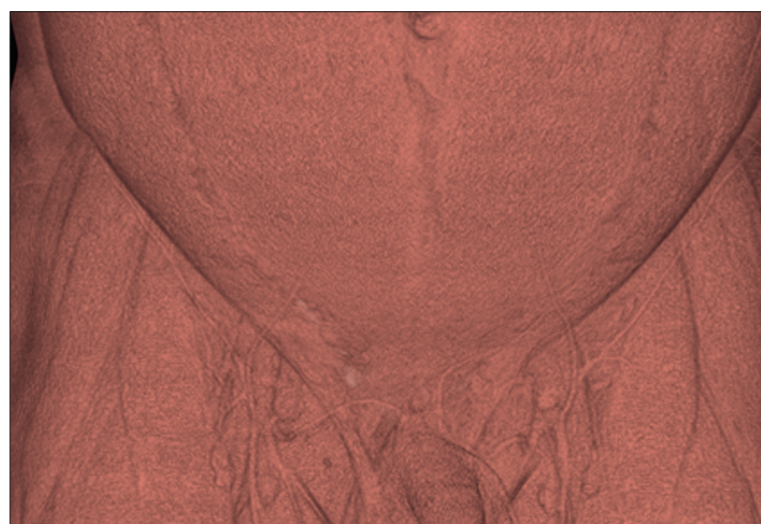
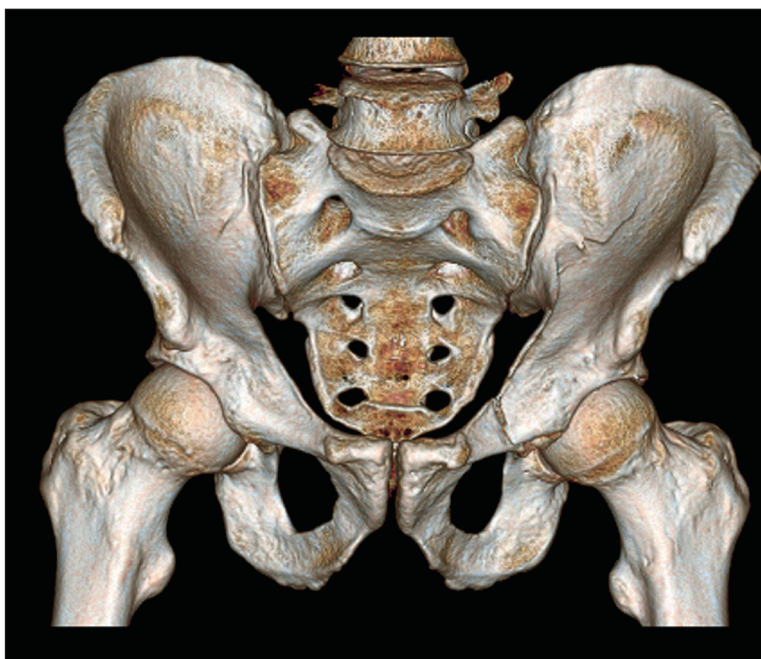
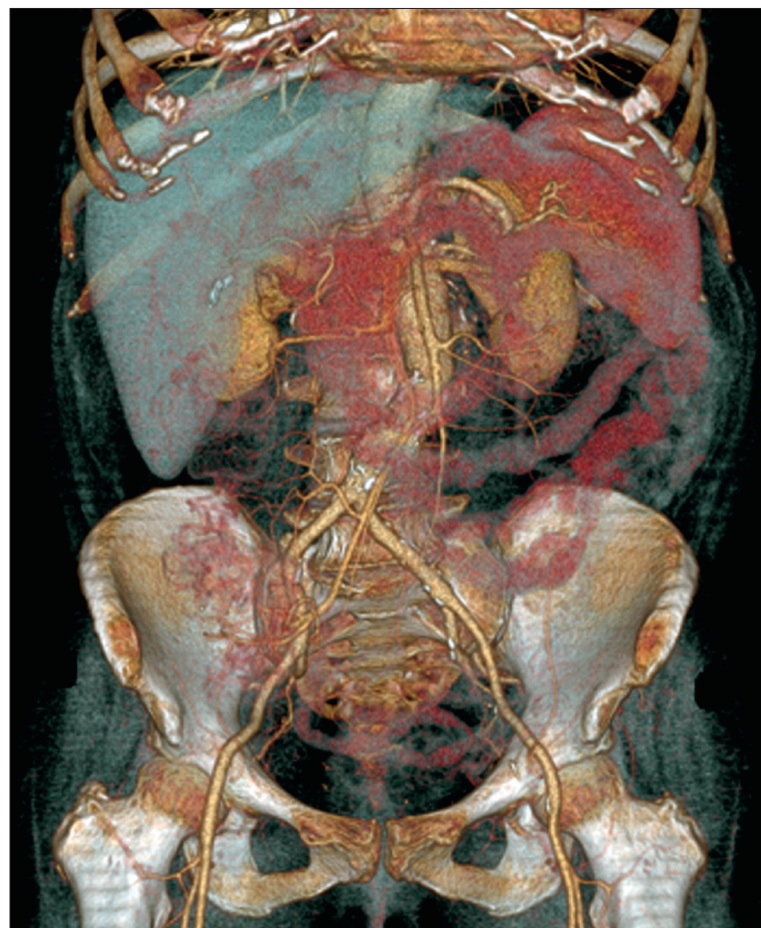
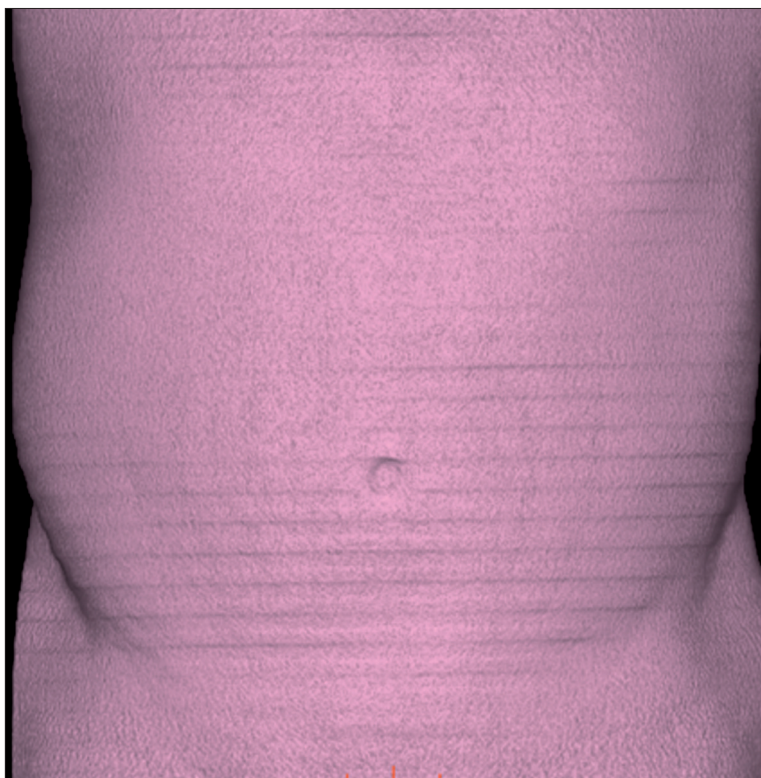
- | | |
|--|------------------------------|
| 1 Tissu fibroglandulaire (du sein droit) | 6 Cœur |
| 2 Tissu adipeux du sein | 7 Foie |
| 3 Peau | 8 Muscle grand pectoral |
| 4 Branche perforante antérieure de l'artère thoracique médiale | 9 Muscle petit pectoral |
| 5 Artère thoracique médiale | 10 Fascia pectoral antérieur |
| | 11 Vaisseaux intratoraciques |
| | 12 Ligaments de Cooper |

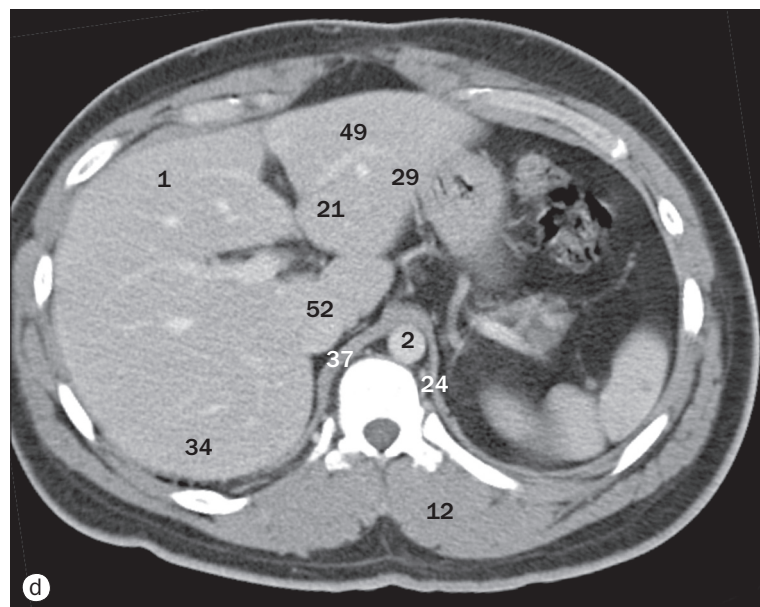
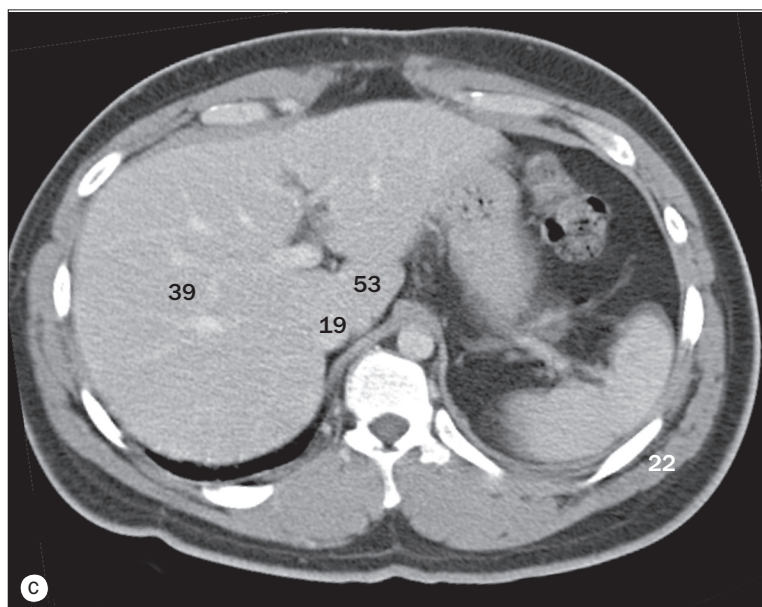
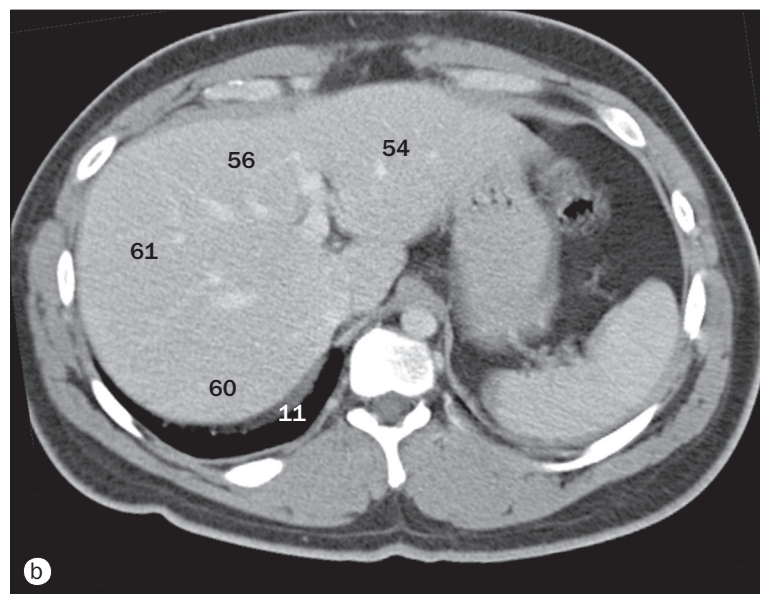
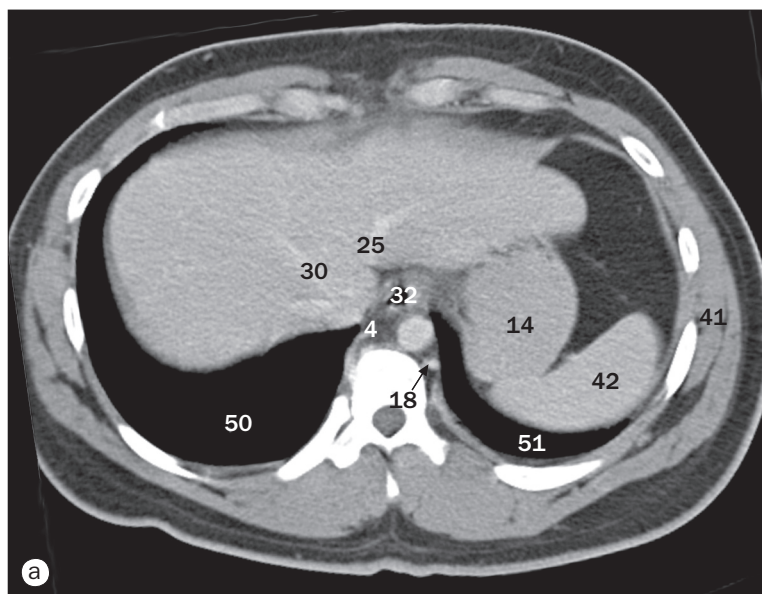


Mammographies.

1 Tissu fibroglandulaire (du sein droit)
2 Tissu adipeux du sein
3 Peau
4 Muscle grand pectoral

5 Mamelon/complexe aréolaire
6 Vaisseau
7 Ligament de Cooper

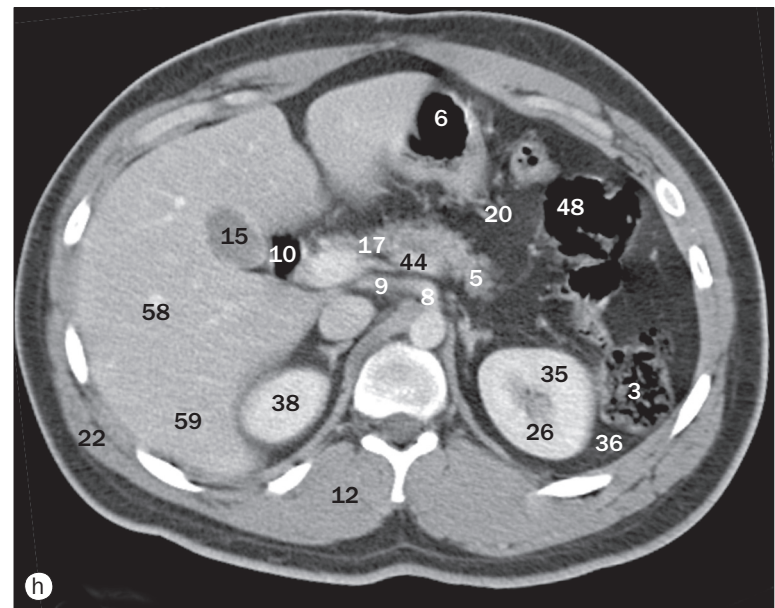
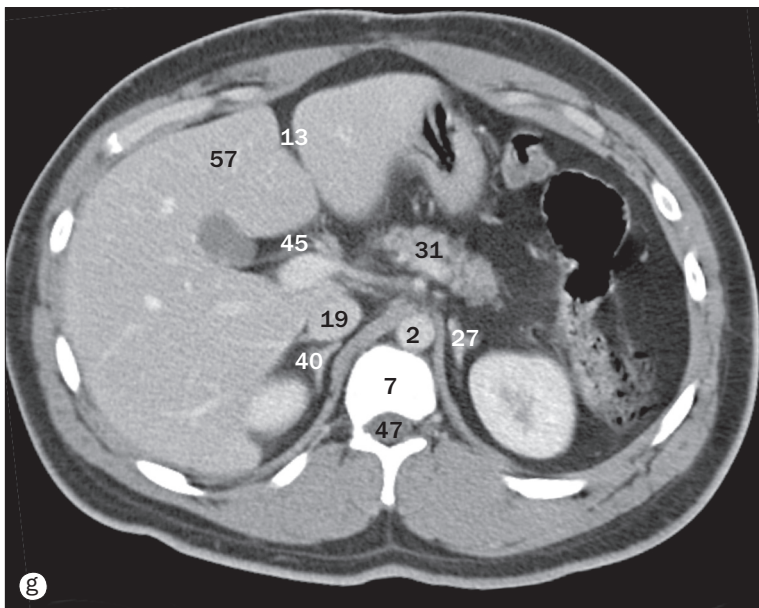
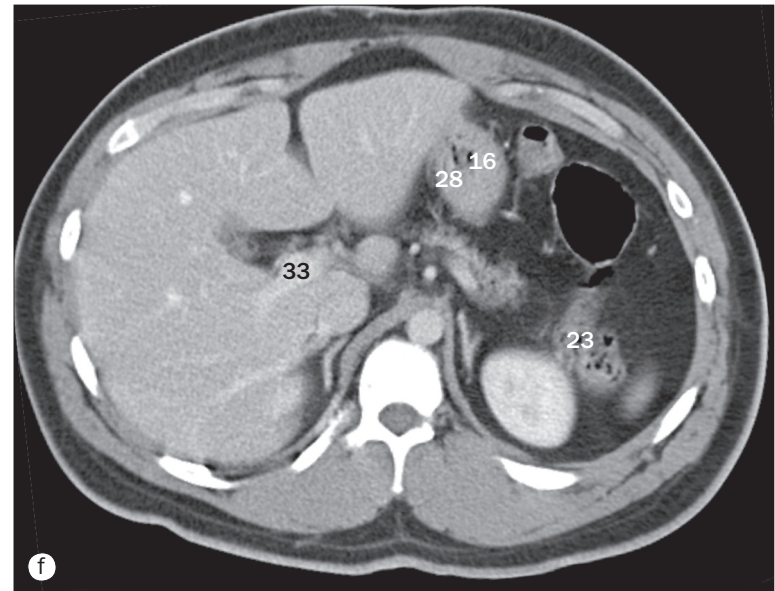
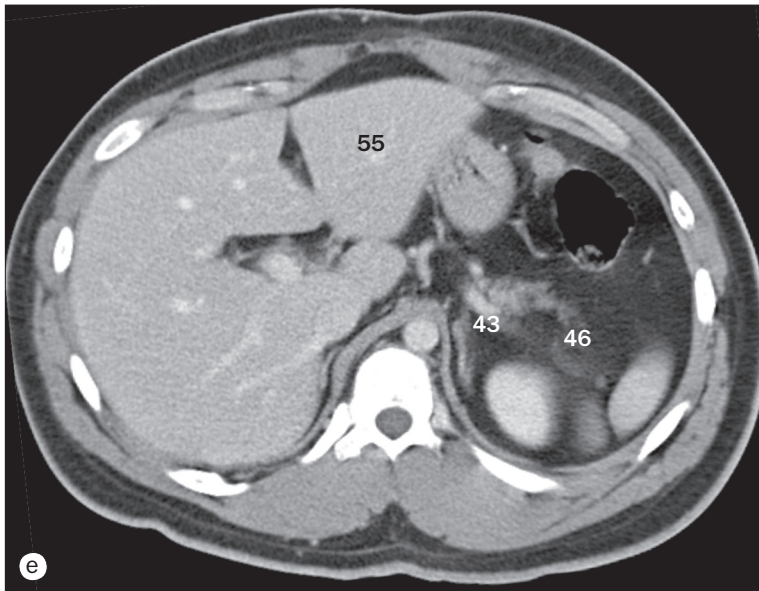
5**Abdomen et pelvis – Coupes**



(a)–(h) Abdomen et pelvis d'un homme, TDM séquentielle en coupes axiales, de supérieur à inférieur.

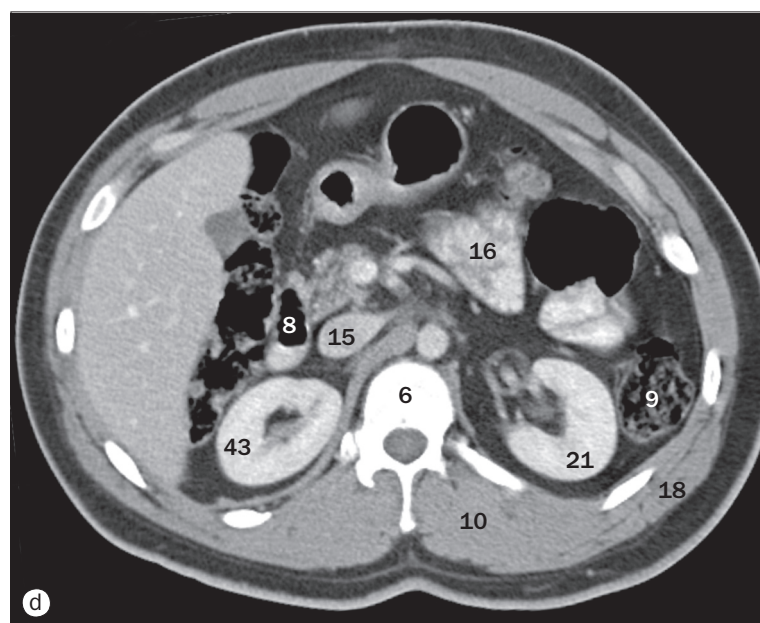
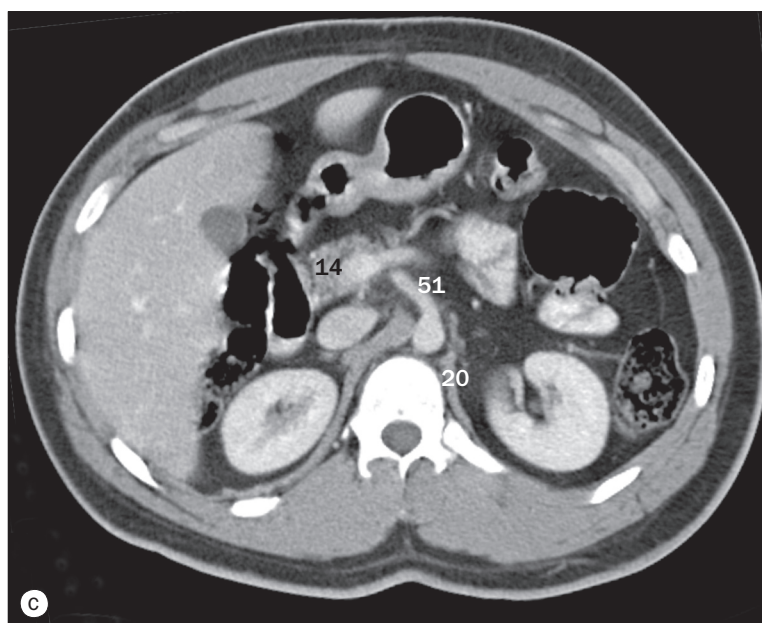
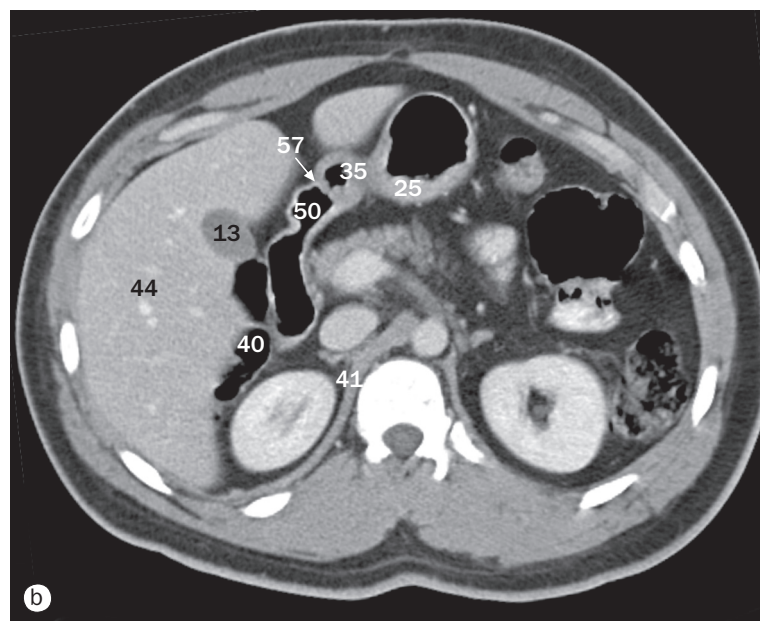
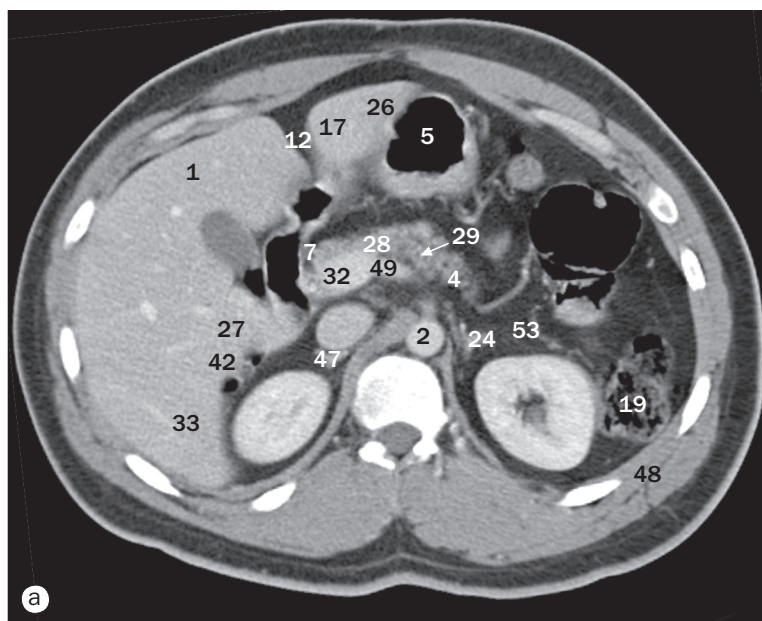
Note : les pages 124–135 montrent des images séquentielles de l'abdomen et du pelvis du même patient.

- | | | |
|--|---|---|
| 1 Segment antérieur du lobe droit du foie | 14 Fundus gastrique | 27 Glande surrénale gauche |
| 2 Aorte | 15 Vésicule biliaire | 28 Petite courbure de l'estomac |
| 3 Côlon descendant | 16 Grande courbure de l'estomac | 29 Segment médial du lobe gauche du foie |
| 4 Veine azygos | 17 Tête du pancréas | 30 Veine hépatique moyenne |
| 5 Corps du pancréas | 18 Veine hémiazygos | 31 Col du pancréas |
| 6 Corps de l'estomac | 19 Veine cave inférieure | 32 Œsophage |
| 7 Corps vertébral | 20 Jéjunum | 33 Veine porte |
| 8 Tronc cœliaque | 21 Segment latéral du lobe gauche du foie | 34 Segment postérieur du lobe droit du foie |
| 9 Artère hépatique commune | 22 Muscle grand dorsal | 35 Cortex rénal |
| 10 Partie descendante (deuxième) du duodénum | 23 Angle colique gauche (splénique) | 36 Fascia rénal |
| 11 Diaphragme | 24 Pilier gauche du diaphragme | 37 Pilier droit du diaphragme |
| 12 Muscle érecteur du rachis | 25 Veine hépatique gauche | 38 Rein droit |
| 13 Fissure du ligament veineux | 26 Rein gauche | 39 Lobe droit du foie |



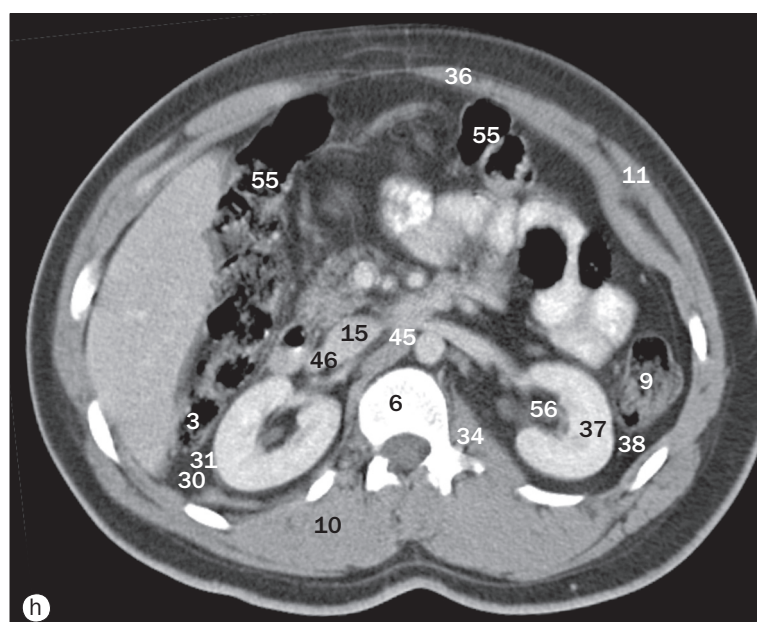
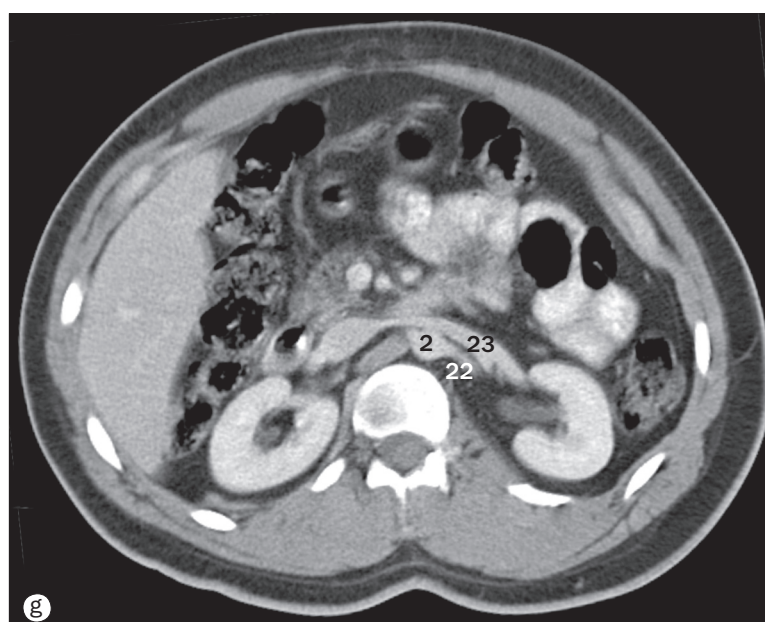
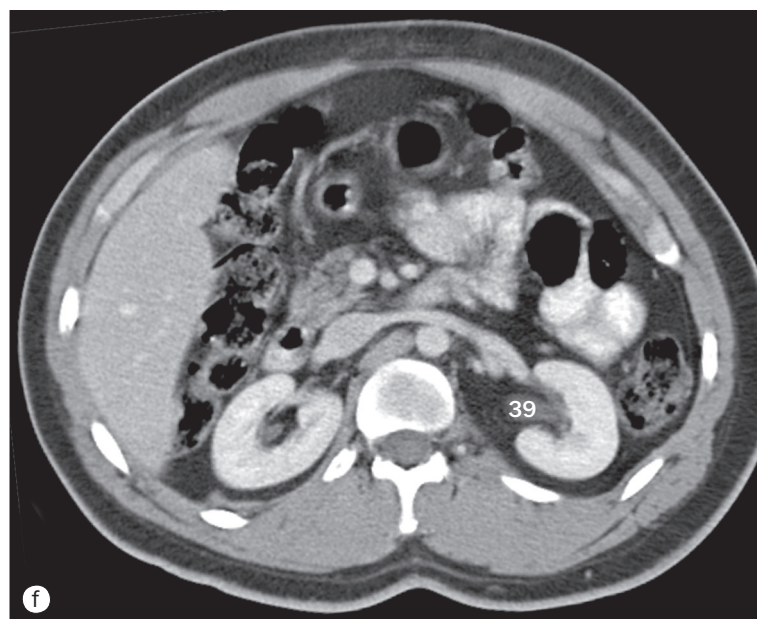
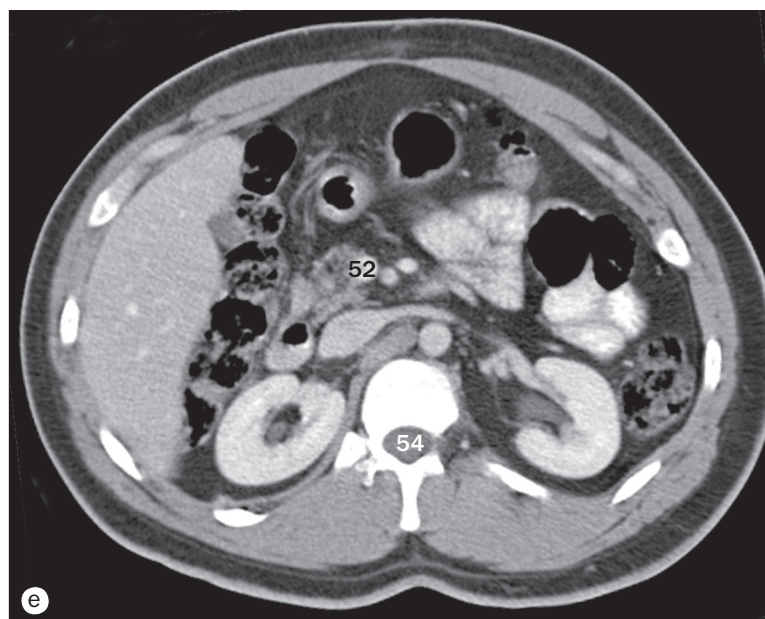
(a)–(h) Abdomen et pelvis d'un homme, TDM séquentielle en coupes axiales, de supérieur à inférieur.

- | | | |
|---|---|---|
| 40 Glande surrénale droite | 50 Lobe inférieur du poumon droit | 57 Segment 4B du foie (sous-segment inférieur et médial gauche) |
| 41 Muscle dentelé antérieur | 51 Lobe inférieur du poumon gauche | 58 Segment 5 du foie (sous-segment inférieur et antérieur droit) |
| 42 Rate | 52 Lobe caudé du foie | 59 Segment 6 du foie (sous-segment inférieur et postérieur droit) |
| 43 Artère splénique | 53 Segment 1 du foie (caudé) | 60 Segment 7 du foie (sous-segment supérieur et postérieur droit) |
| 44 Veine splénique | 54 Segment 2 du foie (sous-segment supérieur et latéral gauche) | 61 Segment 8 du foie (sous-segment supérieur et antérieur droit) |
| 45 Partie supérieure (première) du duodénum | 55 Segment 3 du foie (sous-segment inférieur et latéral gauche) | |
| 46 Queue du pancréas | 56 Segment 4A du foie (sous-segment supérieur et médial gauche) | |
| 47 Sac théal | | |
| 48 Côlon transverse | | |
| 49 Lobe gauche du foie | | |



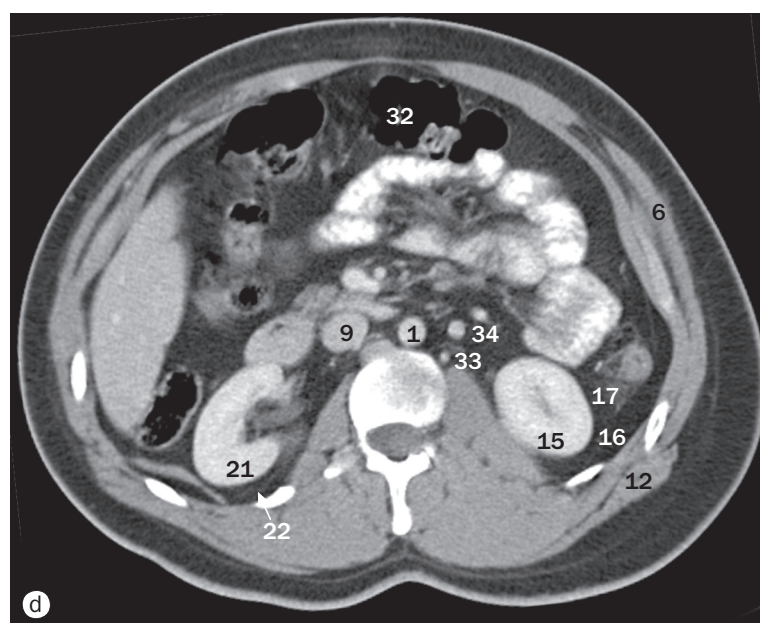
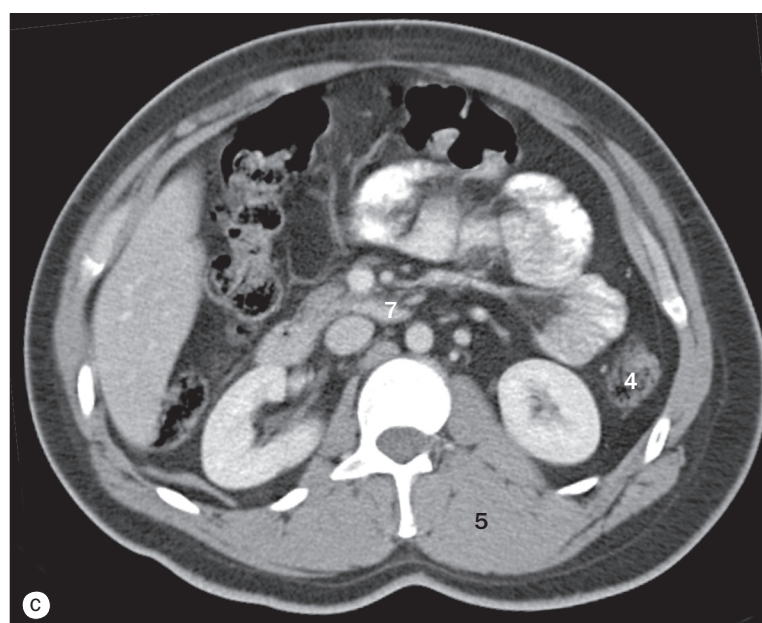
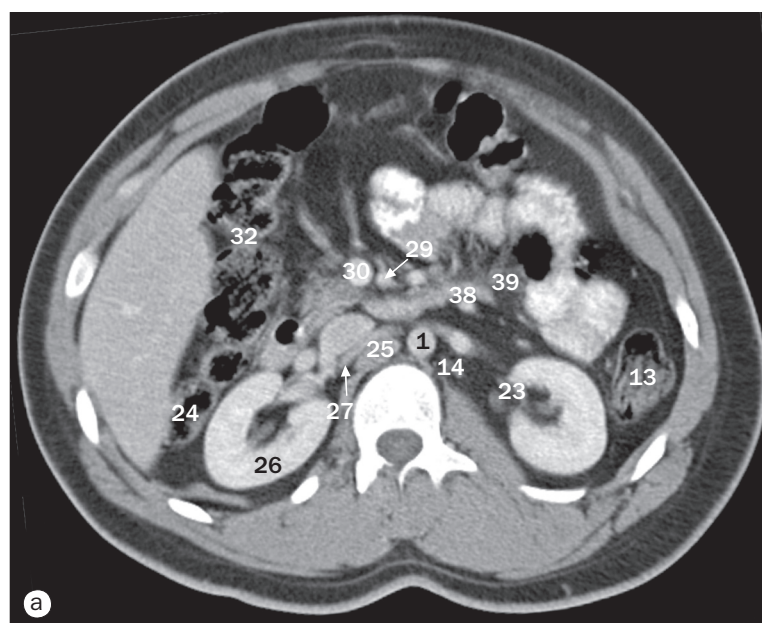
(a)–(h) Abdomen et pelvis d'un homme, TDM séquentielle en coupes axiales, de supérieur à inférieur.

- | | | |
|---|---|--|
| 1 Segment antérieur du lobe droit du foie | 11 Muscle oblique externe de l'abdomen | 21 Rein gauche |
| 2 Aorte | 12 Fissure du ligament veineux | 22 Artère rénale gauche |
| 3 Côlon ascendant | 13 Vésicule biliaire | 23 Veine rénale gauche |
| 4 Corps du pancréas | 14 Tête du pancréas | 24 Glande surrénale gauche |
| 5 Corps de l'estomac | 15 Veine cave inférieure | 25 Petite courbure de l'estomac |
| 6 Corps vertébral | 16 Jéjunum | 26 Segment médial du lobe gauche du foie |
| 7 Canal biliaire | 17 Segment latéral du lobe gauche du foie | 27 Veine hépatique moyenne |
| 8 Partie descendante (deuxième) du duodénum | 18 Muscle grand dorsal | 28 Col du pancréas |
| 9 Côlon descendant | 19 Angle colique gauche (splénique) | 29 Canal pancréatique |
| 10 Muscle érecteur du rachis | 20 Pilier gauche du diaphragme | 30 Graisse pararénale |



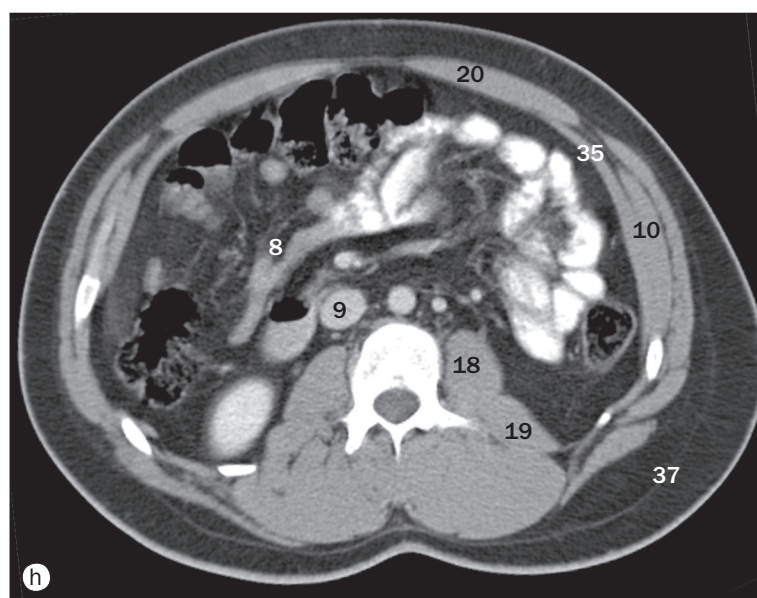
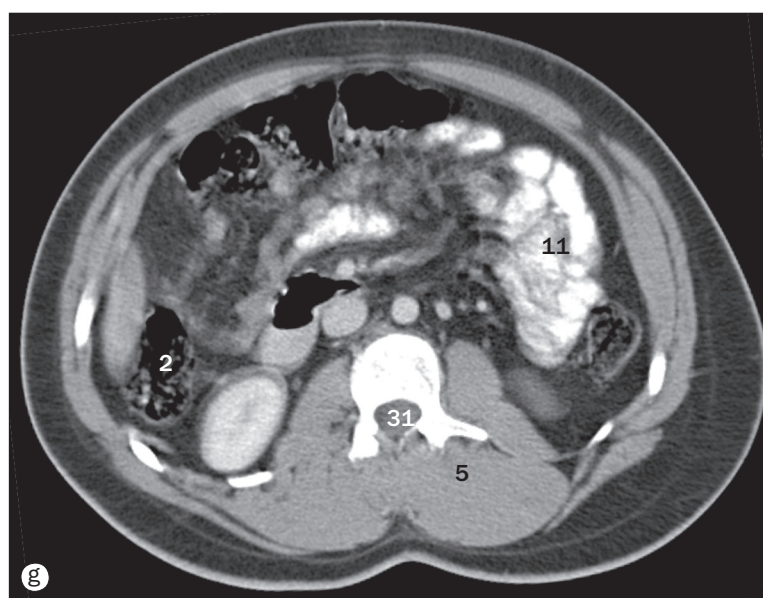
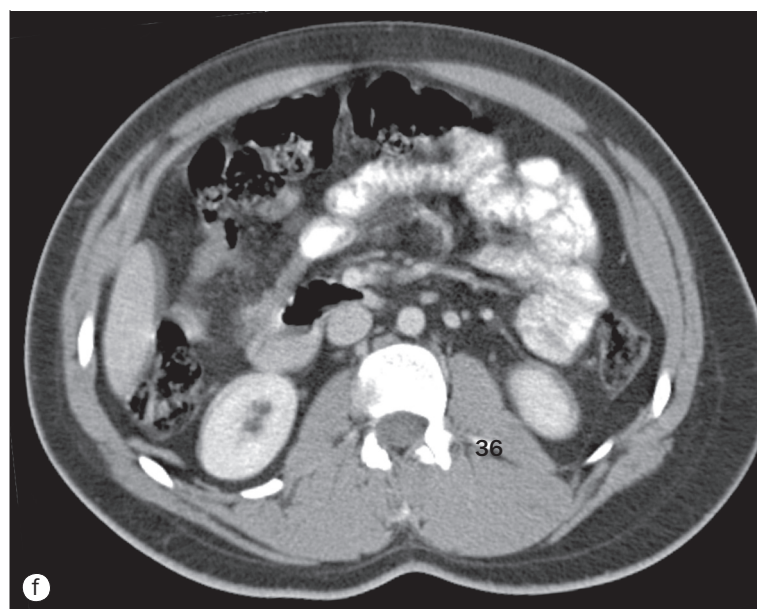
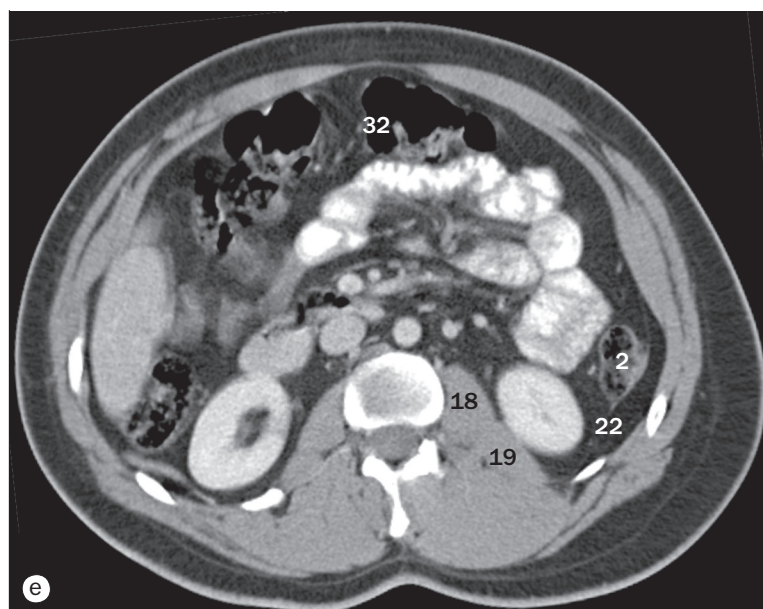
(a)–(h) Abdomen et pelvis d'un homme, TDM séquentielle en coupes axiales, de supérieur à inférieur.

- | | | |
|---|------------------------------------|---|
| 31 Graisse périrénale | 40 Angle colique droit (hépatique) | 49 Veine splénique |
| 32 Veine porte | 41 Pilier droit du diaphragme | 50 Partie supérieure (première) du duodénum |
| 33 Segment postérieur du lobe droit du foie | 42 Veine hépatique droite | 51 Artère mésentérique supérieure |
| 34 Muscle grand psoas | 43 Rein droit | 52 Veine mésentérique supérieure |
| 35 Partie pylorique de l'estomac | 44 Lobe droit du foie | 53 Queue du pancréas |
| 36 Muscle droit de l'abdomen | 45 Artère rénale droite | 54 Sac thécal |
| 37 Cortex rénal | 46 Veine rénale droite | 55 Côlon transverse |
| 38 Fascia rénal | 47 Glande surrénale droite | 56 Graisse dans le sinus rénal |
| 39 Bassinet du rein (pyélon) | 48 Muscle dentelé antérieur | 57 Pylore |



(a)–(h) Abdomen et pelvis d'un homme, TDM séquentielle en coupes axiales, de supérieur à inférieur.

- | | | |
|--|--|------------------------------|
| 1 Aorte | 8 Iléum | 15 Rein gauche |
| 2 Côlon ascendant | 9 Veine cave inférieure | 16 Graisse pararénale |
| 3 Partie descendante (deuxième) du duodénum | 10 Muscle oblique interne de l'abdomen | 17 Graisse périrénale |
| 4 Côlon descendant | 11 Jéjunum | 18 Muscle grand psoas |
| 5 Muscle érecteur du rachis | 12 Muscle grand dorsal | 19 Muscle carré des lombes |
| 6 Muscle oblique externe de l'abdomen | 13 Angle colique gauche (splénique) | 20 Muscle droit de l'abdomen |
| 7 Partie horizontale (troisième) du duodénum | 14 Pilier gauche du diaphragme | 21 Cortex rénal |

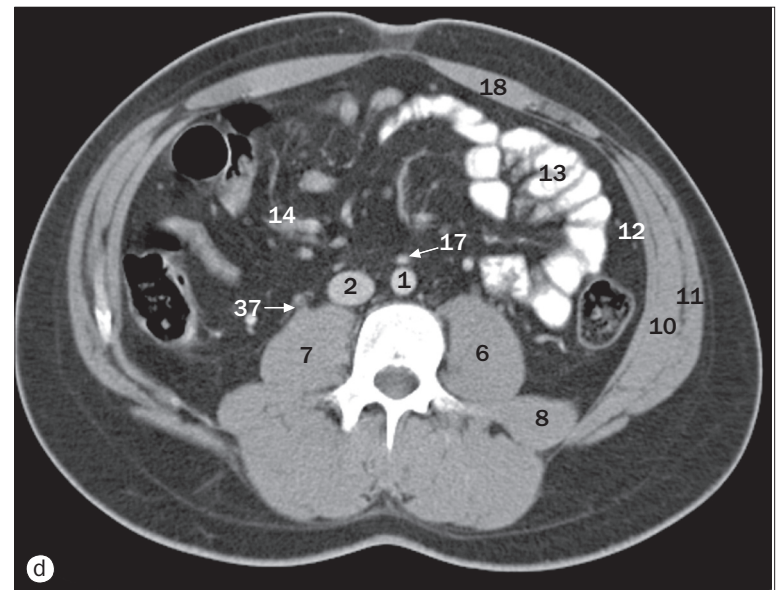
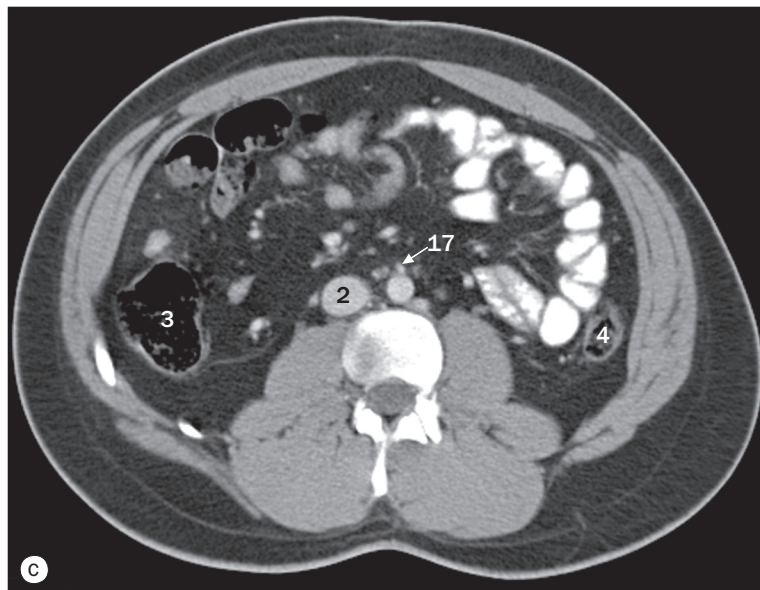
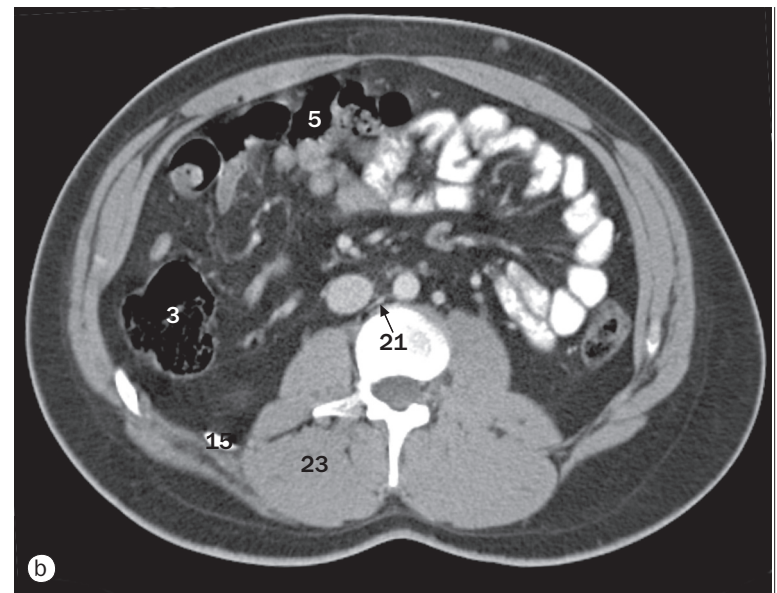
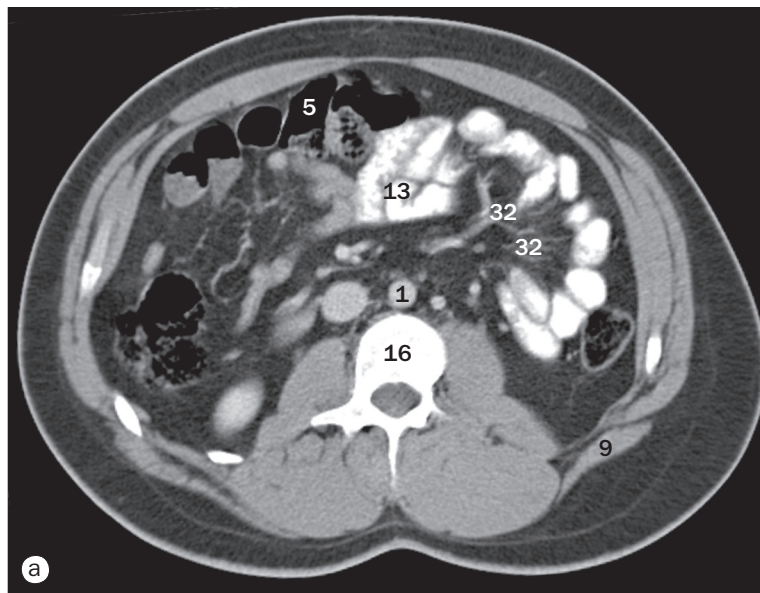


(a)–(h) Abdomen et pelvis d'un homme, TDM séquentielle en coupes axiales, de supérieur à inférieur.

22 Fascia rénal
23 Bassinet du rein (pyélon)
24 Angle colique droit (hépatique)
25 Pilier droit du diaphragme
26 Rein droit
27 Artère rénale droite

28 Veine rénale droite
29 Artère mésentérique supérieure
30 Veine mésentérique supérieure
31 Sac thécal
32 Côlon transverse
33 Artère testiculaire gauche

34 Veine testiculaire gauche
35 Muscle transverse de l'abdomen
36 12^e côte
37 Fascia sous-cutané
38 Partie ascendante (quatrième) du duodénum
39 Angle duodénojéjunal

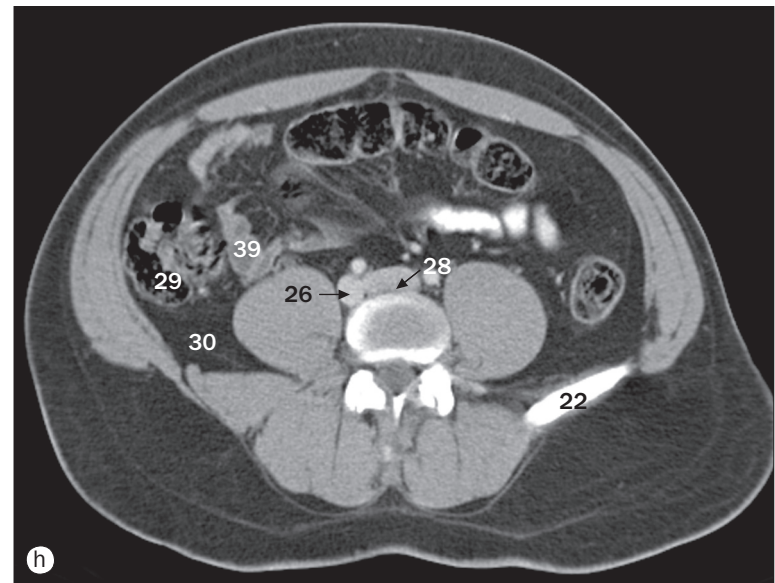
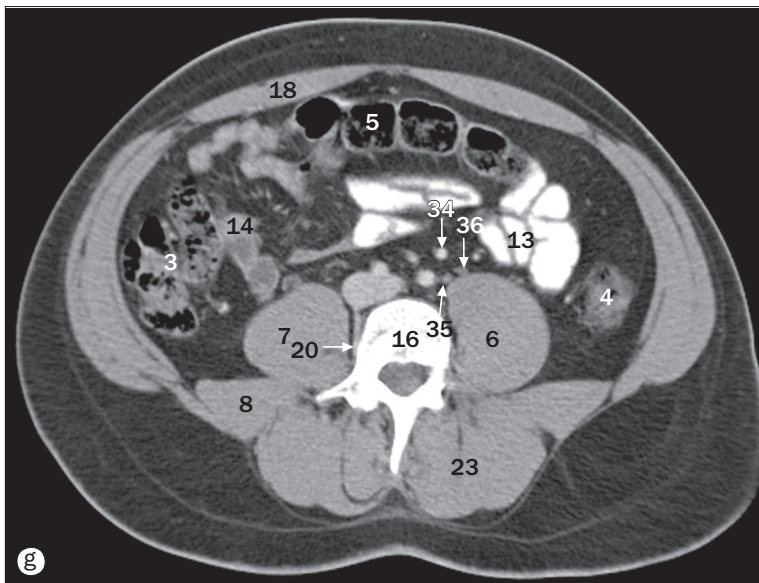
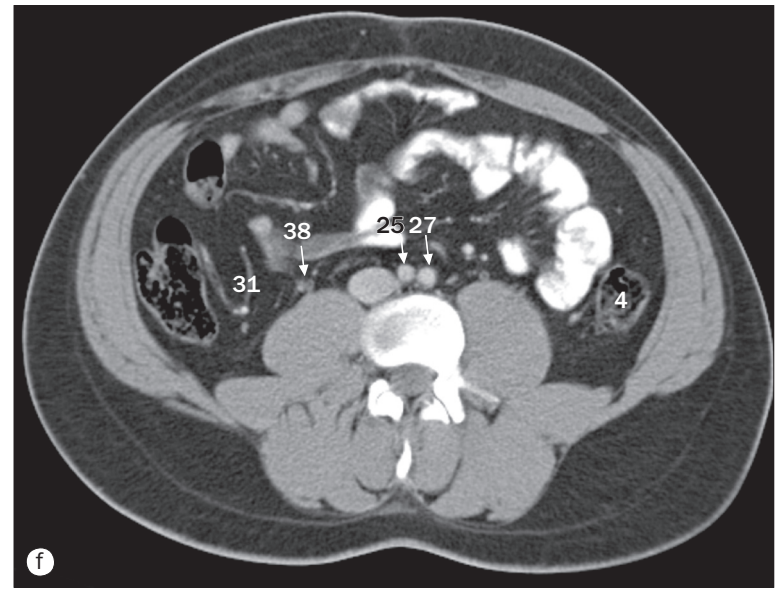
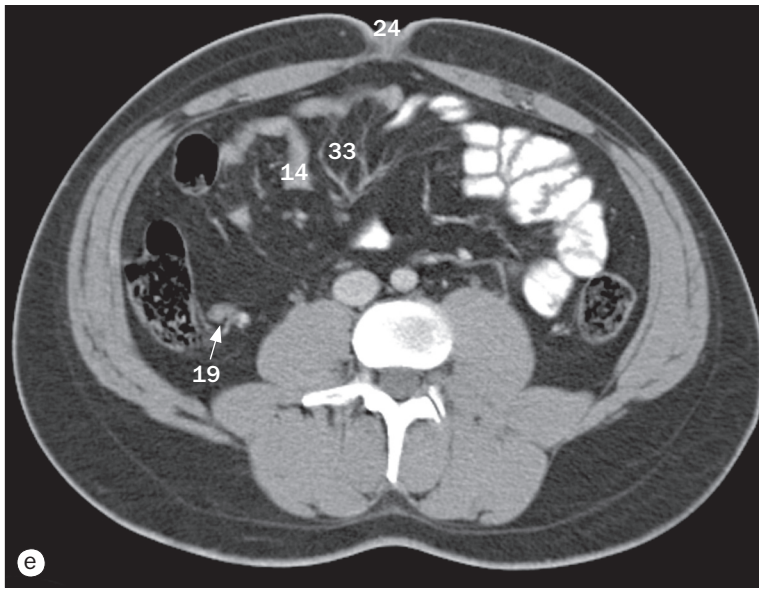


(a)–(h) Abdomen et pelvis d'un homme, TDM séquentielle en coupes axiales, de supérieur à inférieur.

- 1 Aorte
- 2 Veine cave inférieure
- 3 Côlon ascendant
- 4 Côlon descendant
- 5 Côlon transverse
- 6 Muscle psoas gauche
- 7 Muscle psoas droit

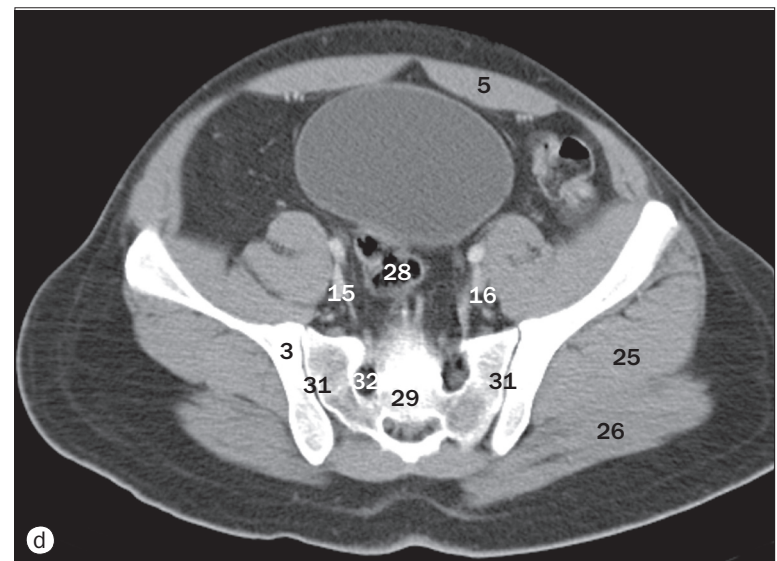
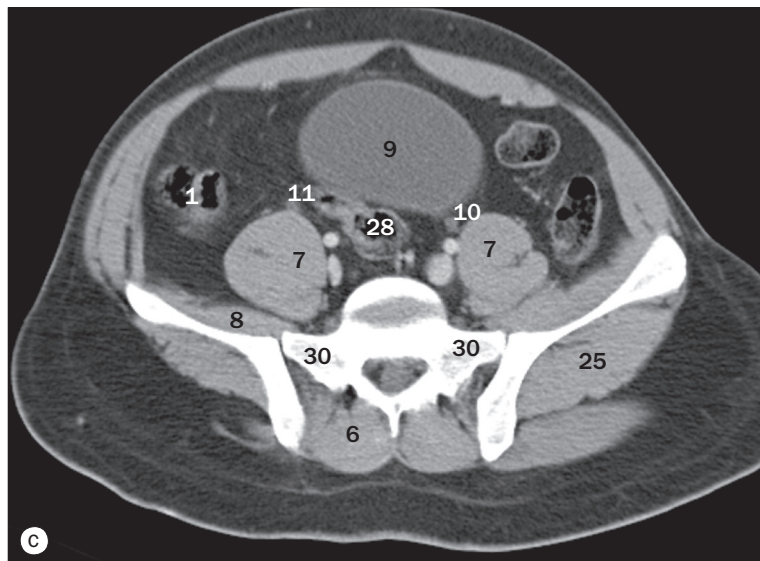
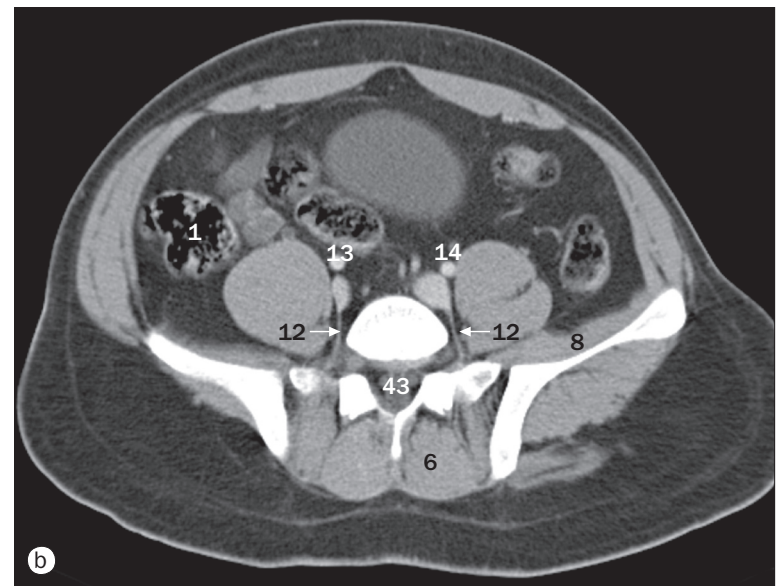
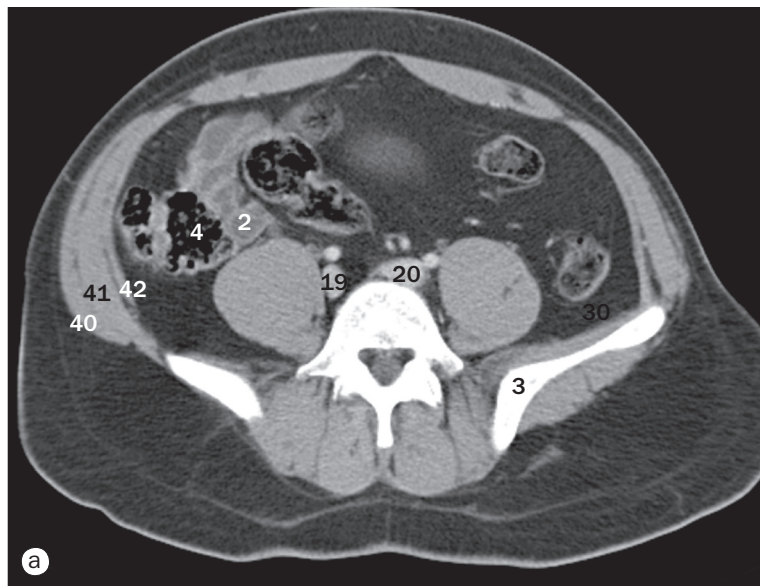
- 8 Muscle carré des lombes
- 9 Muscle grand dorsal
- 10 Muscle oblique interne de l'abdomen
- 11 Muscle oblique externe de l'abdomen
- 12 Muscle transverse de l'abdomen
- 13 Jéjunum
- 14 Iléum

- 15 12^e côte
- 16 Corps vertébral
- 17 Artère mésentérique inférieure
- 18 Muscle droit de l'abdomen
- 19 Artère appendiculaire
- 20 Veine lombale
- 21 Artère lombale



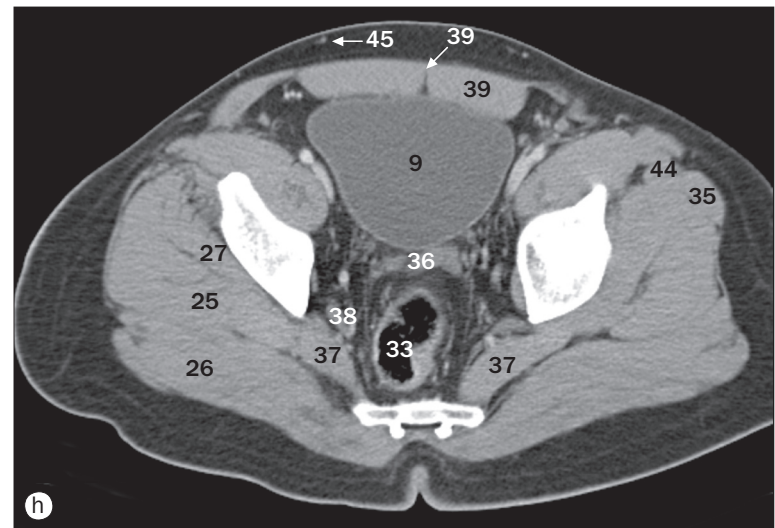
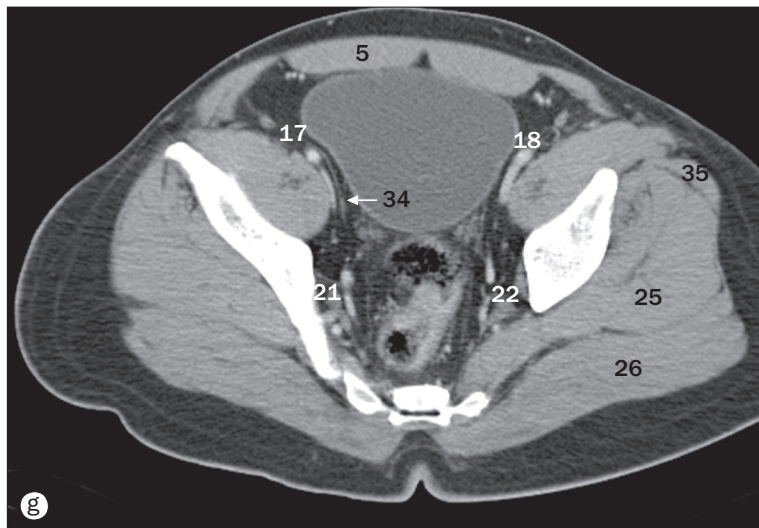
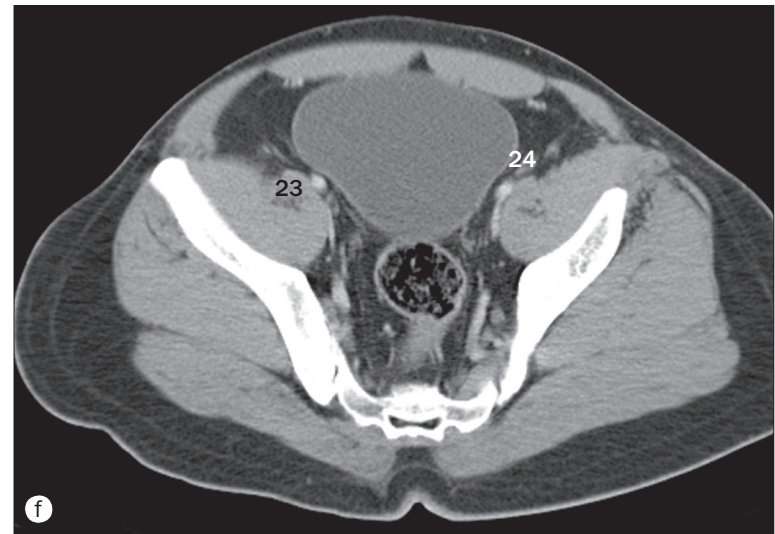
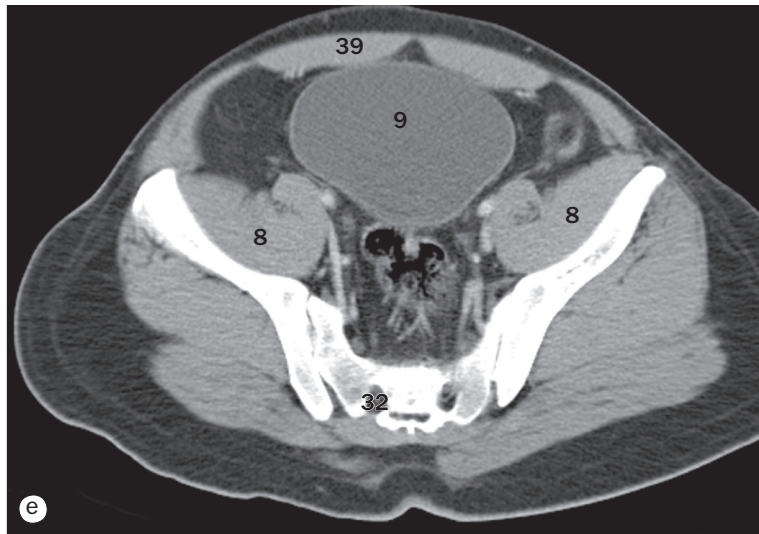
(a)–(h) Abdomen et pelvis d'un homme, TDM séquentielle en coupes axiales, de supérieur à inférieur.

- | | | |
|----------------------------------|---|-----------------------------------|
| 22 Ilium | 29 Cæcum | 34 Artère testiculaire gauche |
| 23 Muscles érecteurs du rachis | 30 Appendice | 35 Veine testiculaire gauche |
| 24 Omilic | 31 Artère iléocolique | 36 Uretère gauche |
| 25 Artère iliaque commune droite | 32 Branches jéjunales de l'artère mésentérique supérieure | 37 Uretère droit |
| 26 Veine iliaque commune droite | 33 Branches iléales de l'artère mésentérique supérieure | 38 Vaisseaux testiculaires droits |
| 27 Artère iliaque commune gauche | | 39 Iléum |
| 28 Veine iliaque commune gauche | | |



(a)–(h) Abdomen et pelvis d'un homme, TDM séquentielle en coupes axiales, de supérieur à inférieur.

- | | | |
|-------------------------------|----------------------------------|----------------------------------|
| 1 Cæcum | 9 Vessie | 17 Artère iliaque externe droite |
| 2 Iléum | 10 Uretère gauche | 18 Artère iliaque externe gauche |
| 3 Ilium | 11 Uretère droit | 19 Veine iliaque commune droite |
| 4 Côlon ascendant | 12 Veines lombales | 20 Veine iliaque commune gauche |
| 5 Muscle droit de l'abdomen | 13 Artère iliaque commune droite | 21 Veine iliaque interne droite |
| 6 Muscles érecteurs du rachis | 14 Artère iliaque commune gauche | 22 Veine iliaque interne gauche |
| 7 Muscle grand psoas | 15 Artère iliaque interne droite | 23 Veine iliaque externe droite |
| 8 Muscle iliaque | 16 Artère iliaque interne gauche | 24 Veine iliaque externe gauche |

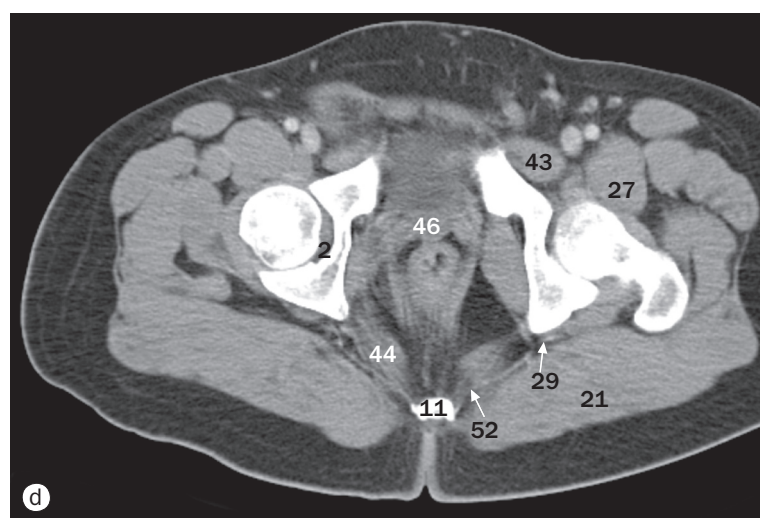
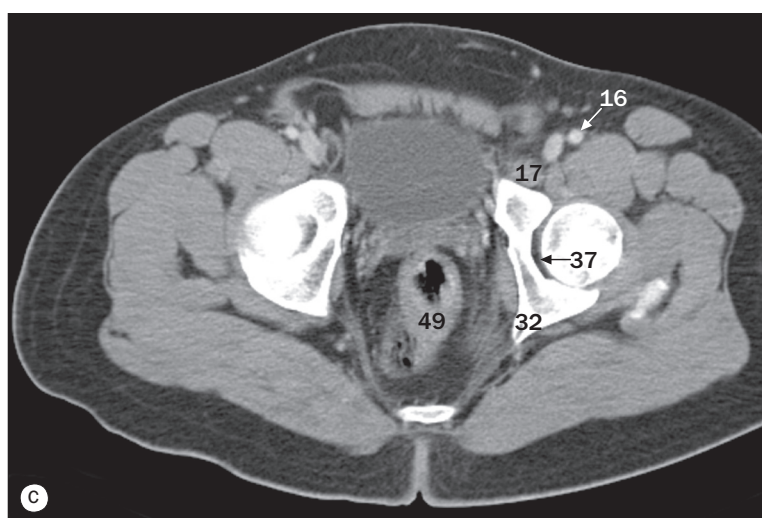
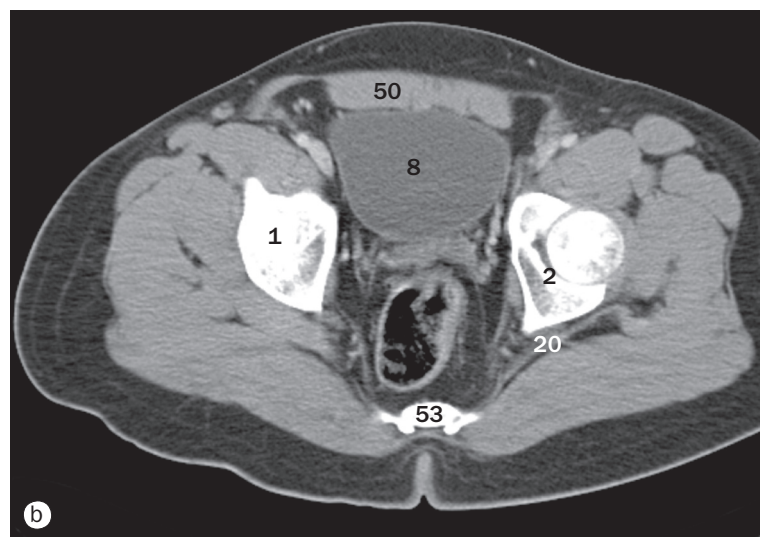
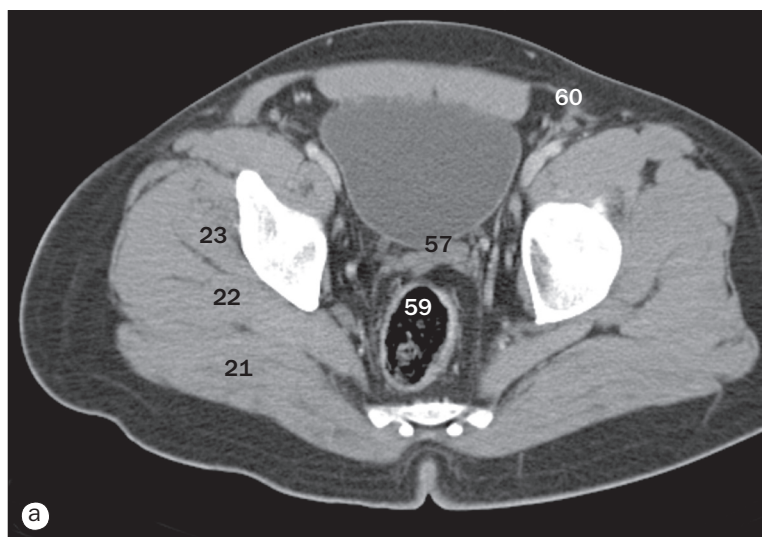


(a)–(h) Abdomen et pelvis d'un homme, TDM séquentielle en coupes axiales, de supérieur à inférieur.

25 Muscle moyen glutéal
26 Muscle grand glutéal
27 Muscle petit glutéal
28 Côlon sigmoïde
29 Sacrum
30 Aile du sacrum
31 Articulation sacro-iliaque

32 Foramen sacral
33 Rectum
34 Conduit déférent
35 Muscle tenseur du fascia lata
36 Vésicule séminale
37 Muscle piriforme
38 Artère et veine glutéales supérieures

39 Ligne blanche
40 Muscle oblique externe de l'abdomen
41 Muscle oblique interne de l'abdomen
42 Muscle transverse de l'abdomen
43 Sac thécal
44 Muscle sartorius
45 Artère épigastrique superficielle inférieure

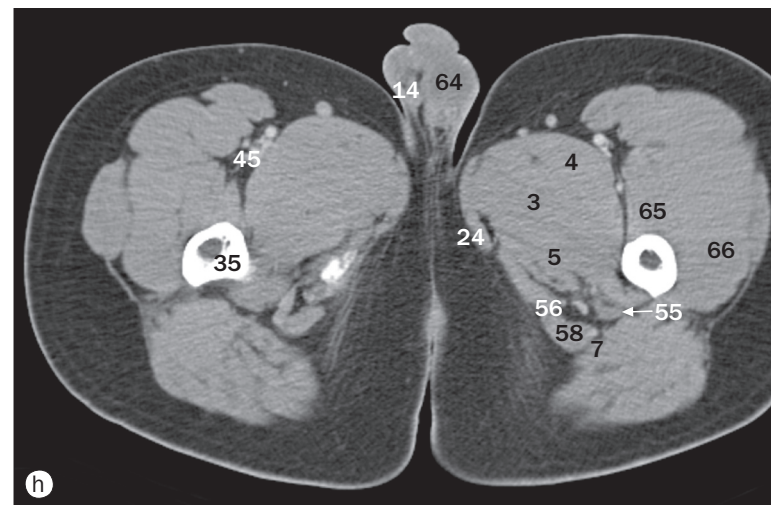
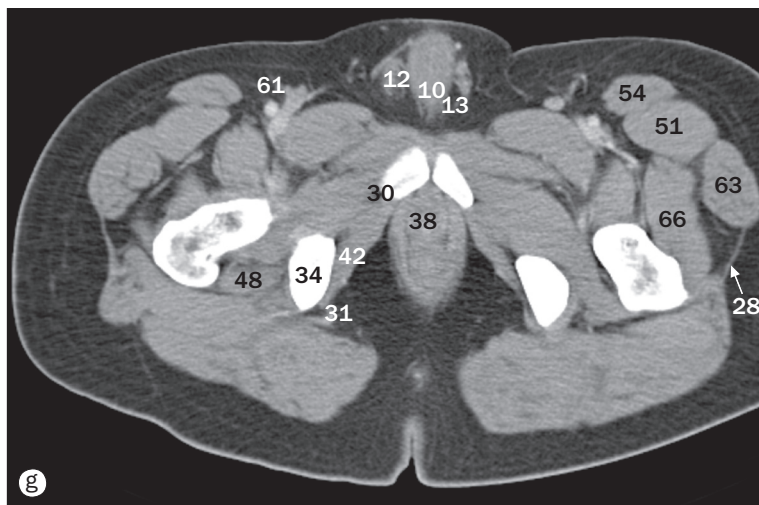
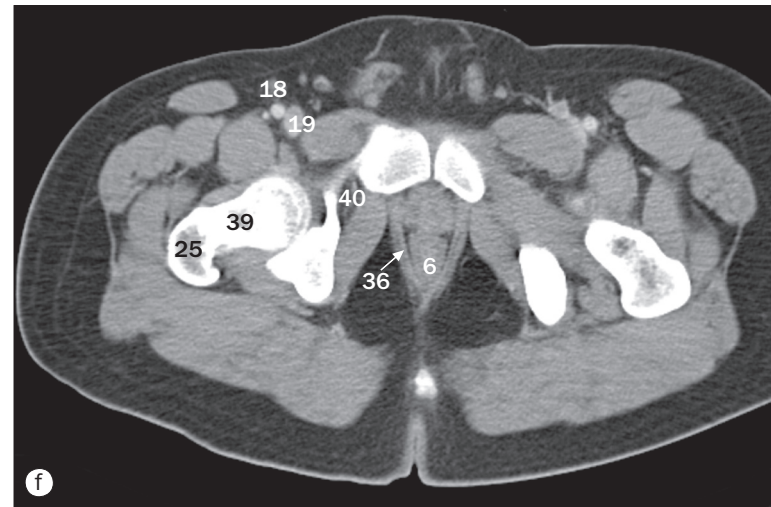
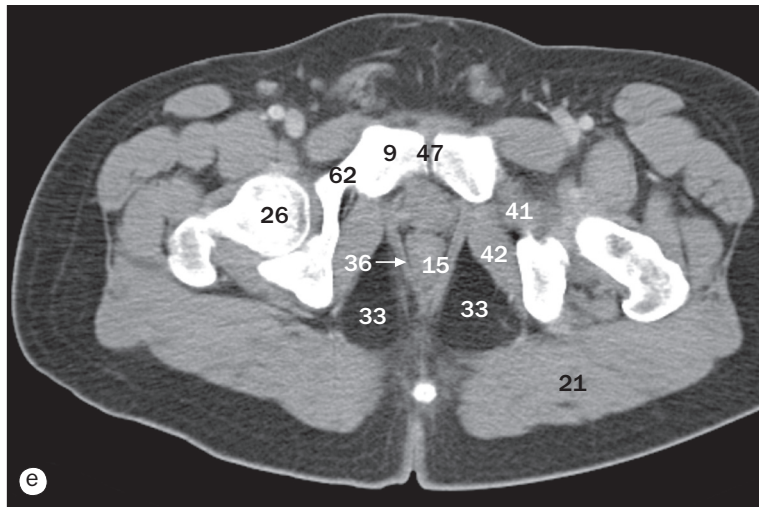


(a)–(h) Abdomen et pelvis d'un homme, TDM séquentielle en coupes axiales, de supérieur à inférieur.

1 Toit de l'acétabulum
2 Acétabulum
3 Muscle court adducteur
4 Muscle long adducteur
5 Muscle grand adducteur
6 Canal anal
7 Muscle biceps fémoral
8 Vessie
9 Corps du pubis
10 Bulbe du pénis
11 Coccyx

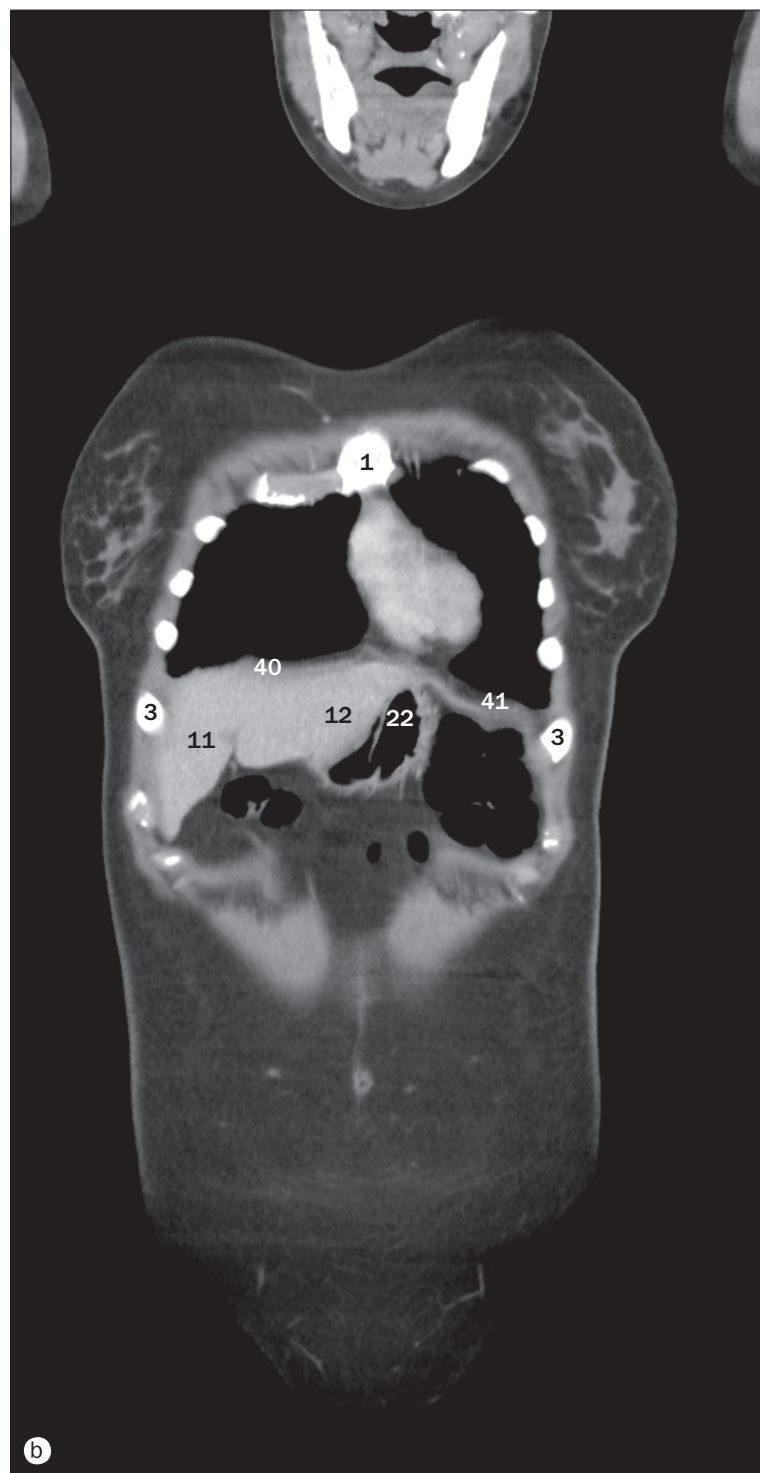
12 Corps caverneux
13 Pilier du corps caverneux
14 Épididyme
15 Sphincter anal externe
16 Artère iliaque externe
17 Veine iliaque externe
18 Artère fémorale
19 Veine fémorale
20 Muscle jumeau
21 Muscle grand glutéal
22 Muscle moyen glutéal

23 Muscle petit glutéal
24 Muscle gracile
25 Grand trochanter du fémur
26 Tête du fémur
27 Muscle iliopsoas
28 Tractus iliotibial
29 Artère et veine glutéales inférieures
30 Branche inférieure du pubis
31 Artère et veine honteuses internes
32 Épine ischiatique
33 Fosse ischioanale



(a)–(h) Abdomen et pelvis d'un homme, TDM séquentielle en coupes axiales, de supérieur à inférieur.

- | | | |
|-----------------------------------|---------------------------------|----------------------------------|
| 34 Ischium | 45 Artère profonde de la cuisse | 56 Muscle semimembraneux |
| 35 Petit trochanter du fémur | 46 Prostate | 57 Vésicule séminale |
| 36 Muscle élévateur de l'anus | 47 Symphyse pubienne | 58 Muscle semitendineux |
| 37 Ligament de la tête fémorale | 48 Muscle carré fémoral | 59 Côlon sigmoïde |
| 38 Partie membraneuse de l'urètre | 49 Rectum | 60 Cordon spermatique |
| 39 Col du fémur | 50 Muscle droit de l'abdomen | 61 Artère fémorale superficielle |
| 40 Artère et veine obturatrices | 51 Muscle droit de la cuisse | 62 Branche supérieure du pubis |
| 41 Muscle obturateur externe | 52 Ligament sacroépineux | 63 Muscle tenseur du fascia lata |
| 42 Muscle obturateur interne | 53 Sacrum | 64 Testicule |
| 43 Muscle pectiné | 54 Muscle sartorius | 65 Muscle vaste intermédiaire |
| 44 Muscle piriforme | 55 Nerf sciatique | 66 Muscle vaste latéral |

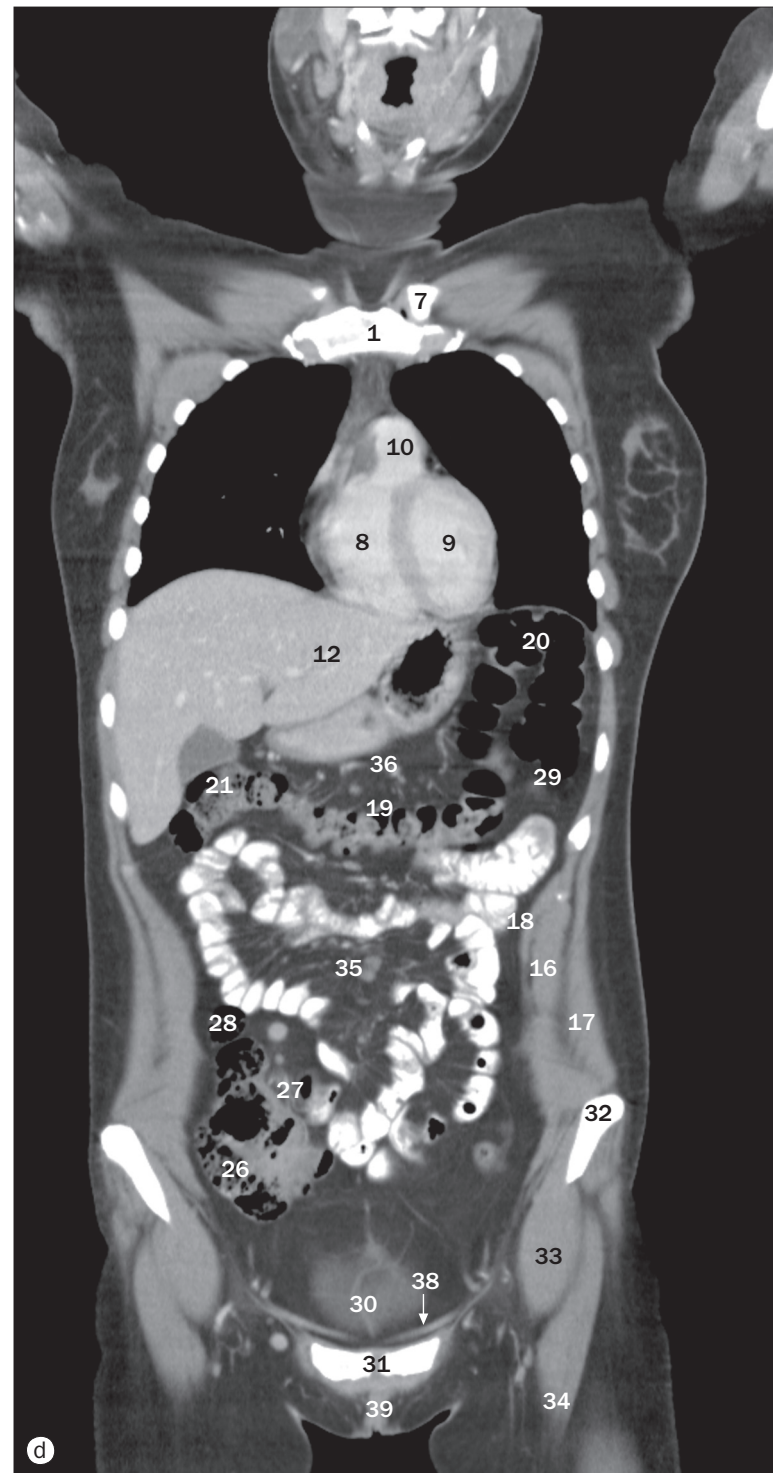
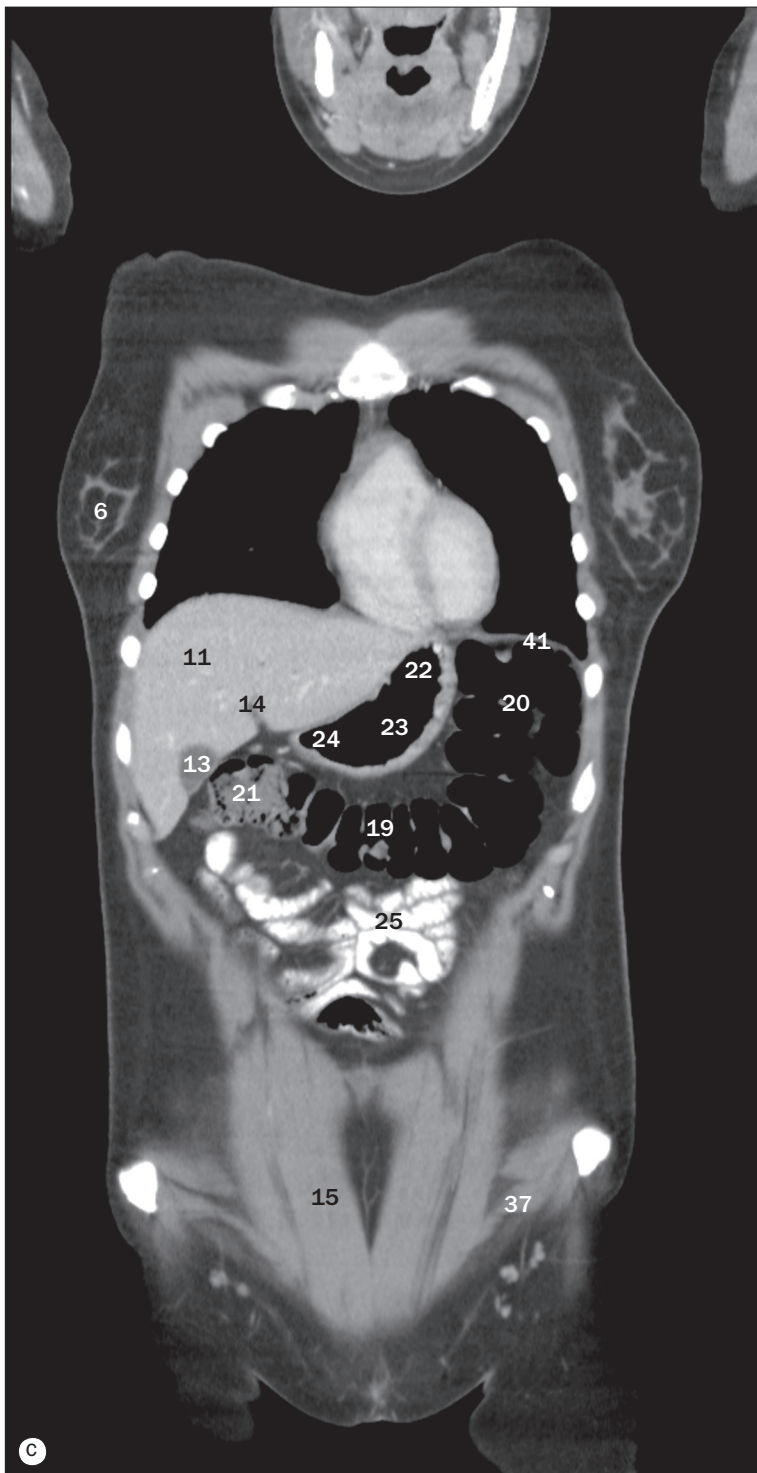


(a)–(d) Thorax, abdomen et pelvis d'une femme, TDM séquentielle en coupes coronales, d'antérieur à postérieur.
Note : les pages 136–145 montrent des images séquentielles de la même patiente.

1 Manubrium sternal
2 Corps du sternum
3 Côte
4 Cartilage costal
5 Processus xiphoïde
6 Sein
7 Clavicule

8 Ventricule droit
9 Ventricule gauche
10 Tronc de l'artère pulmonaire
11 Lobe droit du foie
12 Lobe gauche du foie
13 Vésicule biliaire
14 Fissure du ligament veineux

15 Muscle droit de l'abdomen
16 Muscle oblique interne de l'abdomen
17 Muscle oblique externe de l'abdomen
18 Muscle transverse de l'abdomen
19 Côlon transverse
20 Angle colique gauche
21 Angle colique droit

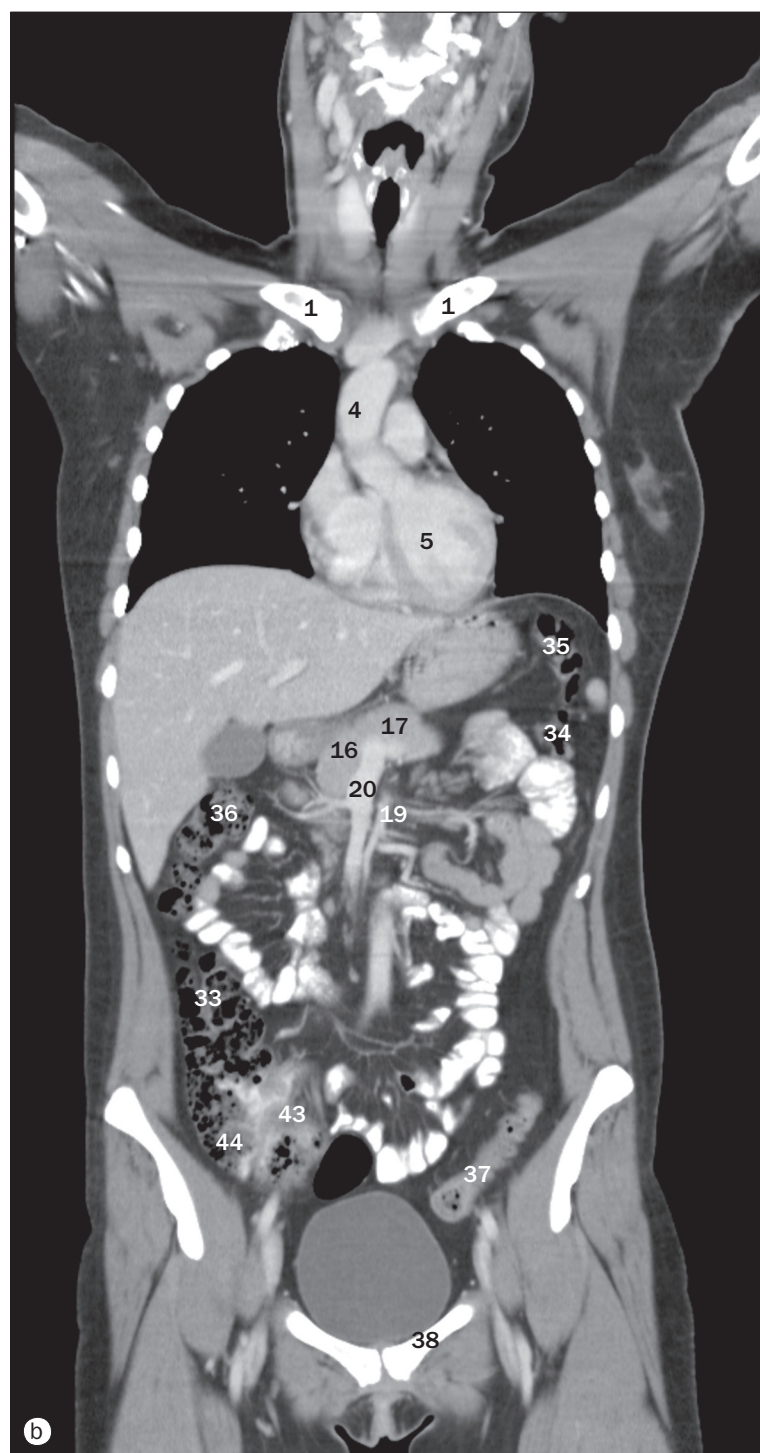
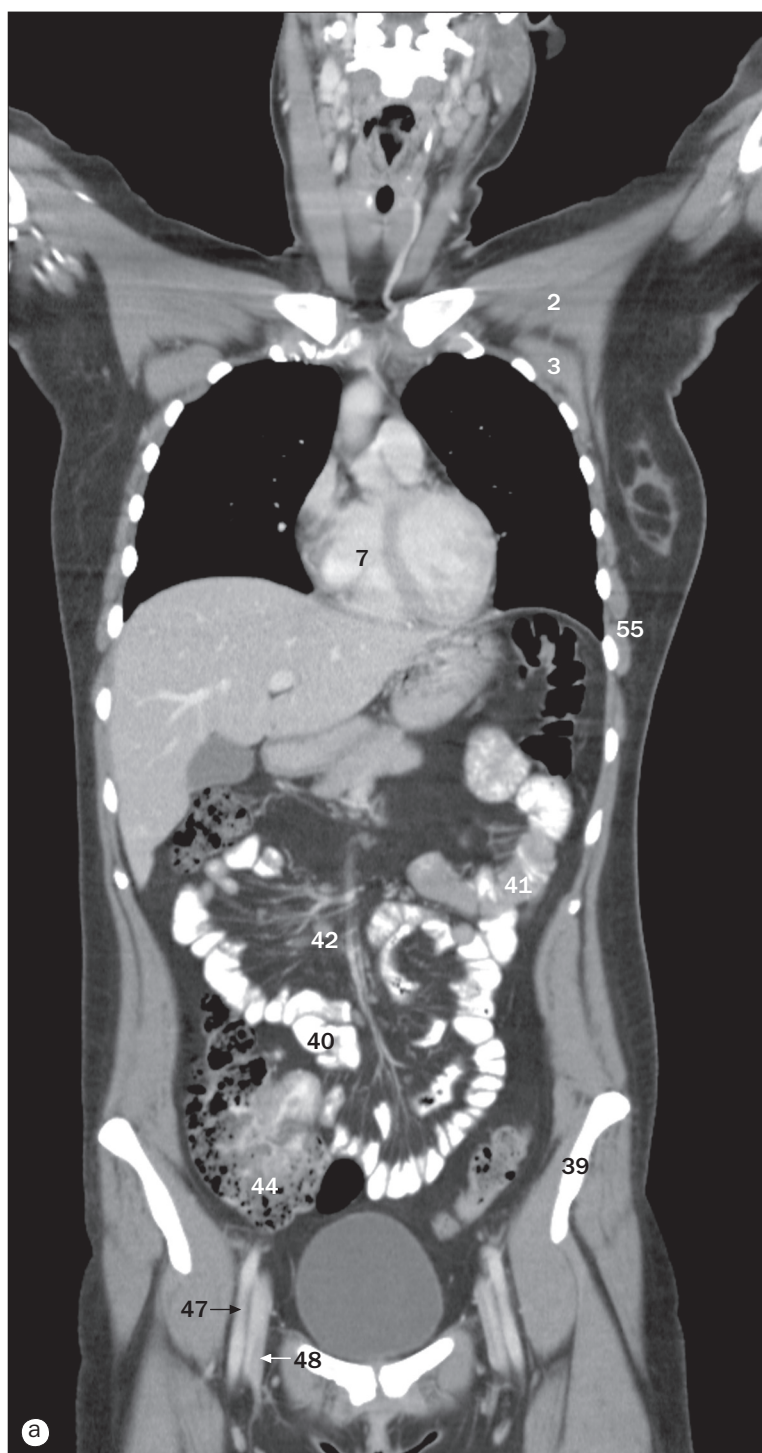


(a)–(d) Thorax, abdomen et pelvis d'une femme, TDM séquentielle en coupes coronales, d'antérieur à postérieur.

22 Fundus gastrique
23 Corps de l'estomac
24 Antre pylorique
25 Jéjunum
26 Cæcum
27 Iléum
28 Côlon ascendant

29 Côlon descendant
30 Vessie
31 Symphyse pubienne
32 Crête iliaque
33 Muscle iliopsoas
34 Muscle sartorius
35 Mésentère de l'intestin grêle

36 Mésocôlon transverse
37 Muscle pectiné
38 Muscle élévateur de l'anus
39 Grandes lèvres
40 Hémidiaphragme droit
41 Hémidiaphragme gauche

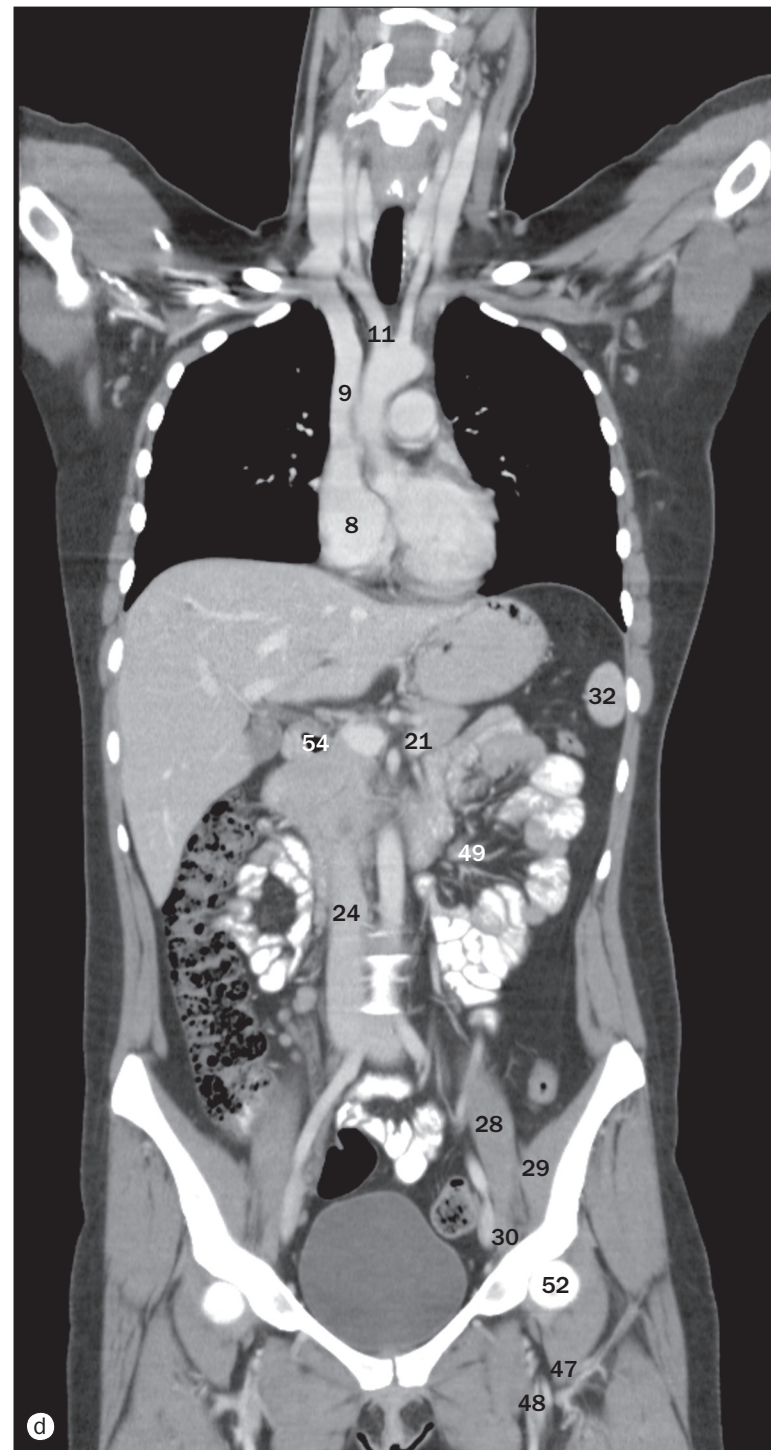
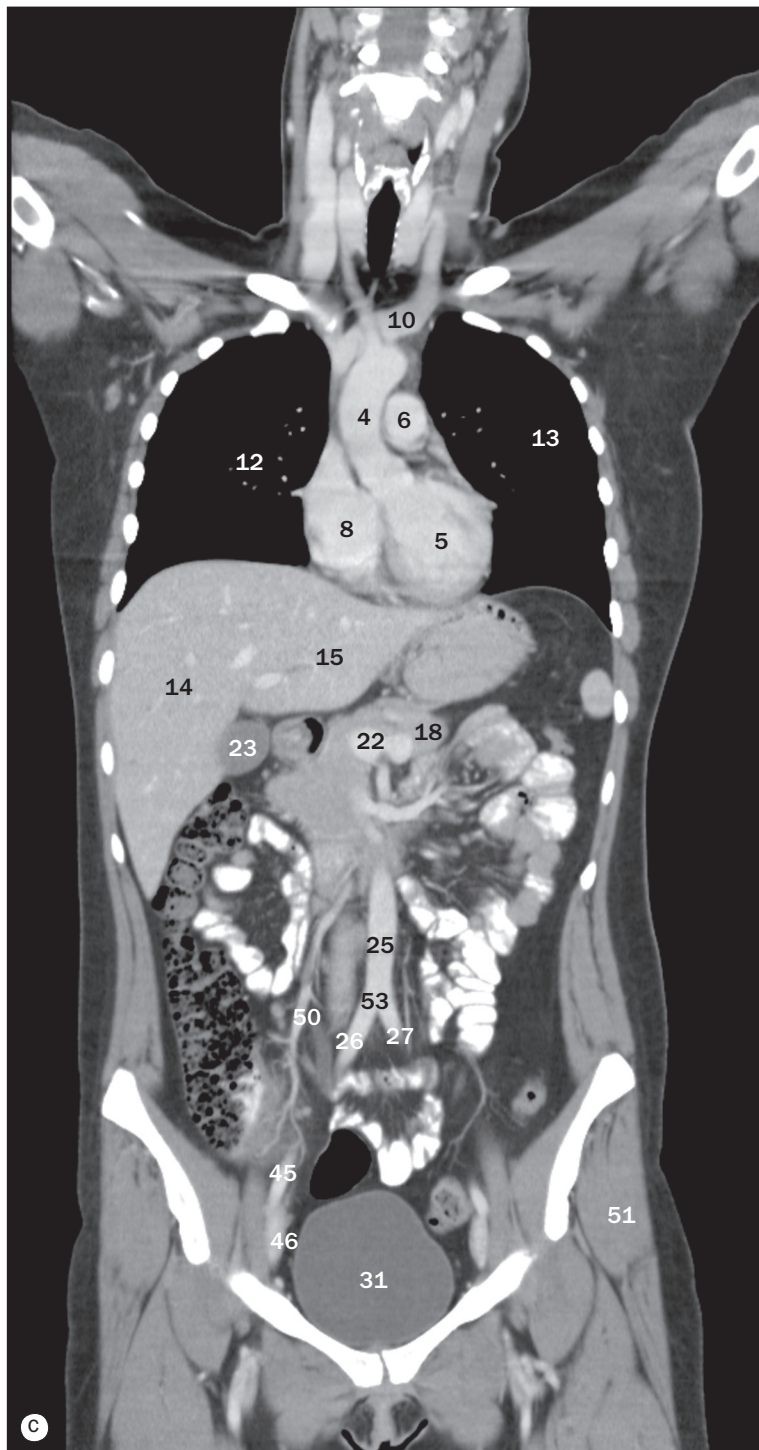


(a)–(d) Thorax, abdomen et pelvis d'une femme, TDM séquentielle en coupes coronales, d'antérieur à postérieur.

1 Clavicule
2 Muscle grand pectoral
3 Muscle petit pectoral
4 Aorte ascendante
5 Ventricule gauche
6 Artère pulmonaire
7 Ventricule droit
8 Atrium droit
9 Veine cave supérieure
10 Veine brachiocéphalique gauche

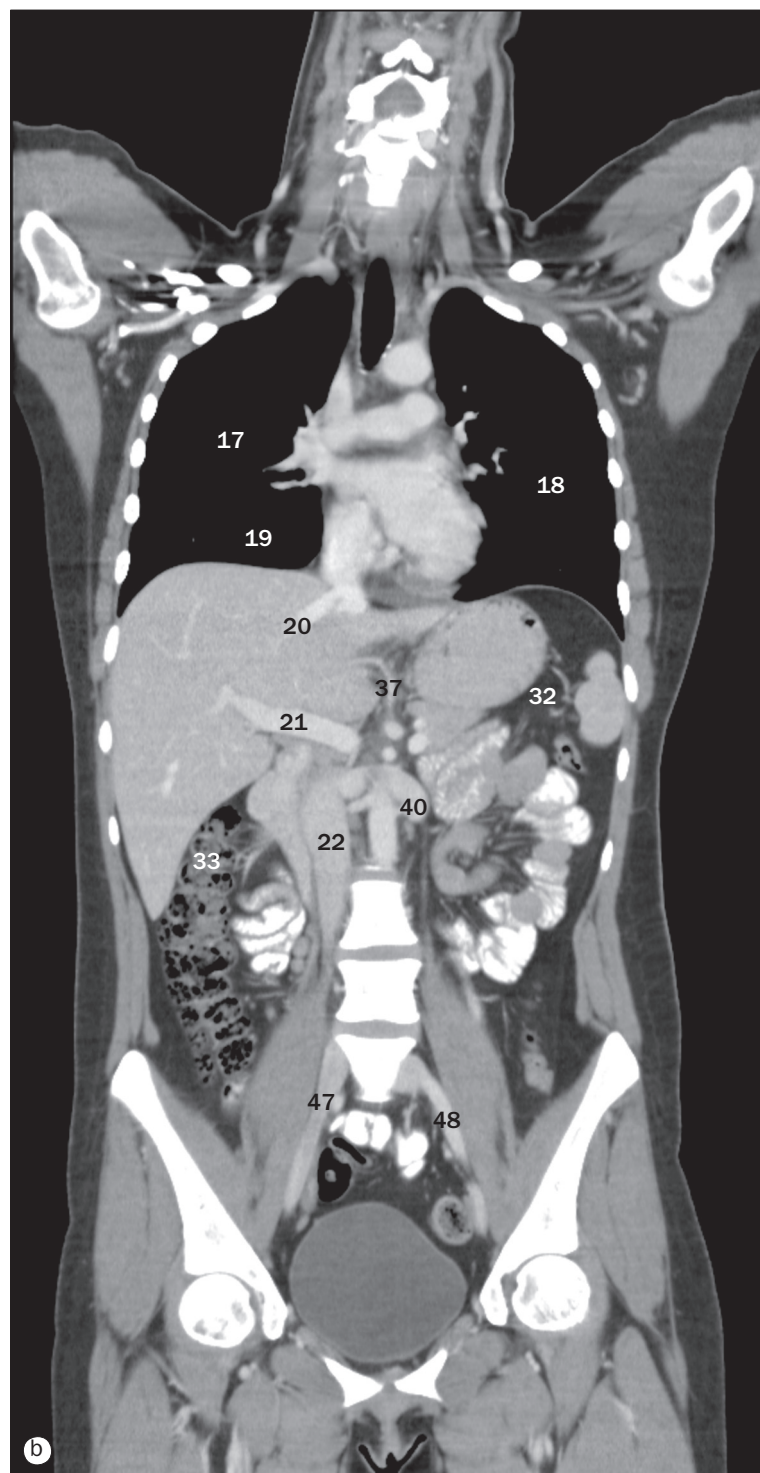
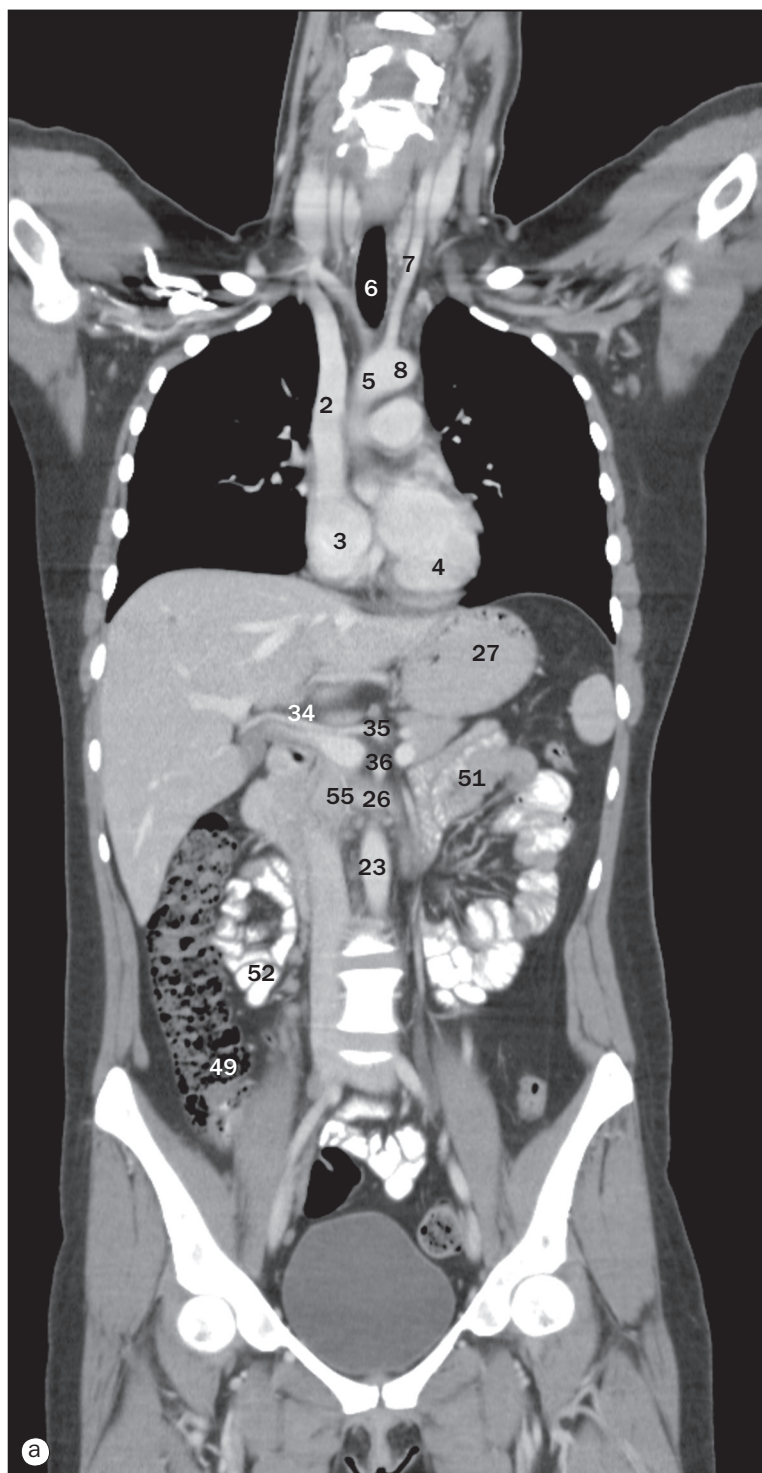
11 Tronc brachiocéphalique
12 Poumon droit
13 Poumon gauche
14 Lobe droit du foie
15 Lobe gauche du foie
16 Tête du pancréas
17 Col du pancréas
18 Corps du pancréas
19 Artère mésentérique supérieure (AMS)
20 Veine mésentérique supérieure (VMS)

21 Veine splénique
22 Veine porte
23 Vésicule biliaire
24 Veine cave inférieure
25 Aorte
26 Artère iliaque commune droite
27 Artère iliaque commune gauche
28 Muscle psoas
29 Muscle iliaque
30 Muscle iliopsoas



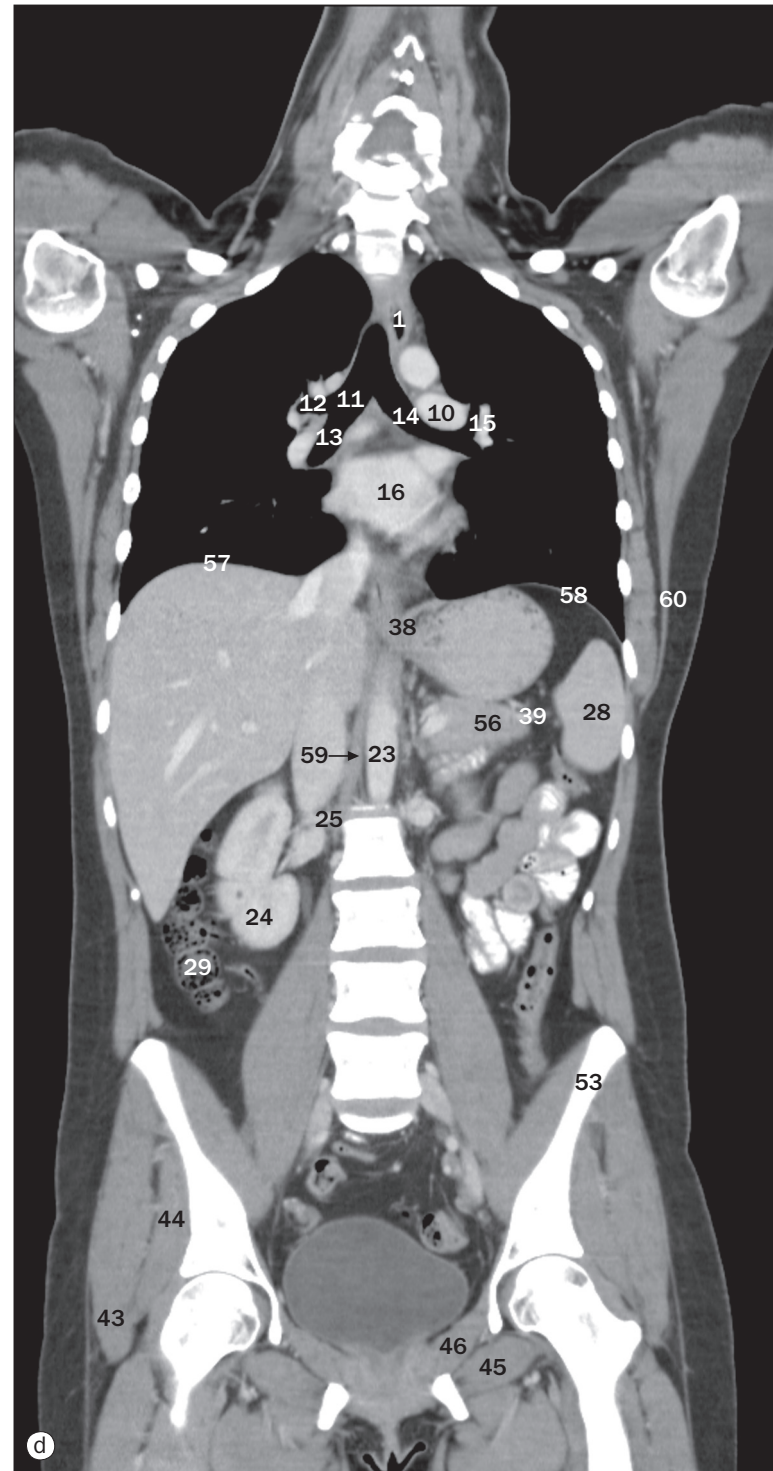
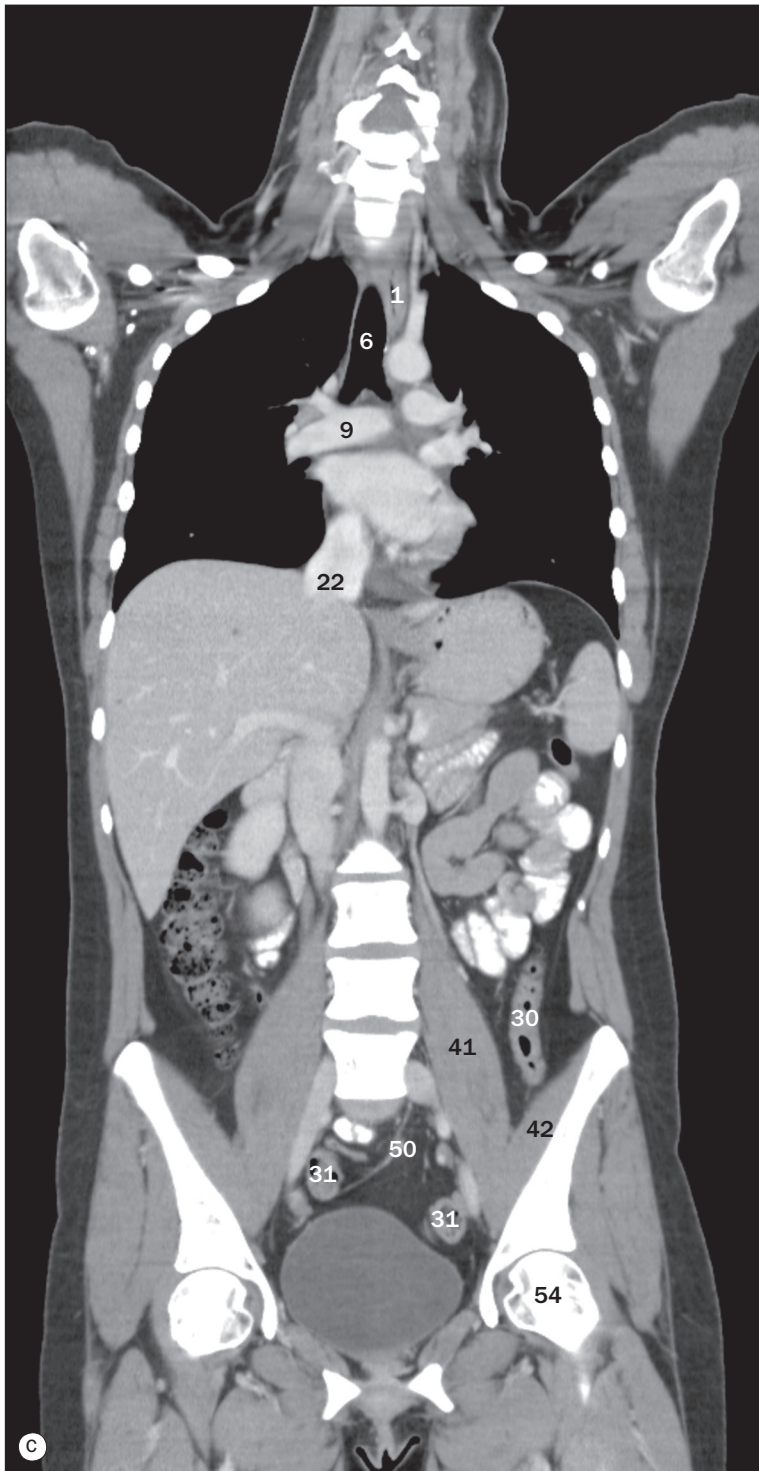
(a)–(d) Thorax, abdomen et pelvis d'une femme, TDM séquentielle en coupes coronales, d'antérieur à postérieur.

- | | | |
|--------------------------------|----------------------------------|--------------------------------|
| 31 Vessie | 40 Iléum | 49 Branches jéjunales de l'AMS |
| 32 Rate | 41 Jéjunum | 50 Branches iléales de l'AMS |
| 33 Côlon ascendant | 42 Mésentère de l'intestin grêle | 51 Muscle moyen glutéal |
| 34 Côlon descendant | 43 Iléum terminal | 52 Tête du fémur |
| 35 Angle colique gauche | 44 Cæcum | 53 Bifurcation aortique |
| 36 Angle colique droit | 45 Artère iliaque externe | 54 Première partie du duodénum |
| 37 Côlon sigmoïde | 46 Veine iliaque externe | 55 Muscle dentelé antérieur |
| 38 Branche supérieure du pubis | 47 Artère fémorale | |
| 39 Ilium | 48 Veine fémorale | |



(a)–(d) Thorax, abdomen et pelvis d'une femme, TDM séquentielle en coupes coronales, d'antérieur à postérieur.

- | | | |
|----------------------------------|--------------------------------------|-------------------------|
| 1 Œsophage | 12 Bronche lobaire supérieure droite | 23 Aorte |
| 2 Veine cave supérieure | 13 Bronche intermédiaire | 24 Rein droit |
| 3 Atrium droit | 14 Bronche principale gauche | 25 Artère rénale droite |
| 4 Ventricule gauche | 15 Bronche lobaire supérieure gauche | 26 Veine rénale gauche |
| 5 Aorte ascendante | 16 Atrium gauche | 27 Fundus gastrique |
| 6 Trachée | 17 Poumon droit | 28 Rate |
| 7 Artère carotide commune gauche | 18 Poumon gauche | 29 Côlon ascendant |
| 8 Arc aortique | 19 Lobe inférieur droit | 30 Côlon descendant |
| 9 Artère pulmonaire droite | 20 Veine hépatique | 31 Côlon sigmoïde |
| 10 Artère pulmonaire gauche | 21 Veine porte | 32 Angle colique gauche |
| 11 Bronche principale droite | 22 Veine cave inférieure | 33 Angle colique droit |

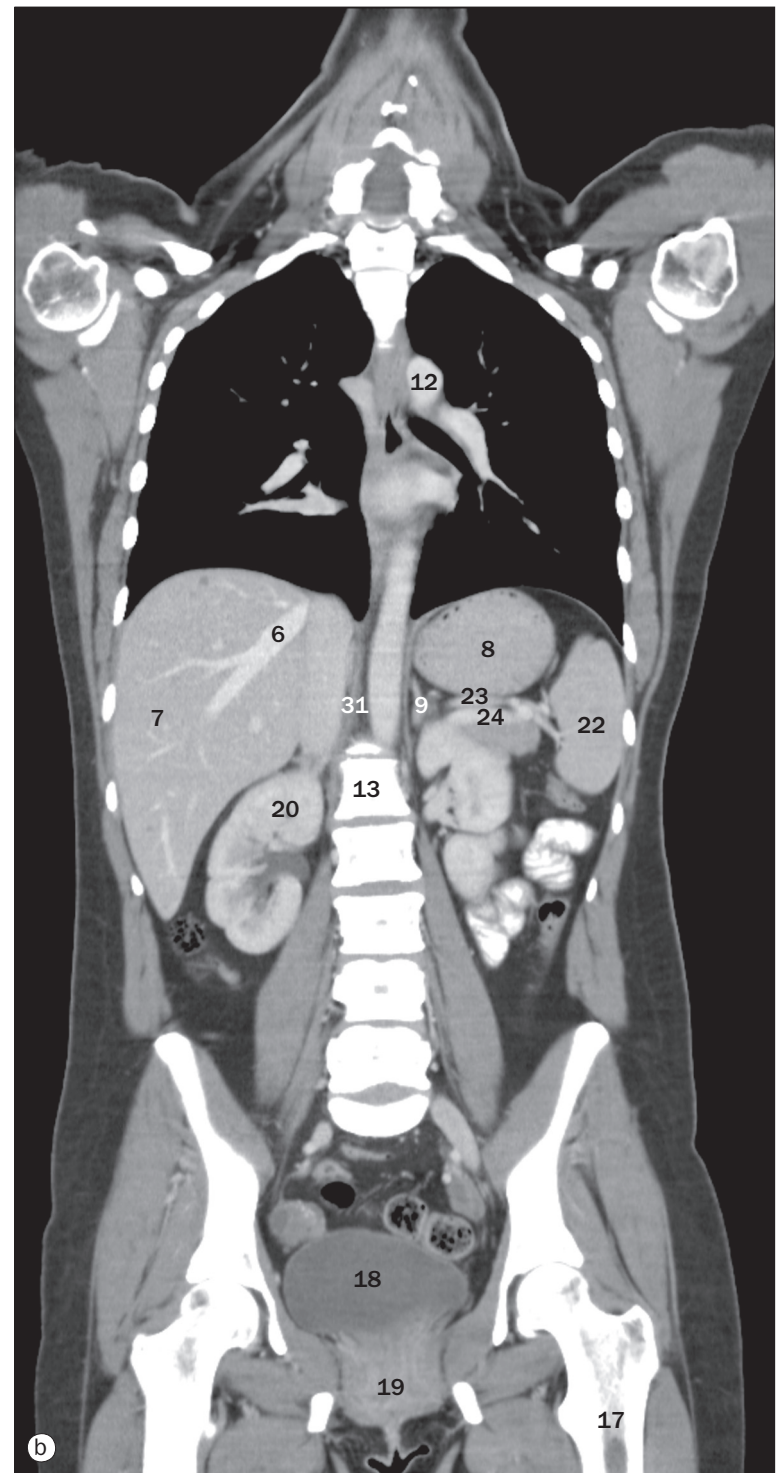
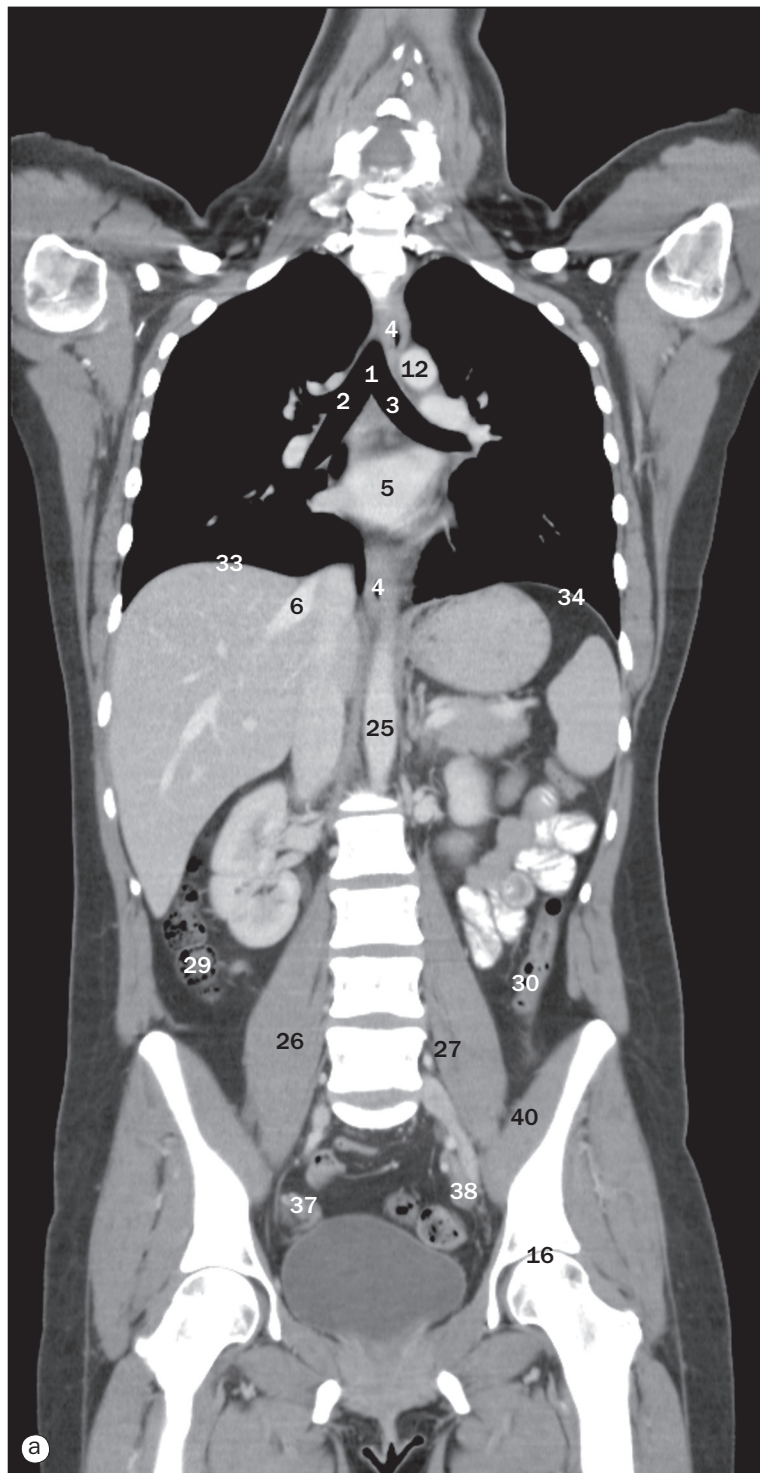


(a)–(d) Thorax, abdomen et pelvis d'une femme, TDM séquentielle en coupes coronales, d'antérieur à postérieur.

34 Artère hépatique commune
35 Tronc cœliaque
36 Artère mésentérique supérieure
37 Artère gastrique gauche
38 Jonction œsophagogastrique
39 Artère splénique
40 Artère rénale gauche
41 Muscle psoas
42 Muscle iliaque
43 Muscle grand glutéal

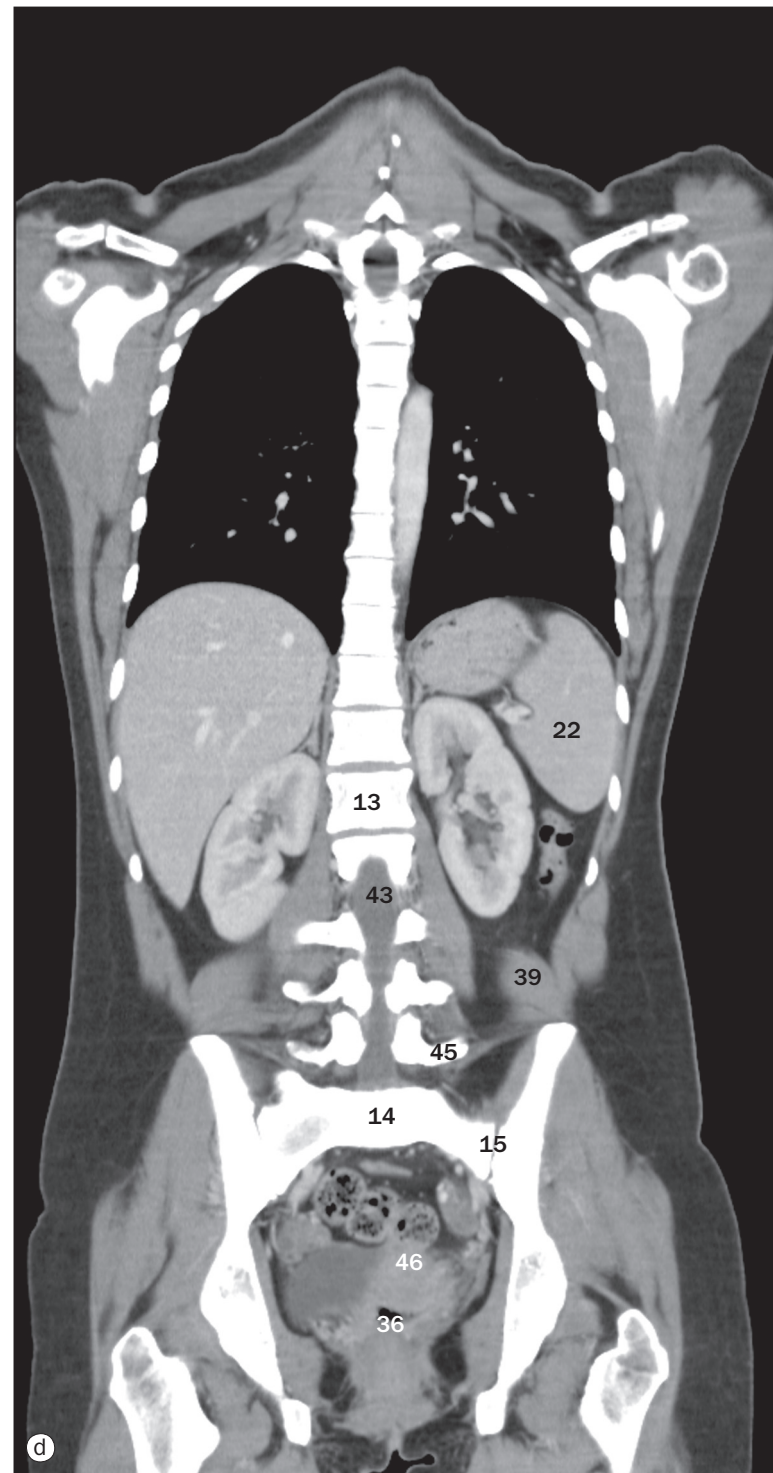
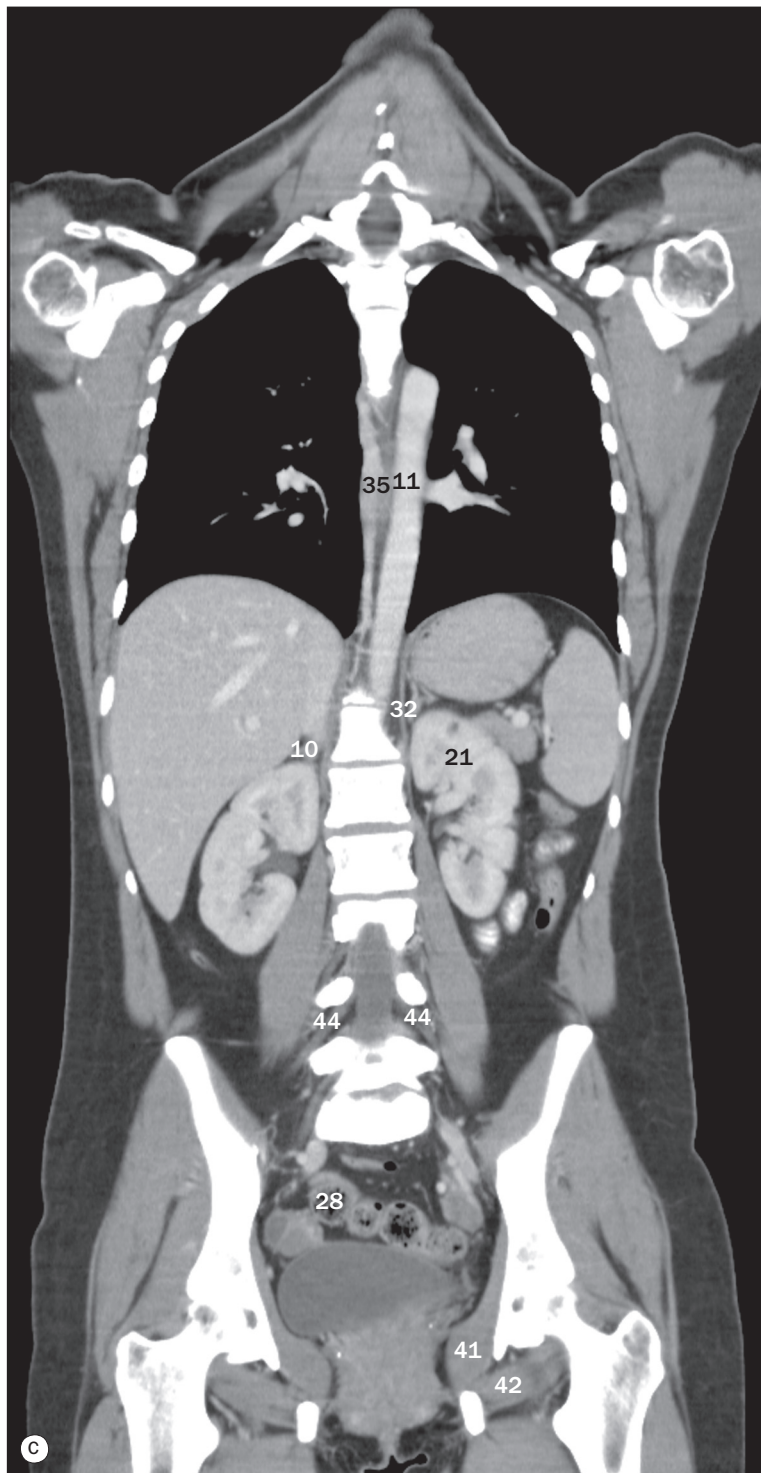
44 Muscle moyen glutéal
45 Muscle obturateur externe
46 Muscle obturateur interne
47 Veine iliaque commune droite
48 Veine iliaque commune gauche
49 Cæcum
50 Artères sigmoïdiennes (branches de l'artère mésentérique inférieure)
51 Jéjunum
52 Iléum

53 Os coxal
54 Tête du fémur
55 Corps du pancréas
56 Queue du pancréas
57 Hémidiaphragme droit
58 Hémidiaphragme gauche
59 Pilier droit du diaphragme
60 Muscle grand dorsal



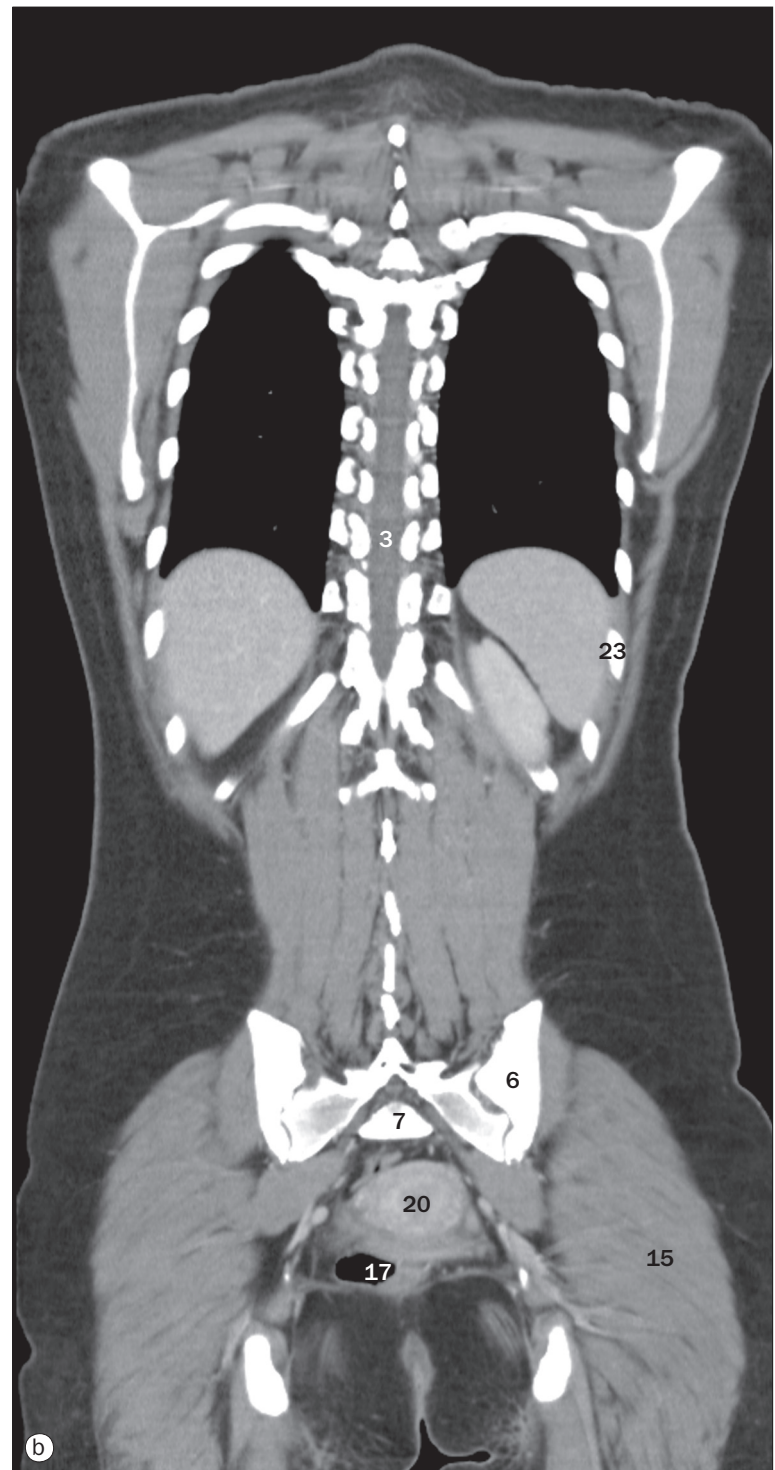
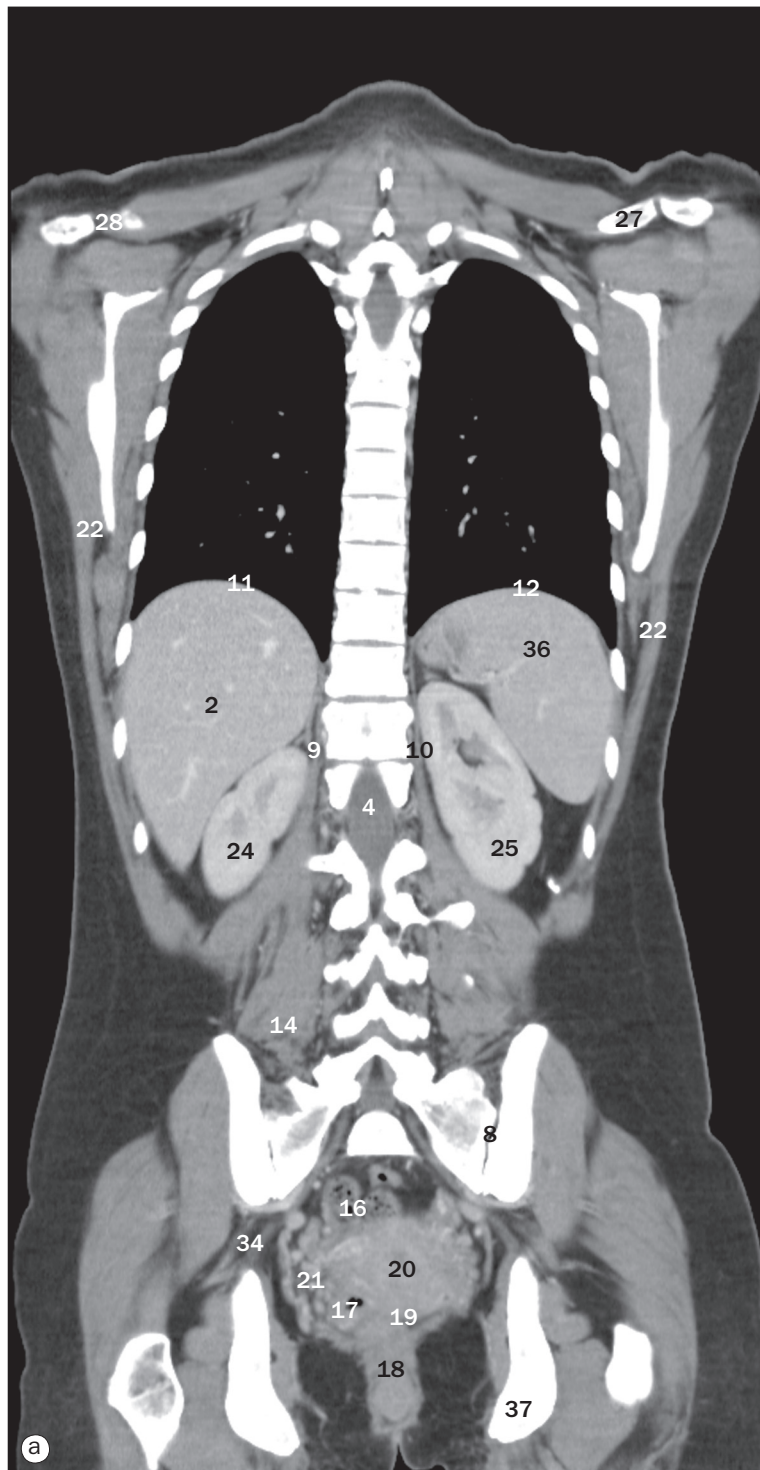
(a)–(d) Thorax, abdomen et pelvis d'une femme, TDM séquentielle en coupes coronales, d'antérieur à postérieur.

- | | | |
|-----------------------------|---------------------------------|---------------------|
| 1 Carina de la trachée | 9 Glande surrénale gauche | 17 Fémur |
| 2 Bronche principale droite | 10 Glande surrénale droite | 18 Vessie |
| 3 Bronche principale gauche | 11 Aorte thoracique descendante | 19 Vagin |
| 4 Œsophage | 12 Arc aortique | 20 Rein droit |
| 5 Atrium gauche | 13 Corps vertébral de L1 | 21 Rein gauche |
| 6 Veine hépatique | 14 Sacrum | 22 Rate |
| 7 Lobe droit du foie | 15 Articulation sacro-iliaque | 23 Artère splénique |
| 8 Fundus gastrique | 16 Acétabulum | 24 Veine splénique |



(a)–(d) Thorax, abdomen et pelvis d'une femme, TDM séquentielle en coupes coronales, d'antérieur à postérieur.

- | | | |
|--------------------------------|--|-------------------------------|
| 25 Aorte abdominale | 33 Hémidiaphragme droit | 41 Muscle obturateur interne |
| 26 Muscle grand psoas | 34 Hémidiaphragme gauche | 42 Muscle obturateur externe |
| 27 Muscle petit psoas | 35 Veine azygos | 43 Canal vertébral |
| 28 Côlon sigmoïde | 36 Rectum | 44 Racines nerveuses lombales |
| 29 Côlon ascendant | 37 Vaisseaux iliaques internes droits | 45 Processus transverse de L5 |
| 30 Côlon descendant | 38 Vaisseaux iliaques internes gauches | 46 Utérus |
| 31 Pilier droit du diaphragme | 39 Muscle carré des lombes | |
| 32 Pilier gauche du diaphragme | 40 Muscle iliaque | |

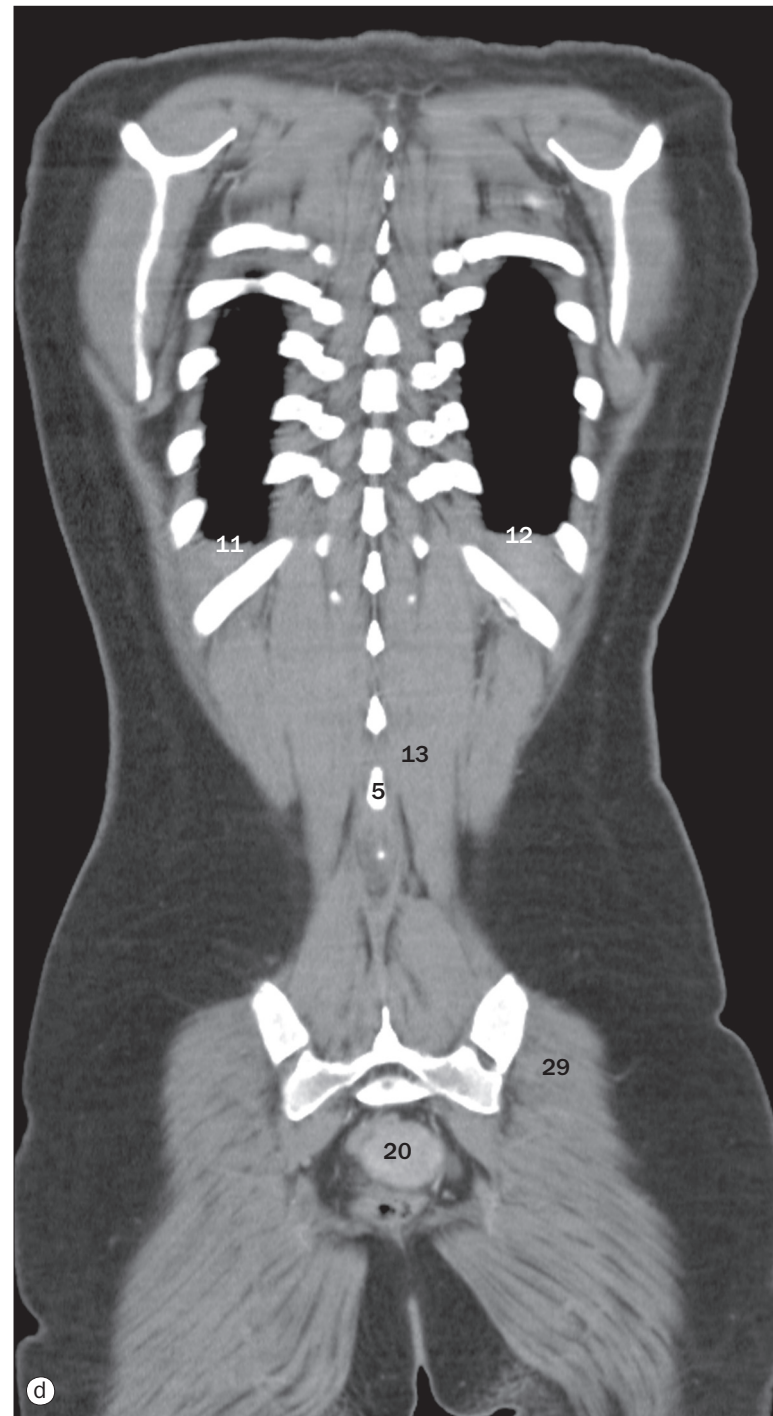
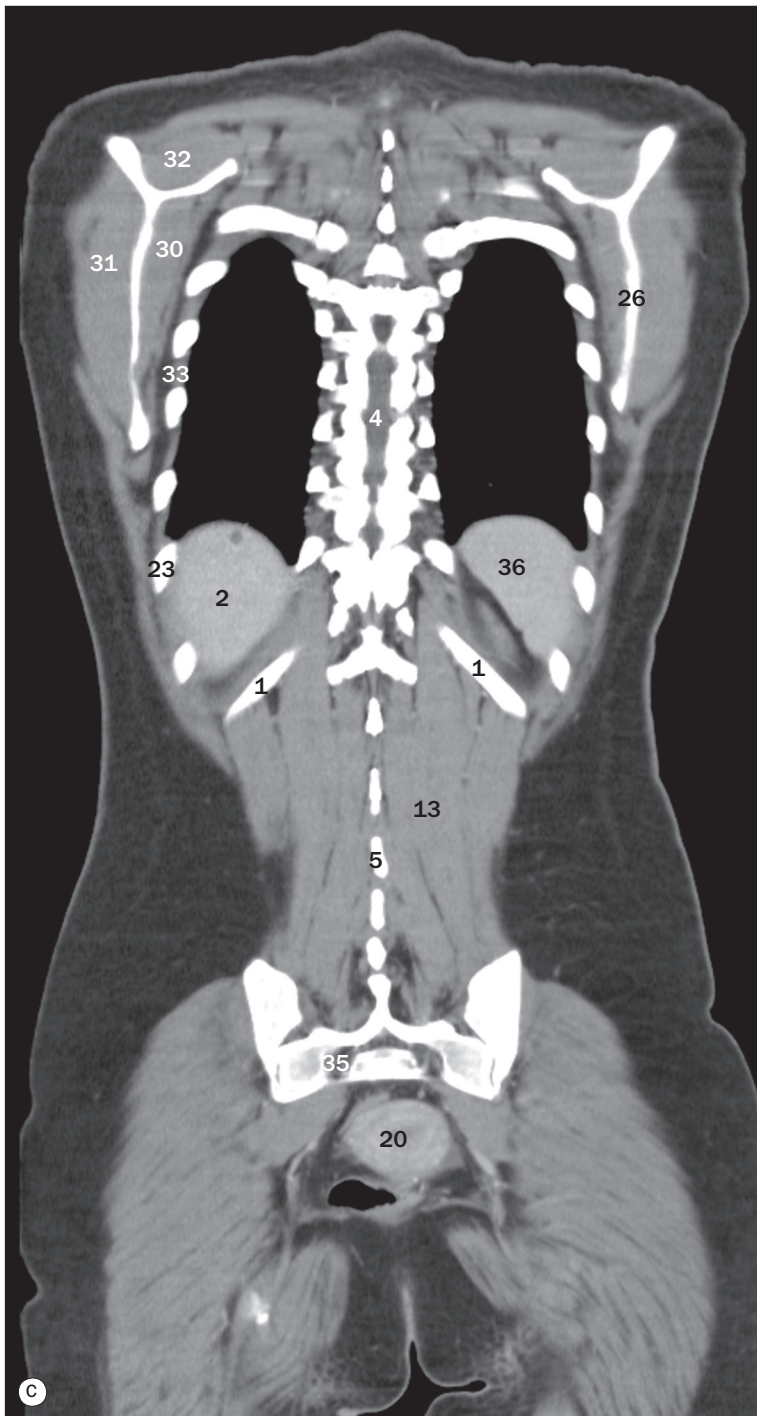


(a)–(d) Thorax, abdomen et pelvis d'une femme, TDM séquentielle en coupes coronales, d'antérieur à postérieur.

- 1 12^e côte
- 2 Foie
- 3 Moelle spinale
- 4 Canal vertébral
- 5 Processus épineux
- 6 Ilium
- 7 Sacrum

- 8 Articulation sacro-iliaque
- 9 Pilier droit du diaphragme
- 10 Pilier gauche du diaphragme
- 11 Hémidiaphragme droit
- 12 Hémidiaphragme gauche
- 13 Muscles érecteurs du rachis
- 14 Muscle carré des lombes

- 15 Muscle grand glutéal
- 16 Côlon sigmoïde
- 17 Rectum
- 18 Vagin
- 19 Col de l'utérus
- 20 Utérus
- 21 Veines utérines

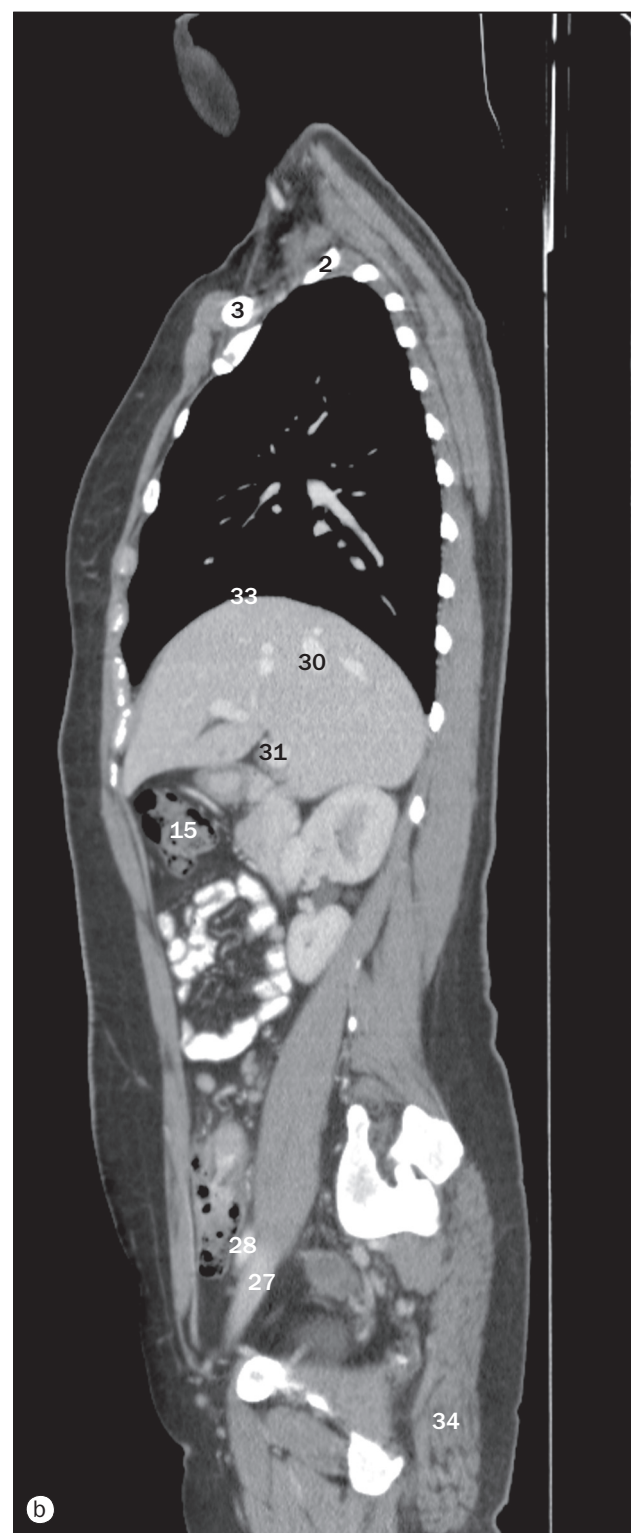


(a)–(d) Thorax, abdomen et pelvis d'une femme, TDM séquentielle en coupes coronales, d'antérieur à postérieur.

22 Muscle grand dorsal
23 10^e côte
24 Rein droit
25 Rein gauche
26 Scapula
27 Clavicule

28 Articulation acromioclaviculaire
29 Muscle moyen glutéal
30 Muscle subscapulaire
31 Muscle infraépineux
32 Muscle supraépineux
33 Muscle intercostal

34 Nerf sciatique
35 Foramen sacral
36 Rate
37 Ischium

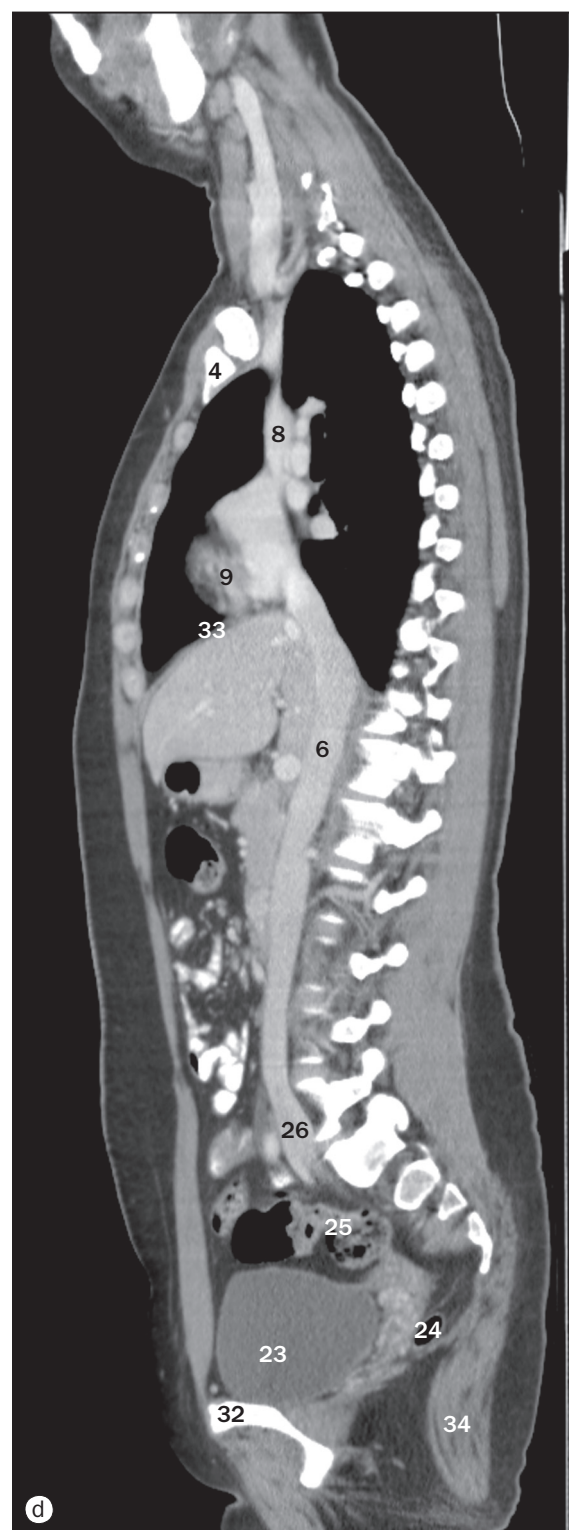
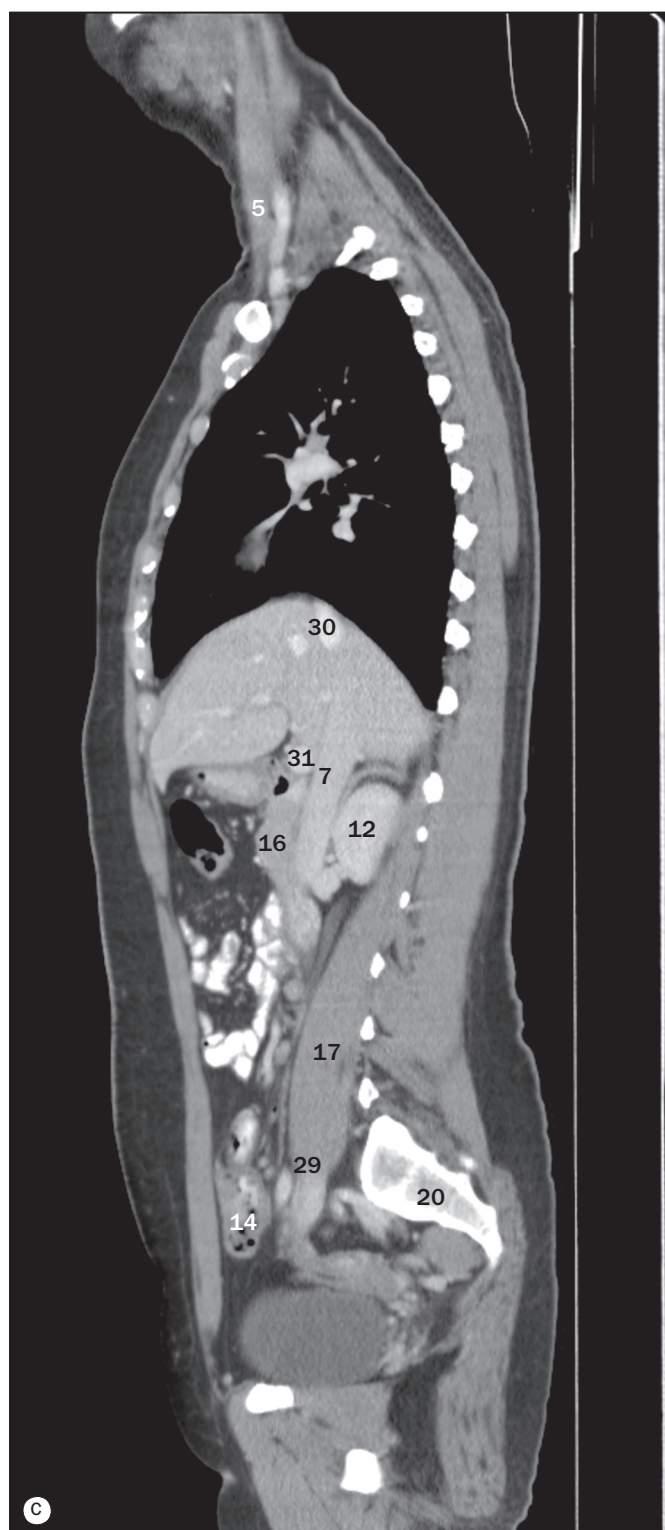


(a)–(d) Thorax, abdomen et pelvis d'une femme, TDM séquentielle en coupes sagittales, de droite à gauche.
Note : les pages 146–149 montrent des images séquentielles de la même patiente.

1 Poumon droit
2 1^{re} côte droite
3 Clavicule droite
4 Manubrium sternal
5 Veine jugulaire interne droite
6 Aorte

7 Veine cave inférieure
8 Veine cave supérieure
9 Atrium droit
10 Lobe droit du foie
11 Vésicule biliaire
12 Rein droit

13 Jéjunum
14 Iléum
15 Angle colique droit
16 Pancréas
17 Muscle grand psoas
18 Muscle iliopsoas

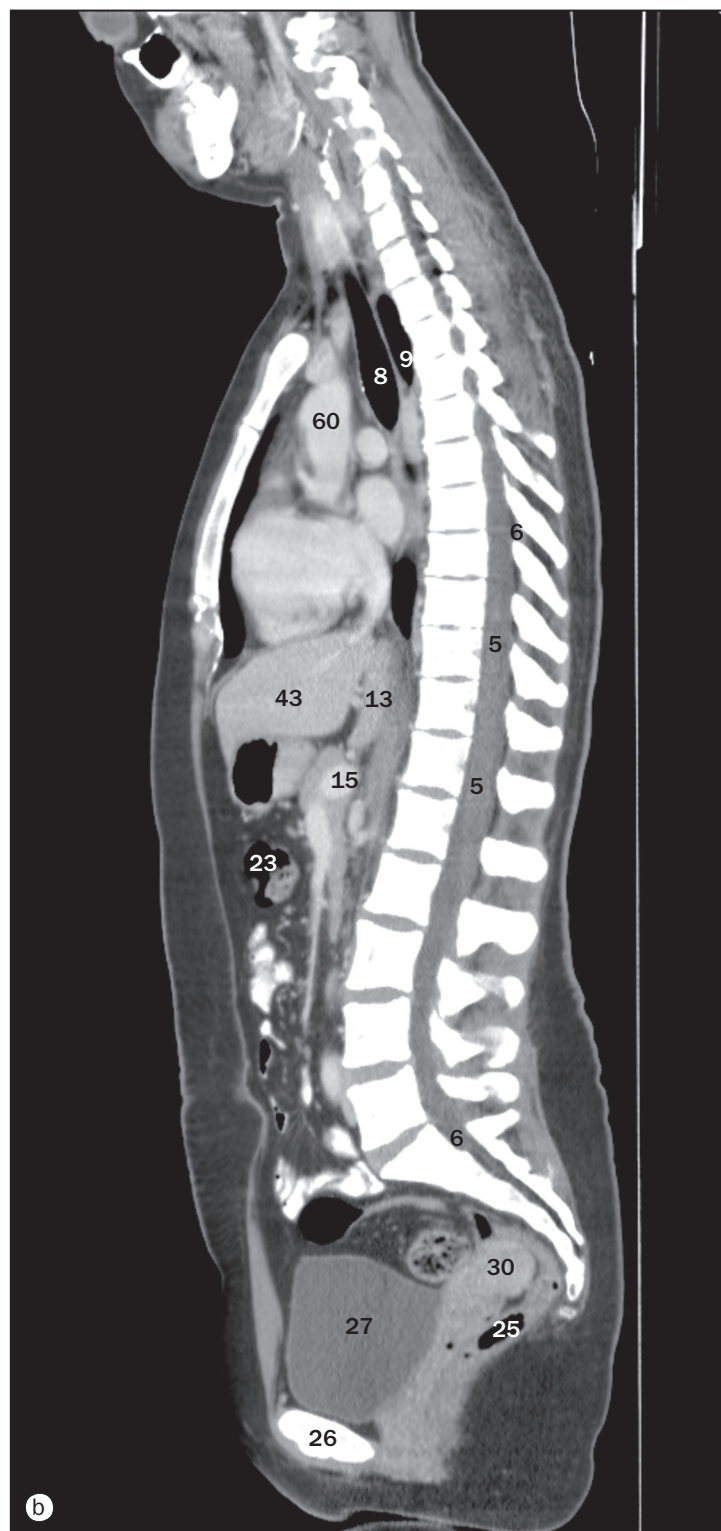
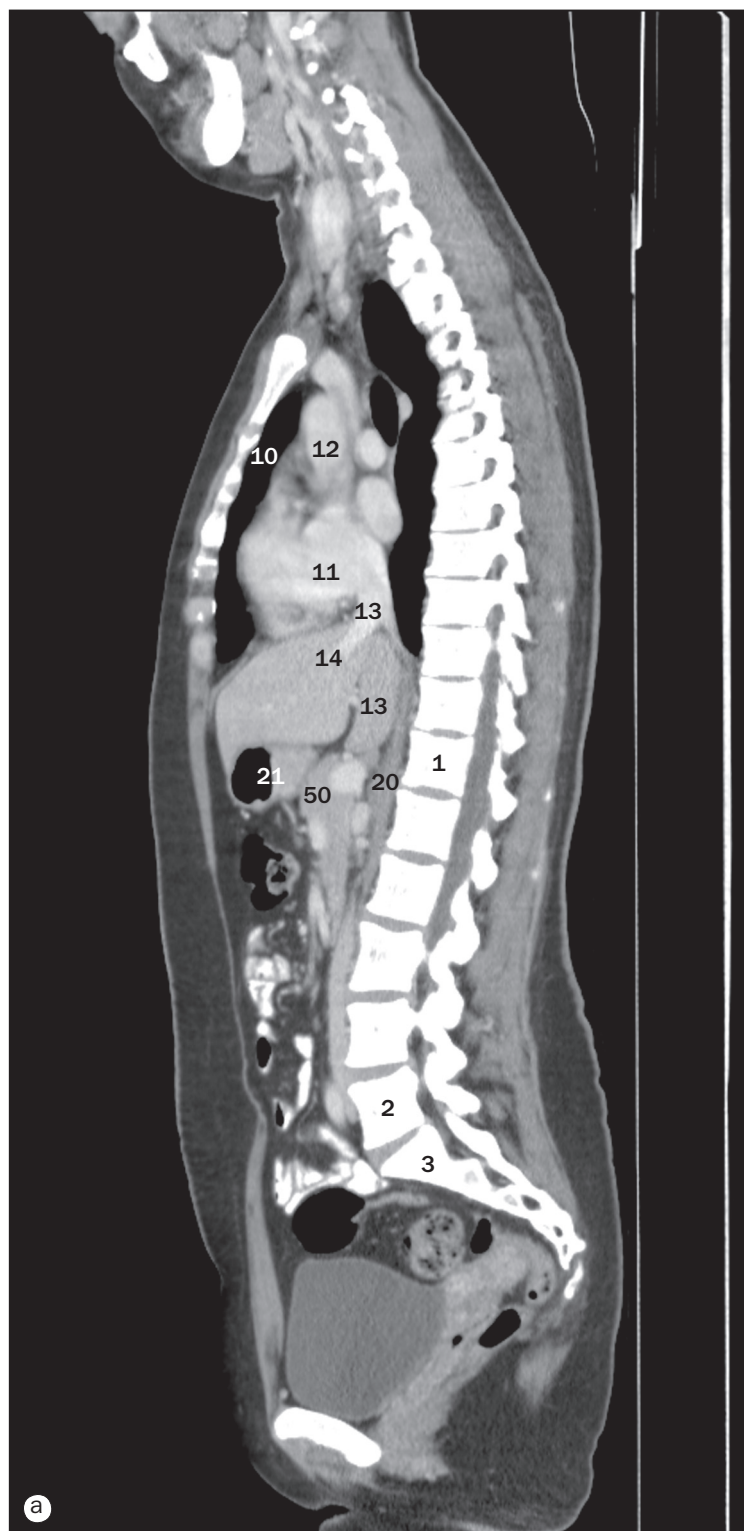


(a)–(d) Thorax, abdomen et pelvis d'une femme, TDM séquentielle en coupes sagittales, de droite à gauche.

19 Vaisseaux fémoraux communs
20 Sacrum
21 Ilium
22 Ischium
23 Vessie
24 Rectum

25 Côlon sigmoïde
26 Artère iliaque commune droite
27 Veine iliaque externe droite
28 Artère iliaque externe droite
29 Veine iliaque commune droite
30 Veine hépatique

31 Veine porte
32 Pubis
33 Hémidiaphragme droit
34 Muscle grand glutéal

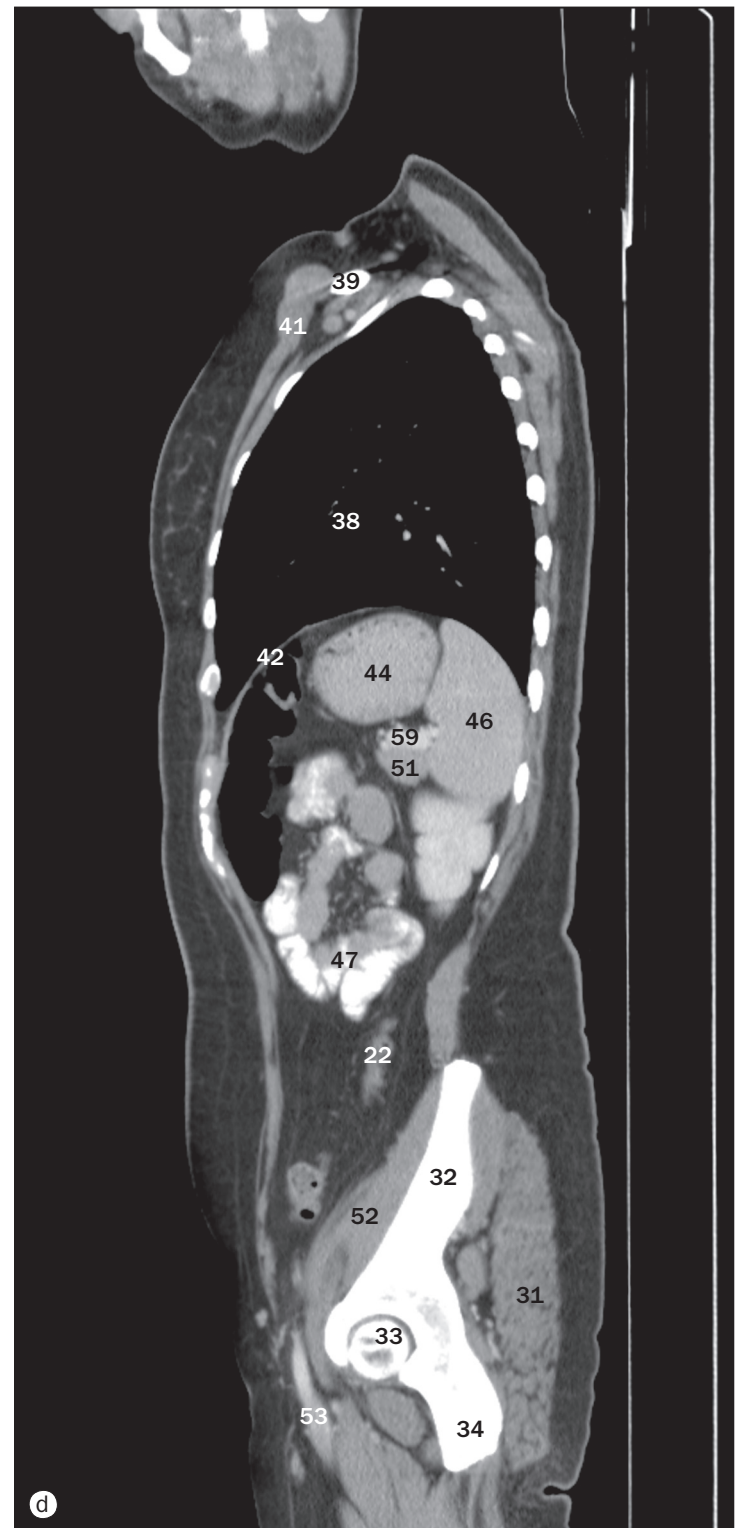
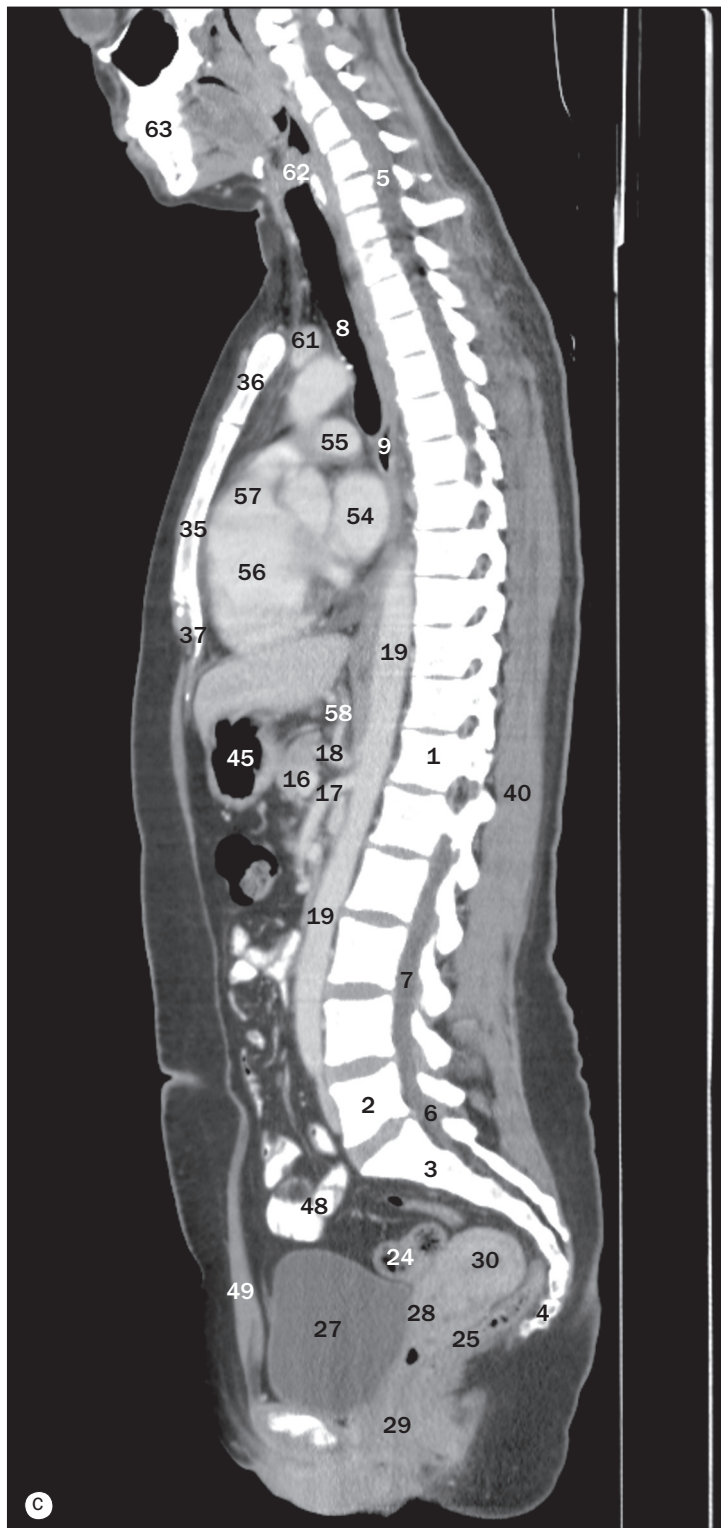


(a)–(d) Thorax, abdomen et pelvis d'une femme, TDM séquentielle en coupes sagittales, de droite à gauche.

1 Corps de la vertèbre T12
2 Corps de la vertèbre L5
3 Sacrum
4 Coccyx
5 Moelle spinale
6 Canal vertébral
7 Filum terminale
8 Trachée
9 Œsophage
10 Poumon droit

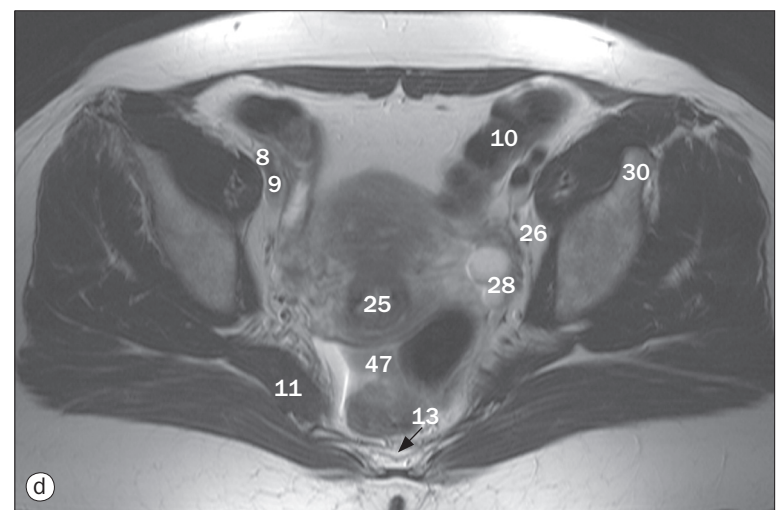
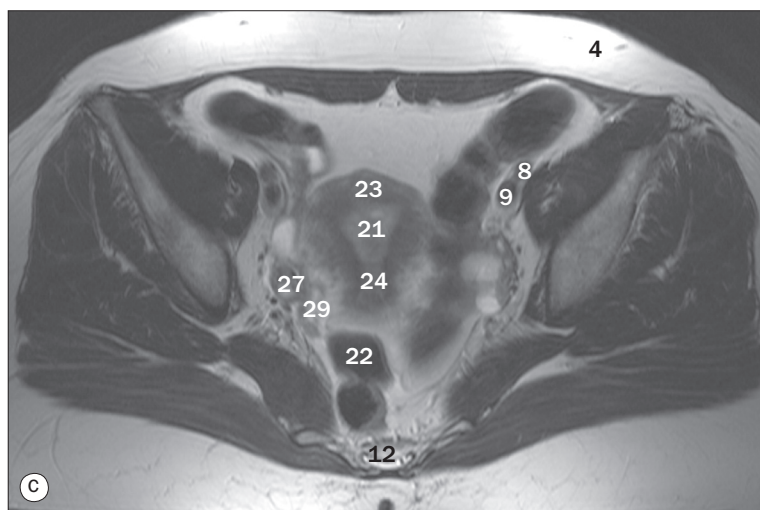
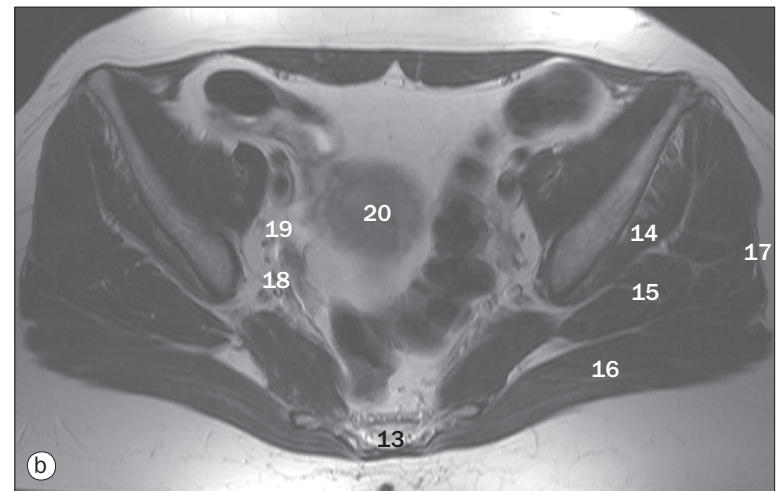
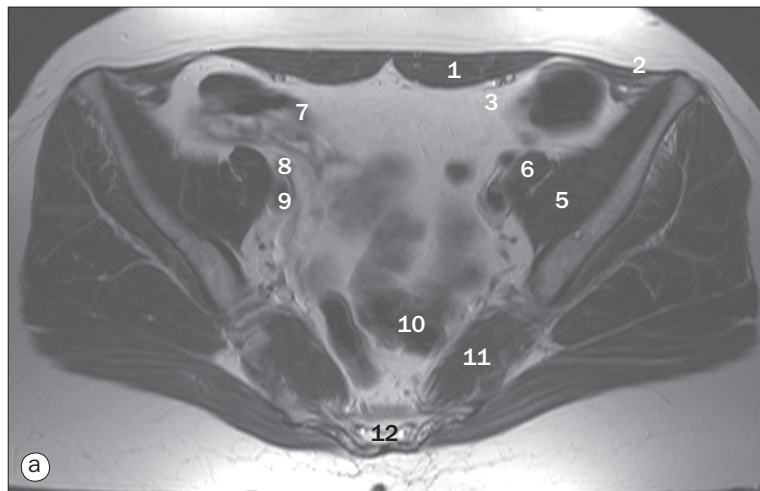
11 Atrium droit
12 Veine cave supérieure
13 Veine cave inférieure
14 Veine hépatique
15 Veine splénique
16 Veine mésentérique supérieure
17 Artère mésentérique supérieure
18 Tronc cœliaque
19 Aorte
20 Pilier droit du diaphragme

21 Estomac
22 Côlon descendant
23 Côlon transverse
24 Côlon sigmoïde
25 Rectum
26 Pubis
27 Vessie
28 Col de l'utérus
29 Vagin
30 Utérus



(a)–(d) Thorax, abdomen et pelvis d'une femme, TDM séquentielle en coupes sagittales, de droite à gauche.

- | | | |
|---------------------------------|------------------------------|-----------------------------------|
| 31 Muscle grand glutéal | 42 Hémidiaphragme gauche | 53 Vaisseaux fémoraux gauches |
| 32 Ilium | 43 Foie | 54 Atrium gauche |
| 33 Tête du fémur | 44 Fundus gastrique | 55 Artère pulmonaire droite |
| 34 Ischium | 45 Corps de l'estomac | 56 Ventricule droit |
| 35 Sternum | 46 Rate | 57 Infundibulum pulmonaire |
| 36 Manubrium sternal | 47 Jéjunum | 58 Artère hépatique commune |
| 37 Processus xiphoïde | 48 Iléum | 59 Artère splénique |
| 38 Poumon gauche | 49 Muscle droit de l'abdomen | 60 Aorte thoracique ascendante |
| 39 Clavicule gauche | 50 Corps du pancréas | 61 Veine brachiocéphalique gauche |
| 40 Muscles érecteurs du rachis | 51 Queue du pancréas | 62 Larynx |
| 41 Muscle grand pectoral gauche | 52 Muscle iliaque | 63 Mandibule |

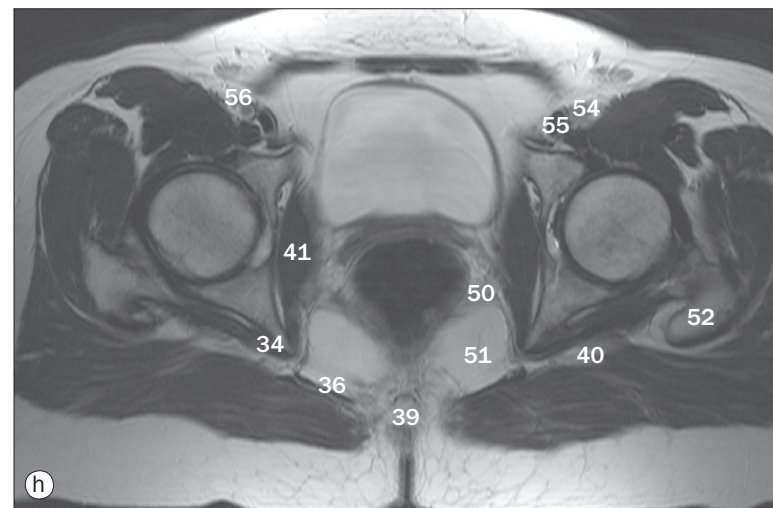
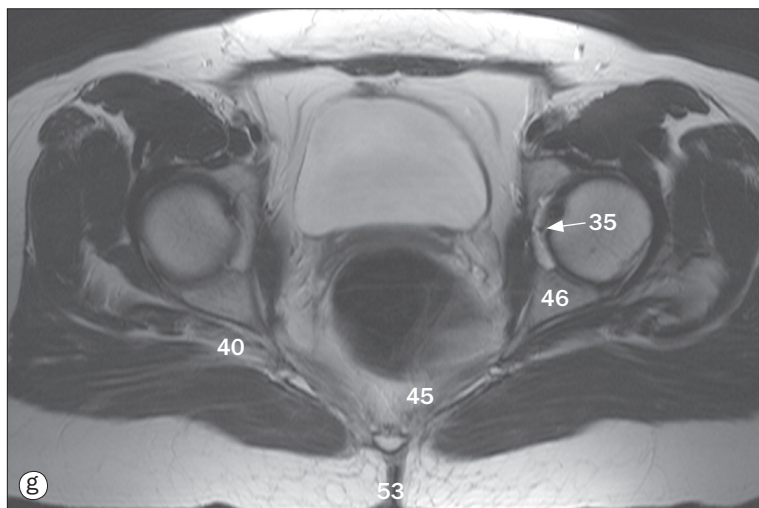
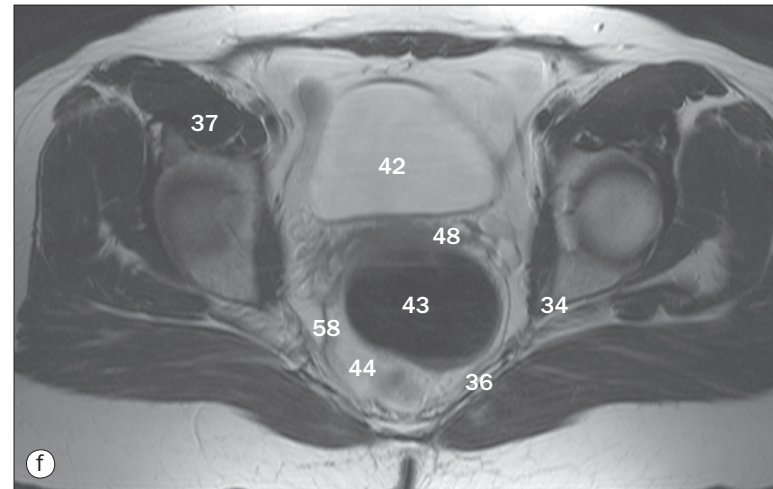
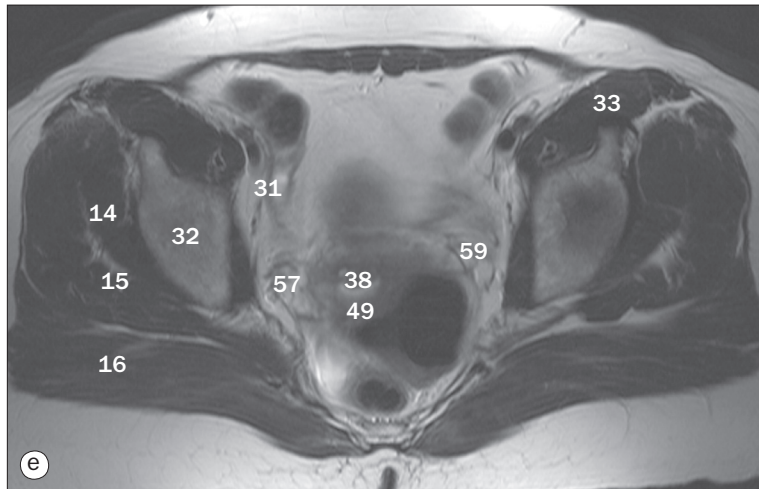


(a)–(p) Pelvis féminin, IRM séquentielle pondérée en T2 en coupes axiales, de supérieur à inférieur.

1 Muscle droit de l'abdomen
 2 Aponévrose oblique externe
 3 Vaisseaux épigastriques inférieurs
 4 Vaisseaux épigastriques superficiels
 5 Muscle iliaque
 6 Muscle psoas
 7 Iléum
 8 Artère iliaque externe
 9 Veine iliaque externe
 10 Côlon sigmoïde

11 Muscle piriforme
 12 Sacrum
 13 Canal sacral central
 14 Muscle petit glutéal
 15 Muscle moyen glutéal
 16 Muscle grand glutéal
 17 Fascia lata
 18 Vaisseaux glutéaux supérieurs
 19 Vaisseaux ovariens
 20 Fond de l'utérus

21 Cavité utérine
 22 Jonction rectosigmoïdienne
 23 Myomètre de l'utérus
 24 Ostium interne de l'utérus
 25 Ostium externe de l'utérus
 26 Vaisseaux obturateurs
 27 Ovaire droit
 28 Ovaire gauche
 29 Trompe utérine droite
 30 Épine iliaque antéro-inférieure

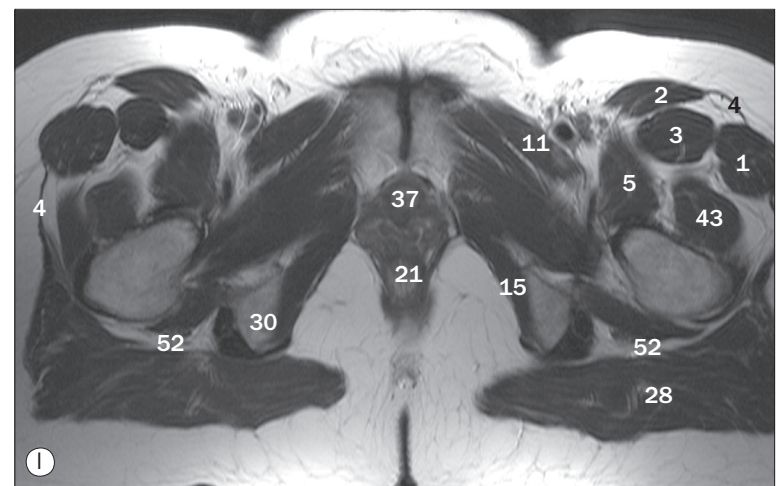
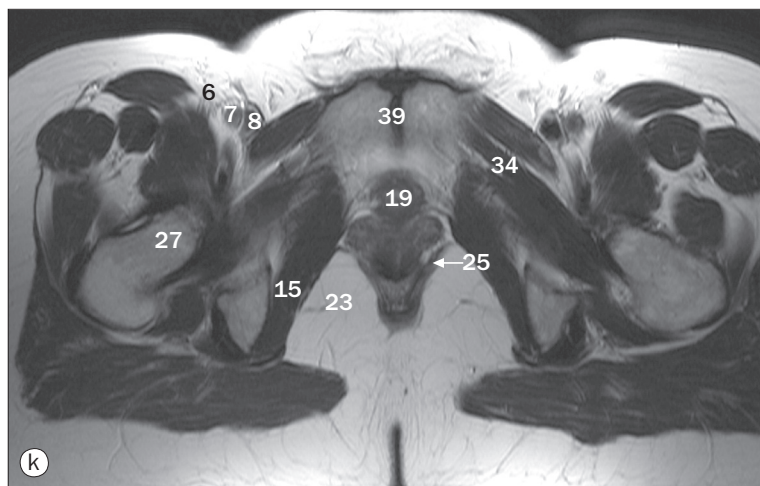
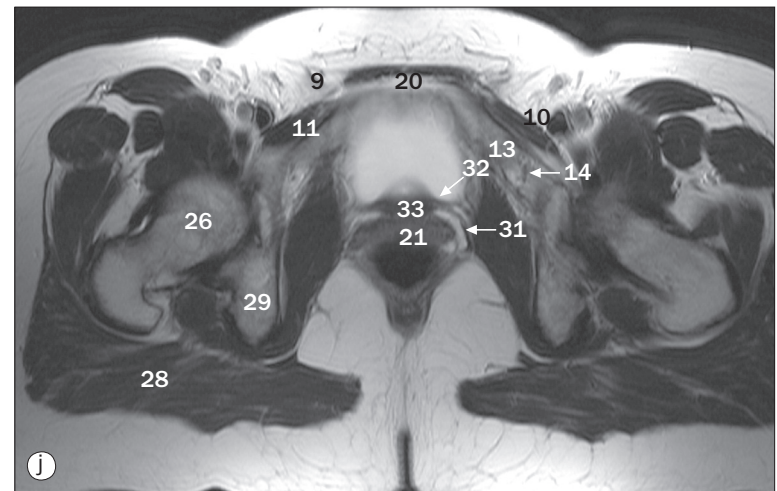
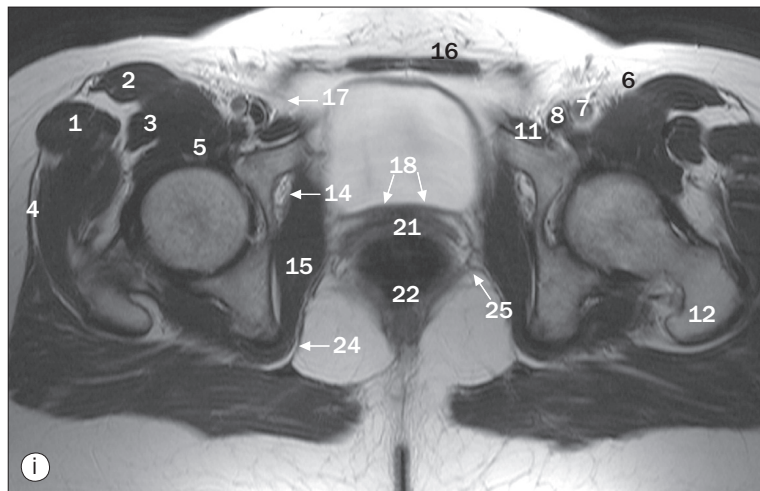


(a)–(p) Pelvis féminin, IRM séquentielle pondérée en T2 en coupes axiales, de supérieur à inférieur.

31 Ligament rond de l'utérus
 32 Toit de l'acétabulum
 33 Muscle droit de la cuisse
 34 Épine ischiatique
 35 Ligament rond de la tête fémorale
 36 Ligament sacroépineux
 37 Muscle iliopsoas
 38 Paroi du col de l'utérus
 39 Coccyx
 40 Nerf sciatique

41 Muscle obturateur interne
 42 Vessie
 43 Rectum
 44 Mésorectum
 45 Fascia de Waldeyer
 46 Ischium
 47 Cul-de-sac recto-utérin (de Douglas)
 48 Fornix postérieur du vagin
 49 Ostium de l'utérus
 50 Muscle élévateur de l'anus (puborectal)

51 Fosse ischioanale
 52 Grand trochanter du fémur
 53 Sillon interfessier (interglutéal)
 54 Artère fémorale commune
 55 Veine fémorale commune
 56 Rameaux du nerf fémoral
 57 Ligament cardinal
 58 Ligament utérosacral
 59 Ligament large

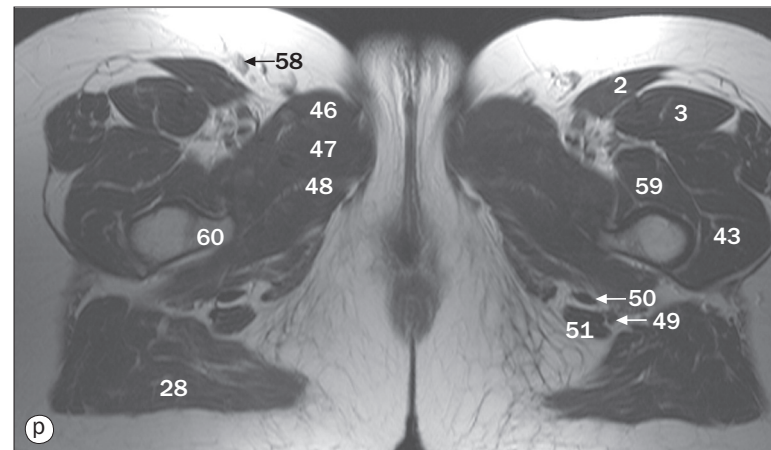
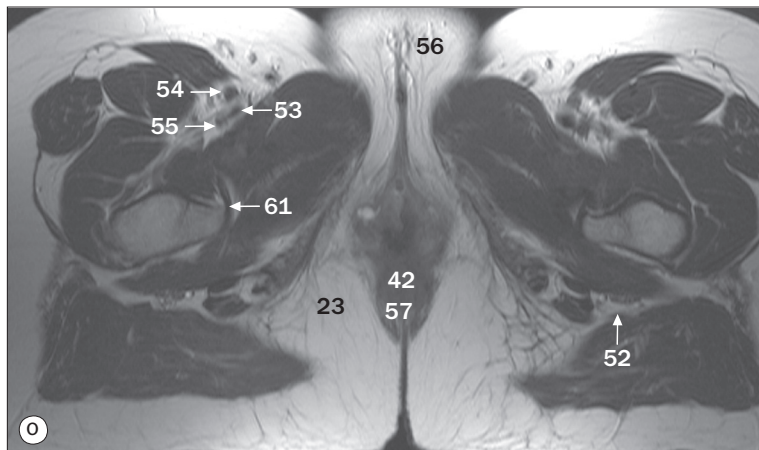
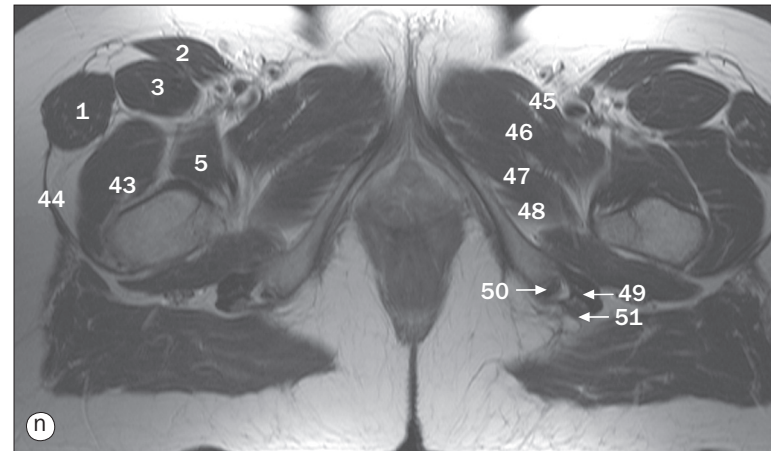
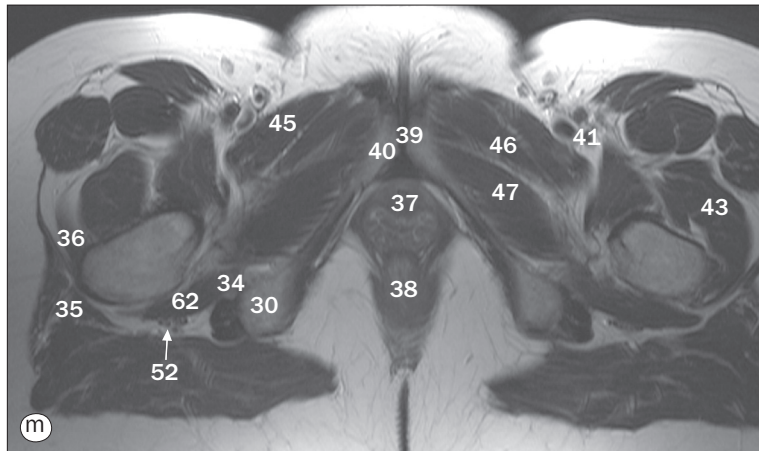


(a)–(p) Pelvis féminine, IRM séquentielle pondérée en T2 en coupes axiales, de supérieur à inférieur.

1 Muscle tenseur du fascia lata
2 Muscle sartorius
3 Muscle droit de la cuisse
4 Fascia lata
5 Muscle iliopsoas
6 Rameaux du nerf fémoral
7 Artère fémorale commune
8 Veine fémorale commune
9 Ligament rond de l'utérus
10 Canal fémoral

11 Muscle pectiné
12 Grand trochanter du fémur
13 Branche supérieure du pubis
14 Vaisseaux obturateurs
15 Muscle obturateur interne
16 Muscle droit de l'abdomen
17 Ligament inguinal
18 Base de la vessie
19 Col de la vessie
20 Graisse extrapéritonéale (cavité de Retzius)

21 Vagin
22 Rectum
23 Fosse ischioanale
24 Pédicule neurovasculaire pudendal (canal d'Alcock)
25 Muscle puborectal
26 Tête du fémur
27 Col du fémur
28 Muscle grand glutéal
29 Ischium



(a)–(p) Pelvis féminin, IRM séquentielle pondérée en T2 en coupes axiales, de supérieur à inférieur.

30 Tubérosité ischiatique

31 Uretère

32 Jonction vésico-urétérale

33 Trigone vésical

34 Muscle obturateur externe

35 Muscle moyen glutéal

36 Muscle moyen glutéal (terminaison tendineuse)

37 Urètre

38 Jonction anorectale

39 Symphyse pubienne

40 Corps du pubis

41 Artère profonde de la cuisse

42 Proéminence périnéale

43 Muscle vaste latéral

44 Tractus iliotibial

45 Muscle pectiné

46 Muscle long adducteur

47 Muscle court adducteur

48 Muscle grand adducteur

49 Muscle semimembraneux

50 Muscle semitendineux

51 Muscle biceps fémoral

52 Nerf sciatique

53 Veine fémorale superficielle

54 Artère fémorale superficielle

55 Vaisseaux fémoraux profonds

56 Grandes lèvres

57 Canal anal

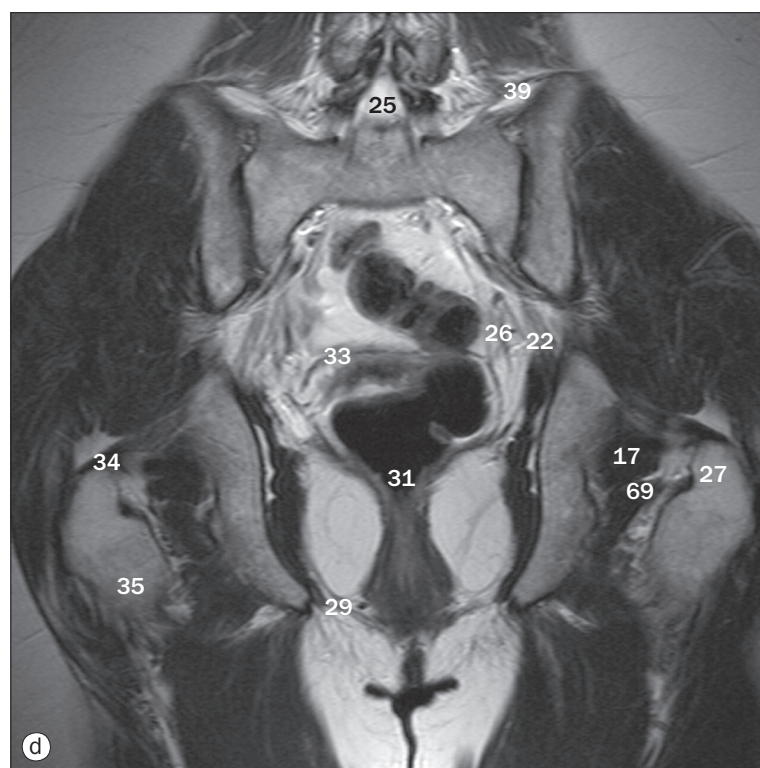
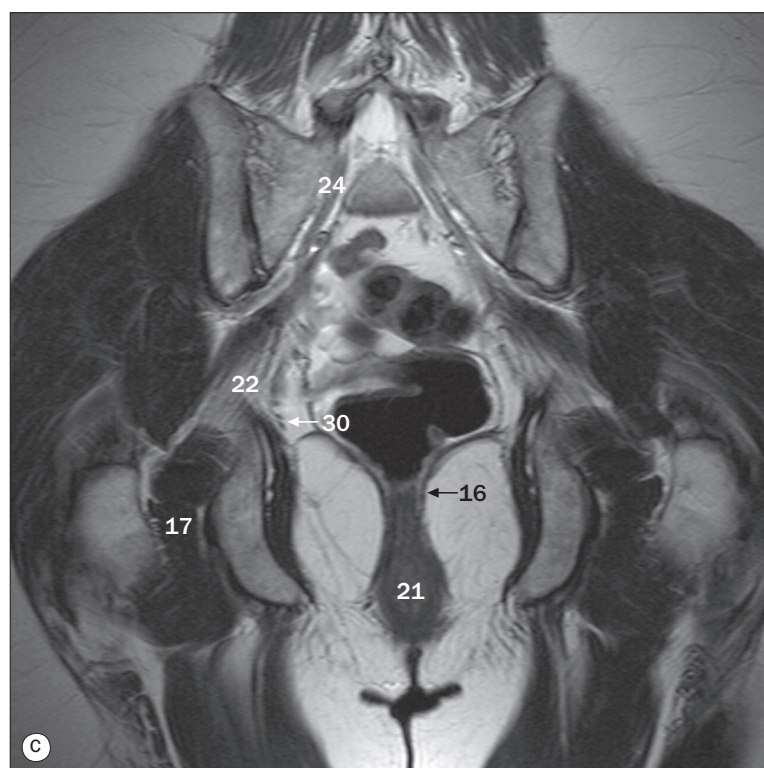
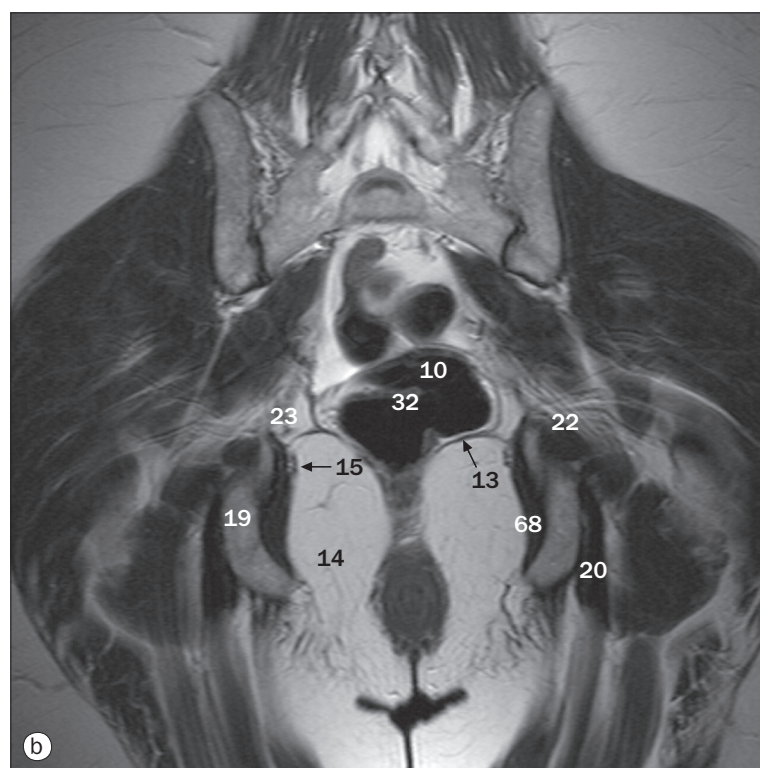
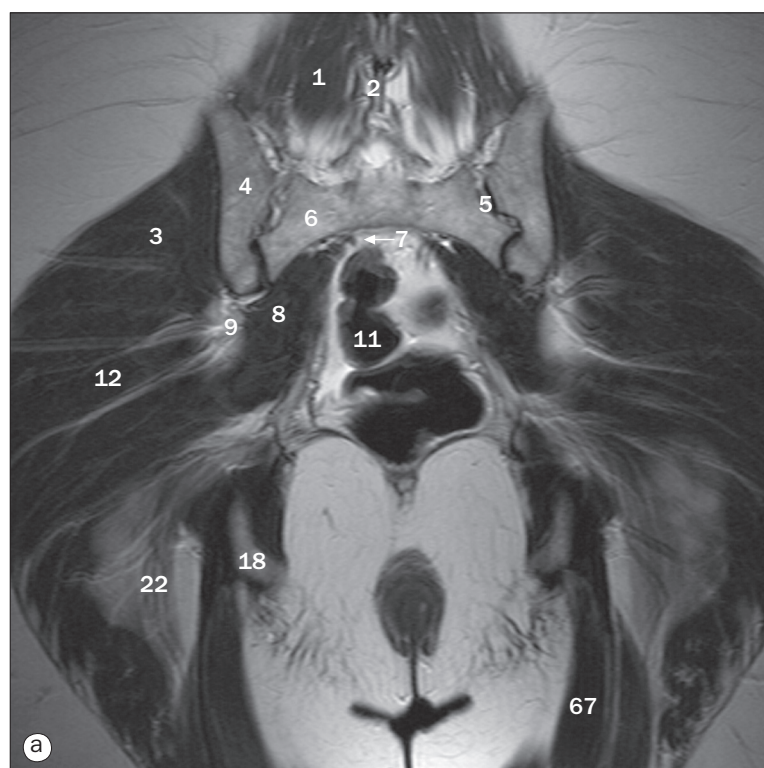
58 Grande veine saphène

59 Muscle vaste intermédiaire

60 Petit trochanter du fémur

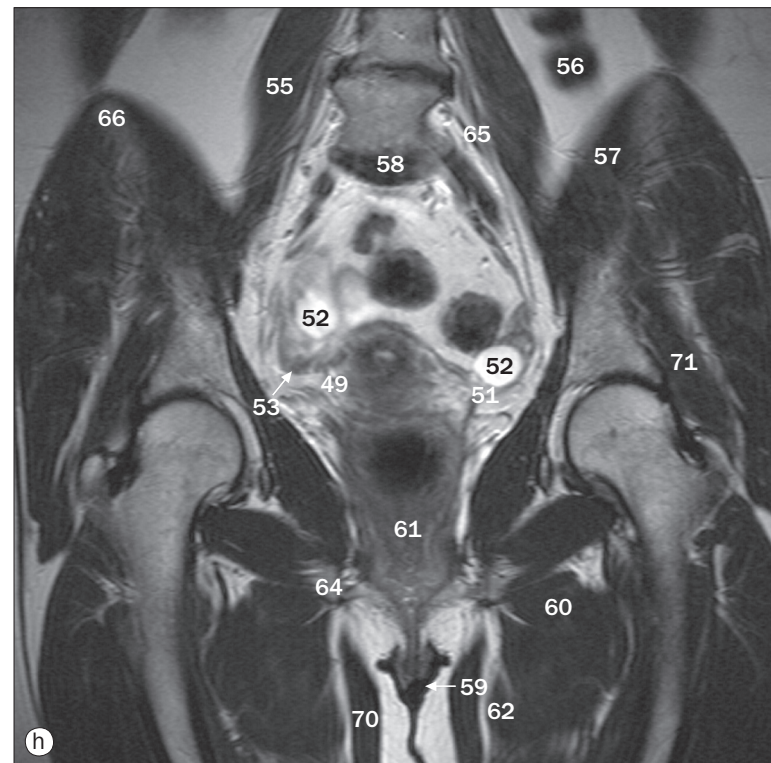
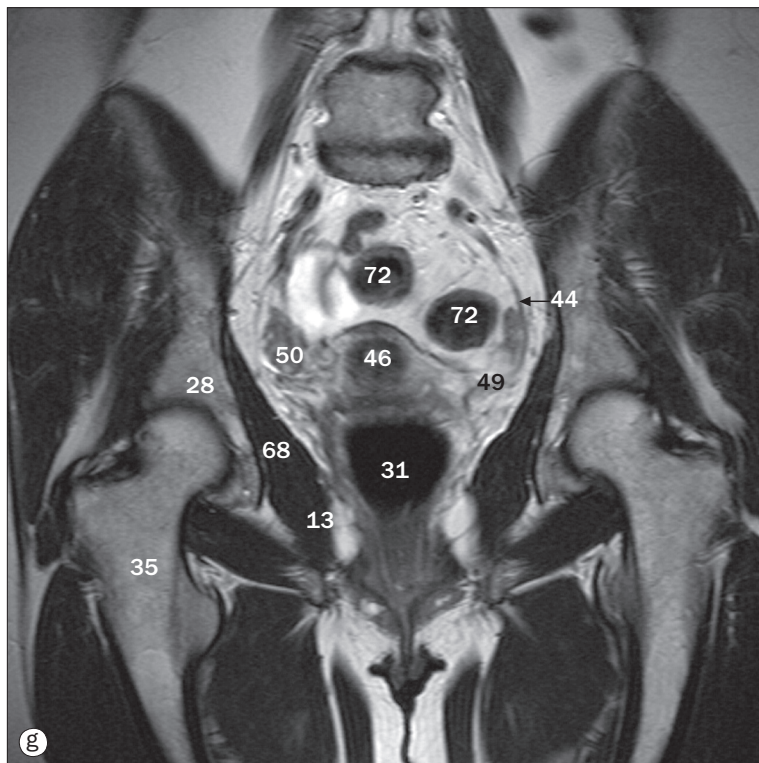
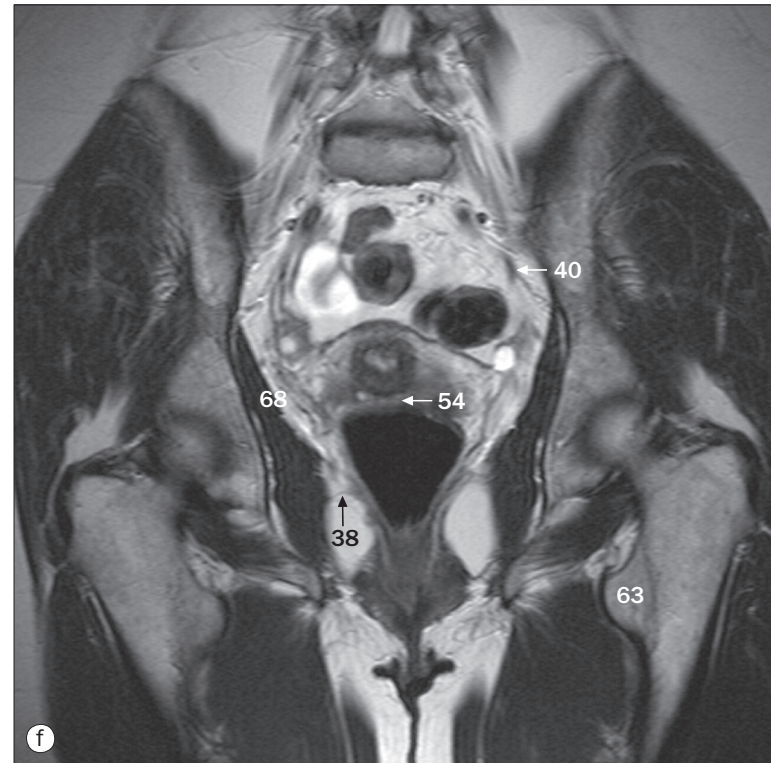
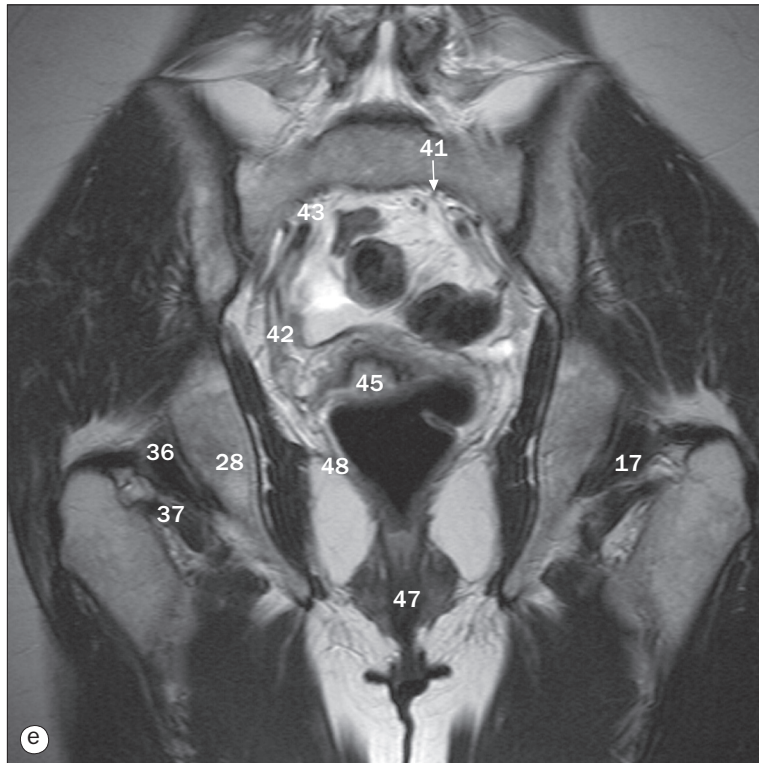
61 Insertion de l'iliopsoas

62 Muscle carré fémoral



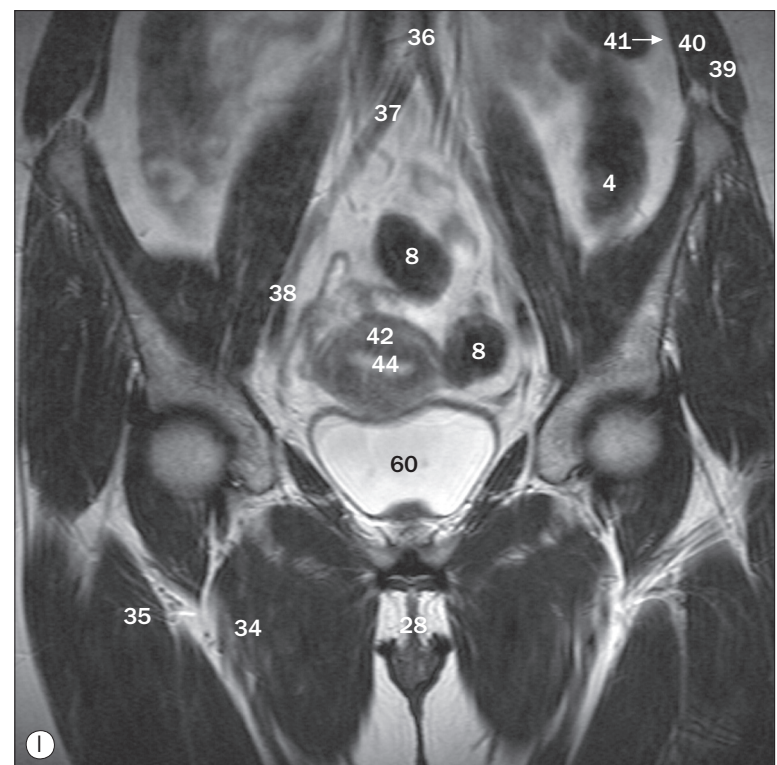
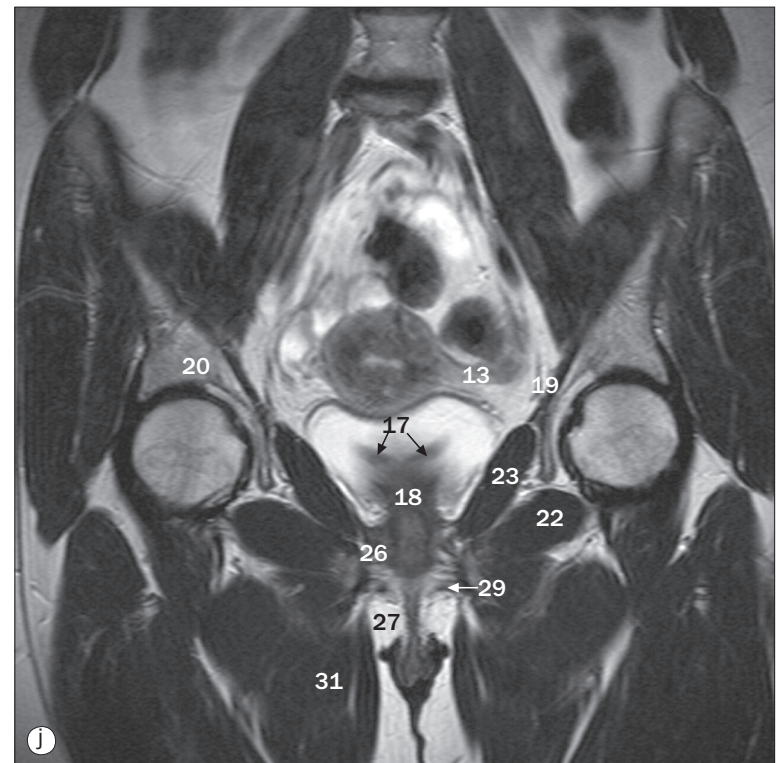
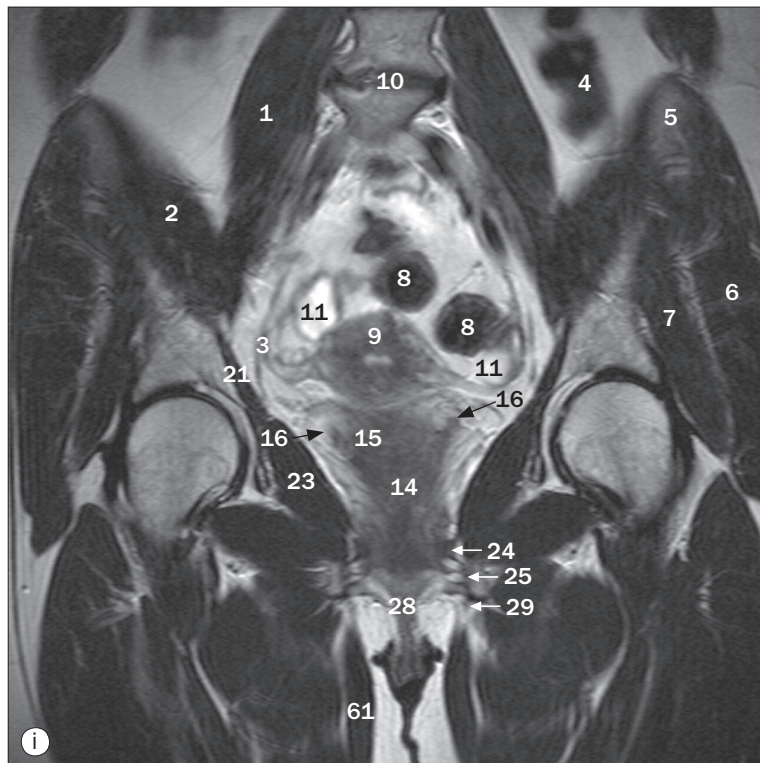
(a)–(p) Pelvis féminine, IRM pondérée en T2 en coupes coronales, de postérieur à antérieur.

- | | | |
|---------------------------------|---|---|
| 1 Muscle érecteur du rachis | 14 Fosse ischioanale | 25 Sac théal |
| 2 Processus épineux de L5 | 15 Pédicule neurovasculaire pudendal (canal d'Alcock) | 26 Vaisseaux rectaux supérieurs |
| 3 Muscle grand glutéal | 16 Sphincter anal externe | 27 Grand trochanter du fémur |
| 4 Ilium | 17 Muscle obturateur externe | 28 Acétabulum |
| 5 Articulation sacro-iliaque | 18 Tubérosité ischiatique | 29 Diaphragme urogénital |
| 6 Aile du sacrum | 19 Ischium | 30 Pédicule neurovasculaire obturateur |
| 7 Tronc lombosacral | 20 Origine commune des muscles ischiojambiers | 31 Ampoule rectale |
| 8 Muscle piriforme | 21 Canal anal | 32 Plis transverses du rectum (valvules de Houston) |
| 9 Vaisseaux glutéaux supérieurs | 22 Nerf sciatique | 33 Vaisseaux rectaux moyens |
| 10 Rectum | 23 Vaisseaux glutéaux inférieurs | 34 Muscle piriforme (terminaison) |
| 11 Jonction rectosigmoïdienne | 24 Nerf sacral (S1) | 35 Partie intertrochantérique du fémur |



(a)–(p) Pelvis féminine, IRM pondérée en T2 en coupes coronales, de postérieur à antérieur.

- | | | |
|--|---|--------------------------------|
| 36 Muscle obturateur externe | 49 Ligament large de l'utérus | 61 Vagin (paroi postérieure) |
| 37 Muscle jumeau | 50 Ovaire droit | 62 Muscle long adducteur |
| 38 Pédicule neurovasculaire rectal inférieur | 51 Ovaire gauche | 63 Petit trochanter du fémur |
| 39 Ligament iliolombal | 52 Kyste physiologique de l'ovaire (corps jaune kystique) | 64 Branche inférieure du pubis |
| 40 Uretère | 53 Trompe utérine | 65 Plexus lombal |
| 41 Chaîne sympathique | 54 Cul-de-sac recto-utérin | 66 Crête iliaque |
| 42 Branches des vaisseaux iliaques internes | 55 Muscle grand psoas | 67 Muscle biceps fémoral |
| 43 Bifurcation du vaisseau iliaque commun | 56 Côlon descendant | 68 Muscle obturateur interne |
| 44 Vaisseaux génitaux | 57 Muscle iliaque | 69 Muscle carré fémoral |
| 45 Col de l'utérus | 58 Disque intervertébral de L5–S1 | 70 Muscle gracile |
| 46 Cavité utérine | 59 Petites lèvres | 71 Muscle petit glutéal |
| 47 Proéminence périnéale | 60 Muscle court adducteur | 72 Côlon sigmoïde |
| 48 Muscle puborectal | | |

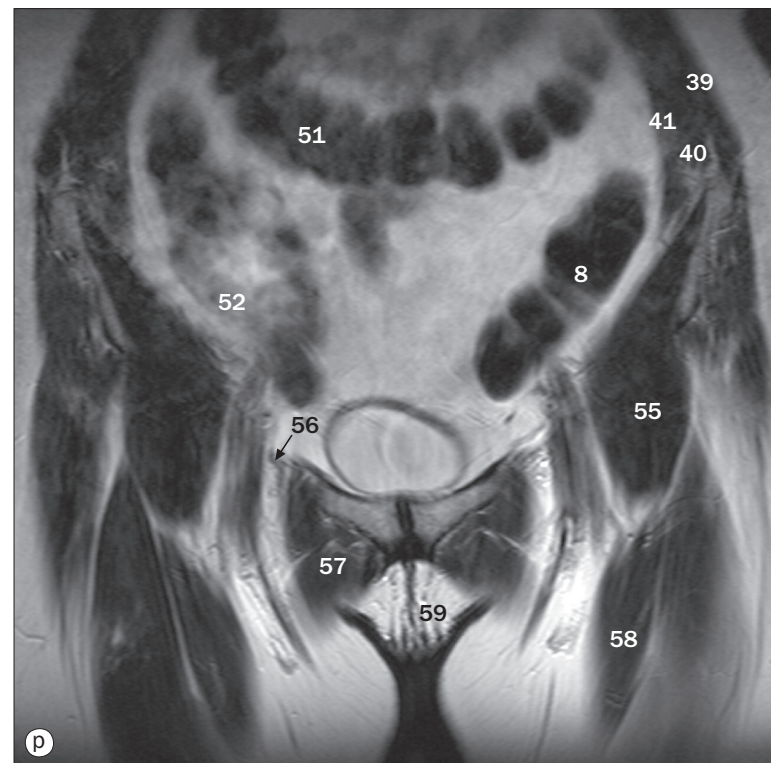
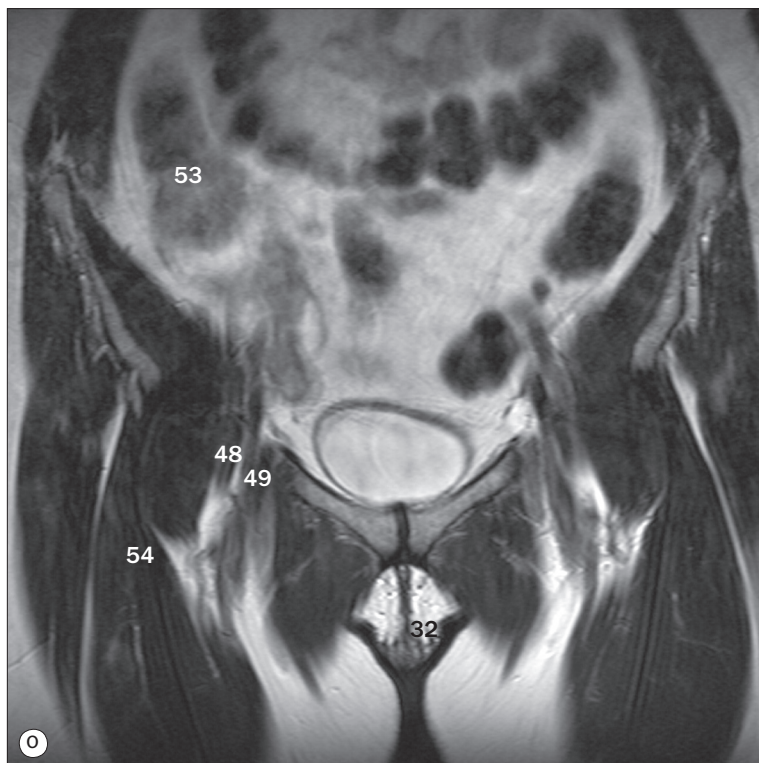
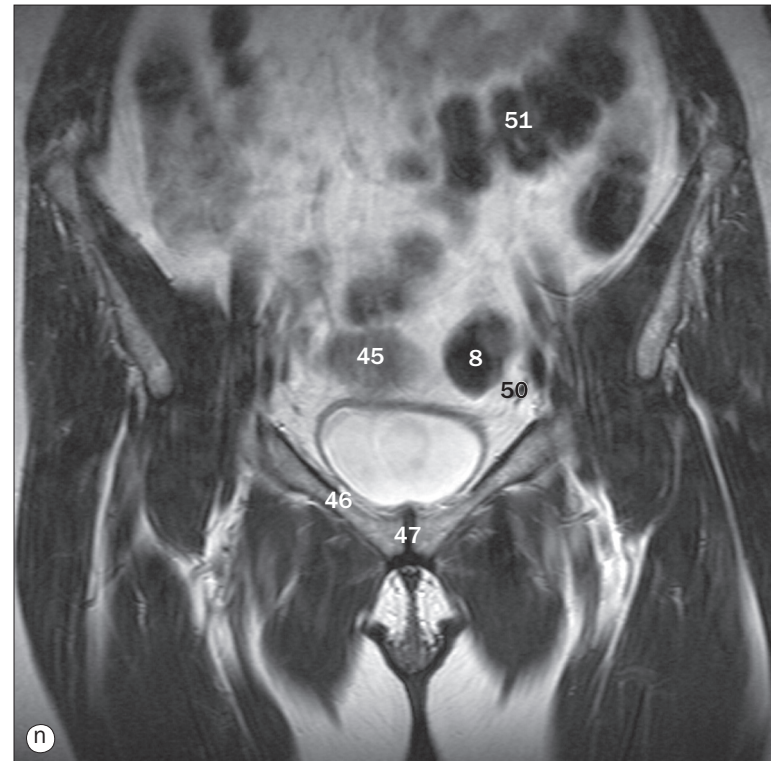
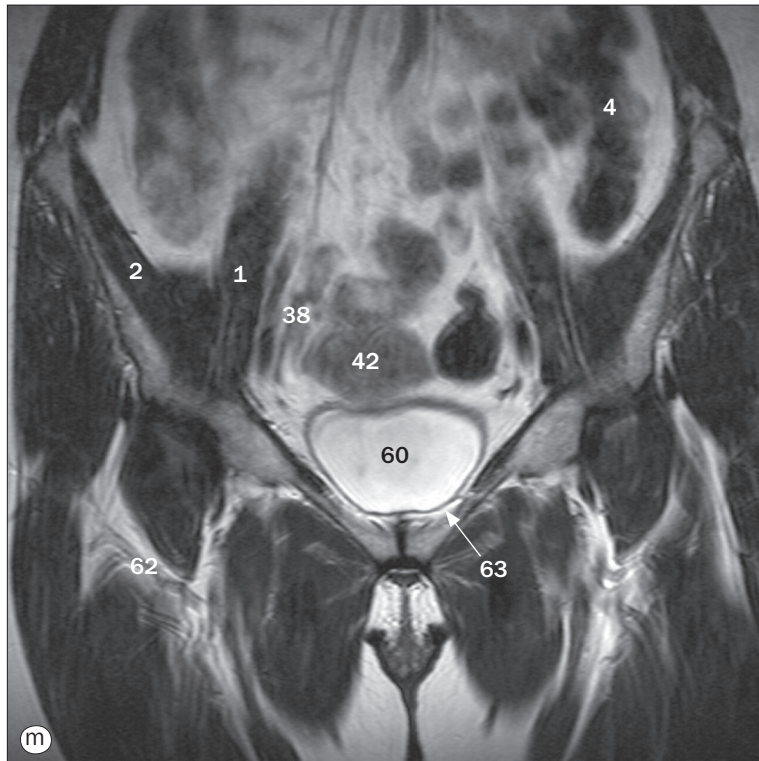


(a)–(p) Pelvis féminin, IRM pondérée en T2 en coupes coronales, de postérieur à antérieur.

1 Muscle grand psoas
2 Muscle iliaque
3 Branches de l'artère iliaque interne
4 Côlon descendant
5 Crête iliaque
6 Muscle moyen glutéal
7 Muscle petit glutéal
8 Côlon sigmoïde
9 Myomètre de l'utérus
10 Disque intervertébral de L4–L5
11 Ovaires (corps jaunes kystiques)

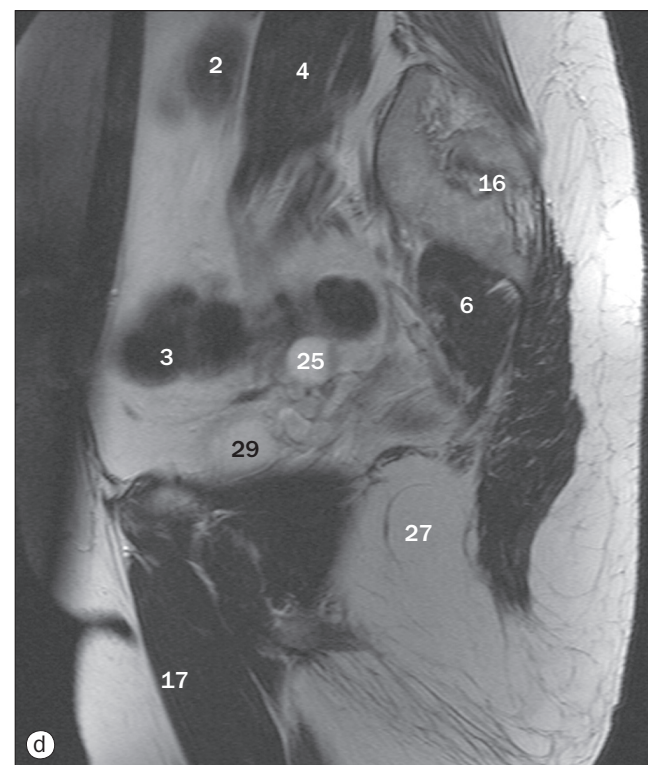
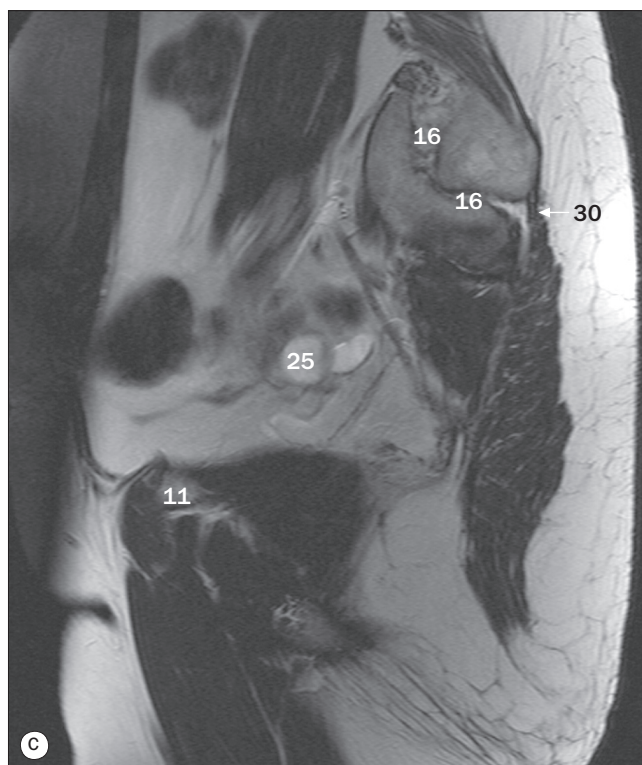
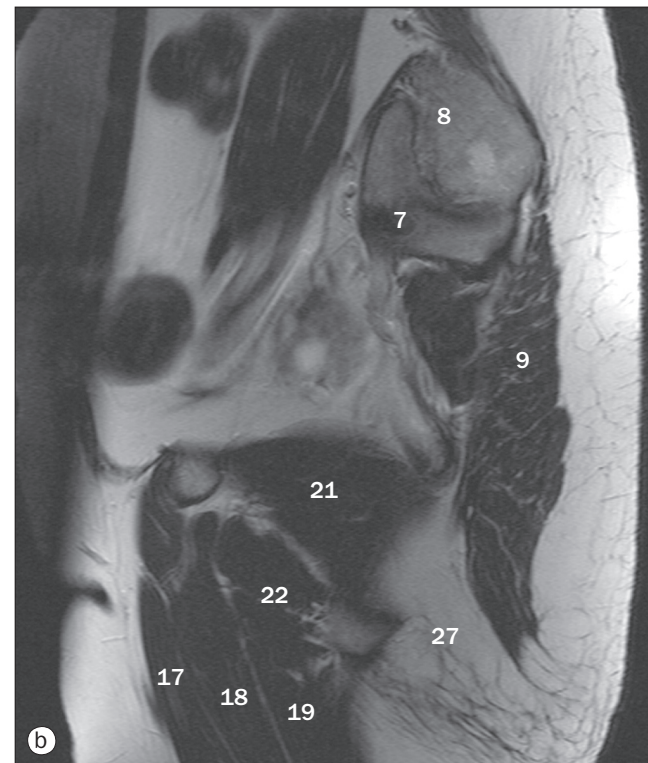
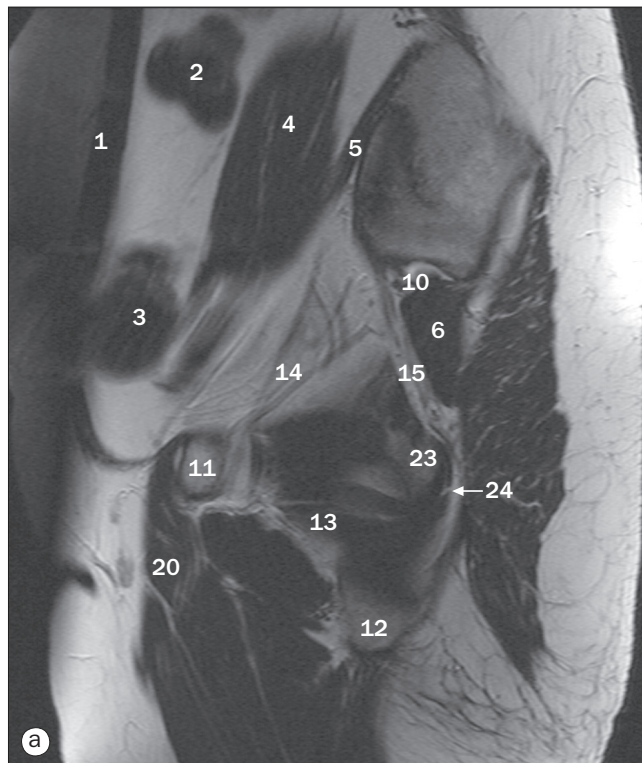
12 Ligament large de l'utérus
13 Trompes utérines
14 Vagin
15 Fornix postérieur du vagin
16 Uretère
17 Orifice de l'urètre
18 Trigone vésical
19 Pédicule neurovasculaire obturateur
20 Toit de l'acétabulum
21 Muscle obturateur interne
22 Muscle obturateur externe

23 Muscle élévateur de l'anus
24 Muscle pubovaginal
25 Muscle transverse du périnée (diaphragme urogénital)
26 Espace périnéal profond
27 Espace périnéal superficiel
28 Urètre
29 Muscle sphincter de l'urètre
30 Branche inférieure du pubis



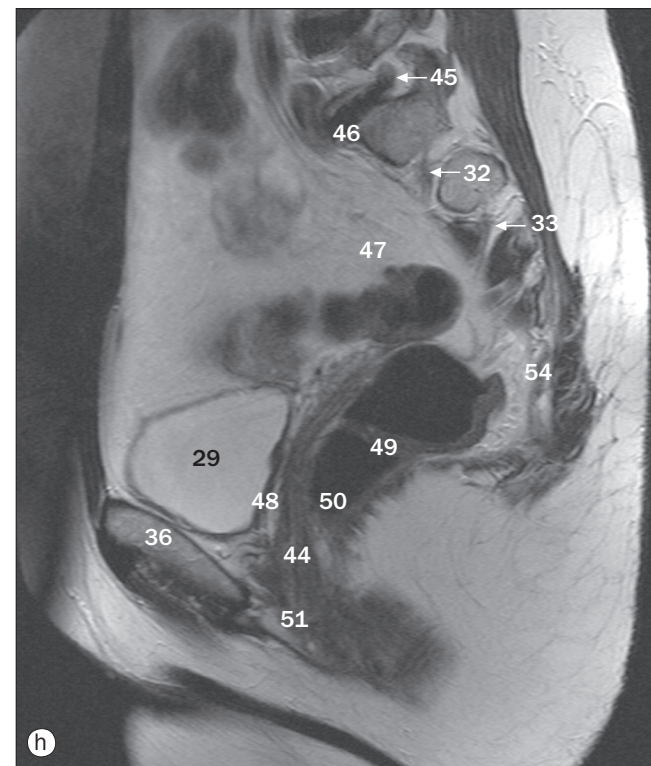
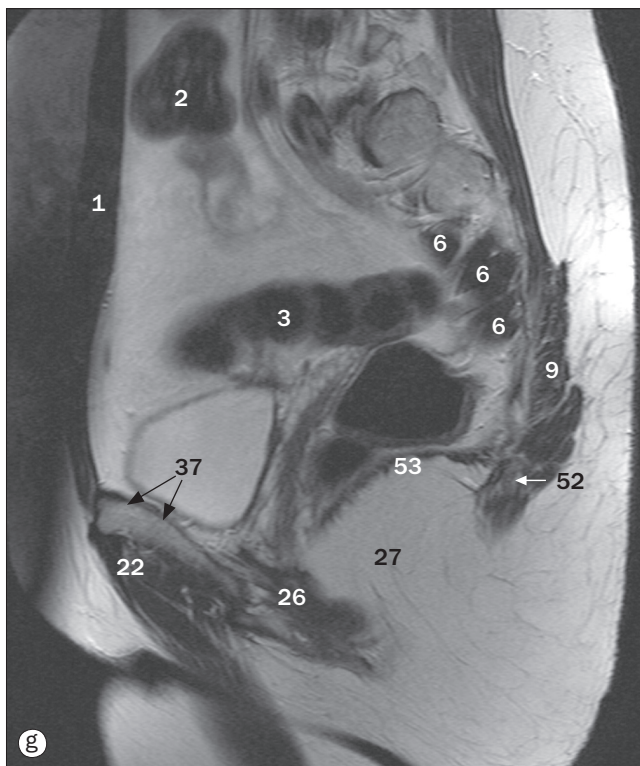
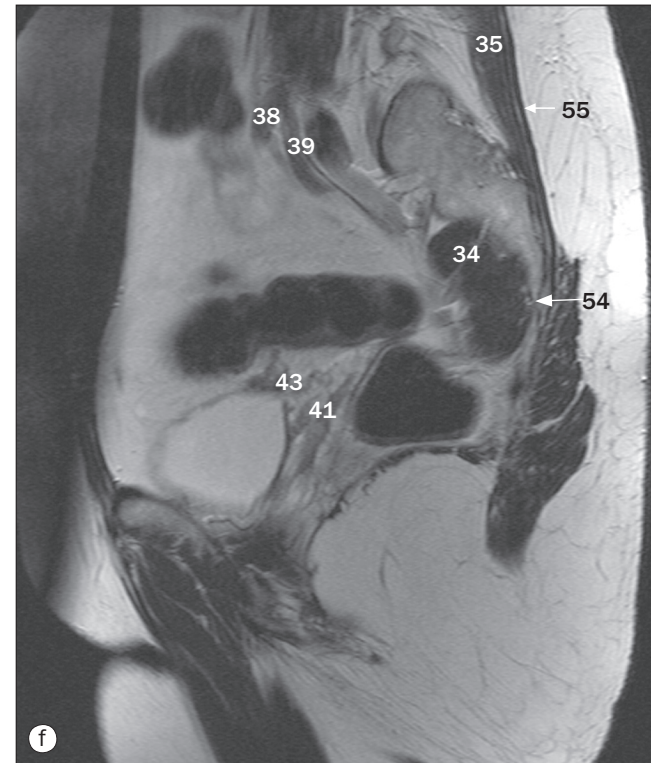
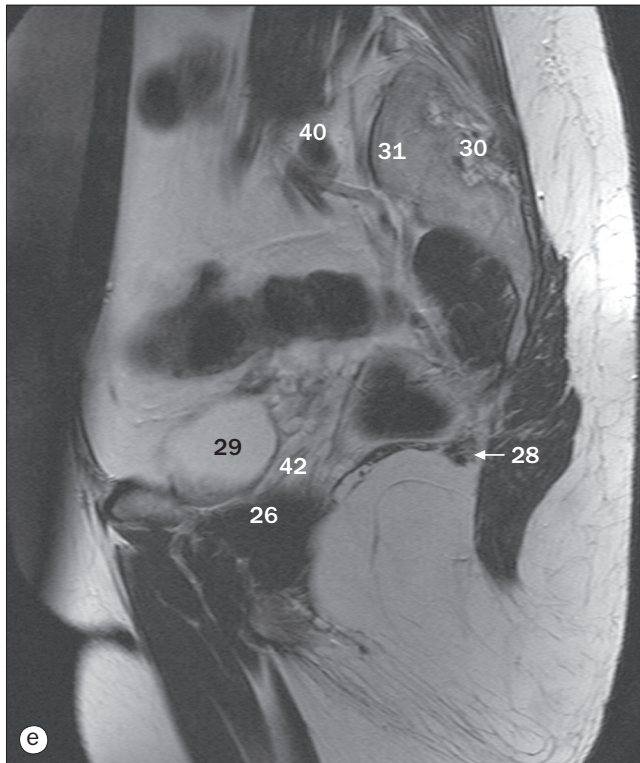
(a)–(p) Pelvis féminin, IRM pondérée en T2 en coupes coronales, de postérieur à antérieur.

- | | | |
|--|----------------------------------|------------------------------------|
| 31 Muscle long adducteur | 42 Myomètre utérin | 53 Cæcum |
| 32 Petites lèvres | 43 Endomètre utérin | 54 Muscle droit de la cuisse |
| 33 Sphincter interne de la vessie | 44 Cavité utérine | 55 Muscle iliopsoas |
| 34 Muscle vaste médial | 45 Fond de l'utérus | 56 Canal fémoral |
| 35 Muscle vaste latéral | 46 Branche supérieure du pubis | 57 Muscle court adducteur |
| 36 Aorte | 47 Symphyse pubienne | 58 Muscle sartorius |
| 37 Artère iliaque commune | 48 Artère fémorale commune | 59 Grandes lèvres |
| 38 Artère iliaque externe | 49 Veine fémorale commune | 60 Vessie |
| 39 Muscle oblique externe de l'abdomen | 50 Vaisseaux vésicaux supérieurs | 61 Muscle gracile |
| 40 Muscle oblique interne de l'abdomen | 51 Côlon transverse | 62 Vaisseaux fémoraux circonflexes |
| 41 Muscle transverse de l'abdomen | 52 Intestin grêle | 63 Espace rétropubien (de Retzius) |



(a)–(d) Pelvis féminine, IRM séquentielle pondérée en T2 en coupes sagittales, de droite à gauche à travers le plan médian.

- | | | |
|-----------------------------|--|--|
| 1 Muscle droit de l'abdomen | 10 Vaisseaux glutéaux supérieurs | 19 Muscle grand adducteur |
| 2 Côlon transverse | 11 Branche supérieure du pubis | 20 Muscle iliopsoas |
| 3 Côlon sigmoïde | 12 Branche inférieure du pubis | 21 Muscle obturateur interne |
| 4 Muscle grand psoas | 13 Muscle obturateur externe | 22 Muscle pectiné |
| 5 Muscle iliaque | 14 Pédicule neurovasculaire obturateur | 23 Tubérosité ischiatique |
| 6 Muscle piriforme | 15 Nerf sciatique | 24 Origine des muscles ischiojambiers |
| 7 Aile du sacrum | 16 Articulation sacro-iliaque | 25 Ovaire droit (corps jaune kystique) |
| 8 Ilium | 17 Muscle long adducteur | 26 Muscle élévateur de l'anus |
| 9 Muscle grand glutéal | 18 Muscle court adducteur | 27 Fosse ischioanale |

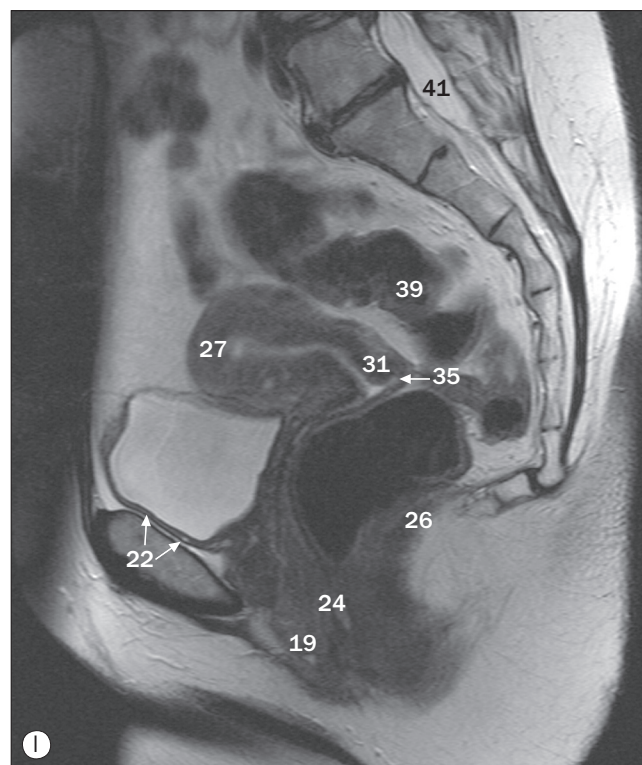
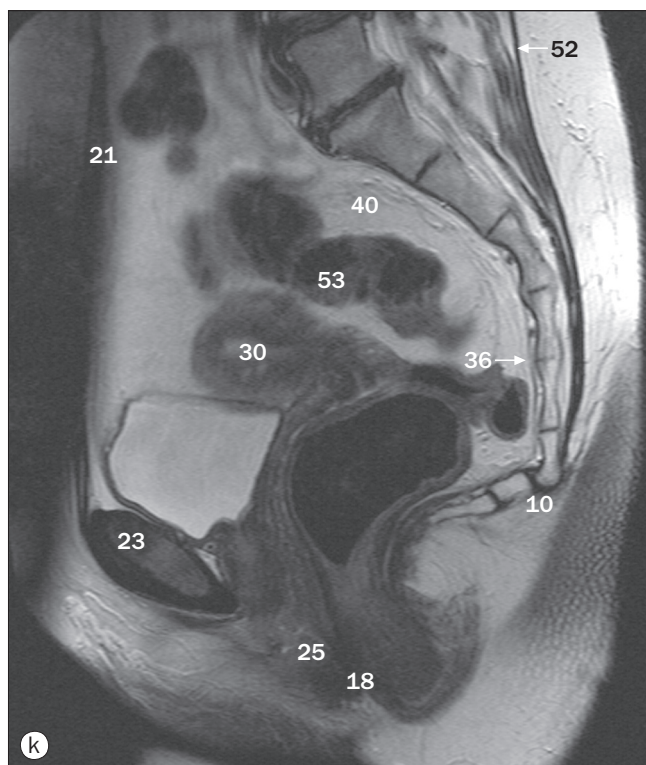
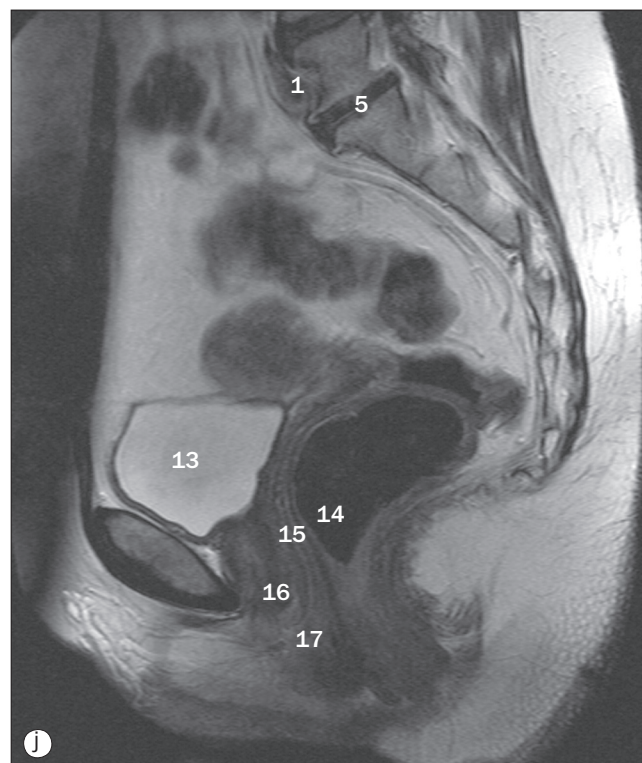
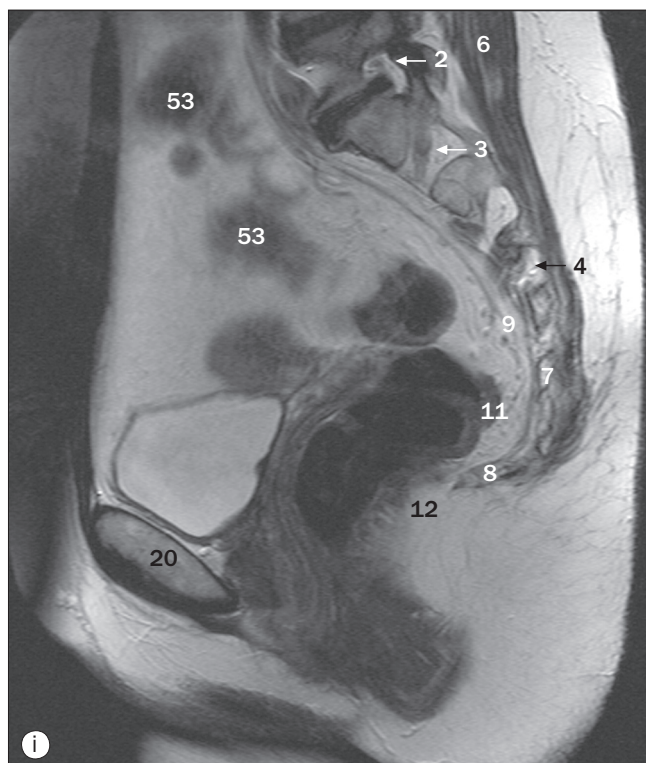


(a)–(p) Pelvis féminine, IRM séquentielle pondérée en T2 en coupes sagittales, de droite à gauche à travers le plan médian.

28 Pédicule neurovasculaire pudendal (canal d'Alcock)
 29 Vessie
 30 Ligaments sacro-iliaques dorsaux
 31 Corps de la vertèbre sacrale
 32 1^{re} racine sacrale
 33 2^e racine sacrale
 34 Jonction rectosigmoïdienne
 35 Muscle érecteur du rachis
 36 Corps du pubis

37 Espace rétropubien (espace de Retzius, graisse extrapéritonéale)
 38 Artère iliaque externe
 39 Artère iliaque interne
 40 Veine iliaque interne
 41 Ligament large de l'utérus
 42 Ligament cardinal
 43 Trompe utérine
 44 Vagin
 45 5^e racine lombale
 46 Disque intervertébral de L5–S1

47 Mésosigmoïde
 48 Trigone vésical
 49 Pli transverse du rectum
 50 Ampoule rectale
 51 Muscle transverse du périnée (diaphragme urogénital)
 52 Coccyx
 53 Muscle coccygien
 54 Fascia de Waldeyer
 55 Fascia thoracolombal

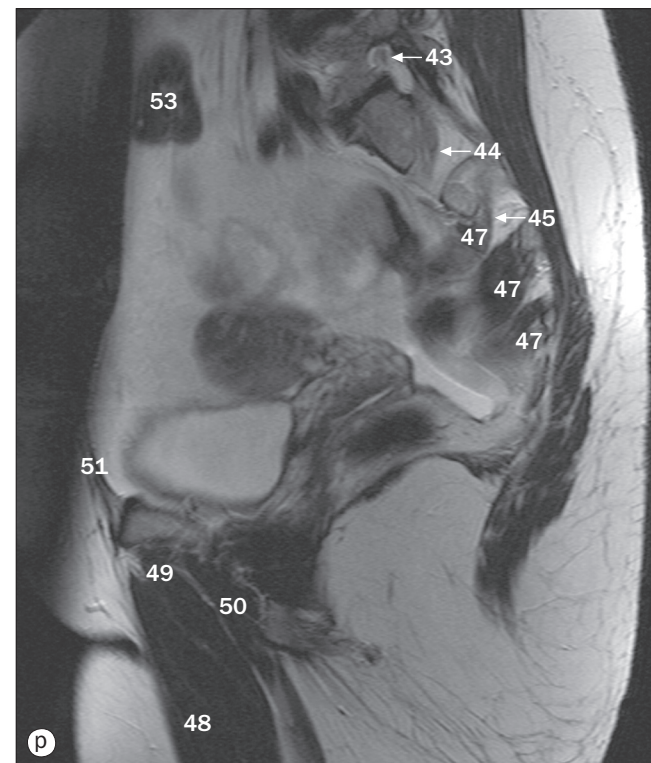
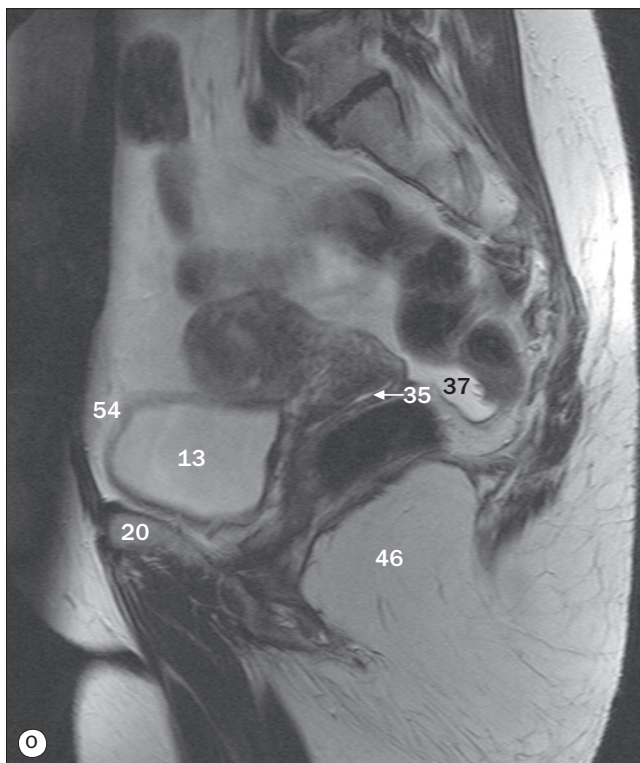
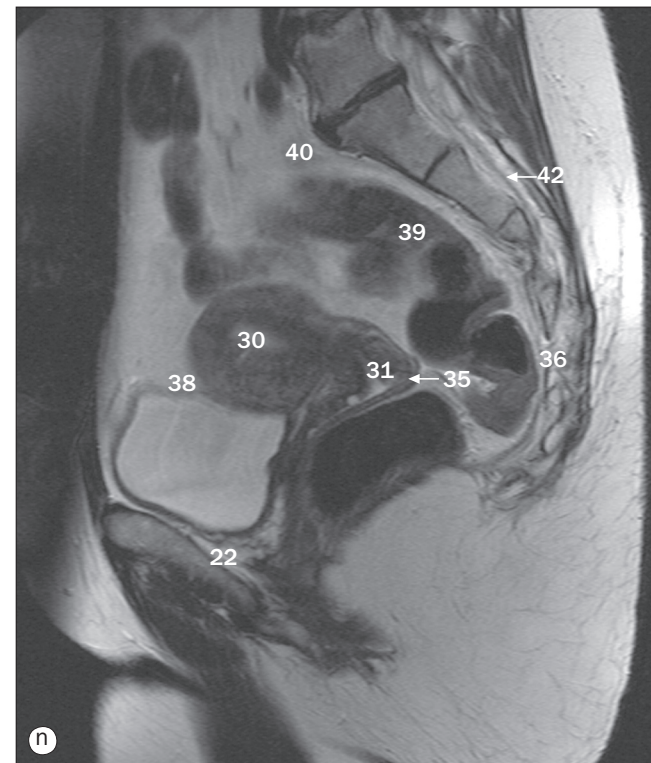
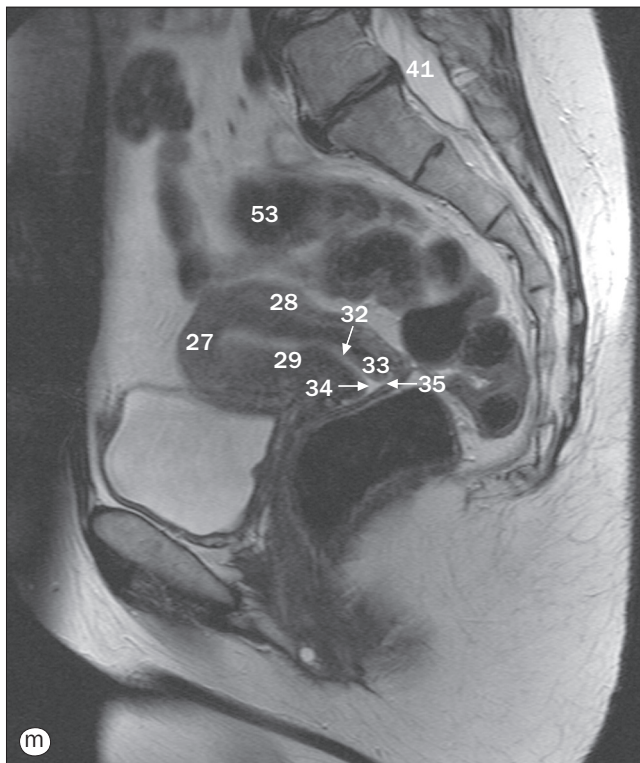


(a)–(p) Pelvis féminin, IRM séquentielle pondérée en T2 en coupes sagittales, de droite à gauche à travers le plan médian.

- 1 Veine iliaque commune gauche
- 2 Racine L5 (foramen intervertébral)
- 3 Racine S1
- 4 Racine S3
- 5 Disque intervertébral de L5–S1
- 6 Muscle érecteur du rachis
- 7 5^e segment sacral
- 8 Coccyx
- 9 Plexus sacral

- 10 Jonction sacrococcygienne
- 11 Muscle élévateur de l'anus
- 12 Muscle puborectal
- 13 Vessie
- 14 Ampoule rectale
- 15 Vagin
- 16 Urètre
- 17 Vestibule vaginal
- 18 Anus

- 19 Sphincter anal externe
- 20 Corps du pubis
- 21 Muscle droit de l'abdomen
- 22 Espace rétropubien (espace de Retzius, graisse extrapéritonéale)
- 23 Symphyse pubienne
- 24 Canal anal
- 25 Proéminence périnéale
- 26 Raphé anococcygien

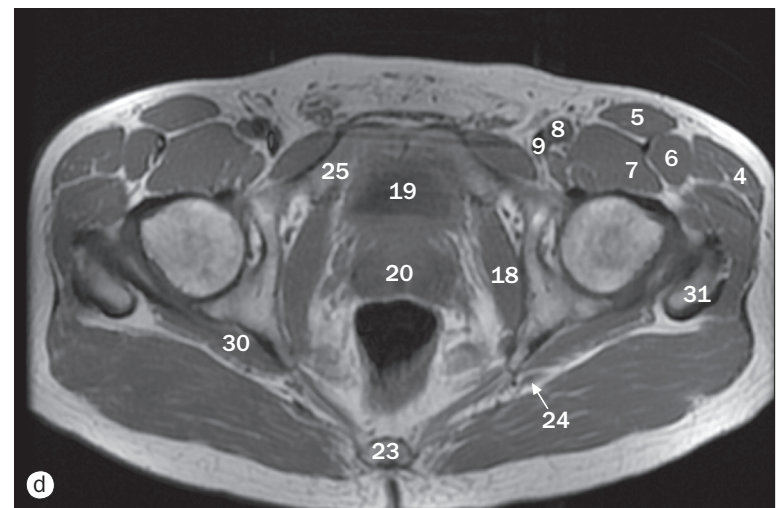
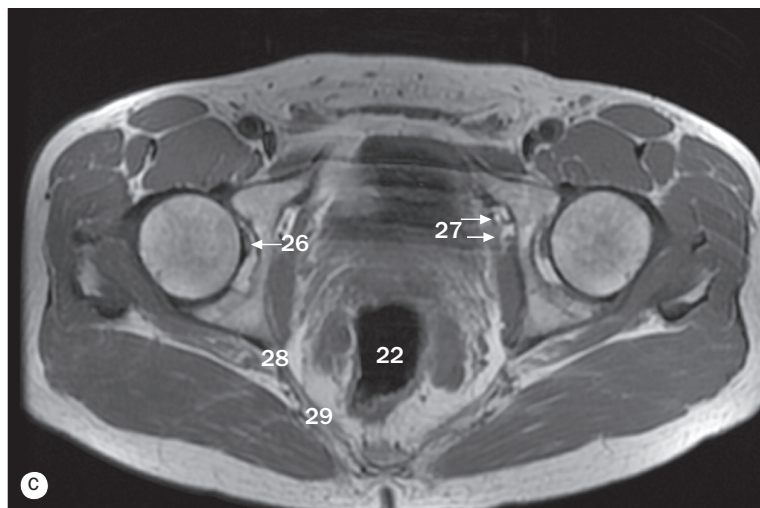
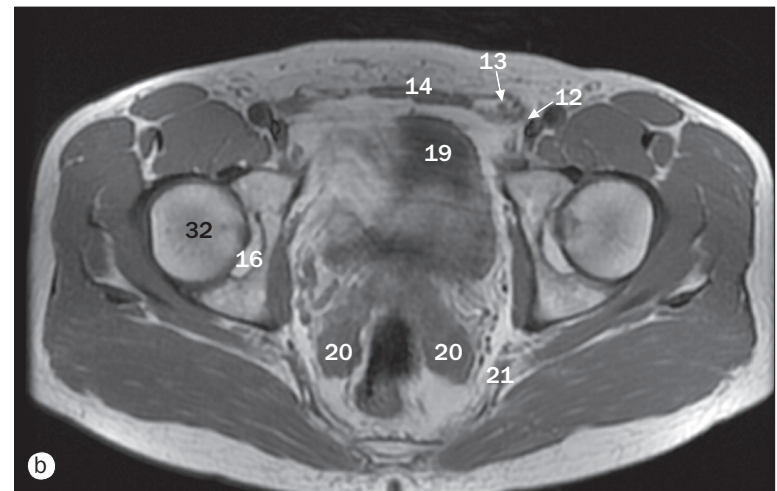
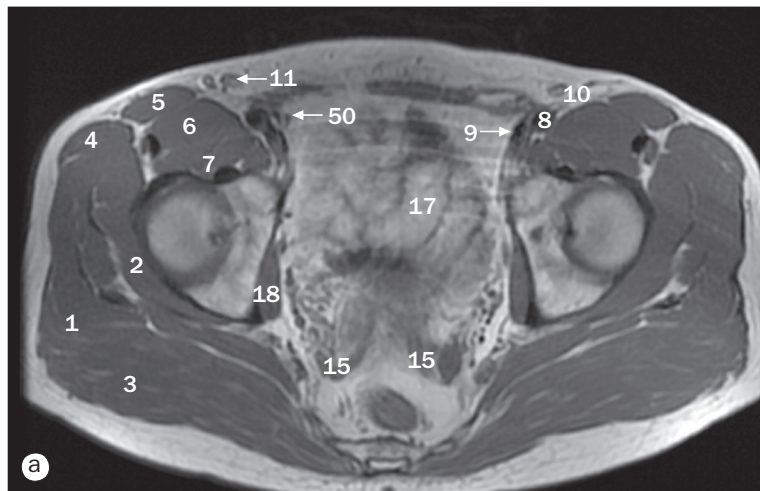


(a)–(p) Pelvis féminin, IRM séquentielle pondérée en T2 en coupes sagittales, de droite à gauche à travers le plan médian.

27 Fond de l'utérus
28 Myomètre utérin
29 Endomètre utérin
30 Cavité utérine
31 Col de l'utérus
32 Ostium interne de l'utérus
33 Paroi du col de l'utérus
34 Ostium externe de l'utérus
35 Fornix postérieur du vagin
36 Fascia de Waldeyer

37 Cul-de-sac recto-utérin (de Douglas)
38 Cul-de-sac vésico-utérin
39 Jonction rectosigmoïdienne
40 Mésosigmoïde
41 Sac thécal
42 Filum terminale
43 Racine L5 gauche
44 Racine S1 gauche
45 Racine S2 gauche
46 Fosse ischioanale

47 Muscle piriforme (bandelettes d'insertion)
48 Muscle long adducteur
49 Muscle court adducteur
50 Muscle grand adducteur
51 Gaine des muscles droits de l'abdomen
52 Fascia thoracolombal
53 Côlon sigmoïde
54 Graisse extrapéritonéale

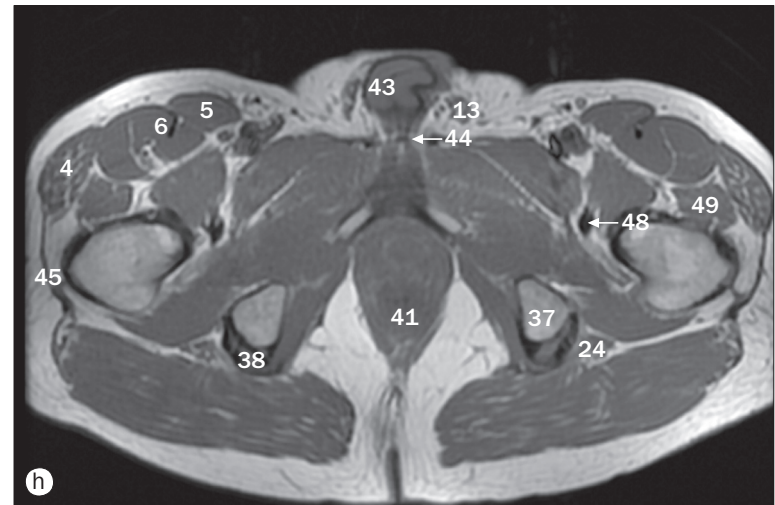
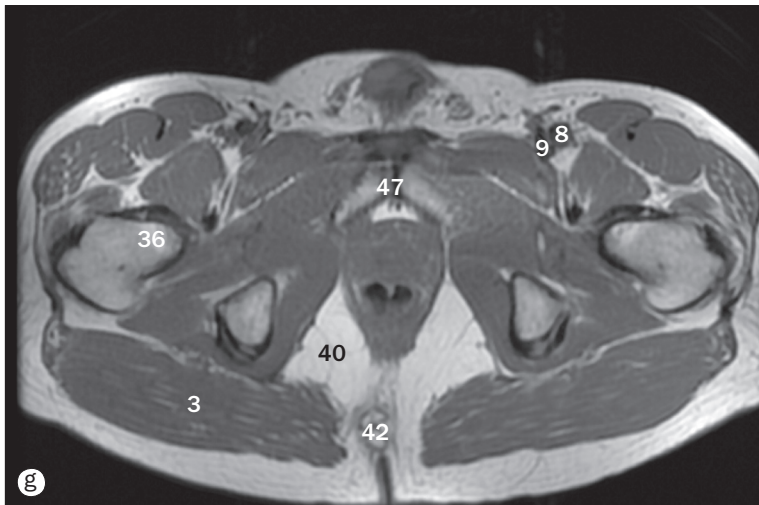
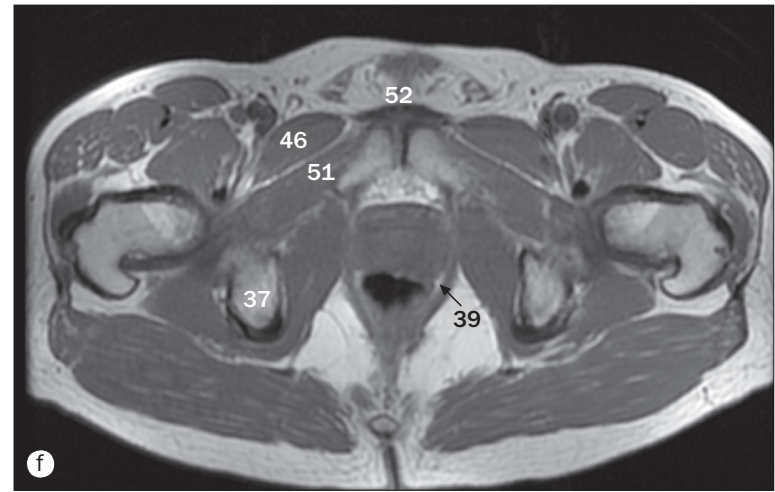


(a)–(d) Pelvis masculin, IRM séquentielle pondérée en T2 en coupes axiales, de supérieur à inférieur.

1 Muscle moyen glutéal
2 Muscle petit glutéal
3 Muscle grand glutéal
4 Muscle tenseur du fascia lata
5 Muscle sartorius
6 Muscle droit de la cuisse
7 Muscle iliopsoas
8 Artère fémorale commune

9 Veine fémorale commune
10 Rameaux du nerf fémoral
11 Grande veine saphène
12 Canal fémoral
13 Cordon spermatique
14 Muscle droit de l'abdomen
15 Conduit déférent
16 Acétabulum

17 Intestin grêle
18 Muscle obturateur interne
19 Vessie
20 Vésicule séminale
21 Vaisseaux glutéaux inférieurs
22 Rectum
23 Sacrum
24 Nerf sciatique

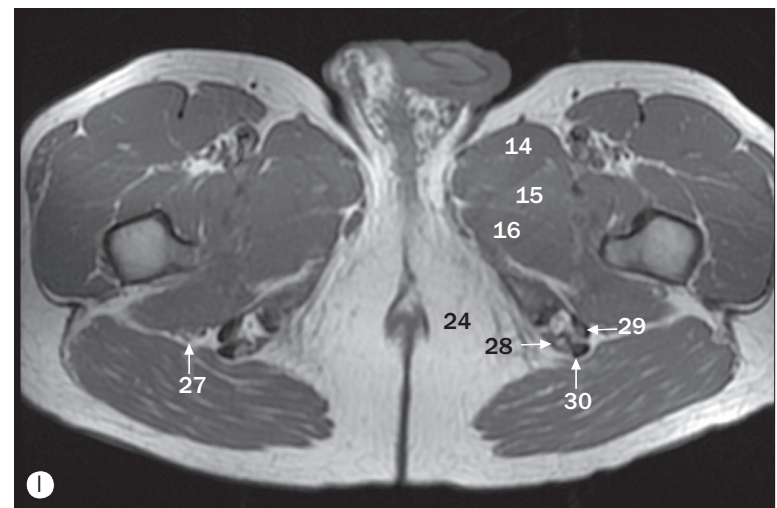
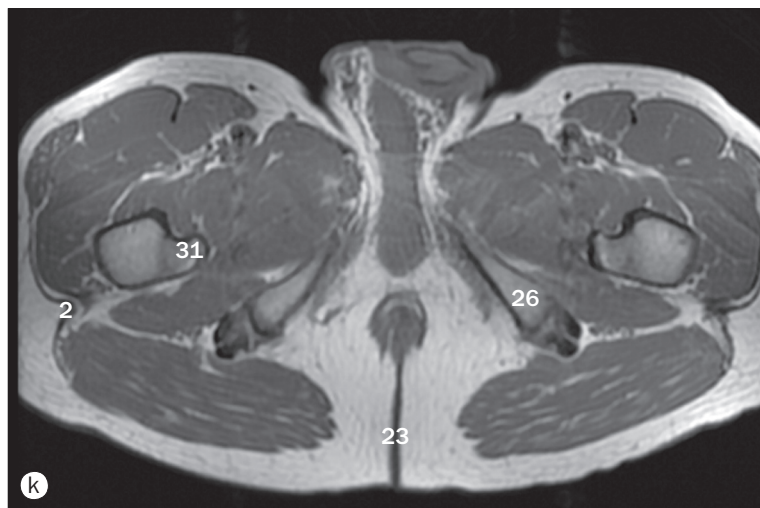
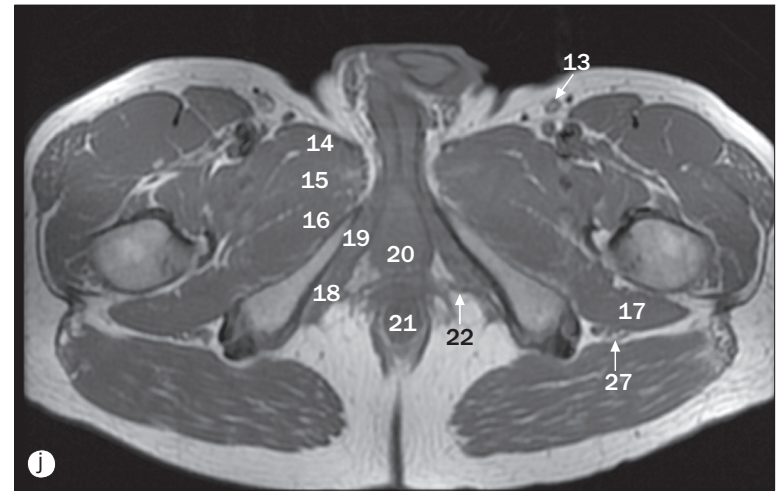
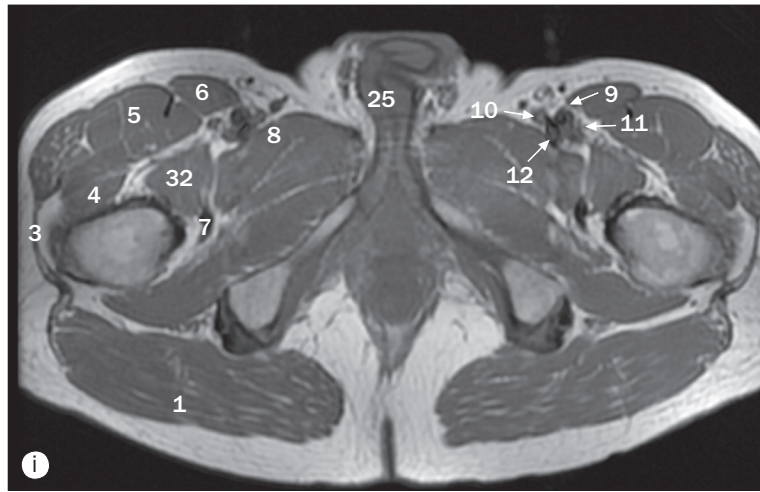


(a)–(l) Pelvis masculin, IRM séquentielle pondérée en T2 en coupes axiales, de supérieur à inférieur.

25 Branche pubienne supérieure
 26 Ligament rond de la tête fémorale
 27 Vaisseaux et nerf obturateurs
 28 Épine ischiatique
 29 Ligament sacroépineux
 30 Muscle obturateur externe
 31 Grand trochanter du fémur
 32 Tête du fémur
 33 Prostate
 34 Vaisseaux et nerf rectaux inférieurs

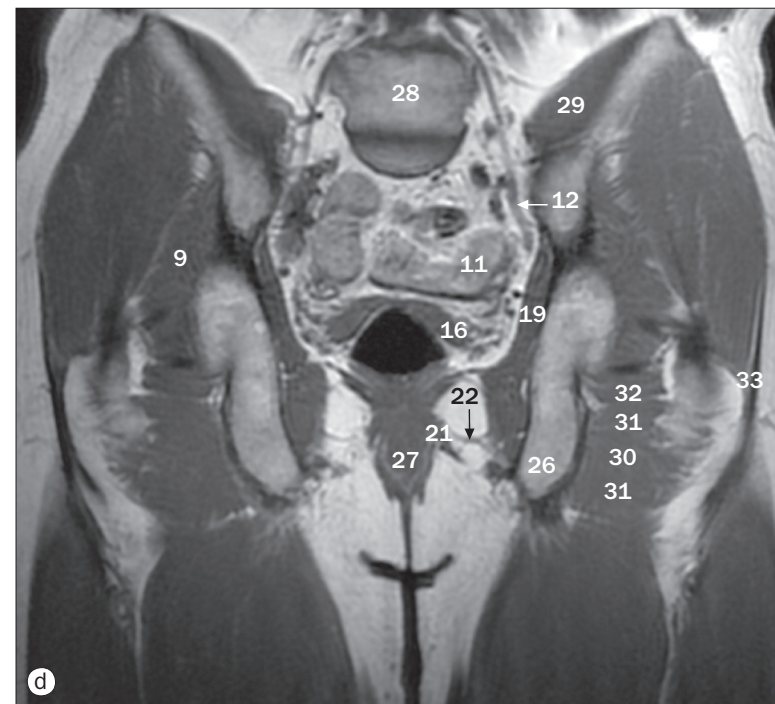
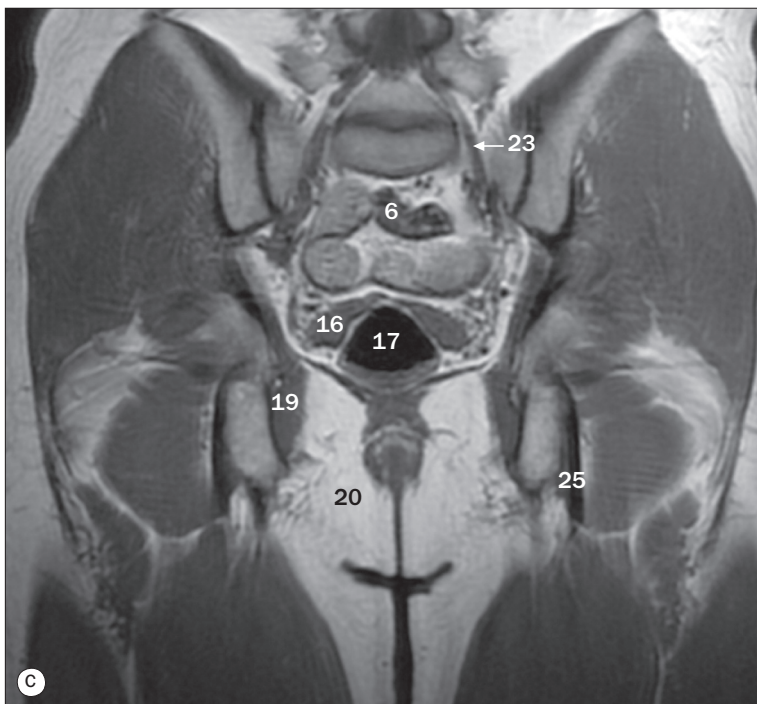
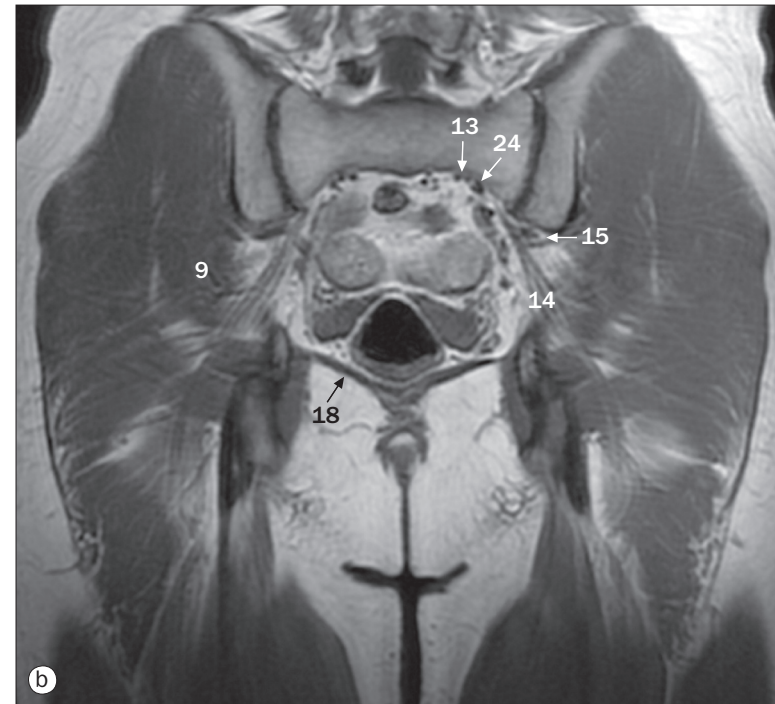
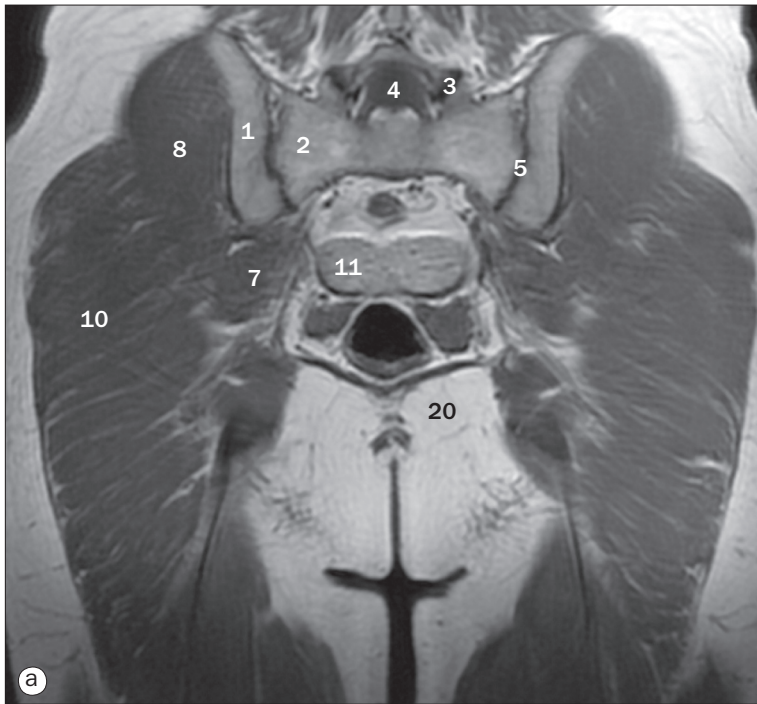
35 Col du fémur
 36 Petit trochanter du fémur
 37 Tubérosité ischiatique
 38 Muscles ischiojambiers (origine tendineuse commune)
 39 Muscle élévateur de l'anus (puborectal)
 40 Fosse ischioanale
 41 Jonction anorectale
 42 Coccyx
 43 Corps caverneux

44 Vaisseaux du dos du pénis
 45 Fascia lata
 46 Muscle pectiné
 47 Symphyse pubienne
 48 Tendon du muscle iliopsoas
 49 Muscle vaste latéral
 50 Vaisseaux épigastriques inférieurs
 51 Muscle long adducteur
 52 Ligament transverse du pubis



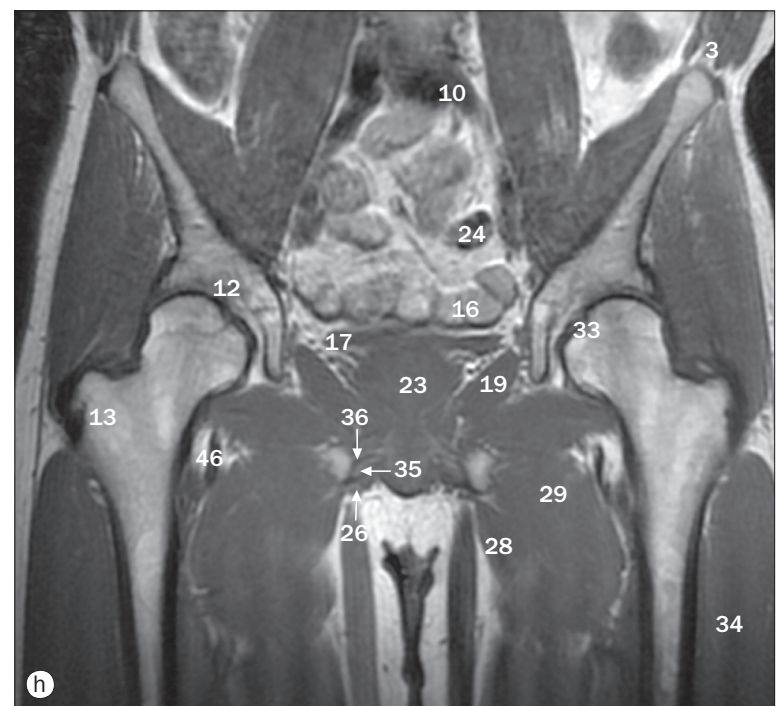
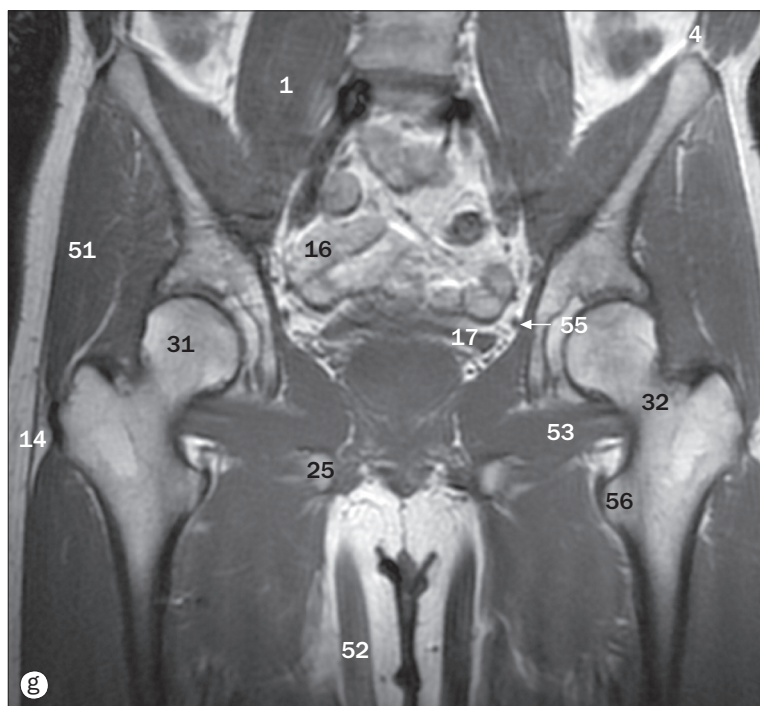
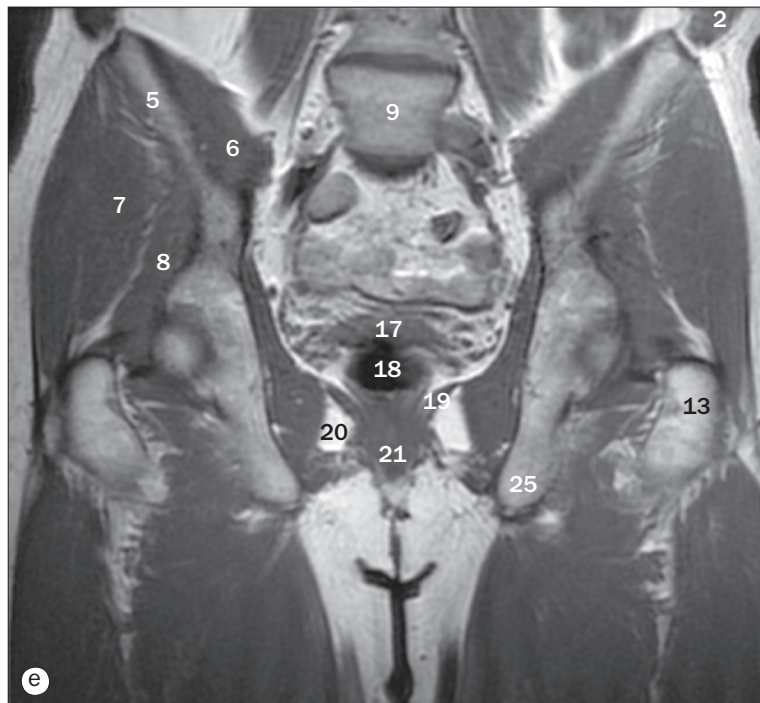
(a)–(l) Pelvis masculin, IRM séquentielle pondérée en T2 en coupes axiales, de supérieur à inférieur.

- | | | |
|---------------------------------|--|--|
| 1 Muscle grand glutéal | 13 Grande veine saphène | 25 Corps caverneux |
| 2 Fascia lata | 14 Muscle long adducteur | 26 Tubérosité ischiatique |
| 3 Tractus iliotibial | 15 Muscle court adducteur | 27 Nerf sciatique |
| 4 Muscle vaste latéral | 16 Muscle grand adducteur | 28 Origine tendineuse du muscle semitendineux |
| 5 Muscle droit de la cuisse | 17 Muscle carré fémoral | 29 Origine tendineuse du muscle semimembraneux |
| 6 Muscle sartorius | 18 Muscle ischio-caverneux | 30 Origine tendineuse du muscle biceps fémoral |
| 7 Tendon du muscle iliopsoas | 19 Pilier du pénis | 31 Petit trochanter du fémur |
| 8 Muscle pectiné | 20 Bulbe du pénis | 32 Muscle iliopsoas |
| 9 Artère fémorale superficielle | 21 Anus | |
| 10 Veine fémorale superficielle | 22 Pédicule neurovasculaire rectal inférieur | |
| 11 Artère profonde de la cuisse | 23 Sillon interfessier (interglutéal) | |
| 12 Veine fémorale profonde | 24 Fosse ischioanale | |



(a)–(p) Pelvis masculin, IRM séquentielle pondérée en T2 en coupes coronales, de postérieur à antérieur.

- | | | |
|-------------------------------|--|---|
| 1 Ilium | 13 Vaisseaux génitaux | 25 Origine commune des muscles ischiojambiers |
| 2 Aile du sacrum | 14 Nerf sciatique | 26 Tubérosité ischiatique |
| 3 Facette articulaire (L5–S1) | 15 Vaisseaux glutéaux supérieurs | 27 Canal anal |
| 4 Sac thécal | 16 Vésicule séminale | 28 Corps vertébral de L5 |
| 5 Articulation sacro-iliaque | 17 Ampoule rectale | 29 Muscle iliaque |
| 6 Jonction rectosigmoïdienne | 18 Muscle élévateur de l'an | 30 Muscle carré fémoral |
| 7 Muscle piriforme | 19 Muscle obturateur interne | 31 Muscles jumeaux (supérieur et inférieur) |
| 8 Muscle moyen glutéal | 20 Fosse ischioanale | 32 Muscle obturateur externe |
| 9 Muscle petit glutéal | 21 Sphincter anal externe | 33 Fascia lata |
| 10 Muscle grand glutéal | 22 Pédicule neurovasculaire rectal inférieur | |
| 11 Intestin grêle | 23 Racine L5 | |
| 12 Urètre | 24 Tronc lombosacral | |

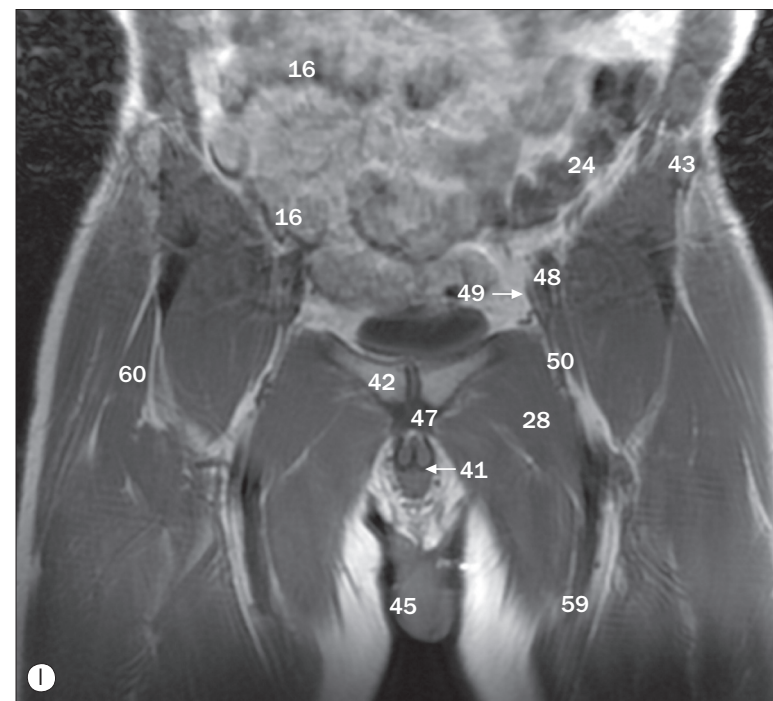
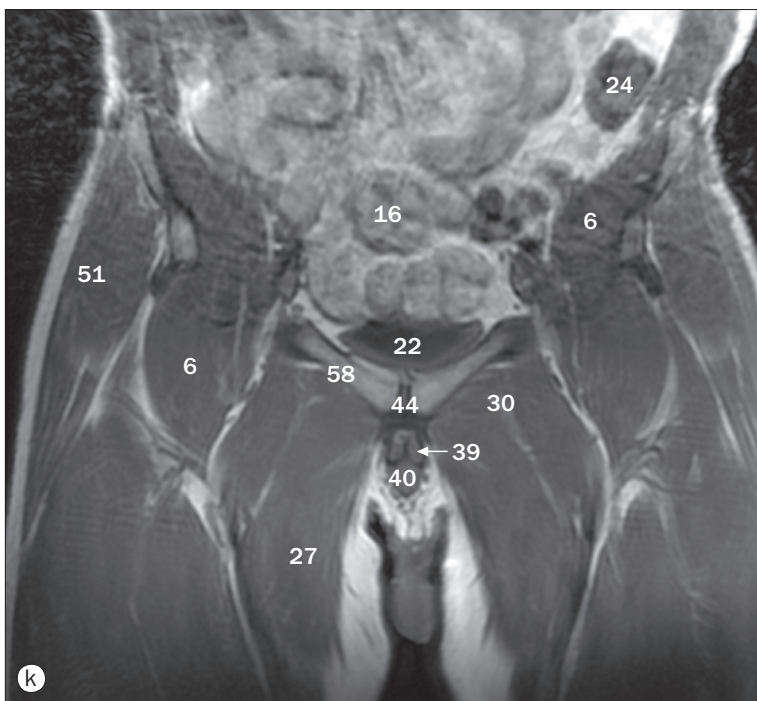
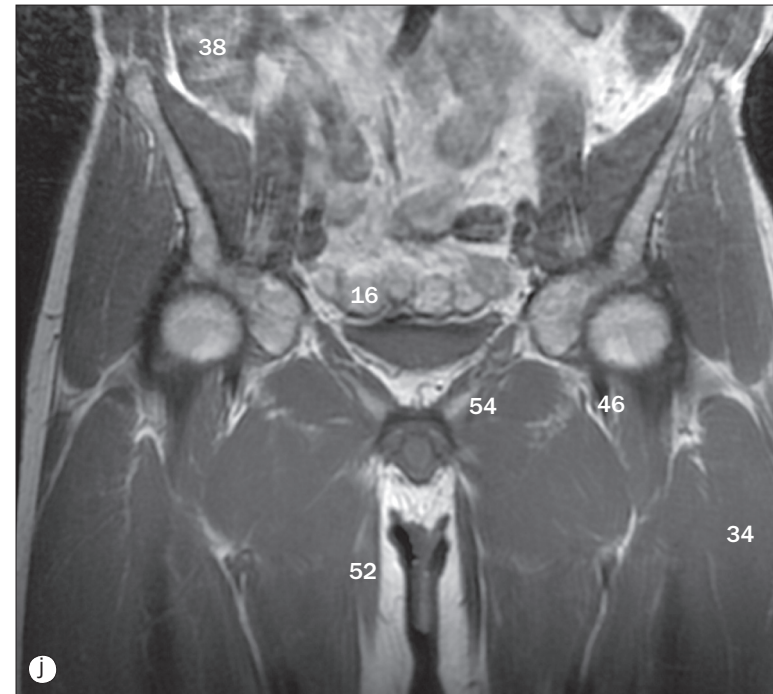
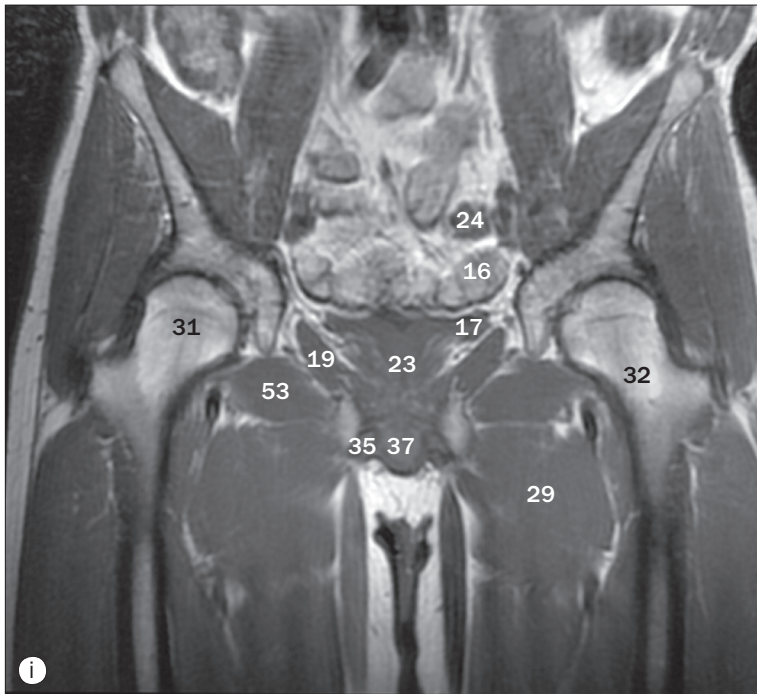


(a)–(p) Pelvis masculin, IRM séquentielle pondérée en T2 en coupes coronales, de postérieur à antérieur.

1 Muscle grand psoas
2 Muscle oblique externe de l'abdomen
3 Muscle oblique interne de l'abdomen
4 Muscle transverse de l'abdomen
5 Ilium
6 Muscle iliaque
7 Muscle moyen glutéal
8 Muscle petit glutéal

9 Corps vertébral de L5
10 Vaisseaux iliaques communs
11 Côlon descendant
12 Acétabulum
13 Grand trochanter du fémur
14 Fascia lata
15 Muscle obturateur interne
16 Intestin grêle

17 Vésicule séminale
18 Rectum
19 Muscle élévateur de l'anus
20 Fosse ischioanale
21 Canal anal
22 Vessie
23 Prostate
24 Côlon sigmoïde

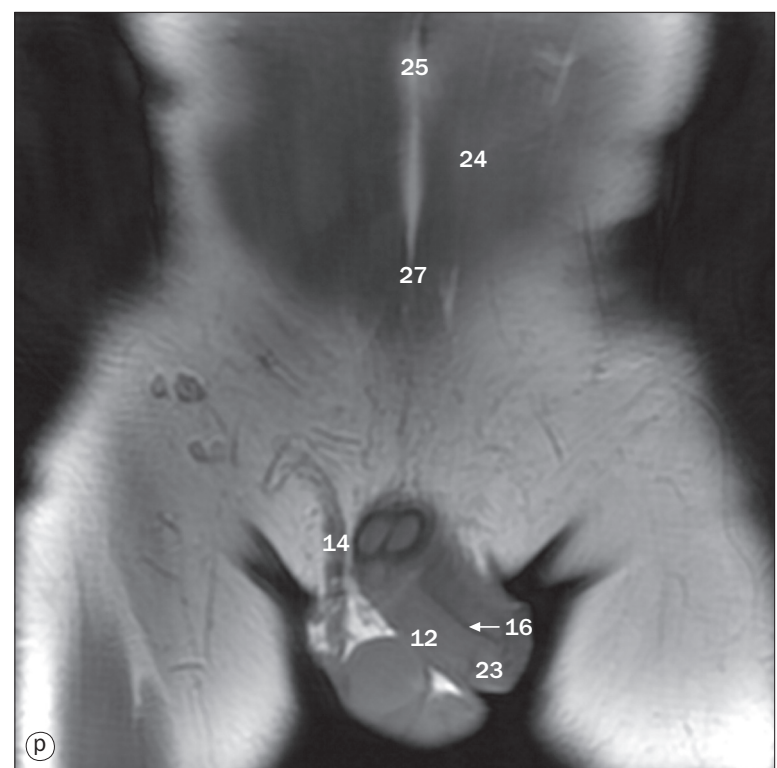
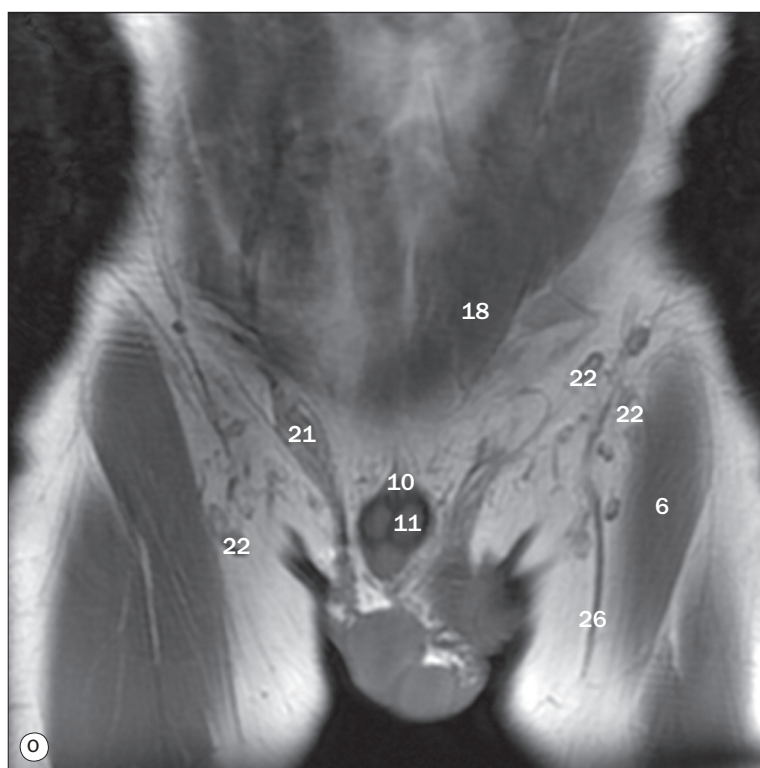
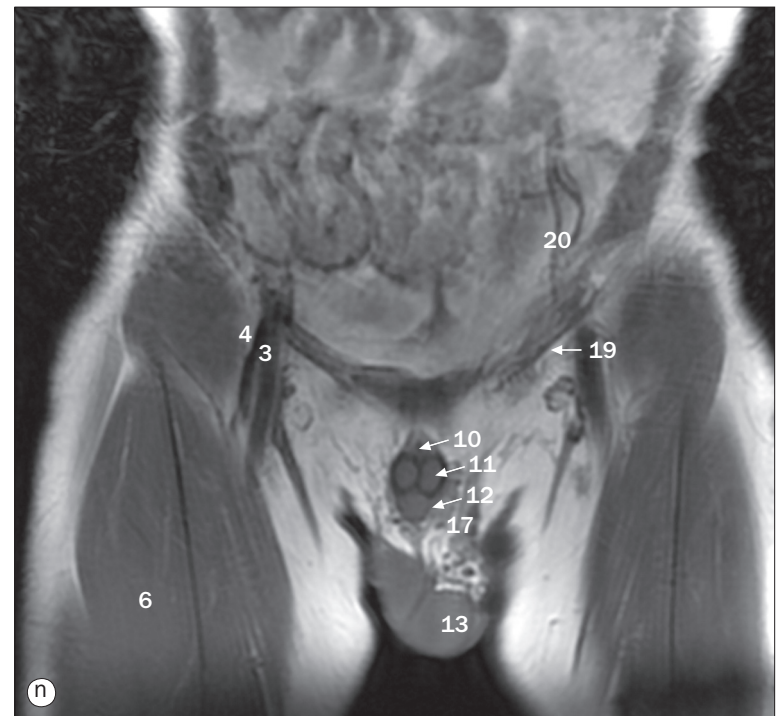


(a)–(p) Pelvis masculin, IRM séquentielle pondérée en T2 en coupes coronales, de postérieur à antérieur.

25 Ischium
26 Muscle transverse du périnée
27 Muscle long adducteur
28 Muscle court adducteur
29 Muscle grand adducteur
30 Muscle pectiné
31 Tête du fémur
32 Col du fémur
33 Fovea de la tête fémorale
34 Muscle vaste latéral
35 Pilier du pénis
36 Muscle ischiocaverneux

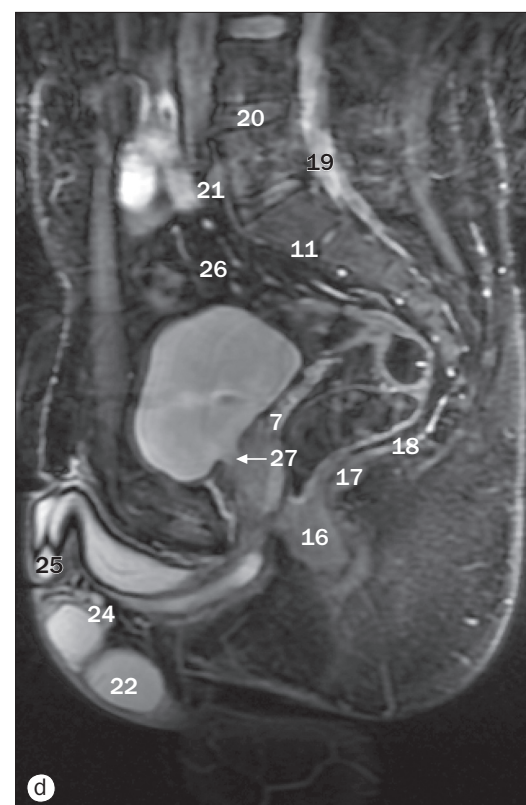
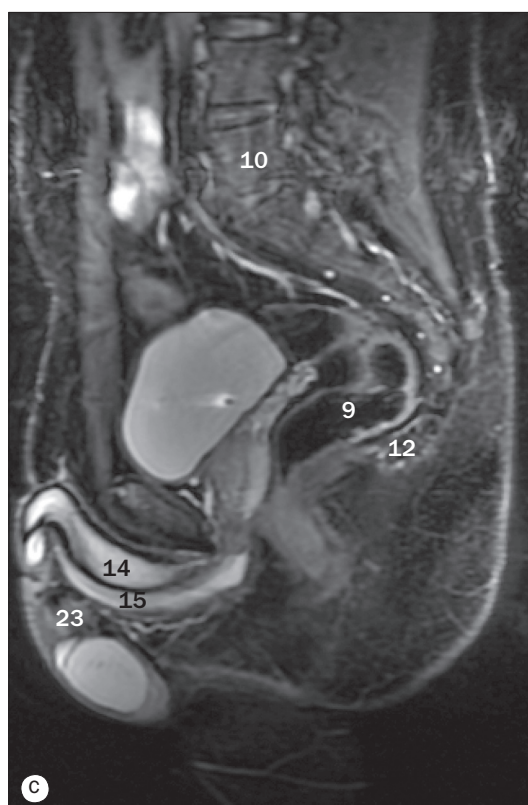
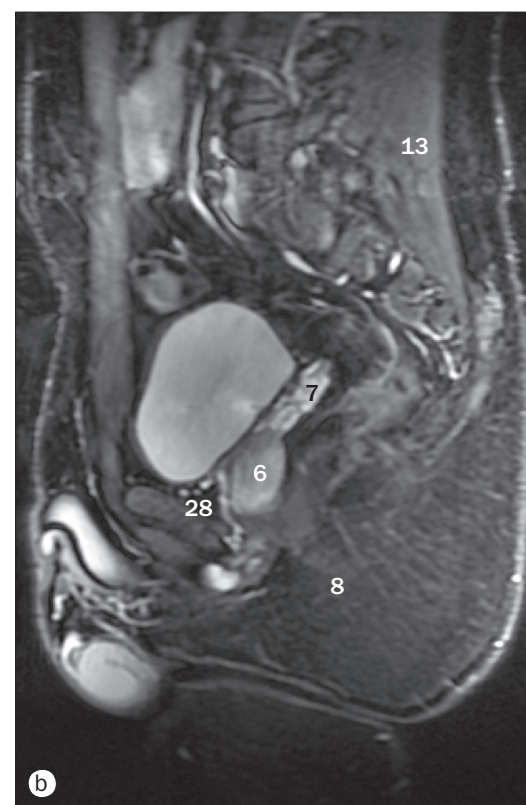
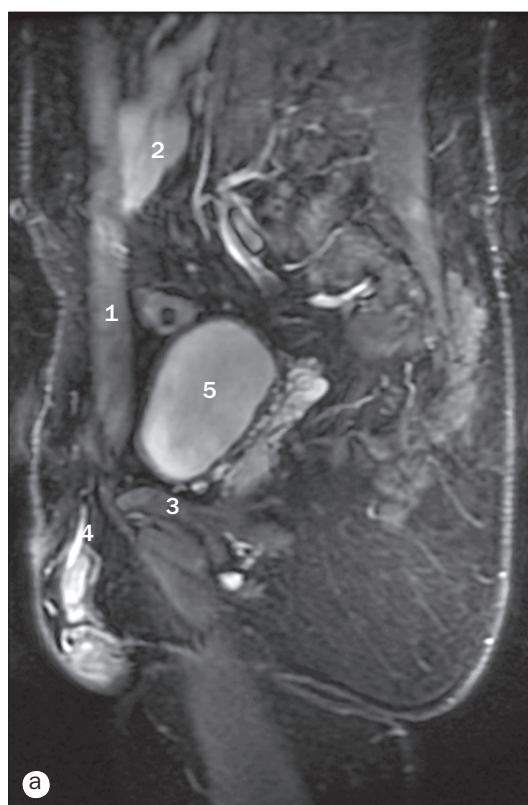
37 Bulbe du pénis
38 Cæcum
39 Corps caverneux
40 Corps spongieux
41 Partie spongieuse de l'urètre
42 Corps du pubis
43 Épine iliaque antérosupérieure
44 Symphyse pubienne
45 Testicule
46 Vaisseaux fémoraux profonds
47 Ligament suspenseur du pénis
48 Artère iliaque externe

49 Veine iliaque externe
50 Vaisseaux fémoraux communs
51 Muscle grand glutéal
52 Muscle gracile
53 Muscle obturateur externe
54 Branche inférieure du pubis
55 Pédicule neurovasculaire obturateur
56 Petit trochanter du fémur
57 Disque intervertébral de L4–L5
58 Branche supérieure du pubis
59 Vaisseaux fémoraux superficiels
60 Muscle tenseur du fascia lata



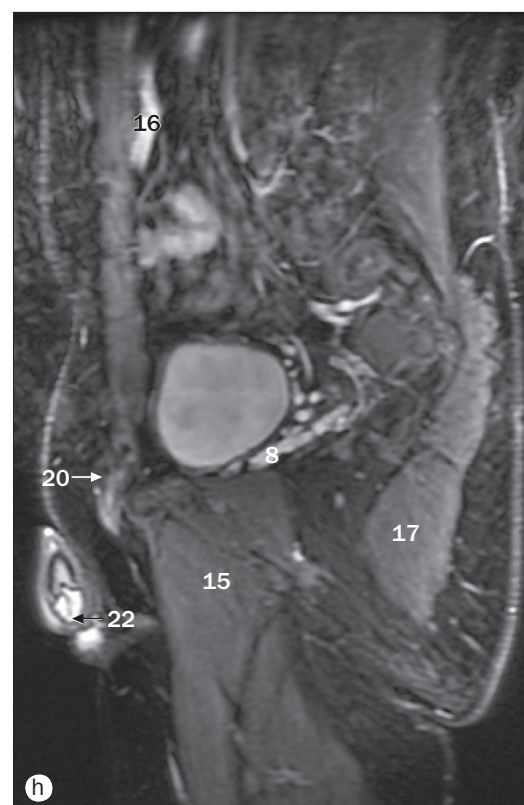
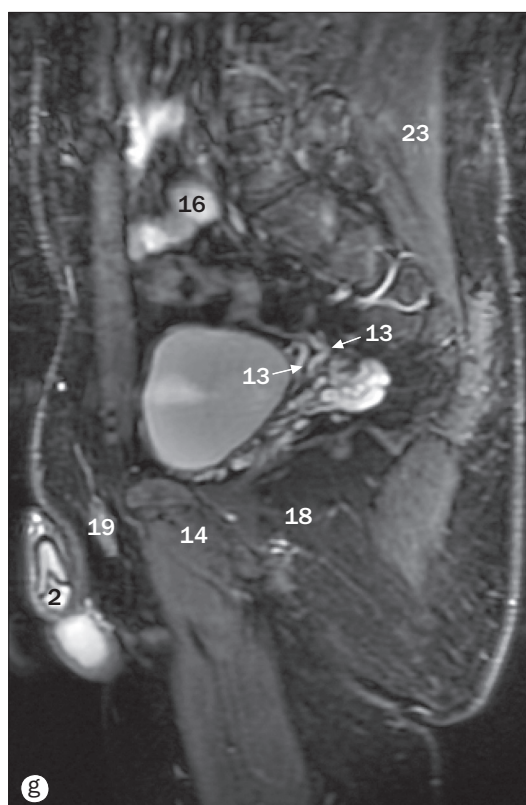
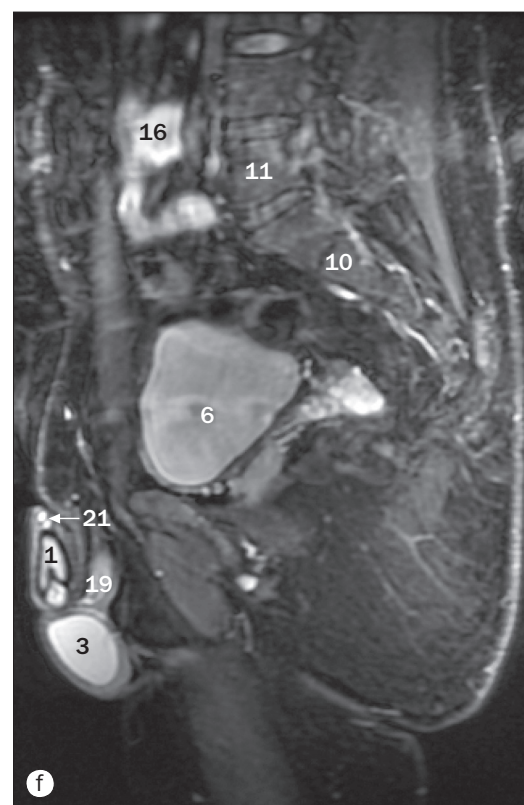
(a)–(p) Pelvis masculin, IRM séquentielle pondérée en T2 en coupes coronales, de postérieur à antérieur.

- | | | |
|-----------------------------|--|--|
| 1 Intestin grêle | 10 Ligament suspenseur du pénis | 19 Ligament inguinal |
| 2 Côlon sigmoïde | 11 Corps caverneux du pénis | 20 Vaisseaux épigastriques inférieurs |
| 3 Veine fémorale commune | 12 Corps spongieux du pénis | 21 Canal inguinal (orifice externe) |
| 4 Artère fémorale commune | 13 Testicule | 22 Nœuds lymphatiques inguinaux superficiels |
| 5 Canal fémoral | 14 Cordon spermatique | 23 Gland du pénis |
| 6 Muscle droit de la cuisse | 15 Tête de l'épididyme | 24 Muscle droit de l'abdomen |
| 7 Muscle pectiné | 16 Partie spongieuse de l'urètre | 25 Ombilic |
| 8 Corps du pubis | 17 Plexus veineux pampiniforme | 26 Grande veine saphène |
| 9 Symphyse pubienne | 18 Muscle oblique externe de l'abdomen | 27 Ligne blanche |



(a)–(h) Pelvis masculin, IRM séquentielle pondérée en T2 avec saturation de graisse en coupes sagittales, de droite à gauche à travers le plan médian.

- | | | | |
|-----------------------------|------------------------------------|----------------------------------|---|
| 1 Muscle droit de l'abdomen | 9 Rectum | 17 Muscle puborectal | 25 Gland du pénis |
| 2 Intestin grêle | 10 5 ^e vertèbre lombale | 18 Raphé anococcygien | 26 Colon sigmoïde |
| 3 Corps du pubis | 11 Sacrum | 19 Sac thécal | 27 Partie prostatique de l'urètre |
| 4 Cordon spermatique | 12 Coccyx | 20 Disque intervertébral (L4–L5) | 28 Espace rétropubien (espace de Retzius) |
| 5 Vessie | 13 Muscle érecteur du rachis | 21 Veine iliaque commune | |
| 6 Prostate | 14 Corps caverneux | 22 Testicule | |
| 7 Vésicule séminale | 15 Corps spongieux | 23 Tête de l'épididyme | |
| 8 Fosse ischioanale | 16 Canal anal | 24 Corps de l'épididyme | |



(a)–(h) Pelvis masculin, IRM séquentielle pondérée en T2 avec saturation de graisse en coupes sagittales, de droite à gauche à travers le plan médian.

1 Corps caverneux
2 Gland du pénis
3 Testicule
4 Muscle droit de l'abdomen
5 Corps du pubis
6 Vessie

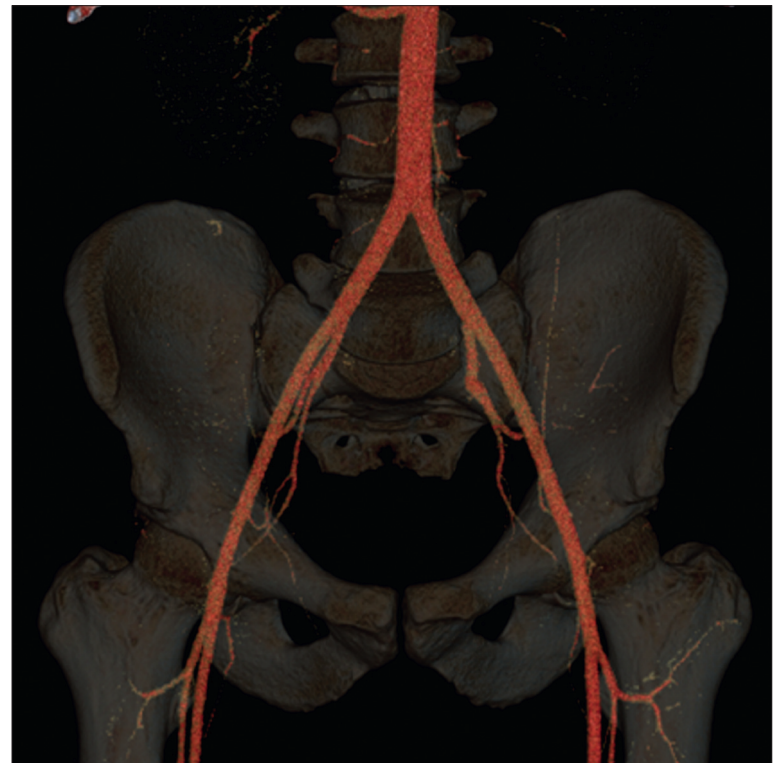
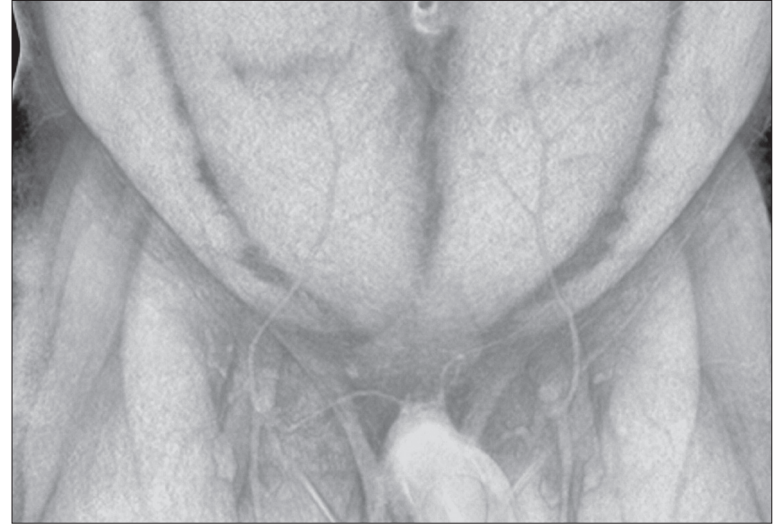
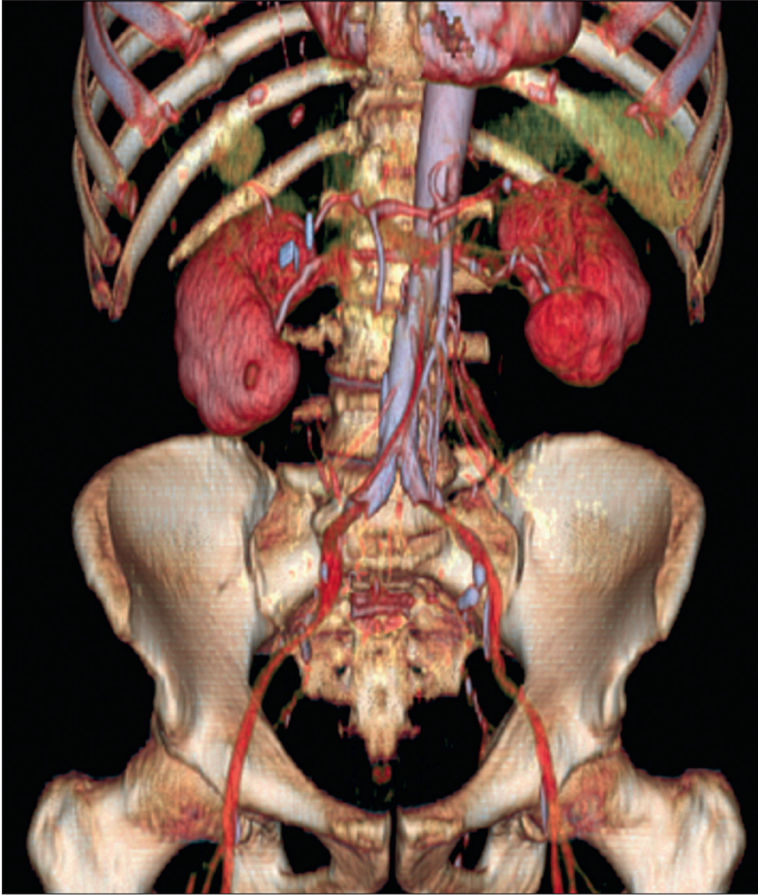
7 Prostate
8 Vésicule séminale
9 Rectum
10 Sacrum
11 5^e vertèbre lombale
12 Sac thécal

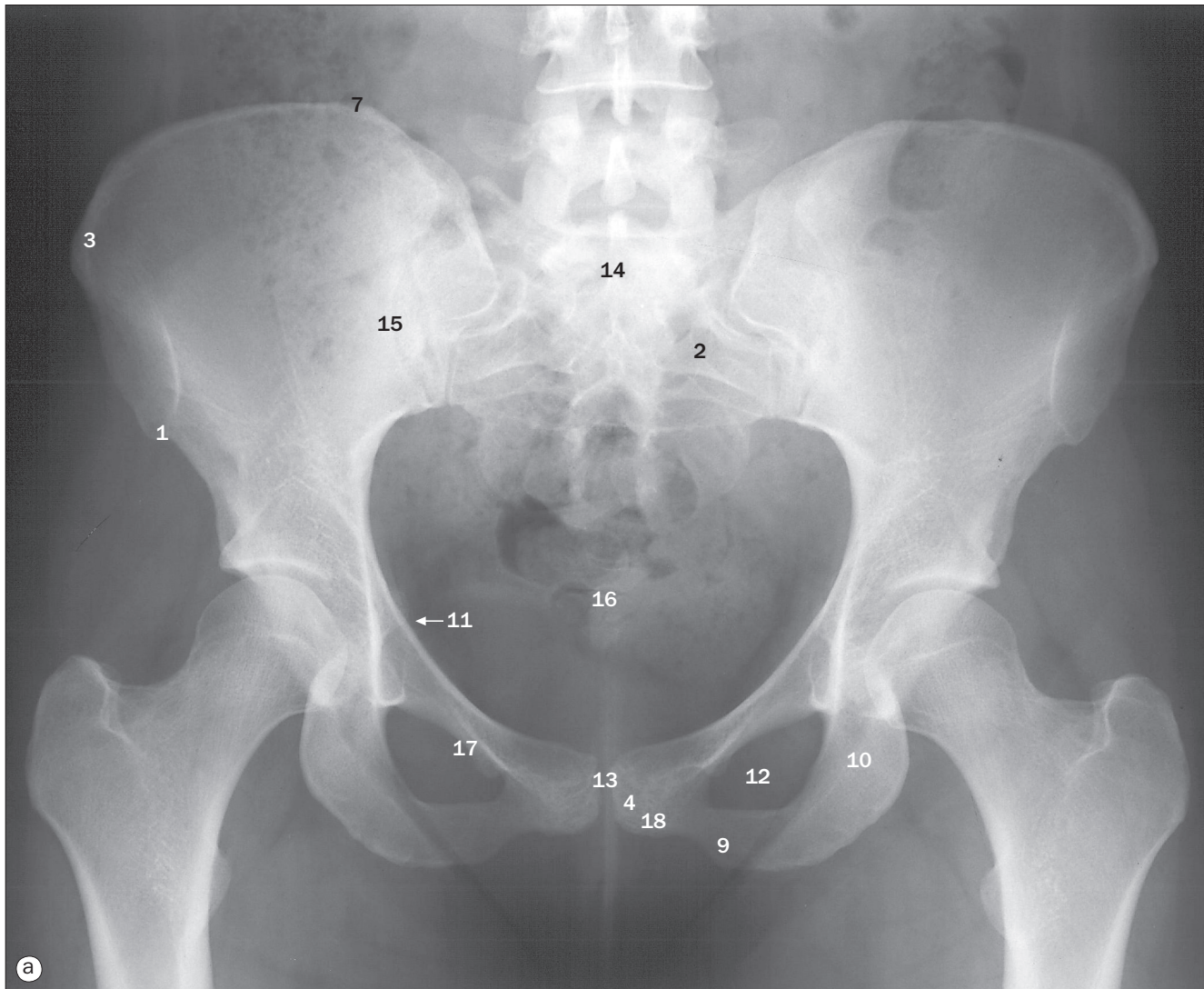
13 Conduit déférent
14 Muscle pectiné
15 Muscle court adducteur
16 Intestin grêle
17 Muscle grand glutéal
18 Fosse ischioanale

19 Cordon spermatique
20 Canal inguinal (orifice externe)
21 Vaisseaux du dos du pénis
22 Ostium externe de l'urètre
23 Muscle érecteur du rachis

6

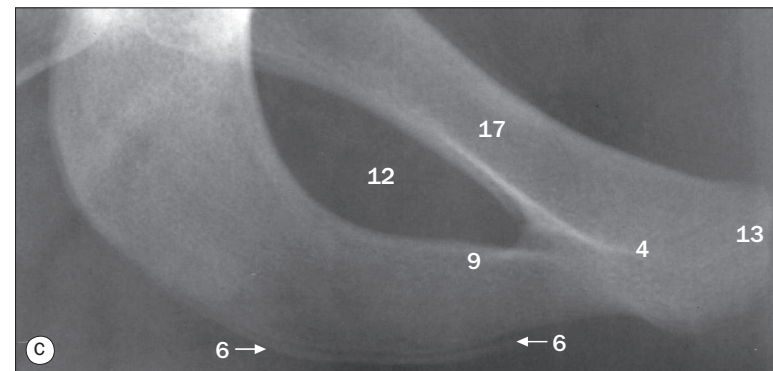
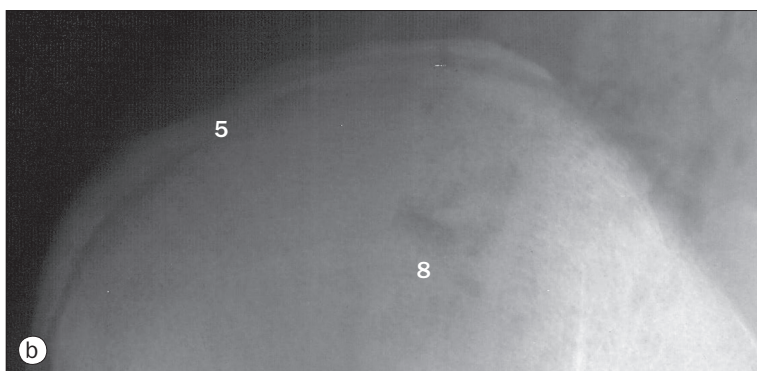
Abdomen et pelvis – Hors Coupes

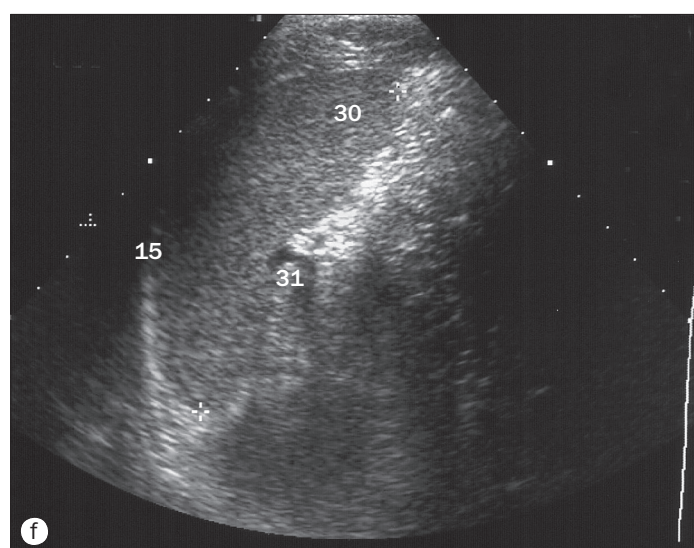
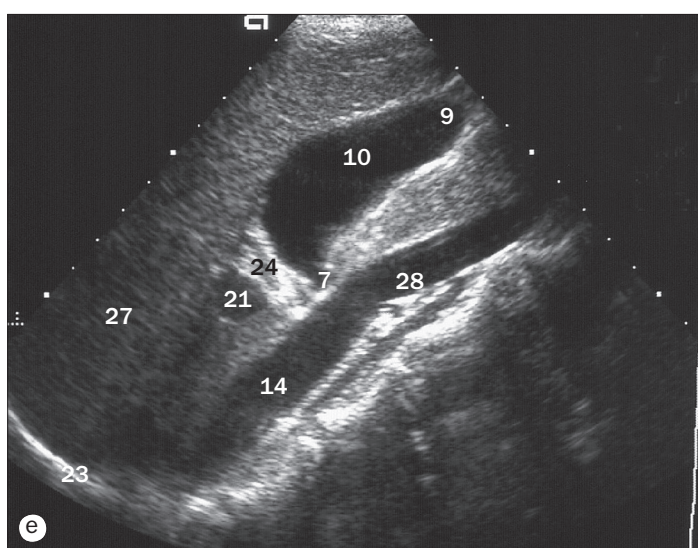
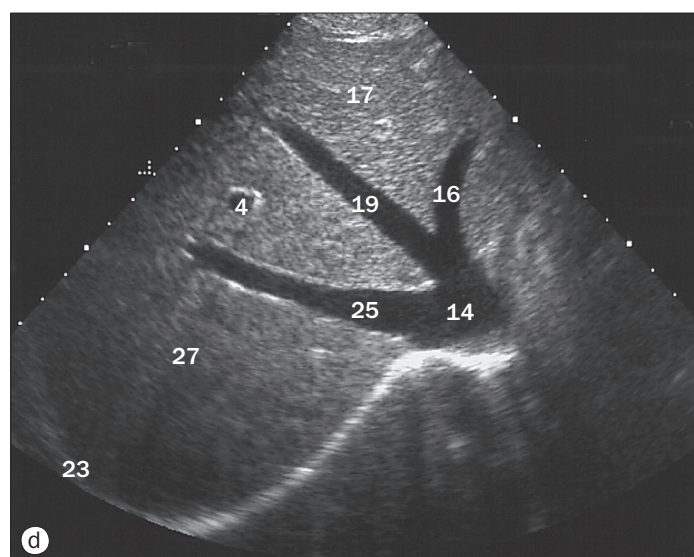
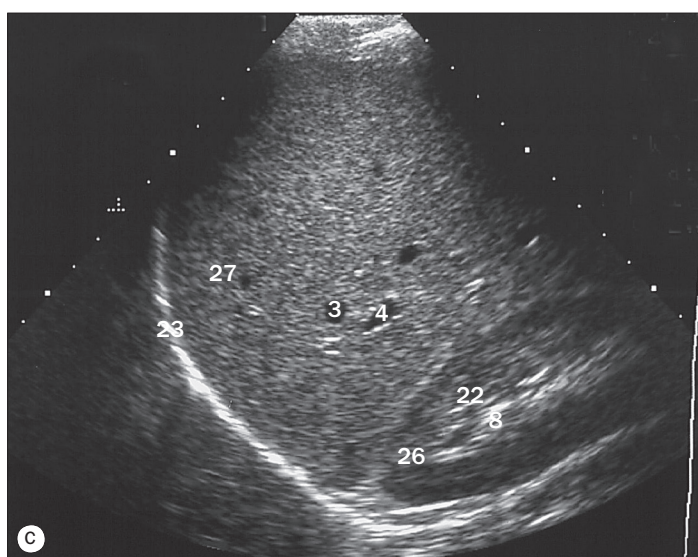
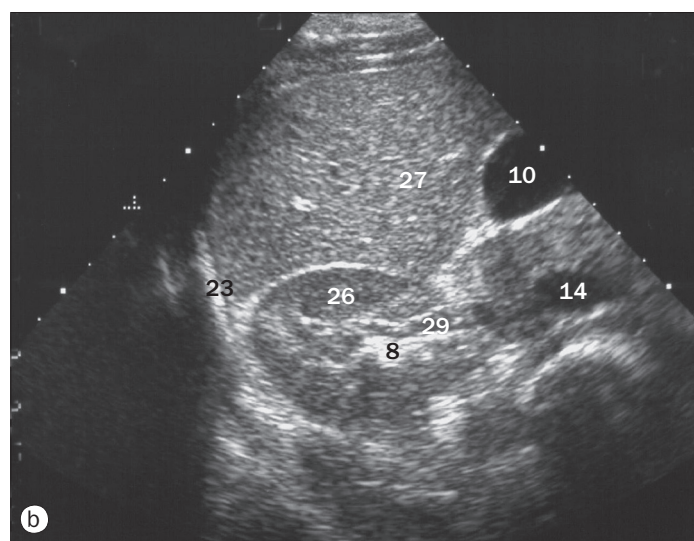
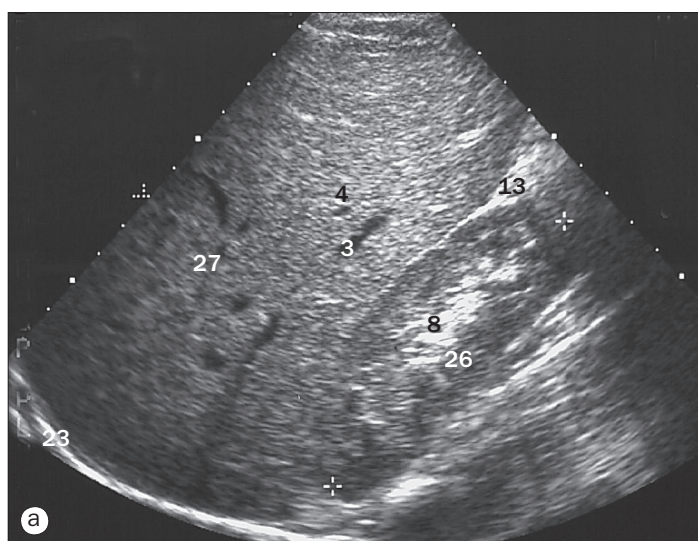




Abdomen, radiographie en décubitus dorsal. (a) Pelvis et hanches chez une femme, incidence de face. (b) et (c) Pelvis d'un adolescent de 17 ans, incidences de face.

- | | | |
|---|-------------------------------|--------------------------------|
| 1 Épine iliaque antéro-inférieure | 7 Crête iliaque | 14 Crête sacrale |
| 2 Foramen sacral antérieur | 8 Ilium | 15 Articulation sacro-iliaque |
| 3 Épine iliaque antérosupérieure | 9 Branche inférieure du pubis | 16 Segment du coccyx |
| 4 Corps du pubis | 10 Branche de l'ischium | 17 Branche supérieure du pubis |
| 5 Noyau d'ossification de la crête iliaque | 11 Épine ischiatique | 18 Tubercule du pubis |
| 6 Noyau d'ossification de la tubérosité ischiatique | 12 Foramen obturé | |
| | 13 Symphyse pubienne | |



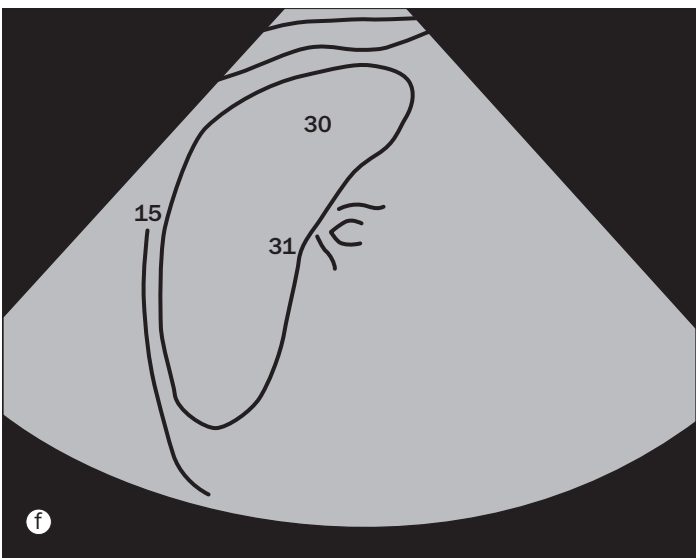
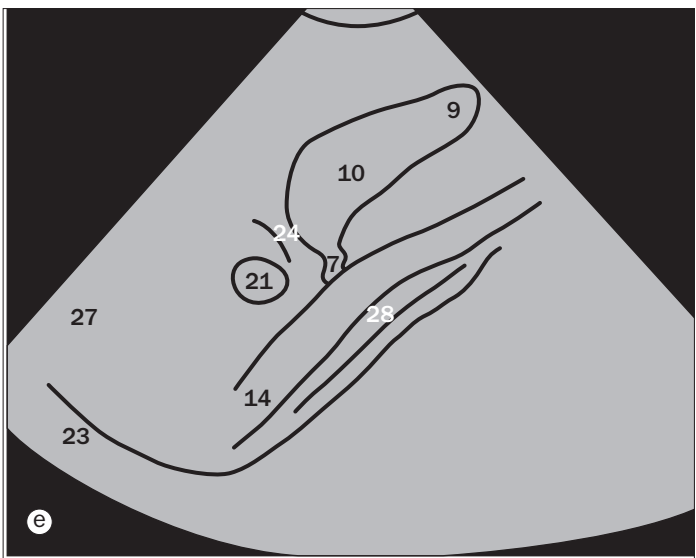
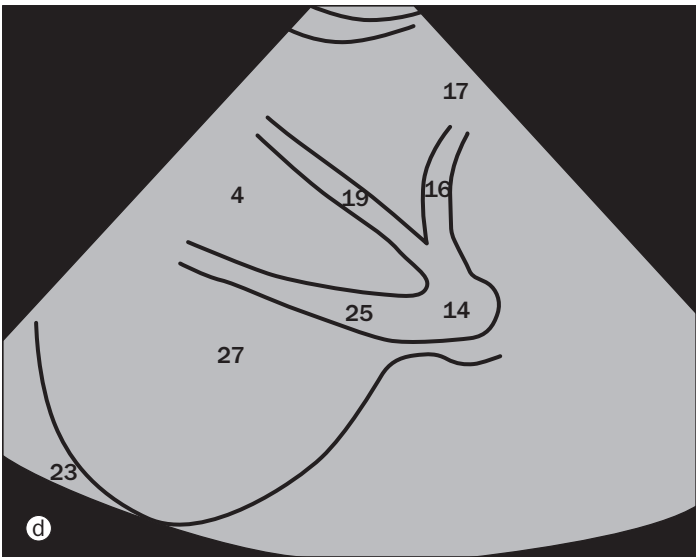
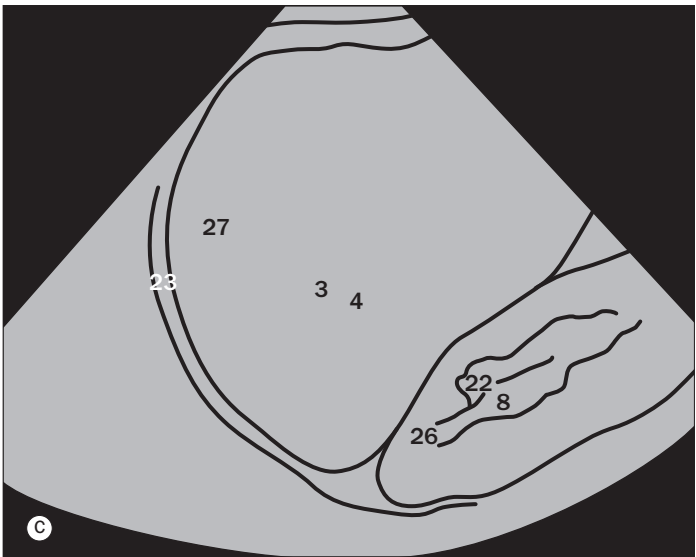
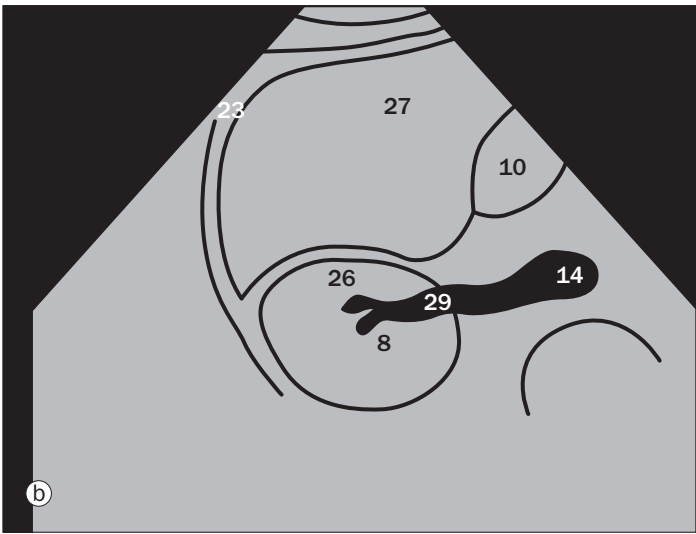
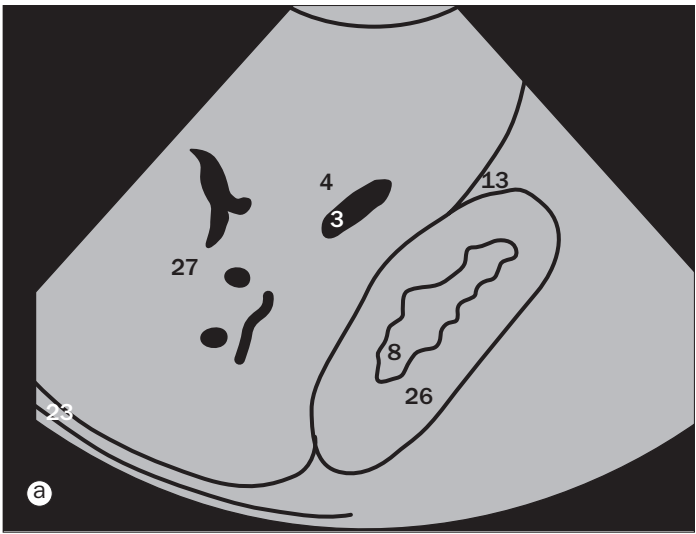


(a)–(f) Abdomen, échographies, vues sagittales et parasagittales.

1 Aorte abdominale
2 Corps du pancréas
3 Branche de la veine hépatique
4 Branche de la veine porte
5 Tronc cœliaque

6 Canal biliaire
7 Conduit cystique
8 Graisse dans le sinus rénal
9 Fundus de la vésicule biliaire
10 Vésicule biliaire

11 Tête du pancréas
12 Artère hépatique
13 Récessus hépatorénal
14 Veine cave inférieure
15 Coupole gauche du diaphragme

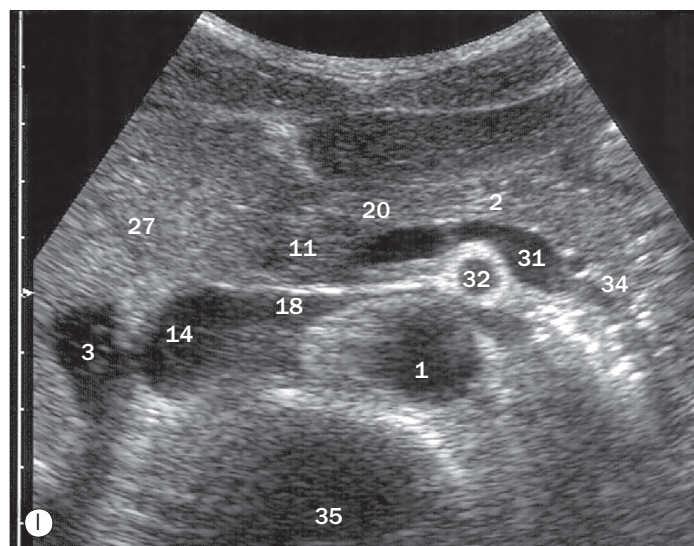
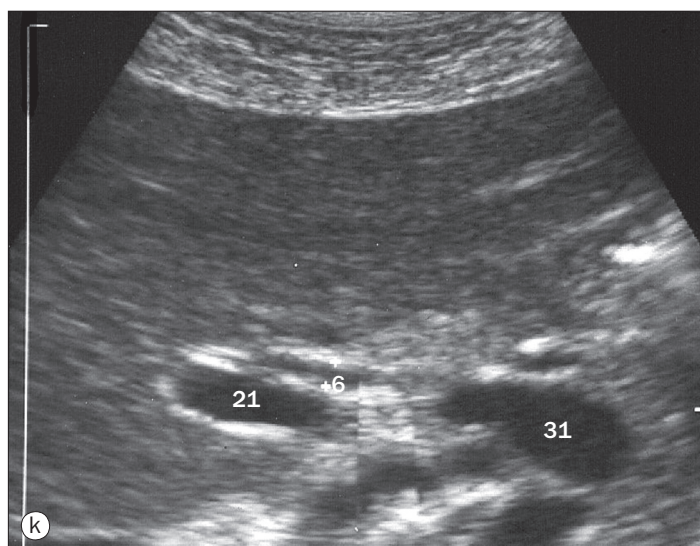
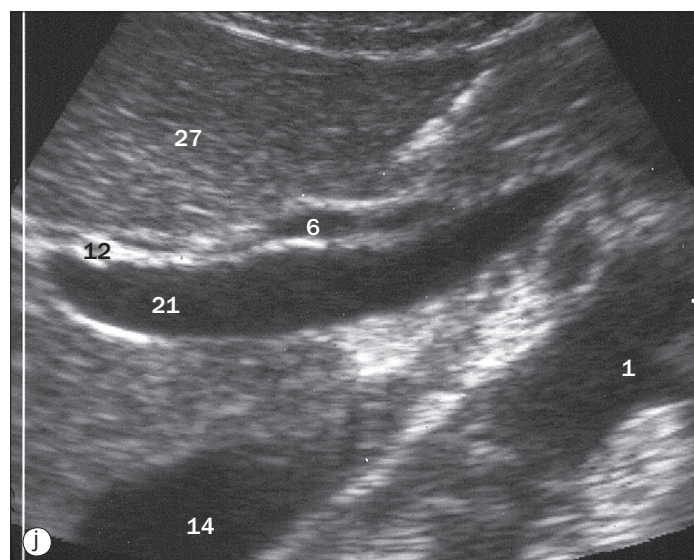
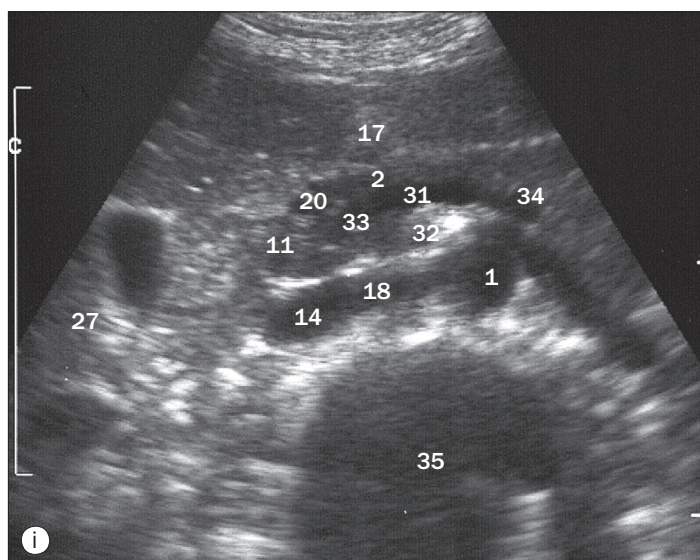
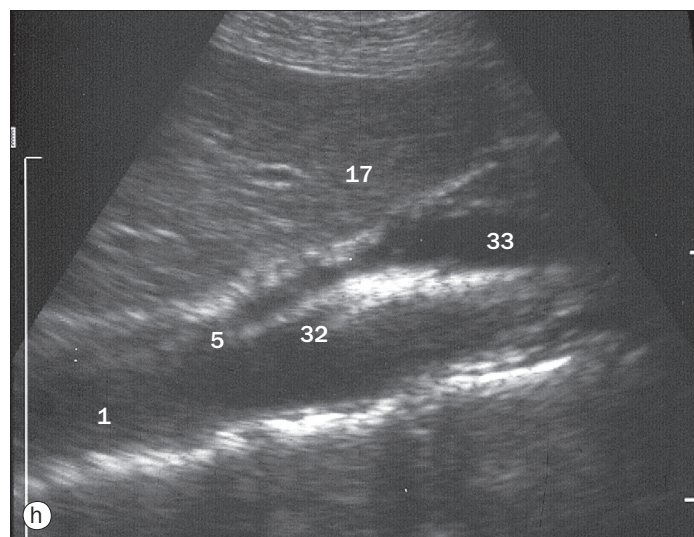
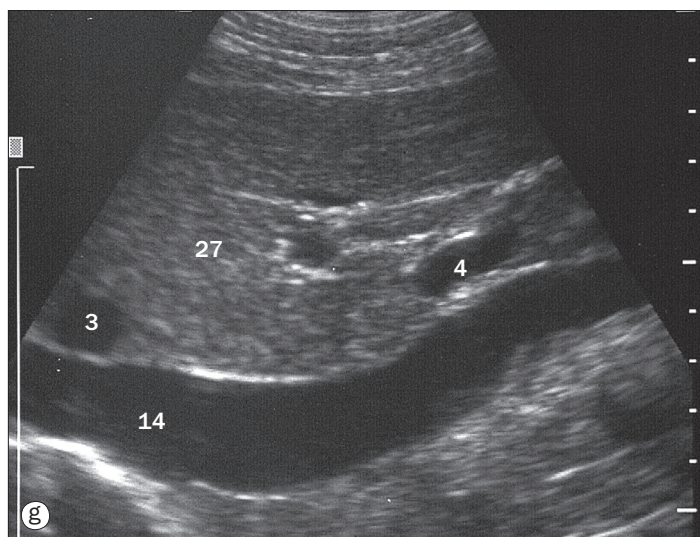


(a)–(f) Représentations schématiques des échographies de la page ci-contre.

16 Veine hépatique gauche
17 Lobe gauche du foie
18 Veine rénale gauche
19 Veine hépatique moyenne
20 Col du pancréas
21 Veine porte
22 Papilles rénales

23 Coupole droite du diaphragme
24 Artère hépatique droite
25 Veine hépatique droite
26 Rein droit
27 Lobe droit du foie
28 Artère rénale droite
29 Veine rénale droite

30 Rate
31 Veine splénique
32 Artère mésentérique supérieure
33 Veine mésentérique supérieure
34 Queue du pancréas
35 Corps vertébral

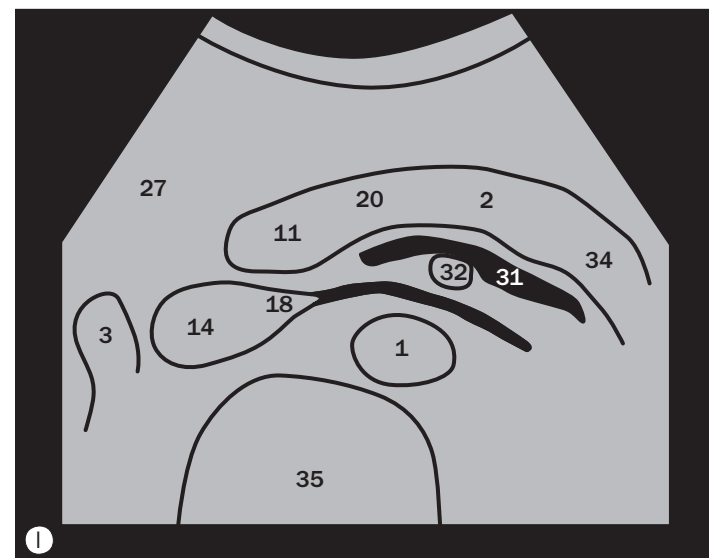
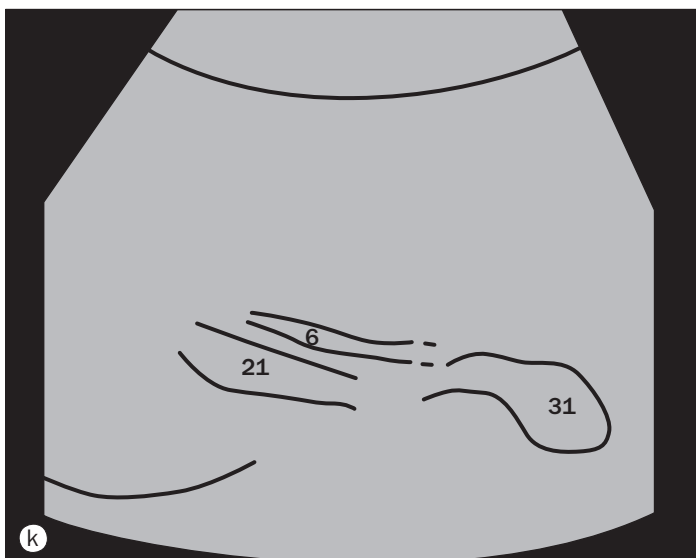
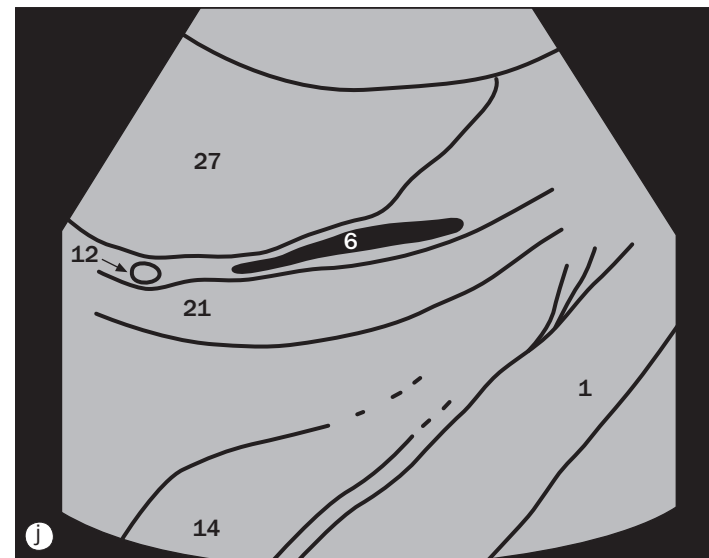
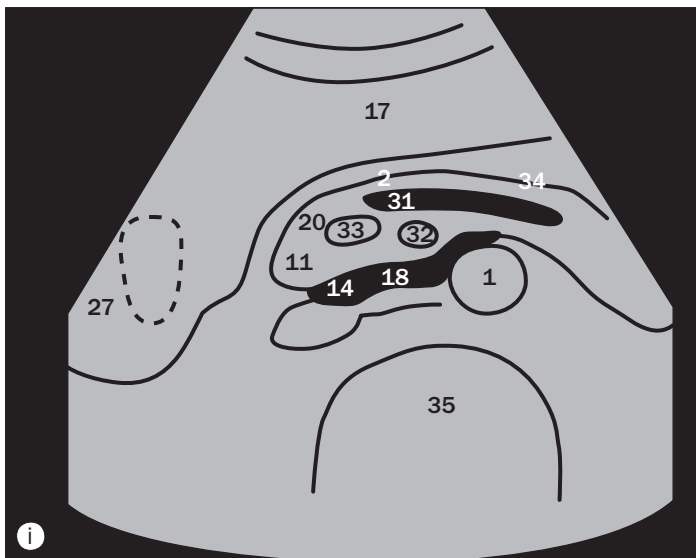
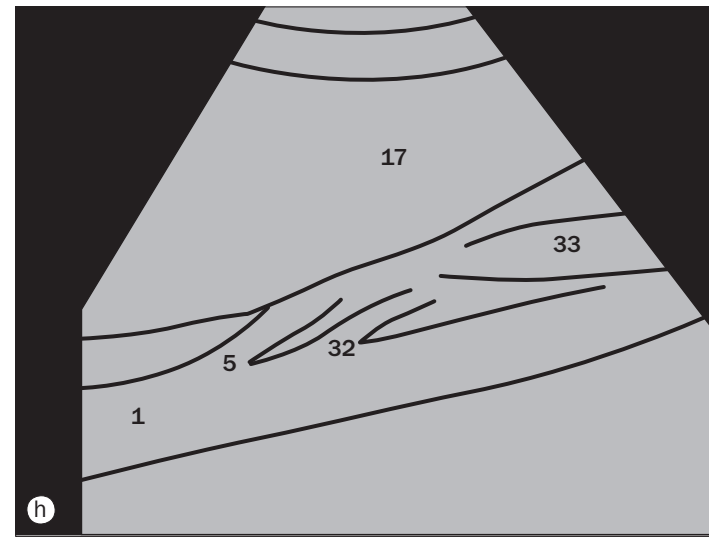
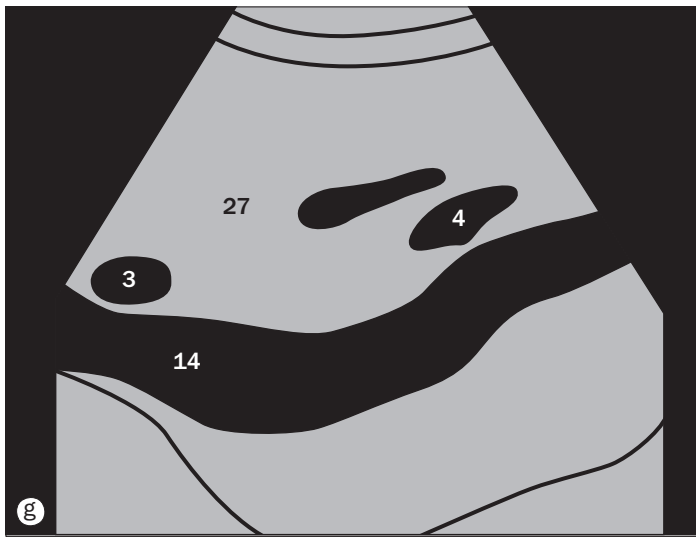


Abdomen, échographie, vues (g)–(h) sagittales, (i)–(l) transversales et obliques transversales (voir aussi les pages 174-175).

- 1 Aorte abdominale
- 2 Corps du pancréas
- 3 Branche de la veine hépatique
- 4 Branche de la veine porte
- 5 Tronc cœliaque

- 6 Canal biliaire
- 7 Conduit cystique
- 8 Graisse dans le sinus rénal
- 9 Fundus de la vésicule biliaire
- 10 Vésicule biliaire

- 11 Tête du pancréas
- 12 Artère hépatique
- 13 Récessus hépatorénal
- 14 Veine cave inférieure
- 15 Coupole gauche du diaphragme

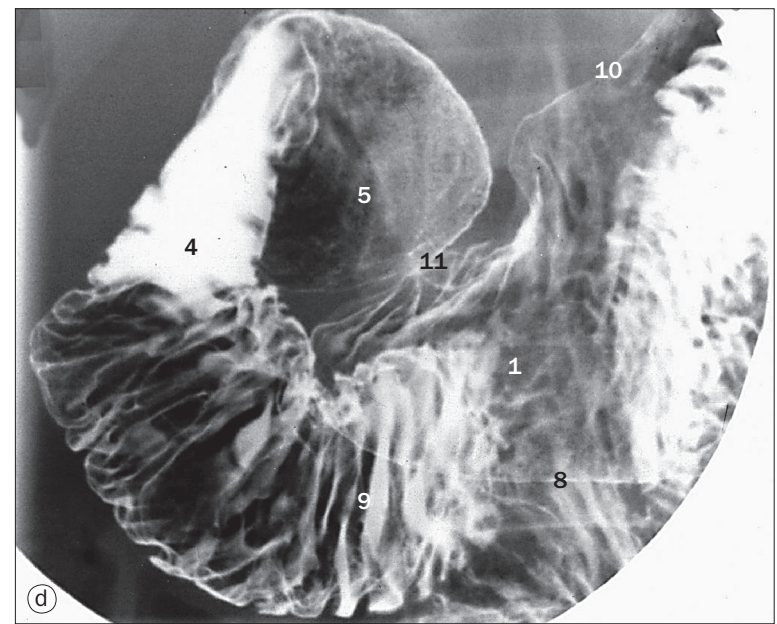
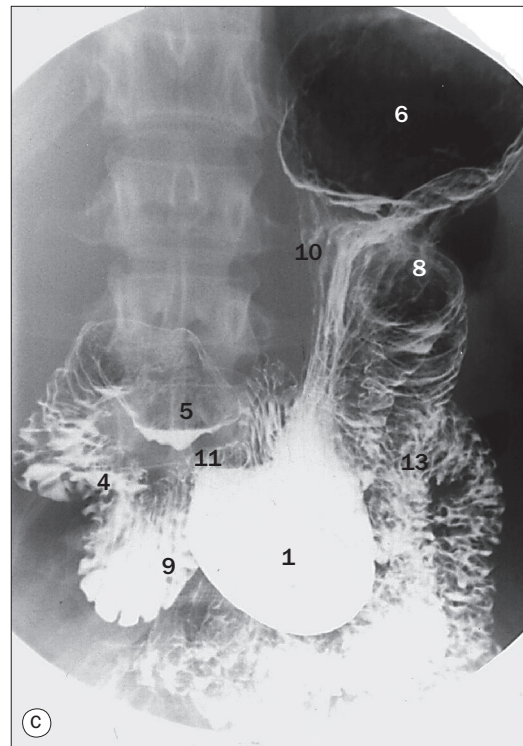
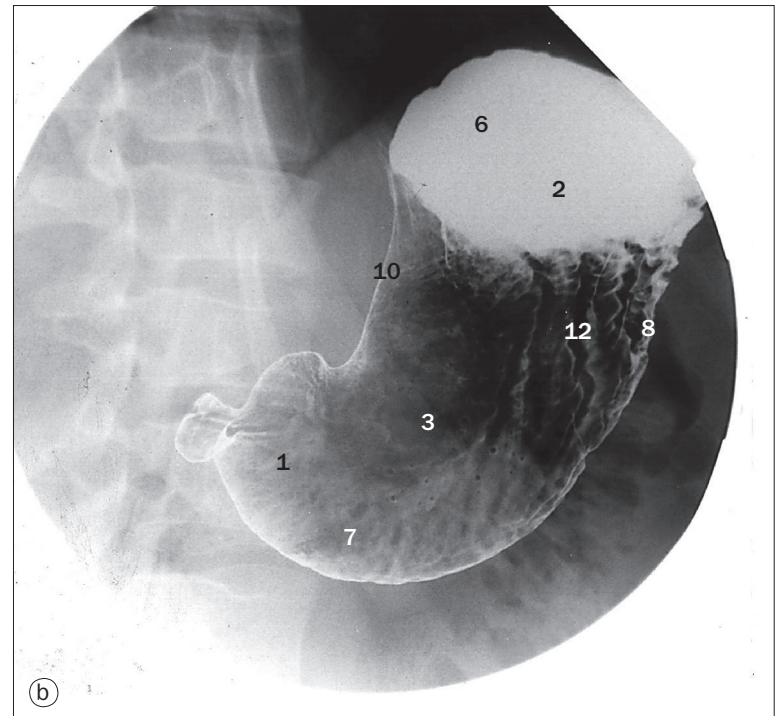
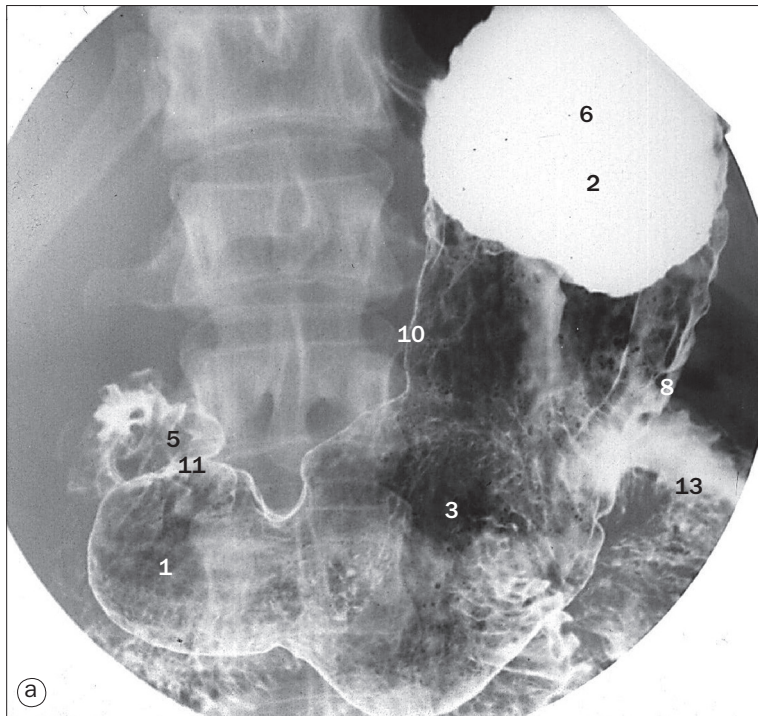


(g)–(l) Représentations schématiques des échographies de la page ci-contre.

16 Veine hépatique gauche
17 Lobe gauche du foie
18 Veine rénale gauche
19 Veine hépatique moyenne
20 Col du pancréas
21 Veine porte
22 Papilles rénales

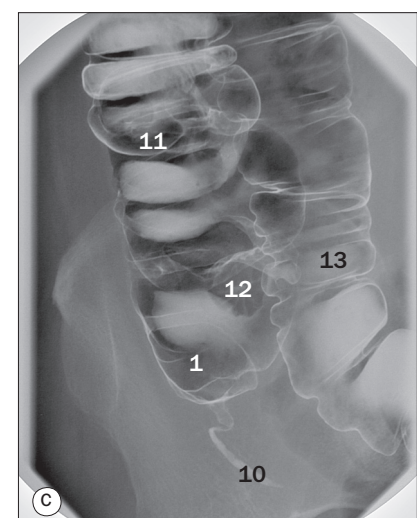
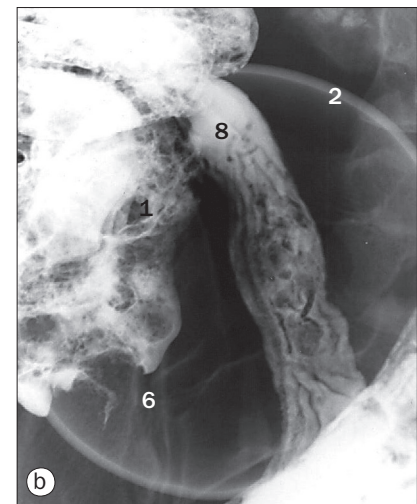
23 Coupole droite du diaphragme
24 Artère hépatique droite
25 Veine hépatique droite
26 Rein droit
27 Lobe droit du foie
28 Artère rénale droite
29 Veine rénale droite

30 Rate
31 Veine splénique
32 Artère mésentérique supérieure
33 Veine mésentérique supérieure
34 Queue du pancréas
35 Corps vertébral



Abdomen. Estomac et duodénum en transit baryté double contraste, (a) et (b) le patient en décubitus dorsal (pour montrer la muqueuse de l'estomac), (c) le patient debout, (d) le patient en décubitus dorsal oblique (pour montrer le duodénum).

- | | |
|--|--|
| 1 Antre pylorique | 6 Fundus gastrique |
| 2 Baryum accumulé dans le fundus gastrique | 7 Bulles de gaz |
| 3 Corps de l'estomac | 8 Grande courbure de l'estomac |
| 4 Partie descendante (deuxième) du duodénum | 9 Partie horizontale (troisième) du duodénum |
| 5 Ampoule duodénale (partie supérieure ou première partie du duodénum) | 10 Petite courbure de l'estomac |
| | 11 Région du canal pylorique |
| | 12 Plis gastriques |
| | 13 Intestin grêle |



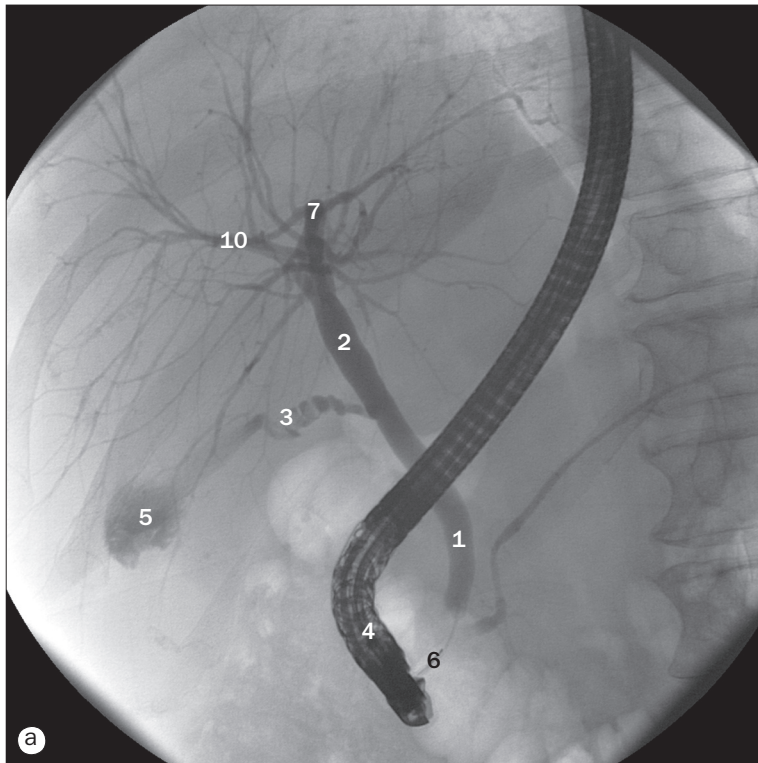
Abdomen, transit intestinal, (a) le patient en décubitus dorsal. Vues localisées (b) de l'iléum et (c) de la valve iléocæcale. Incidences de face.

- | | |
|---|--|
| 1 Cæcum | 8 Iléum, partie terminale |
| 2 Dispositif de compression | 9 Valvules conniventes (plis circulaires) du jéjunum |
| 3 Partie descendante (deuxième) du duodénum | 10 Appendice |
| 4 Iléum, partie proximale | 11 Côlon ascendant |
| 5 Jéjunum proximal | 12 Valve iléocæcale |
| 6 Articulation sacro-iliaque droite | 13 Côlon transverse |
| 7 Estomac | |



Colonographie par TDM.

- | | |
|--------------------|------------------------------------|
| 1 Rectum | 6 Angle colique gauche (splénique) |
| 2 Côlon sigmoïde | 7 Angle colique droit (hépatique) |
| 3 Côlon ascendant | 8 Cæcum |
| 4 Côlon descendant | 9 Iléum, partie terminale |
| 5 Côlon transverse | |



(a) Cholangiopancréatographie rétrograde endoscopique (CPRE).

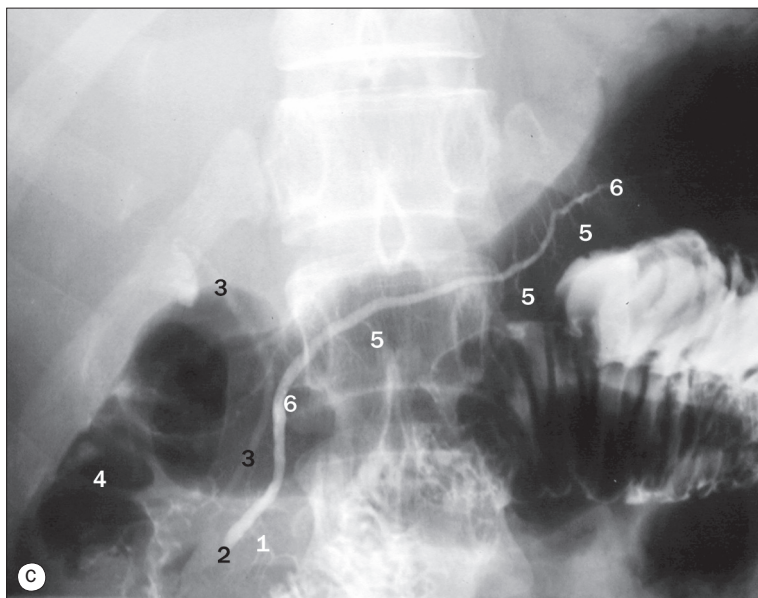


(b) Cholangiopancréatographie par résonance magnétique (CPRM).

- 1 Canal biliaire
- 2 Canal hépatique commun
- 3 Conduit cystique
- 4 Endoscope dans le duodénum

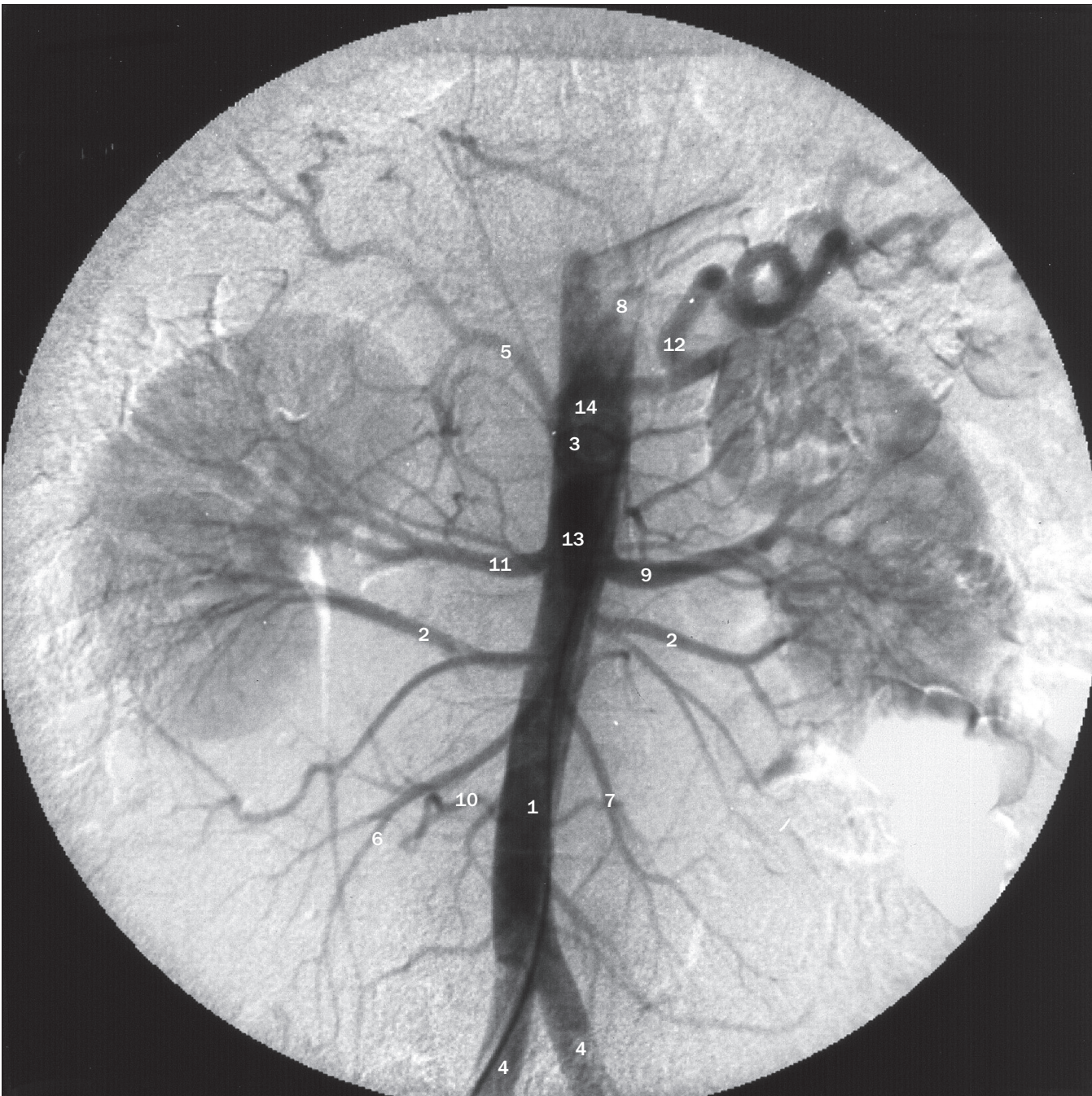
- 5 Vésicule biliaire
- 6 Ampoule hépatopancréatique (de Vater)
- 7 Canal hépatique gauche
- 8 Col de la vésicule biliaire

- 9 Canal pancréatique
- 10 Canal hépatique droit



(c) CPRE.

- 1 Canal pancréatique accessoire (de Santorini)
- 2 Partie ampullaire du canal pancréatique
- 3 Canal biliaire
- 4 Produit de contraste et gaz dans la partie descendante (deuxième) du duodénum
- 5 Conduits intralobulaires
- 6 Canal pancréatique principal

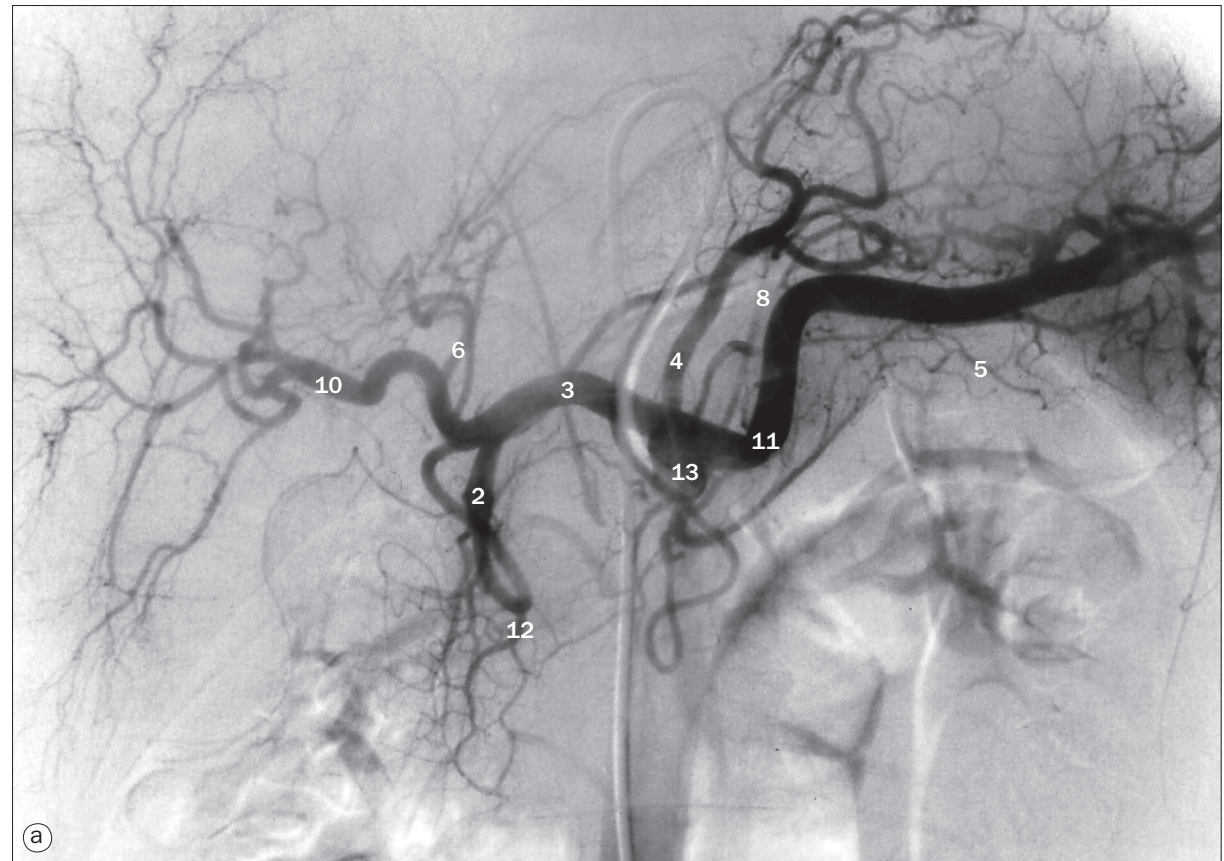


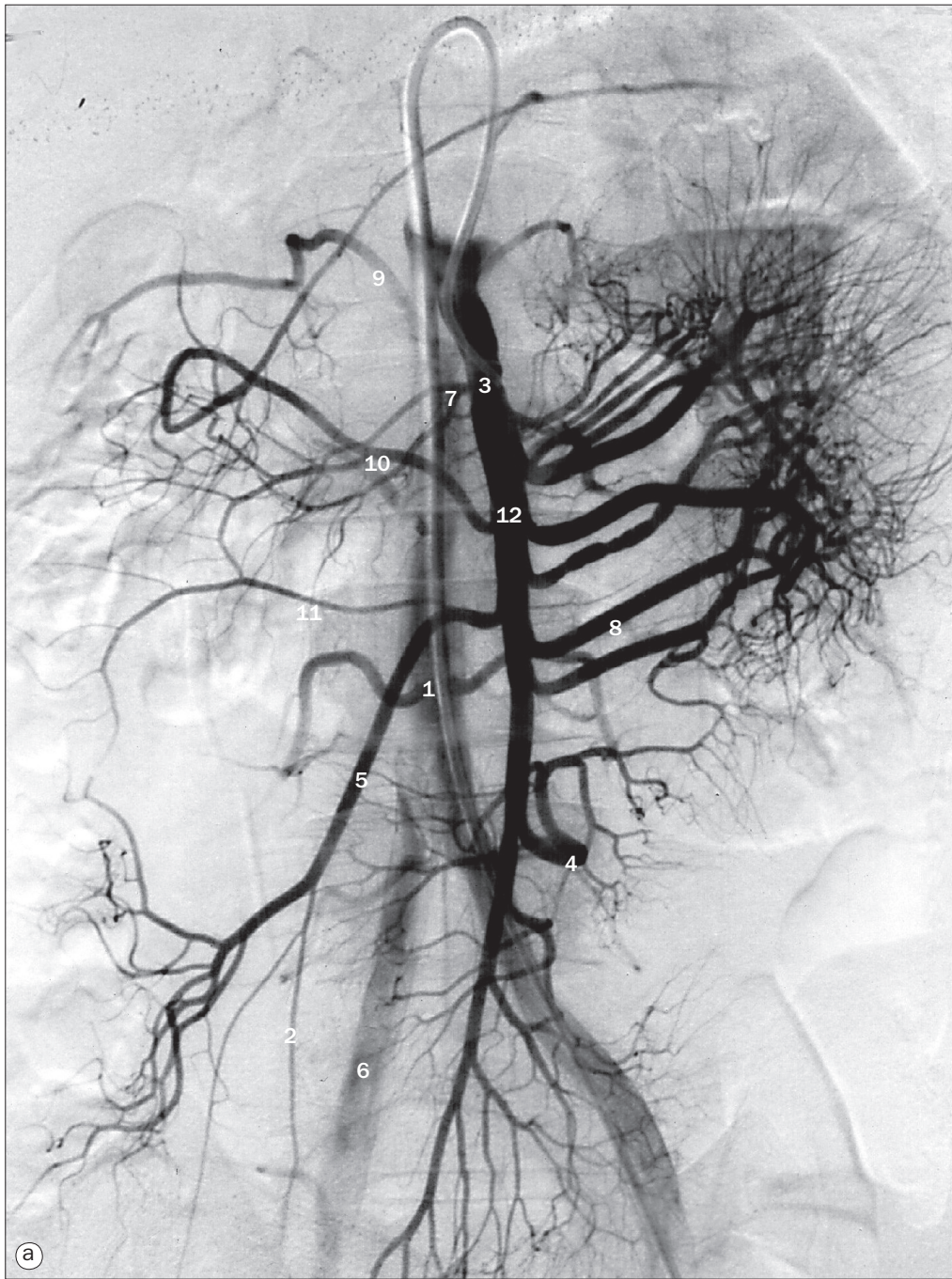
Aorte abdominale, artériographie.

- 1 Aorte abdominale
- 2 Artères rénales accessoires
- 3 Tronc cœliaque
- 4 Artères iliaques communes
- 5 Artère hépatique
- 6 Artère iléocolique
- 7 Branches jéjunales de l'artère mésentérique supérieure
- 8 Artère gastrique gauche
- 9 Artère rénale gauche
- 10 Artères lombales
- 11 Artère rénale droite
- 12 Artère splénique
- 13 Artère mésentérique supérieure
- 14 Extrémité du cathéter de petite taille dans l'aorte abdominale

(a) et (b) Tronc cœliaque, artériographies par soustraction.

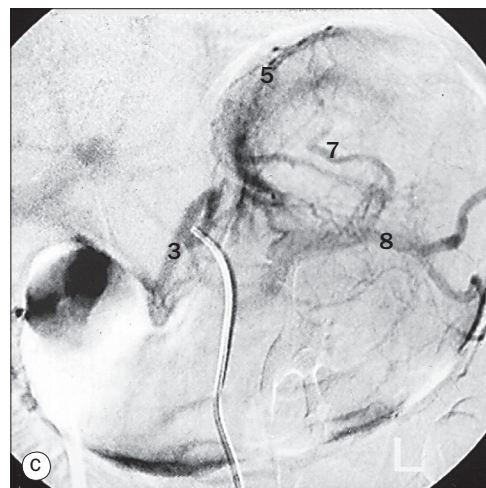
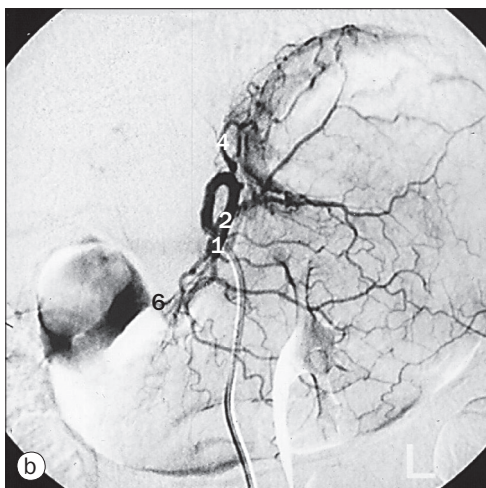
- 1 Artère pancréatique dorsale
- 2 Artère gastroduodénale
- 3 Artère hépatique
- 4 Artère gastrique gauche
- 5 Artère gastro-épiplœique gauche
- 6 Artère hépatique gauche
- 7 Artère grande pancréatique
- 8 Artère phrénique
- 9 Artère gastro-épiplœique droite
- 10 Artère hépatique droite
- 11 Artère splénique
- 12 Artère pancréatico-duodénale supérieure
- 13 Extrémité du cathéter dans le tronc cœliaque
- 14 Artère pancréatique inférieure





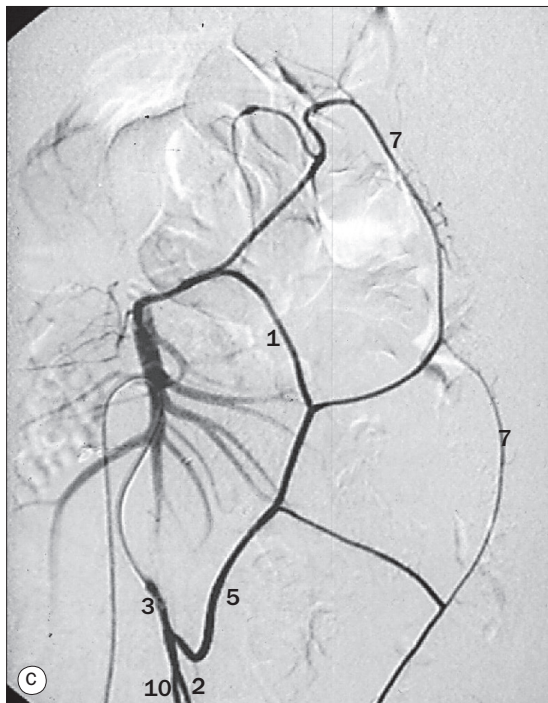
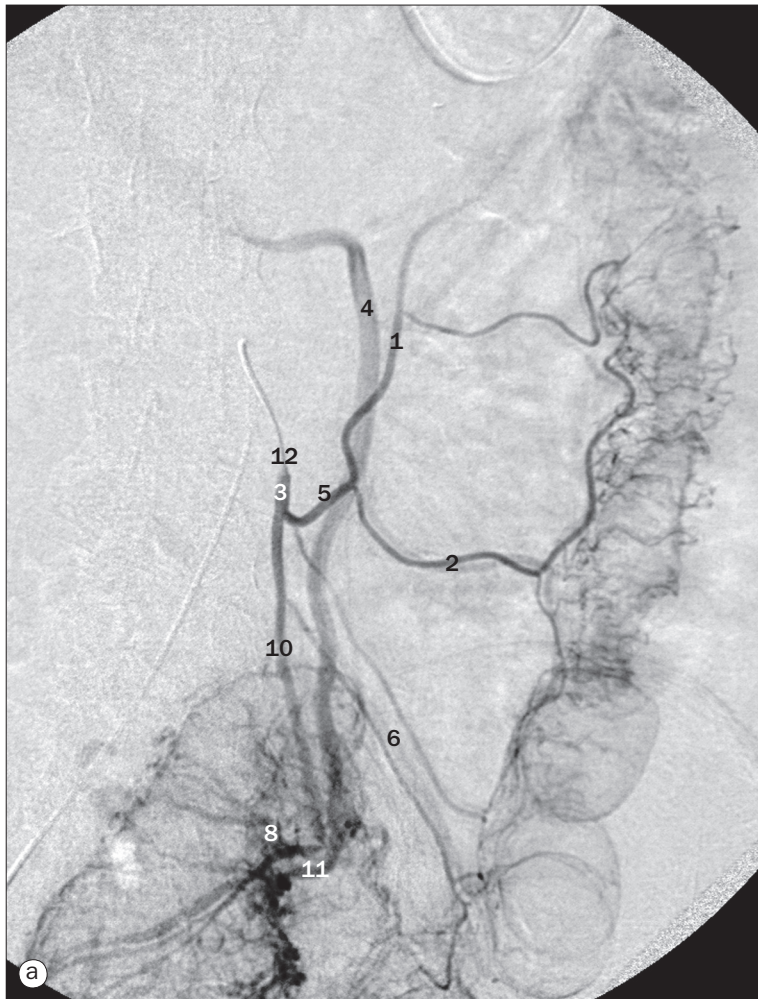
(a) Artère mésentérique supérieure, artériographie par soustraction.

- 1 Aorte
- 2 Artère appendiculaire
- 3 Extrémité du cathéter dans l'artère mésentérique supérieure
- 4 Branches iléales de l'artère mésentérique supérieure
- 5 Artère iléocolique
- 6 Artère iliaque
- 7 Artère pancréaticoduodénale inférieure
- 8 Branches jéunales de l'artère mésentérique supérieure
- 9 Artères lombales issues de l'aorte abdominale
- 10 Artère colique moyenne
- 11 Artère colique droite
- 12 Artère mésentérique supérieure



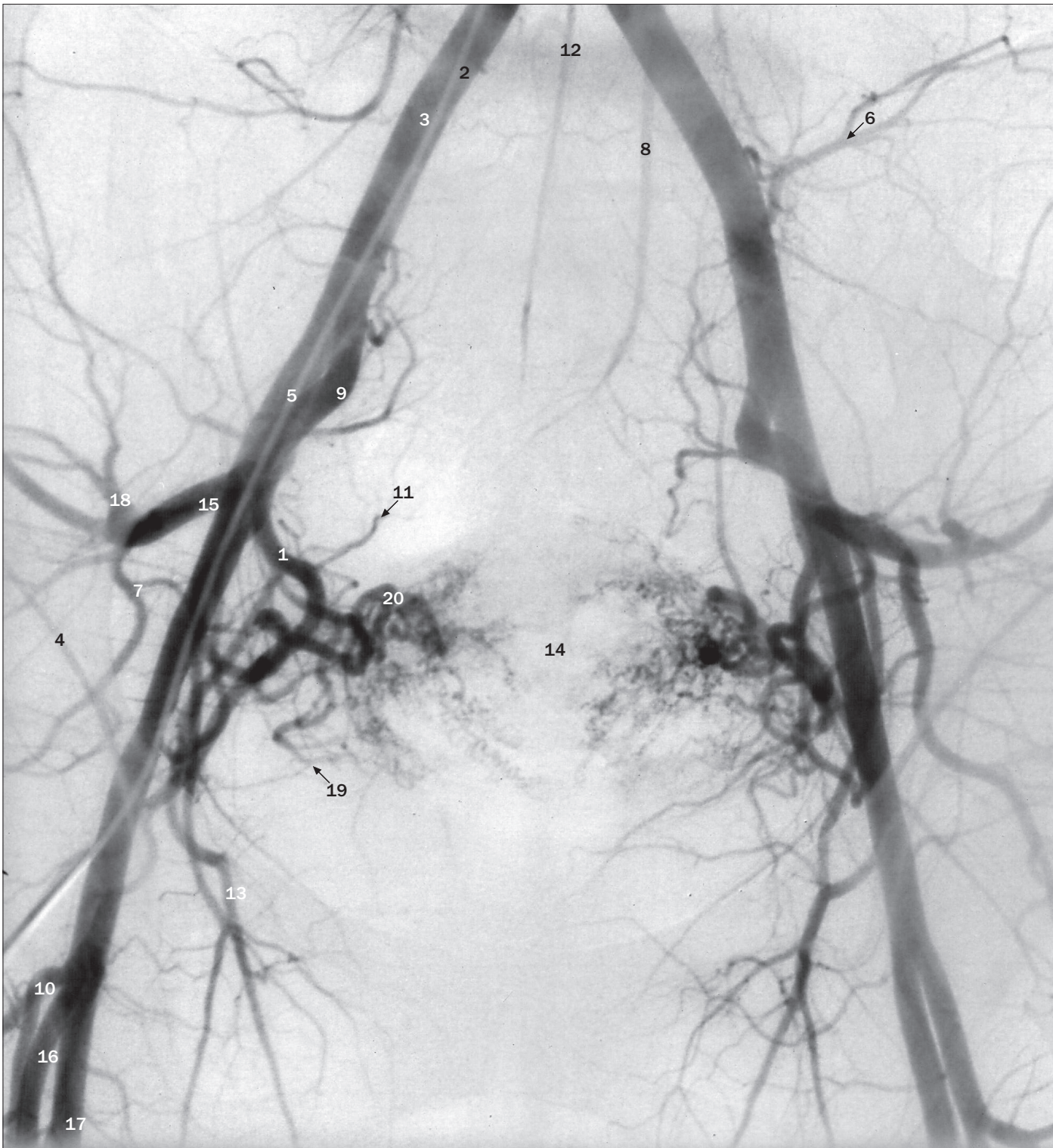
(b) Artères gastriques, (c) veines gastriques.

- 1 Cathéter dans l'origine de l'artère gastrique gauche
- 2 Artère gastrique gauche
- 3 Veine gastrique gauche
- 4 Branche œsophagienne de l'artère gastrique gauche
- 5 Branches œsophagiennes de la veine gastrique gauche
- 6 Artère gastrique droite
- 7 Veines gastriques courtes
- 8 Veine splénique



- 1 Branche ascendante de l'artère colique gauche
- 2 Branche descendante de l'artère colique gauche
- 3 Artère mésentérique inférieure
- 4 Veine mésentérique inférieure
- 5 Artère colique gauche
- 6 Veine colique gauche
- 7 Arcade de Riolan (artère marginale de Drummond)
- 8 Artères sigmoïdiennes
- 9 Veine sigmoïdienne
- 10 Artère rectale supérieure
- 11 Veine rectale supérieure
- 12 Extrémité du cathéter dans l'artère mésentérique inférieure

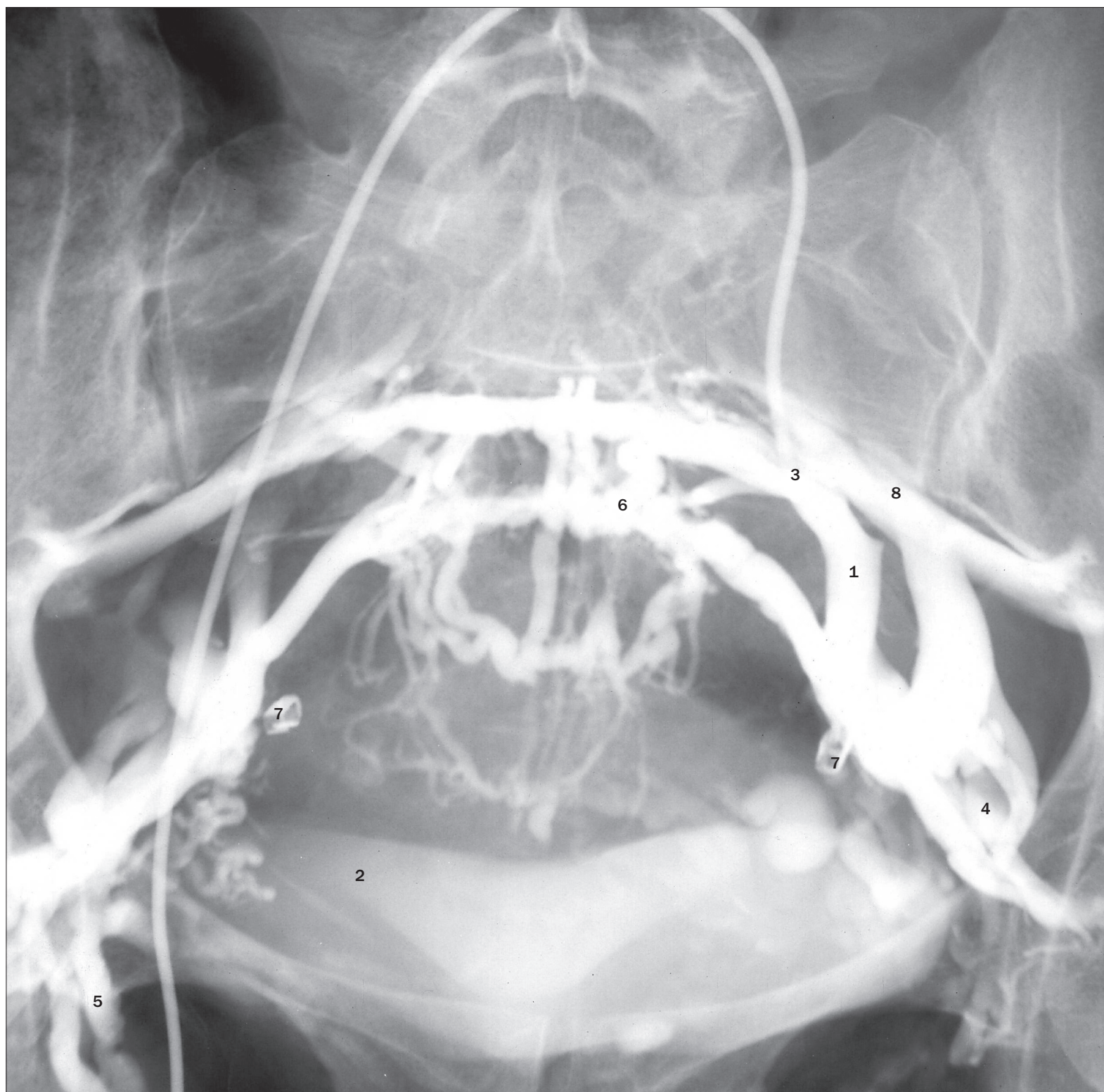
(a)–(c) Artère mésentérique inférieure, artériographies.



Pelvis, artériographie par soustraction.

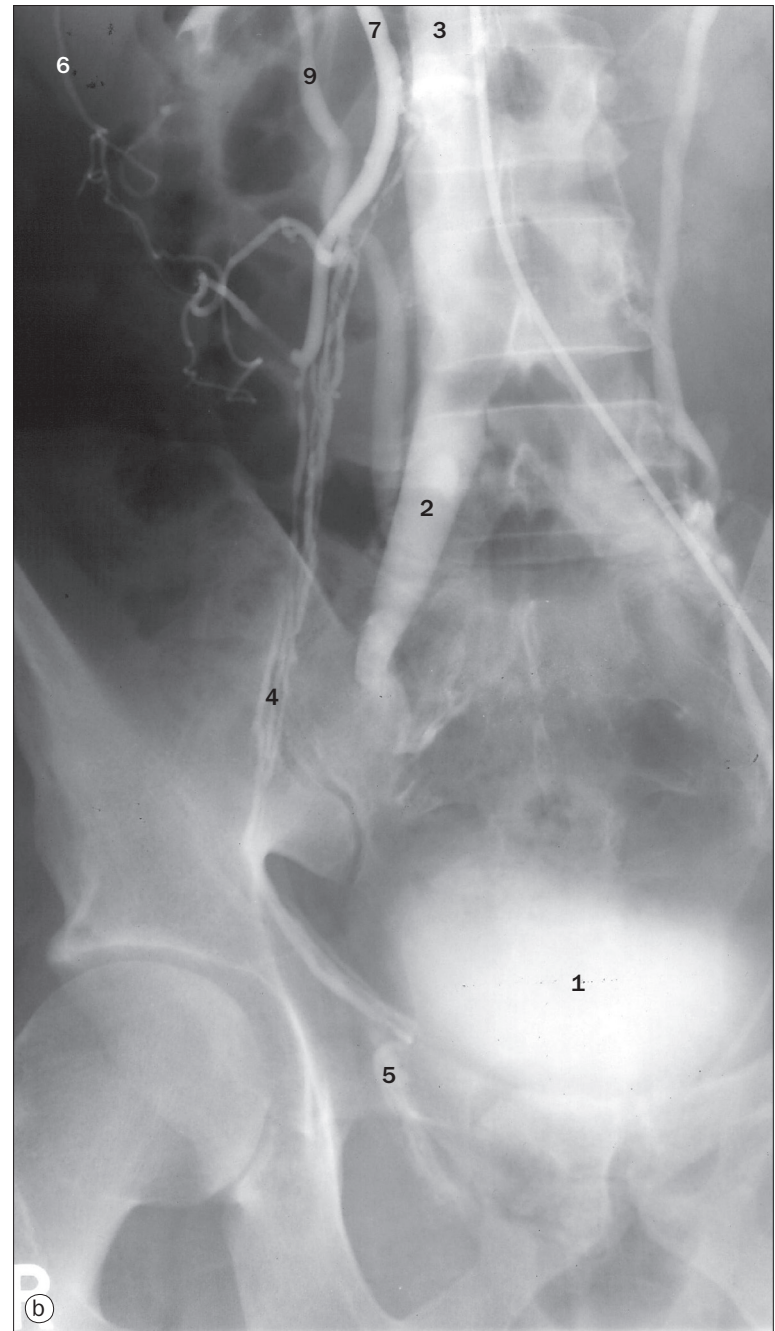
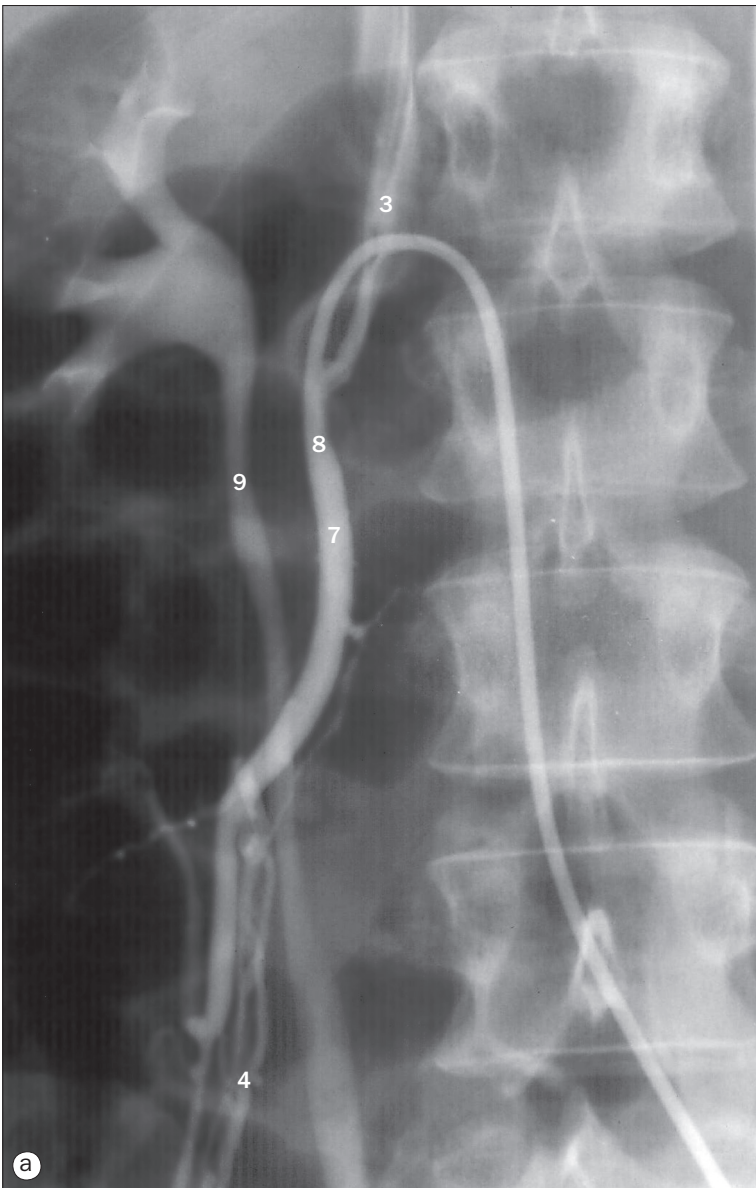
Cette radiographie de face du pelvis met en évidence les artères iliaques interne et externe ainsi que leurs branches. Nombre de ces vaisseaux sont superposés; pour mieux les visualiser, des incidences obliques peuvent être réalisées. Le produit de contraste injecté dans les artères est éliminé par les reins, et si la vessie est pleine, les branches peuvent être masquées. Un cathétérisme sélectif des artères iliaques interne et externe à l'aide d'un cathéter préformé permet d'obtenir davantage de détails sans que les vaisseaux soient superposés.

- | | |
|---|---|
| 1 Tronc antérieur de l'artère iliaque interne | 10 Artère circonflexe latérale de la cuisse |
| 2 Cathéter introduit dans l'aorte abdominale distale via l'artère fémorale droite | 11 Artère sacrale latérale |
| 3 Artère iliaque commune | 12 Artère sacrale médiane |
| 4 Artère circonflexe iliaque profonde | 13 Artère obturatrice |
| 5 Artère iliaque externe | 14 Emplacement de l'utérus |
| 6 Artère iliolombale | 15 Tronc postérieur de l'artère iliaque interne |
| 7 Artère glutéale inférieure | 16 Artère profonde de la cuisse |
| 8 Artère mésentérique inférieure | 17 Artère fémorale superficielle |
| 9 Artère iliaque interne | 18 Artère glutéale supérieure |
| | 19 Artère vésicale supérieure |
| | 20 Artère utérine |



Pelvis féminin, phlébographie.

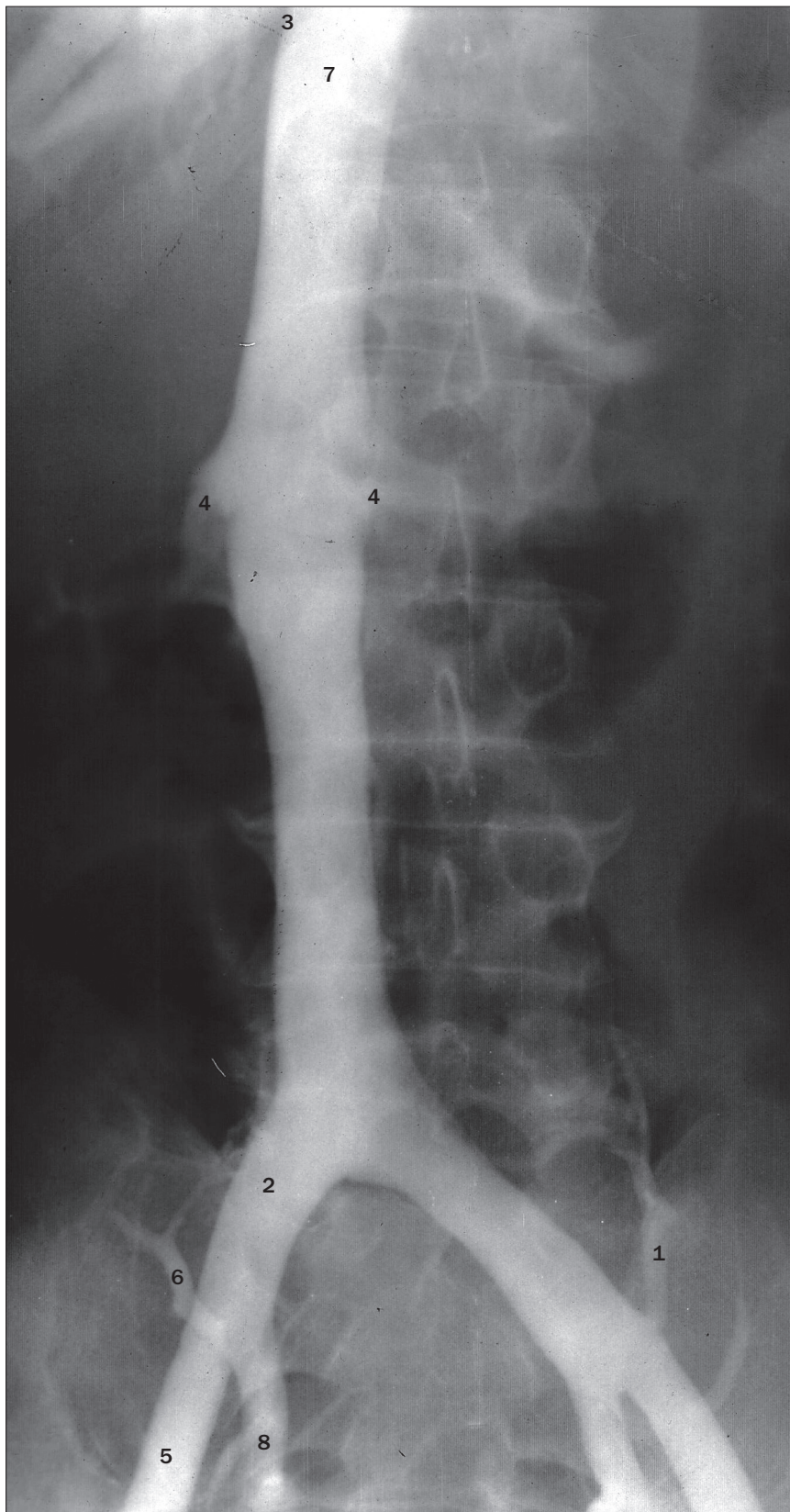
- 1 Division antérieure de la veine iliaque interne
- 2 Vessie contenant du produit de contraste
- 3 Cathéter introduit via la veine fémorale droite, l'extrémité étant dans la veine iliaque interne gauche
- 4 Veines glutéales inférieures
- 5 Veines obturatrices
- 6 Plexus veineux sacral
- 7 Clips de stérilisation
- 8 Veines glutéales supérieures



(a) et (b) Veine testiculaire droite, phlébographies.

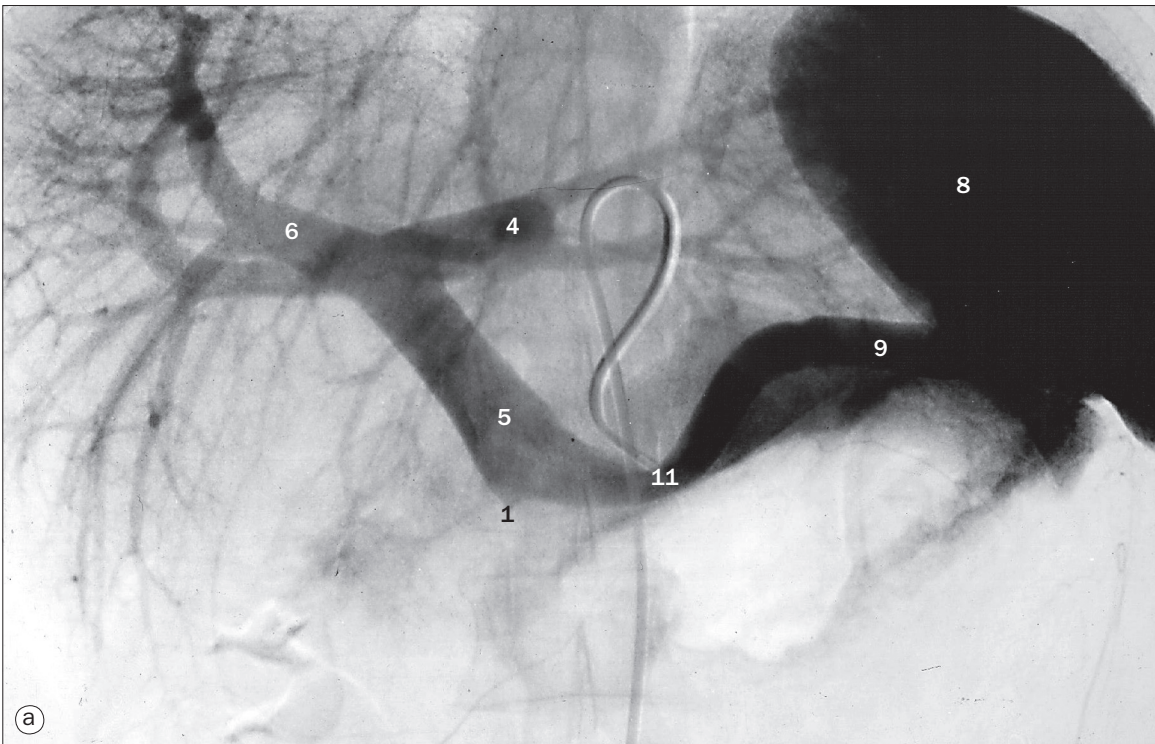
Les veines génitales se drainent dans une ou deux veines principales par l'intermédiaire d'un plexus veineux. À gauche, la veine principale se draine dans la veine rénale gauche. Elle peut parfois communiquer avec la veine mésentérique inférieure et se drainer dans le système veineux porte. À droite, la veine principale se draine habituellement directement dans la veine cave inférieure (comme c'est le cas ici), mais elle peut également se drainer dans la veine rénale droite.

- 1 Vessie
- 2 Veines iliaques communes
- 3 Veine cave inférieure
- 4 Plexus veineux pampiniforme
- 5 Plexus veineux pampiniforme (testicule non descendu dans le canal inguinal)
- 6 Veines de la capsule rénale
- 7 Veine testiculaire droite
- 8 Extrémité du cathéter introduit dans la veine testiculaire droite via la veine fémorale gauche
- 9 Uretere



Veine cave inférieure, phlébographie.

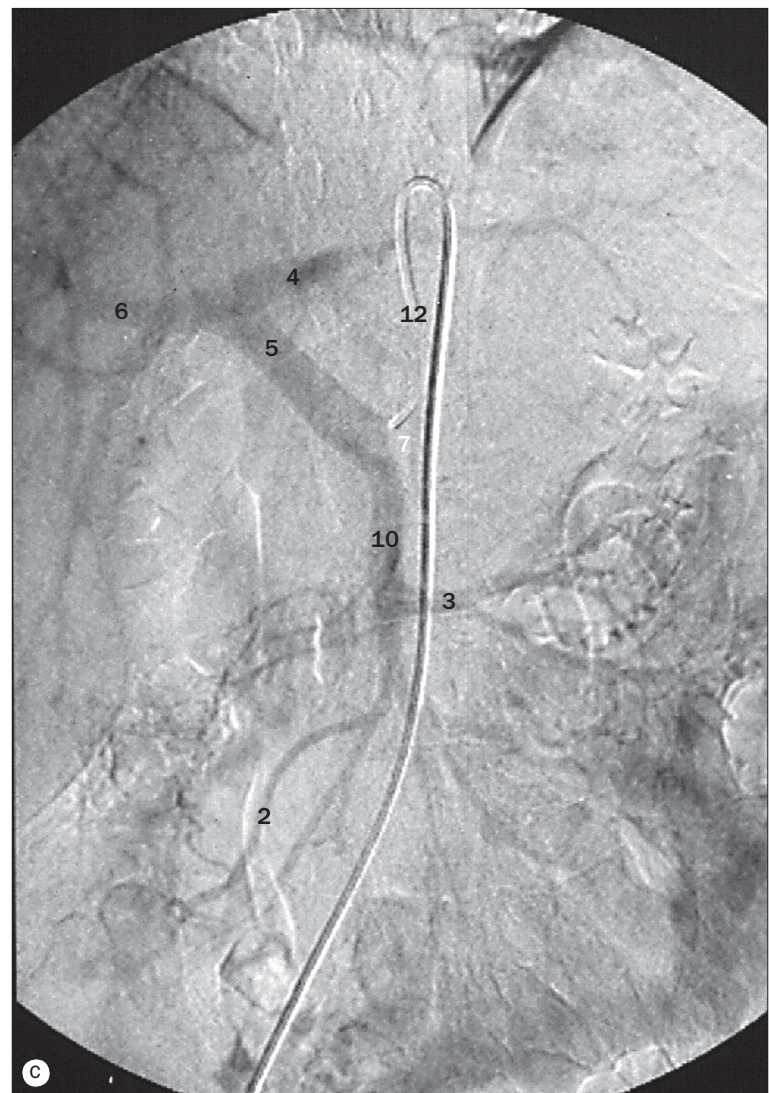
- 1 Veine lombale ascendante
- 2 Veine iliaque commune
- 3 Abouchement des veines hépatiques
- 4 Abouchement des veines rénales
- 5 Veine iliaque externe
- 6 Veine iliolombale
- 7 Veine cave inférieure
- 8 Veine iliaque interne

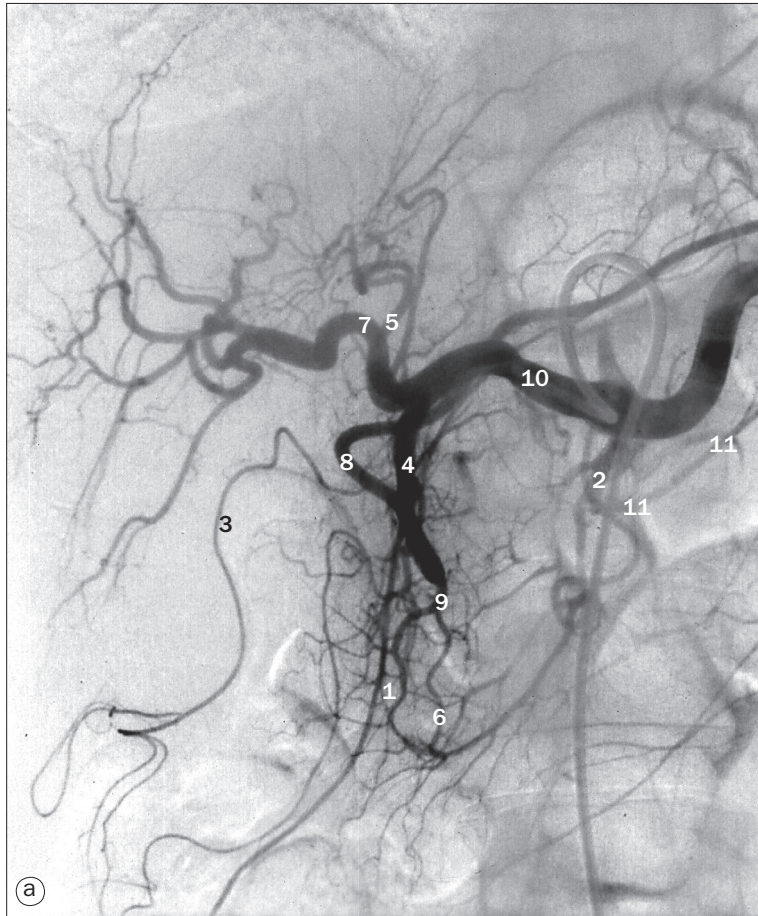


(a) Splénoportographie indirecte.

(b) et (c) Phase veineuse d'une artériographie de l'artère mésentérique supérieure.

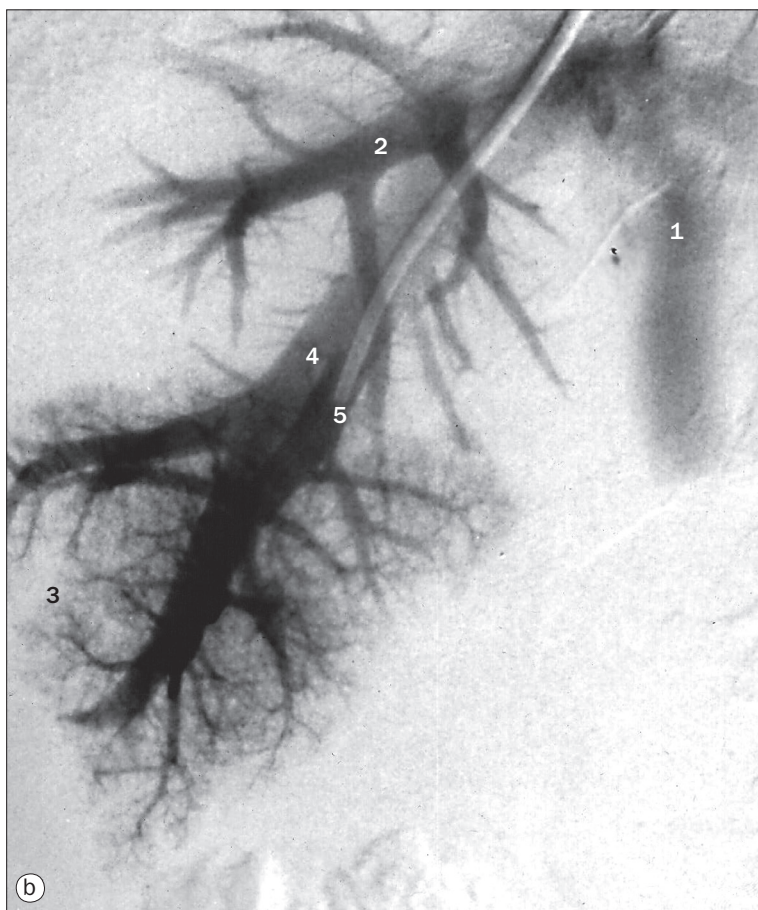
- 1 Abouchement de la veine mésentérique supérieure
- 2 Veine iléocolique
- 3 Veine jéjunale
- 4 Branche gauche de la veine porte
- 5 Veine porte
- 6 Branche droite de la veine porte
- 7 Site d'abouchement de la veine splénique
- 8 Rate
- 9 Veine splénique
- 10 Veine mésentérique supérieure
- 11 Extrémité du cathéter dans l'artère splénique
- 12 Extrémité du cathéter dans l'artère mésentérique supérieure





(a) Foie, artériographie par soustraction.

- 1 Branche antérieure de l'artère pancréaticoduodénale inférieure
- 2 Artère pancréatique dorsale
- 3 Artère épiploïque
- 4 Artère gastroduodénale
- 5 Branche gauche de l'artère hépatique
- 6 Branche postérieure de l'artère pancréaticoduodénale supérieure
- 7 Branche droite de l'artère hépatique
- 8 Artère gastroépiploïque droite
- 9 Artère pancréaticoduodénale supérieure
- 10 Extrémité du cathéter dans l'artère hépatique
- 11 Artère pancréatique inférieure



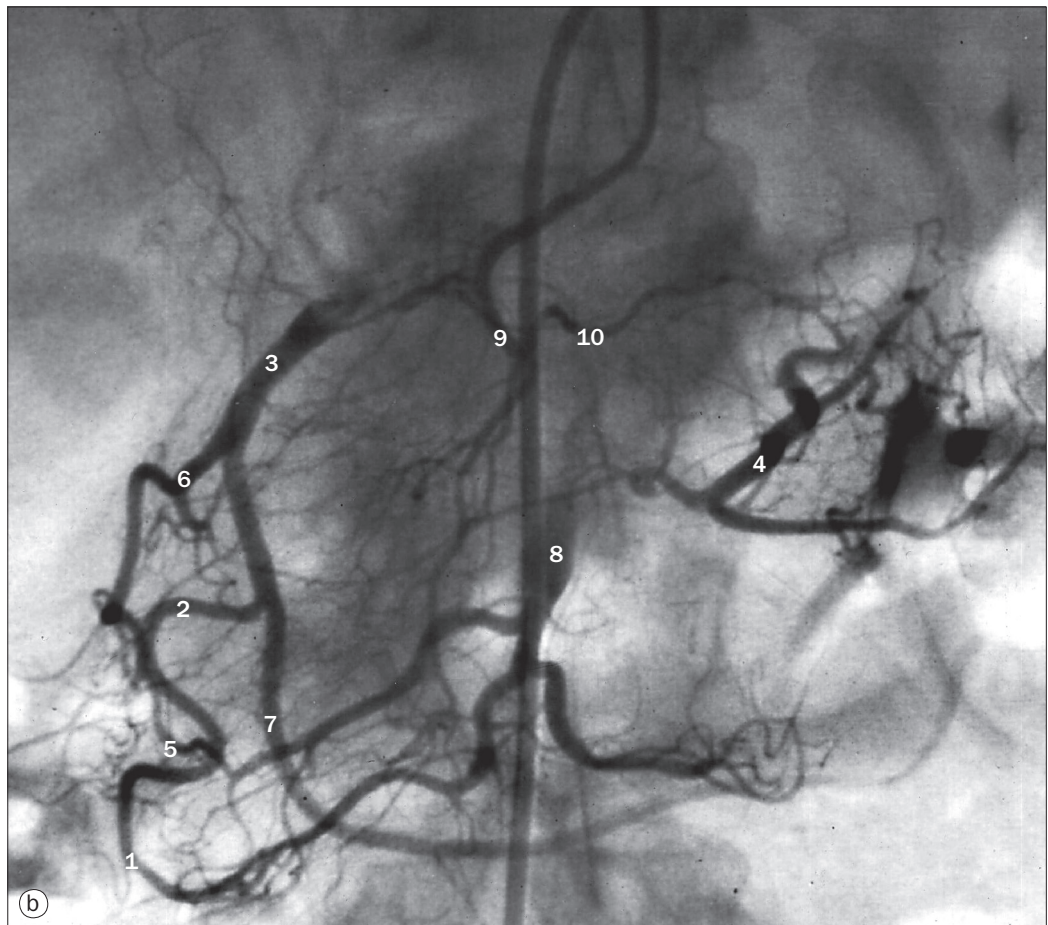
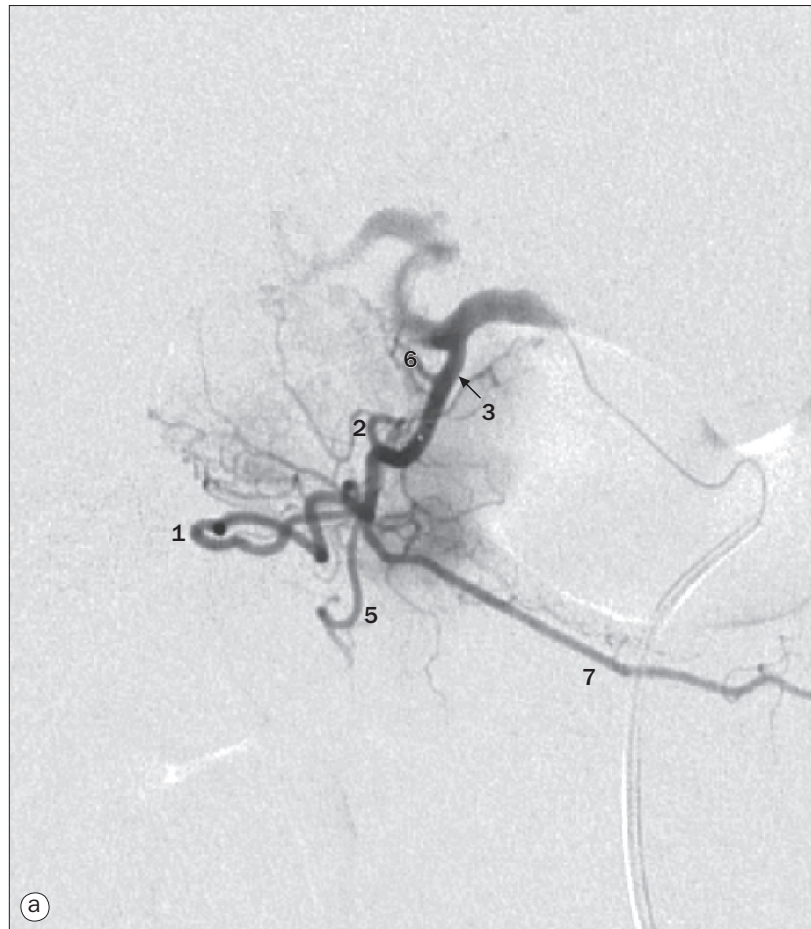
(b) Foie, phlébographie par soustraction.

- 1 Veine cave inférieure
- 2 Veine hépatique moyenne
- 3 Parenchyme hépatique
- 4 Veine hépatique droite
- 5 Extrémité du cathéter dans la veine hépatique

(a) Artère gastroduodénale, artériographie sélective.

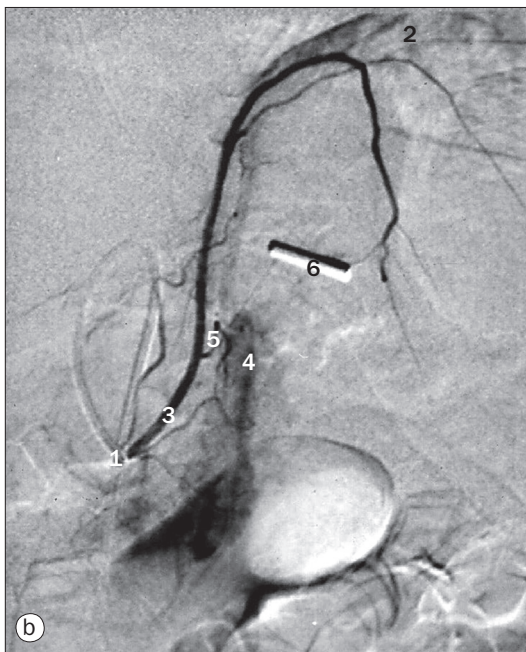
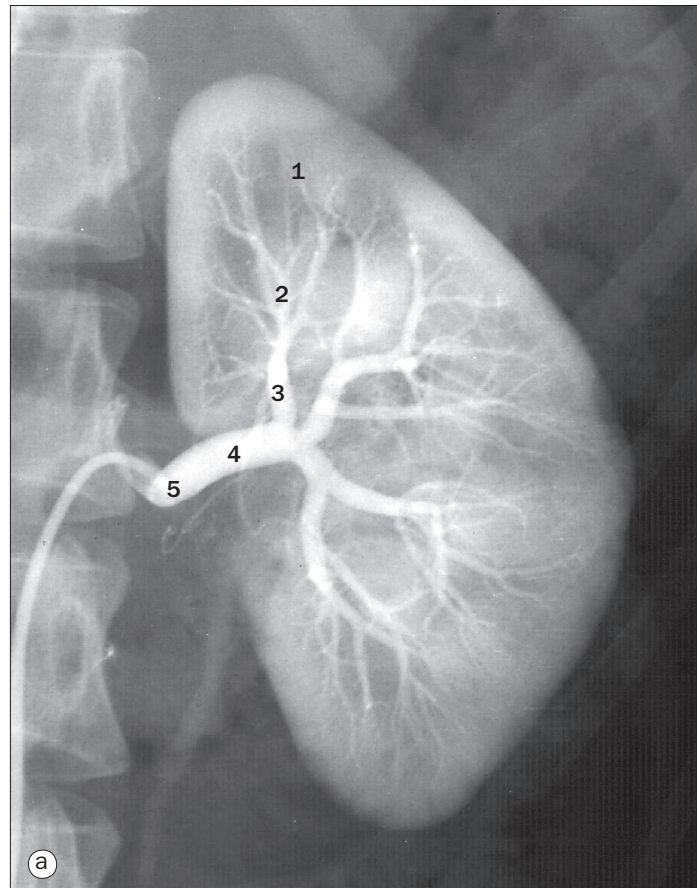
(b) Artère pancréatique, artériographie par soustraction.

- 1 Branche antérieure de l'artère pancréaticoduodénale inférieure
- 2 Branche antérieure de l'artère pancréaticoduodénale supérieure
- 3 Artère gastroduodénale
- 4 Artère gastroépiploïque gauche
- 5 Branche postérieure de l'artère pancréaticoduodénale inférieure
- 6 Branche postérieure de l'artère pancréaticoduodénale supérieure
- 7 Artère gastroépiploïque droite
- 8 Artère mésentérique supérieure
- 9 Extrémité du cathéter dans l'artère pancréatique dorsale
- 10 Artère pancréatique inférieure



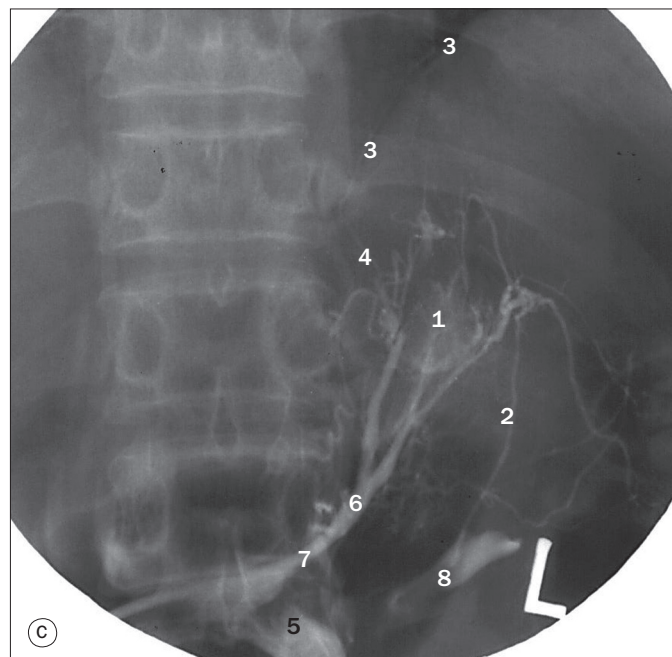
(a) Rein, artériographie.

- 1 Artères arquées du rein
- 2 Artères interlobaires
- 3 Artères lobaires
- 4 Artère rénale principale
- 5 Extrémité du cathéter dans l'artère rénale



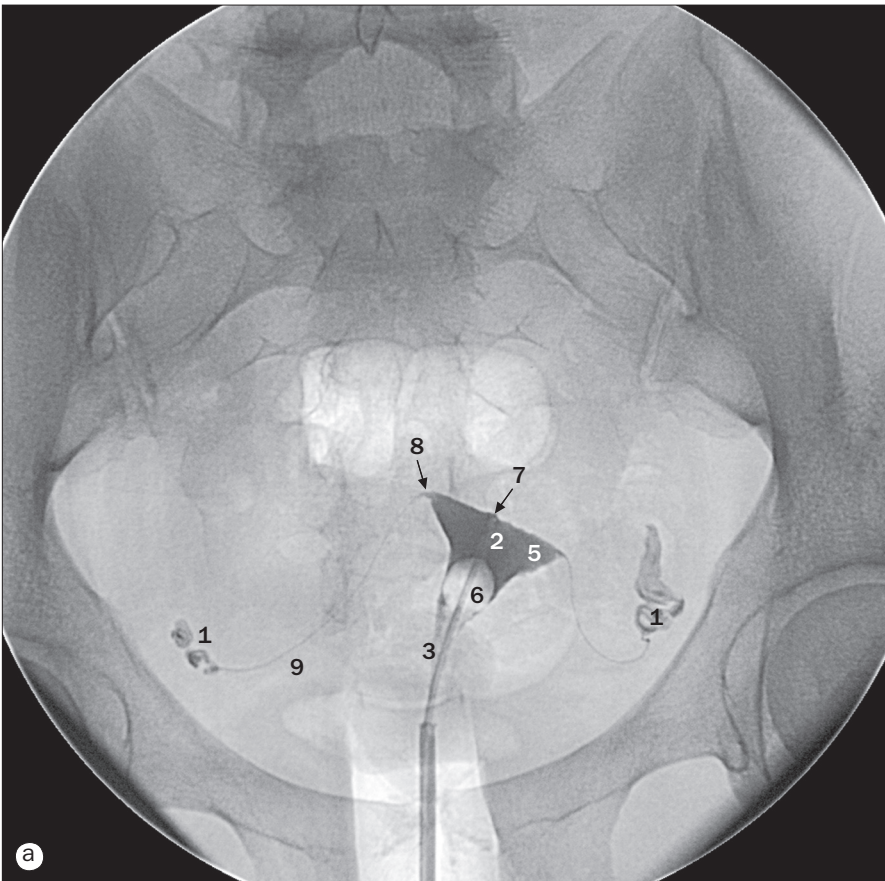
(b) Glande surrénale gauche, artériographie.

- 1 Cathéter dans l'origine de l'artère phrénique inférieure
- 2 Diaphragme
- 3 Artère phrénique inférieure
- 4 Glande surrénale gauche
- 5 Artères surrénales supérieures
- 6 Extrémité de la sonde nasogastrique

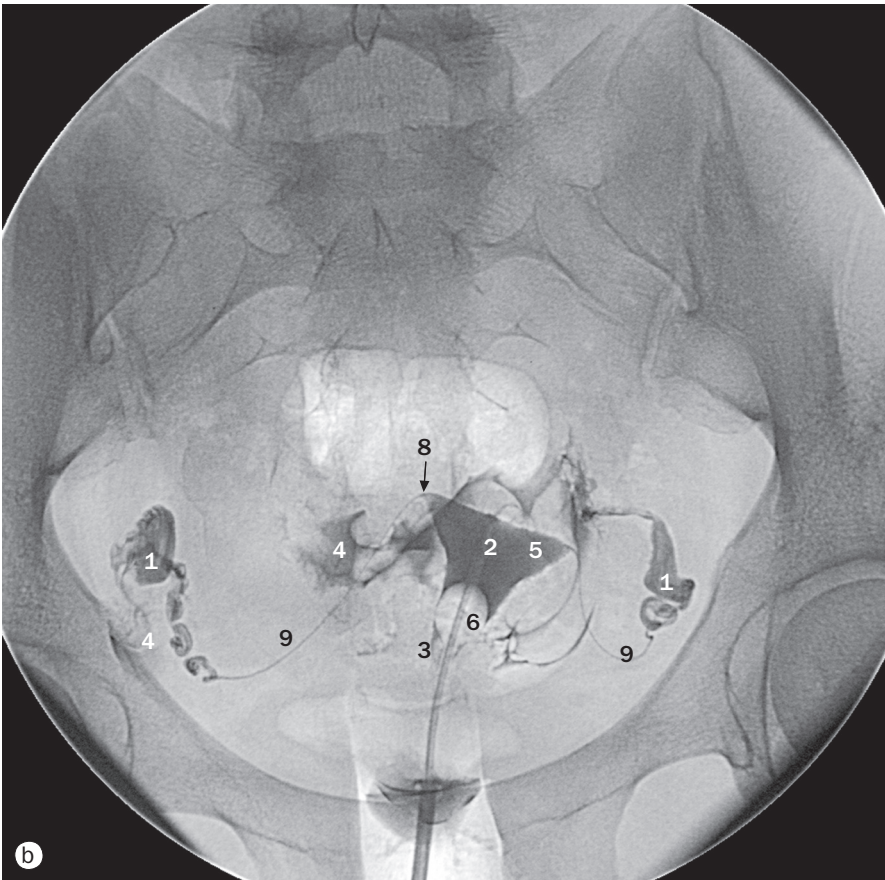


(c) Glande surrénale gauche, phlébographie.

- 1 Adénome dans la glande surrénale
- 2 Veines capsulaires
- 3 Diaphragme
- 4 Veine phrénique inférieure
- 5 Veine rénale gauche
- 6 Veine surrénale gauche
- 7 Extrémité du cathéter dans la veine surrénale gauche
- 8 Grand calice rénal (supérieur)

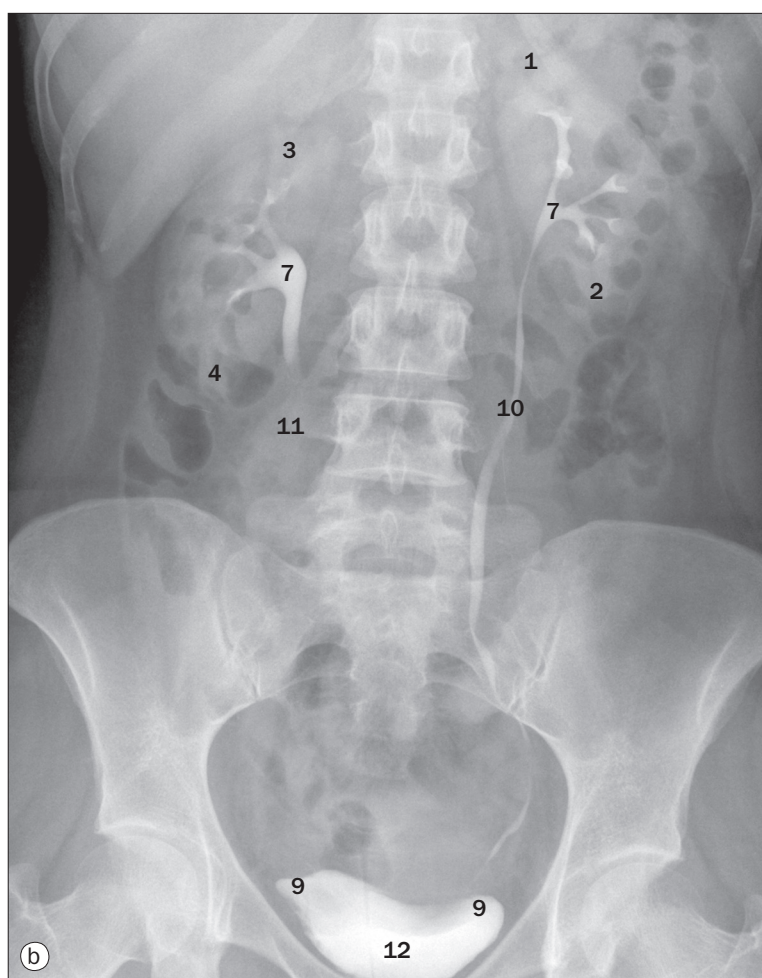
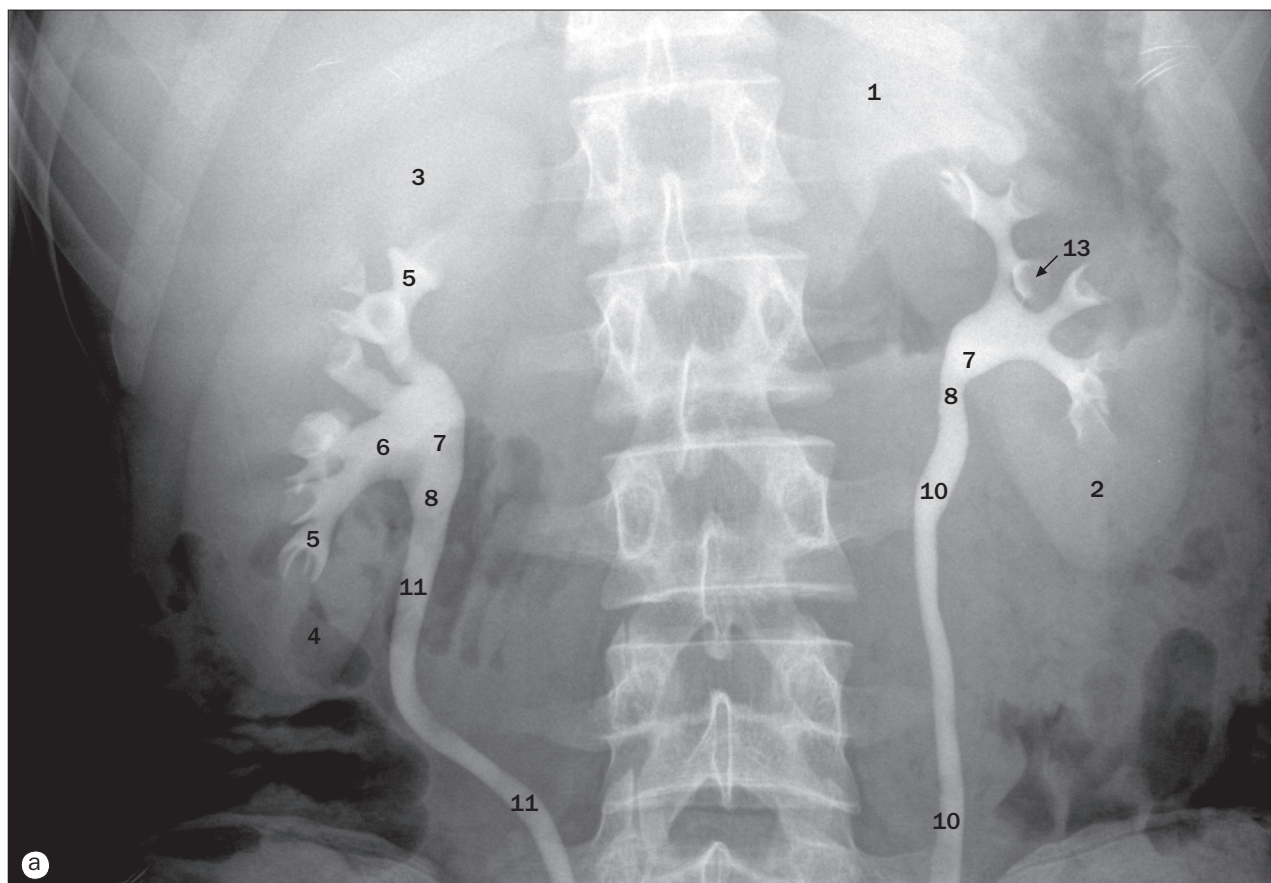


(a) Cliché précoce de remplissage utérin.



(b) Cliché tardif avec dispersion péritonéale.

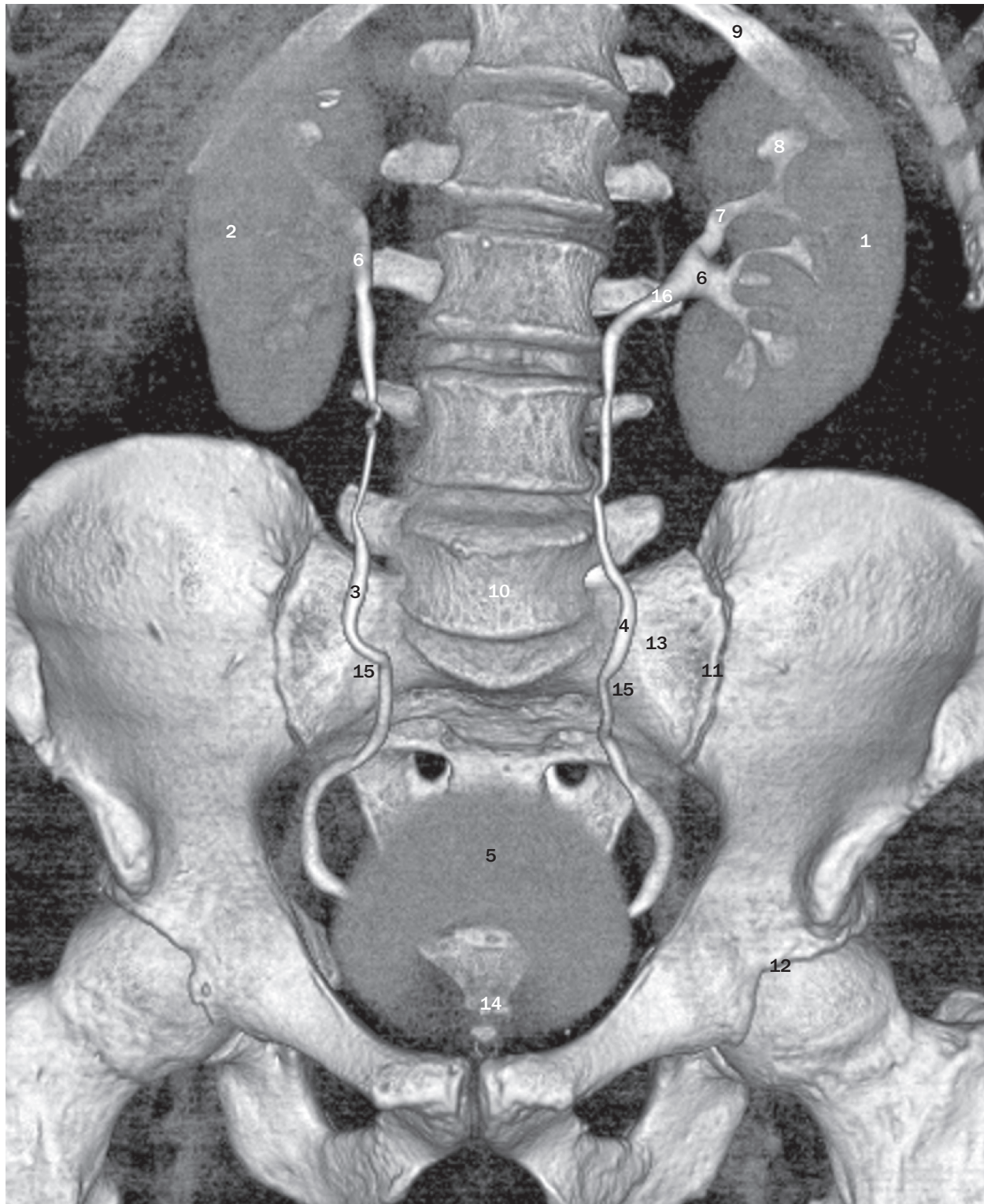
- 1 Ampoule de la trompe utérine
- 2 Corps de l'utérus
- 3 Col de l'utérus
- 4 Dispersion du produit de contraste dans la cavité péritonéale
- 5 Corne de l'utérus
- 6 Sonde de Foley dans l'utérus
- 7 Fond de l'utérus
- 8 Isthme de la trompe utérine
- 9 Trompe utérine



(a) Urographie intraveineuse à 10 minutes avec compression abdominale.

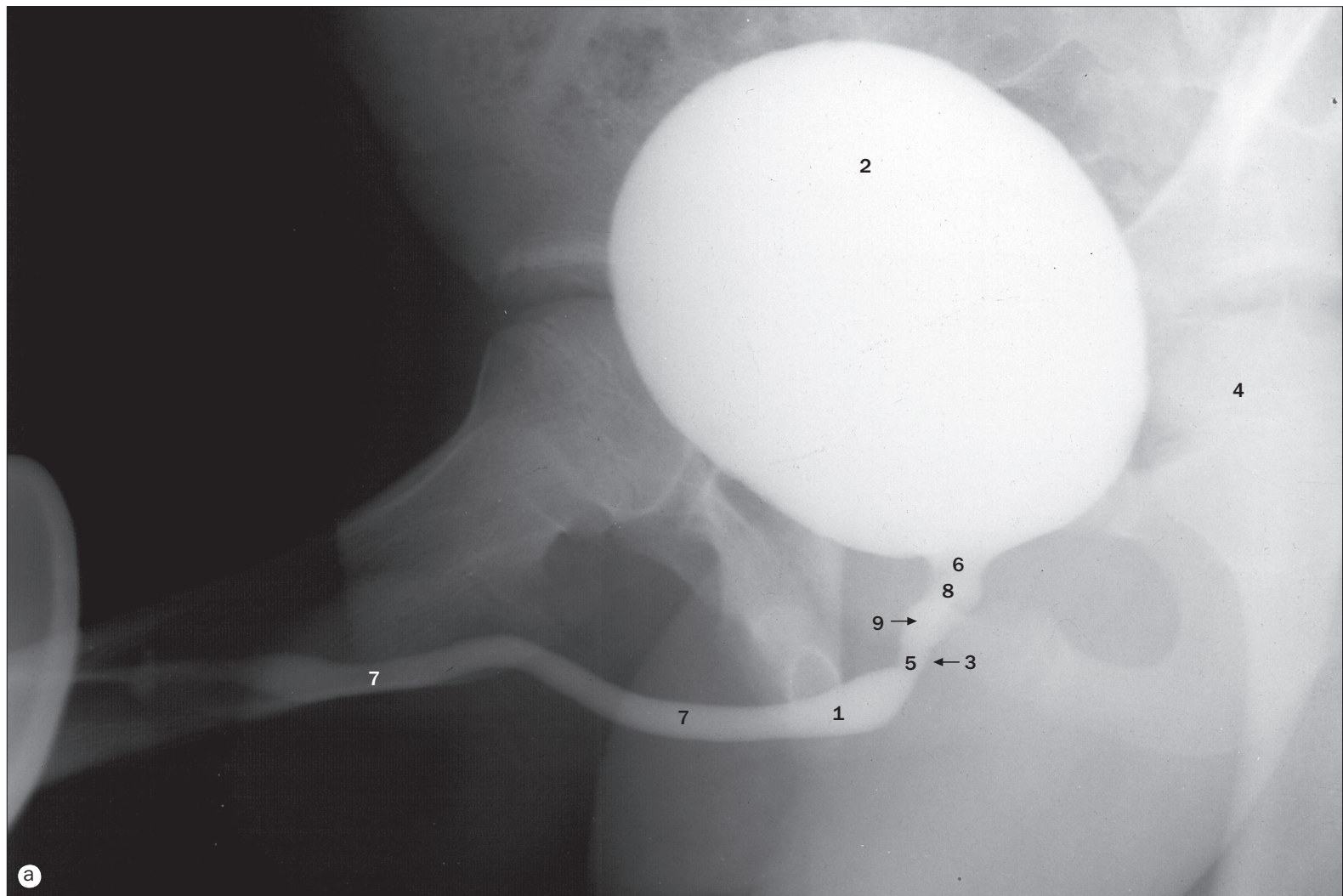
(b) Urographie intraveineuse à 15 minutes (complète) après relâchement de la compression.

- 1 Pôle supérieur du rein gauche
- 2 Pôle inférieur du rein gauche
- 3 Pôle supérieur du rein droit
- 4 Pôle inférieur du rein droit
- 5 Petit calice
- 6 Grand calice
- 7 Bassinet du rein (pyélon)
- 8 Jonction pyélo-urétérale
- 9 Jonction vésico-urétérale
- 10 Urètre gauche
- 11 Urètre droit
- 12 Vessie
- 13 Papilles rénales



Urographie par TDM 3D 10 minutes après l'injection intraveineuse de produit de contraste.

- | | |
|-----------------------------|---|
| 1 Rein gauche | 10 Corps de la vertèbre L5 |
| 2 Rein droit | 11 Articulation sacro-iliaque |
| 3 Urètre droit | 12 Articulation de la hanche |
| 4 Urètre gauche | 13 Aile du sacrum |
| 5 Vessie | 14 Coccyx |
| 6 Bassinet du rein (pyélon) | 15 Point de croisement entre l'urètre et les vaisseaux iliaques communs |
| 7 Grand calice | 16 Jonction pyélo-urétérale |
| 8 Petit calice | |
| 9 12 ^e côte | |

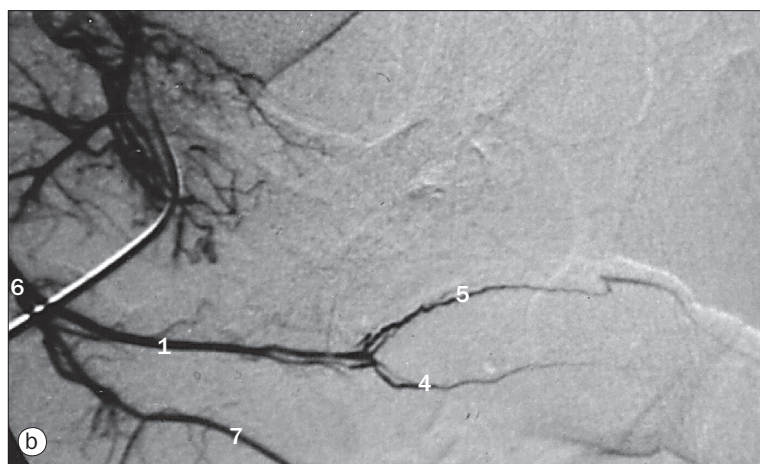


(a) Uréthrographie chez un homme, incidence oblique.

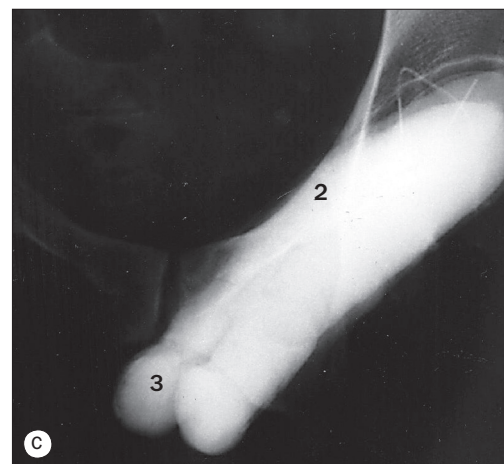
(b) Pénis, artériographie.

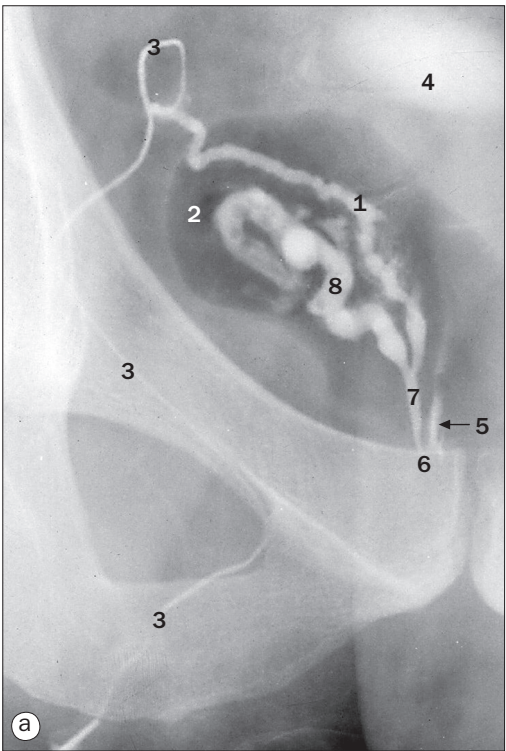
(c) Cavernosographie.

- | | |
|---|-------------------------------------|
| 1 Bulbe de l'urètre | 5 Partie membraneuse de l'urètre |
| 2 Produit de contraste dans la vessie | 6 Col de la vessie |
| 3 Sphincter externe (sphincter de l'urètre) | 7 Partie spongieuse de l'urètre |
| 4 Tête du fémur | 8 Partie prostatique de l'urètre |
| | 9 Colliculus séminal (verumontanum) |



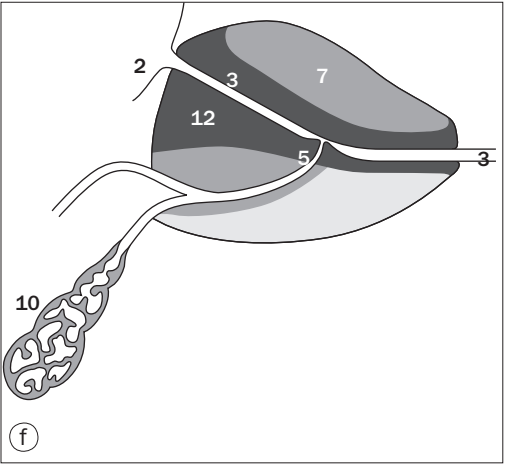
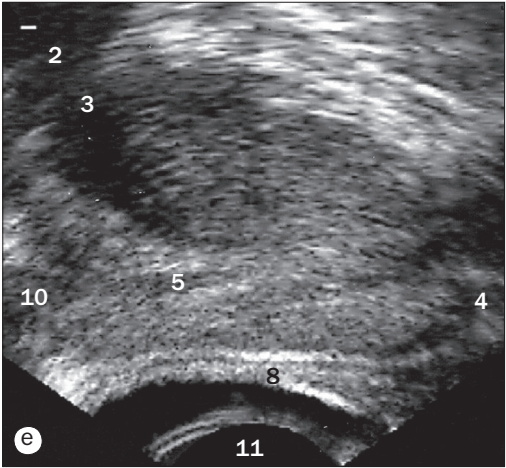
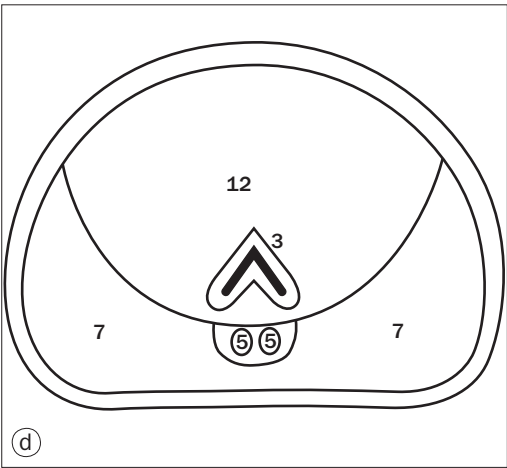
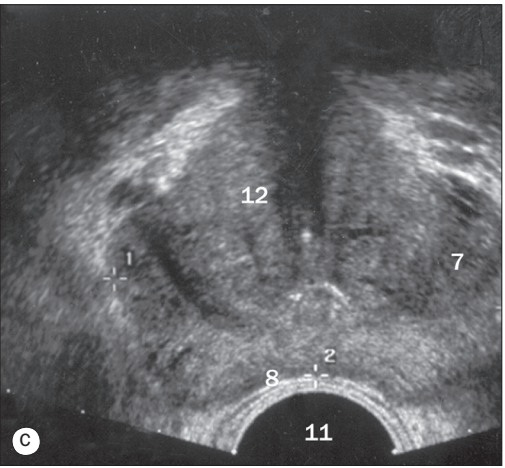
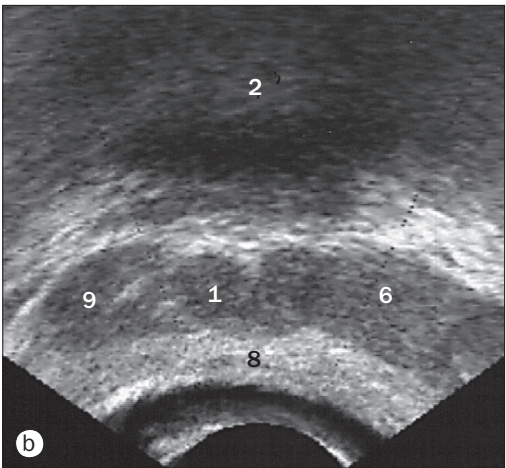
- | | |
|-----------------------------|---------------------------|
| 1 Artère du pénis | 5 Artère dorsale du pénis |
| 2 Corps caverneux | 6 Artère honteuse interne |
| 3 Pilier du corps caverneux | 7 Artère périnéale |
| 4 Artère profonde du pénis | |





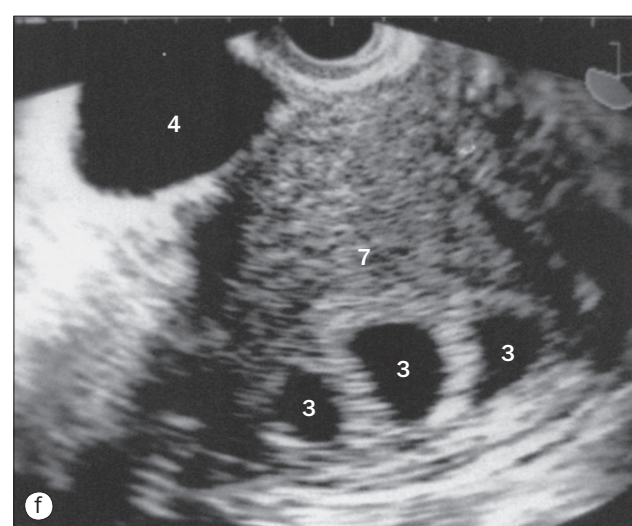
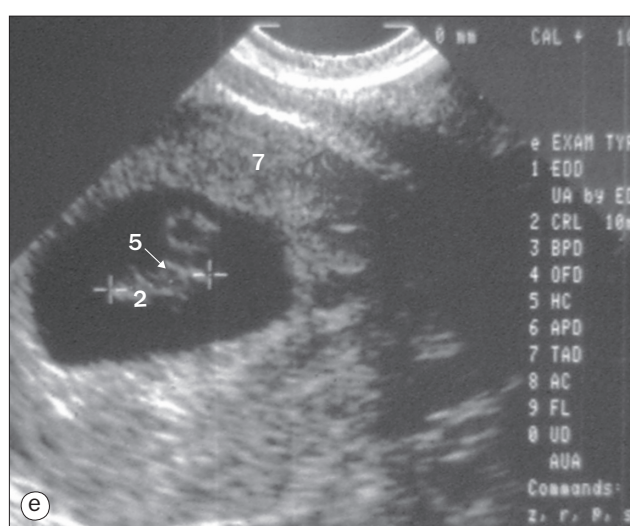
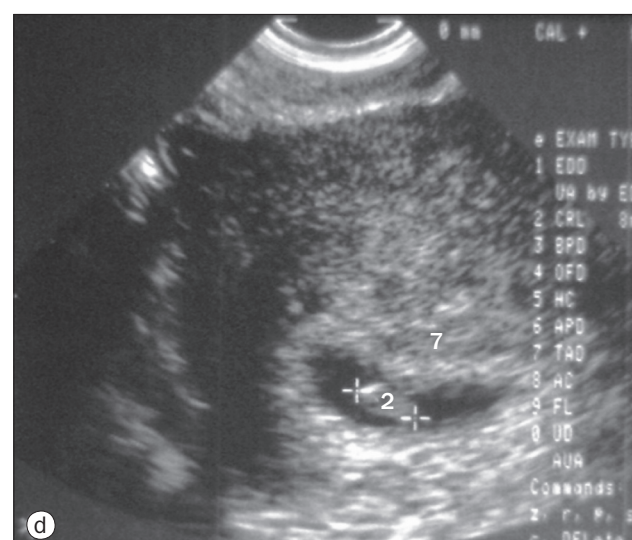
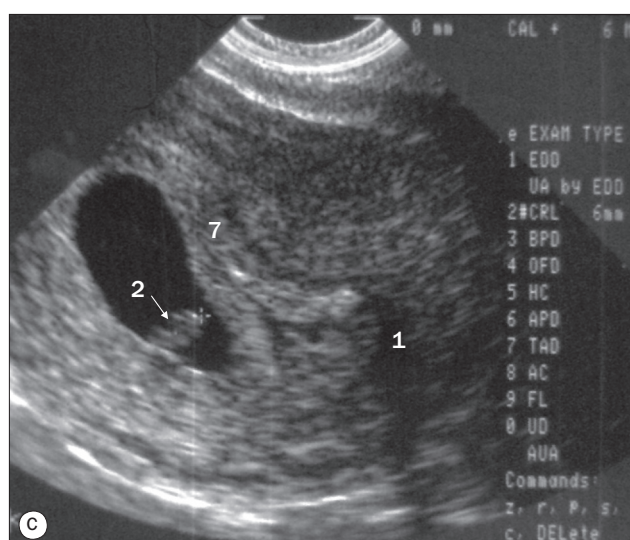
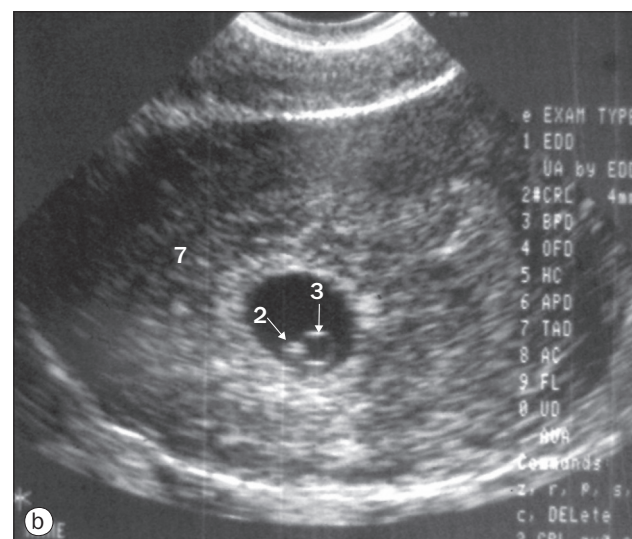
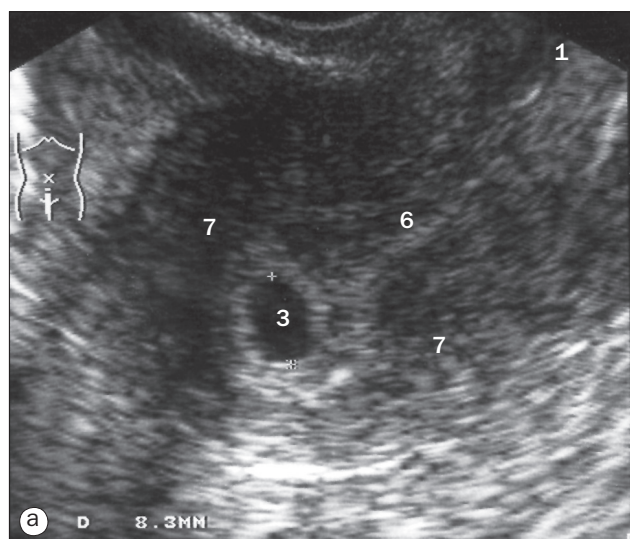
(a) Vésiculographie.

- 1 Ampoule du conduit déférent
- 2 Gaz dans le côlon
- 3 Conduit déférent
- 4 Vessie pleine
- 5 Conduit éjaculateur gauche
- 6 Emplacement du colliculus séminal
- 7 Conduit éjaculateur droit
- 8 Vésicule séminale



- 1 Ampoule du conduit déférent
- 2 Vessie
- 3 Trajet de l'urètre
- 4 Partie distale de l'urètre
- 5 Conduit éjaculateur
- 6 Vésicule séminale gauche
- 7 Zone périphérique de la prostate
- 8 Paroi rectale
- 9 Vésicule séminale droite
- 10 Vésicule séminale
- 11 Transducteur
- 12 Zone de transition de la prostate

Prostate, échographie rectale, (b) coupe axiale à travers la base de la vessie, (c) coupe axiale à travers la partie médiane de la prostate, (d) représentation schématique de la coupe axiale de la prostate, (e) coupe sagittale médiane, (f) représentation schématique de la coupe sagittale médiane.



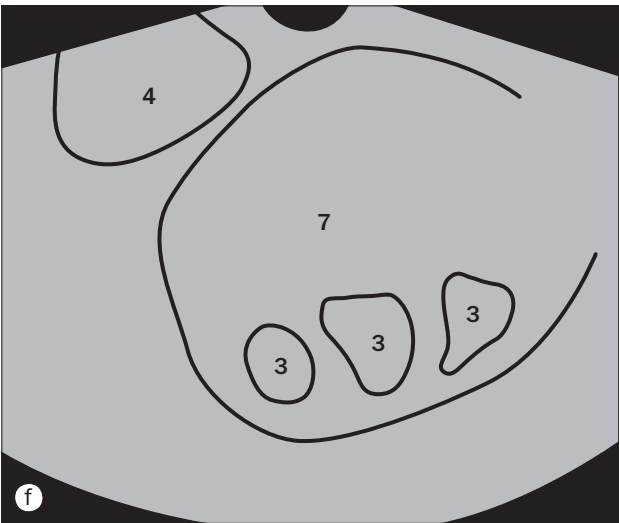
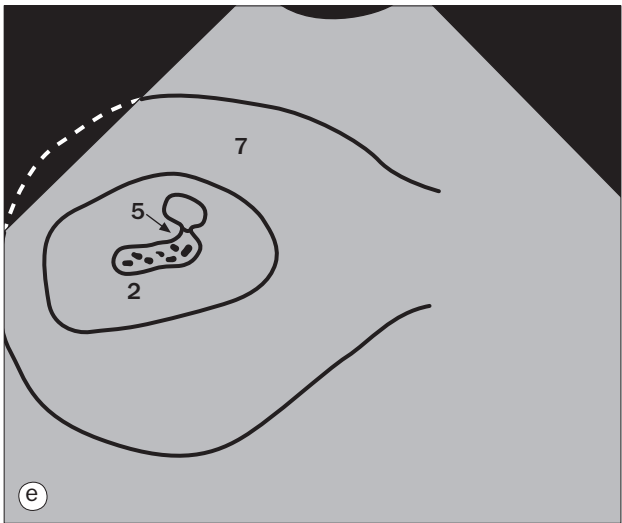
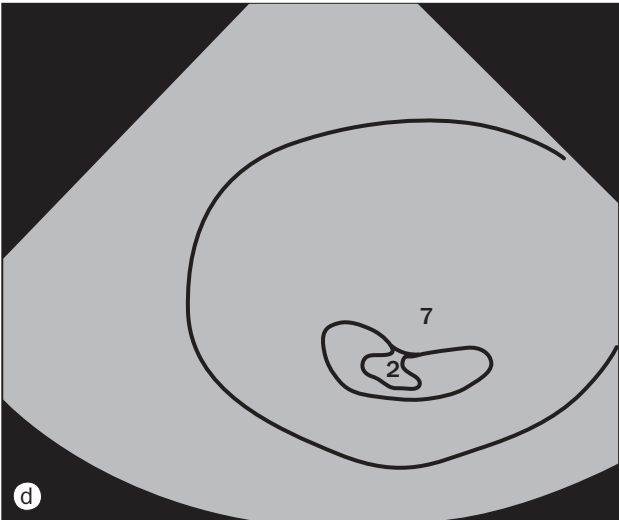
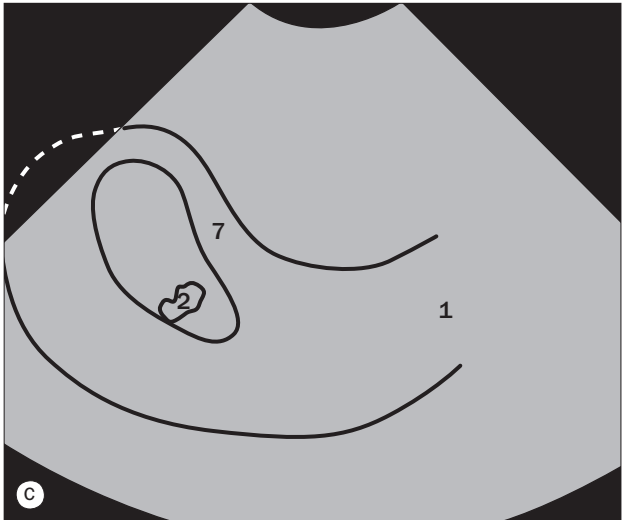
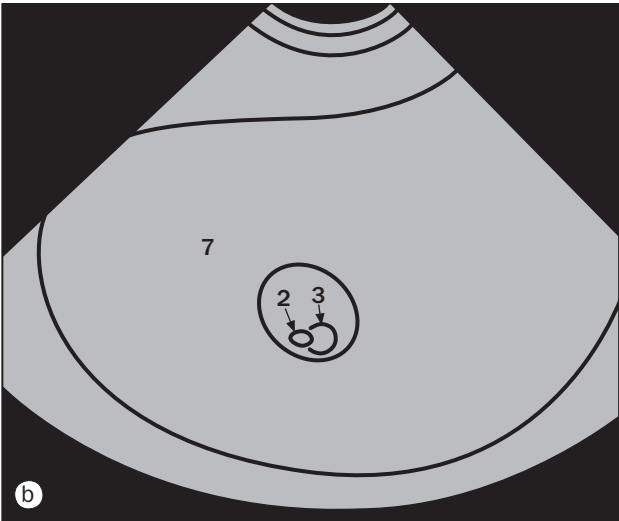
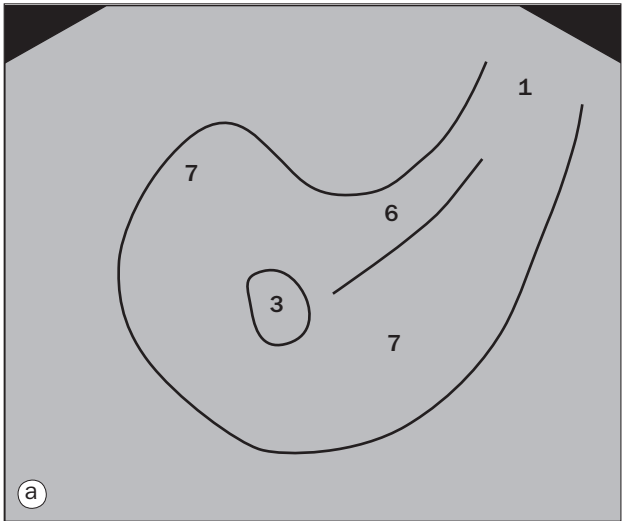
(a) Sac gestationnel de 8 mm = âge gestationnel de 5 semaines + 3 jours, (b) longueur craniocaudale (LCC) = 4 mm = âge gestationnel de 6 semaines, (c) LCC = 6 mm = âge gestationnel de 6 semaines + 3 jours, (d) LCC = 8 mm = âge gestationnel de 6 semaines + 5 jours, (e) LCC = 10 mm = âge gestationnel de 7 semaines + 2 jours, (f) triplés – trois sacs gestationnels différents.

1 Col de l'utérus
2 Fœtus

3 Sac gestationnel
4 Vessie de la mère

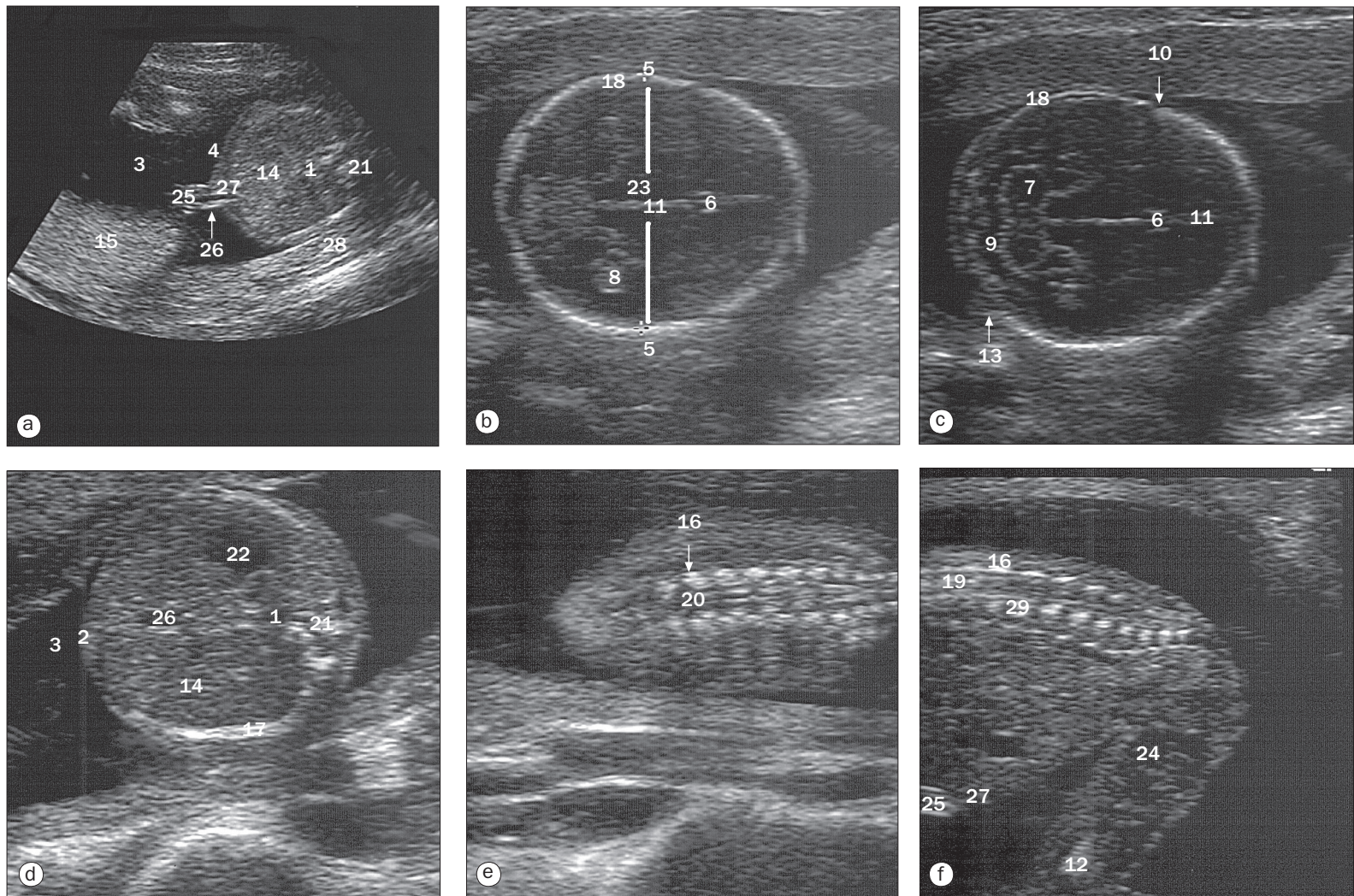
5 Emplacement du cœur du fœtus
6 Cavité utérine

7 Utérus



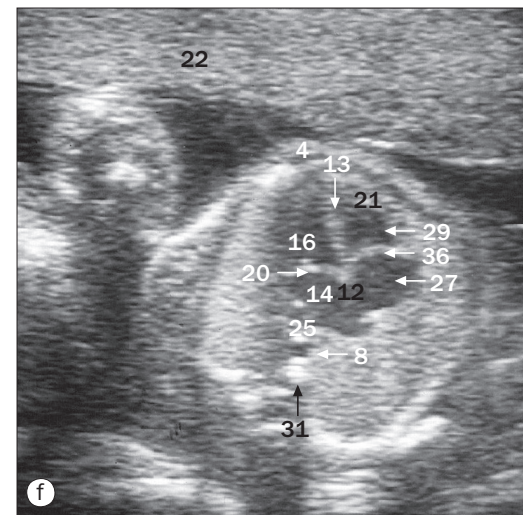
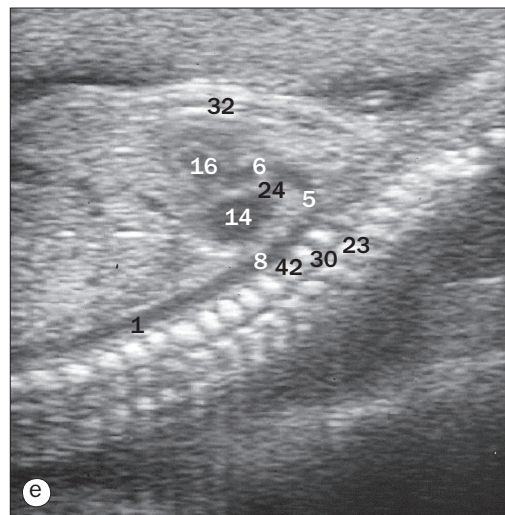
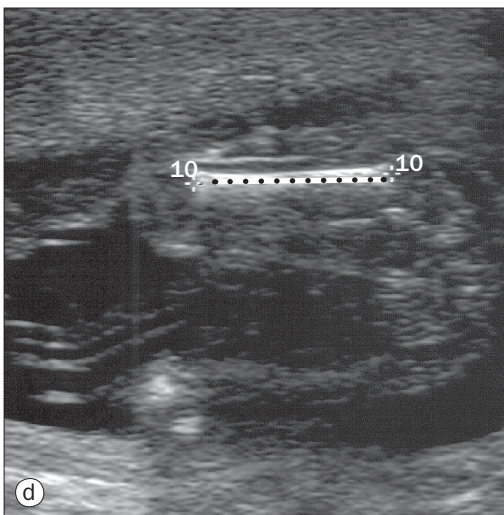
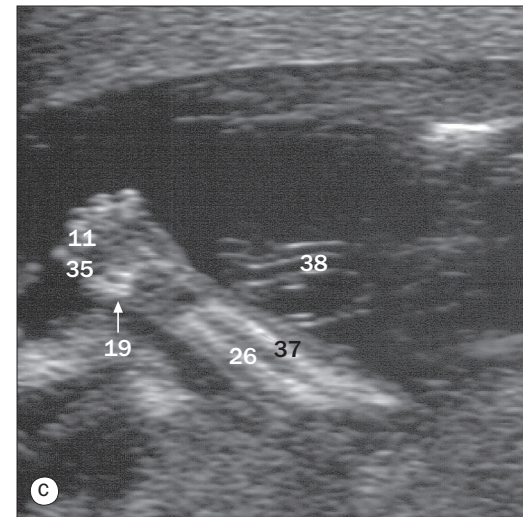
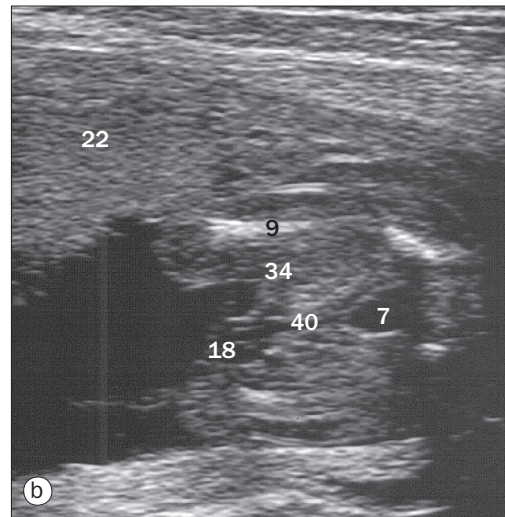
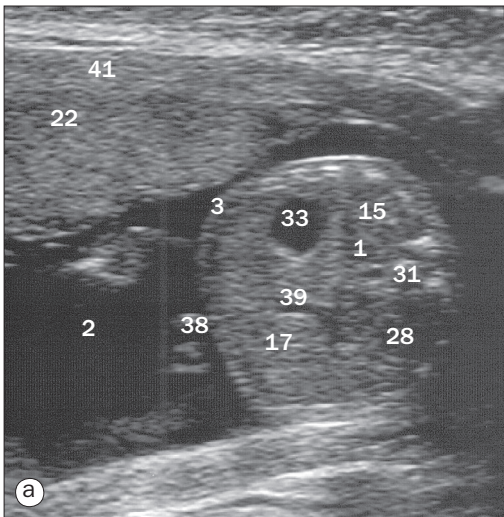
(a)–(f) Représentations schématiques des échographies ci-contre.

- | | | | |
|-------------------|---------------------|--------------------------------|----------|
| 1 Col de l'utérus | 3 Sac gestationnel | 5 Emplacement du cœur du fœtus | 7 Utérus |
| 2 Fœtus | 4 Vessie de la mère | 6 Cavité utérine | |



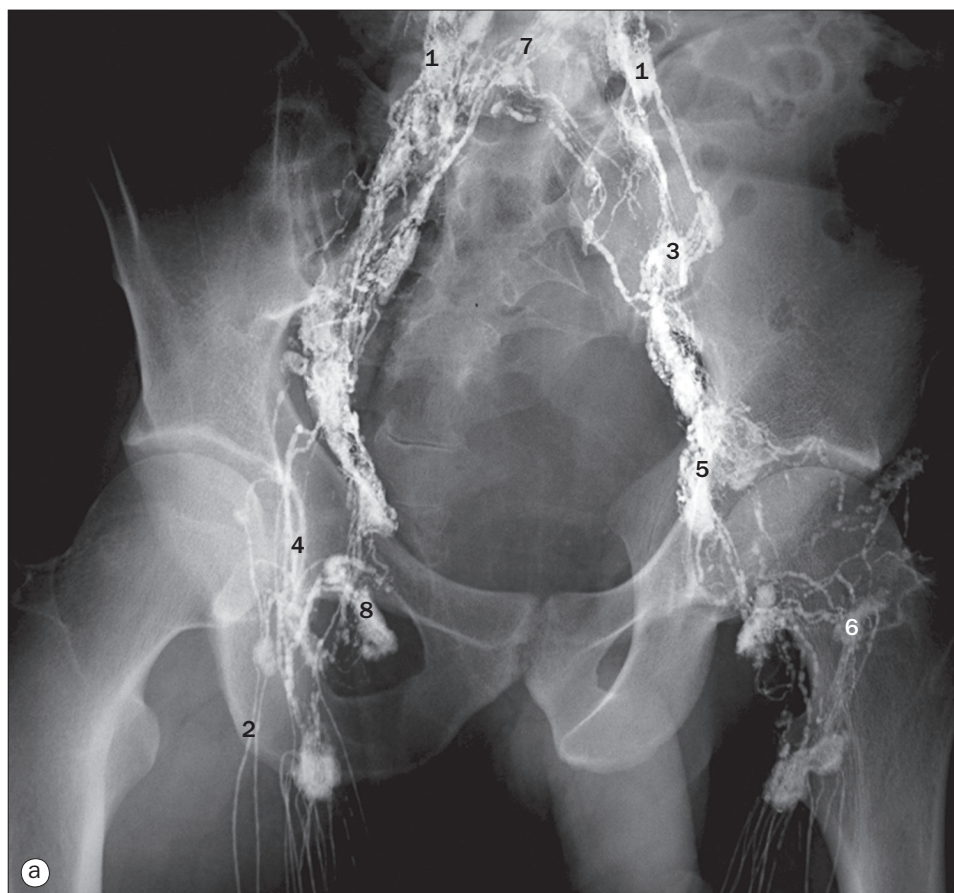
Échographie fœtale, 2^e trimestre,
(a) insertion du cordon, (b) et (c) crâne,
(d) abdomen, (e) et (f) rachis.

- | | |
|---|---------------------------------------|
| 1 Aorte abdominale | 16 Éléments postérieurs des vertèbres |
| 2 Mesure de la circonférence abdominale | 17 Côtes |
| 3 Liquide amniotique | 18 Crâne |
| 4 Paroi abdominale antérieure | 19 Canal vertébral |
| 5 Mesure du diamètre bipariétal | 20 Moelle spinale |
| 6 Cavité du septum pellucidum | 21 Colonne vertébrale |
| 7 Cervelet | 22 Estomac |
| 8 Plexus choroïde | 23 Thalamus |
| 9 Grande citerne | 24 Cuisse |
| 10 Suture coronale | 25 Cordon ombilical |
| 11 Faux du cerveau | 26 Veine ombilicale |
| 12 Fémur | 27 Ombrilic |
| 13 Suture lambdoïde | 28 Paroi utérine |
| 14 Foie | 29 Corps vertébral |
| 15 Placenta | |



Échographie fœtale, 2^e trimestre,
(a) abdomen, (b) pelvis, (c) avant-bras,
(d) fémur, (e) cœur et aorte, (f) vue des
quatre cavités du cœur.

- | | |
|---|---------------------------------------|
| 1 Aorte abdominale | 22 Placenta |
| 2 Liquide amniotique | 23 Éléments postérieurs des vertèbres |
| 3 Paroi abdominale antérieure | 24 Artère pulmonaire |
| 4 Paroi thoracique antérieure | 25 Veine pulmonaire |
| 5 Arc aortique | 26 Radius |
| 6 Aorte ascendante | 27 Atrium droit |
| 7 Vessie | 28 Rein droit |
| 8 Aorte descendante | 29 Ventricule droit |
| 9 Fémur | 30 Canal vertébral |
| 10 Fémur – pour la mesure de la longueur fémorale | 31 Colonne vertébrale |
| 11 Doigt | 32 Sternum |
| 12 Septum interatrial | 33 Estomac |
| 13 Septum interventriculaire | 34 Cuisse |
| 14 Atrium gauche | 35 Pouce |
| 15 Rein gauche | 36 Valve tricuspide |
| 16 Ventricule gauche | 37 Ulna |
| 17 Foie | 38 Cordon ombilical |
| 18 Organes génitaux externes masculins | 39 Veine ombilicale |
| 19 Corps d'un métacarpien | 40 Urètre |
| 20 Valve mitrale | 41 Paroi utérine |
| 21 Bandelette ansiforme | 42 Corps vertébral |



(a) Phase de remplissage précoce, pelvis.

(b) Phase de remplissage tardif, pelvis.

- 1 Chaînes lombales ascendantes
- 2 Lymphatiques afférents inguinaux
- 3 Nœuds lymphatiques iliaques communs
- 4 Lymphatiques efférents inguinaux
- 5 Nœuds lymphatiques iliaques externes
- 6 Nœuds lymphatiques inguinaux superficiels
- 7 Croisement lombal
- 8 Nœuds lymphatiques inguinaux profonds



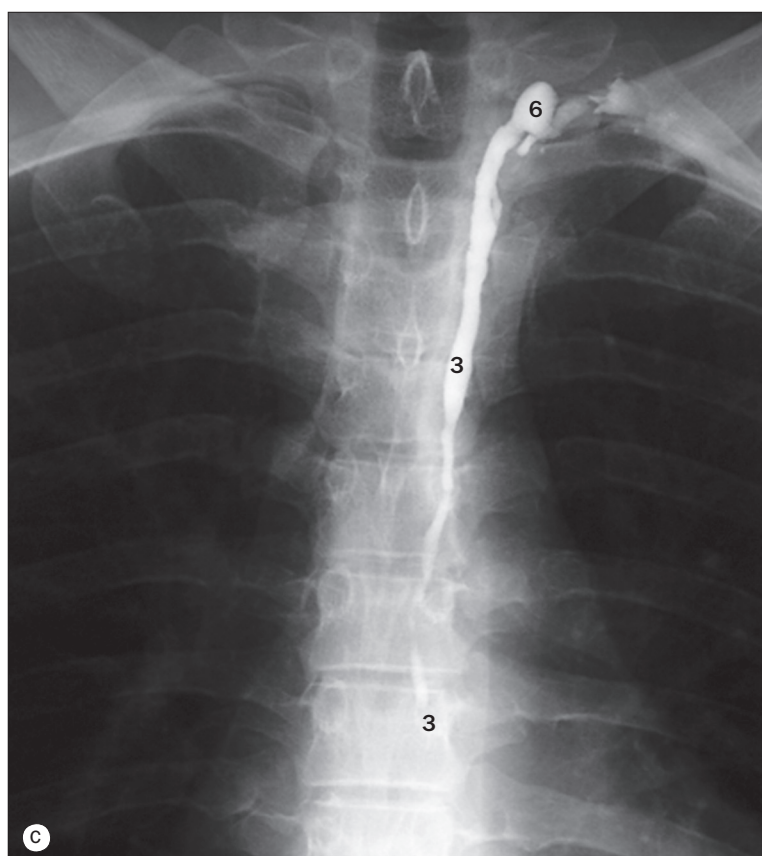
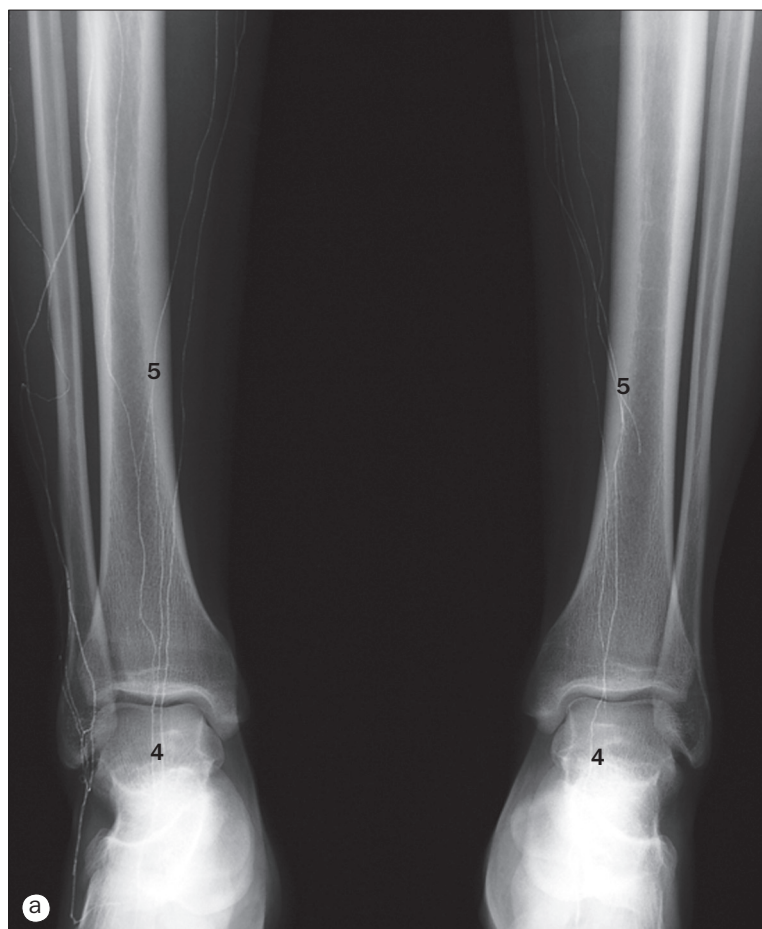


(a) Phase de remplissage précoce, abdomen.



(b) Phase de remplissage tardif, abdomen.

- | | |
|--|--|
| 1 Chaînes lombales ascendantes | 6 Nœuds lymphatiques inguinaux (remplissage précoce) |
| 2 Citerne du chyle | 7 Croisement lombal |
| 3 Nœuds lymphatiques iliaques communs | 8 Nœuds lymphatiques inguinaux profonds |
| 4 Lymphatiques efférents inguinaux | 9 Conduit thoracique |
| 5 Nœuds lymphatiques iliaques externes (remplissage précoce) | |



(a) Lymphatiques de la jambe, après canulation des vaisseaux lymphatiques des pieds.

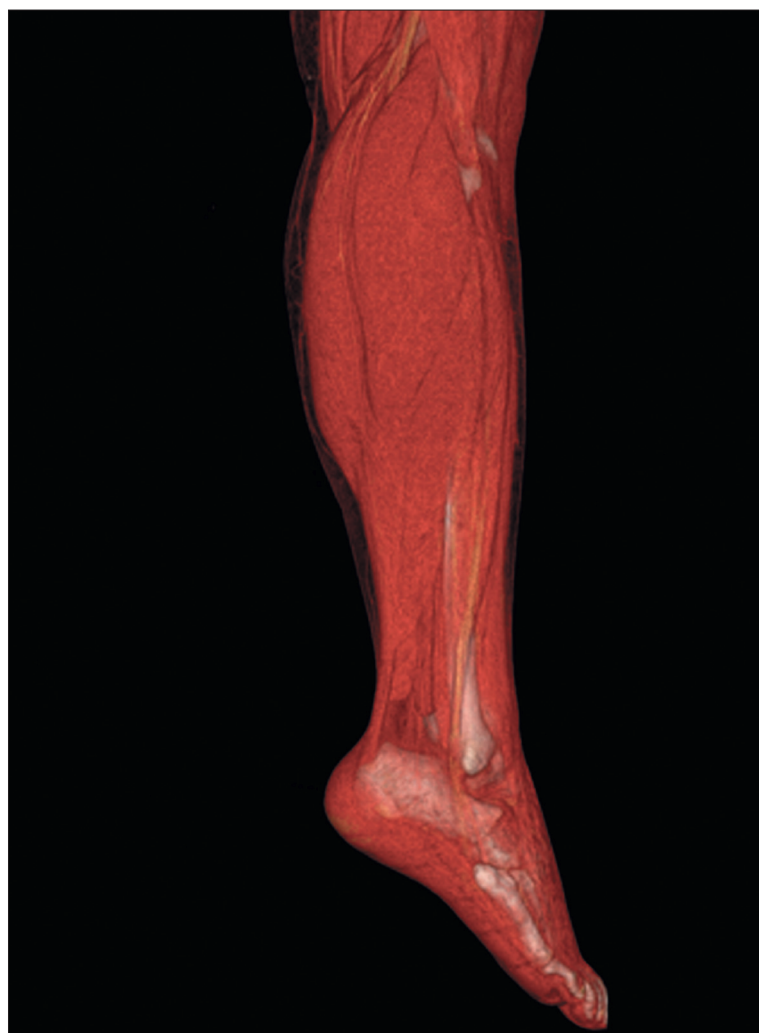
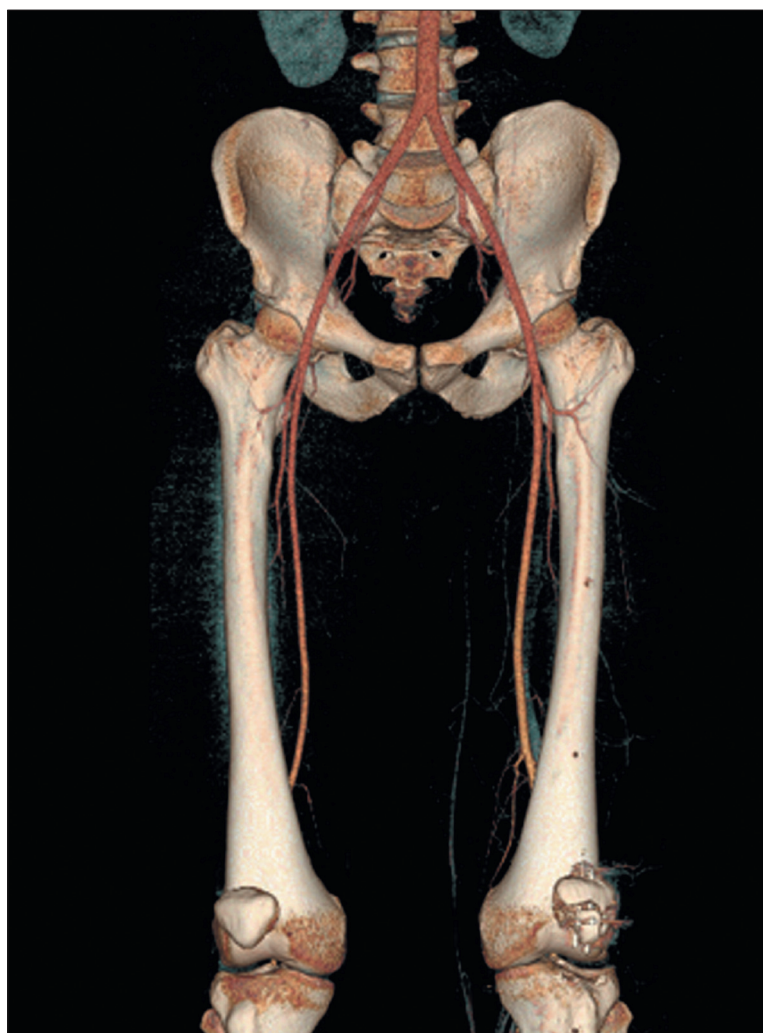
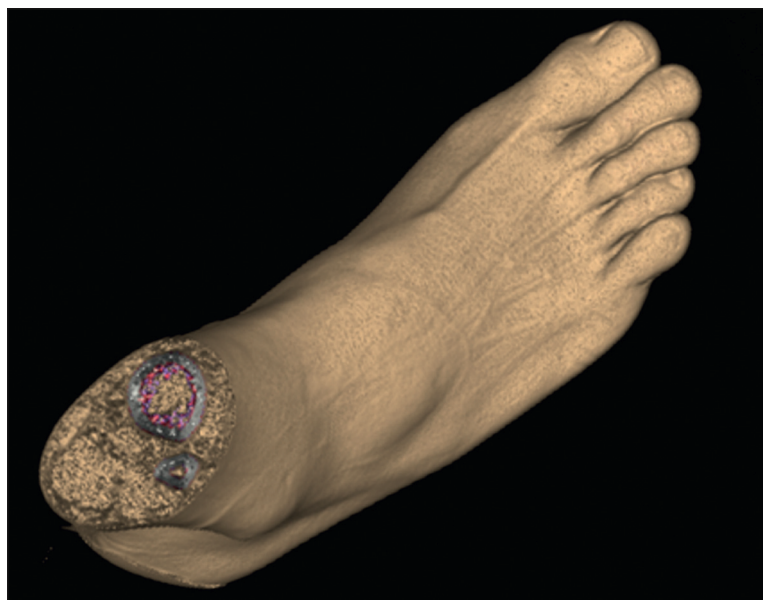
(b) Phase de remplissage précoce de l'abdomen, incidence de profil.

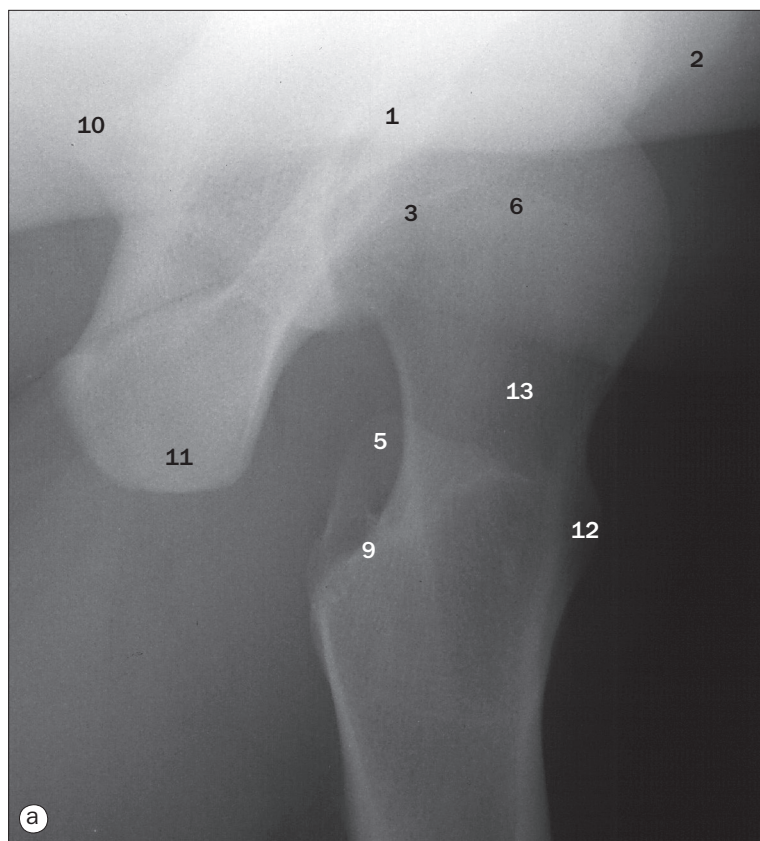
(c) Conduit thoracique.

- 1 Chaînes lombales ascendantes des nœuds lymphatiques
- 2 Citerne du chyle
- 3 Conduit thoracique
- 4 Chaînes lymphatiques périphériques du pied
- 5 Chaînes lymphatiques périphériques de la partie inférieure de la jambe
- 6 Ampoule terminale

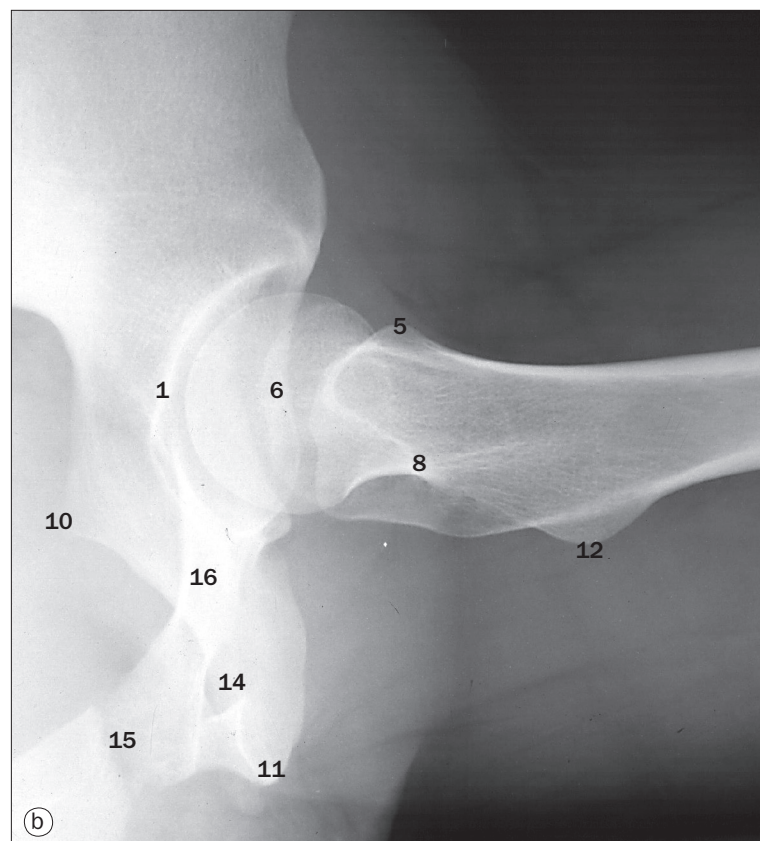
7

Membre inférieur

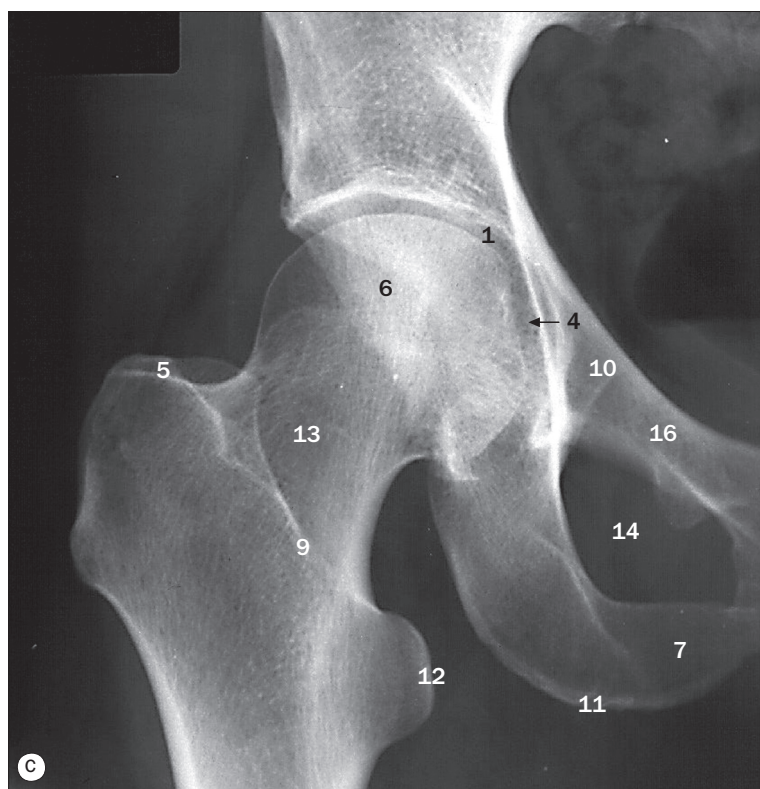




(a) Hanche (pour le col du fémur), incidence de profil.

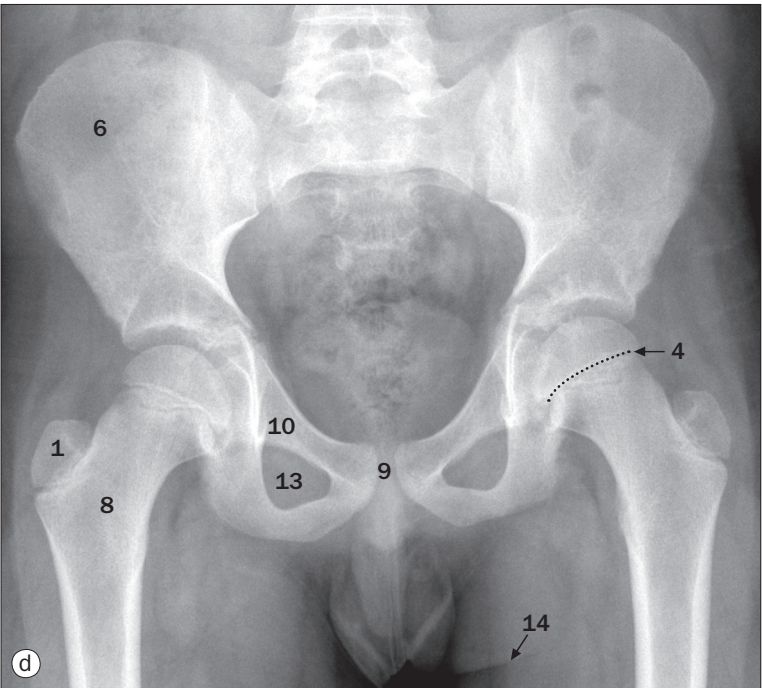
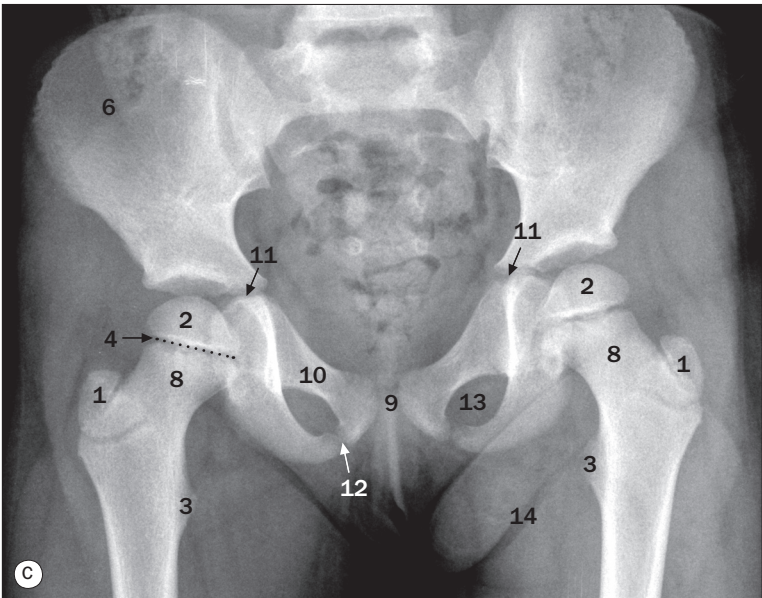
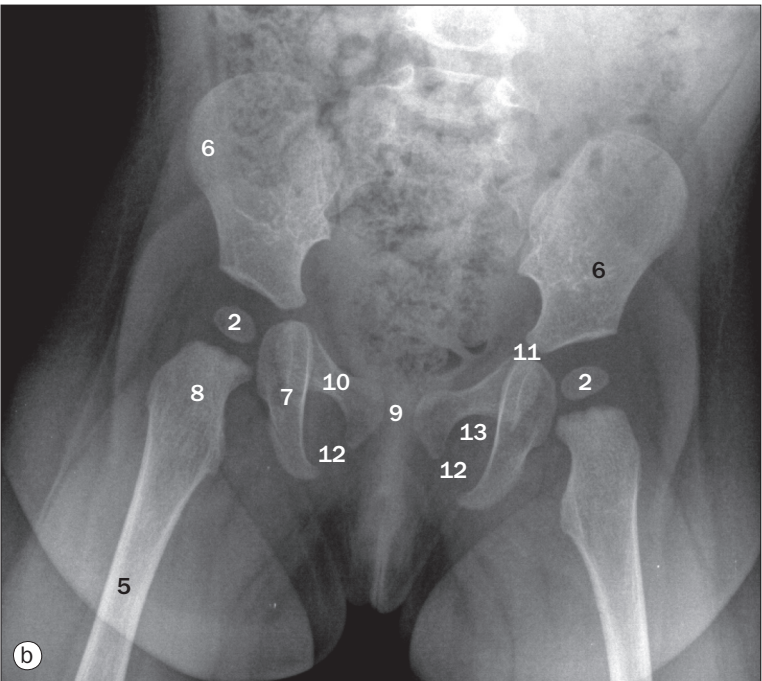
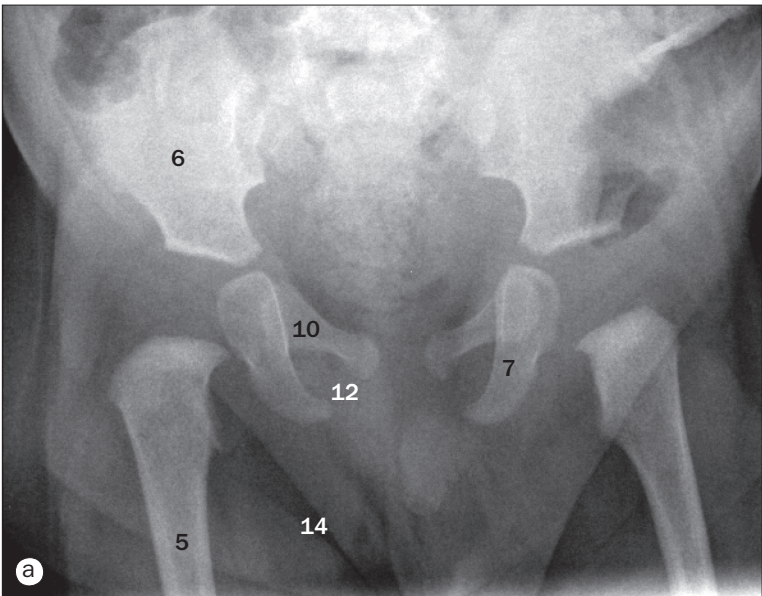


(b) Hanche, incidence de profil.



(c) Hanche, incidence de face.

- 1 Acétabulum
- 2 Épine iliaque antéro-inférieure
- 3 Ligne épiphysaire
- 4 Fovea de la tête fémorale
- 5 Grand trochanter du fémur
- 6 Tête du fémur
- 7 Branche inférieure du pubis
- 8 Crête intertrochantérique du fémur
- 9 Ligne intertrochantérique
- 10 Épine ischiatique
- 11 Tubérosité ischiatique
- 12 Petit trochanter du fémur
- 13 Col du fémur
- 14 Foramen obturé
- 15 Symphyse pubienne
- 16 Branche supérieure du pubis



Pelvis, (a) d'une fille de 4 mois, (b) d'une fille de 9 mois, (c) d'une fille de 6 ans, (d) d'une fille de 11 ans.

- 1 Noyau d'ossification du grand trochanter

2 Noyau d'ossification de la tête du fémur (épiphyse)

3 Noyau d'ossification du petit trochanter

4 Ligne épiphysaire

5 Fémur

6 Ilium

7 Ischium

8 Col du fémur

9 Symphyse pubienne

10 Pubis

11 Cartilage triradié

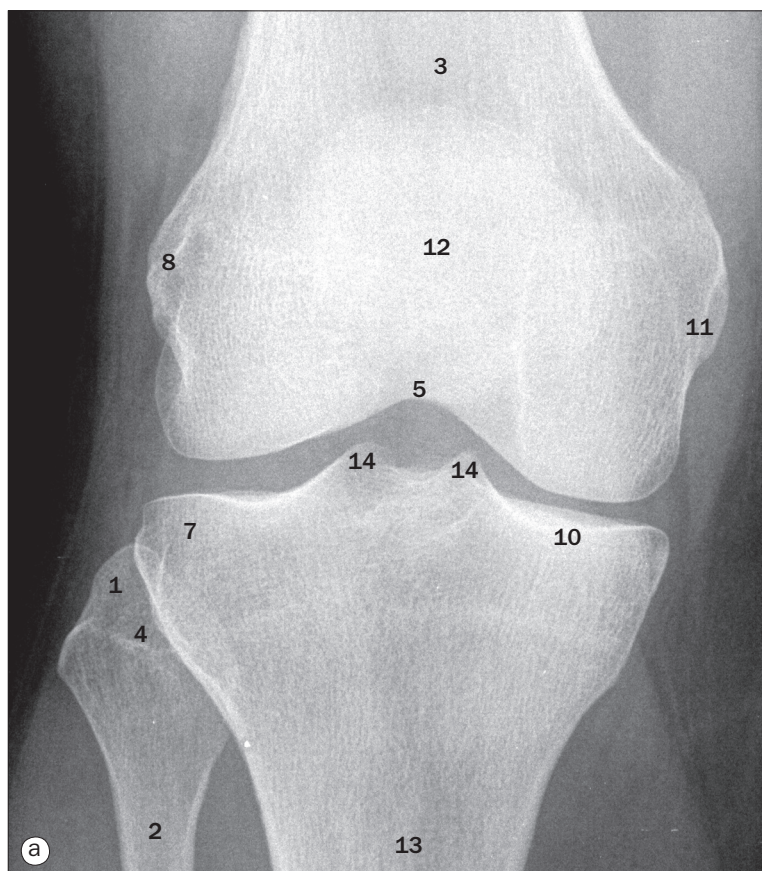
12 Jonction non ossifiée entre l'ischium et le pubis

13 Foramen obturé

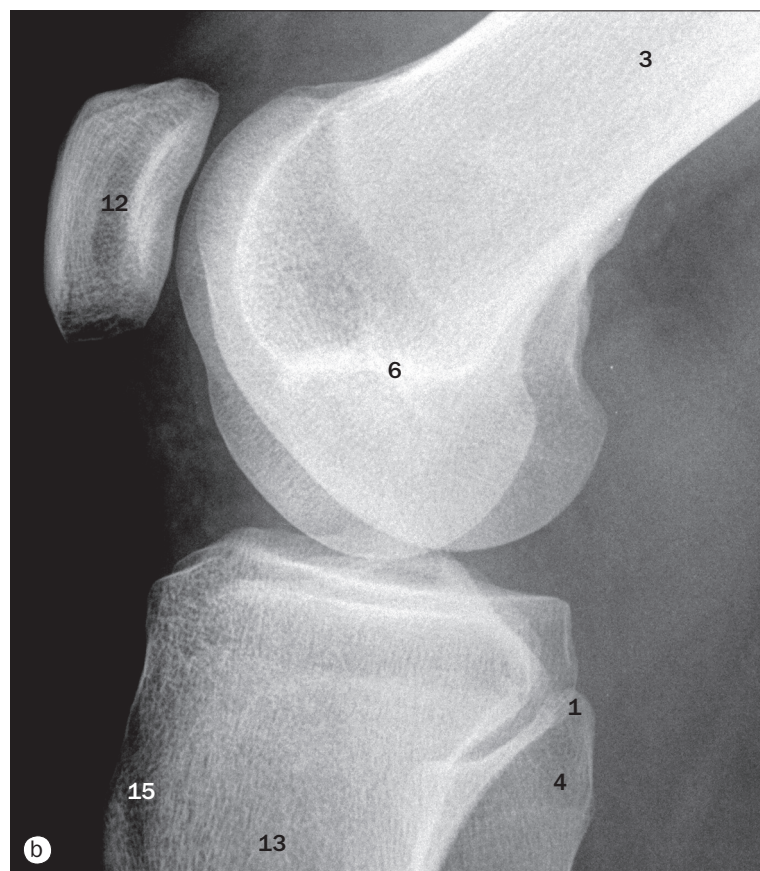
14 Plis adipeux

OS COXAL (HANCHE)	Apparition	Fusion
Ilium	2-3 miu	7-9 ans
Ischium	4 miu	7-9 ans
Pubis	4 miu	7-9 ans
Acétabulum	11-14 ans	15-25 ans
Épine iliaque antérosupérieure	Puberté	15-25 ans
Crête iliaque/épinés supérieures	Puberté	15-25 ans
Tubérosité ischiatique	> Puberté	15-25 ans

FÉMUR (c)	Apparition	Fusion
Diaphyse	7 siu	14-18 ans
Tête	4-6 mois	14-18 ans
Grand trochanter	10-12 ans	14-18 ans
Petit trochanter	10-12 ans	14-18 ans
Extrémité distale	9 miu	17-19 ans

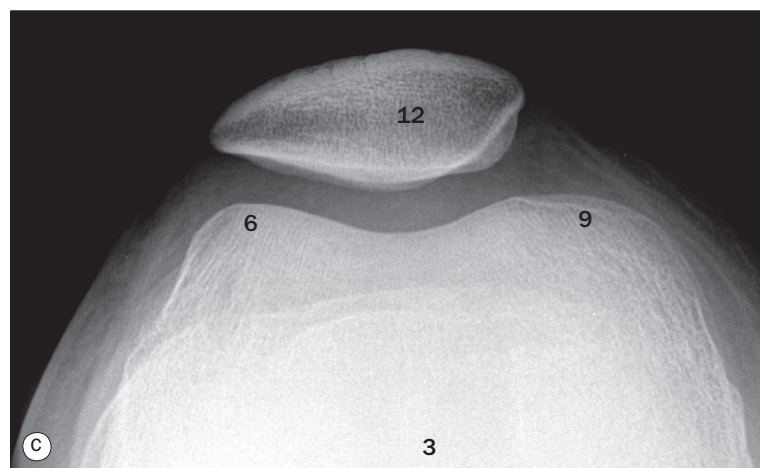


(a) Incidence de face.



(b) Incidence de profil.

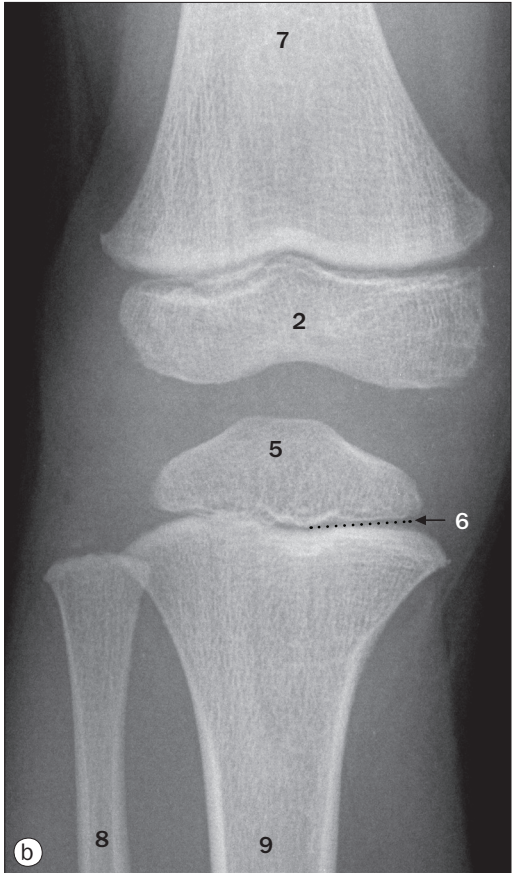
- 1 Apex (processus styloïde) de la fibula
- 2 Col de la fibula
- 3 Fémur
- 4 Tête de la fibula
- 5 Incisure intercondyalaire
- 6 Condyle latéral du fémur
- 7 Condyle latéral du tibia
- 8 Épicondyle latéral du fémur
- 9 Condyle médial du fémur
- 10 Condyle médial du tibia
- 11 Épicondyle médial du fémur
- 12 Patella
- 13 Tibia
- 14 Tubercules de l'éminence intercondyalaire
- 15 Tubérosité du tibia



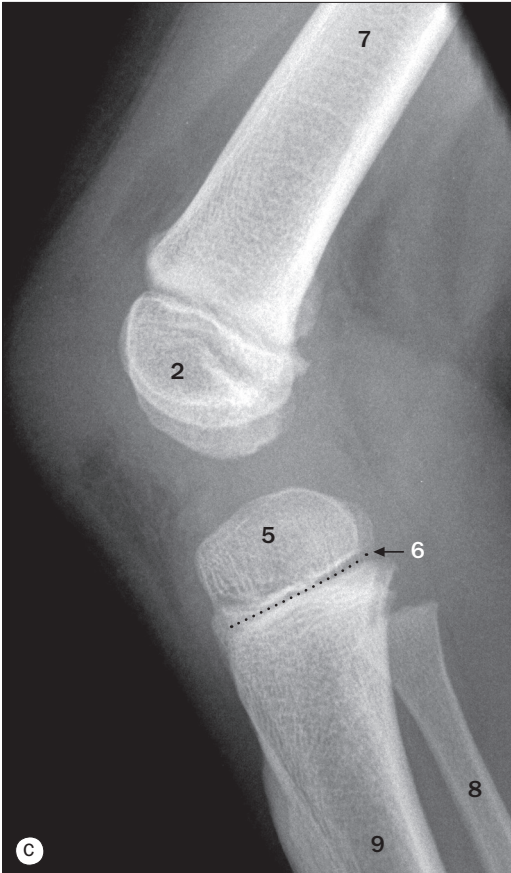
(c) Incidence en défilé fémoropatellaire.



(a) Fille de 2 ans.

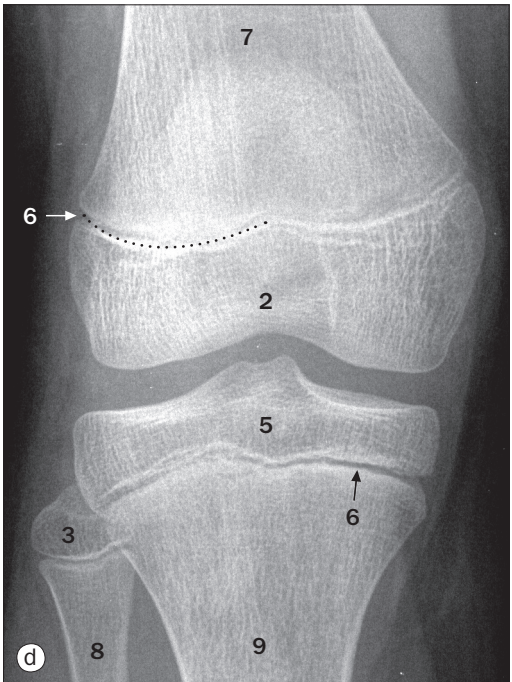


(b) et (c) Fille de 5 ans.

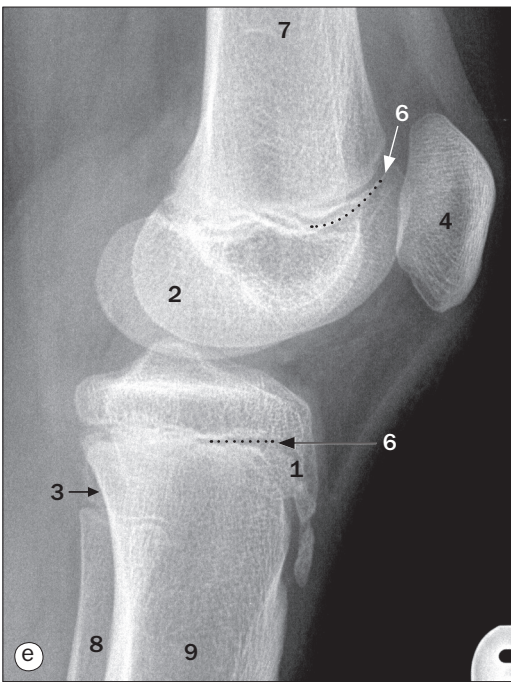


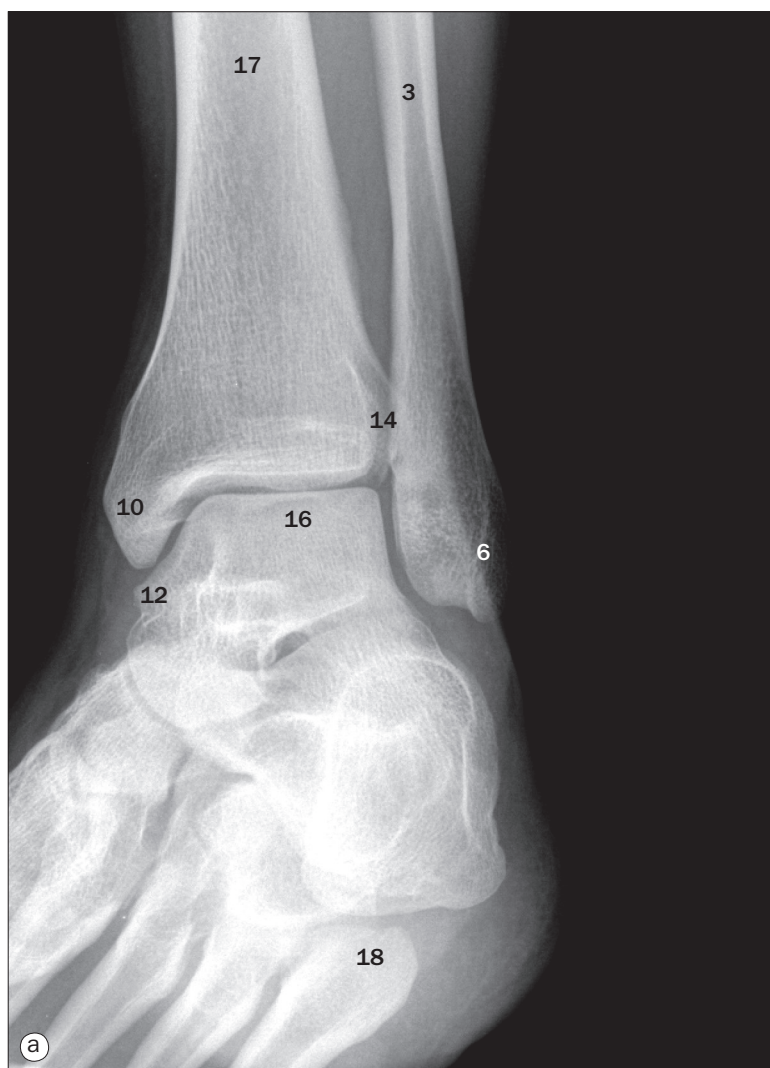
- 1 Extension antéro-inférieure du noyau d'ossification de la partie proximale du tibia pour la tubérosité du tibia
2 Noyau d'ossification de la partie distale du fémur
3 Noyau d'ossification de la tête de la fibula
4 Patella
5 Noyau d'ossification de la partie proximale du tibia
6 Ligne épiphysaire
7 Fémur
8 Fibula
9 Tibia

PATELLA (c)	1-3 centres	Apparition 3-5 ans	Fusion Puberté
TIBIA (c)	Diaphyse	7 siu	
	Proximal/plateau	9 miu	16-18 ans
	Tubérosité	10-12 ans	12-14 ans
	Extrémité distale	4 mois-1 an	15-17 ans
FIBULA (c)	Diaphyse	8 siu	
	Proximale/plateau	2-4 ans	17-19 ans
	Extrémité distale	6 mois-1 an	15-17 ans

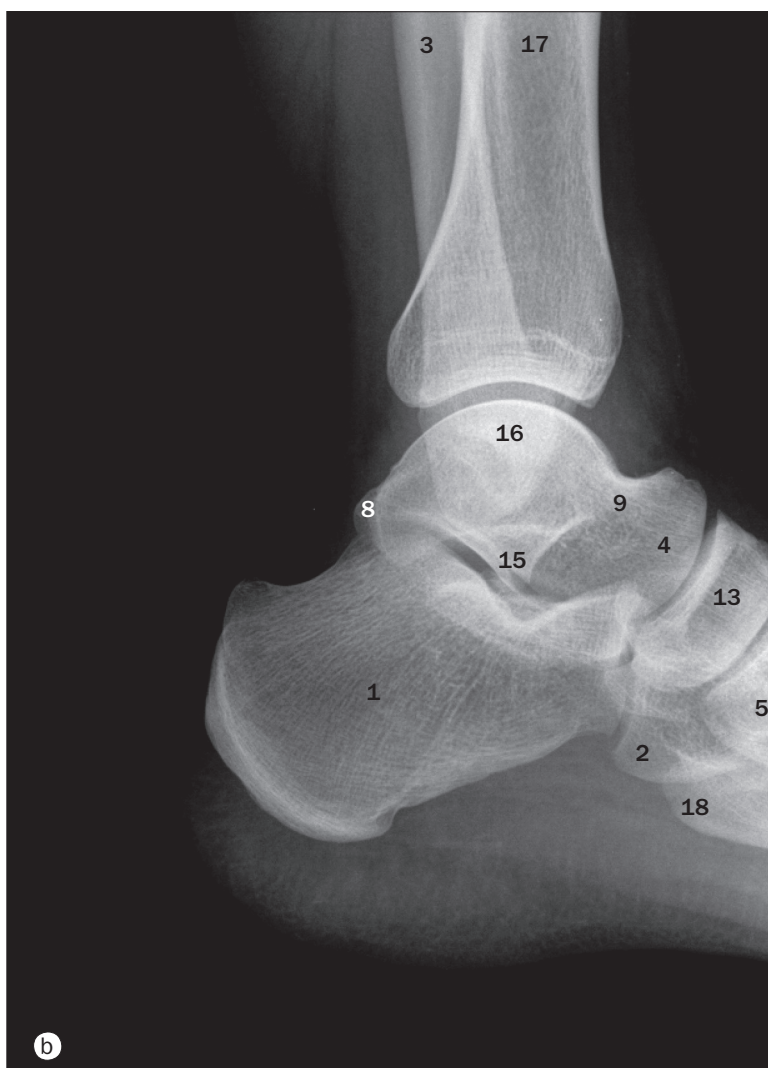


(d) et (e) Fille de 12 ans.

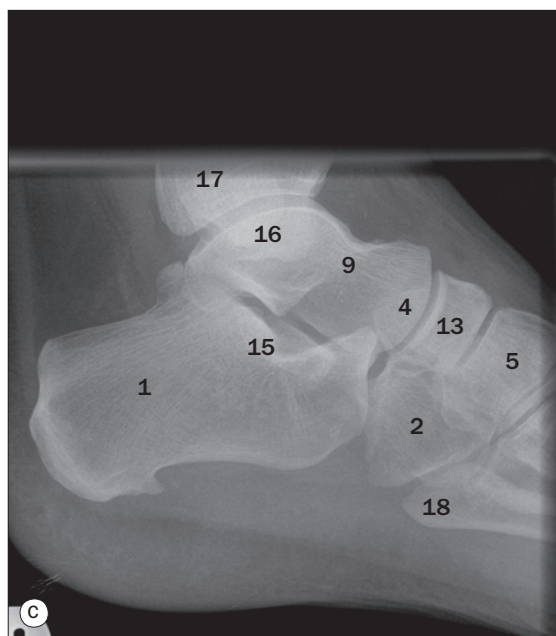




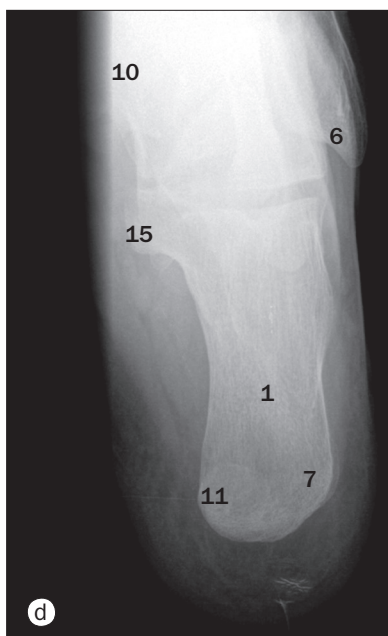
(a) Articulation de la cheville, incidence de face.



(b) Articulation de la cheville, incidence de profil.

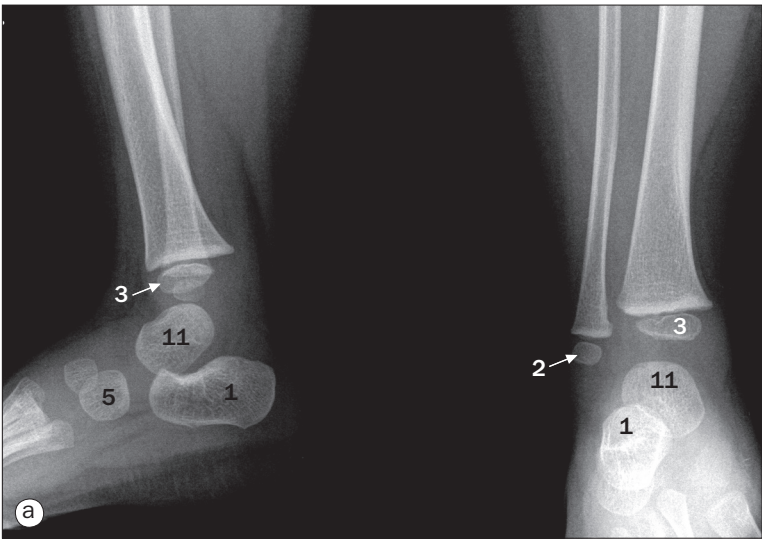


(c) Calcanéus, incidence de profil.

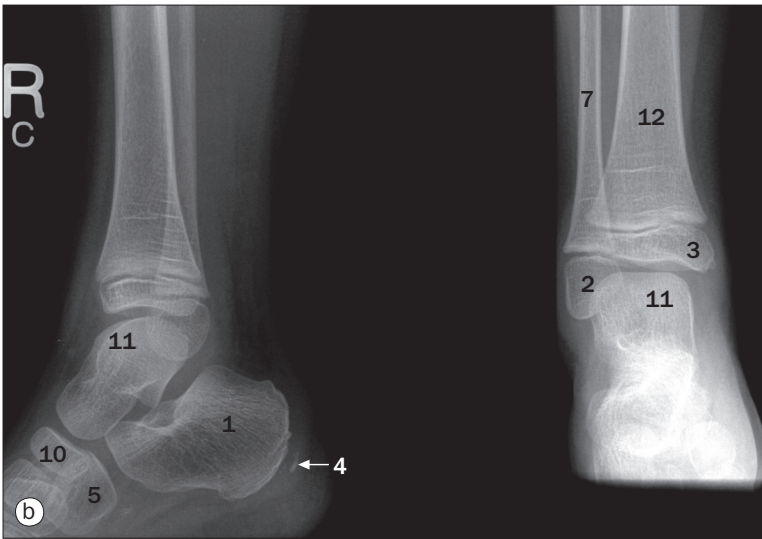


(d) Calcanéus, incidence axiale (caudocraniale, dite « rétrotibiale »).

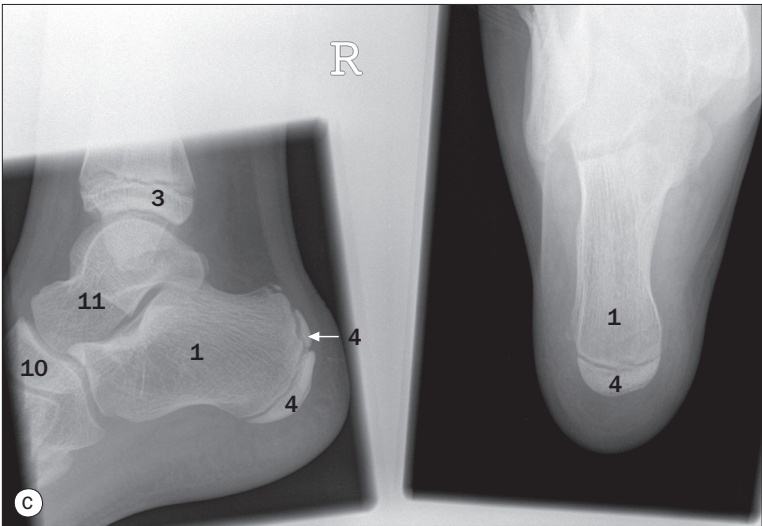
- 1 Calcanéus
- 2 Os cuboïde
- 3 Fibula
- 4 Tête du talus
- 5 Cunéiforme latéral
- 6 Malléole latérale de la fibula
- 7 Processus latéral du calcanéus
- 8 Tubercule latéral du talus
- 9 Col du talus
- 10 Malléole médiale du tibia
- 11 Processus médial du calcanéus
- 12 Tubercule médial du talus
- 13 Os naviculaire
- 14 Région de l'articulation tibiofibulaire inférieure
- 15 Sustentaculum tali du calcanéus
- 16 Talus
- 17 Tibia
- 18 Tubérosité de la base du 5^e métatarsien



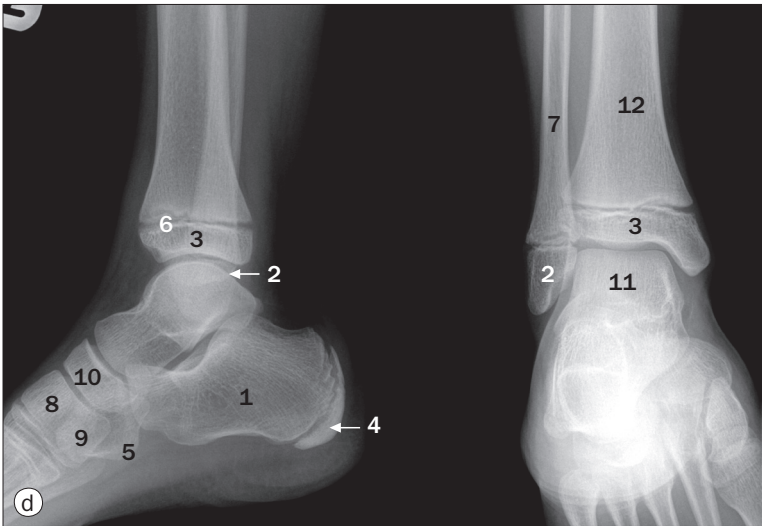
(a) Cheville d’une fille de 3 ans.



(b) Cheville d’une fille de 5 ans.



(c) Cheville d’une fille de 13 ans.



(d) Calcanéus d’une fille de 10 ans.

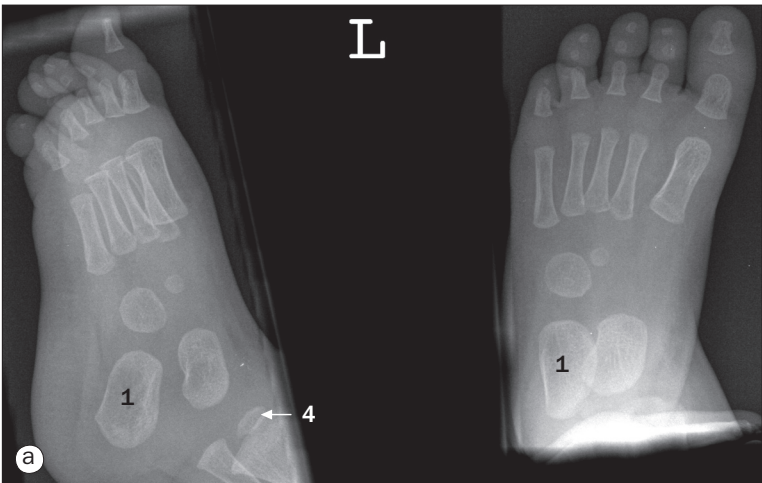
- 1 Calcanéus
- 2 Centre pour la partie distale de la fibula
- 3 Centre pour la partie distale du tibia
- 4 Centre pour la face postérieure du calcanéus
- 5 Os cuboïde
- 6 Ligne épiphysaire
- 7 Fibula
- 8 Cunéiforme intermédiaire
- 9 Cunéiforme latéral
- 10 Os naviculaire
- 11 Talus
- 12 Tibia

OS DU TARSE (c)	Apparition	Fusion
Calcanéus	3 miu	14–16 ans
Talus	6 miu	
Naviculaire	3 ans	
Cunéiforme latéral	6 mois–1 an	
Cunéiforme intermédiaire	2–3 ans	
Cunéiforme médial	1–2 ans	
Cuboïde	9 miu	

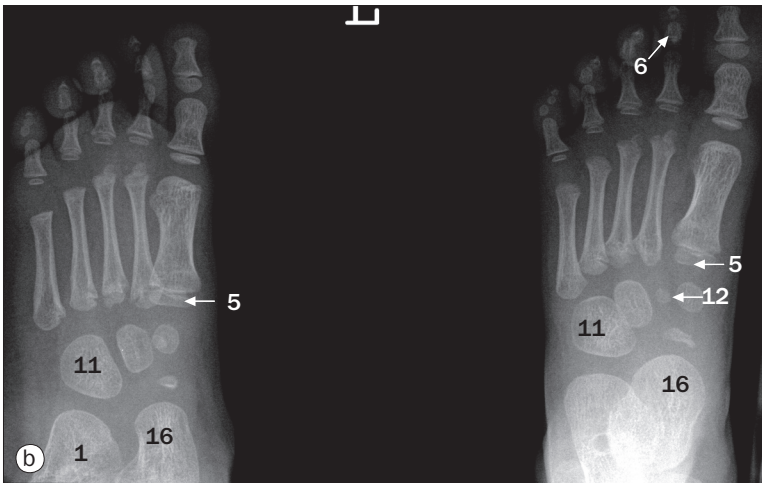


Pied, (a) incidence dorsoplantaire, (b) incidence dorsoplantaire oblique, (c) et (d) os naviculaire.

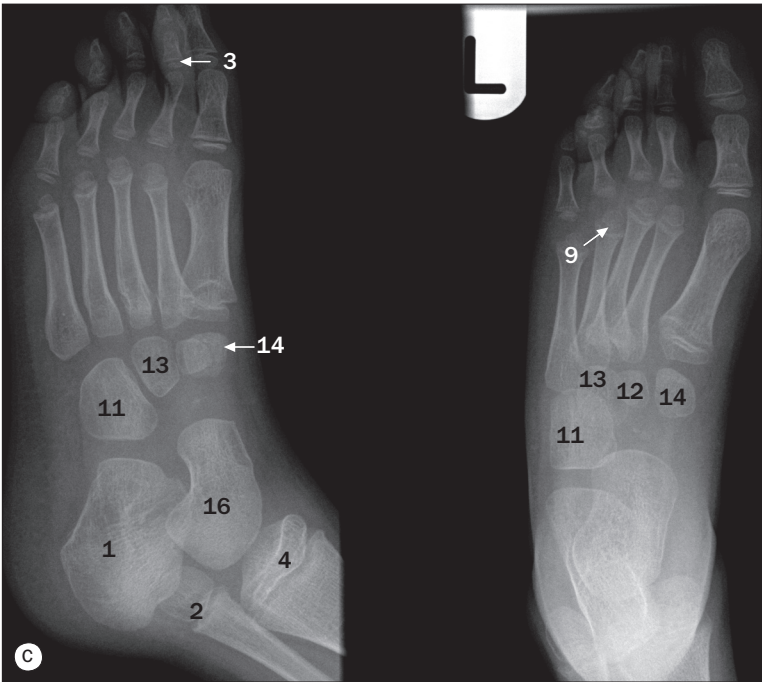
- 1 Os calcanéus
- 2 Os cuboïde
- 3 Phalange distale du 2^e orteil
- 4 1^{er} métatarsien
- 5 Cunéiforme intermédiaire
- 6 Cunéiforme latéral
- 7 Cunéiforme médial
- 8 Phalange moyenne du 2^e orteil
- 9 Os naviculaire
- 10 Phalange proximale du 2^e orteil
- 11 Os sésamoïdes dans le muscle court fléchisseur de l'hallux
- 12 Talus
- 13 Tubérosité de la base du 5^e métatarsien
- 14 Os naviculaire



(a) Pied d'une fille de 11 mois.



(b) Pied d'une fille de 3 ans.



(c) Pied d'une fille de 6 ans.

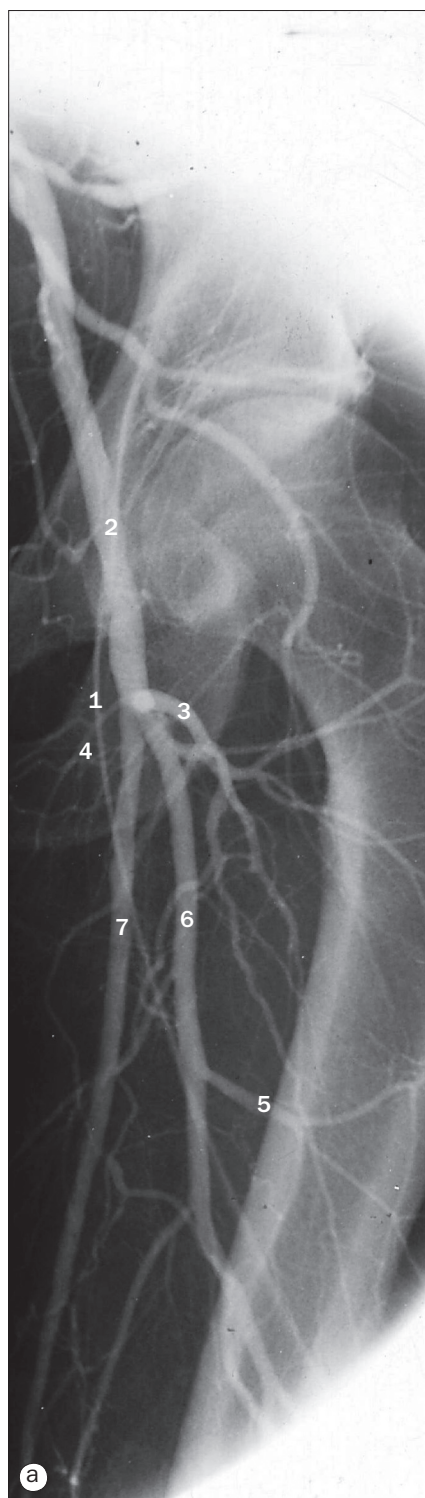


(d) Pied d'une fille de 12 ans.

- 1 Calcanéus
- 2 Noyau d'ossification de la partie distale de la fibula
- 3 Noyau d'ossification de la phalange distale du 2^e orteil
- 4 Noyau d'ossification de la partie distale du tibia
- 5 Noyau d'ossification du 1^{er} métatarsien
- 6 Noyau d'ossification de la phalange moyenne du 2^e orteil
- 7 Noyau d'ossification de la face postérieure du calcaneus
- 8 Noyau d'ossification de la phalange proximale du 2^e orteil
- 9 Noyau d'ossification du 2^e métatarsien (s'applique du 2^e au 5^e métatarsien)
- 10 Noyau d'ossification de la tubérosité de la base du 5^e métatarsien
- 11 Os cuboïde
- 12 Cunéiforme intermédiaire
- 13 Cunéiforme latéral
- 14 Cunéiforme médial
- 15 Os naviculaire
- 16 Talus

MÉTATARSIENS (c)	Apparition	Fusion
Diaphyses	9 siu	
Têtes (2–5) ou base (1)	3–4 ans	17–20 ans
Tubérosité du 5	10–12 ans	13–15 ans
PHALANGES (c)		
Diaphyse	9–12 siu	
Bases (variable)	1–6 ans	14–18 ans

OS DU TARSE (c)	Apparition	Fusion
Calcanéus	3 miu	14–16 ans
Talus	6 miu	
Naviculaire	3 ans	
Cunéiforme latéral	6 mois–1 an	
Cunéiforme intermédiaire	2–3 ans	
Cunéiforme médial	1–2 ans	
Cuboïde	9 miu	



(a) Artère fémorale, artériographie.

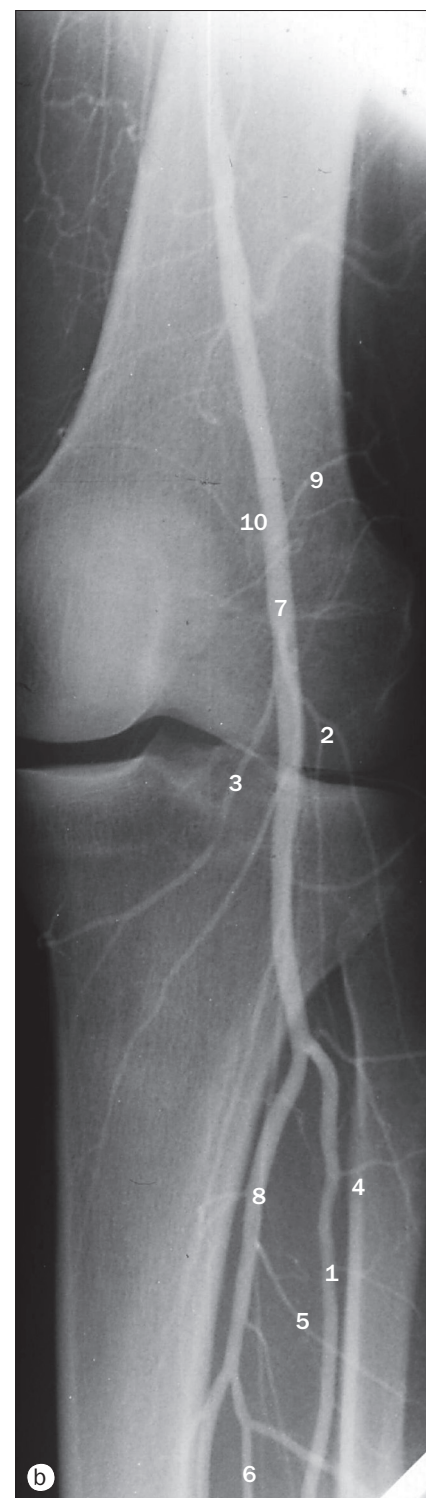
Les artères fémorale, poplitée et tibiale sont mises en évidence par le cathétérisme de la partie distale de l'aorte abdominale et l'injection de produit de contraste. Le produit de contraste est ensuite suivi le long de sa descente vers les jambes. Si une seule jambe doit faire l'objet d'une imagerie, une injection dans l'artère fémorale homolatérale suffit. L'artère iliaque externe se transforme en artère fémorale; celle-ci naît à la face profonde du ligament inguinal, et se divise en branches superficielle et profonde. Une incidence oblique est souvent utile pour mettre en évidence la bifurcation fémorale et un athérome dans l'origine de ces vaisseaux.

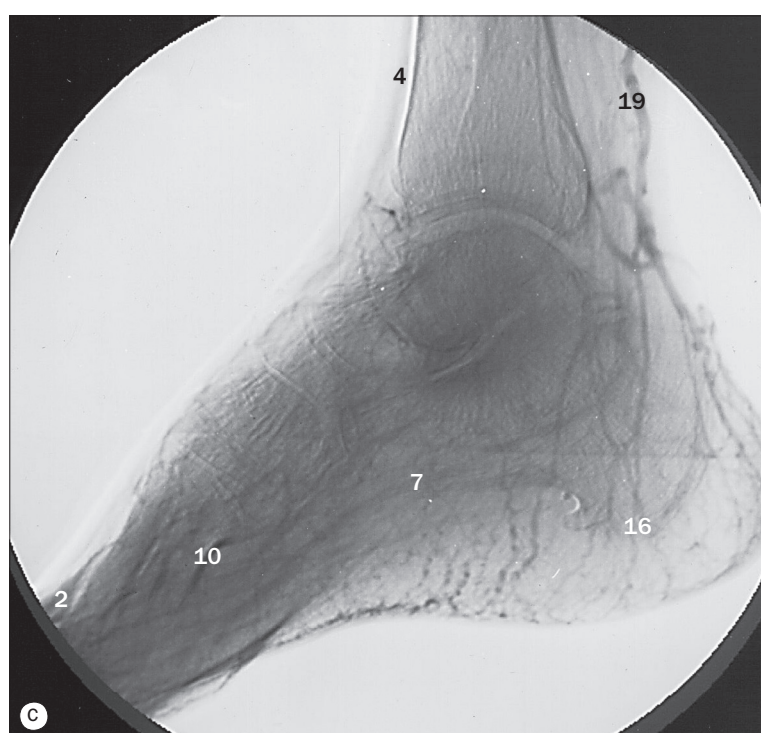
- 1 Cathéter introduit dans la partie distale de l'aorte abdominale via l'artère fémorale gauche
- 2 Artère fémorale commune
- 3 Artère circonflexe latérale de la cuisse
- 4 Artère circonflexe médiale de la cuisse
- 5 Artère perforante
- 6 Artère profonde de la cuisse
- 7 Artère fémorale superficielle

(b) Artère poplitée, artériographie.

L'artère fémorale superficielle devient l'artère poplitée lorsqu'elle traverse le hiatus tendineux de l'adducteur. L'artère poplitée se termine au bord inférieur du muscle poplité, où elle se divise en artères tibiales antérieure et postérieure.

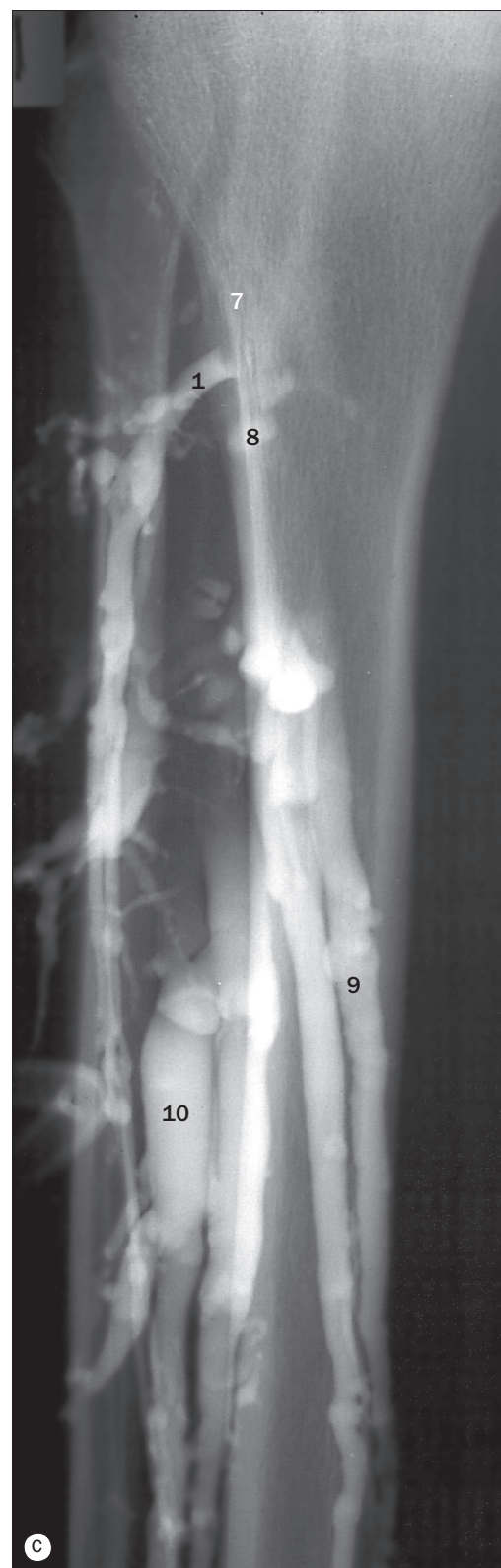
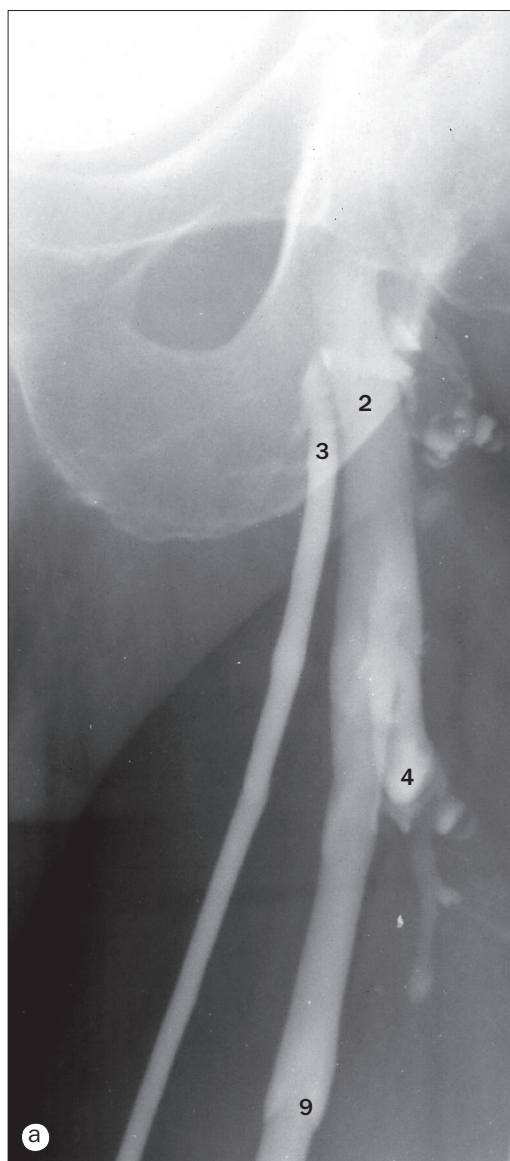
- 1 Artère tibiale antérieure
- 2 Artère gémulée inférolatérale
- 3 Artère gémulée inféromédiale
- 4 Branches musculaires de l'artère tibiale antérieure
- 5 Branches musculaires de l'artère tibiale postérieure
- 6 Artère fibulaire
- 7 Artère poplitée
- 8 Artère tibiale postérieure
- 9 Artère gémulée supérolatérale
- 10 Artère gémulée supéromédiale





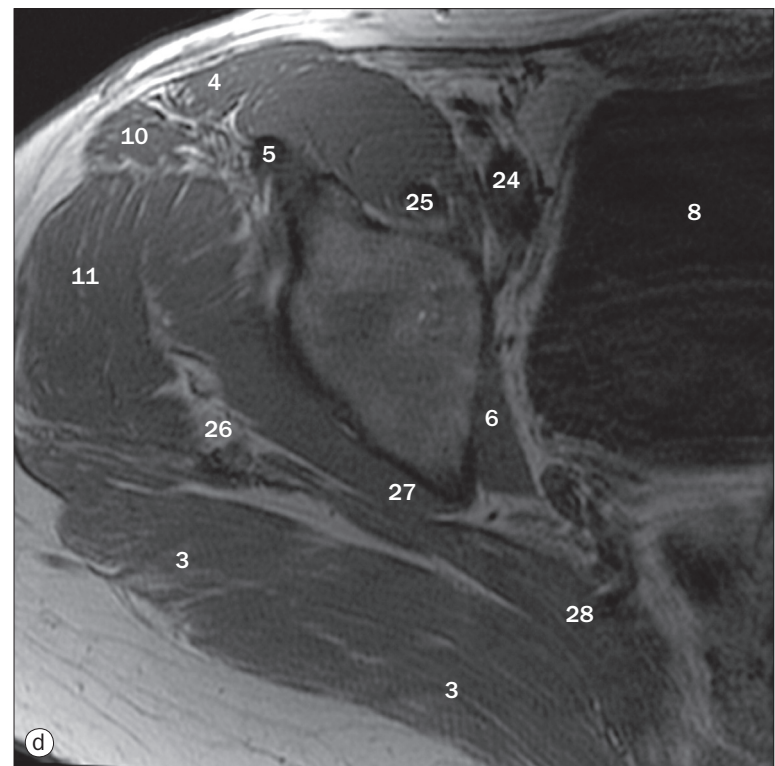
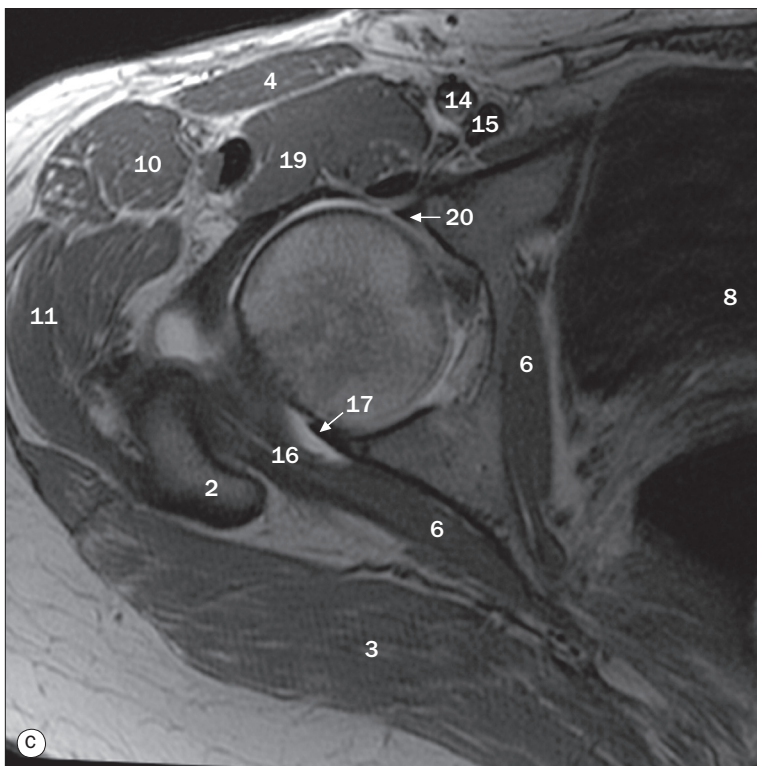
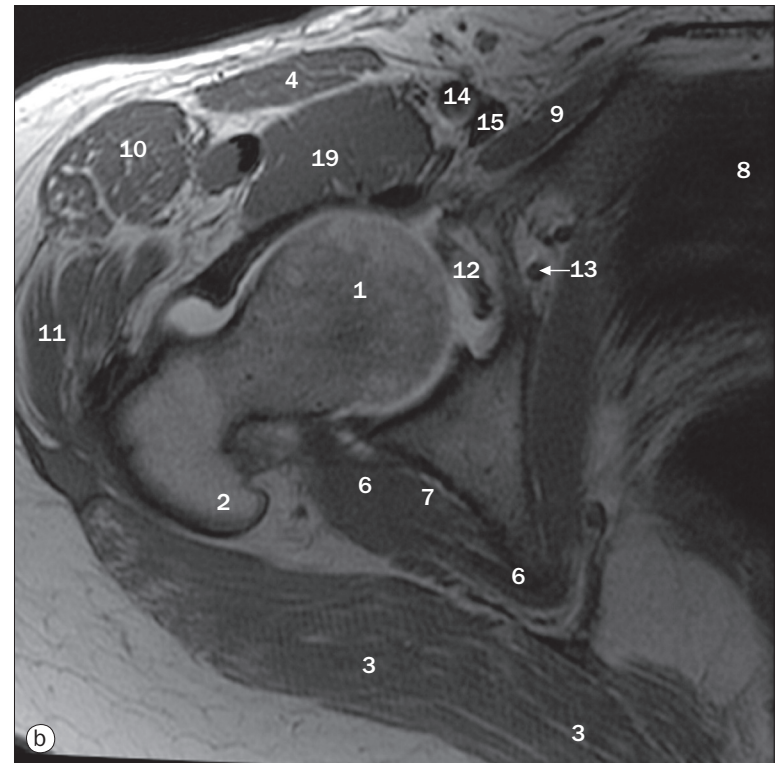
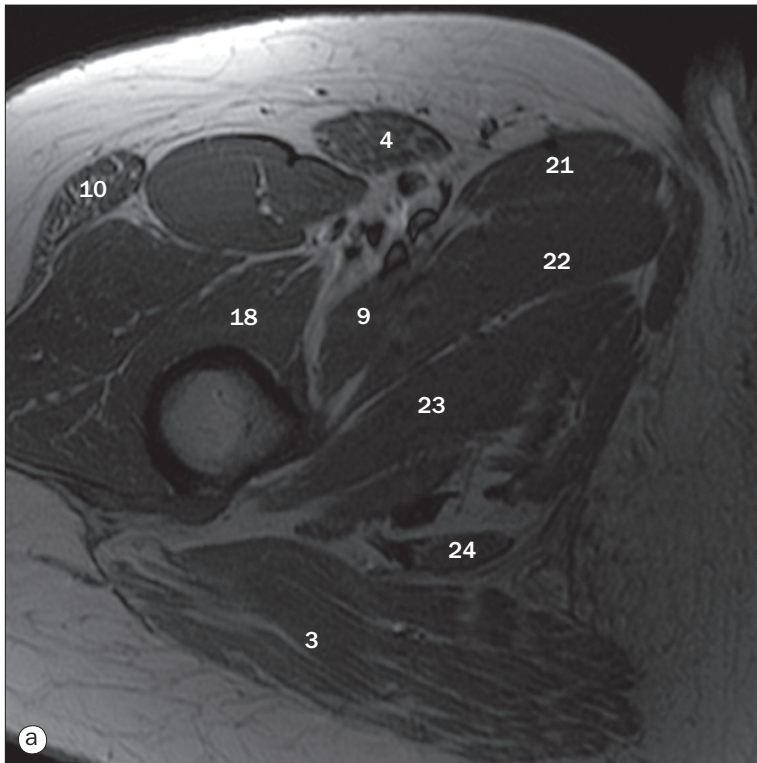
(a) Artère poplitée, artériographie, (b) pied, artériographie, incidence de profil, (c) pied, phlébographie, (d) artères de la jambe, angio-IRM.

- | | | |
|---------------------------------|---|------------------------------------|
| 1 Artère tibiale antérieure | 9 Artère calcanéenne médiale | 15 Arcade plantaire |
| 2 Arcade veineuse dorsale | 10 Veine marginale médiale | 16 Plexus veineux cutané plantaire |
| 3 Artère dorsale du pied | 11 Artère plantaire médiale | 17 Artère poplitée |
| 4 Grande veine saphène | 12 Branches musculaires de l'artère tibiale antérieure | 18 Artère tibiale postérieure |
| 5 Artère gémulée inférolatérale | 13 Branches musculaires de l'artère tibiale postérieure | 19 Petite veine saphène |
| 6 Artère gémulée inféromédiale | 14 Artère fibulaire | 20 Artère gémulée supéromédiale |
| 7 Veine marginale latérale | | |
| 8 Artère plantaire latérale | | |



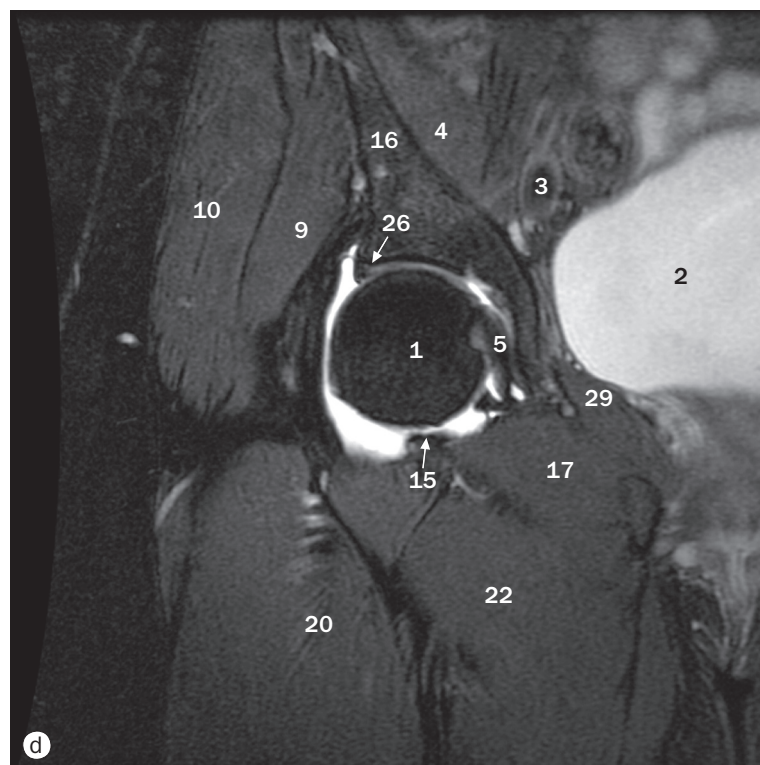
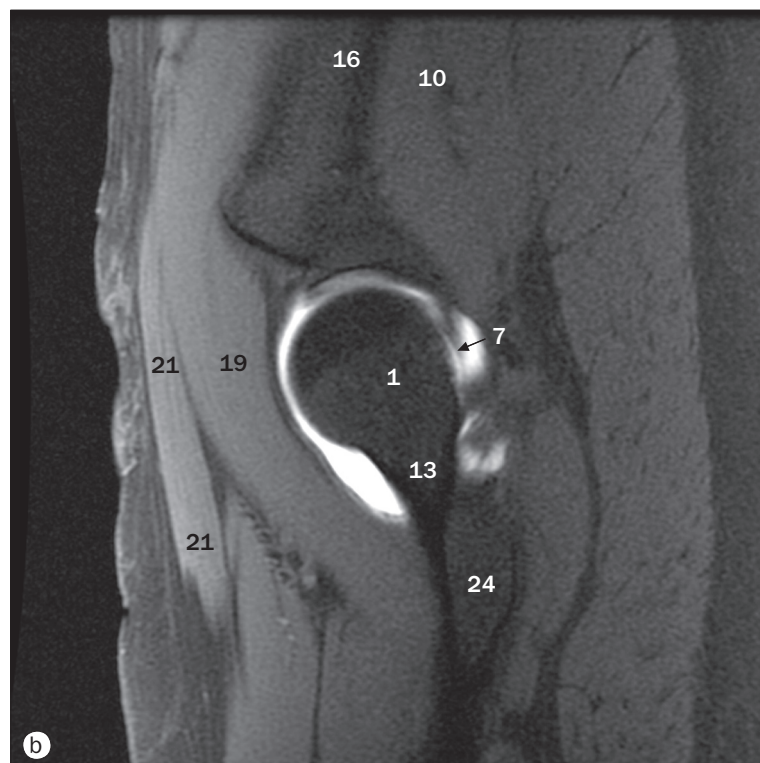
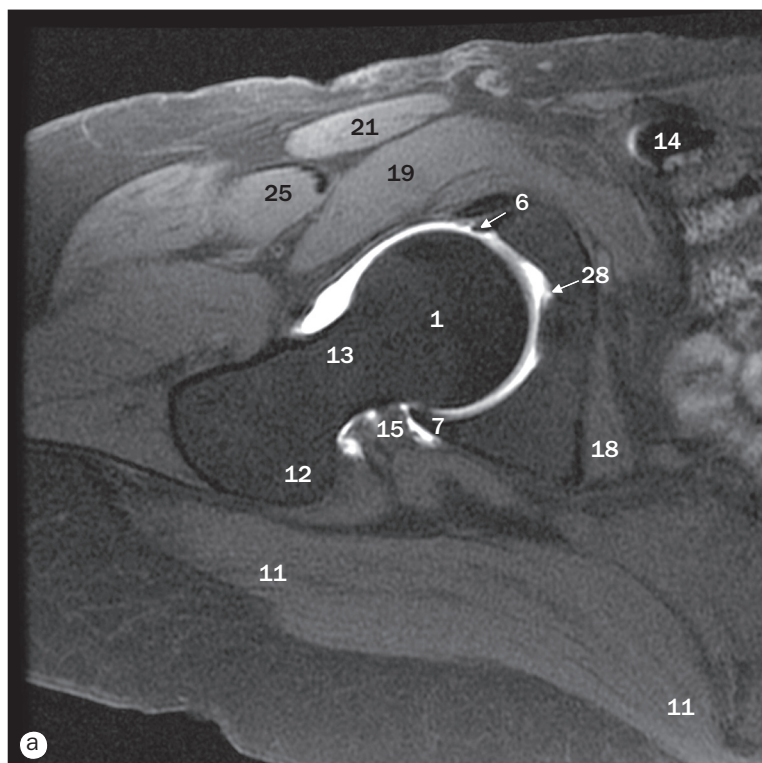
(a)–(c) Membres inférieurs, phlébographies.

- 1 Veine tibiale antérieure
- 2 Veine fémorale
- 3 Grande veine saphène
- 4 Veine circonflexe latérale
- 5 Collatérale musculaire de la veine fémorale
- 6 Veine perforante
- 7 Veine poplitée
- 8 Veines tibiales postérieures
- 9 Valvules veineuses
- 10 Plexus veineux de la jambe



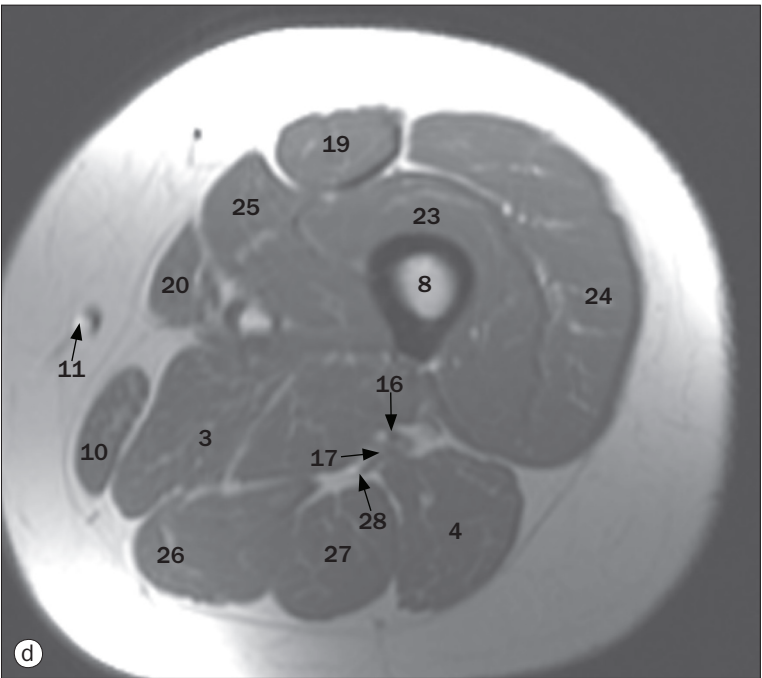
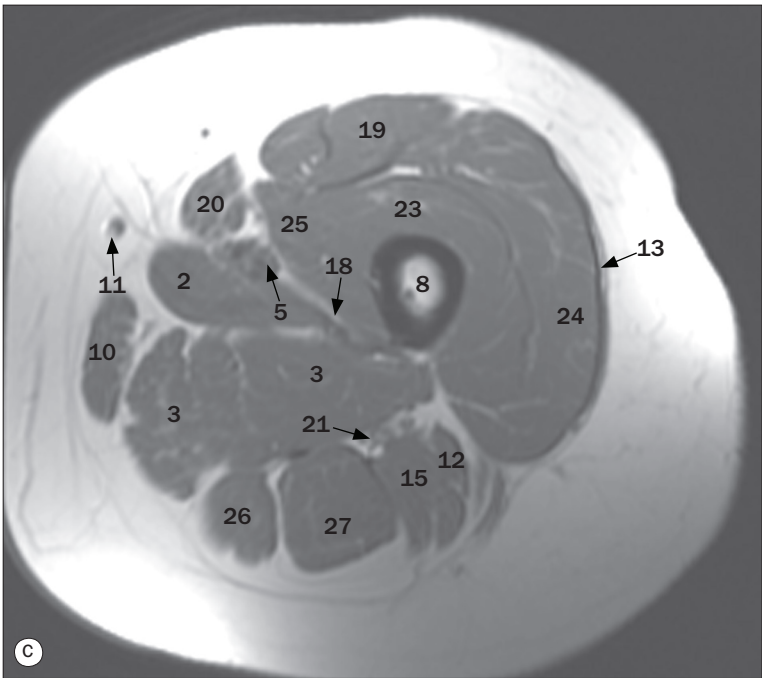
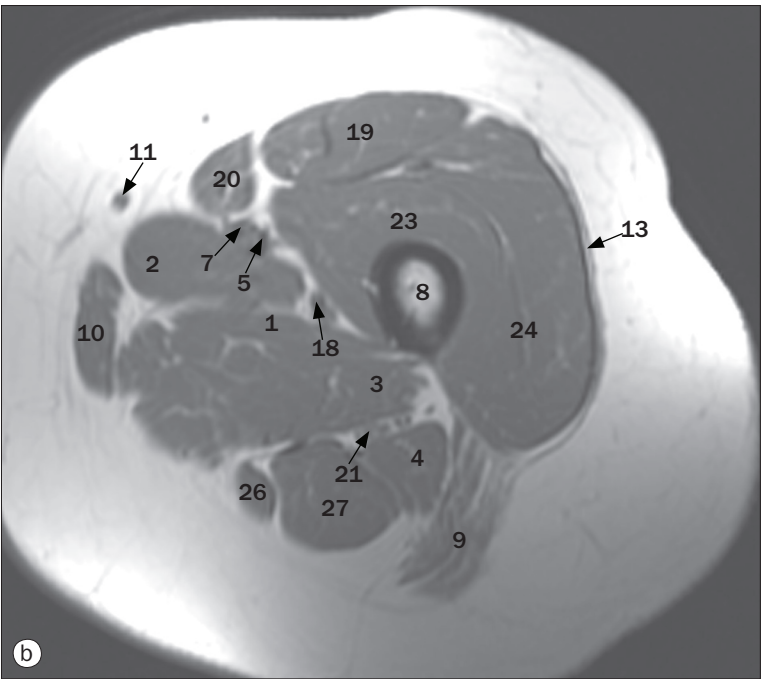
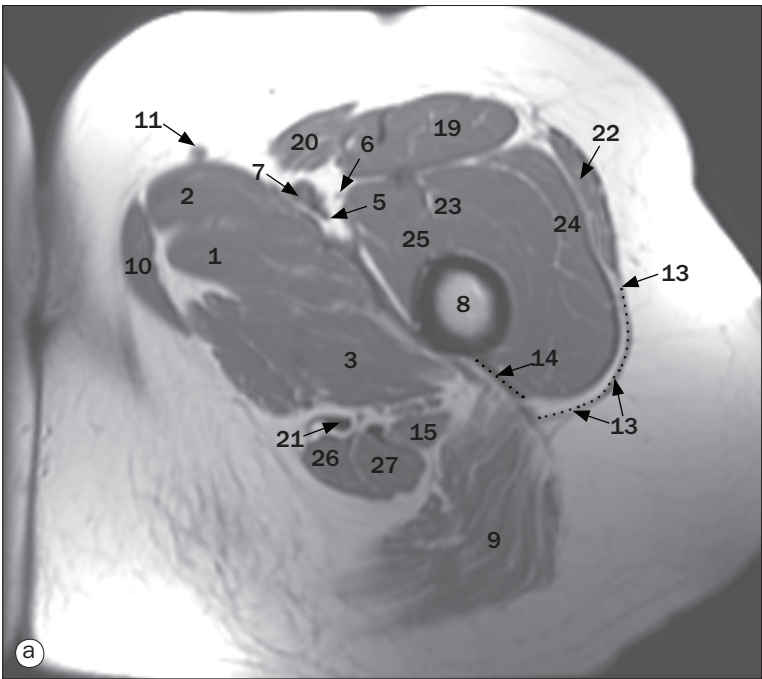
(a)–(d) Hanche, IRM en coupes axiales, de supérieur à inférieur.

- | | | | |
|---------------------------------------|--------------------------------------|--|---------------------------------|
| 1 Tête du fémur | 8 Vessie | 15 Veine fémorale | 21 Muscle long adducteur |
| 2 Grand trochanter | 9 Muscle pectiné | 16 Tendon du muscle obturateur interne | 22 Muscle court adducteur |
| 3 Muscle grand glutéal | 10 Muscle tenseur du fascia lata | 17 Labrum acétabulaire postérieur | 23 Muscle grand adducteur |
| 4 Muscle sartorius | 11 Muscle vaste latéral | 18 Muscle vaste intermédiaire | 24 Muscle semitendineux |
| 5 Tendon du muscle droit de la cuisse | 12 Ligament rond de la tête fémorale | 19 Muscle iliopsoas | 25 Artère profonde de la cuisse |
| 6 Muscle obturateur interne | 13 Nerf obturateur | 20 Labrum acétabulaire antérieur | 26 Artère iliaque externe |
| 7 Muscle jumeau supérieur | 14 Artère fémorale | | 27 Muscle petit glutéal |
| | | | 28 Muscle moyen glutéal |



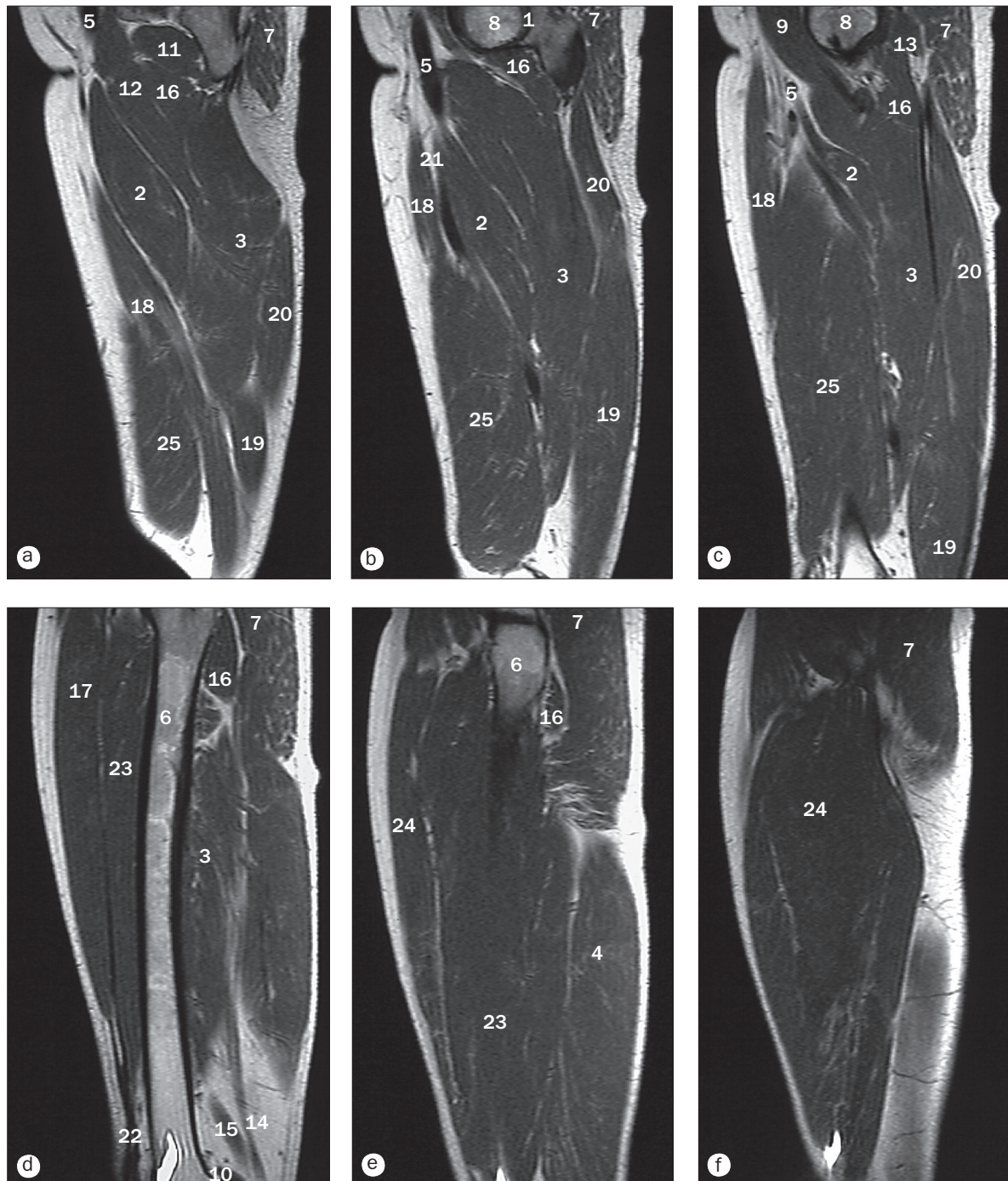
Hanche, arthro-IRM en coupes (a) axiale, (b) sagittale, (c) et (d) coronales.

- | | | |
|-------------------------------------|--|--|
| 1 Tête du fémur | 11 Muscle grand glutéal | 20 Muscle vaste intermédiaire |
| 2 Vessie | 12 Grand trochanter | 21 Muscle sartorius |
| 3 Artère iliaque externe | 13 Col du fémur | 22 Muscle long adducteur |
| 4 Muscle iliaque | 14 Artère fémorale | 23 Ligament transverse de l'acétabulum |
| 5 Ligament rond de la tête fémorale | 15 Zone orbiculaire (fibres circulaires de la capsule) | 24 Muscle carré fémoral |
| 6 Labrum acétabulaire antérieur | 16 Os coxal | 25 Muscle droit de la cuisse |
| 7 Labrum acétabulaire postérieur | 17 Muscle obturateur externe | 26 Labrum acétabulaire supérieur |
| 8 Toit de l'acétabulum | 18 Muscle obturateur interne | 27 Muscle jumeau |
| 9 Muscle petit glutéal | 19 Muscle iliopsoas | 28 Incisure de l'acétabulum |
| 10 Muscle moyen glutéal | | 29 Muscle pectiné |



(a)–(d) Cuisse, IRM en coupes axiales.

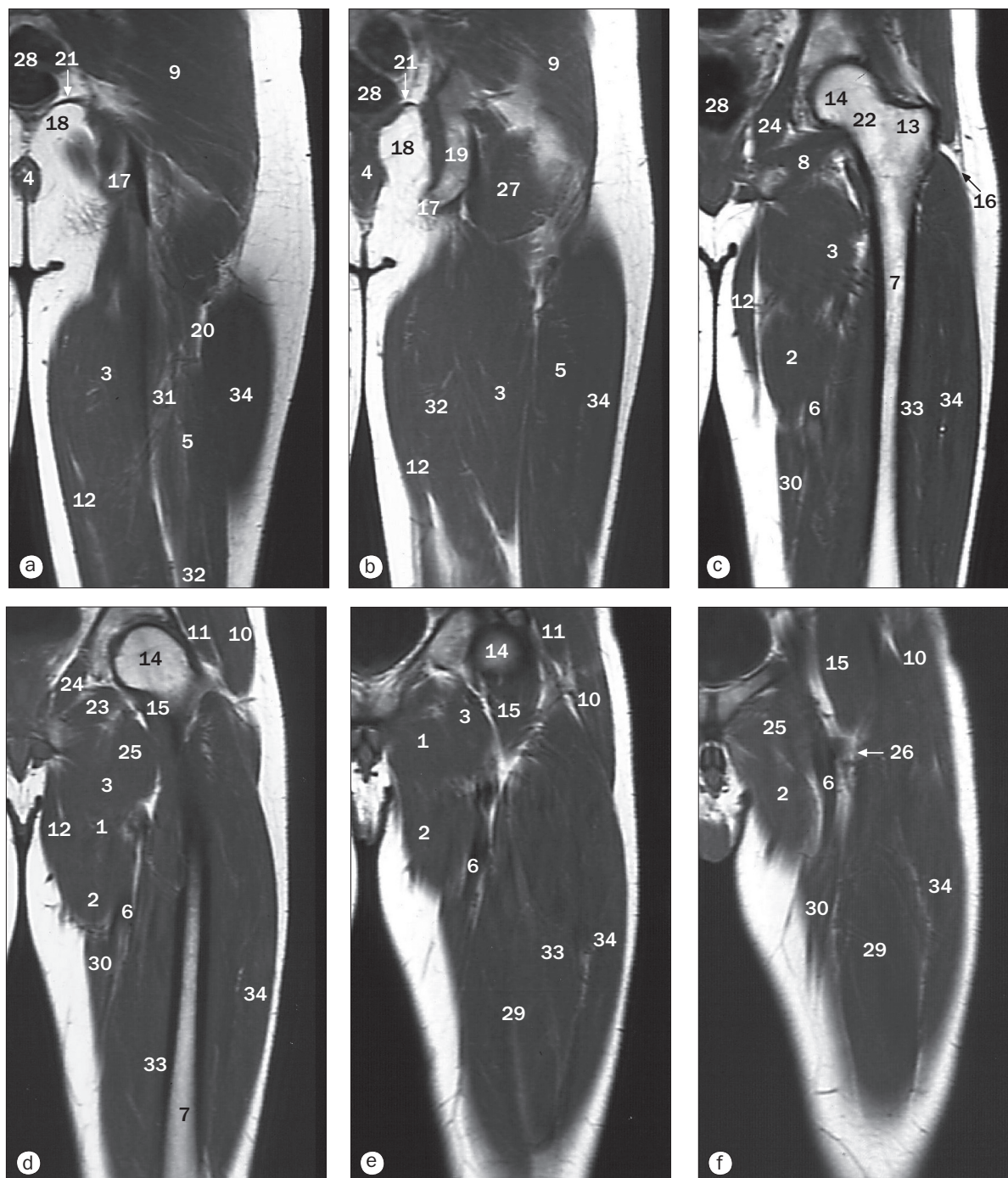
- | | | |
|--------------------------|--|----------------------------------|
| 1 Muscle court adducteur | 11 Grande veine saphène | 21 Nerf sciatique |
| 2 Muscle long adducteur | 12 Chef court du muscle biceps fémoral | 22 Muscle tenseur du fascia lata |
| 3 Muscle grand adducteur | 13 Tractus iliotibial | 23 Muscle vaste intermédiaire |
| 4 Muscle biceps fémoral | 14 Septum intermusculaire latéral | 24 Muscle vaste latéral |
| 5 Artère fémorale | 15 Chef long du muscle biceps fémoral | 25 Muscle vaste médial |
| 6 Nerf fémoral | 16 Artère poplitée | 26 Muscle semimembraneux |
| 7 Veine fémorale | 17 Veine poplitée | 27 Muscle semitendineux |
| 8 Fémur | 18 Artère profonde de la cuisse | 28 Nerf tibial |
| 9 Muscle grand glutéal | 19 Muscle droit de la cuisse | |
| 10 Muscle gracile | 20 Muscle sartorius | |



(a)–(f) Cuisse, IRM en coupes sagittales.

- | | | |
|--------------------------|---|---|
| 1 Acétabulum | 10 Chef latéral du muscle gastrocnémien | 19 Muscle semimembraneux |
| 2 Muscle long adducteur | 11 Muscle obturateur externe | 20 Muscle semitendineux |
| 3 Muscle grand adducteur | 12 Muscle pectiné | 21 Canal des adducteurs (canal de Hunter) |
| 4 Muscle biceps fémoral | 13 Muscle piriforme | 22 Tendon du muscle quadriceps fémoral |
| 5 Artère fémorale | 14 Artère poplitée | 23 Muscle vaste intermédiaire |
| 6 Fémur | 15 Veine poplitée | 24 Muscle vaste latéral |
| 7 Muscle grand glutéal | 16 Muscle carré fémoral | 25 Muscle vaste médial |
| 8 Tête du fémur | 17 Muscle droit de la cuisse | |
| 9 Muscle iliopsoas | 18 Muscle sartorius | |

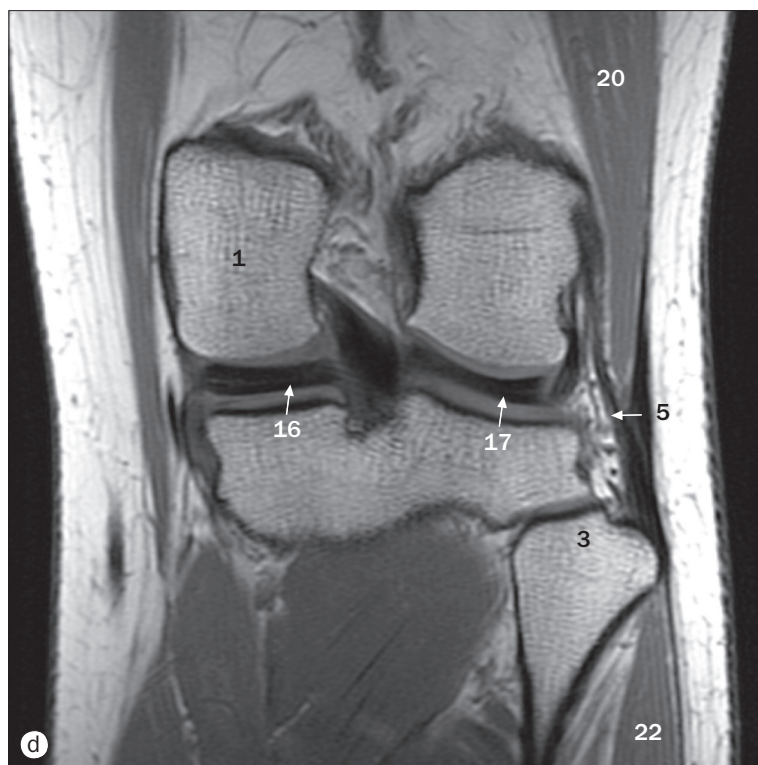
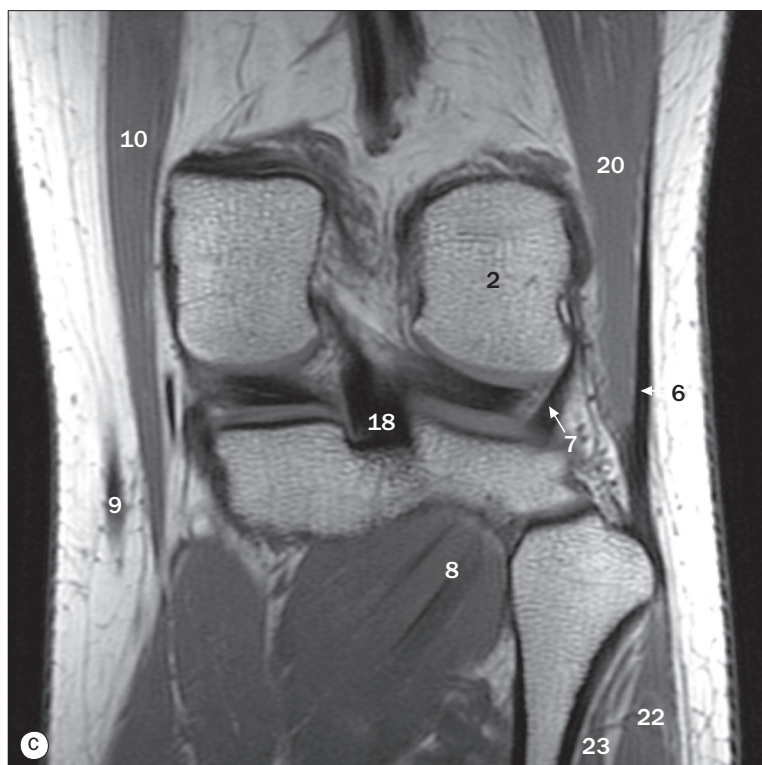
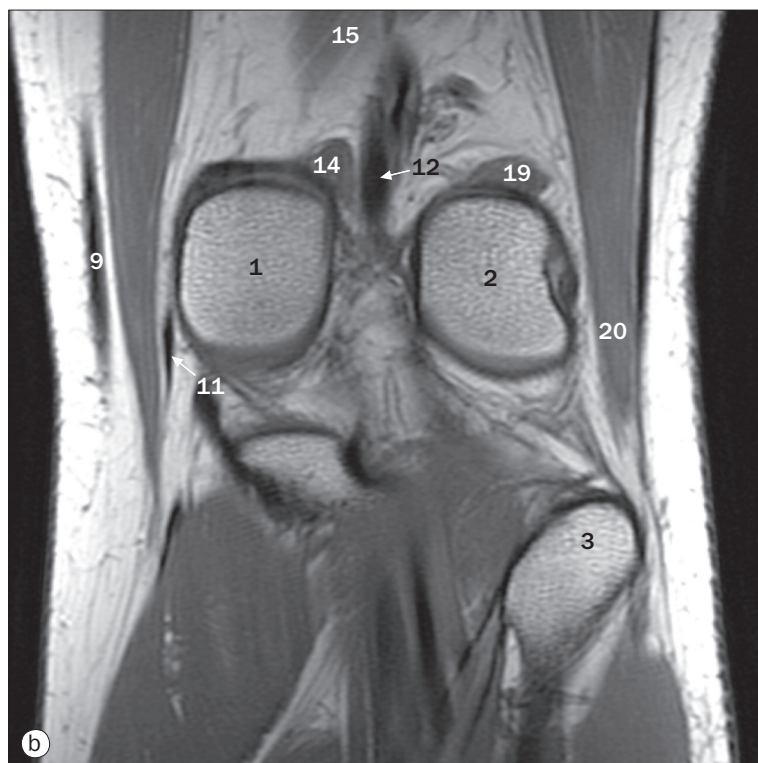
(a)–(f) Cuisse, IRM en coupes coronales.



1 Muscle court adducteur
2 Muscle long adducteur
3 Muscle grand adducteur
4 Canal anal
5 Muscle biceps fémoral
6 Artère fémorale
7 Fémur
8 Muscle jumeau
9 Muscle grand glutéal
10 Muscle moyen glutéal
11 Muscle petit glutéal
12 Muscle gracile

13 Grand trochanter du fémur
14 Tête du fémur
15 Muscle iliopsoas
16 Tractus iliotibial
17 Tubérosité ischiatique
18 Fosse ischioanale
19 Ischium
20 Septum intermusculaire latéral
21 Muscle élévateur de l'anus
22 Col du fémur
23 Muscle obturateur externe
24 Muscle obturateur interne

25 Muscle pectiné
26 Artère profonde de la cuisse
27 Muscle carré fémoral
28 Rectum
29 Muscle droit de la cuisse
30 Muscle sartorius
31 Muscle semimembraneux
32 Muscle semitendineux
33 Muscle vaste intermédiaire
34 Muscle vaste latéral

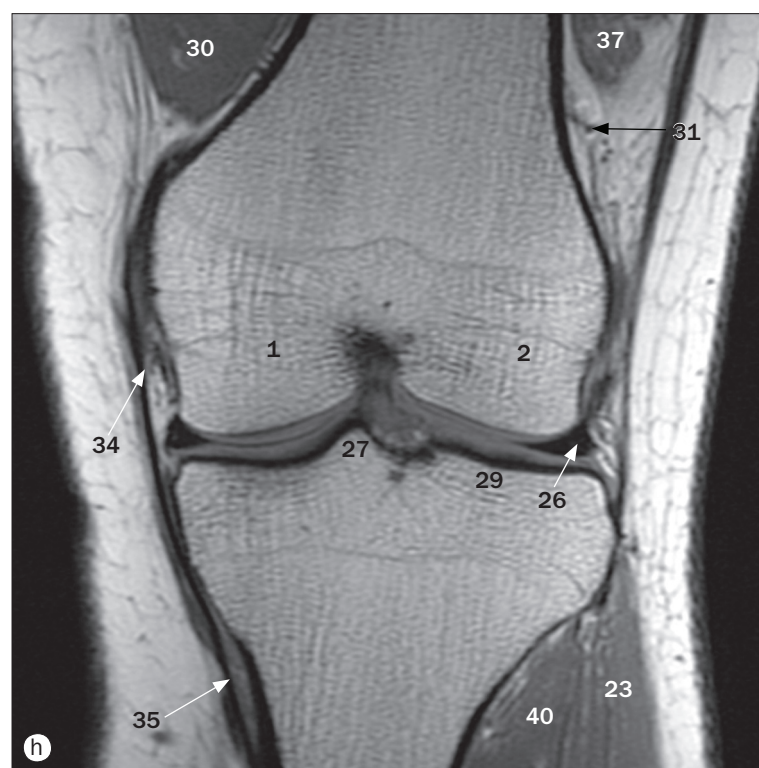
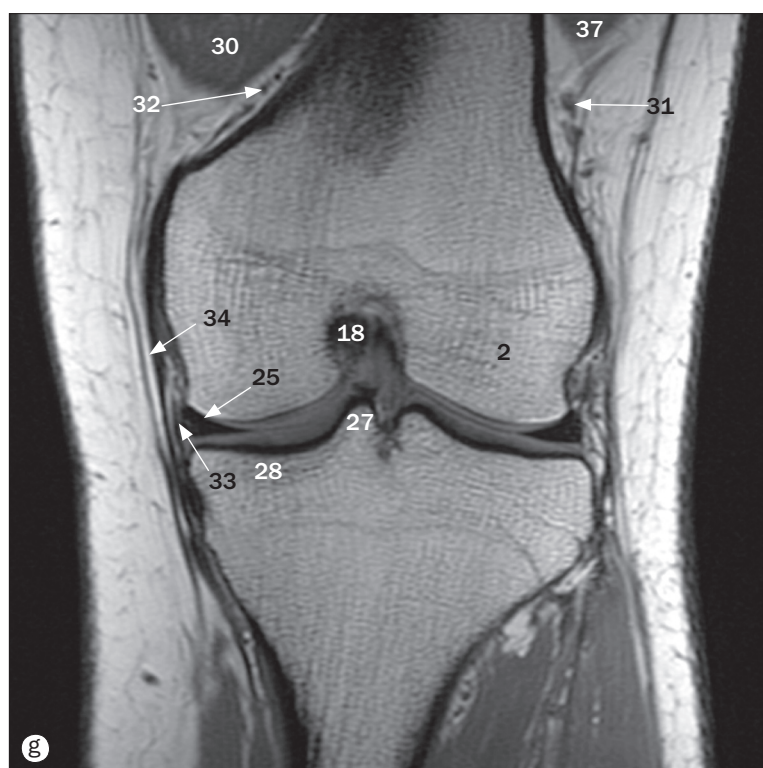
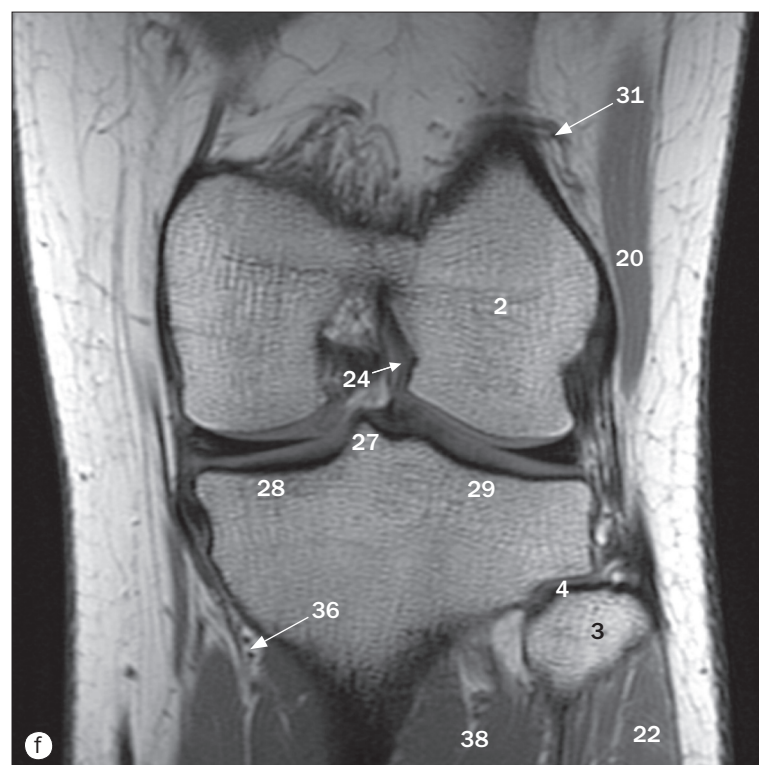
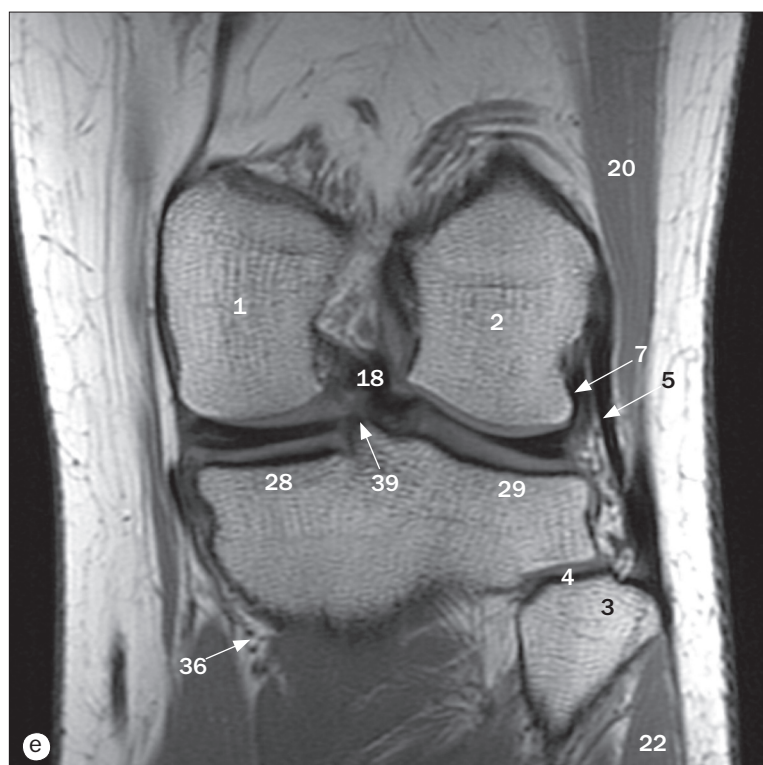


(a)–(h) Genou, IRM en coupes coronales, de postérieur à antérieur.

1 Condyle médial du fémur
2 Condyle latéral du fémur
3 Tête de la fibula
4 Articulation tibiofibulaire proximale
5 Ligament collatéral latéral
6 Tractus iliotibial
7 Tendon du muscle poplité
8 Muscle poplité

9 Grande veine saphène
10 Muscle sartorius
11 Tendon du muscle gracile
12 Artère poplitée
13 Nerf fibulaire (péronier) commun
14 Chef médial du muscle gastrocnémien
15 Muscle semimembraneux
16 Corne postérieure du ménisque médial

17 Corne postérieure du ménisque latéral
18 Ligament croisé postérieur
19 Chef latéral du muscle gastrocnémien
20 Muscle biceps fémoral
21 Muscle soléaire
22 Muscle long fibulaire (péronier)
23 Muscle long extenseur des orteils
24 Ligament croisé antérieur

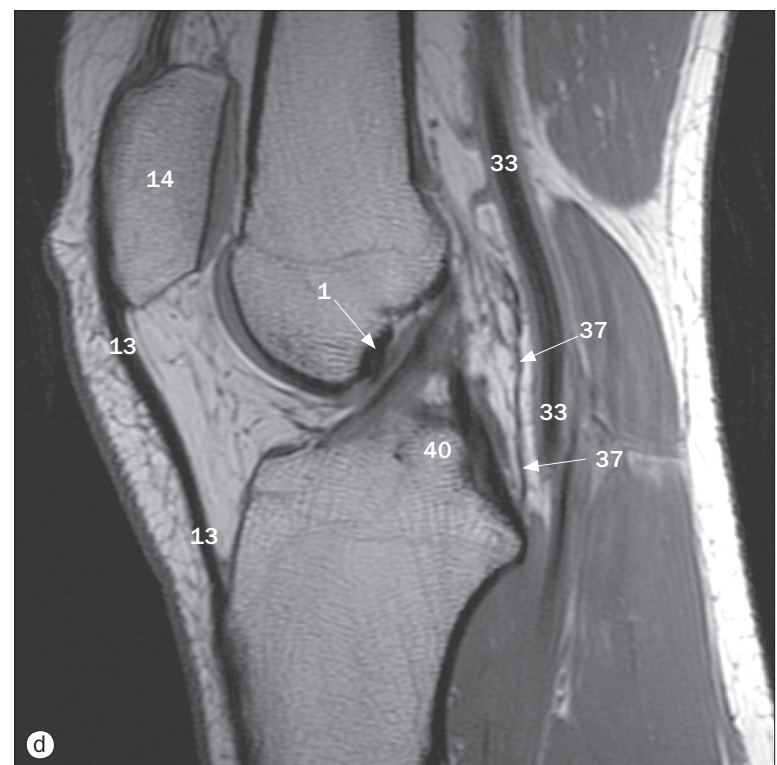
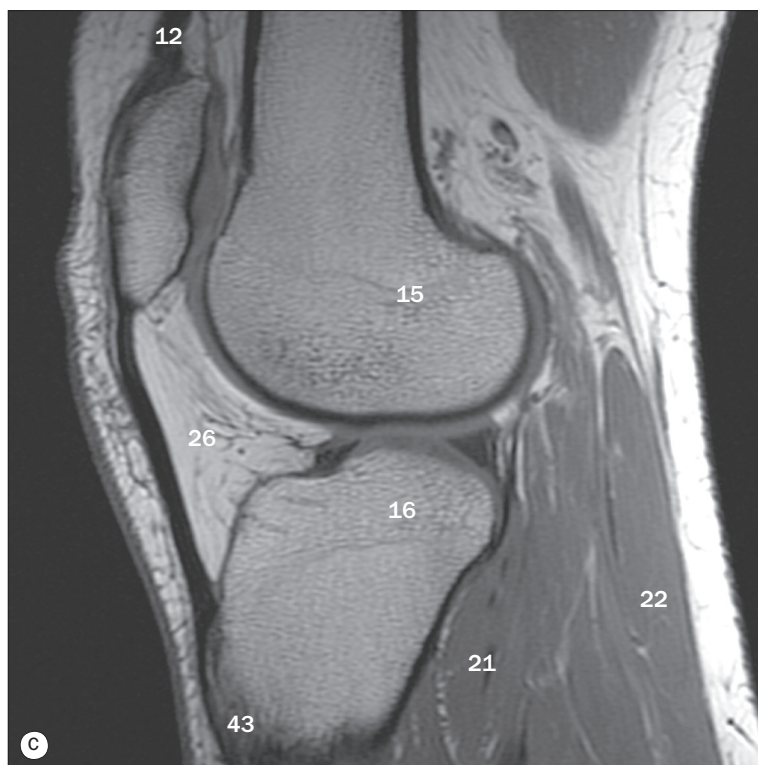
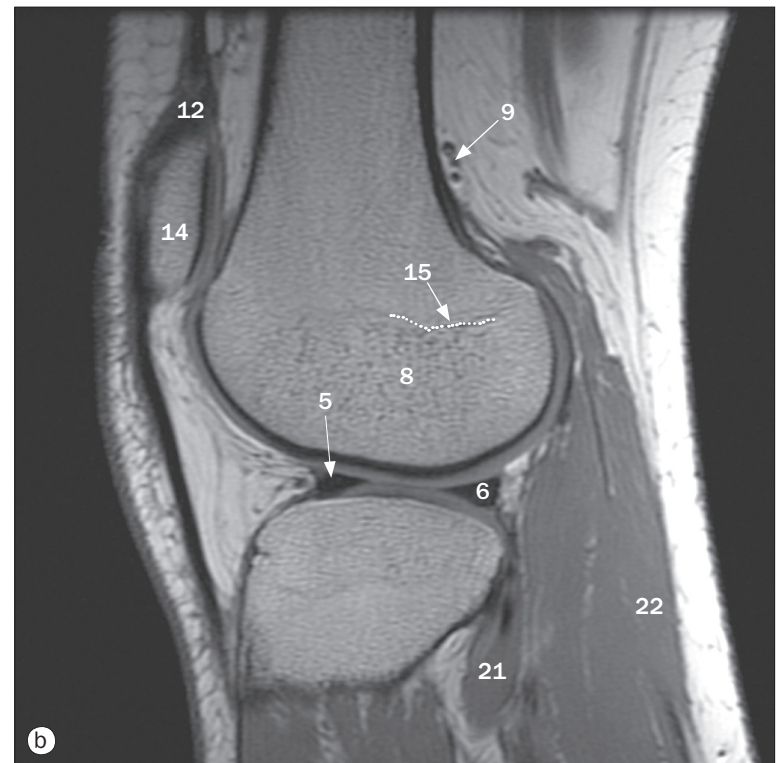
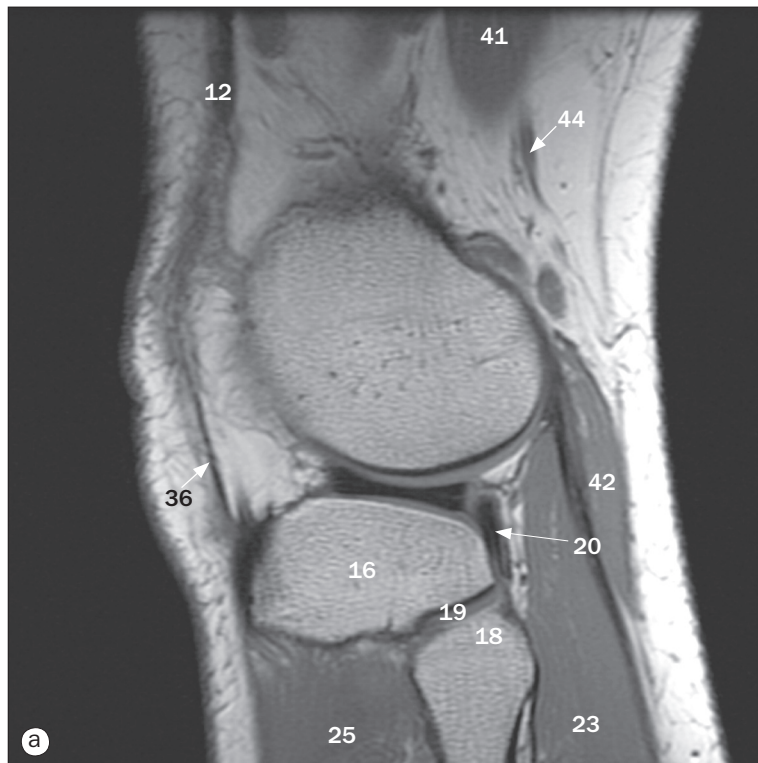


(a)–(h) Genou, IRM en coupes coronales, de postérieur à antérieur.

25 Corps du ménisque médial
26 Corps du ménisque latéral
27 Épine tibiale
28 Condyle médial du tibia
29 Condyle latéral du tibia
30 Muscle vaste médial

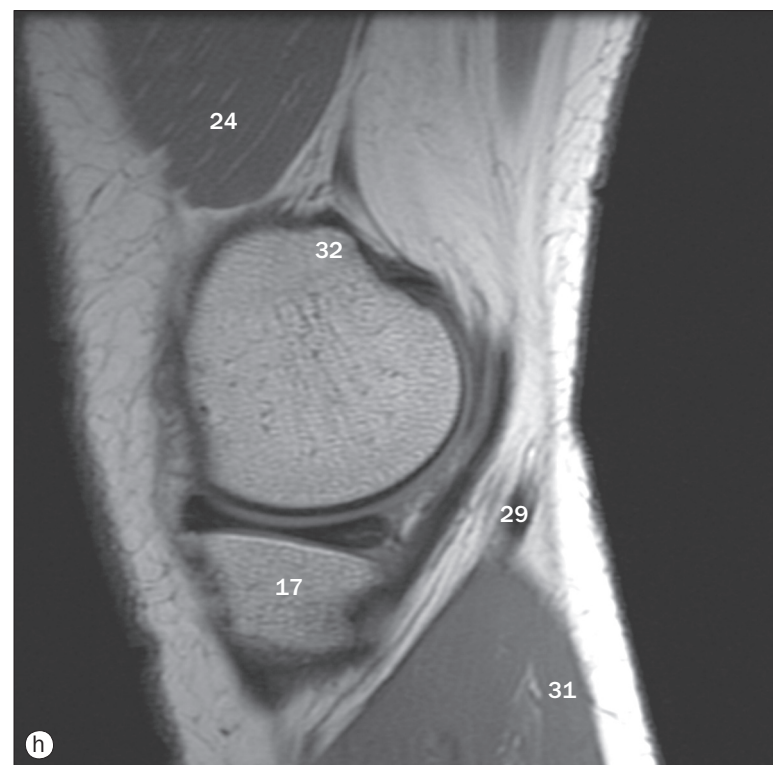
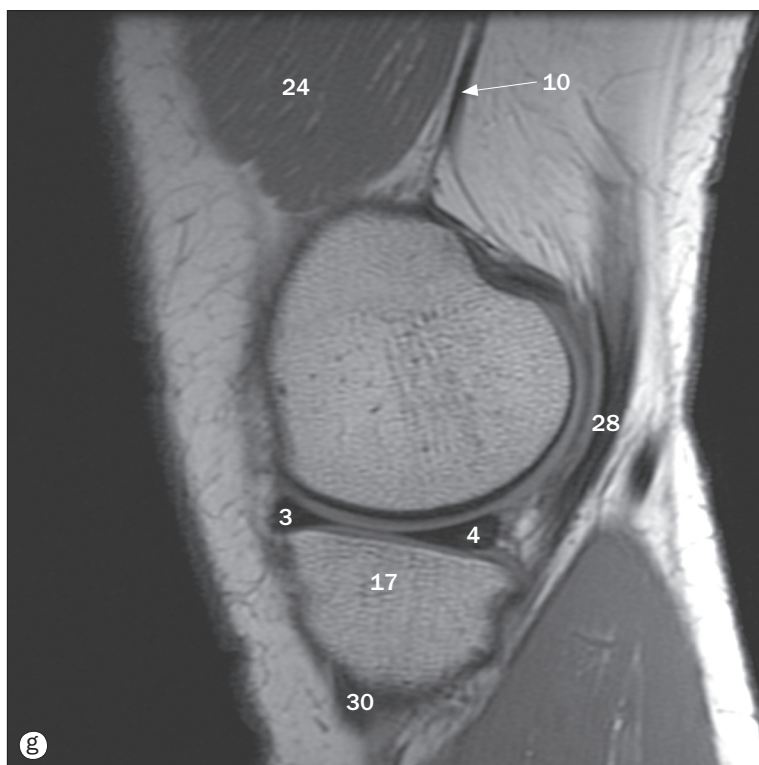
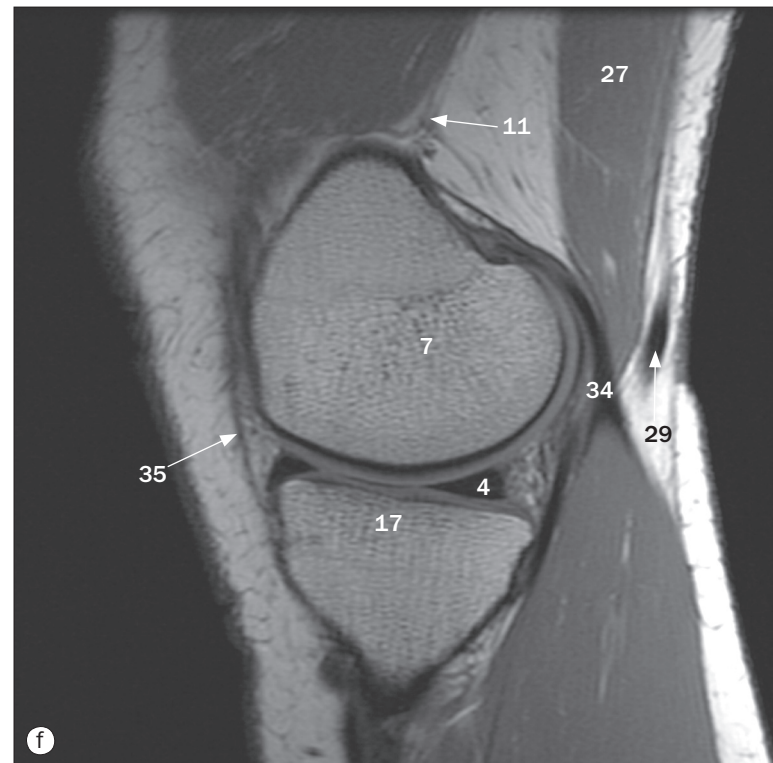
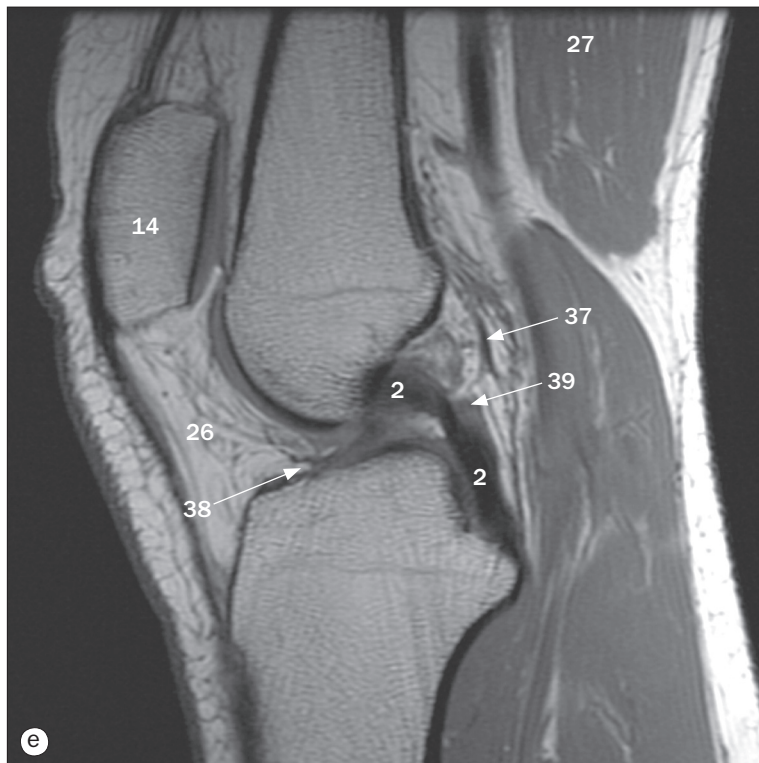
31 Artère géniculée supérolatérale
32 Artère géniculée supéromédiale
33 Partie profonde du ligament collatéral médial
34 Partie superficielle du ligament collatéral médial
35 Patte d'oie (insertions musculaires)
36 Artère géniculée inféromédiale

37 Muscle vaste latéral
38 Muscle tibial postérieur
39 Racine de la corne postérieure, ménisque médial
40 Muscle tibial antérieur
41 Nerf tibial



(a)–(h) Genou, IRM en coupes sagittales, de latéral à médial.

- | | | |
|---|--|--|
| 1 Ligament croisé antérieur | 9 Artère et veine géniculées supérolatérales | 17 Plateau tibial médial |
| 2 Ligament croisé postérieur | 10 Septum intermusculaire médian | 18 Tête de la fibula |
| 3 Corne antérieure du ménisque médial | 11 Artère géniculée supéromédiale | 19 Articulation tibiofibulaire proximale |
| 4 Corne postérieure du ménisque médial | 12 Tendon du muscle quadriceps fémoral | 20 Tendon poplité |
| 5 Corne antérieure du ménisque latéral | 13 Tendon patellaire | 21 Ventre du muscle poplité |
| 6 Corne postérieure du ménisque latéral | 14 Patella | 22 Chef latéral du muscle gastrocnémien |
| 7 Condyle médial du fémur | 15 Ligne épiphysaire/cicatrice | 23 Muscle soléaire |
| 8 Condyle latéral du fémur | 16 Plateau tibial latéral | 24 Muscle vaste médial |

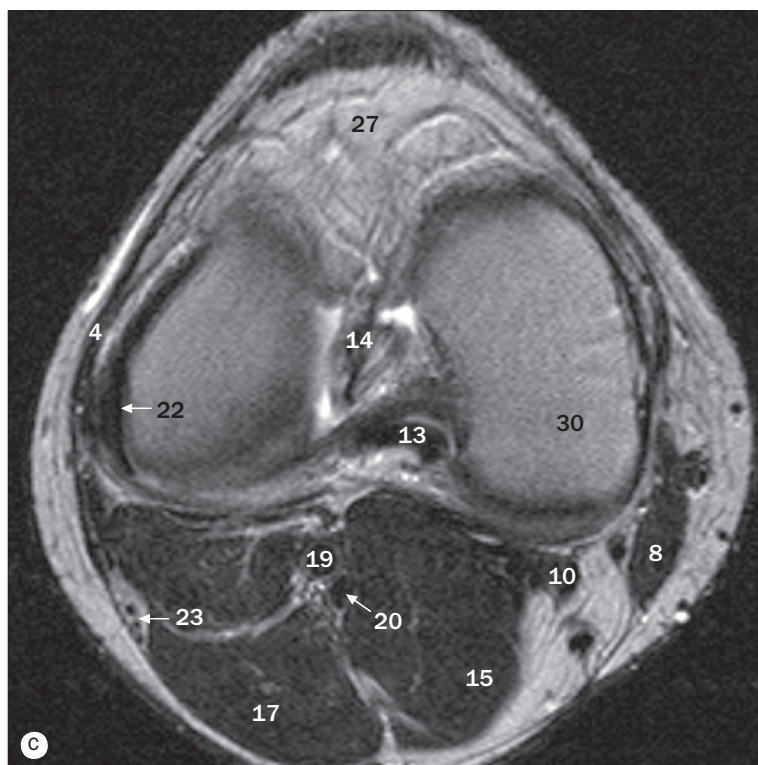
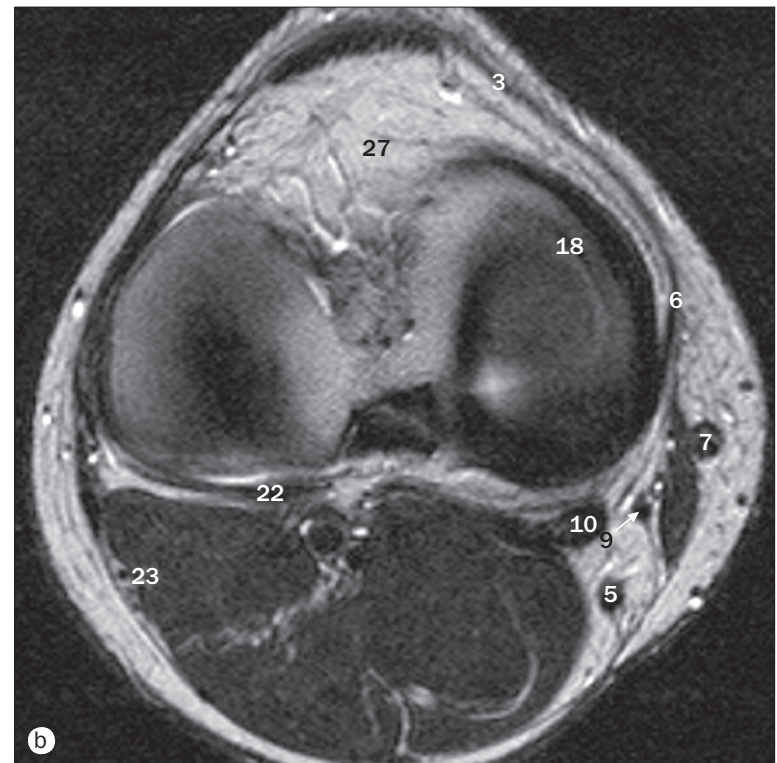
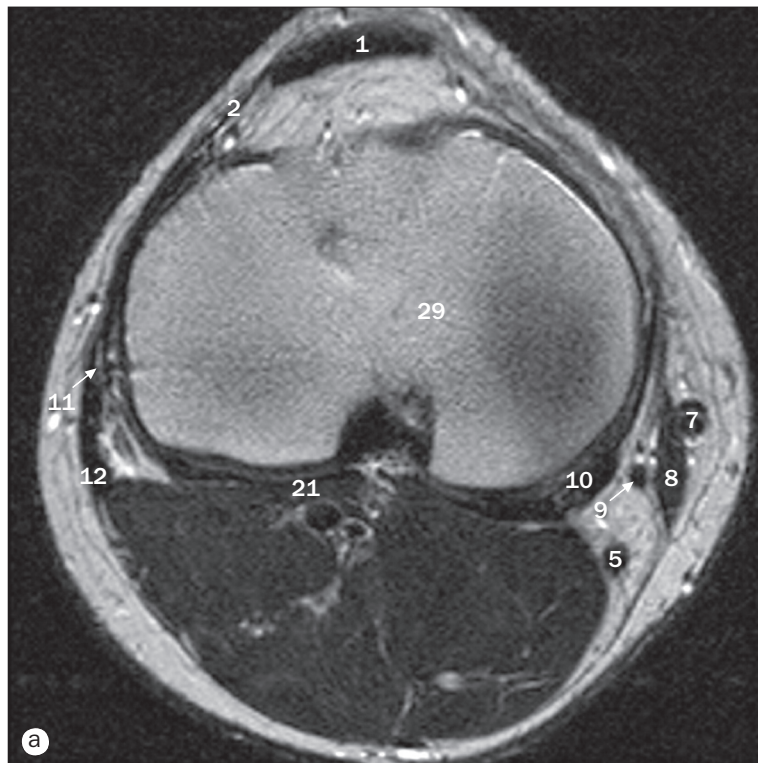


(a)–(h) Genou, IRM en coupes sagittales, de latéral à médial.

25 Muscle tibial antérieur
26 Coussinet adipeux infrapatellaire
27 Muscle semimembraneux
28 Tendon du muscle semimembraneux
29 Tendon du muscle semitendineux
30 Tendon du muscle sartorius
31 Chef médial du muscle gastrocnémien
32 Tubercule du grand adducteur

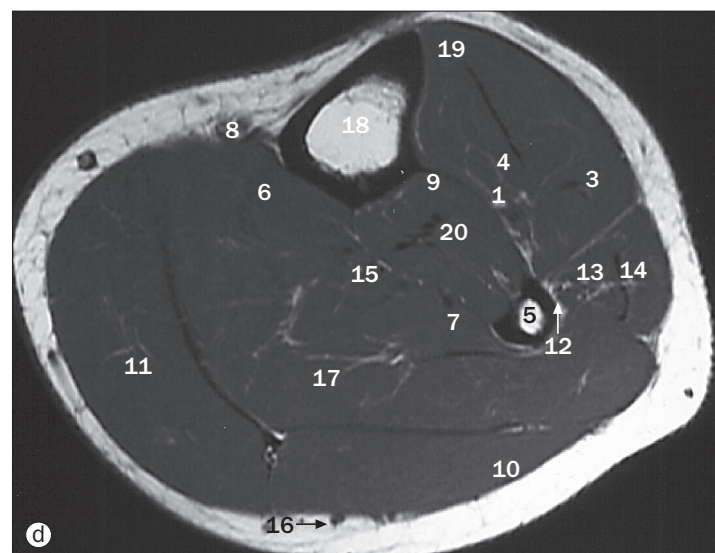
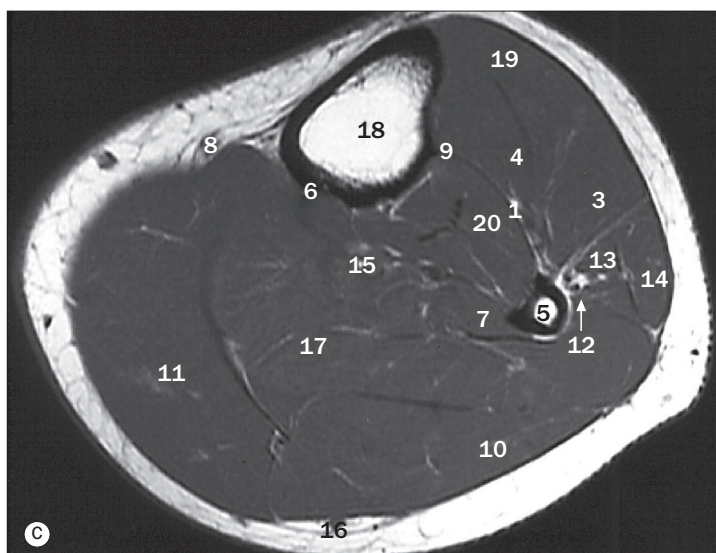
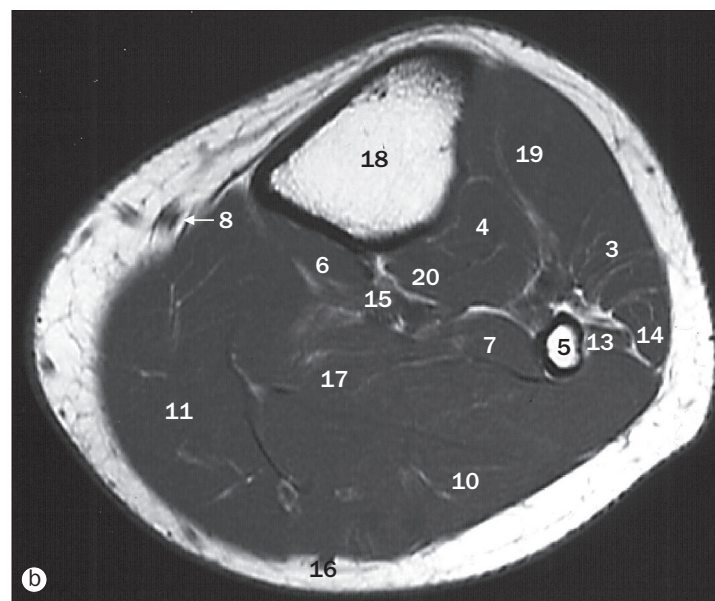
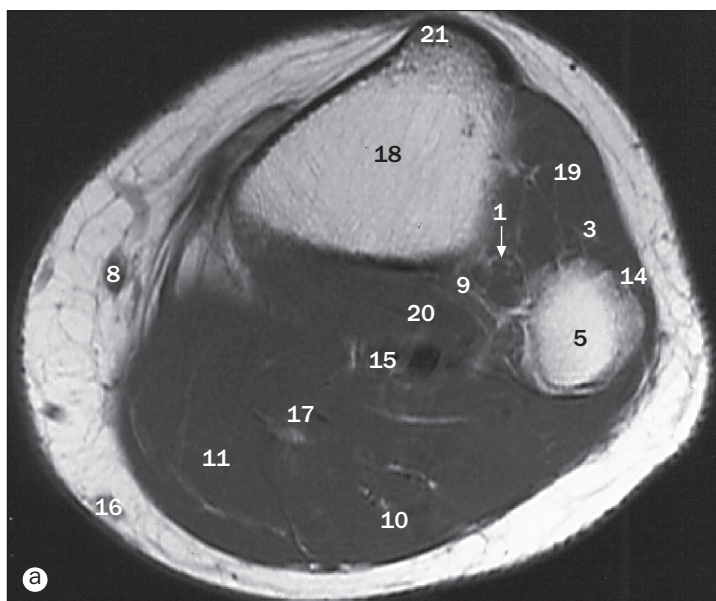
33 Artère poplitée
34 Chef médial du tendon du muscle gastrocnémien
35 Rétinaculum patellaire médial
36 Rétinaculum patellaire latéral
37 Capsule articulaire postérieure
38 Ligament transverse du genou
39 Ligament ménisocofémoral postérieur (de Wrisberg)

40 Épine tibiale
41 Muscle biceps fémoral
42 Muscle plantaire
43 Tubérosité tibiale
44 Nerf fibulaire commun



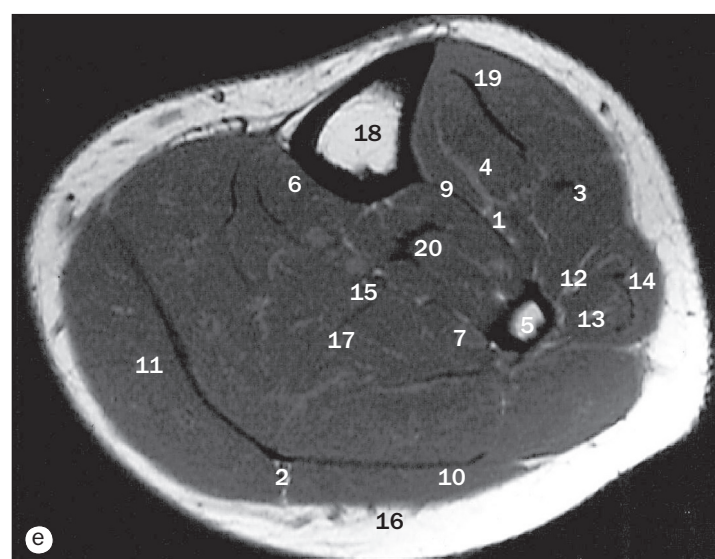
(a)–(d) Genou, IRM en coupes axiales, d'inférieur à supérieur.

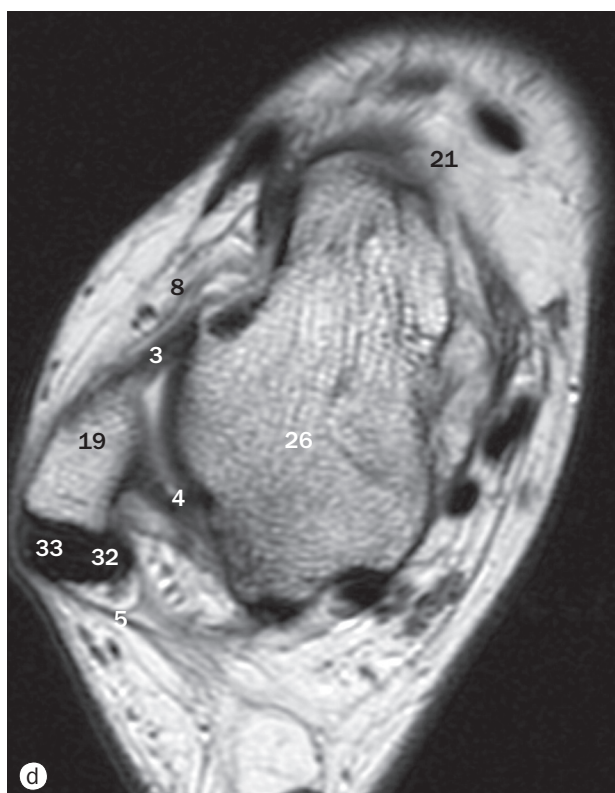
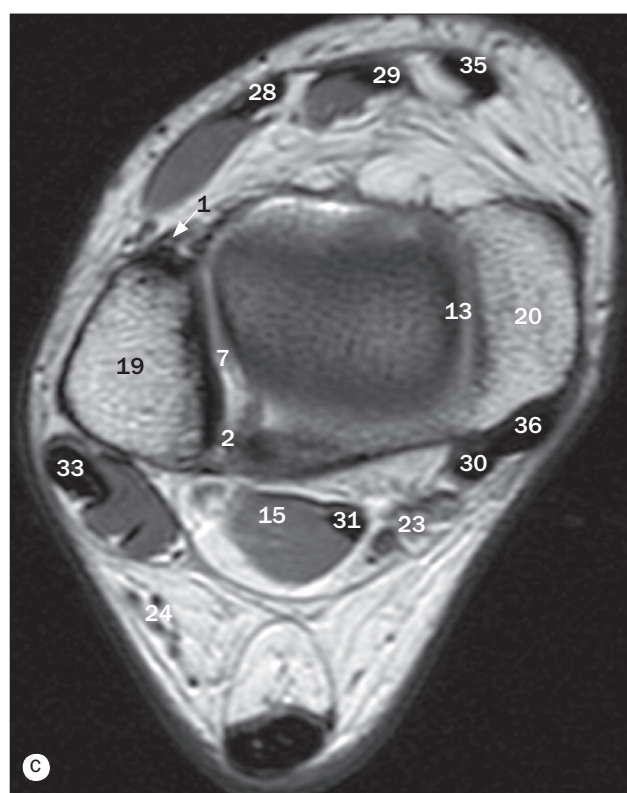
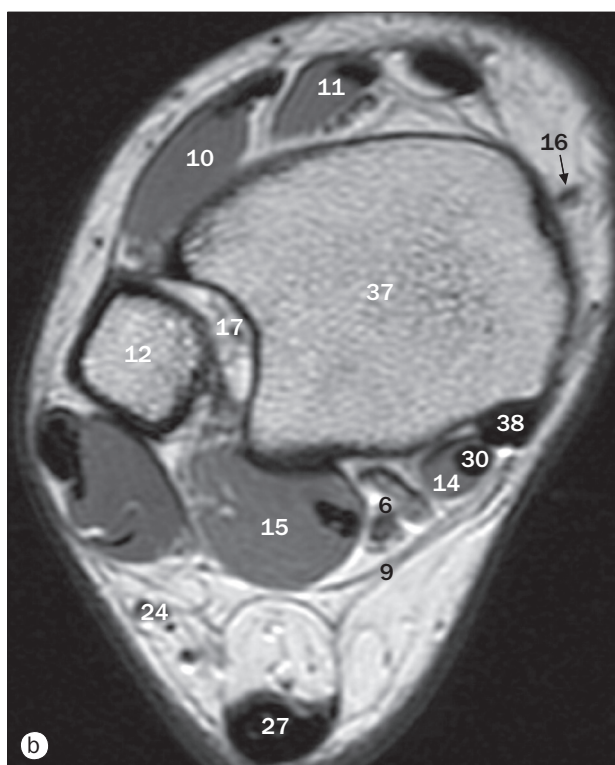
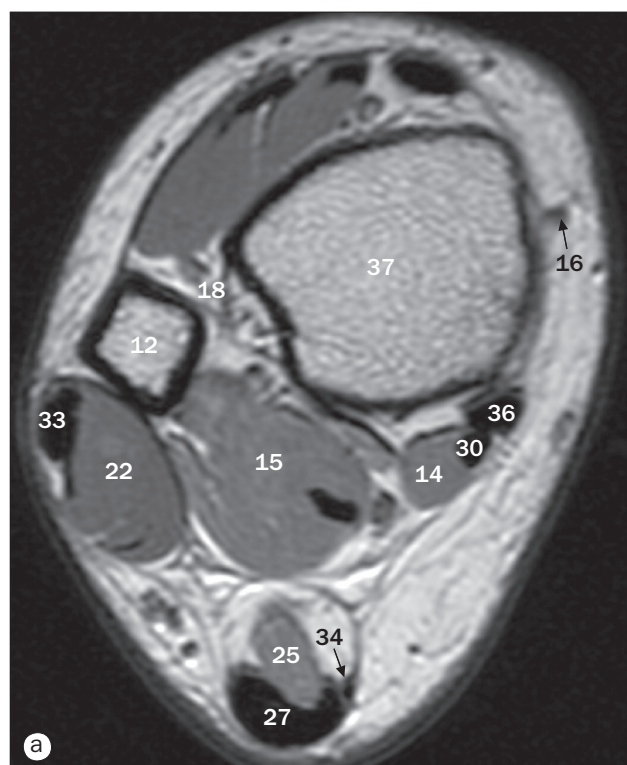
- | | | |
|------------------------------------|---|--------------------------------------|
| 1 Tendon patellaire | 12 Tendon du muscle biceps fémoral | 23 Nerf fibulaire commun |
| 2 Rétinaculum patellaire latéral | 13 Ligament croisé postérieur | 24 Patella |
| 3 Rétinaculum patellaire médial | 14 Ligament croisé antérieur | 25 Éminence intercondyloïde latérale |
| 4 Tractus iliotibial | 15 Chef médial du muscle gastrocnémien | 26 Petite veine saphène |
| 5 Tendon du muscle semitendineux | 16 Muscle biceps fémoral | 27 Coussin adipeux infrapatellaire |
| 6 Ligament collatéral médial | 17 Chef latéral du muscle gastrocnémien | 28 Fascia profond (fascia lata) |
| 7 Grande veine saphène | 18 Ménisque médial | 29 Plateau tibial |
| 8 Muscle sartorius | 19 Artère poplitée | 30 Condyle médial du fémur |
| 9 Tendon du muscle gracile | 20 Veine poplitée | 31 Condyle latéral du fémur |
| 10 Tendon du muscle semimembraneux | 21 Muscle poplité | |
| 11 Ligament collatéral latéral | 22 Tendon poplitée | |



(a)-(e) Jambe, IRM en coupes axiales.

- | | |
|---------------------------------------|---|
| 1 Artère tibiale antérieure | 10 Chef latéral du muscle gastrocnémien |
| 2 Fascia du muscle gastrocnémien | 11 Chef médial du muscle gastrocnémien |
| 3 Muscle long extenseur des orteils | 12 Artère fibulaire |
| 4 Muscle long extenseur de l'hallux | 13 Muscle court fibulaire |
| 5 Fibula | 14 Muscle long fibulaire |
| 6 Muscle long fléchisseur des orteils | 15 Artère tibiale postérieure |
| 7 Muscle long fléchisseur de l'hallux | 16 Petite veine saphène |
| 8 Grande veine saphène | 17 Muscle soléaire |
| 9 Ligament interosseux | 18 Tibia |
| | 19 Muscle tibial antérieur |
| | 20 Muscle tibial postérieur |
| | 21 Tubérosité du tibia |





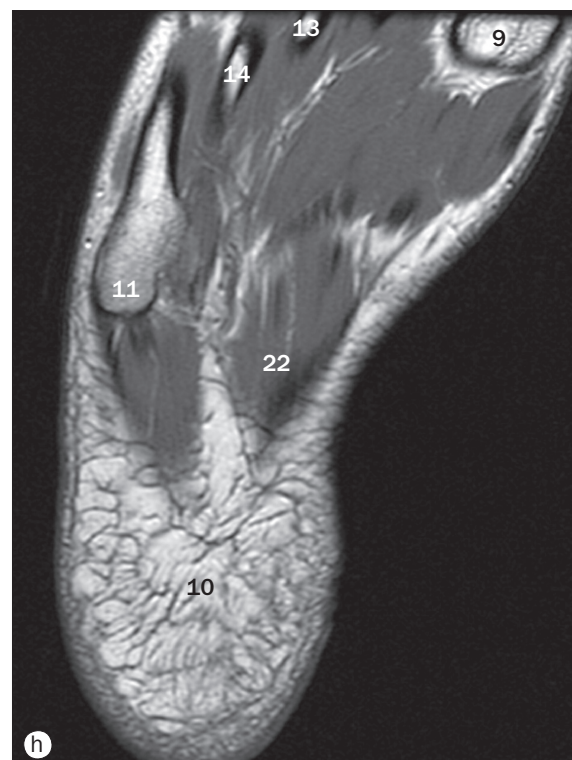
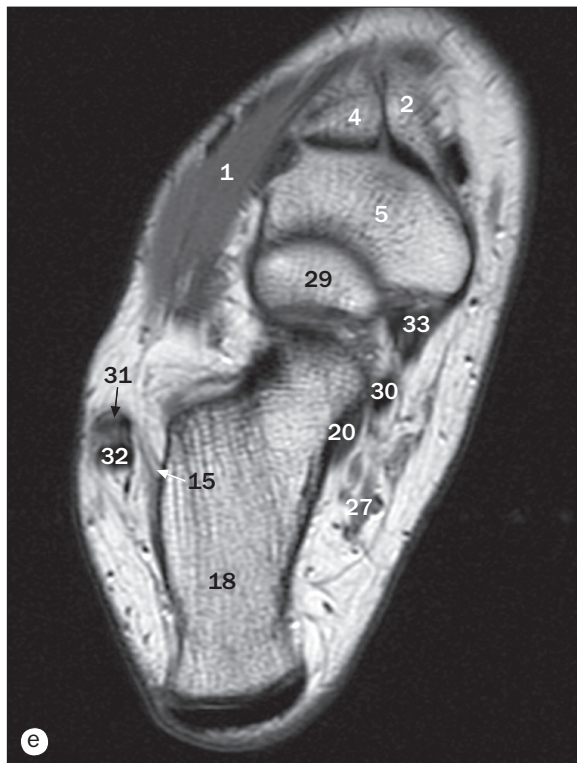
- 1 Ligament tibiofibulaire antéro-inférieur
- 2 Ligament tibiofibulaire postéro-inférieur
- 3 Ligament talofibulaire antérieur
- 4 Ligament talofibulaire postérieur
- 5 Rétinaculum fibulaire
- 6 Pédicule neurovasculaire
- 7 Articulation talofibulaire
- 8 Rétinaculum des extenseurs
- 9 Rétinaculum des fléchisseurs
- 10 Muscle long extenseur des orteils
- 11 Muscle long extenseur de l'hallux
- 12 Fibula
- 13 Articulation tibiotarsienne
- 14 Muscle long fléchisseur des orteils
- 15 Muscle long fléchisseur de l'hallux
- 16 Grande veine saphène
- 17 Articulation tibiofibulaire inférieure
- 18 Ligament interosseux
- 19 Malléole latérale
- 20 Malléole médiale
- 21 Os naviculaire
- 22 Muscle court fibulaire
- 23 Artère et veine tibiales postérieures
- 24 Petite veine saphène

(a)–(h) Cheville, IRM en coupes axiales, de supérieur à inférieur.

- 25 Muscle soléaire
- 26 Talus
- 27 Tendon calcanéen (d'Achille)
- 28 Tendon du muscle long extenseur des orteils
- 29 Tendon du muscle long extenseur de l'hallux

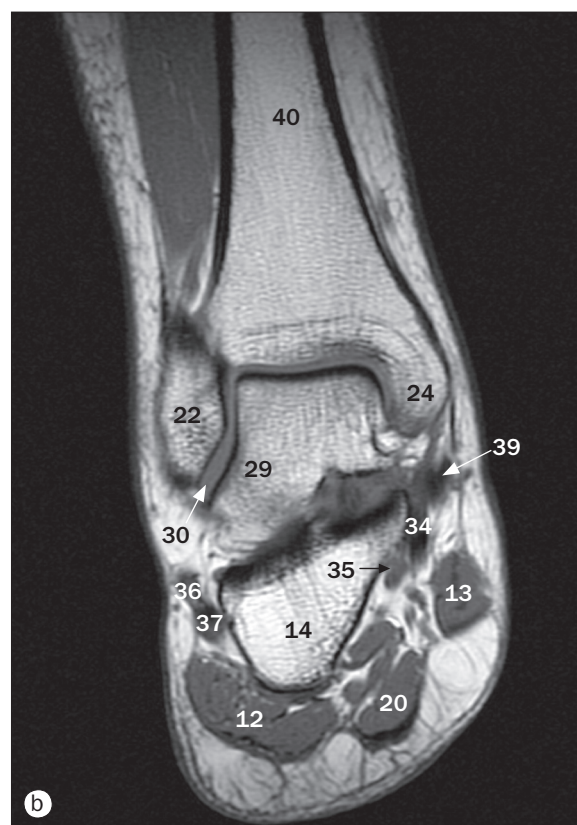
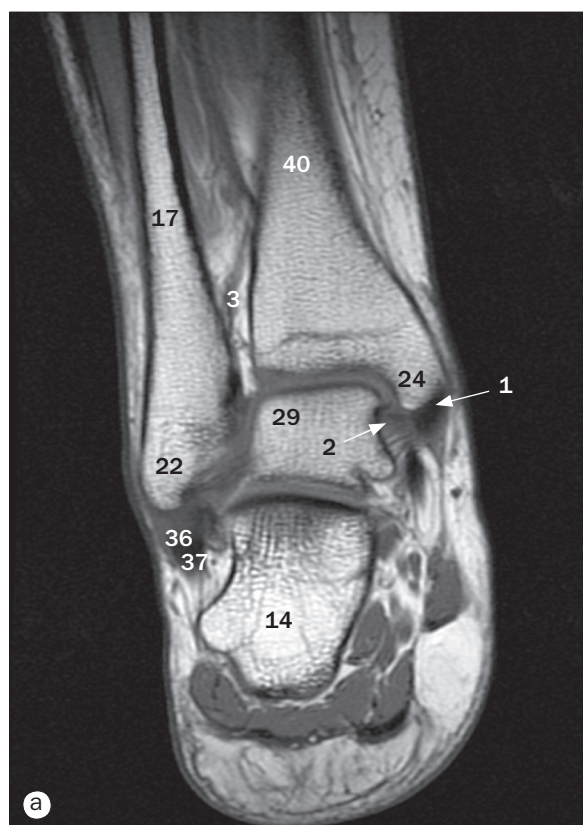
- 30 Tendon du muscle long fléchisseur des orteils
- 31 Tendon du muscle long fléchisseur de l'hallux
- 32 Tendon du muscle court fibulaire
- 33 Tendon du muscle long fibulaire

- 34 Tendon du muscle plantaire
- 35 Tendon du muscle tibial antérieur
- 36 Tendon du muscle tibial postérieur
- 37 Tibia
- 38 Muscle tibial postérieur

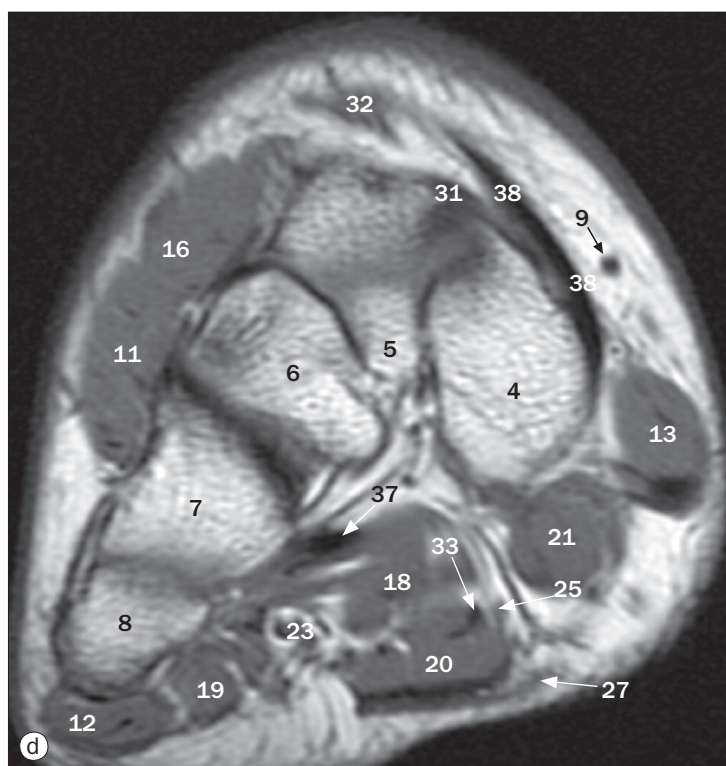
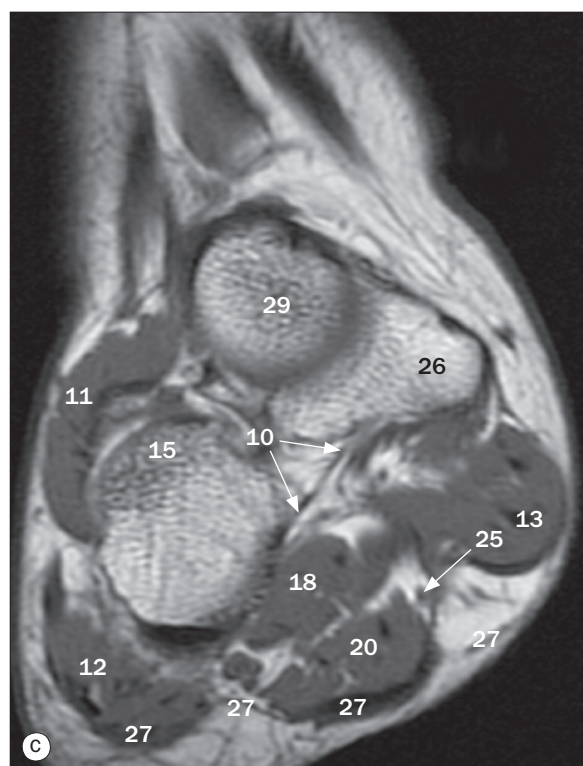


- 1 Muscle court extenseur des orteils
- 2 Cunéiforme médial
- 3 Cunéiforme latéral
- 4 Cunéiforme intermédiaire
- 5 Os naviculaire
- 6 Os cuboïde
- 7 Nerf et vaisseaux plantaires médiaux
- 8 Nerf et vaisseaux plantaires latéraux
- 9 Tête du 1^{er} métatarsien
- 10 Coussinet adipeux du talon
- 11 Base (tubérosité) du 1^{er} métatarsien
- 12 2^e métatarsien
- 13 3^e métatarsien
- 14 4^e métatarsien
- 15 Ligament calcanéofibulaire
- 16 Muscle abducteur du petit orteil
- 17 Muscle abducteur de l'hallux
- 18 Calcanéus
- 19 Ligament deltoïde
- 20 Tendon du muscle long fléchisseur de l'hallux
- 21 Muscle carré plantaire
- 22 Muscle court fléchisseur des orteils
- 23 Articulation tibiofibulaire inférieure
- 24 Malléole latérale
- 25 Malléole médiale
- 26 Aponévrose plantaire
- 27 Artère tibiale postérieure
- 28 Sustentaculum tali
- 29 Tête du talus
- 30 Tendon du muscle long fléchisseur des orteils
- 31 Tendon du muscle court fibulaire
- 32 Tendon du muscle long fibulaire
- 33 Tendon du muscle tibial postérieur

(a)–(h) Cheville, IRM en coupes axiales, de supérieur à inférieur.



- 1 Ligament deltoïde, partie superficielle
- 2 Ligament deltoïde, partie profonde
- 3 Ligament tibiofibulaire
- 4 1^{er} métatarsien
- 5 2^e métatarsien
- 6 3^e métatarsien
- 7 4^e métatarsien
- 8 5^e métatarsien
- 9 Grande veine saphène
- 10 Ligament calcanéonaviculaire plantaire
- 11 Muscle court extenseur des orteils
- 12 Muscle abducteur du petit orteil
- 13 Muscle adducteur de l'hallux
- 14 Calcanéus
- 15 Os cuboïde
- 16 Muscle court extenseur des orteils
- 17 Fibula
- 18 Muscle carré plantaire

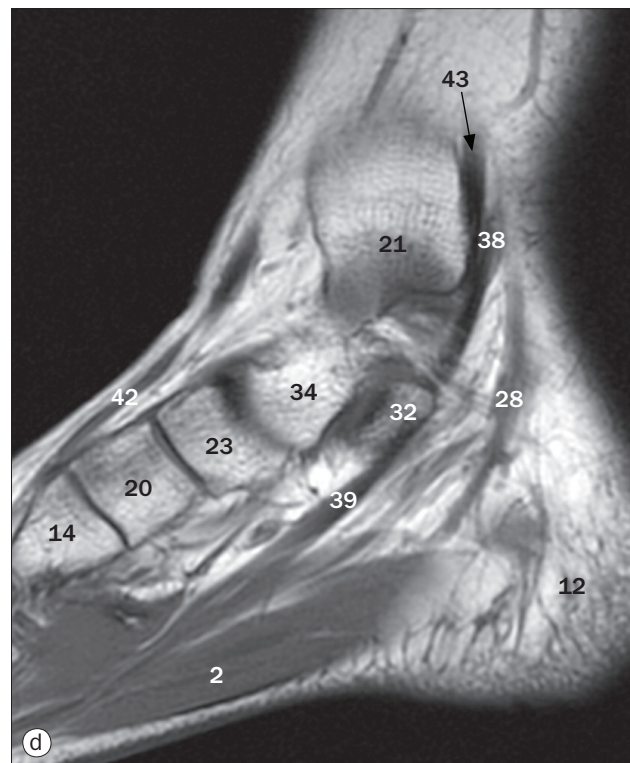
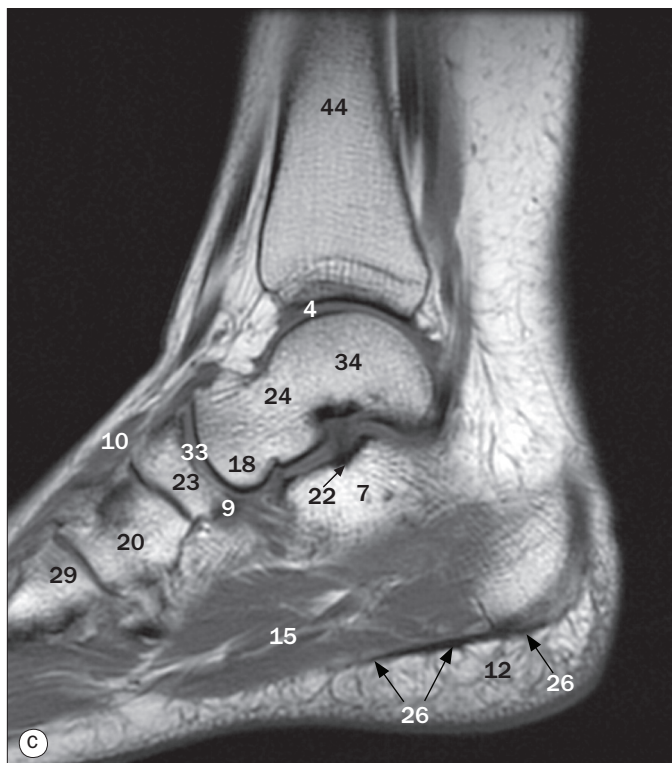
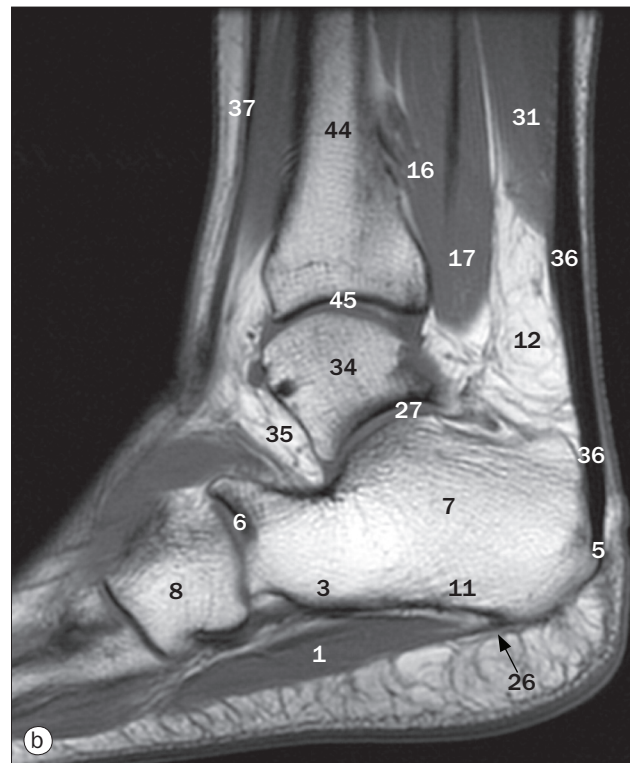
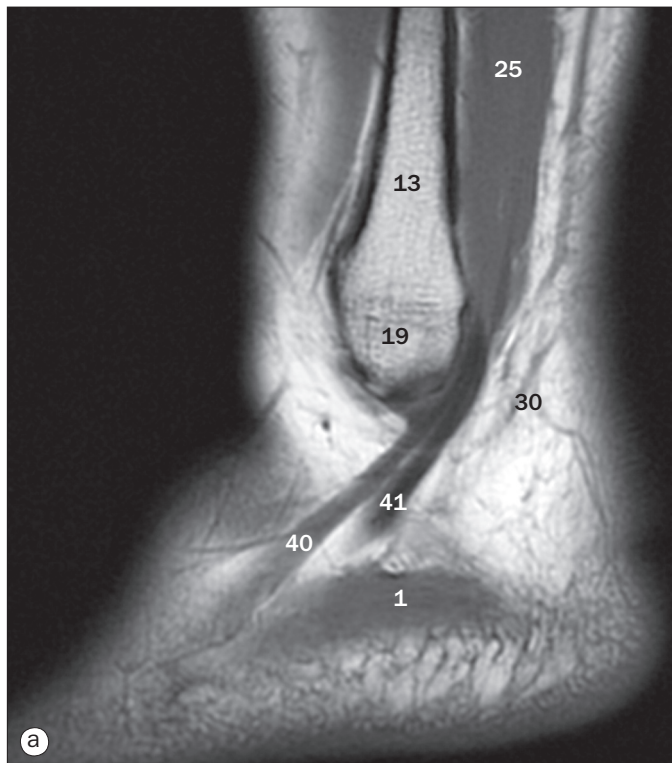


(a)–(d) Cheville et pied, IRM en coupes coronales.

- 19 Muscle fléchisseur du petit orteil
- 20 Muscle court fléchisseur des orteils
- 21 Muscle court fléchisseur de l'hallux
- 22 Malléole latérale
- 23 Nerf et vaisseaux plantaires latéraux
- 24 Malléole médiale
- 25 Nerf et artère plantaires médiaux
- 26 Os naviculaire
- 27 Aponévrose plantaire

- 28 Sustentaculum tali
- 29 Talus
- 30 Articulation talofibulaire
- 31 Tendon du muscle long extenseur des orteils
- 32 Tendon du muscle long extenseur de l'hallux
- 33 Tendon du muscle court fléchisseur des orteils

- 34 Tendon du muscle long fléchisseur des orteils
- 35 Tendon du muscle long fléchisseur de l'hallux
- 36 Tendon du muscle court fibulaire
- 37 Tendon et muscle longs fibulaires
- 38 Tendon du muscle tibial antérieur
- 39 Tendon du muscle tibial postérieur
- 40 Tibia



- 1 Muscle abducteur du petit orteil
- 2 Muscle abducteur de l'hallux
- 3 Tubercule antérieur du calcaneus
- 4 Cartilage articulaire
- 5 Terminaison du tendon calcanéen
- 6 Articulation calcanéo-cuboïdienne
- 7 Calcaneus
- 8 Os cuboïde
- 9 Articulation cunéonaviculaire
- 10 Muscle court extenseur des orteils
- 11 Processus latéral du calcaneus
- 12 Coussinet adipeux
- 13 Fibula
- 14 1^{er} métatarsien
- 15 Muscle court fléchisseur des orteils
- 16 Muscle long fléchisseur des orteils
- 17 Muscle long fléchisseur de l'hallux
- 18 Tête du talus
- 19 Malléole latérale
- 20 Cunéiforme médial
- 21 Malléole médiale
- 22 Facette moyenne, articulation subtalaire
- 23 Os naviculaire
- 24 Col du talus
- 25 Muscle court fibulaire

(a)–(d) Cheville, IRM en coupes sagittales, de latéral à médial.

- 26 Aponévrose plantaire
- 27 Articulation subtalaire postérieure
- 28 Artère et veine tibiales postérieures
- 29 Base du métatarsien
- 30 Petite veine saphène
- 31 Muscle soléaire
- 32 Sustentaculum tali
- 33 Articulation talonaviculaire

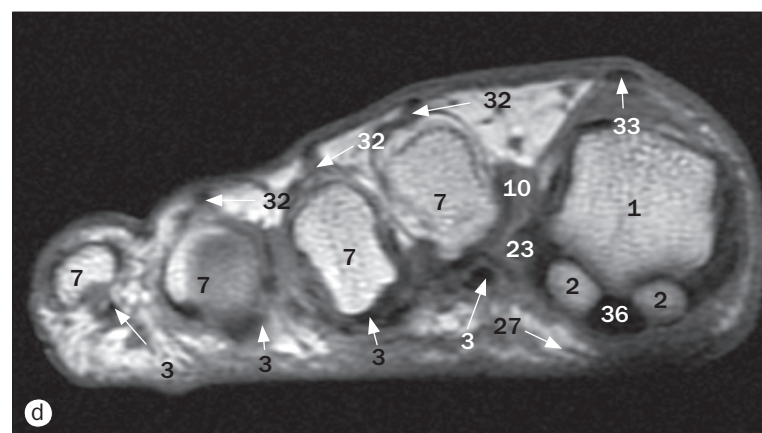
- 34 Talus
- 35 Sinus du tarse
- 36 Tendon calcanéen
- 37 Tendon du muscle long extenseur des orteils
- 38 Tendon du muscle long fléchisseur des orteils
- 39 Tendon du muscle long fléchisseur de l'hallux

- 40 Tendon du muscle court fibulaire
- 41 Tendon du muscle long fibulaire
- 42 Tendon du muscle tibial antérieur
- 43 Tendon du muscle tibial postérieur
- 44 Tibia
- 45 Partie tibiotalienne de l'articulation de la cheville



- 1 Tête du 1^{er} métatarsien
- 2 Os sésamoïdes
dans le muscle court
fléchisseur de l'hallux
- 3 Muscle long fléchisseur
des orteils
- 4 Muscle abducteur
du petit orteil
- 5 Muscle adducteur
de l'hallux et son tendon
- 6 Base du métatarsien
- 7 Base de la phalange
proximale
- 8 Calcanéus
- 9 Os cuboïde
- 10 Muscle interosseux
dorsal
- 11 Muscle court extenseur
des orteils
- 12 Muscle carré plantaire
- 13 Muscle fléchisseur
du petit orteil
- 14 Muscle court
fléchisseur des orteils
- 15 Muscle court
fléchisseur de l'hallux
- 16 Tête du talus
- 17 Cunéiforme
intermédiaire
- 18 Muscles interosseux
- 19 Cunéiforme latéral

(a)–(b) Pied, IRM en coupes coronales.

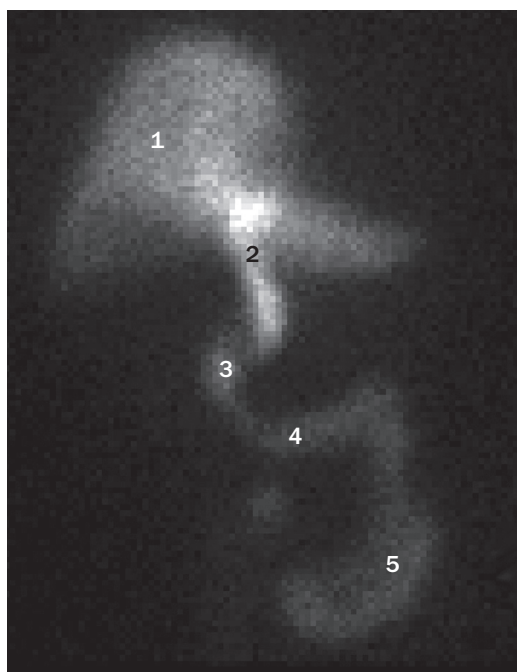


(c)–(d) Pied, IRM en coupes axiales.

- 34 Tendon du muscle court fléchisseur des orteils
- 35 Tendon du muscle long fléchisseur des orteils
- 36 Tendon du muscle long fléchisseur de l'hallux
- 37 Tendon du muscle court fibulaire
- 38 Tendon du muscle long fibulaire

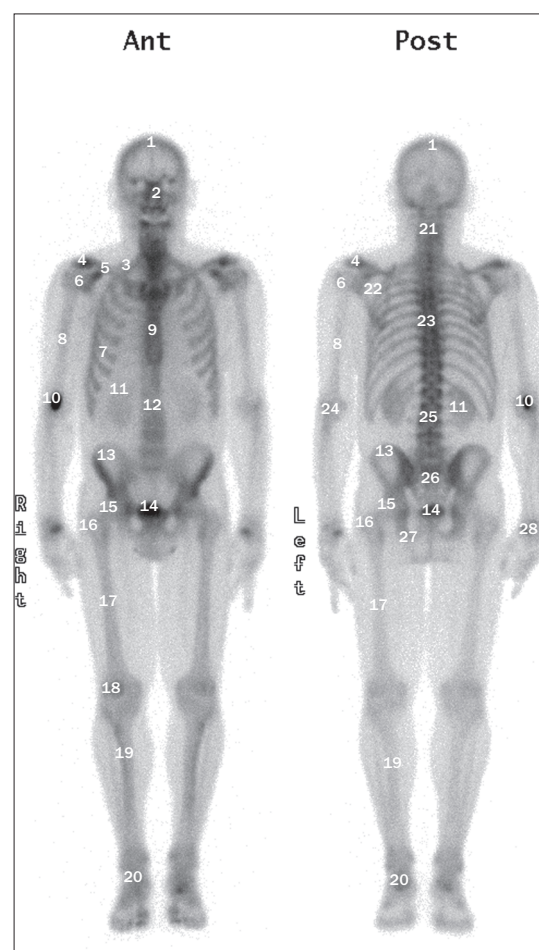
8

Médecine nucléaire



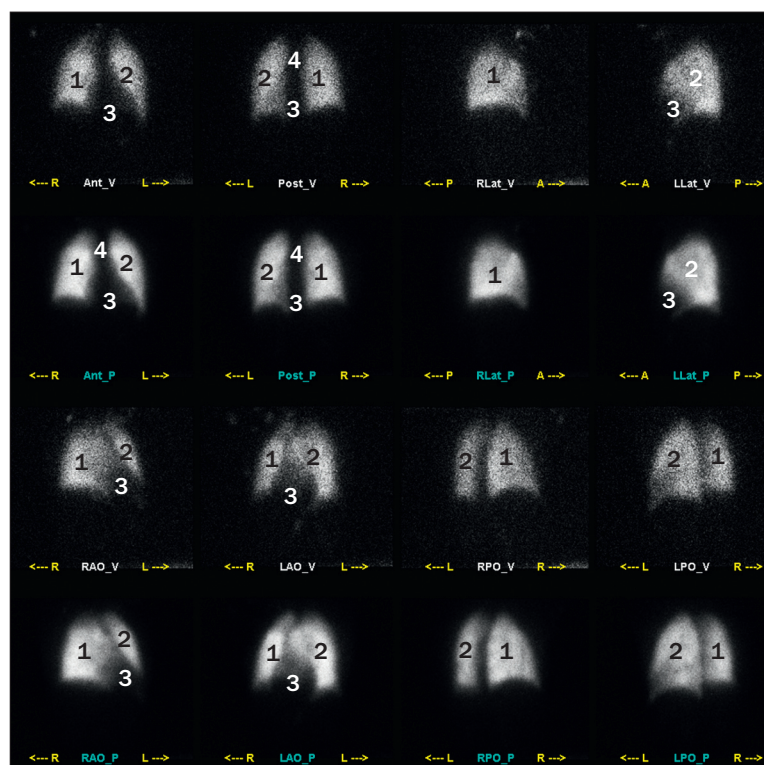
Scintigraphie hépatobiliaire. Les marqueurs injectés pour cet examen sont rapidement éliminés du sang. Les hépatocytes extraient la majeure partie de la dose injectée et l'éliminent dans l'arbre biliaire intrahépatique, à partir d'où le traceur se dirige vers les canaux hépatique et biliaire. Le produit remplit souvent passivement la vésicule biliaire (cela n'est pas visible ici ; les raisons en sont diverses : vésicule biliaire réséquée, ou bien distendue, ou contractée activement durant l'examen, ou encore le patient a été longtemps à jeun avant l'imagerie). Puis le produit pénètre dans le duodénum à travers l'ampoule hépatopancréatique (de Vater) et, finalement, dans l'intestin grêle.

- 1 Foie
- 2 Canal biliaire
- 3 Partie descendante (deuxième) du duodénum
- 4 Partie horizontale (troisième) du duodénum
- 5 Jéjunum



Scintigraphie osseuse corps entier. Pour les scintigraphies osseuses, on utilise des marqueurs physiologiques pour détecter de légères anomalies du métabolisme osseux. Ils sont utilisés pour mettre en évidence des anomalies squelettiques dues à des pathologies infectieuses, traumatiques, congénitales, métaboliques et malignes. Bien que l'os fixe le produit, une certaine quantité reste dans le volume sanguin avant d'être finalement éliminée par les reins.

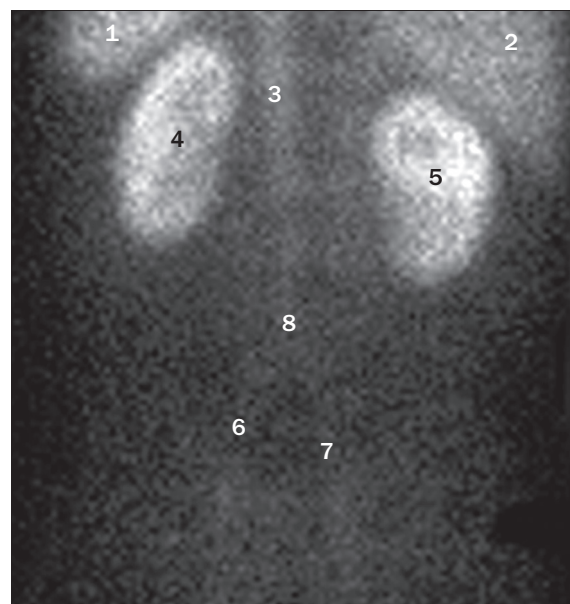
- | | |
|--|--|
| 1 Crâne | 13 Os coxal |
| 2 Nez et os de la face | 14 Vessie |
| 3 1 ^{re} côte | 15 Tête du fémur |
| 4 Articulation acromioclaviculaire | 16 Grand trochanter du fémur |
| 5 Clavicule | 17 Diaphyse fémorale |
| 6 Tête de l'humérus | 18 Patella |
| 7 5 ^e côte | 19 Tibia |
| 8 Diaphyse de l'humérus | 20 Cheville |
| 9 Sternum | 21 Colonne cervicale |
| 10 Épanchement dans les tissus mous au site d'injection dans le pli du coude | 22 Scapula |
| 11 Rein droit | 23 Colonne thoracique |
| 12 Corps des vertèbres lombales | 24 Coude |
| | 25 Corps de la 3 ^e vertèbre lombale |
| | 26 Sacrum |
| | 27 Tubérosité ischiatique |
| | 28 Poignet |



Scintigraphie pulmonaire. La réalisation d'une imagerie des poumons implique à la fois la ventilation et la perfusion. À l'état normal, toutes deux coïncident. L'ordre selon lequel la ventilation et la perfusion sont examinées dépend des produits employés. L'imagerie de la ventilation comme de la perfusion permet d'évaluer les poumons dans huit incidences (antérieure, postérieure, latérale droite, latérale gauche, oblique antérieure droite, oblique antérieure gauche, oblique postérieure droite et oblique postérieure gauche). Les première et troisième incidences concernent la ventilation, et les deuxième et quatrième, la perfusion correspondante.

1 Poumon droit
2 Poumon gauche

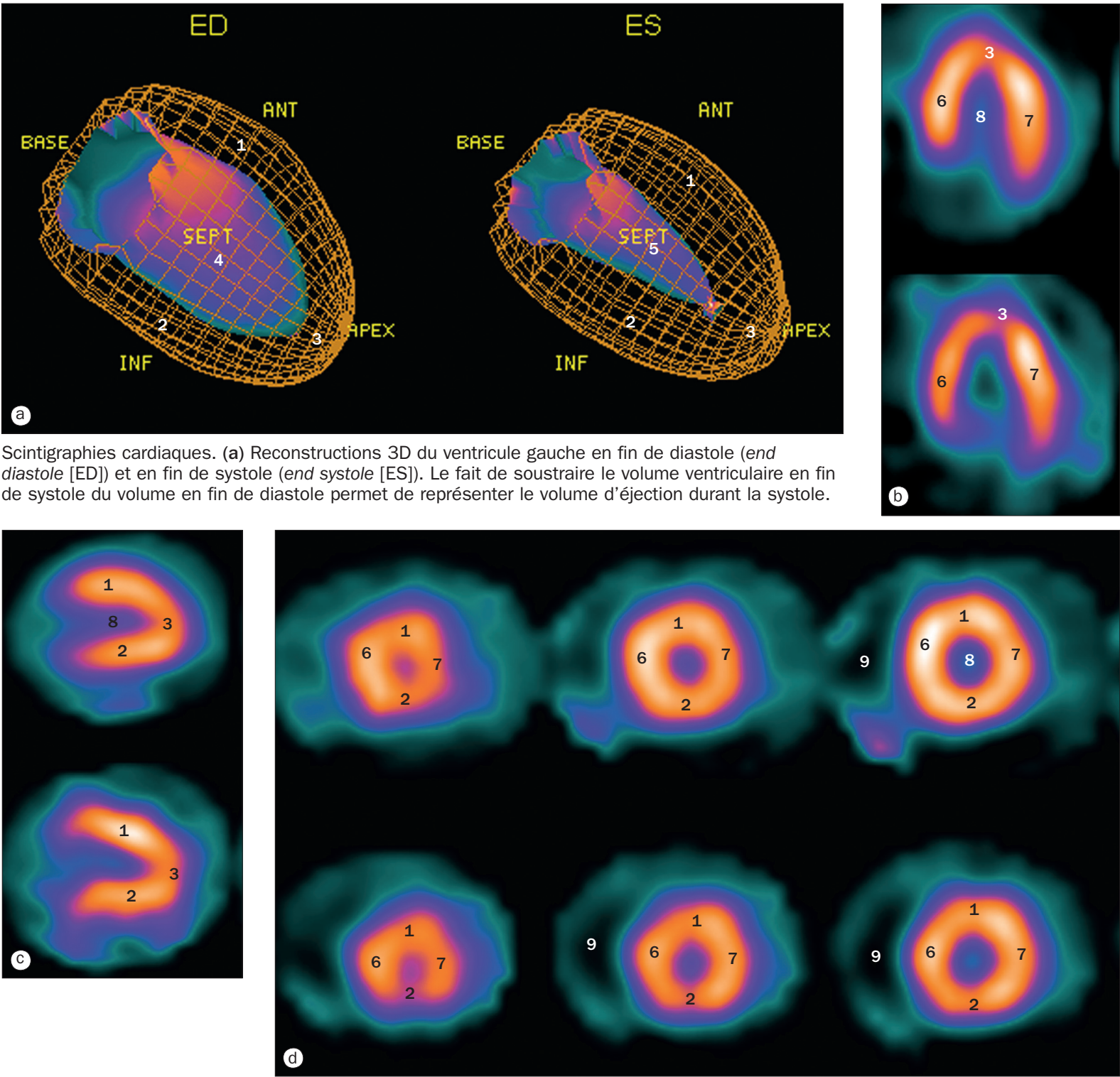
3 Contour du cœur
4 Médiastin



Scintigraphie rénale. L'imagerie des reins est réalisée avec la caméra placée sur le dos du patient, les reins étant proches de la surface cutanée, ce qui permet d'optimiser l'activité des reins. En fonction du produit radiopharmaceutique utilisé, il est possible d'examiner les structures en rapport avec les reins et/ou la fonction de ces derniers. En général, au cours d'une imagerie rénale, il est possible d'évaluer la perfusion et l'élimination du produit. Au stade précoce de l'imagerie, une certaine quantité du produit reste dans le volume sanguin, ce qui permet de visualiser les structures environnantes.

1 Rate
2 Foie
3 Aorte abdominale
4 Rein gauche
5 Rein droit

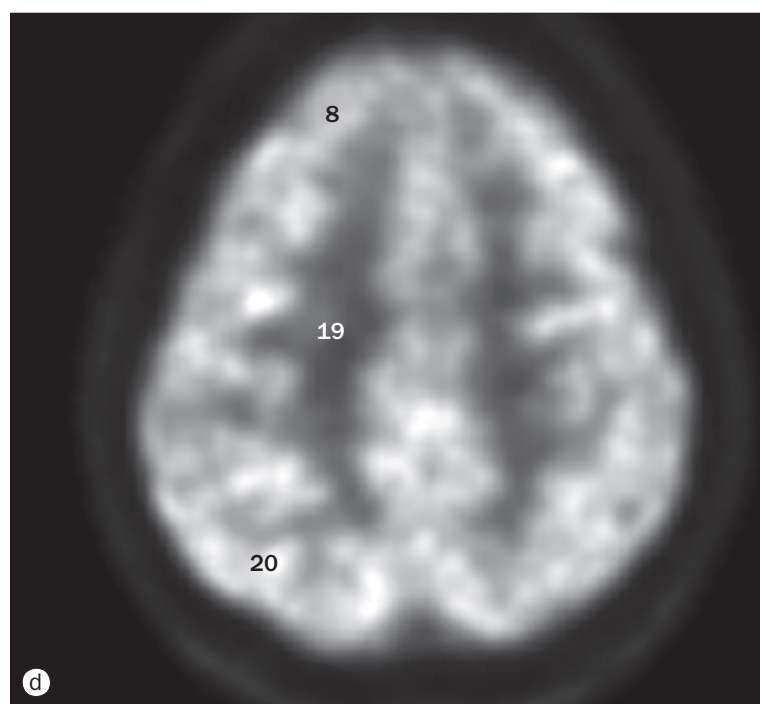
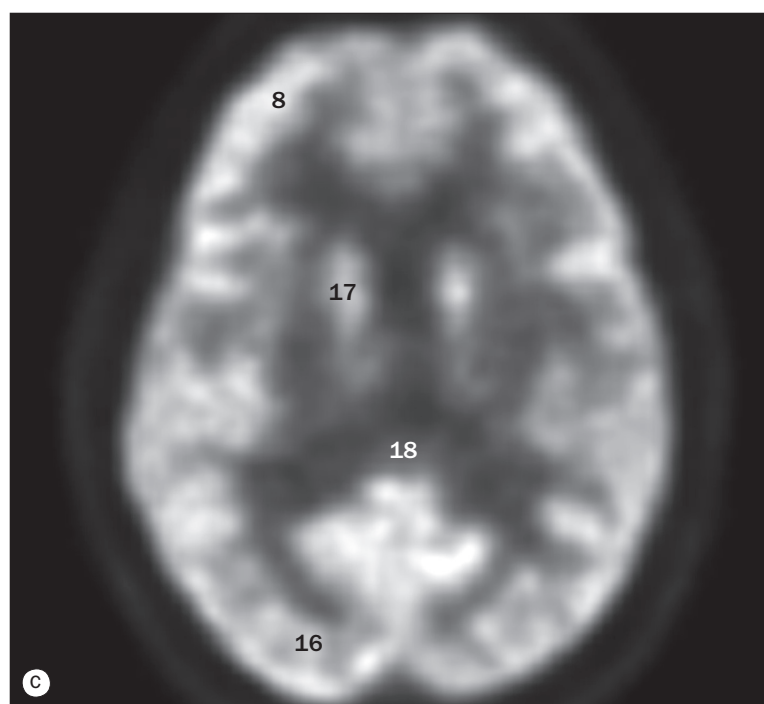
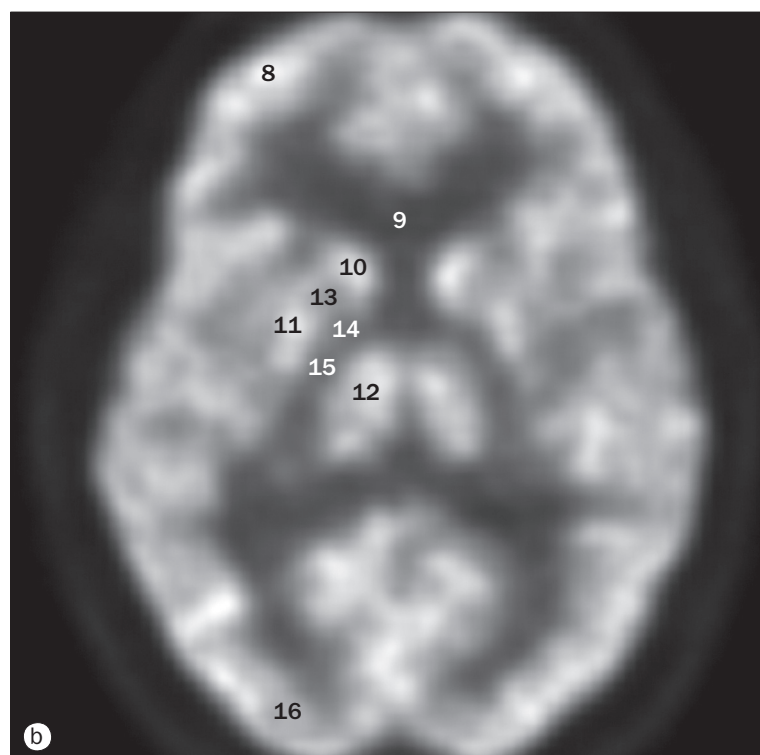
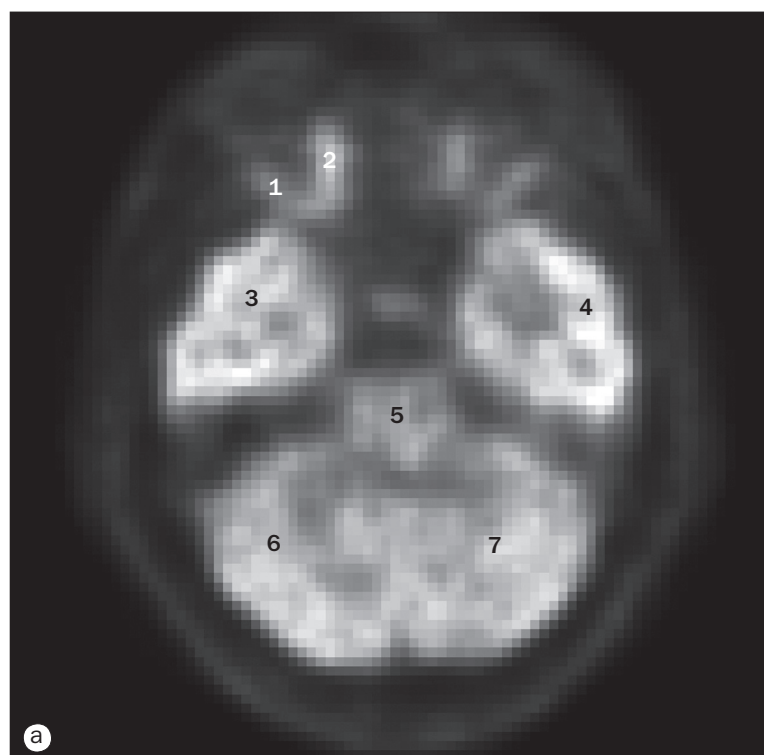
6 Artère iliaque commune gauche
7 Artère iliaque commune droite
8 Bifurcation de l'aorte abdominale



Scintigraphies cardiaques. (a) Reconstructions 3D du ventricule gauche en fin de diastole (*end diastole* [ED]) et en fin de systole (*end systole* [ES]). Le fait de soustraire le volume ventriculaire en fin de systole du volume en fin de diastole permet de représenter le volume d'éjection durant la systole.

Scintigraphies cardiaques. (b)–(d) Ces images ont été réalisées lors d'épreuves d'effort (exercice ou administration d'un produit pharmaceutique), qui figurent sur les images du haut, et lors de moments de repos, représentés sur les images du bas. La comparaison de ces images permet de déterminer des altérations de la circulation cardiaque dues à une ischémie aiguë ou un ancien infarctus. Une fois l'imagerie réalisée, le cœur fait l'objet de différents plans de coupes afin d'évaluer les parois spécifiques et leur vascularisation. Le ventricule gauche a la forme d'un fer à cheval sur l'axe vertical long (b) et l'axe horizontal long (c), et d'un beignet sur les vues en axe court (d). La paroi antérieure, l'apex et une partie du septum sont vascularisés par la branche descendante antérieure de l'artère coronaire gauche. L'artère coronaire droite vascularise la paroi inférieure et une partie du septum; et l'artère circonflexe vascularise la paroi latérale.

- | | |
|---|--|
| 1 Paroi antérieure du ventricule gauche | 5 Volume sanguin dans le ventricule gauche en fin de systole |
| 2 Paroi inférieure du ventricule gauche | 6 Septum interventriculaire |
| 3 Partie apicale du ventricule gauche | 7 Paroi latérale du ventricule gauche |
| 4 Volume sanguin dans le ventricule gauche en fin de diastole | 8 Cavité ventriculaire gauche |
| | 9 Cavité ventriculaire droite |

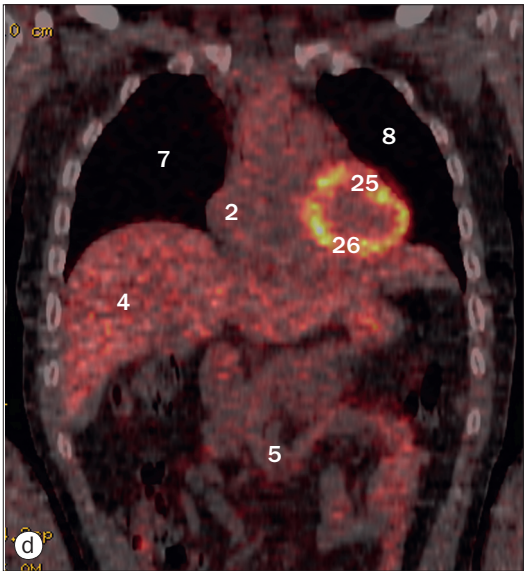
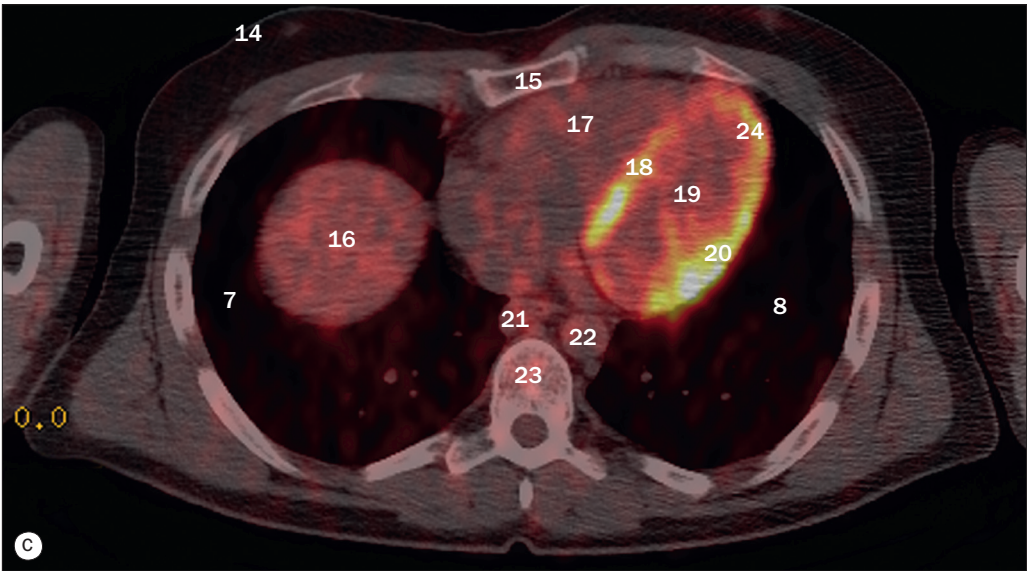
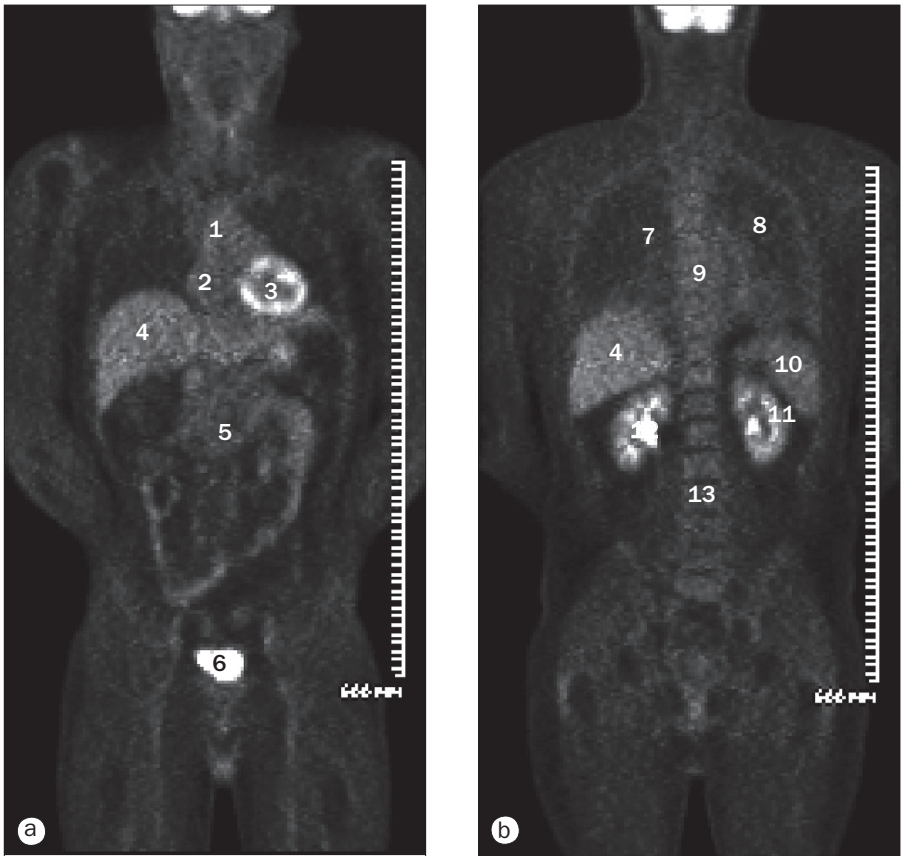


(a)–(d) PET-scans cérébraux métaboliques. Le fluorodésoxyglucose (FDG) est un dérivé du glucose. Les cellules ne peuvent pas différencier le glucose du FDG. La grande différence réside dans le fait que, une fois qu'il est dans la cellule, le FDG n'est pas métabolisé ; il est piégé. Cela permet de réaliser facilement des imageries des structures corporelles. La fixation du FDG par le cerveau est élevée, la substance grise ayant un degré de fixation plus élevé que la substance blanche. Les ganglions de la base ont un degré de fixation habituellement un peu plus élevé que le cortex. Il est normal qu'il existe des zones de fixation accrue dans les champs oculaires frontaux, le cortex visuel et le centre de Wernicke.

- 1 Muscle droit latéral
- 2 Muscle droit médial
- 3 Lobe temporal droit
- 4 Lobe temporal gauche
- 5 Tronc cérébral
- 6 Hémisphère du cervelet droit
- 7 Hémisphère du cervelet gauche

- 8 Lobe frontal
- 9 Genou du corps calleux
- 10 Tête du noyau caudé
- 11 Putamen
- 12 Thalamus
- 13 Bras antérieur de la capsule interne
- 14 Genou de la capsule interne

- 15 Bras postérieur de la capsule interne
- 16 Lobe occipital
- 17 Corps du noyau caudé
- 18 Splénium du corps calleux
- 19 Corona radiata
- 20 Lobe pariétal



(a)–(d) PET scan/TDM corps entier. Le PET-scan permet de visualiser la fonction tissulaire physiologique, tandis que la TDM permet d'obtenir des informations sur le plan anatomique. La fusion de ces deux types d'images permet de localiser précisément les zones d'intérêt. Les figures (a) et (b) sont des images en PET-scan du corps en coupes coronales à différentes profondeurs. Les figures (c) et (d) correspondent à des fusions d'images en PET-scan et TDM en incidences axiale (c) et coronale (d).

1 Médiastin	10 Rate	19 Cavité ventriculaire gauche
2 Atrium droit	11 Cortex rénal	20 Paroi latérale du ventricule gauche
3 Ventricule gauche	12 Rein, bassinnet du rein (pyélon)	21 Œsophage
4 Foie	13 Colonne lombale	22 Aorte thoracique descendante
5 Intestin grêle	14 Tissu mammaire droit	23 Corps vertébral thoracique
6 Vessie	15 Sternum	24 Apex du ventricule gauche
7 Poumon droit	16 Dôme du foie	25 Paroi antérieure du ventricule gauche
8 Poumon gauche	17 Ventricule droit	26 Paroi inférieure du ventricule gauche
9 Colonne thoracique	18 Septum interventriculaire	

Index

A

Acétabulum, 134, 142, 154, 156, 162, 166, 208, 222
incisure, 220
toit, 60, 134, 156
antérieur, 220
postérieur, 220
Acromion de la scapula, 68, 69, 79
Adhésion interthalamique, 50
Ampoule
de la trompe utérine, 195
du conduit déférent, 199
hépatopancréatique, de Vater, 182
rectale, 154, 159, 160, 165
terminale, 205, 206
Anastomoses des pulpes (doigts), 78
Angio-IRM
cerveau, 40
cou, 33
Angle
cardiophrénique gauche, 90
cérébellopontique, 43
colique
droit (hépatique), 127, 129, 136, 139, 140, 146
vues en coupes non transversales, 172, 180, 181
gauche (splénique), 124, 126, 128, 136, 139, 140
vues en coupes non transversales, 172, 180, 181
costophrénique gauche, 90
duodénojéjunal, 129
Anneau tympanique, 15
Anulus fibrosus, 63
Anus, 164
Aorte, 62, 92, 94, 111, 113
abdominale, 103, 105, 107, 124, 126, 128, 130, 138, 140, 143, 145, 148, 157, 183, 185
bifurcation, 139, 236
cathéter introduit via l'artère fémorale *voir* Artère fémorale
cathéter pleural de petite taille dans l', 183
fœtale, 202, 203
vues en coupes non transversales, 174, 176, 183, 202, 203, 236
ascendante, 91, 95, 100, 104–106, 108, 114, 117, 138, 140, 149
fœtale, 203
descendante, 90, 96, 100, 104–106, 108, 117, 142
fœtale, 203
PET-scan/TDM, 239
racine, 115
Appendice, 131, 179
Aqueduc du mésencéphale (de Sylvius), 21, 45, 47, 51
Arc aortique, 33, 90, 91, 96, 100, 104–106, 108, 111, 117, 140, 142
angiographie par soustraction, 117
fœtal, 203
Arcade
artérielle
de Riolan, 186
palmaire profonde, 76, 78, 88
veineuse
dos de la main, 86
palmaire superficielle, 78, 87
plantaire, 217
Arcade veineuse dorsale
main, 86
pied, 217
Aréole mammaire, 120
Artère(s)
alvéolaire supérieure et postérieure, 33
anastomotique, grande (artère grande radriculaire), 66

Artère(s) (*suite*)
angulaire, 36
apicale (lobe supérieur du poumon), 110
appendiculaire, 130, 185
arquées du rein, 194
auriculaire postérieure, 33
axillaire, 76, 79, 108
gauche, 103
basilaire, 16, 21, 22, 33, 38, 40, 43, 46, 47, 49
bifurcation, 45
brachiale, 76, 82–84
branches musculaires, 76
profonde, 76, 84
brachioocéphalique, 33
bronchique, 116
calcanéenne médiale, 217
calcarine, 38
callosomarginale, 36, 45, 48
carotide, 36, 37
commune, 28, 29, 33, 62
droite, 33, 102, 117
gauche, 33, 92, 96, 100, 101, 104, 106, 108, 117, 140
externe, 25, 33
cathéter dans la, 33
interne, 9, 14, 16, 21–23, 25, 32, 33, 40, 42, 43, 48
bifurcation, 45
intracrânienne/supraclinoïdienne, 36, 44
partie caverneuse, 9, 36, 44, 46
partie cervicale, 36
partie pétreuse, 9, 14, 33, 36
cérébelleuse
antérieure et inférieure, 17, 38
postérieure et inférieure, 38, 64
branche hémisphérique, 38
branche médullaire, 38
branche rétrotonsillaire, 38
branche supratonsillaire, 38
branche vermienn
inférieure, 38
origine, 38
supérieure, 38, 40, 49
branche hémisphérique, 38
branche vermienn, 38
branches thalamoperforantes, 38
derrière le tronc cérébral, 38
cérébrale
antérieure, 36, 40, 45–48
branche frontale interne, 36
moyenne, 21, 36, 45–49
branche de second ordre, 45
branches angulaires, 36
branches insulaires, 36, 39
branches temporales
antérieures, 36
genou, 36, 39
postérieure, 19, 21, 36, 38, 44, 49
branches choroïdiennes
postérieures, 38
branches spléniales, 38
branches thalamoperforantes, 38
dans la citerne ambiante, 38, 40
dans la citerne intercurale, 38
segment précommunicant, 40
segment quadrigéminé, 38, 40
cervicale ascendante, 33, 117
choroïdienne antérieure, 36
circonflexe iliaque profonde, 187
circonflexe latérale de la cuisse, 187, 216
circonflexe médiale de la cuisse, 216
circonflexe scapulaire, 76
circonflexe, 114
première, 113
colique
droite, 185

Artère(s), colique (*suite*)
gauche, 185, 186
branche ascendante, 186
branche descendante, 186
moyenne, 185
communicante
antérieure, 36, 40, 45
postérieure, 36, 38, 40
coronaire, 113
angiographie, 113, 114
droite, 105, 107, 109, 113–115, 117
branche interventriculaire
postérieure, 114
gauche, 113–115
branche circonflexe, 108, 113–115
branche interventriculaire
antérieure, 96, 108, 113–115
tronc principal, 113
diagonales (vaisseaux coronaires), 113, 114
digitale palmaire
commune, 78, 88
propre, 88
dorsale du pénis, 198
dorsale du pied, 217
du nœud atrioventriculaire, 113, 114
du nœud sinuatral, 113
du pénis, 198
dorsale, 198
profonde, 198
du renflement lombal, d'Adamkiewicz, 66
du sillon central, 36
épigastrique superficielle
inférieure, 133
faciale, 33
branche labiale, 33
fémorale, 134, 139, 219–223
commune, 151, 152, 157, 161, 162, 168, 216
droite, cathéter introduit dans l'aorte abdominale
distale via l', 187
gauche, cathéter introduit dans l'aorte abdominale
distale via l', 216
partie intertrochantérique, 154
superficielle, 135, 153, 164, 187, 216
frontopolaire, 36, 45
gastrique, 185
droite, 185
gauche, 140, 183, 184
branche œsophagienne, 185
cathéter dans l'origine de l', 185
gastroduodénale, 184, 192, 193
gastro-épiploïque
droite, 184, 191
gauche, 184, 191
géniculée
inférolatérale, 216, 217
inféromédiale, 216, 217, 225
supérolatérale, 216, 225, 226
supéromédiale, 216, 217, 225, 226
glutéale
inférieure, 134, 187
supérieure, 133, 187
hépatique, 174, 183, 184
commune, 124, 141, 149
droite, 175, 177, 184
gauche, 184
vues en coupes non transversales, 174–176, 183, 184
honteuse interne, 198
humérale
circonflexe antérieure, 76
circonflexe postérieure, 76
iléocolique, 131, 183, 185
iliaque, 185
circonflexe profonde, 187

Artère(s), illiaque (*suite*)
commune, 157, 187
droite, 131, 132, 138, 147, 236
gauche, 131, 132, 138, 236
scintigraphie isotopique, 236
externe, 134, 139, 150, 157, 159, 167, 187, 219, 220
droite, 132, 147
gauche, 132
interne, 159, 187
branches, 156
droit, 1, 132
gauche, 132
tronc antérieur, 187
tronc postérieur, 187
iliolombale, 187
infraorbitaire, 33
intercostale, 108, 116, 117
11° gauche, cathétérisme sélectif, 66
interlobaires, 194
interosseuse
antérieure, 76, 85
commune, 76
postérieure, 76
labyrinthique, 43
lenticulostrées, 36
linguale, 33
lobaires, 194
lobales, 130, 183, 185
marginale de Drummond *Voir* Arcade de Riolan
marginale du cœur, 114
droite, 113
maxillaire, 33, 36
ménégée moyenne, 33
mésentérique
inférieure, 130
artères sigmoïdiennes issues de l', 141, 186
artériographie, 186
cathéter dans l', 186
vues en coupes non transversales, 186, 187
supérieure, 105, 107, 127, 129, 138, 140, 148, 191
artériographie, 191
branches iléales, 131, 139, 185
branches jéjunales, 131, 139, 183, 185
cathéter dans l', 185, 191
vues en coupes non transversales, 175, 177, 183, 185, 191, 192, 193
métacarpienne palmaire, 78
occipitale, 33, 36
operculofrontale, 36
ophtalmique, 23, 36
branche ethmoïdale, 36
orbitofrontale, 36
pancréaticoduodénale
inférieure, 185
branche antérieure, 192, 193
branche postérieure, 192, 193
supérieure, 184
branche antérieure, 192, 193
branche postérieure, 192, 193
pancréatique
dorsale, 184
cathéter dans l', 192, 193
grande, 184
inférieure, 184, 192, 193
paracentrale, 36
pariétale (branches pariétales de l'artère cérébrale moyenne)
interne inférieure, 36
postérieure, 36
pariéto-occipitale, 38
péricalleuse, 36
branche orbitofrontale, 36
s'étendant autour du corps calleux, 36

- Artère(s) (*suite*)
périnéale, 198
pharyngienne ascendante, 33
phrénique, 184
inférieure, 194
cathéter dans l'origine de l', 194
plantaire
latérale, 217
médiale, 217, 232, 234
poplitée, 217, 221, 222, 224, 227, 228
principale du pouce, 78
profonde de la cuisse, 135, 153, 164, 167, 187, 216, 219, 221, 223
pulmonaire, 93, 110, 112, 115, 138
artériographie, 110
branche linguale
inférieure, 110
supérieure, 110
cathéter dans l'artère principale, 110
droite, 90, 91, 97, 102, 105, 107, 109, 110, 112, 140
lobe inférieur, 95
lobe supérieur, 97, 102, 109
fœtale, 203
gauche, 90, 91, 96, 100, 101, 104, 105, 106, 108, 112, 140, 149
lobe inférieur, 110
lobe moyen, 110
lobe supérieur, 110
droit, 97, 102, 109
radiale, 76, 78, 84–86
récurrente, 76
rectale supérieure, 186
rénale, 194
accessoire, 183
cathéter dans l', 194
droite, 127, 129, 140
gauche, 126, 141
vue en coupe
non transversale, 183
principale, 194
vues en coupes non transversales, 175, 177, 183
sacrale
latérale, 187
médiane, 187
septales, 113
interventriculaire postérieure, 113
sigmoïdiennes, 141, 186
spinale antérieure, 38, 64, 65
splénique, 141, 142, 149, 191
cathéter dans l', 191
vues en coupes non transversales, 183, 184, 191
striée médiale (récurrente de Heubner), 36
subclavière, 33
droite, 33, 102, 117
gauche, 92, 96, 100, 101, 103–106, 108, 117
submentale (submentonnière), 33
subscapulaire, 76
suprascapulaire, 33, 117
surrénales supérieures, 194
temporale
antérieure, 36
inférieure, 38
postérieure, 36, 38
superficielle, 33
testiculaire gauche, 129, 131
thoracique
latérale, 76
branches intrathoraciques, 120
médiale, 96, 108, 117, 120, 121
branche perforante antérieure, 120, 121
droite, 33, 103
gauche, 33, 103
supérieure, 76, 117
thoracoacromiale
branche deltoïdienne, 117
thyroïdienne, 33
inférieure, 33, 117
supérieure, 33
- Artère(s) (*suite*)
tibiale
antérieure, 216, 217, 229
branches musculaires, 216, 217
postérieure, 216, 217, 229, 230, 231, 233
branches musculaires, 216, 217
ulnaire, 76, 78, 85, 86, 87
branche carpienne palmaire, 78
branche palmaire profonde, 78
récurrente, 76
utérine, 187
vertébrale, 28, 33, 38–40, 42, 46, 47, 50, 117, 124
au niveau du foramen transversaire de l'atlas, 38
branche méningée, 38
reflux du produit de contraste dans l', 33
sillon (sur l'atlas), 61
Artériographie
aorte abdominale, 183
arc aortique, par soustraction, 117
artère et veine gastriques, 185
artère mésentérique
inférieure, 186
supérieure, 191
bronches, 116
coronaires, 113, 114
gastroduodénale, sélective, 193
membre
inférieur, 216–218
supérieur, 76
par soustraction (dont les numérisées et les phlébographies numérisées)
abdomen
artère mésentérique
supérieure, 185
foie, 192
pancréas, 193
tronc cœliaque, 184
arc aortique, 117
cerveau, 36–39
cou, 33
main, 78
pelvis, 187
pénis, 198
rachis, 66
thorax
artères bronchiques, 116
artères pulmonaires, 110–111
Arthro-IRM
épaule, 79–81
hanche, 220
Articulation(s)
acromioclaviculaire, 79, 145
scintigraphie isotopique, 235
atlanto-axoïdienne, 57, 58
calcanéocuboïdienne, 233
costotransversaire, 96
costovertebrale, 96
sacro-iliaque, 59, 60
chez l'homme, 133, 165
chez la femme, 142, 144, 154, 158, 173
vues en coupes non transversales, 173, 179, 197
sternoclaviculaire, 96, 109
subtalaire
facette moyenne, 233
postérieure, 233
talofibulaire, 230
talonaviculaire, 233
temporomandibulaire, 7, 32
fosse condyalaire, 14
tubercule articulaire, 3
tibiofibulaire
inférieure (distale), 212, 230, 231
supérieure (proximale), 224, 226
uncovertebrales
C2–C3, 61
C3–C4, 61
Voir aussi aux différentes articulations
zygapophysaire Voir Facette articulaire
Atlas (C1), 56
arc, 4
- Atlas (C1), arc (*suite*)
antérieur, 3, 8, 13, 14, 22, 32, 46, 47, 50, 56, 57, 61, 64
postérieur, 13, 25, 46, 47, 56, 61
corps, 56
foramen transversaire Voir Foramen transversaire
ligament transverse, 61
masse latérale, 2, 13, 15, 50, 56, 57, 61, 64
processus
articulaires Voir Processus articulaires
épineux, 56
transverse, 12, 13, 15, 57, 61
tubercules, 13, 64
Atrium
droit, 77, 90, 97, 102, 104, 105, 109, 112, 115, 138, 140, 146, 148
auricule, 97, 109
bord, 90
fœtal, 203
PET-scan/TDM, 239
gauche, 91, 96, 100, 104–106, 108, 111, 115, 140, 142, 149
auricule, 90, 96, 100, 108, 111, 115
bord, 91
fœtal, 203
vascularisation coronarienne, 113
septum Voir Septum interatrial
Auricule (pavillon de l'oreille), 3, 7, 42
Avant-bras, 73, 85
échographie fœtale, 203
Axis (C2), 8, 14
base, 13
corps, 25, 50, 56, 57, 61
dent de l', 2, 4, 6, 8, 13, 14, 22, 25, 46, 47, 50, 56, 57, 61, 64
foramen transversaire, 13
lame, 61
latéral, 56
pédicule, 61
processus
articulaire supérieur, 57
épineux, 56, 57, 61
transverse, 57
- B**
Bandelette ansiforme (trabécule septomarginale), 190
fœtale, 203
Basioccipital (partie basilaire de l'os occipital/clivus inférieur), 2, 3, 14, 50, 56
basisphénoïde et, synchondrose, 3, 50
Basion, 13
Basisphénoïde, 50
basioccipital et, synchondrose, 3, 50
moelle osseuse du, 41
Bassinnet du rein (pyélon), 127, 129, 196
Biliaire, système, 182
scanners aux nucléides radioactifs, 235
Bipariétal, mesure du diamètre, 202
Bloc de morsure, 34
Bronche
carina de la trachée bifurquant vers la, 90, 96, 100, 108, 142
intermédiaire, 92, 118, 140
lobaire inférieure, 119
droite, 95, 97, 109
gauche, 92, 94, 96, 108
segment apical, 94
lobaire moyenne, 95
lobaire supérieure
droite, 93, 97, 109, 119, 140
gauche, 92, 96, 108, 140
principale
droite, 58, 90, 91, 93, 97, 102, 104–106, 109, 118, 119, 140, 142
gauche, 58, 90, 92, 96, 100, 101, 104–106, 108, 118, 140, 142
segmentaire
antérieure, 92, 118, 119
apicale, 119
- Bronche, segmentaire (*suite*)
apicale du lobe inférieur, 94
apicale (supérieur), 118, 119
apicopostérieure, 118
basale antérieure, 94, 118, 119
basale latérale, 94, 118
basale médiale, 95, 118, 119
basale postérieure, 95, 118, 119
latérale du lobe moyen, 94, 119
lingulaire, 92
inférieure, 94, 118
supérieure, 95, 118
médiale du lobe moyen, 95, 119
postérieure, 93, 119
Bronchographie
poumon droit, 119
poumon gauche, 118
- C**
C1 Voir Atlas
C1–C2, foramen intervertébral, 61
C2 Voir Axis
C2–C3
articulation uncovertebrale, 61
facette articulaire, 61
C3
corps, 25
processus épineux, 56
C3–C4
articulation uncovertebrale, 56
disque intervertébral, 56
facette articulaire, 56
C4
bord postérolatéral (uncus), 56
corps, 25
lame, 56
partie interarticulaire, 56
pédicule, 56
processus
articulaires Voir Processus articulaires
épineux, 56
transverse, 56
C5
corps, 57
lame, 57
processus
articulaires Voir Processus articulaires
épineux, 57
transverse, 56, 57
uncus, 57
C6
corps, 58
lame, 56
pédicule, 56
C7
corps, 62
partie interarticulaire, 56
processus transverse, 56, 64
C7–T1, foramen intervertébral, 56
C8, racines nerveuses, 64
foramen intervertébral, 56
Cæcum, 131, 132, 137, 139, 141, 157, 167, 172
vues en coupes non transversales, 172, 179, 180, 181
Calcanéus, 125, 212, 214, 231, 232, 233, 234
chez une fille, 213
face postérieure, noyau d'ossification, 213, 215
processus latéral et médial, 212
sustentaculum tali, 212, 231–233
tubercule antérieur, 233
Calice
grand, 196, 197
petit, 196, 197
pôle supérieur, 194
Calvaria, 45
lame externe, 45
lame interne, 45
Canal
anal, 134, 153, 154, 160, 165, 166, 169, 223
biliaire, 126, 174, 176, 182, 235

- Canal (*suite*)
 d'Alcock, 152, 154, 159
 des adducteurs, 222
 fémoral, 152, 157, 168
 hépatique
 commun, 182
 droit, 182
 gauche, 182
 incisif, 8
 infraorbitaire, 10
 inguinal, 168, 170
 optique, 11, 13
 pancréatique, 126, 174, 182
 accessoire, 182
 partie ampullaire, 182
 ptérygoidien, 10, 11
 sacral
 central, 150
 parties supérieure et inférieure, 60
 semicirculaire, 9, 15, 17
 horizontal, 50
 postérieur, 43, 50
 supérieur, 4, 44, 50
 ulnaire (de Guyon), 86
 vertébral, 97, 143, 144, 148
 fœtal, 202, 203
 sacral, 60
- Canalicule lacrymal, 23
- Canine, 34
- Capitulum de l'humérus, 70–72, 82, 83
- Capsule
 externe, 45, 48
 interne, PET-scan, 238
 bras antérieur, 45, 48
 bras postérieur, 45
- Capsule articulaire
 épaule
 antérieure, 79
 postérieure, 80
 genou, postérieure, 227
- Carina (bifurcation de la trachée vers la bronche gauche/droite), 90, 96, 100, 108, 142
- Carpe, 75
- Cartilage
 articulaire, cheville, 233
 aryénoïde, 28
 costal
 antérieur, 103
 chez la femme, 136
 cricoïde, 29, 32
 thyroïde, 29, 61
 lame, 27
 triradié, 209
- Cavité
 glénoïdale de la scapula, 68, 69, 79
 nasale, 8
 méat inférieur, 8, 10
 méat moyen, 8, 10
 méat supérieur, 10
 orale, 29
 péritonéale, dispersion du produit de contraste dans la, 195
 trigéminale, 17, 18
 ganglion trigéminale dans la, 49
 tympanique (cavité de l'oreille moyenne), 9
 partie
 inférieure (hypotympanum), 14
 supérieure (épitympanum), 14
 toit (tegmen tympani), 6
- Cellules
 ethmoïdales, 2, 3, 21, 43
 antérieures, 9, 10
 moyennes, 9
 postérieures, 9
 mastoïdiennes, 8, 15, 43, 51
- Centre semi-ovale, 45
- Cerveau, 16–17, 36–53
- Circulation veineuse, 41
- Fœtal, 202
- Lobes du Voir Lobes du cerveau néonatal, 52–53
- PET-scan métabolique, 238
- Vaisseaux, 36–41
- Cervelet, 46, 47, 52, 53
- Fœtal, 202
- Cervelet (*suite*)
 hémisphères, 16, 46, 51
 lamelles, 42, 46, 47, 51
 PET-scan, 238
 lobe flocculonodulaire, 43
 noyau denté, 51
 tente, 46
 tonsille, 42, 47, 51
 vermis
 inférieur, 43
 supérieur, 44
- Chaîne sympathique, pelvis, 155
- Chânes lombales des nœuds lymphatiques
 ascendantes, 204, 205, 206
 croisement, 204, 205
- Chambre antérieure du globe oculaire, 20, 23
- Cheville, 212–214, 230–233
 partie tibiotallaire, 233
 scintigraphie isotopique, 235
- Chiasma optique, 19, 21, 45, 48
 dans la citerne chiasmatique (suprasellaire), 46, 47
- Cholangiopancréatographie
 par résonance magnétique, 182
 rétrograde endoscopique, 182
- Choroïde, 23
- Citerne
 ambiante, 18, 44
 artère cérébrale postérieure
 dans la, 38, 40
 nerf abducens dans la, 50
 cérébromédullaire, 43, 46, 47, 51, 64
 fœtale, 202
 chiasmatique (suprasellaire), 45, 48
 chiasma optique dans la, 46, 47
 du chyle, 205, 206
 interpédunculaire, 18, 50
 artère cérébrale postérieure
 dans la, 38
 oculomotrice, 18
 prépointique, 46, 47, 49
 quadrigémée, 45
- Clastrum, 45
- Clavicule, 27, 56, 58, 68, 69, 79, 90, 96, 100, 108, 136, 138, 145, 149
 scintigraphie isotopique, 235
- Clivus, 3, 9, 13, 17, 22, 43, 53, 64
 inférieur Voir Basioccipital
- Coccyx, 60, 159, 197
- Fémur, 148, 151, 160
 segment, 173
 masculin, 134, 163, 169
- Cochlée, 9, 15, 43, 50
- Cœur, 94, 112–115, 120, 121, 237
 reconstructions 3D, 115, 237
 contour sur un scanner pulmonaire, 236
 échographie fœtale, 200, 201, 203
- Coiffe des rotateurs, 80
- Colliculus
 inférieur, 44, 46, 51
 séminale, 198, 199
 supérieur, 45–47, 51
- Côlon, 181
 ascendant, 124, 126, 128, 130, 132, 137, 139, 140, 143, 148
 vues en coupes non transversales, 172, 179–181
 descendant, 62, 126, 130, 137, 139, 140, 143, 148, 155, 166
 vues en coupes non transversales, 172, 180, 181
 haustations, 180
 sigmoïde, 133, 135, 139, 140, 143, 144, 147, 148, 150, 155, 156, 158, 161, 166, 168, 169
 vues en coupes non transversales, 172, 180, 181
 transverse, 127, 129, 130, 136, 157, 158
 vues en coupes non transversales, 179–181
- Colonne vertébrale
 cervicale, 61
 scintigraphie isotopique, 235
 Voir aussi C1 ; C2, etc.
 fœtale, 202, 203
 lombale, 59, 66
 PET-scan/TDM, 239
 Voir aussi L1 ; L2, etc.
 PET-scan/TDM, 239
 scintigraphie isotopique, 235
 thoracique, 58
 PET-scan/TDM, 239
 scintigraphie isotopique, 235
 Voir aussi T1 ; T4, etc.
- Colonographie par TDM, 181
- Commissure du cerveau
 antérieure, 21, 45, 47
 postérieure, 45
- Conduit(s)
 cystique, 174, 176, 182
 déférent, 133, 170, 199
 ampoule, 199
 éjaculateur gauche, 199
 intralobulaires, 182
 lacrymonasal, 9, 10, 11, 13, 23, 43
 parotidien, 42
 submandibulaire, 35
 thoracique, 206
- Condyle(s)
 du fémur
 latéral, 210, 224–228
 éminence, 228
 médial, 210, 224–228
 du tibia, latéral et médial, 210
 occipital, 8, 13, 42, 61
- Cône artériel, 105, 107, 112, 115, 149
- Cône médullaire, 62, 63, 65
- Confluent des sinus, 37, 39, 41, 44
- Cordon
 ombilical, 202, 203
 spermatique, 135, 162, 168, 169, 170
- Cornée, 23
- Cornet nasal
 inférieur, 2, 8, 10, 30, 42
 moyen, 8, 10, 13, 30
 supérieur, 9, 10
- Corona radiata, 45, 46, 49
 PET-scan, 238
- Corps calleux, 52
 artère péricalléuse autour du, 36
 corps, 46–48, 53
 genou, 45–48, 53
 PET-scan, 238
 splénium, 45–47, 51, 53
 PET-scan, 238
- Corps caverneux du pénis, 134, 163, 164, 167–170, 198
 cavernosographie, 198
 pilier du pénis, 134, 164, 167
- Corps ciliaire, 21
- Corps géniculés médial et latéral, 21
- Corps jaune kystique, 155, 156, 158
- Corps mamillaire (de l'hypothalamus), 19, 45, 50
- Corps pinéal, 45, 51
- Corps spongieux du pénis, 167–169
- Corps vertébral, 58, 96, 104, 108, 124, 126, 130, 175, 177
 C3, 25
 C4, 25
 C5, 57
 C6, 58
 C7, 62
 fœtal, 202, 203
 lombal
 L1, 59, 142
 L2, 65
 L3, 63, 235
 L5, 148, 165, 166, 197
 scintigraphie isotopique, 235
 sacral, 159
 thoracique, 239
 PET-scan/TDM, 239
 T6, 58
 T11, 58
 T12, 148
 uncus Voir Uncus
- Corps vitré du bulbe, 21, 23, 44
- Cortex
 olfactif, 48
 orbitaire du lobe frontal, 46, 47
 visuel (calcarin), 21, 44
- Côte(s), 58, 136, 144–146
 1^{re}, 56, 57, 58, 64, 90, 146
 scintigraphie isotopique, 235
 5^e, scintigraphie isotopique, 235
 10^e, 145
 12^e, 59, 65, 129, 130, 144, 172, 197
 fœtale, 202
 tête, 16
- Coude, 71–72, 82–85
- Coussinet adipeux
 cheville, 233
 coude, antérieur, 80
 infrapatellaire, 227, 228
- Crâne, 2–5
 calvaria Voir Calvaria
 fœtal, échographie, 202
 scintigraphie isotopique, 235
- Crête intertrochantérique du fémur, 208
- Crista galli, 2, 10, 21, 45
- Cristallin, 23, 44
- Cuisse, 221–223
 artère profonde de la, 135, 153, 164, 167, 187, 216, 219, 221, 223
 fascia lata, 150, 152, 163–166, 228
 fœtale, 202, 203
- Cul-de-sac
 recto-utérin (de Douglas), 151, 155, 161
 vésico-utérin, 161
- Cunéiforme
 intermédiaire, 213–215, 230, 234
 latéral, 212–215, 230, 234
 médial, 214, 215, 230, 233, 234
- D**
- Dent de l'axis, 2, 4, 6, 8, 13, 14, 22, 25, 46, 47, 50, 56, 57, 61, 64
- Dent(s), 34
 couronne, 34
 déciduale, 34
 pulpe, 34
 racine, 34
- Dentition, 34
- Diaphragme
 abdominothoracique, 124, 194
 droit (hémidiaphragme), 97, 137, 141, 143, 144, 147
 coupole, 90, 91, 105, 107, 175, 177
 pilier, 129, 141, 143, 144, 148
 gauche (hémidiaphragme), 96, 137, 141, 143, 144, 149
 coupole, 90, 91, 105, 107, 174, 176
 pilier, 126, 128, 143, 144
 urogénital (transverse du périnée)
 chez l'homme, 167
 chez la femme, 154, 156, 159
- Diastole
 angiographie du ventricule
 gauche et, 113
 fin de
 reconstructions 3D du ventricule
 gauche et, 237
 volume sanguin dans le ventricule
 gauche et, 237
- Diploë, 3, 45
- Disque(s)
 annulaires épiphysaires inférieurs
 du corps vertébral (colonne thoracique), 58
 articulaire de l'articulation temporomandibulaire, 7
 intervertébraux
 C3–C4, 56
 lombaux
 indentations sur le bord thécal
 antérieur, 65
 L4–L5, 59, 167, 169
 lombosacraux (L5–S1), 155, 159, 160

Disque(s), intervertébraux (*suite*)
 sacraux, espace pour, 60
 thoraciques, 58
 T5–T6, nucleus pulposus, 62
Dos de la selle, 3, 4, 13, 14, 21, 22
Duodénum
 angle à la jonction du jéjunum et, 129
 partie ascendante (quatrième), 129
 partie descendante (deuxième), 124, 126, 128
 vues en coupes non transversales, 178, 179, 182, 235
partie horizontale (troisième), 128, 178
 scintigraphie isotopique, 235
partie supérieure (première), 127, 139, 178
transit baryté en double contraste, 178

E

Échographie fœtale, 200–203
Éminence articulaire de l'os temporal, 7
Eminentia arcuata de l'os temporal, 4, 12, 50
Endomètre, 161
Éperon (scutum), 15
Épicondyle(s)
 de l'humérus, 70–73, 82–84
 du fémur, latéral et médial, 210
Épididyme, 134
 corps, 169
 tête, 168, 169
Épiglotte, 24, 26, 29, 32, 56, 61
Épine
 iliaque
 antéro-inférieure, 150, 173, 208
 antérosupérieure, 167, 173
 ischiatique, 208
 chez la femme, 208
 chez l'homme, 134, 163
 nasale antérieure du maxillaire, 13, 34
Épitympanum, 14
Espace
 épidural, 62, 63
 laryngé, 29
 périnéal
 profond, 156
 superficiel, 156
 péripharyngien, 8
 rétropubien, 152, 159–161, 169
 subarachnoïdien
 expansion latérale autour des racines nerveuses spinales, 65
 liquide cérebrospinal dans l', 62
 nerfs spinaux dans l', 65
 produit de contraste
 région cervicale, 64
 région lombale, 65
Estomac, 95, 148
 antre, 137, 178
 corps, 124, 126, 137, 172, 178
 fœtal, 202, 203
 fundus *Voir* Fundus gastrique
 grande courbure, 124, 178
 partie pylorique, 127, 178
 petite courbure, 126, 178
 plis, 178
 transit baryté en double contraste, 178
 vues en coupes non transversales, 172, 178, 179

F

Facette articulaire (zygapophysaire), 62
 C2–C3, 61
 C3–C4, 56
 L4–L5, 59
 L5–S1, 165
Fascia
 bicipital, 84
 de Waldeyer, 151, 159, 161
 lata, 150, 152, 163–166, 228
 muscle gastrocnémien, 229
 muscle oblique externe
 de l'abdomen, 150

Fascia (*suite*)
 pectoral antérieur, 120, 121
 pharyngobasilaire, 50
 plantaire, 231–234
 profond de la cuisse *Voir* Fascia lata
 rénal, 127, 129
 sous-cutané (abdominal), 129
 thoracolombal, 62, 159, 161
Faux du cerveau, 45, 48, 52
 fœtale, 202
Fémur, 142, 208–211, 221, 222
 col, 135, 152, 163, 165, 167, 208, 209, 220, 223
 condyles *Voir* Condyles
 diaphyse, scintigraphie isotopique, 235
 épicondyles, latéral et médial, 210
 fœtal, 202, 203
 mesure de la longueur, 203
 fosse intercondylaire, 210
 ligne épiphysaire, 208, 209, 211
 ligne intertrochantérique, 208
 tête, 134, 139, 141, 149, 152, 162, 163, 165, 167, 198, 208, 209, 219, 222, 223
 fovea de la tête, 165, 167, 208
 ligament, 135, 163
 noyau d'ossification de la, 209
 scintigraphie isotopique, 235
 trochanter *Voir* Trochanter, grand, petit
 tubercules de l'éminence intercondylaire, 210
Fibula, 211–213, 229, 230, 232, 233
 apex/processus styloïde, 210
 col, 210
 distale, noyau d'ossification, 213, 215
 malléoles latérale et médiale, 213
 tête, 210, 224, 226
 noyau d'ossification, 211
Filum terminale, 148, 161
Fissure orbitaire
 inférieure, 9, 11, 13
 supérieure, 2, 6, 9, 11, 13
Fluorodésoxyglucose, PET-scan
 cérébral et, 238
Foie, 95, 120, 121, 144, 149, 192, 235
 dôme, 239
 fœtal, 202, 203
 lobe
 caudé, 125
 droit, 97, 124, 126, 127, 136, 138, 142, 146, 175, 177
 gauche, 124, 126, 136, 138, 175, 177
 segments 1 à 8, 125
 vaisseaux, 192
 vue en coupe non transversale, 172
 PET-scan/TDM, 239
 scintigraphie isotopique, 235, 236
Fond de l'utérus, 150, 157, 161, 195
Foramen
 alvéolaire inférieur (de la branche de la mandibule), 61
 épineux, 9
 grand palatin, 12
 incisif, 13
 infraorbitaire, 6
 interventriculaire, 46, 47, 50, 57
 intervertébral
 C7–T1, 56
 cathéter dans le, 66
 cervical, 61
 lombal, 59, 63
 jugulaire, 15, 16, 43
 lacerum, 9, 14
 magnum, 4, 42, 46, 47, 51, 62, 64
 obturé, 173, 208, 209
 rond, 2, 9, 11
 sacral, antérieur/pelvien, 60, 133, 173
 sphéno palatin, 11
 stylomastoidien, 15
 nerf facial, 17
 transversaire, 64
 de C1 (atlas), 61
 artère vertébrale émergeant du, 38
 de C2 (axis), 13

Forceps
 antérieur du corps calleux, 45
 postérieur du corps calleux, 45
Fornix
 du cerveau, 47
 du vagin, postérieur, 151, 156, 161
Fosse
 condylaire de l'articulation temporomandibulaire, 14
 crânienne
 antérieure, plancher, 6
 postérieure, 16–17
 infratemporale, 49
 ischioanale, 223
 chez la femme, 151, 152, 154, 158, 161
 chez l'homme, 134, 163–166, 169, 170
 olécrânienne, 70, 82–84
 ptérygoïdienne, 8
 ptérygopalatine, 9–12, 22
Fundus
 de la vésicule biliaire, 174, 176
 gastrique, 90, 91, 124, 137, 140, 142, 149, 172, 178
 baryum accumulé dans le, 178
Fusion internucléaire, 63

G

Gaine des muscles droits
 de l'abdomen, 161
Ganglion trigéminal dans la cavité trigéminale, 49
Gland du pénis, 168, 169, 170
Glande(s)
 lacrymale, 20, 44
 parotide, 24, 31, 35, 49
 lobe profond, 42
 lobe superficiel, 42
 pituitaire *Voir* Hypophyse
 salivaires, 35
 submandibulaire, 24, 26, 31, 35
 surrénale, 194
 angiographies, 194
 droite, 127, 142
 gauche, 126, 194
 thyroïde, 27, 29, 32
 isthme, 29
 lobe, 29
 droit, 33
Globe oculaire, 9, 10, 12, 18, 20, 22, 23, 46
 chambre antérieure, 21, 23
 chambre vitrée, humeur aqueuse et, 21, 23
Globus pallidus, 45, 49
Glotte, 28
Graisse
 extrapéritonéale (espace de Retzius), 152, 159–161, 169
 pararénale, 126, 128
 propéritonéale, ligne de, 172
 rétrobulbaire, 22
Granulation arachnoïdienne, 45
Gyrus
 de l'insula, 45, 48
 du cingulum, 45–48
 postcentral, 45
 précentral, 45
 rectus, 21

H

Hamulus ptérygoïdien, 61
Hanche, articulation de la, 197, 208, 219–220
Haustrations coliques, 180
Hémi diaphragme *Voir* Diaphragme
Hémisphère du cervelet *Voir* Cervelet
Hippocampe, 44, 49
Humérus, 70, 72–74, 82, 83, 84
 capitulum, 70–72, 82, 83
 col
 anatomique, 68
 chirurgical, 68
 diaphyse, scintigraphie isotopique, 235

Humérus (*suite*)
 épicondyles *Voir* Épicondyles
 fosse olécrânienne, 70, 82–84
 sillon intertuberculaire, 68
 tête, 68, 69, 79
 scintigraphie isotopique, 235
 trochlée, 70, 72, 82, 83
 tubérosités *Voir* Tubérosités
Humeur aqueuse, 23
Hypopharynx, 24, 26–9
Hypophyse, 18, 44, 46–48
Hypothalamus
 corps mamillaire, 19, 45, 50
Hypotympanum, 14
Hystérosalpingographie, 195

I

Iléum, 128, 130, 131, 137, 138, 141, 149, 150
 proximal, 179
 terminal, 131, 132, 139, 179, 181
Ilium
 chez la femme, 139, 141, 144, 147, 149, 150, 154, 158
 chez une fille, 206
 crête, 137, 155, 156
 chez l'homme, 131, 132, 166, 167
 crête, 59, 60, 165, 173, 209, 220
 chez la femme, 137
 noyau d'ossification, 173
 scintigraphie isotopique, 235
Incisives, 34
Incisure
 ethmoïdale de l'os frontal, 11
 intercondylaire, 209
 trochléaire de l'ulna, 70
 ulnaire du radius, 74
 vertébrale inférieure
 lombale, 59
 thoracique, 58
Incus, 9, 15
Inion, 3, 43
Intestin grêle, 157, 162, 165, 166, 168, 169, 170
 mésentère, 137, 138
 PET-scan/TDM, 239
 Voir aussi les régions spécifiques
Ischium, 223
 chez la femme, 145, 147, 149, 152–154, 158, 173, 209
 branche, 173
 chez l'homme, 134, 135, 163–165, 167, 173

J

Jambe, 229
 artériographie, 127
 chaînes lymphatiques
 périphériques de la partie inférieure de la, 206
 lymphatiques, 206
 plexus veineux, 218
Jéjunum, 124, 126, 128, 130, 138, 139, 141, 146, 149
 angle à la jonction du duodénum et, 129
 plis circulaires, 179
 scintigraphie isotopique, 235
Jonction
 anorectale, 153, 163
 œsophagogastrique, 141
 pyélo-urétérale, 196, 197
 rectosigmoïdienne, 150, 154, 159, 161, 165
 sacrococcygienne, 160
 vésico-urétérale, 153, 196
Jugum sphénoïdal, 2

L

L1, corps, 59, 142
L2
 corps, 65
 lame, 59
 processus articulaire inférieur, 59

- L3
corps, 63, 235
processus articulaire supérieur, 59
processus épineux, 59, 65
processus transverse, 59
- L3–L4, aiguille de ponction lombaire
dans l'espace entre, 65
- L4, nerf spinal, 65
- L4–L5, disque articulaire/intervertébral,
59, 167, 169
- L5, 169, 170
corps, 148, 165, 166, 197
nerf spinal, 65
processus épineux, 154
processus transverse, 143
racine nerveuse, 159, 160, 161, 165
- L5–S1
disque intervertébral, 155, 159, 160
facette articulaire, 165
- Labrum
acétabulaire, 219, 220
glénoidal, 28, 79, 80
- Lame
ciblée de l'os ethmoïde, 10, 11, 13
horizontale de l'os palatin, 6
orbitaire
de l'os ethmoïde, 9, 10
de l'os frontal, 45
perpendiculaire de l'os ethmoïde, 11
vertébrale, 62, 96
C2, 61
C4, 56
C5, 57
C6, 56
L2, 59
- Langue, 29, 54, 98
muscle
longitudinal, 31
transverse, 31
racine, 29
septum lingual, 230
- Larynx, 26–9, 149
- Lèvres
grandes, 137, 153, 157
petites, 155, 157
- Ligament(s)
calcanéofibulaire, 231
calcanéonaviculaire plantaire, 232
cardinal, 151, 159
collatéral (du genou)
latéral, 224, 228
médial, 228
partie profonde, 225
partie superficielle, 225
coracoclaviculaire, 79
coracohuméral, 79
croisé
antérieur, 224, 226, 228
postérieur, 224, 225, 228
de Cooper, 121, 122
de la tête fémorale, 135, 163, 219, 220
deltoïde, 231
partie profonde, 232
partie superficielle, 232
glénohuméral
inférieur, 79
moyen, 80
supérieur, 80
iliolombal, 155
inguinal
chez la femme, 152
chez l'homme, 168
interépineux, 63
interosseux
avant-bras, 85
jambe, 229, 230
jaune, 61, 62, 63
large de l'utérus, 151, 155, 156,
159, 161
longitudinal
antérieur, 63
postérieur, 63
ménisconfémoral, 227
nuchal, 25, 62
péetroclinoidien, 44
rond de la tête fémorale, 151, 219, 220
rond de l'utérus, 151, 152
- Ligament(s) (*suite*)
sacroépineux, 135, 151, 163
sacro-iliaques dorsaux, 159
supraépineux, 62
suspenseur
de Cooper, 121, 122
du cristallin, 23
du pénis, 167, 168
talofibulaire
antérieur, 230
postérieur, 230
tibiofibulaire, 232
antéro-inférieur, 230
postéro-inférieur, 230
transverse
de l'acétabulum, 220
de l'atlas, 61
du genou, 227
du pubis, 163
utérosacral, 151
veineux, fissure du, 124, 126, 136
- Ligne
blanche, 168
épiphytaire
cheville, 213
coude, 72
épaule, 69
fémur, 208, 209, 211, 226
main, 75
intertrochantérique, 208
- Lingula mandibulaire, 61
- Liquide amniotique, 202, 203
- Liquide cérébrospinal, 62, 63
- Lobe(s)
du cerveau
flocculonodulaire, 43
frontal, 45, 48, 53
cortex orbitaire du, 46, 47
PET-scan, 238
occipital, 45, 53
cortex calcarin, 21, 44
PET-scan, 238
pariétal, 45, 49, 52, 53
PET-scan, 238
de la glande thyroïde *Voir* Glande
thyroïde
du foie *Voir* Foie
du poumon, 92–95, 120
temporal, 7, 9, 43, 46–48, 52, 53
gauche, PET-scan, 238
uncus, 44, 51
- Longueur craniocaudale, 200
- Lymphatiques, 204–206
iliaques efférents, 204
inguinaux, 204, 205
- M**
- Malléole
latérale, 212, 230–234
médiale, 230–233
- Malleus, 7, 9, 15
- Mamelon, 120
- Mandibule, 4, 6, 30, 35, 46, 47, 54,
57, 149
angle, 34, 56
branche, 2, 6, 8, 11, 14, 31, 34,
42, 61
canal, 34
condyle *Voir* Processus condylaïre
corps, 24, 34
fosse, 7
lingula, 61
processus coronoïde, 6, 8, 11, 12,
34, 42, 49
tête, 43, 49
- Manubrium sternal, 90, 93, 97, 102,
105, 107, 108, 136, 146, 149
- Maxillaire, 11
épine nasale antérieure, 13, 34
plancher orbitaire, 11
processus alvéolaire, 8, 11, 30, 34, 46
processus palatin, 6
processus zygomatique, 3, 6
- Méat acoustique
externe, 3, 7, 9, 15, 32, 64
interne, 2, 4, 9, 13, 15, 18, 43, 50
- Médiastin, 96–109
antérieur, 91
- IRM
axiale, 108–9
sagittale, 104–7
PET-scan/TDM, 239
scintigraphie isotopique, 236
- TDM
axiale, 96–9
coronale, 100–3
- Membre
inférieur, 207–234
chaînes lymphatiques périphériques
de la partie inférieure de la
jambe, 206
vaisseaux sanguins, 216–218
supérieur, 67–84
vaisseaux, 76–78
- Ménisque
latéral
corne
antérieure, 226
postérieure, 224–226
corps, 225
médial, 228
corne
antérieure, 226
postérieure, 224, 226
corps, 225
- Mésencéphale, 16–17, 18, 21, 45, 50
noyau rouge du, 19
tectum du, 51
- Mésentère de l'intestin grêle, 137, 138
- Mésocôlon
sigmoïde, 159, 161
transverse, 137
- Mésorectum, 151
- Mésosigmoïde *Voir* Mésocôlon sigmoïde
- Métacarpiens, 73–88
fœtaux, 203
- Moelle allongée, 16, 42, 46, 47, 51
incisure médiane ventrale, 65
- Moelle spinale, 51, 62–66, 144, 148
cervicale, 25, 46, 47, 61, 62, 64
fœtale, 202
lombale, 62, 63, 65, 66
substance grise et blanche, 62
thoracique, 62, 64, 65
- Molaires, 34
- Muscle(s)
abducteur de l'hallux, 231–234
abducteur du petit doigt, 86, 87, 88
abducteur du petit orteil, 231–234
tendon, 234
adducteur du pouce, 87, 88
anconé, 84, 85
biceps brachial, 82–84
tendon, 79, 82–84
chef long, 79
biceps fémoral, 134, 153, 155, 164,
223, 224, 228
chef court, 221
chef long, 221
tendon, 228
brachial, 82, 83, 84
tendon, 84
brachioradial, 82–85
carré des lombes, 128, 130, 143, 144
carré fémoral, 135, 153, 155, 164,
165, 220, 222, 223
carré plantaire, 230–232, 234
coccygien, 159
constricteur supérieur du pharynx, 25
coracobrachial, 79
court abducteur du pouce, 86–88
court adducteur, 134, 153, 155, 157,
158, 161, 164, 165, 167, 219,
221–223
court extenseur des orteils, 231–234
court extenseur du pouce,
tendon, 86, 87
court extenseur radial du carpe, 83–85
court fléchisseur de l'hallux, 232, 234
os sésamoïdes dans le, 214, 234
court fléchisseur des orteils,
231–234
tendon, 232, 234
- Muscle(s) (*suite*)
court fléchisseur du pouce, 87, 88
deltoïde, 79
tendon, 79
dentelé antérieur, 97, 109, 127, 139
digastrique
ventre antérieur, 24, 30
ventre postérieur, 24
droit de l'abdomen, 127, 128, 130,
132, 133, 135, 136, 149, 150,
152, 158, 160, 168, 169, 170
droit de la cuisse, 135, 157, 161,
162, 164, 168, 220, 221–223
tendon, 219
droit inférieur, 20, 22, 43, 46
droit latéral, 20, 21, 23, 44
PET-scan, 238
droit médial, 21, 23, 44
PET-scan, 238
droit supérieur, 20–22, 44
élevateur de l'anus, 60, 223
chez la femme, 151, 154, 156,
158, 160
chez l'homme, 134, 163, 165, 166
élevateur de la scapula, 26
élevateur du voile du palais, 32
épineux de la tête, 25
épineux du cou, 27
érecteur du rachis, 62, 96, 108, 124,
126, 128, 131, 132, 140, 144,
154, 159, 160, 169, 170
extenseur des doigts, 85
tendon, 86, 87
extenseur du petit doigt, tendon,
86, 87
extenseur ulnaire du carpe, 85
tendon, 86
fléchisseur du petit doigt, 87, 88
fléchisseur du petit orteil, 232, 234
fléchisseur profond des doigts, 82–85
tendon, 86–88
fléchisseur radial du carpe, 83–85
tendon, 86
fléchisseur superficiel des doigts,
82–86
tendon, 86–88
fléchisseur ulnaire du carpe, 82–85
tendon, 86
gastrocnémien
aponévrose, 229
chef latéral, 222, 224, 226, 229
chef médial, 224, 227, 228, 229
tendon, 227
génioioglosse, 24, 30
géniohyoïdien, 26, 30
gracile, 134, 155, 157, 167, 221,
223, 228
tendon, 224
grand adducteur, 153, 158, 161, 163,
164, 165, 167, 219–221, 223
grand dorsal, 96, 124, 126, 130,
141, 145
grand glutéal, 133, 134, 141, 144,
147, 148, 150, 152, 154, 158,
161, 162, 164, 165, 167, 170,
219–221
grand pectoral, 96, 109, 120, 121,
138, 149
fascia, 120, 121
grand psoas, 62, 127, 128, 132, 143,
146, 155, 156, 158, 166
hyoglosse, 30
iliaque, 132, 138, 140, 143, 150,
155, 156, 158, 165, 166, 220
iliopsoas, 134, 137, 138, 146, 151,
153, 157, 158, 161, 162, 164,
219, 220, 222, 223
tendon, 163, 164
Voir aussi Muscle psoas
infraépineux, 79, 96, 145
tendon, 79
infrahyoïdien, 28, 29
intercostal, 145
interosseux dorsaux
main, 87, 88
dorsal, 87, 88
palmaire, 87, 88

Muscle(s), interosseux dorsaux (*suite*)

pied, 234
dorsal, 234
plantaire, 234
ischiocaverneux, 164, 167
jumeau, 134, 155, 165, 219, 220, 223
lombrical, 87, 88
long abducteur du pouce, 85
tendon, 86
long adducteur, 134, 153, 155, 157, 158, 161, 164, 165, 167, 219–223
long de la tête, 25–42
long du cou, 25–27
long extenseur de l'hallux, 229, 230
tendon, 230, 232, 234
long extenseur des orteils, 224, 229
tendon, 230, 232–234
long extenseur du pouce, 84
tendon, 86–88
long extenseur radial du carpe, 82–85
tendon, 86
long fléchisseur de l'hallux, 229, 230, 233
tendon, 230–234
long fléchisseur des orteils, 230, 233, 234
tendon, 230–234
long fléchisseur du pouce, tendon, 86–88
long palmaire, 84, 85
tendon, 86
longissimus de la tête, 25
longitudinal de la langue, 31
masséter, 8, 11, 12, 24, 31, 42, 48
moyen glutéal, 133, 134, 139, 141, 145, 150, 153, 154, 156, 161, 162, 165, 166, 219, 220
multifidus, 25
mylohyoïdien, 24, 31
oblique externe de l'abdomen, 126, 128, 130, 133, 136, 150, 157, 166, 168
aponévrose, 150
oblique inférieur, 22
oblique inférieur de la tête, 25
oblique interne de l'abdomen, 128, 130, 133, 136, 157, 166
oblique supérieur, 20
obturateur
externe, 135, 137, 141, 143, 153, 155, 156, 158, 159, 163, 165, 167, 220, 222, 223
interne, 135, 141, 143, 151, 152, 154, 155, 156, 158, 165, 166, 219, 223
tendon, 219
opposant du petit doigt, 87, 88
opposant du petit orteil, 234
opposant du pouce, 87, 88
orbiculaire de la bouche, 25, 29, 54
partie marginale, 29, 54
partie périphérique, 29, 54
orbiculaire de l'œil, 22
palatopharyngien, 31
papillaires, 96, 101, 109
pectiné, 135, 137, 152, 153, 158, 164, 165, 167, 168, 170, 219, 220, 222, 223
petit glutéal, 133, 134, 150, 155, 156, 161, 162, 165, 166, 219, 220
petit pectoral, 80, 96, 109, 121, 138
petit psoas, 143
petit rond, 80
piriforme, 133, 135, 150, 154, 158, 165, 222
bandelettes d'insertion, 161
terminaison, 154
plantaire, 227
tendon, 230
platysma, 24, 26, 30
poplité, 224, 228
tendon, 224, 226, 228
ventre, 226
prévertébral, 29

Muscle(s) (*suite*)

psoas, 63, 130, 138, 141, 150
bord, 172
Voir aussi Muscle iliopsoas
ptérygoïdien
latéral, 8, 11, 12, 31, 42, 49
médial, 8, 11, 24, 31, 42, 49
puborectal
chez la femme, 151, 152, 155, 160
chez l'homme, 169
pubovaginal, 156
releveur de l'angle de la bouche, 25
releveur de la lèvre supérieure et de l'aile du nez, 42
releveur de la paupière supérieure, 20, 22
rond pronateur, 82, 83, 84, 85
sartorius, 133, 135, 137, 152, 157, 161, 162, 164, 219, 220–224, 228
tendon, 227
scalènes, 28
semiépineux de la tête, 25, 27
semiépineux du cou, 27
semimembraneux, 135, 153, 164, 221–224, 227, 228
tendon, 227
semitendineux, 135, 153, 164, 219, 221–223
tendon, 227, 228
soléaire, 224, 226, 230, 233
splénius capitis, 24, 27
sternocléidomastoïdien, 23, 27, 29, 32, 42, 50
sternohyoïdien, 27
subscapulaire, 80, 97, 109, 145
tendon, 80
supinateur, 82, 84, 85
supraépineux, 80, 97, 145
tendon, 80
temporal, 7, 8, 11, 23, 31, 42, 44, 48
tenseur du fascia lata, 133, 135, 152, 161, 162, 167, 216, 221
tenseur du tympan, tendon, 15
thyrohyoïdien, 32
tibial antérieur, 225, 227, 229
tendon, 230, 232, 233
tibial postérieur, 225, 229, 230
tendon, 230–233
transverse de l'abdomen, 129, 130, 133, 136, 157, 166
transverse de la langue, 31
trapèze, 25, 27, 51, 80, 97, 109
triceps
chef latéral, 82–84
chef long, 84
chef médial, 82–84
tendon, 82
vaste intermédiaire, 135, 153, 219–223
vaste latéral, 135, 153, 157, 163, 164, 167, 219, 221–223
vaste médial, 157, 221, 222, 225, 227
vocal, 28, 32
Myélographie cervicale, 64
Myomètre, 150, 156, 157, 161

N

Narines, 8
Nasopharynx, 8, 10, 11, 24, 29, 32, 42, 46–48
Nerf(s)
abducens (VII), 16, 18, 49
dans la citerne ambiante, 50
alvéolaire inférieur, 49
auditif, 18
auriculotemporal, 50
cochléaire, 17
crâniens, 18–19
facial (VII), 16, 18, 43, 50
dans le foramen stylomastoïdien, 17
fémoral, 221
rameaux, 151, 162
fibulaire commun, 224, 228
glossopharyngien (IX), 16, 18
hypoglosse (XII), 18
maxillaire, 49

Nerf(s) (*suite*)

médian, 84–86
obturateur, 163, 219
oculomoteur (III), 18, 49
olfactif (I), 18, 21, 45
ophtalmique, 49
optique (II), 9, 18, 20, 23, 44, 46, 47, 49
segment intracanaliculaire, 19, 21
segment intracrânien, 19, 21, 22
segment intraorbitaire, 19, 21, 22
plantaire
latéral, 231, 234
médial, 231, 232, 234
radial, 84, 85
sacral
S1, 154
racine, 159
S2, racine, 159
sciatique, 135, 145, 151, 153, 154, 158, 162, 164, 165, 221
spinal
cervical, 63
lombal, 65
S1 (nerf sacral), 154
tibial, 221, 225
trijumeau (V), 18, 50
rameau maxillaire, 49
rameau ophtalmique, 49
trochléaire (IV), 18–19, 49
ulnaire, 84–86
vague (X), 16
vestibulaire, 17
vestibulocochléaire (VIII), 16, 43, 50
Nez, 29, 54
Nodule du vermis, 51
Nœuds lymphatiques
chaînes lombales des *Voir* Chaînes lombales des nœuds lymphatiques
iliaques communs et externes, 204, 205
inguinaux, 168, 204, 205
profonds, 204, 205
Noyau
caudé
corps, 45, 50, 52, 53
tête, 45, 46, 48, 52, 53
PET-scan, 238
denté du cervelet, 51
lenticulaire, 46, 47
rouge du mésencéphale, 19
Nucleus pulposus, 63
T5/T6, 62

O

Occiput, 64
Œsophage, 27, 93, 96, 109, 140, 142, 148
ouverture, 29
PET-scan/TDM, 239
Ombilic, 131, 168, 202
Orbite, 20–23
plancher, os maxillaire, 11
toit, os frontal, 11
Oreille, 14, 15
externe
auricule, 3, 7, 42
tragus, 50
interne, 12
moyenne, 12
cavité de l' *Voir* Cavité tympanique
interne, 9
osselets (incus et malleus), 67
Organes génitaux externes, fœtus
masculin, 203
Oropharynx, 8, 24, 29, 32, 48
Orteils, phalanges, 214–216
Os
capitatum, 73–75, 86
coxal, 209
cuboïde, 212–215, 230, 232, 234
cunéiforme *Voir* Cunéiforme
ethmoïde
lame criblée, 10, 11, 13
lame perpendiculaire, 11
lame orbitaire, 9, 10

Os (*suite*)

face, 6, 8–13
scintigraphie isotopique, 235
frontal, 10
incisure ethmoïdale, 11
lame orbitaire, 45
processus zygomatique, 6, 7
toit de l'orbite, 11
hamatum, 73–75, 86
crochet (hamulus), 74, 86
hyoïde, 34, 57
corps, 25, 29
grande corne, 25, 29
lunatum, 73–75, 86
nasaux, 6, 9, 10, 13
scintigraphie isotopique, 235
naviculaire, 212–215, 230–233
occipital, 57
condyle, 8, 13, 42, 61
partie basilaire *Voir* Basisoccipital
partie squameuse, 4
protubérance externe, 3
inion, 3, 43
pisiforme, 73, 74, 86
poignet et main, 74–75
scaphoïde, 73–75, 86
sésamoïdes
cheville, dans le muscle court
fléchisseur de l'hallux, 214
poignet, 74
sphénoïde
corps, 2, 14, 44, 49
grande aile, 2, 3, 7, 9, 11, 48, 53
face temporale, 2
jugum sphénoïdal, 2
partie basilaire *Voir* Basisphénoïde
petite aile, 2, 6, 11
temporal, 14–15
éminence articulaire, 7, 12
partie pétreuse, 2, 43
apex, 9
eminentia arcuata, 4, 12, 50
processus
mastoïde, 2, 4, 6, 15, 42, 61
styloïde, 8, 12, 14, 24, 61
zygomatique, 7
trapèze, 73–75, 88
trapézoïde, 73–75, 88
triquetrum, 73–75
Voir aussi aux différents os
zygomatique, 11, 12, 31
arc, 3–6, 8, 9, 11, 12, 14, 31, 43
paroi orbitaire latérale, 11
processus
frontal, 3, 6
temporal, 6
Osselets de l'oreille moyenne (incus et malleus), 67
Ovaire
droit, 150, 155, 158
gauche, 150, 155
kystes physiologiques (corps jaune), 155, 156, 158

P

Palais
mou, 3, 6, 29, 31, 49
osseux (dur), 8, 10, 23, 30, 42, 48
Pancréas, 146
col, 126, 138, 177
corps, 124, 126, 138, 141, 149, 174, 176
queue, 127, 141, 149, 175, 177
tête, 124, 126, 138, 174, 176
vues en coupes non transversales, 174–177
Papille rénale, 175, 196
Partie interarticulaire
C4, 56
C7, 56
colonne vertébrale lombale, 59
Patella, 209, 211, 226, 228
scintigraphie isotopique, 235
Patte d'oie, 225
Paupières, 10, 23
Pavillon de l'oreille *Voir* Auricule

- Pédicule neurovasculaire
obturateur, 154, 156, 158, 159, 167
pudendal (canal d'Alcock), 152, 154, 159
rectal inférieur, 155, 164, 165
- Pédoncule(s)
cérébelleux
inférieur, 46, 51
moyen, 43, 46, 47
supérieur, 18, 44, 46, 47, 51
cérébraux, 19, 21, 45–47, 50
moyen, 51
- Pelvis, 132–49, 154–61, 169–70, 187–9, 209
chez une fille, 209
échographie fœtale, 203
IRM
axiale
femme, 151–3
homme, 162–4
coronale
femme, 154–8
homme, 165–8
sagittale
femme, 158–61
homme, 169–70
TDM
axiale, homme, 132–5
coronale, femme, 136–45
sagittale, femme, 146–9
vues en coupes non transversales
femme, 173, 188
homme, 173, 189, 198–9
lymphatiques, 204
projections antéropostérieures, 172
vaisseaux sanguins, 187–189
- Pénis
bulbe, 134, 164, 167
corps caverneux *Voir* Corps caverneux
corps spongieux, 167–169
gland, 168–170
ligament suspenseur, 167, 168
pilier du, 134, 164, 167
Péricarde, 97, 101, 104–106, 109
récessus, 109
supérieur, 93, 97
- Phalanges
doigts, 74, 75, 87, 88
orteils, 214, 215, 234
- Pharynx, 24–32
Voir aussi Hypopharynx ; Nasopharynx ; Oropharynx
- Phlébographie
cou, 33
membre
inférieur, 218
pied, 217
supérieur, 77
pelvis féminin, 188
veine
azygos, 116
hépatique, par soustraction, 192
lombale, 66
orbitaire, 23
surrénale, 194
testiculaire, 189
- Pilier
du diaphragme *Voir* Diaphragme
du pénis/corps caverneux, 134, 164, 167
- Placenta, 202, 203
- Plexus nerveux lombal, 155
- Plexus veineux
choroïde, 49, 52, 53
fœtal, 202
cutané plantaire, 217
de la jambe, 218
pampiniforme, 186, 189
sacral, 66, 160, 188
vertébraux longitudinaux, 66
- Pli(s)
aryépiglottique, 27
axillaire antérieur, 90
circulaires, jéjunum, 179
du coude, 235
gastriques, 178
- Pli(s) (*suite*)
transverses du rectum, 154, 159
vestibulaire, 32
- Point sylvien, 36
- Pont, 16, 21, 22, 43, 46, 47, 50
tegmen, 46, 47
- Pouce
artère pour la face radiale du, 78
fœtal, 203
phalange
distale, 74, 87, 88
proximale, 74, 88
- Poumon(s), 93–96, 118–119, 236
droit, 138, 140, 146, 148, 236, 239
gauche, 138, 140, 149, 236, 239
lobes *Voir* Lobes du poumon
PET-scan/TDM, 239
scintigraphie isotopique, 236
scissures *Voir* Scissure horizontale, scissure oblique
vascularisation, 110–11
- Prémolaires, 34
- Processus
alvéolaire du maxillaire, 8, 11, 30, 34, 46
articulaires (facettes)
inférieurs
C1, 57, 61
C4, 56
L2, 59
thoraciques, 58
supérieurs
C1, 57
C2, 57
C4, 56
C5, 56
L3, 59
vertèbres sacrales, 60
vertèbres thoraciques, 58
clinoïde antérieur, 3, 11, 13, 21, 48
condyalaire de la mandibule, 3, 4, 12, 32
col, 7, 8, 34
tête, 7, 8, 14, 34
coracoïde de la scapula, 68, 69, 79
coronoïde
de la mandibule, 6, 8, 11, 12, 34, 42, 49
de l'ulna, 70, 82
épineux, 56–62, 144
frontal de l'os zygomatique, 3, 6
mamillaire, 59
mastoïde, 2, 4, 6, 15, 42, 61
palatin du maxillaire, 6
ptérygoïde
lame latérale, 8, 11, 42
lame médiale, 8, 11, 43, 61
styloïde
fibula, 209
os temporal, 8, 12, 14, 24, 61
radius, 74
ulna, 73, 86
temporal de l'os zygomatique, 6
transverse, 97
C1/atlas, 12, 13, 15, 57, 61
C2/axis, 57
C4, 56
C5, 56, 57
C7, 56, 64
L3, 59
L5, 143
tubercules du *Voir* Tubercules
vertèbre thoracique, 58
T1, 56
xiphoïde, 97, 103, 105, 106, 136, 149
zygomatique
de l'os temporal, 7
de l'os frontal, 6, 7
de l'os maxillaire, 3, 6
- Proéminence périnéale, 153, 155, 160
- Prostate, 135, 163, 166, 169, 170
échographie rectale, 199
zone
de transition, 199
périphérique, 199
- Pubis, 160
branche
inférieure, 134, 155, 156, 167, 173, 208
supérieure, 60, 135, 139, 152, 157, 158, 163, 167, 173, 208
chez la femme, 148, 152, 153, 155–160
chez la fille, 209
chez l'homme, 134, 135, 163, 167–169
corps, 134, 153, 159, 160, 167, 168, 169
vue en coupe non transversale, 173
jonction non ossifiée entre l'ischium et le, 209
symphyse *Voir* Symphyse pubienne
tubercule, 173
vues en coupes non transversales, 173, 208, 209
- Putamen, 45, 48
PET-scan, 238
- Q**
Queue de cheval, 62, 63, 65
- R**
Racine(s) nerveuse(s) spinale(s), 62, 63, 65
C8 *Voir* C8
dans l'espace subarachnoïdien, 65
dorsales
cervicale, 64
ganglion, 62
L5, 159–161, 165
sacrales *Voir* S1 ; S2 ; S3
ventrales, 64
Radiation optique, 45
Radius, 70–75, 77, 82–86
col, 70
fœtal, 203
incisure ulnaire, 74
processus styloïde, 74
tête, 70–72, 82–84
tubercule dorsal, 86
tubérosité, 70, 83
Raphé anococcygien, 169
Rate, 95, 139, 140, 142, 149
vues en coupes non transversales, 172, 175, 177, 191
PET-scan/TDM, 239
scintigraphie isotopique, 236
- Récessus
alvéolaire, 8
axillaire, 79
hépatorénal, 174, 176
- Rectum, 60, 133, 135, 143, 144, 147, 148, 152, 154, 162, 166, 169, 170, 223
ampoule, 154, 159, 160, 165
échographie prostatique via le, 199
paroi, 199
pédicule neurovasculaire inférieur, 155, 164, 165
plis transverses, 154, 159
vues en coupes non transversales, 172, 180, 181
- Rein, 63, 126–140, 142, 145, 146, 172, 175, 177, 196, 197, 203, 235, 236
calice *Voir* Calice
cortex, 127, 128
PET-scan/TDM, 239
fascia, 127, 129
fœtal, 203
papille, 175, 196
pelvis, 127, 129, 196
pôle
inférieur, 194
supérieur, 194, 196
scintigraphie isotopique, 235
- Rétinaculum
des extenseurs, cheville, 230
des fléchisseurs
cheville, 230
pied, 86
- Rétinaculum (*suite*)
fibulaire, 230
patellaire médial et latéral, 227, 228
- Rétine, 23
- S**
S1
espace intervertébral, 60
nerf sacral, 154
racine, 159–161
Voir aussi L5–S1
- S1–S2
foramen sacral, 60
thèque terminale au niveau de, 65
- S2, racine nerveuse, 159–161
foramen sacral pour la, 60
- S3, racine nerveuse, 160
- Sac
lacrymal, 23
lacrymonasal, 10
- Sac gestationnel, 200, 201
- Sac thécal, 65, 127, 129, 133, 154, 161, 165, 169, 170
indentation du disque intervertébral sur le, 65
indentation postérieure du ligament jaune sur le, 64
lombal, 63
- Sacrum, 60, 135, 160, 169, 170
aile, 60, 133, 154, 158, 165, 197
chez la femme, 142, 144, 147, 148, 150, 154, 158–160, 173
chez l'homme, 133, 135, 162, 165, 169
corps, 159
crête, 173
médiane, tubercule épineux au niveau de la, 60
promontoire, 59, 60, 63, 65
scintigraphie isotopique, 235
vue en coupe non transversale, 59, 60, 63, 65, 173
- Scanner hépatobiliaire, 235
- Scapula, 68, 80, 91, 145
acromion, 68, 69, 79
épine de la, 68, 80, 90
processus coracoïde, 68, 69, 79
scintigraphie isotopique, 235
- Scissure
horizontale, 84, 91, 92
oblique, 93, 95
droite, 91
gauche, 91
- Scière, 23
- Scutum (éperon), 15
- Sein, 90, 120–122, 136
PET-scan/TDM, 239
- Selle turcique (fosse hypophysaire/pituitaire), 3, 6, 13, 22
plancher, 9
- Septum pellucidum, 45, 48
cavité du, 52, 53, 202
fœtal, 202
- Septum
interatrial, 96, 100, 108
fœtal, 203
intermusculaire fémoral latéral, 221, 223
médian, 226
interventriculaire, 97, 101, 104–106, 108, 109
fœtal, 203
membraneux, 101, 108
PET-scan/TDM, 239
scintigraphie isotopique, 237
- lingual *Voir* Langue
- nasal, 2, 4, 6, 8, 10, 30, 34, 42
- Sillon
carotidien, 3
cérébral
central, 45, 46
du cingulum, 46
latéral, 45–48, 52
interfessier (interglutéal), 58, 151, 164
préauriculaire, 60

Sinus
caverneux, 23, 37, 48
artère carotide interne dans le, 9, 36, 44, 46
paroi durale latérale, 48
coronaire, 96
droit, 114
gauche, 113
de l'aorte, 113
non coronaire, 114
droit, 37, 39, 41, 44
du tarse, 232–234
ethmoïdaux, 6, 8, 23
frontal, 2, 3, 10, 44, 46, 47
maxillaire, 2, 6, 8, 10–12, 22, 30, 34, 43, 46, 47
paranasaux, 6, 8–13
lame, 7
pétreux supérieur, 39
sagittal
inférieur, 36, 37, 45, 51
supérieur, 17, 36, 37, 41, 44, 48
sigmoïde, 33, 37, 39, 41
sphénoïdal, 2, 6, 8–11, 21, 31, 43, 46–48
sphéno pariétal, 39
transverse, 37, 39, 41
droit, 37, 39
gauche, 39
sillon du, 4
veineux, confluent des, 37, 39, 41, 44

Sonde
endotrachéale, 33
nasogastrique, extrémité de la, 194
Sphincter
anal externe, 134, 154, 160
externe (de l'urètre), 156, 198
interne (de la vessie), 157
Sphincter anal externe, 134, 154, 160
Sternum, 91, 93, 102, 120, 136, 149
corps, 96, 104–106, 108, 136
fœtal, 203
manubrium du Voir Manubrium sternal
PET-scan/TDM, 239
processus xiphoïde, 97, 103, 105, 106, 136, 149
scintigraphie isotopique, 235
Substance
blanche
cerveau, 45
moelle spinale, 62
grise
cerveau, 45
moelle spinale, 62
Substantia nigra, 19
Sustentaculum tali du calcanéus, 212, 231–233
Suture
coronale, 3, 4
fœtale, 202
frontozygomatique, 6
lambdoïde, 2–4
fœtale, 202
sagittale, 2, 4
Symphyse pubienne, 60, 135, 137, 153, 157, 160, 163, 167, 168
vues en coupes non transversales, 173, 209
Synchondrose sphéno-occipitale (basisphénoïde–basioccipitale), 3, 50
Systole, fin de
reconstructions 3D du ventricule gauche et, 237
volume sanguin dans le ventricule gauche et, 237

T

T1, 58
processus épineux, 56
processus transverse, 56
T4, processus épineux, 62
T5/T6, nucleus pulposus, 62
T6
pédicule, 58
processus épineux, 58

T11, corps vertébral, 58
T12, corps vertébral, 148
Talus, 212–215, 230, 232–234
col, 212, 233, 234
tête, 212, 231, 233, 234
tubercule médial, 212
Tarse, os du, 213
Tectum du mésencéphale, 51
Tegmen tympani, 7
Tegmentum pontique, 46, 47
Tendon
calcanéen (d'Achille), 230, 233
du muscle quadriceps fémoral, 222, 226
patellaire, 226, 228
Tente du cervelet, 46, 51
Testicule, 135, 167–170
non descendu dans le canal inguinal, 189
phlébographie, 189
Thalamus, 45, 50, 52, 53
adhésion interthalamique, 50
fœtal, 202
PET-scan, 238
Thorax, 89–122
fœtal, paroi antérieure, 203
TDM
coronale, 100–103, 136–145
sagittale (séquentielle), chez la femme, 146–9
vaisseaux, 116–17
Tibia, 210–213, 215, 230, 232, 233
condyles latéral et médial, 210
épine, 227
plateau, 228
latéral et médial, 226
scintigraphie isotopique, 235
tubérosité, 210, 211, 227, 229
Tissus mous
cou, 29
rétropharyngiens, 29
Tonsille(s)
cérébelleuse, 47
palatines, 24, 32
pharyngiennes, 13, 31
Torus tubaire, 27
Trabécules du ventricule droit, 112
Trachée, 28, 29, 32, 57, 58, 62, 90, 91, 93, 97, 102, 105, 107, 109, 118, 119, 140, 148
carina, 90, 96, 100, 108, 142
Tractus et bulbe olfactifs, 19
Tractus iliotibial, 134, 153, 164, 221, 223, 224, 228
Tractus optique, 21, 45, 49
Tragus, 50
Transit baryté
estomac/duodénum, 178
intestin grêle, 179
Trochanter
grand, 134, 145, 151, 152, 158, 163, 166, 208, 219, 220, 223
noyau d'ossification du, 209
scintigraphie isotopique, 235
petit, 135, 153, 155, 163, 164, 167, 208
noyau d'ossification du, 209
Trochlée humérale, 70, 72, 82, 83
Trompe auditive (d'Eustache), 9, 32
Trompe(s) utérine(s), 155, 156, 159, 195
ampoule, 195
droite, 150
isthme, 195
Tronc
brachiocéphalique, 92, 96, 100, 104–106, 108, 117, 138
bronchique commun, 116
coeliaque, 105, 107, 124, 141, 148, 184
artériographies par soustraction, 184
cathéter dans le, 184
vues en coupes non transversales, 174, 176, 183, 184
costocervical, 33, 117

Tronc (*suite*)
intercostobronchique, cathéter dans le, 116
lombosacral, 154, 165
pulmonaire, 90, 91, 97, 101, 104, 106, 109, 136
thyrocervical, 117
cathéter dans le, 33
Tronc cérébral, 52, 53
artères cérébelleuses supérieures
derrière le, 38
PET-scan, 238
Tubercule(s)
antérieur du calcanéus, 233
articulaire de l'articulation temporomandibulaire, 3
de l'éminence intercondyloïde, 210
de l'humérus
majeur, 68, 69, 79
mineur, 68
de la selle, 3
dorsal du radius, 86
du grand adducteur, 227
du processus transverse
C1, 13, 64
C2, 61
C4, 56
C5, 57
du pubis, 173
du talus
latéral, 212
médial, 212
épineux au niveau de la crête sacrale
médiane, 60
mentonnier (de la mandibule), 34
Tubérosité
de la base du 5^e métatarsien, 212, 214, 231
ischiatique, 153, 154, 158, 163–165, 173, 208, 223
scintigraphie isotopique, 235
radiale, 70, 83
tibiale, 210, 211, 227, 229

U

Ulna, 71–73, 75, 77, 83–86
distal, 74, 75
fœtal, 203
incisure trochléaire, 70
olécrâne, 70–72, 82–84
processus
coronoïde, 70, 82
styloïde, 73, 86
tête, 74
Uncus (bord postérolatéral)
C3, 61
C4, 56
C5, 57
lobe temporal, 44, 51
Urètre, 153, 155, 165, 189
gauche et droit, 123, 131, 132, 196, 197
orifice, 156
Urètre
chez la femme, 153, 156, 160
chez l'homme, 135, 167, 198, 199
bulbe, 198
distal, 199
ostium externe, 170
partie
membraneuse, 135, 198
prostatique, 169, 198
spongieuse, 167, 168, 198
trajet, 199
Urographie
intraveineuse, 196
TDM 3D, 197
Utérus, 143, 144, 148, 187, 195, 196
cavité, 150, 155, 157, 161, 200, 201
col, 144, 148, 155, 160, 195
échographie fœtale et, 200, 201
paroi, 151, 161
corne, 195
corps, 156
échographie fœtale et, 200–202
endomètre, 161

Utérus (*suite*)
fond, 150, 157, 161, 195
ligament
large, 151, 155, 156, 159, 161
rond, 151, 152
myomètre, 150, 156, 157, 161
ostium, 161
externe, 150, 161
interne, 150, 161
Uvule palatine, 24, 31

V

Vagin, 142, 144, 148, 152, 156, 159, 160
fornix postérieur, 151, 156, 161
paroi postérieure, 155
Vaisseau(x)
alvéolaires inférieurs, 49
choroïdiens, 45
du pénis
artériographie, 198
dos, 163, 170
épigastriques
inférieur, 163, 168
superficiel, 150
fémoraux
communs, 147, 167, 168
gauches, 149
profonds, 153
superficiels, 167
génitaux
féminins, 155
masculins, 165
glutéaux
inférieurs, 154, 162
supérieurs, 150, 154, 158, 165
iliaques
communs
bifurcation, 155
point de croisement avec l'urètre, 197
internes
branches, 155
gauches et droites, 143, 150
ménégés moyens, sillons pour les, 3
obturateurs, 135, 150, 152, 163, 187, 188
occipitaux, 42
ovariques, 150
plantaires, médiaux et latéraux, 231
radiculaires, 63
rectaux
inférieurs, 163
moyens, 154
supérieurs, 154
vésicaux supérieurs, 157
artère, 187
Vallécule épiglottique, 24, 26, 29, 32, 61
Valve
aortique, 90, 91, 96, 100, 104, 105, 106, 108, 113, 117
iléocœcale, 179
mitrale, 90, 91, 97, 103–106, 109, 111, 113
fœtale, 203
pulmonaire, 90, 91, 101, 104–106, 109, 112
tricuspide, 90, 91, 97, 103, 105, 107, 109
fœtale, 203
Valvules veineuses, 218
Veine(s)
anastomotique
inférieure (de Labbé), 37, 41
supérieure (de Trolard), 37
angulaires, 23
axillaire, 77, 79, 108
azygos, 94, 96, 108, 116, 124, 143
arc, 92, 116
phlébographie, 116
supérieure, cathéter introduit via la veine fémorale dans la, 116
basale (de Rosenthal), 37, 45, 51
basilique, 76, 78, 83–86
basivertébrale, 62, 63, 65

Veine(s) (*suite*)

brachiocéphalique, 77
 droite, 33, 93, 97, 102, 109
 gauche, 92, 96, 100, 108, 138, 149
 point d'aboutement, 77
 capsulaires, 194
 droites, 189
 caudée antérieure, 37
 cave inférieure, 62, 90, 91, 94, 96, 100, 104–106, 108, 124, 126, 128, 130, 138, 140, 146, 148, 189, 190
 vues en coupes non transversales, 62, 90, 91, 174, 176
 cave supérieure, 33, 77, 90, 93, 97, 102, 105, 107, 109, 115, 138, 140, 146, 148
 cathéter introduit via la veine fémorale dans la, 116
 céphalique, 77, 78, 82–86
 cérébelleuse précentrale, 38
 cérébrale(s)
 grande, 37, 39, 41, 45–47, 51
 interne, 37, 41, 45–47, 51
 superficielle, 37, 41
 choroïdienne supérieure, 39
 colique gauche, 186
 collatérale (dans l'orbite)
 antérieure, 23
 médiale, 23
 corticales, 45, 46
 superficielle, 37
 digitale palmaire, 78
 commune, 78
 diploïques, 47
 fémorale, 134, 139, 218, 219, 221
 cathéter introduit
 dans la veine cave supérieure et la veine azygos, 116
 dans la veine fémorale gauche, 189
 dans la veine iliaque interne gauche, 188
 circonflexe latérale, 218
 collatérale musculaire, 218
 commune, 151, 152, 157, 161, 162
 profonde, 164
 superficielle, 153, 164
 frontales, 21
 gastriques
 courtes, 185
 gauche, 185
 branches œsophagiennes, 185
 géniculée supérolatérale, 226
 glutéales
 inférieure, 134, 188
 supérieure, 133, 188
 hémiazygos, 94, 96, 108
 accessoire, 116
 hémisphérique
 inférieure, 39
 supérieure, 39

Veine(s) (*suite*)

hépatiques, 140, 142, 147, 148, 190
 branche, 174, 176
 droite, 127, 175, 177
 gauche, 175, 177
 moyenne, 126, 175, 177
 iléocolique, 191
 iliaque
 commune, 169, 189, 190
 cathéter dans la, 66
 droite, 131, 132, 141, 147
 gauche, 131, 132, 141, 160
 externe, 134, 139, 150, 167, 190
 cathéter introduit via la veine fémorale gauche dans la, 188
 droite, 132, 147
 gauche, 132, 188
 interne, 159, 190
 division antérieure, 188
 droite, 132
 gauche, 132
 iliolombale, 190
 intercostales, 116
 droite supérieure, 109
 intravertébrales, 66
 jéjunale, 191
 jugulaire
 antérieure, 26
 bulbe supérieur de la, 33, 37, 39, 41
 externe, 24, 26
 interne, 24, 26, 29, 33, 36, 37, 38, 39, 41, 42, 50, 62
 droite, 146
 linguale, 33
 lombales, 130, 132
 ascendantes, 66, 190
 marginale
 latérale, 217
 médiale, 217
 médiane basilique, 77
 médiane céphalique, 77
 mésentérique
 latérale, 39
 postérieure, 39
 mésentérique
 inférieure, 186
 supérieure, 127, 138, 148
 vues en coupes non transversales, 175, 177
 ombilicale, 203
 ophtalmique
 inférieure, 23
 supérieure, 20, 23, 44
 pétreuse, 39
 phrénique inférieure, 194
 pontomésencéphalique antérieure, 39
 poplitée, 222, 228
 porte, 127, 138, 140, 147, 191
 branche, 174, 176
 droite, 191
 gauche, 191
 vues en coupes non transversales, 174, 175, 177

Veine(s) (*suite*)

principale du pouce, 78
 pulmonaire
 droite, 115
 inférieure, 95, 97, 103, 105, 107, 109
 supérieure, 97, 102, 105, 107, 109, 111
 fœtale, 203
 gauche, 115
 inférieure, 96, 103, 108, 111
 supérieure, 92, 96, 101, 108, 111
 radiale de l'index, 78
 rectale supérieure, 186
 rénale
 droite, 127, 129
 vue en coupe non transversale, 175
 gauche, 140
 vues en coupes non transversales, 175, 177, 194
 rétromandibulaire, 24, 32, 42, 49
 sacrales latérales, 66
 saphène
 grande, 153, 162, 164, 168, 217, 218, 221, 224, 228, 229, 230, 232
 petite, 217, 228, 230, 233
 sigmoïdienne, 186
 splénique, 127, 138, 142, 148, 185, 191
 vues en coupes non transversales, 175, 177
 subclavière, 77
 droite, 33
 gauche, 103
 supraorbitaire, 23
 surrénale gauche, 194
 cathéter dans la, 194
 testiculaire
 droite, 189
 gauche, 129, 131
 cathéter introduit via la veine fémorale gauche dans la, 189
 thalamostriée, 37
 thoracique interne, 96, 108, 120
 thyroïdienne
 inférieure, 33
 moyenne, cathéter dans la, 33
 supérieure, 33
 tibiale
 antérieure, 218
 postérieure, 218, 230, 233
 tonsillaire, 39
 utérines, 144
 vermienne
 inférieure, 38
 supérieure, 39
 Ventricule(s) (cerveau)
 troisième, 45–47, 49, 52, 53

Ventricule(s) (cerveau) (*suite*)

latéral, 46, 47, 52, 53
 corne
 frontale/antérieure, 45, 48
 occipitale/postérieure, 45
 temporale/inférieure, 44, 49
 corps/atrium, 45, 46, 49
 trigone du, 45, 51
 quatrième, 16, 43, 46, 47, 51, 53
 ouverture
 latérale, 17, 43
 médiane, 42, 51
 récessus supérieur, 21
 Ventricule(s) (cœur)
 droit, 90, 91, 102, 105, 107, 112, 115, 136, 138, 149
 cavité, 97, 102, 105, 107, 109, 237
 fœtal, 203
 infundibulum, 91
 pulmonaire, 105, 107, 112, 115, 136, 149
 PET-scan/TDM, 239
 trabécule, 112
 gauche, 90, 101, 113, 115, 117, 136, 138, 140, 237
 apex, 113, 237, 239
 bord, 90
 cavité, 97, 101, 104–106, 108, 113, 237, 239
 fœtal, 203
 infundibulum aortique, 113
 vascularisation coronaire, 113
 PET-scan/TDM, 239
 septum *Voir* Septum interventriculaire
 Vermis *Voir* Cervelet
 Vésicule biliaire, 124, 126, 136, 138, 146
 col, 182
 fundus, 174, 176
 vues en coupes non transversales, 174, 176, 182
 Vésicule séminale, 133, 135, 162, 165, 166, 169, 170, 199
 Vessie, 132, 134, 137, 139, 142, 147, 148, 151–153, 157–160, 162, 166, 169, 170, 189, 219, 220
 base et col, 152, 198
 fœtale, 200, 201, 203
 PET-scan/TDM, 239
 pleine, 199
 produit de contraste dans la, 188, 198
 scintigraphie isotopique, 235
 sphincter interne, 156
 trigone, 153, 156, 159
 vues en coupes non transversales, 188, 189, 196, 197, 199, 219
 Vestibulaire appareil, vestibule de l', 50
 Vomer, 8, 13, 31

Z

Zone orbiculaire, 220